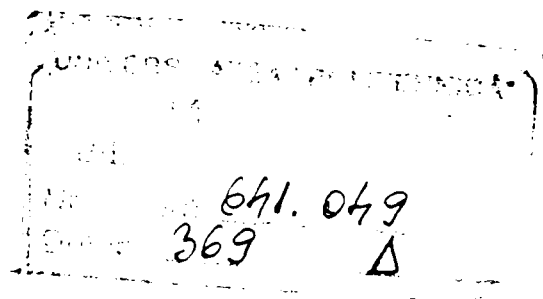


Facultatea de Mecanică

Departamentul de Mecatronică

**Ing. Dan Teodor MĂRGINEANU**

## Limitele raționale ale capacității portante a îmbinărilor arbore-butuc prin caneluri



# Teză de doctorat

BIBLIOTECA CENTRALĂ  
UNIVERSITATEA "POLITEHNICA"  
TIMIȘOARA

**Conducător științific:  
Prof.dr.ing. Marcu BALEKICS**

**Prof.dr.ing. Nicolae GHEORGHIU**

2003



## *Cuvânt înainte*

Ideea de bază pentru această lucrare a fost lansată într-o discuție (și o dispută) științifică provocată de Profesorul dr. ing. Bernhard HOROVITZ, unul dintre întemeietorii școlii românești de Organe de mașini și primul șef al catedrei cu acest nume de la Timișoara, asupra diferitelor valori ale solicitărilor limită și ale solicitărilor admise utilizate la proiectarea diferitelor clase de organe de mașini. La această discuție au participat și doi dintre colaboratorii apropiați ai Profesorului, viitori stâlpi ai școlii timișorene de Organe de mașini și Tribologie, recunoscuți ca atare de comunitatea științifică inginerescă din România și nu numai: prof. dr. ing. Nicolae GHEORGHIU și prof. dr. ing. Marcu BALEKICS, pe care am onoarea să îi numesc conducătorii mei științifici pentru prezenta teză de doctorat, și de la care am aflat despre conținutul schimbului de idei mai sus menționat și în contextul căruia am primit spre rezolvare tema îmbinărilor prin caneluri.

Îmi exprim azi profunda recunoștință față de Profesorul meu de Organe de mașini, prof. dr. ing. Nicolae GHEORGHIU, cel care m-a primit cu căldură în colectivul pe care îl conducea și care mi-a îndrumat primii pași în cariera didactică și științifică și îi mulțumesc pentru sprijinul și îndrumarea sa în stabilirea liniilor directoare ale tezei, a bazelor teoretice de abordare a subiectului.

Domnului prof. dr. ing. Marcu BALEKICS, Profesorul și creatorul școlii de Tribologie din Timișoara, îi mulțumesc pentru îndrumarea fermă și de înaltă competență la întocmirea tezei și pentru rigoarea științifică a experimentatorului versat pe care a încercat să mi-o insuflă, pentru sprijinul, încurajările și îndemnurile primite, fără de care finalizarea prezentei lucrări nu ar fi fost posibilă.

De asemenea vreau să le mulțumesc tuturor celor care m-au sprijinit în cercetările cuprinse în teza de față: domnului prof. dr. ing. Nelu IONESCU, care mi-a oferit întotdeauna cu căldură și generozitate sfatul și ajutorul; domnului prof. dr. ing. Ioan NICOARĂ, pentru sfaturile competente și încurajările întru continuarea direcțiilor de cercetare pe care pornisem; domnului prof. dr. ing. Octavian GLIGOR, pentru sprijinul real la realizarea standurilor și pentru recomandările competente la proiectarea și realizarea părții experimentale a tezei; domnului conf. dr. ing. Erwin-Christian LOVASZ, pentru sprijinul logistic și pentru încurajările permanente, domnului ing. Vilmos

FERNENGEL, colegul meu și domnilor: ing. Eugen ZĂBAVĂ, ing. Ștefan Lucian TOADER și ing. Csaba SZEKELY, foștii mei studenți și componenți ai colectivului pe care l-am îndrumat la lucrarea de diplomă, pentru colaborarea la proiectarea, execuția, punerea în funcțiune și etalonarea standurilor și la încercările propriu-zise.

Mulțumesc conducerii și colegilor mei din colectivul Departamentului de Mecatronică, pentru înțelegerea și sprijinul acordate pe tot parcursul elaborării tezei.

Nu în ultimul rând mulțumesc părinților mei pentru răbdarea avută și sprijinul acordat și familiei mele pentru înțelegere și ajutor, în special soției mele, ing. Eugenia Margineanu fără de ajutorul căreia teza nu ar fi putut fi elaborată.

Această lucrare este încheierea unei etape importante în viața și cariera mea profesională. Dar ea constituie doar o etapă în studiul îmbinărilor prin caneluri și în general în cercetarea transferului de sarcină prin contact mecanic pe suprafețe extinse. Rezultatele obținute pot fi utilizate la elaborarea de noi standarde pentru caneluri, la studierea preciziei cinematice a ansamblurilor cu îmbinări canelate și la studiile tribologice de uzare a canelurilor cu deplasare axială relativă în mers și sub sarcină.

Timișoara 2003,  
Dan MĂRGINEANU

Motto:

„Evident? Nu, încă nelămurit.”

V. Smilga

## Introducere. Motivația și scopurile tezei de doctorat.

Îmbinările arbore – butuc prin caneluri au domeniile lor specifice de utilizare. Arborii cutiilor de viteze cu roți baladoare sau cu cuplaje sincrone (fig. 1) arborii cardanici și telescopici (fig. 2), indispensabili în construcția autovehiculelor, a mașinilor – unelte, a unor tipuri de pompe volumice, etc., transmit putere mecanică între arbori și piesele montate pe aceștia, permițând deplasarea axială relativă în gol sau sub sarcină, staționar sau din mers. Forma lor complexă și precizia ridicată pot impune restricții tehnologice și economice utilizării lor. Din aceste cauze, îmbinările canelate au fost standardizate și normalizate relativ devreme, iar standardele și normele de geometrie și precizie au fost modificate de mai multe ori, pentru a ține pasul cu tendințele din industrie.

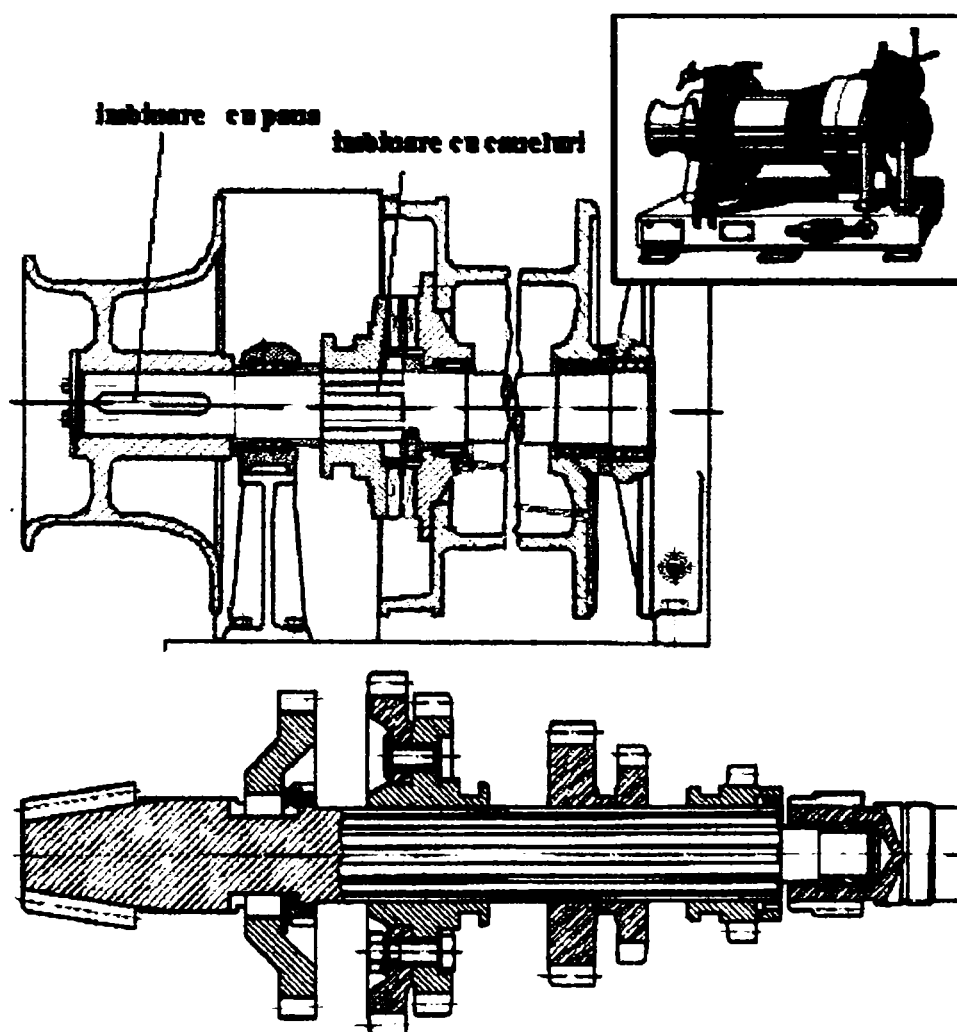


Fig. 1 Utilizarea îmbinărilor prin caneluri la cuplaje intermitente comandate

De asemenea sunt standardizate și normalizate sculele de prelucrare a arborilor și butucilor canelați și calibrele de verificare a preciziei de execuție. Mașinile unelte speciale necesare sunt normalizate și ele.

Standardizarea permite accesibilitatea tehnologică și economică a acestei clase de îmbinări, în condițiile unei precizii de execuție ridicate care asigură precizia de funcționare, capacitatea portantă și interschimbabilitatea.

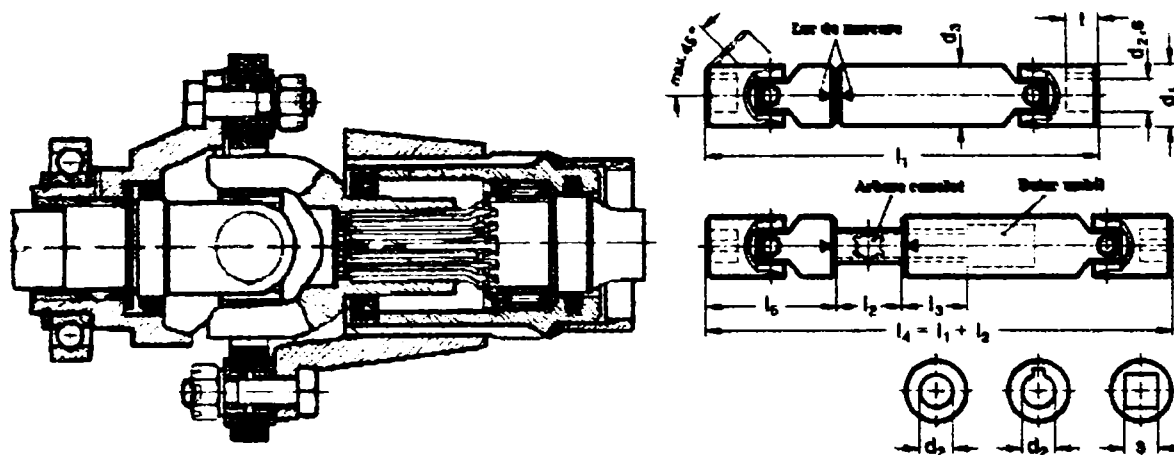


Fig. 2. Utilizarea canelurilor în construcția arborilor cardanici și telescopici.

Proiectarea îmbinărilor prin caneluri este însă tratată sumar în majoritatea manualelor și îndrumătoarelor. Determinarea diametrului arborelui este considerată, cu puține excepții, ca aparținând algoritmului de proiectare a arborelui. Dimensionarea îmbinării constă, deci în alegerea din standard a unei perechi arbore – butuc canelat și stabilirea lungimii de contact. Ca și la alte tipuri de îmbinări arbore – butuc standardizate (cu pene paralele sau cu pene înclinate), se face apoi doar verificarea îmbinării. În cazul arborilor supradimensionați la rupere prin oboseală sau a celor dimensionați din condiții de rigiditate la încovoiere sau torsiune, se renunță de obicei la verificare.



Fig. 3. Rupere prin oboseală a arborilor canelați

Cauzele de ieșire din uz ale îmbinărilor prin caneluri sunt ruperea prin oboseală a arborilor (fig. 3.) și uzarea canelurilor. Ruperea canelurilor este foarte rar întâlnită, și asta numai atunci când unul dintre elementele îmbinării, de regulă butucul, este confecționat dintr-un material mult mai moale decât elementul conjugat. De aceea, verificarea rezistenței canelurii la solicitarea compusă de încovoiere, forfecare și compresiune, similară cu solicitarea dinților angrenajelor, prezentă în tratatele mai vechi a fost abandonată.

Ruperea prin oboseala a arborelui se amorsează în zona canelată, la capătul îmbinării solicitat la torsiune cu întreaga valoare a momentului de răsucire, deci în afara îmbinării.

Toate calculele de rezistență a îmbinării se bazează pe ipoteza „evidentă” că solicitarea de contact uniform distribuită pe suprafețele portante. Se face doar „concesia” că numai 75% din suprafața portantă este utilizată pentru transmiterea momentului de răsucire. Formulele de calcul pentru determinarea presiunii medii sunt astfel simple și rapide. Problema se complică doar atunci când trebuie aleasă presiunea medie admisă. Nu s-au făcut până acum cercetări extinse pentru determinarea valorilor acestui parametru esențial pentru proiectarea științifică.

Valorile recomandate de standardele de calcul și de manuale sunt dependente de condițiile de funcționare ale îmbinării. Astfel, pentru îmbinările cu deplasare relativă axială din mers și sub sarcină, la care uzarea este cauza principală de cădere, presiunile admise sunt de zece (sau chiar de mai multe) ori mai mici decât cele pentru îmbinările statice.

Cercetările privind optimizarea formei canelurilor, studiul rezistenței la uzare și chiar încercările pentru determinarea științifică a solicitării limită de contact trebuie precedate de studierea variației presiunii pe suprafețele de transfer a sarcinii și a cauzelor care o produc.

În cadrul tezei se urmărește rezolvarea următoarelor probleme:

- identificarea cauzelor de variație a presiunii pe suprafețele portante ale îmbinărilor arbore – butuc prin caneluri;
- determinarea analitică a legilor de variație a presiunii pentru fiecare cauză și cuantificarea efectelor prin coeficienți de concentrare;
- studiul legilor de compunere a efectelor diferitelor cauze de variație a presiunii;
- validarea experimentală și prin metode numerice a studiilor analitice asupra variației presiunii pe suprafețele de transfer a sarcinii.

# Capitolul 1.

## Considerații generale privind îmbinările arbore-butuc prin caneluri

### §1.1. Îmbinări arbore-butuc. Prezentare generală, clasificări și domenii de utilizare.

O îmbinare arbore-butuc, ca orice alt tip de îmbinare, preia cele șase grade de libertate relativă dintre elementele îmbinate - arbore și butuc - și, din punct de vedere cinetostatic, cele șase componente ale tursorului de reducere al acțiunilor exterioare la axa îmbinării. În unele cazuri, acest tip de îmbinare permite deplasarea axială relativă a butucului față de arbore, materializând astfel o cuplă cinematică de translație de clasa a V-a ( $C_5$ ), deci se preiau doar cinci grade de libertate relativă, respectiv cinci componente ale tursorului de reducere al acțiunilor exterioare la axa îmbinării.

În marea majoritate a aplicațiilor, pentru preluarea componentelor de tip forță  $F_x$  (forța axială),  $F_y$ ,  $F_z$  (componentele încărcării radiale  $F_r$ ) și de tip moment  $M_y$  și  $M_z$  (componentele momentului de răsturnare  $M_r$ ) în cazul îmbinărilor arbore – butuc se utilizează una din soluțiile prezentate în figura 1.1., după cum urmează:

în fig. 1.1. a):

- **centrare** pe cilindru lung, care preia:

- rotațiile în planele ce conțin axa cilindrului, respectiv momentele  $M_y$  și  $M_z$  (două grade de mobilitate);

- translațiile pe direcțiile perpendiculare pe axa cilindrului, respectiv forțele  $F_y$  și  $F_z$  (două grade de mobilitate );

- **rezemare** pe o suprafață frontală de dimensiuni reduse (un umăr sau o bucușă distanțier), care preia translația în lungul axei cilindrului, respectiv forța axială  $F_x$  (un grad de mobilitate).

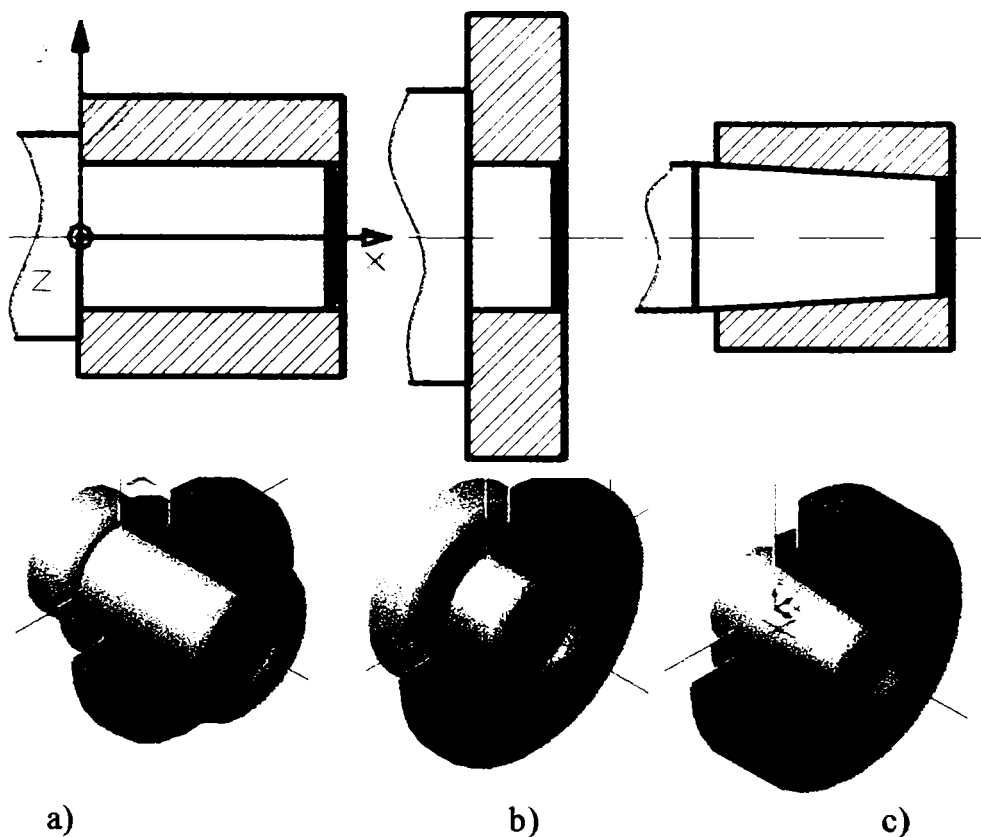
în fig. 1.1. b):



- **centrare** pe cilindru scurt, care preia translațiile pe direcțiile perpendiculare pe axa cilindrului, respectiv forțele  $F_y$  și  $F_z$  (două grade de mobilitate);
- **așezare** pe o suprafață plană frontală de dimensiuni extinse care preia:
  - rotațiile în planele ce conțin axa cilindrului respectiv momentele  $M_y$  și  $M_z$  (două grade de mobilitate);
  - translația în lungul axei cilindrului, respectiv forța axială  $F_x$  (un grad de mobilitate);

în fig. 1.1. c):

- **centrare** pe o suprafață conică lungă care preia:
  - rotațiile în planele ce conțin axa cilindrului respectiv momentele de răsturnare  $M_y$  și  $M_z$  (două grade de mobilitate);
  - translațiile pe direcțiile perpendiculare pe axa cilindrului, respectiv forțele radiale  $F_y$  și  $F_z$  (două grade de mobilitate);
  - translația în lungul axei cilindrului, respectiv forța axială  $F_x$  (un grad de mobilitate).



**Fig.1.1. Soluții de preluare a torsorului acțiunilor exterioare**

Preluarea gradelor de mobilitate prin contact pe suprafață introduce nedeterminarea statică a sistemului mecanic al îmbinării. Pentru determinarea poziției corpurilor rigide, respectiv pentru preluarea acțiunilor exterioare într-un sistem de corpuri static determinat, mecanica

teoretică impune existența a șase puncte de contact, patru câte patru necoplanare și trei câte trei necoliniare. Un număr mai mare de puncte de contact sau nerespectarea condițiilor de poziție relativă a acestora conduce la nedeterminarea statică a sistemului. Numărul gradelor de nedeterminare este egal cu numărul de puncte suplimentare de contact. Ridicarea nedeterminării sistemului se face, pentru corpurile deformabile, prin adăugarea de atâtea ecuații de deformație de câte ori sistemul este static nedeterminat. Suprafețele de contact conțin, teoretic, o infinitate de puncte iar practic, un număr de pete de contact.

Contactul pe suprafețe extinse este condiționat conformitatea suprafețelor conjugate, adică de respectarea condițiilor de precizie geometrică (de dimensiune, de formă geometrică și de poziție relativă) impuse acestora și de deformațiile elastice și plastice ale corpurilor aflate în contact.

În cazul îmbinărilor arbore – butuc cu centrare pe suprafețe cilindrice cu ajustaj cu joc, contactul este condiționat de componenta dominantă a torsorului de reducere a acțiunilor exterioare.

În primă analiză, se consideră un ajustaj cilindric cu joc format dintr-un arbore și un butuc ideal rigide, fără abateri de la forma cilindrică și fără abateri de netezime a suprafețelor conjugate. Dacă predomină încărcarea radială  $F_r$ , în îmbinare se produce o deplasare relativă  $\delta_r$ , pe direcția încărcării, (fig. 1.2. a) și deci o eroare de centrare  $\varepsilon_c$ , corespunzătoare jocului maxim din ajustaj  $j_{\max}$ ,

$$j_{\max} = d_{b_{\max}} - d_{a_{\min}} \quad (1.1)$$

de mărime:

$$\varepsilon_c = \frac{j_{\max}}{2} \quad (1.2)$$

Dacă încărcarea predominantă este momentul de răsturnare  $M_r$ , în îmbinare apare o rotire relativă, (Figura 1.2. b) respectiv o eroare unghiulară de centrare  $\gamma$ :

$$\gamma = \frac{j_{\max}}{L_b} \quad (1.3)$$

unde  $L_b$  este lungimea îmbinării, egală cu lungimea butucului.

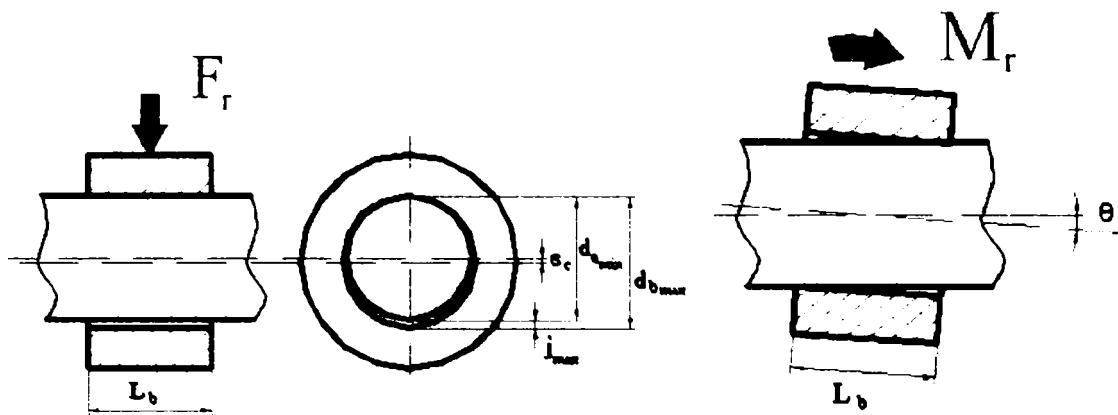


Fig. 1.2. Erorile de centrare la ajustajele cilindrice cu joc

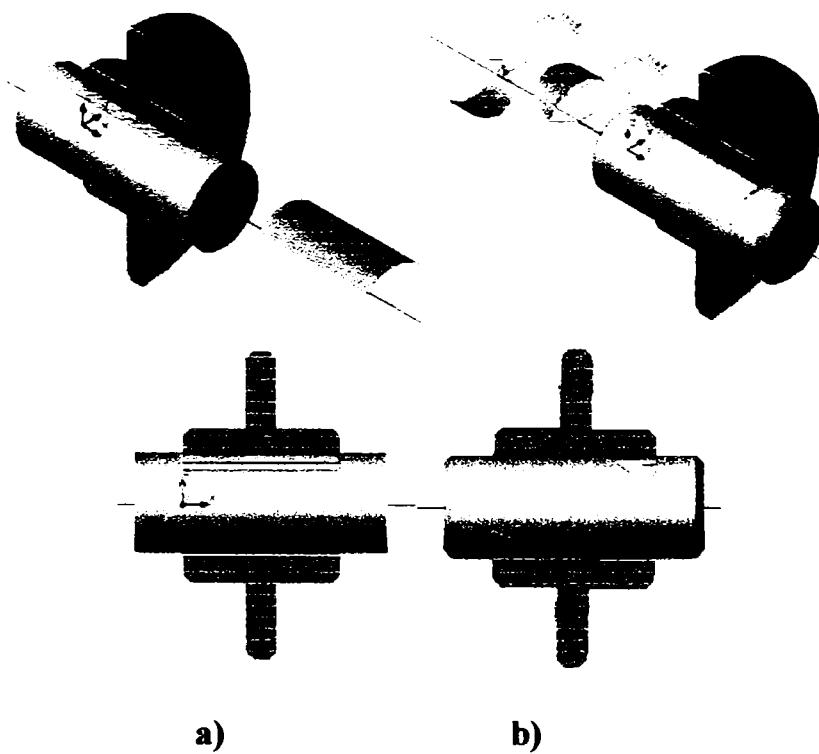
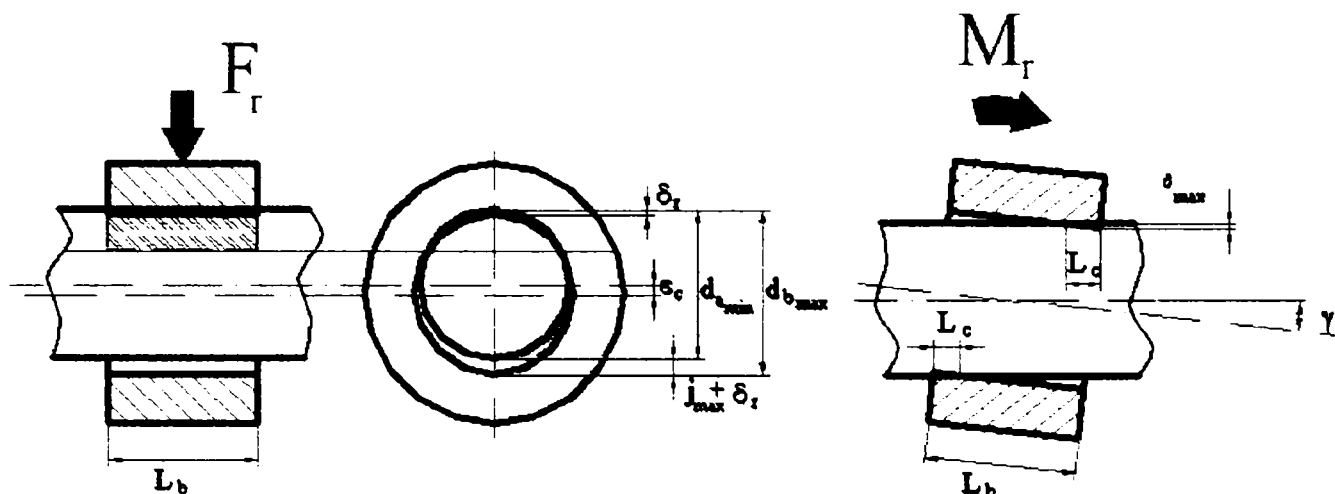


Fig. 1.3. Zonele de contact din ajustajele cilindrice

Erorile de centrare sunt inerente ajustajului cilindric cu joc și deci acesta nu asigură o centrare propriu – zisă ci o pseudo – centrare a butucului față de arbore.

Luând în considerare deformațiile de contact ale suprafețelor conjugate dar arborele și butucul rigide, contactul se extinde (Fig. 1.3.).

În cazul încărcării radiale predominante, zona de contact (Figura 1.3.a) este o suprafață cilindrică de lungime egală cu lungimea butucului și cuprinsă în interiorul unghiului la centru  $2\theta$ :

$$2 \cdot \theta = 2 \cdot \arccos \frac{1}{1 + 2 \cdot \frac{\delta_r}{j}}, \quad (1.4)$$

unde  $\delta_r$  este deplasarea radială relativă a butucului față de arbore datorită deformațiilor produse de încărcarea radială  $F_r$ .

Eroarea de centrare  $\varepsilon_c$  crește

$$\varepsilon_c = \frac{j_{\max}}{2} + \delta_r. \quad (1.5)$$

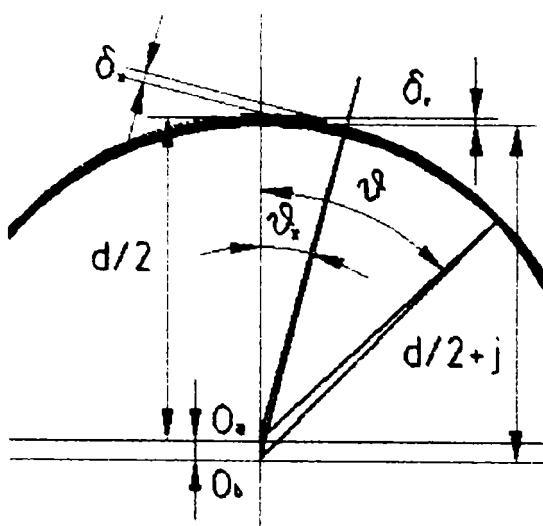


Fig.1.4. Contactul în ajustajele cilindrice cu joc încărcate radial

Interferența radială  $\delta_x$  și centrare ale arborelui și butucului (fig. 1.4.) variază de la valoarea maximă  $\delta_r$  pe direcția încărcării radiale  $F_r$ , până la 0 la capetele arcului  $2\theta$ . Pe o direcție radială curentă orientată cu unghiul  $\theta_x$  față de direcția încărcării radiale  $F_r$ , valoarea interferenței  $\delta_x$  este dată de expresia:

$$\Delta_x = \left( \frac{j}{2} + \delta_r \right) \cdot \cos \theta_x - \frac{j}{2} \quad (1.6)$$

Admițând că solicitarea de contact crește monoton cu interferența suprafețelor de contact, presiunea ar rezulta uniformă pe lungimea

îmbinării și cu distribuție simetrică față de direcția încărcării radiale, în plan transversal.

Dacă momentul de răsturnare  $M_r$  este predominant (fig. 1.3.b), contactul se extinde la capetele îmbinării pe suprafețe cilindrice de lățime maximă  $L_c$  în planul perpendicular pe direcția momentului  $M_r$  și cuprinse în interiorul unghiului la centru  $\theta_x$ . Eroarea de centrare unghiulară  $\gamma$  crește până la valoarea:

$$\gamma = \frac{j + 2 \cdot \delta_{r_{\max}}}{L_b}, \quad (1.7)$$

unde  $\delta_{r_{\max}}$  este interferența maximă în secțiunile de la capetele îmbinării.

Lungimea de contact de la capetele ajustajului are valoarea:

$$L_c = \frac{L_b \cdot j}{2 + \frac{j}{\delta_{r_{\max}}}} < \frac{L_b}{2}. \quad (1.8)$$

Interferența maximă  $\delta_{r_{\max}}$  într-o secțiune transversală prin îmbinare situată la distanța  $x$  de mijlocul îmbinării crește liniar spre capătul acesteia:

$$\delta_{r_{\max}} = \delta_{r_{\max}} \left[ \frac{x}{L_b} \left( 2 + \frac{j}{\delta_{r_{\max}}} \right) - \frac{j}{2 \cdot \delta_{r_{\max}}} \right], \quad (1.9)$$

precum crește și unghiul la centru  $\vartheta_{x_{\max}}$  de contact în secțiunea curentă:

$$\vartheta_{x_{\max}} = \arccos \frac{1}{1 + \frac{2 \cdot \delta_{r_{\max}}}{j}}. \quad (1.10)$$

Dacă se ține seama și de rigiditatea finită a arborelui și butucului, suprafețele de contact se extind și distribuția de presiune se modifică.

În cazul sarcinilor exterioare rotitoare față de arbore (cazul arborelui rotativ solicitat cu încărcare constantă față de sistemul de referință fix – arbori de transmisie), suprafața de contact se va roti pe arbore, putând provoca uzarea prin deformare plastică a ajustajului și, implicit, creșterea jocului și scăderea preciziei de centrare.

Însumarea efectelor forței radiale și a momentului de răsturnare depinde de mărimea și direcția relativă a acestora și de dimensiunile îmbinării. Astfel, la valori relative mici ale momentului de răsturnare  $M_r$  și dacă acesta este perpendicular pe direcția forței radiale  $F_r$  (cazul unei forțe radiale a cărei direcție trece la o distanță  $e$  de mijlocul îmbinării), contactul dintre arbore și butuc se face de-a lungul unei generatoare, pe toată lungimea butucului. Distribuția de presiuni va fi în acest caz asimetrică, rezultanta ei fiind pe direcția sarcinii excentrice  $F_r$ .

Dacă sarcina radială are excentricitate mai mare decât jumătate din lungimea butucului, momentul de răsturnare produce rotirea relativă a butucului față de arbore și contactul asimetric pe capetele îmbinării. Rezultantele celor două distribuții de presiuni asimetrice și cu sensuri opuse preiau momentul de răsturnare, diferența lor echilibrând încărcarea radială.

În cazul îmbinărilor prin strângere, înainte de încărcarea acestora se introduce o distribuție de presiuni inițială între suprafețele de centrare. Sarcinile exterioare ce acționează asupra îmbinării în exploatare modifică această distribuție de presiuni prin suprapunerea unei distribuții „de sarcină”. Dacă presiunea rămâne pozitivă după încărcare în toate punctele ajustajului (contactul nu se pierde), încărcările exterioare sunt preluate atât de suprafețele îndreptate în sensul solicitării cât și de cele opuse. Din acest motiv, ajustajele cu strângere au

rigiditate mai mare la sarcini radiale sau de răsturnare decât cele cu joc (sistemul tehnic elastic este obținut prin legarea „în paralel” a două sisteme cu joc echivalente).

Modul de preluare a sarcinilor radiale și de răsturnare poate fi influențat și de modul de transmitere a momentului de răsucire. În special la îmbinările prin formă, asimetria îmbinării (nominală sau produsă de erorile de execuție) poate introduce reacțiuni interne îmbinării, ce afectează precizia de centrare și distribuția de presiuni din îmbinare.

Poziționarea și fixarea axială pot contribui prin reacțiuni normale și forțe de frecare la preluarea sarcinilor radiale și de răsturnare. Efectul lor, deși nu puțin important, este cel mai adesea neglijat.

## **§1.2 Îmbinări arbore-butuc. Clasificări și domenii de utilizare.**

Principala deosebire dintre diferitele tipuri de îmbinări arbore – butuc (și, de altfel, criteriul primordial de clasificare a lor în toate tratatele și manualele) este deci modalitatea de preluare a rotirii relative a butucului față de arbore în jurul axei îmbinării, respectiv de transmitere a momentului de răsucire  $M_r$ . Astfel, îmbinările arbore – butuc se clasifică în:

- îmbinări prin formă, prevăzute cu suprafețe de contact la care normala nu este concurentă cu axa îmbinării, momentul de răsucire fiind preluat de componentele tangențiale ale reacțiunilor;

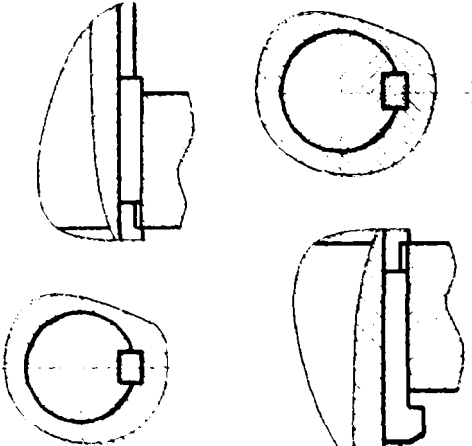
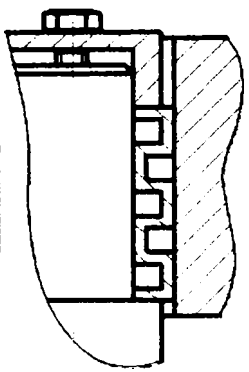
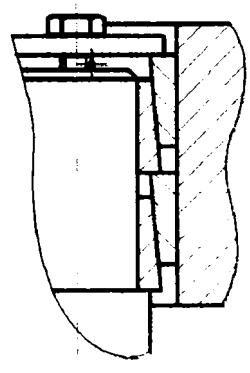
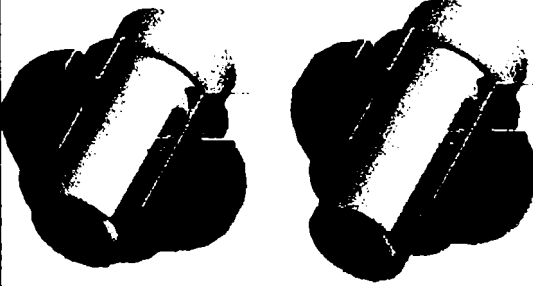


- îmbinări prin forță, la care forțele de frecare de pe suprafețele de contact, cu normala pe direcție radială, preiau și transmit momentul de răsucire;

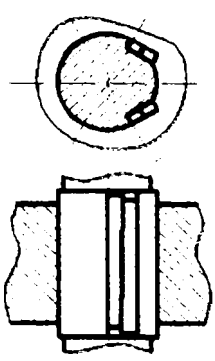
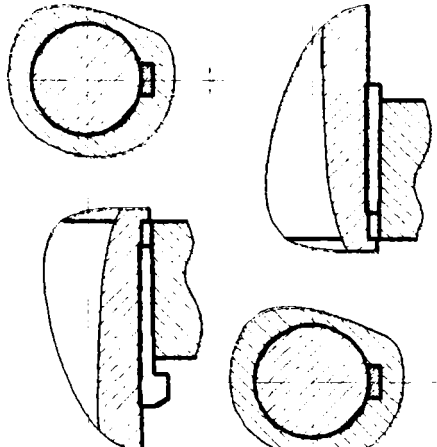
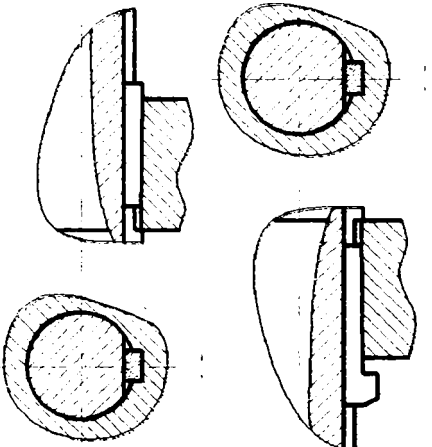

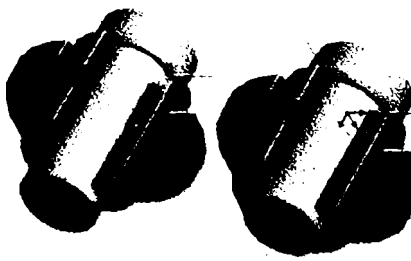
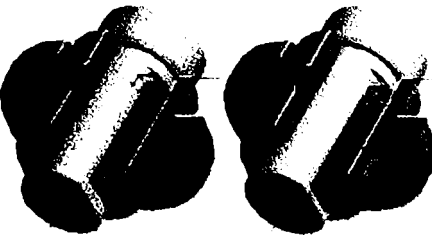
- îmbinări prin formă și forță, care combină modalitățile de transmitere a încărcărilor prezentate mai sus;

Tabelul 1.1

		Prin formă				
		Cu stifturi sau bolturi (a)				
Pene disc	Pene paralele	Tangențiale	Longitudinale	Transversale		
					<b>Cu pene longitudinale fără strângere (b)</b>	

			Prin strângere	
Conice (j)	Cleme (g)	Prin presare La cald (e) La rece (f)	Caneluri (d)	Profile speciale (c)

Pene înalte (k)		Cu strângere (h)	Inele tronconice (i)
	Prin formă și strângere Cu pene		
			

Pene tangențiale (n)	Pene concave (m)	Pene subțiri (l)
		
		



Alegerea uneia dintre acestea de către proiectantul unui ansamblu pentru a fi utilizată într-un caz concret se face în funcție de:

- capacitatea sa portantă raportată la cea a arborelui;
- condițiile de funcționare;
- complexitatea și costul variantelor acceptabile din primele două puncte de vedere.

În tabelul 1.2 este prezentat modul în care diferitele tipuri de îmbinări arbore butuc, notate ca în tabelul 1.1, îndeplinesc principalele funcții, cuantificate prin note de la 1 la 10 (conform sistemului de notare folosit în învățământul românesc).

**Tabelul 1.2. Caracteristicile îmbinărilor arbore – butuc.**

Proprietăți (notate de la 1 la 10)	Tipuri de îmbinări													
	Prin formă				Prin strângere						Prin formă și strângere			
	a	b	c	d	e	f	g	h	i	j	k	l	m	n
<b>Funcționale</b>														
<b>Capacitate portantă</b>														
Momente de răsucire într-un singur sens	8	6	10	10	10	10	8	7	8	9	6	6	6	8
Momente de răsucire în ambele sensuri și cu șoc	7	5	8	10	10	10	8	7	8	9	4	4	4	8
Forțe axiale	1	1	1	1	10	10	8	7	8	9	4	4	4	7
<b>Poziționare relativă</b>														
Centrare relativă	6	7	8	8	9	9	7	9	9	10	4	4	4	4
Axială	1	8	1	1	1	1	1	1	1	9	2	2	2	2
Unghiulară	7	7	9	8	4	5	5	5	5	5	7	7	7	8
<b>Reglare</b>														
Axială	10	4	10	10	2	2	9	10	10	4	8	8	8	8
Axială din mers și sub sarcină	7	1	8	10	1	1	1	1	1	1	1	1	1	1
Unghiulară	1	1	5	5	2	2	9	10	10	10	2	2	8	2
<b>Tehnologice</b>														
Prelucrabilitate	7	8	5	5	8	8	9	8	8	7	6	7	8	6
Montabilitate	8	7	9	9	7	7	10	10	10	9	7	7	7	7
Interschimbabilitate	9	5	9	9	4	4	10	10	10	10	8	8	8	8

În tabelul 1.3 sunt indicate recomandările de utilizare a îmbinărilor arbore – butuc pentru diferite condiții de exploatare și cazuri de solicitare.

Tabelul 1.2. Recomandări de utilizare pentru diversele îmbinări tip arbore – butuc. [G1]

Recomandări	Îmbinări prin strângere	Îmbinări prin formă	Îmbinări prin formă și strângere
Momente de răsucire mici	Brățară elastică Inele ondulate Bucșă ondulată	Știft transversal Știft longitudinal Pană paralelă sau disc	Pană concavă
Momente de răsucire unidirecționale	Brățară elastică Strângere proprie Pană tangențială	Știft transversal Știft longitudinal Pană paralelă	Pană concavă
Momente de răsucire mici cu schimbare de sens	Inele ondulate	Pană paralelă	Pană concavă
Momente de răsucire mari cu schimbare de sens sau șocuri	Strângere proprie Strângere pe con Strângere cu inele tronconice	Arbori profilați (caneluri și arbori profilați)	Pană înclinată Pană tangențială
Arbore scurt, momente mari de răsucire	Strângere pe con Strângere cu inele tronconice	Arbori profilați (caneluri dreptunghiulare și triunghiulare, arbori poligonali)	-
Îmbinare cu deplasare axială (butuc sau arbore deplasabil)	-	Pană paralelă lungă Caneluri dreptunghiulare	-
Îmbinare ușor demontabilă	Brățară elastică Strângere proprie Strângere pe con Inele tronconice Inele și bucșe ondulate	Pană paralelă Caneluri triunghiulare	Pene înclinate înalte, tangențiale, concave)
Arbore neted	Îmbinări cu strângere	-	Pană concave
Pentru poziționare ușoară a butucului în sens circular	Brățară elastică Strângere pe con Strângere cu inele tronconice Inele și bucșe ondulate	Caneluri triunghiulare	Pană concavă
Îmbinări cu arbore tubular	Strângere cu inele tronconice Strângere proprie	Caneluri	-

Îmbinările prin caneluri sunt indicate la transmiterea de momente de răsucire mari, (comparabile cu capacitatea portantă la torsiune a arborelui) și sunt singurele care pot materializa eficient cupla de translație  $C_5$ . De aceea, aceste îmbinări au un domeniu de aplicabilitate suficient de extins și, mai ales, rezervat, pentru a putea afirma că vor mai juca încă mult timp un rol în istoria tehnicii. Studiul lor din punct de vedere a intimității fenomenelor de transmitere a sarcinilor între elementele îmbinării este necesar pentru a putea prevedea cu mai multă precizie,

încă din faza de proiectare, eforturile unitare maxime și deci pentru a evita supradimensionările inerente unei proiectări cu “coeficienți de siguranță acoperitori”.

### **§1.3. Îmbinări arbore-butuc prin caneluri. Clasificare. Forme constructive principale.**

La îmbinările arbore-butuc prin caneluri, arborele, respectiv butucul, au profile care fac imposibilă rotirea relativă, asigurând astfel transmiterea momentului de răsucire, și, în funcție de ajustaj, posibilitatea deplasării axiale.

În îmbinările cu caneluri, (fig. 1.5., 1.6., 1.7.) pe periferia arborelui, respectiv în interiorul butucului, sunt executate proeminente și canale care se cuplează reciproc, materializând suprafețele conjugate de contact și transmițând momentul de răsucire. Ca mod de funcționare, canelurile pot fi asimilate cu pene longitudinale concrescute arborelui, având avantajul unei capacități portante sporite datorită înlocuirii contactului dintre pană și canalul din arbore cu continuitatea de material arbore-canelură și datorită eliminării diminuării secțiunii arborelui prin tăierea canalelor, asociată cu atenuarea severității concentratorilor de tensiune.

Utilizarea îmbinărilor cu caneluri este limitată de costul ridicat al prelucrării, (în special al pregătirii de fabricație, fiind necesare mașini-unelte, scule, dispozitive și verificatoare speciale și, mai ales, o disciplină tehnologică ridicată) condiționat nu atât de volumul mare de material îndepărtat sau de complexitatea operațiilor cât de precizia ridicată necesară.

#### **Clasificarea îmbinărilor prin caneluri se face după mai multe criterii:**

- după forma canelurilor:
  - cu profil dreptunghiular (figura 1.5.)
    - seria ușoară STAS 1768
    - seria mijlocie STAS 1769
    - seria grea STAS 1770
  - cu profil evolventic (fig. 1.6), conform STAS 6858
  - cu profil triunghiular (fig. 1.7.), conform STAS 7346
  - cu profil dreptunghiular pentru mașini-unelte, conform STAS 2670 (fig. 1.8)
- după felul în care se realizează centrarea:
  - interioară (figura 1.9. a))
  - exterioară (figura 1.9. b))
  - pe flancuri (figura 1.9. c))
- după tipul îmbinării:

- fixă
- mobilă
- după tipul contactului între suprafețe:
  - cu alunecare, în cazul îmbinărilor “clasice”, enumerate mai sus;
  - cu rostogolire, soluții dezvoltate în ultima perioadă de unele firme specializate în producția de ghidaje și șuruburi cu rostogolire (fig. 1.10.)

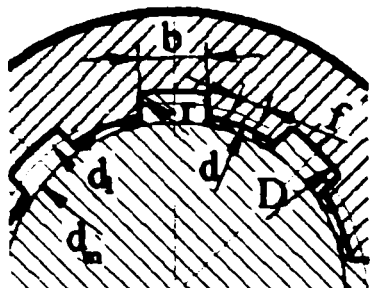


Fig.1.5 a) Seria ușoară

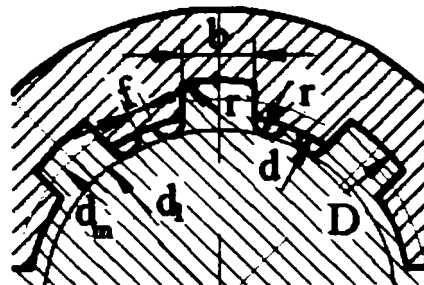


Fig.1.5 b) Seria mijlocie

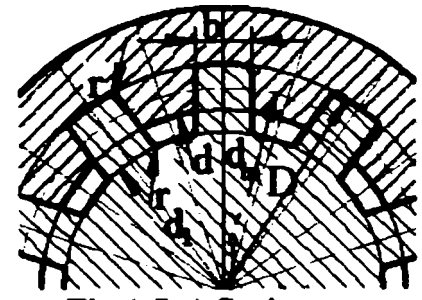


Fig.1.5 c) Serie grea

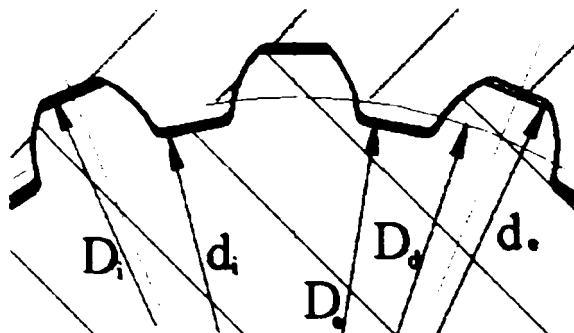


Fig.1.6. Îmbinări cu caneluri evolventice

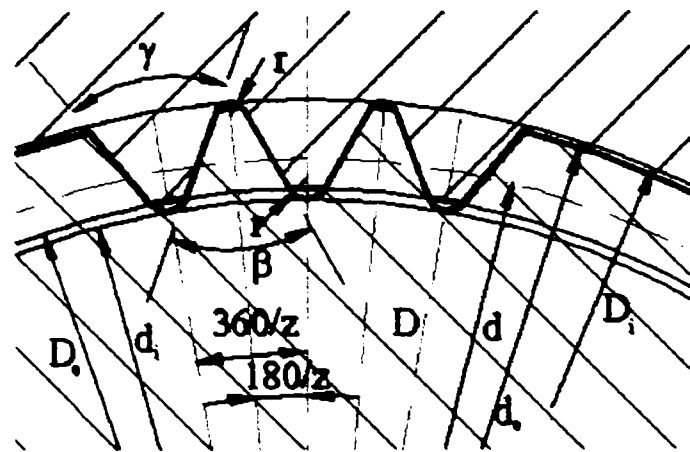


Fig.1.7. Îmbinări cu caneluri triunghiulare

Canelurile dreptunghiulare sunt cel mai des utilizate, deoarece posibilitățile tehnologice de execuție permit obținerea unei precizii mai mari comparativ cu celelalte tipuri de îmbinări prin caneluri, fiind de aceea preferate pentru realizarea îmbinării mobile (arbori telescopici, roți mobile la cutiile de viteze, etc.).

Canelurile triunghiulare sunt recomandate în construcția îmbinărilor fixe, cu solicitări variabile sau reversibile (pârghii sau manivele pe capete de arbore).

Canelurile evolventice au rezistență bună la solicitări variabile și se utilizează în construcția de autovehicule.

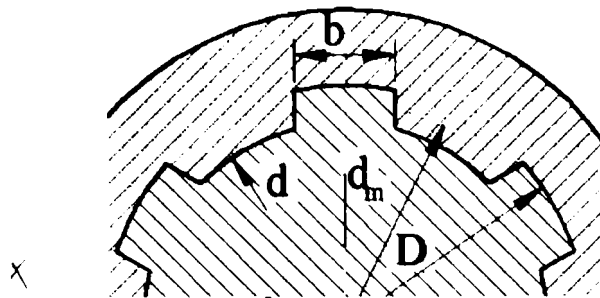


Fig.1.8. Îmbinări cu caneluri dreptunghiulare pentru mașini unelte

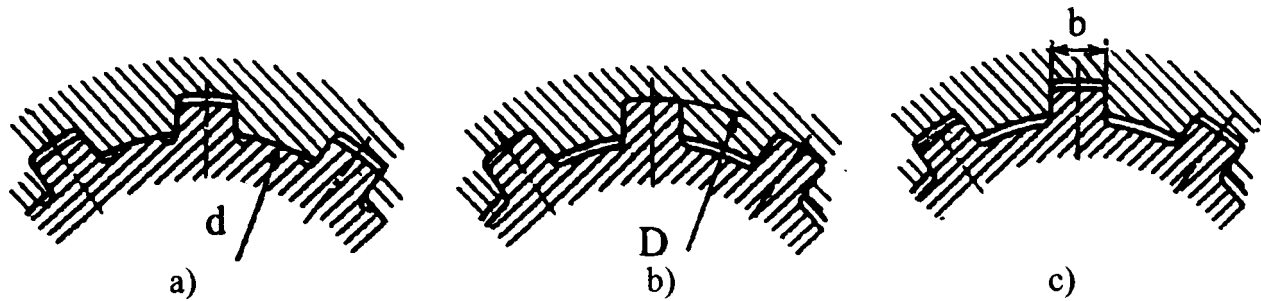


Fig. 1.9. Moduri de centrare pentru îmbinări arbore-butuc cu caneluri dreptunghiulare

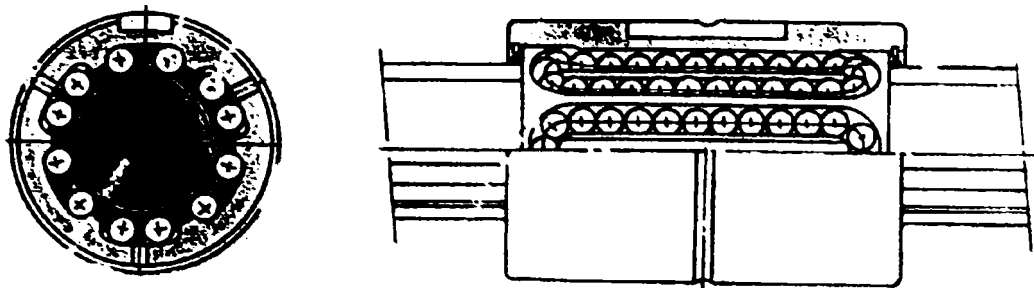


Fig. 1.10. Îmbinări arbore-butuc cu contact cu rostogolire

#### §1.4. Relațiile și metodică de calcul a îmbinărilor arbore-butuc prin caneluri

Proiectarea îmbinării dintre un arbore și butucul unei roți este în general o “fază” a algoritmului general de proiectare a unei transmisii mecanice. Ea își are locul, în general, după predimensionarea arborelui, adică după calculul preliminar al diametrului minim necesar pentru secțiunea solicitată la momentul de torsiune maxim.

Proiectantul alege, ținând seama de condițiile de funcționare ale ansamblului, tipul de îmbinare recomandat după care alege dimensiunile secțiunii transversale ale îmbinării, în majoritatea cazurilor standardizate sau normalizate în funcție de diametrul nominal al acesteia. Apoi dimensionează butucul rotorului, stabilind diametrul exterior  $d_e$  și lungimea  $L$  a acestuia. Această operație se poate face:

671.049

- constructiv - folosind rapoarte tradițional acceptate de proiectanți [G1] dintre dimensiunile butucului și diametrul nominal al îmbinării, ( metodă foarte “purată” în atelierele clasice de proiectare ) ca de exemplu:

$$\begin{aligned}d_b &= (1,6 \dots 2) \cdot d \\L &= (1 \dots 1,5) \cdot d\end{aligned}\tag{1.11.}$$

pentru îmbinările cu pană paralelă a unei roți fixe pe arbore, situată între lagăre. Dezavantajul acestei metode constă în faptul că pentru fiecare tip de îmbinare se recomandă valori diferite ale acestor rapoarte, în funcție de gabaritul elementelor de transmitere a momentului de torsiune, de capacitatea portantă a acestora și de influența acestora asupra rezistenței butucului prin slăbirea secțiunii și prin introducerea concentratorilor de tensiune.

- prin calcul, punând condiția de echiportanță a arborelui și butucului la solicitarea de torsiune:

$$S \approx y \cdot \sqrt[3]{T}\tag{1.12.}$$

unde: -S [mm] - grosimea peretelui butucului;

- y [mm/(mNm)<sup>1/3</sup>] - coeficient dimensional ales în funcție de tipul îmbinării și de materialul butucului. [G1]

Lungimea L a butucului se determină și în acest caz din considerente constructive. Dezavantajul acestei metode constă în faptul că și în acest caz dimensionarea este aproximativă, deoarece nu se ia în calcul decât una din componentele tursorului de reducere a interacțiunilor dintre arbore și butuc.

După determinarea dimensiunilor butucului se stabilesc și dimensiunile longitudinale ale îmbinării ( la acele îmbinări la care se pune această problemă ), ele putând fi mai mici sau egale cu lungimea L a butucului, în funcție de tipul îmbinării și de condițiile funcționale.

Pentru îmbinările fixe se definitivează apoi modul de fixare axială a butucului pe arbore. Această operație trebuie să țină seama și de tehnologia de prelucrare a elementelor de îmbinare pe arbore și respectiv în butuc. Neglijarea aspectului tehnologic la proiectare duce, în special în proiectarea îmbinărilor canelate , la contradicții de execuție sau de montaj care, semnalate prea târziu, pot compromite nu numai termenul de finalizare al produsului ci și posibilitatea sa de funcționare corectă.

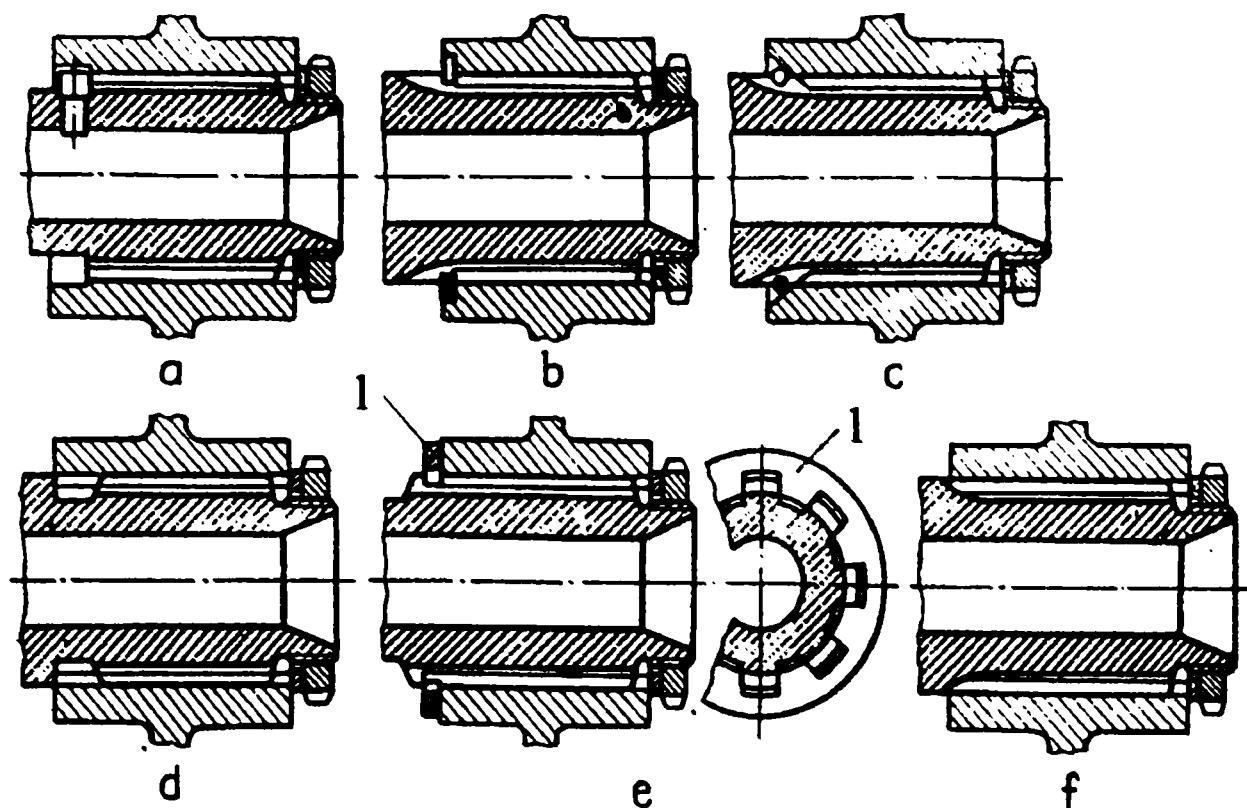


Fig. 1.11. Fixarea axială a butucului pe arbore

Câteva soluții de fixare axială pentru aceste tipuri de îmbinări sunt prezentate în figura 1.11.

După determinarea tuturor dimensiunilor elementelor îmbinării se face verificarea acestora, în general la rezistența la solicitarea de contact între suprafețele conjugate ale arborelui și butucului ( și, acolo unde este cazul, ale elementului intermediar - pană sau știft ) indusă de momentul de răsucire  $T$ .

În acest scop se compară valoarea efectivă a presiunii medii  $p_m$  cu o valoare admisă a presiunii  $p_a$ , în general diferită de la un tip de îmbinare la altul și întotdeauna mult inferioară limitei de rezistență la compresiune.

Valorile presiunii admise  $p_a$  se stabilesc experimental în funcție de materialele elementelor îmbinării dar și în funcție de tipul de îmbinare, clasa de precizie a execuției, condițiile de funcționare, etc., ceea ce înseamnă că în acestea s-au inclus coeficienți de corecție pentru a compensa diferența dintre presiunea maximă  $p_{max}$ , incomod de determinat în proiectarea de tip clasic, și cea medie  $p_m$ , calculabilă simplu cu o formulă de tip:

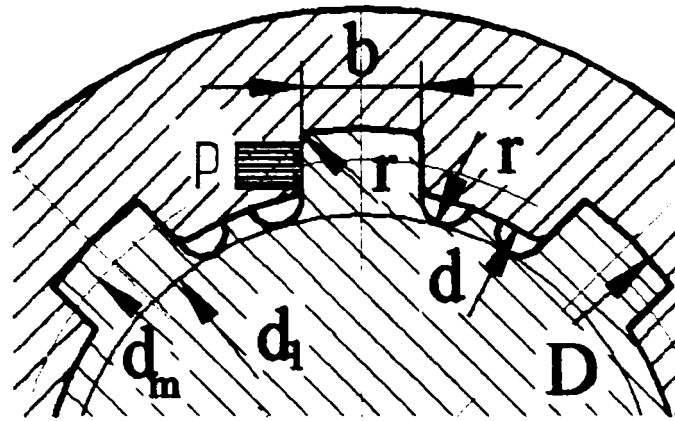
$$p_m = \frac{k_a \cdot 2 \cdot T}{d_m \cdot z \cdot S_1 \cdot L} \quad [N/mm^2] \quad (1.13.)$$

unde: -  $k_a$  [ - ] - coeficient de corecție;

-  $d_m$  [ mm ] - diametrul mediu al suprafețelor conjugate ale îmbinării;

-  $z$  [ - ] - numărul de perechi de suprafețe portante conjugate;

-  $S_1$  [  $\text{mm}^2/\text{mm}$  ] - aria suprafeței de contact pe unitatea de lungime a unei perechi de suprafețe portante, în cazul îmbinărilor cu pene paralele sau disc, a celor cu știfturi și a celor canelate, la care se poate face presupunerea că presiunea este aproximativ constantă pe suprafața de contact.(fig. 1.12.)



**Fig.1.12. Calculul unei îmbinări arbore-butuc canelate la presiune de contact**

Unele surse bibliografice [D1], recomandă determinarea lungimii necesare a îmbinării prin dimensionare din condiția de rezistență la contact, calculând  $L$  din formula 1.13.. Practica de proiectare arată însă că, în majoritatea cazurilor și mai ales la proiectarea prototipurilor sau a produselor de serie mică, lungimea butucului rezultată din calcul este redusă și pare a nu asigura stabilitatea rotorului pe arbore. Pentru proiectarea produselor de serie mare este indicată reluarea dimensionării și verificării până ce elementele îmbinării sunt încărcate cât mai aproape de capacitatea lor portantă.

Dacă în urma calculului de verificare, condiția de rezistență nu este îndeplinită, se impune reluarea operațiilor de proiectare. În opinia autorului, ordinea de “intervenție” a proiectantului asupra parametrilor aflați la dispoziția sa este:

- lungimea îmbinării;
- materialul din care sunt confecționate elementele îmbinării;
- numărul de elemente portante;
- tipul îmbinării;
- diametrul nominal al îmbinării.

După proiectarea îmbinării se face, într-o etapă imediat următoare sau în urma altor operații de dimensionare a ansamblului arbore, verificarea acestuia la rezistență la solicitări variabile (oboseală). La această etapă trebuie ținut seama de modificările modulelor de rezistență axial  $W_z$  și polar  $W_p$  ale secțiunii transversale a arborelui în urma prelucrării suprafețelor portante și de concentratorii de tensiune specifici.



Unele surse bibliografice mai indică necesitatea unui calcul de rezistență la încovoiere sau /și la forfecare a elementelor portante (pene, caneluri, etc.). Studiile mai noi, standardele în vigoare și experiența proiectanților, inclusiv a autorului, afirmă însă că solicitarea critică este în totalitatea cazurilor cea de contact.

### **§1.5. Considerații tehnologice și de precizie pentru îmbinările arbore-butuc prin formă**

Se poate afirma fără teama de a greși că la tipurile de îmbinări arbore-butuc prin formă capacitatea portantă este proporțională cu complexitatea de execuție și deci cu costul de fabricație. De la această aserțiune fac excepție îmbinările ne-interschimbabile (cu știfturi, cu caneluri rodiate) la care uneori economia realizată prin prelucrarea simultană a suprafețelor portante - alezarea în stare montată a găurilor de știft - se plătește scump în exploatare.

Procedeele tehnologice folosite la prelucrarea elementelor îmbinării (arbore, butuc, element intermediar acolo unde este cazul) trebuie să asigure “ridicarea” tehnologică a nedeterminării statice a sistemului mecanic. Așa cum s-a arătat în paragraful 1.1, fiecare grad de mobilitate preluat de îmbinare este asociat teoretic cu un singur punct de contact între arbore și butuc. Pentru asigurarea capacității portante a îmbinării este necesar însă contactul pe suprafețe extinse. Se introduc astfel un număr de grade de nedeterminare statică cu atât mai mare cu cât numărul de suprafețe portante crește și aceste suprafețe sunt mai extinse.

Existența acestora înseamnă practic că la o îmbinare cu elementele afectate de erori ale geometriei efective față de cea nominală contactul dintre elementele portante este, la începerea încărcării, punctual. El se extinde, în limita deformațiilor elasto – plastice, într-o anumită măsură odată cu creșterea încărcării.

Pentru obținerea unei capacități portante corespunzătoare este necesar să se obțină în urma prelucrării un grad cât mai ridicat de conformitate a suprafețelor portante.

La îmbinările cu pene paralele această condiție se definește relativ simplu, prin impunerea unei condiții de simetrie a canalului de pană față de suprafața de centrare a arborelui respectiv butucului. Tehnologic, această condiție se realizează prin frezare la arborele montat pe prisme și prin broșare cu inimă de centrare la butuc. Este evident deci că prelucrarea canalului de pană trebuie făcută după tratamentul termic final și după operația de rectificare a suprafeței de centrare, care constituie baza funcțională, tehnologică și de măsurare. Această condiție tehnologică, ușor de îndeplinit la arborii și butucii roților transmisiilor mecanice, poate deveni restrictivă dacă unul sau ambele elemente ale îmbinării au durități mari în urma călirii (de

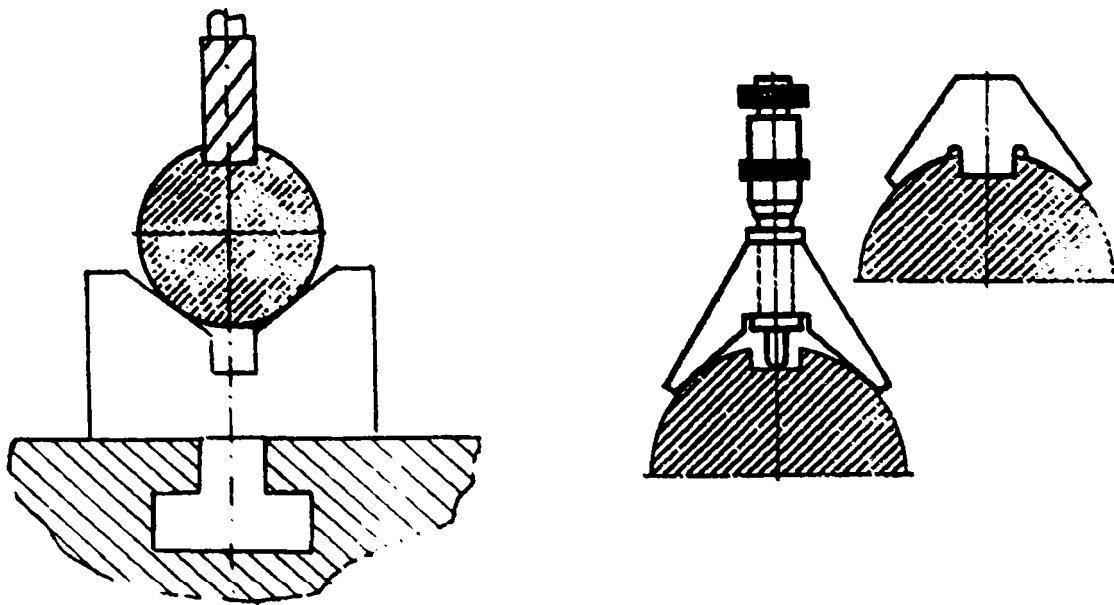


Fig. 1.13. Prelucrarea și verificarea canalului de pană din arbore

exemplu la sculele așchietoare). În această situație este necesară corelarea condițiilor de precizie de poziție relativă față de canalul de pană impuse altor suprafețe ale arborelui sau butucului cu posibilitățile tehnologice de realizare.

Verificarea respectării acestei condiții se face cu calibre de simetrie tip prismă-pentru arbore (v. figura 1.13.) – sau tampon – pentru butuc, după ce a fost controlată în prealabil realizarea preciziei dimensionale - de obicei cu calibre tampon trece - nu trece pentru canale de pană.

La îmbinările cu suprafețe portante multiple, datorită gradului de nedeterminare mai ridicat al sistemului, condițiile de precizie ce trebuie îndeplinite de elemente sunt mai multe și mai stricte.

Față de îmbinările cu o singură suprafață portantă apare în plus eroarea de pas a profilului arborelui și butucului care influențează, așa cum se va vedea în capitolul 3, distribuția sarcinii pe suprafețele portante.

Prelucrarea arborilor canelați se face prin frezare urmată de rectificarea suprafețelor de centrare și a celor portante (v. figura 1.14.). Generarea profilului periodic al suprafeței arborelui se face prin rostogolire sau rulare. Profilul frezei melc pentru arbori canelați (freza melc „cu mustăți”) este proiectat în așa fel încât să realizeze și degajările de rectificare dintre canelură și suprafața de centrare și teșiturile canelurii (fig. 1.14. a). Rectificarea arborelui se face pe suprafața de centrare și pe flancuri, simultan sau succesiv (fig. 1.14. b).

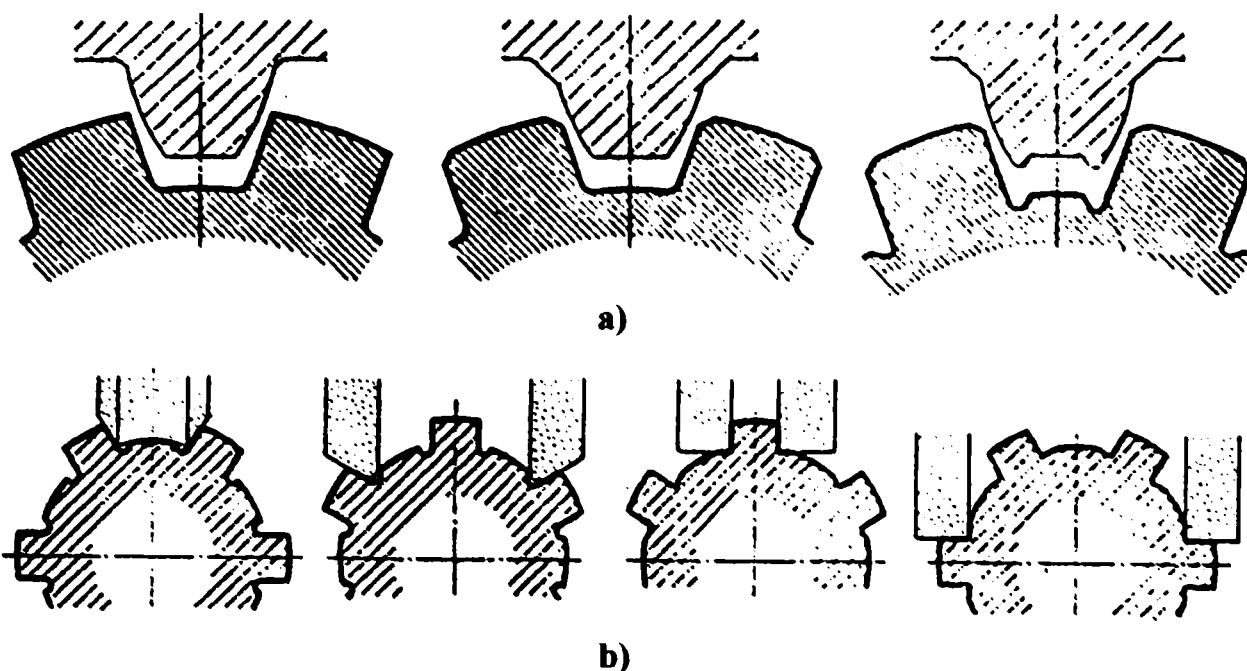


Fig. 1.14. Prelucrarea arborilor canelați; a) frezare prin rostogolire, b) rectificare.

Prelucrarea butucului se face prin broșare, cu centrarea broșei pe diametrul interior, rectificat în prealabil. Se poate obține deci o precizie ridicată a profilului numai la butucii la care prelucrarea canalelor se face după operația de tratament termic final (butuci fără tratament termic secundar sau îmbunătățiți). La butucii căliți, precizia profilului este puternic afectată de deformațiile apărute în urma călirii, deoarece nu există posibilitatea finisării ulterioare a canalelor.

Precizia de prelucrare a arborilor și butucilor canelați este definită de STAS 6565-79 pentru profilul dreptunghiular și de STAS 8489-84 pentru profilul triunghiular. Aceste standarde definesc precizia dimensională a profilului în patru respectiv două clase de precizie. Precizia de formă și poziție relativă pe diametru sau pe lungimea îmbinării nu este definită direct ci prin impunerea toleranțelor calibrelor de “complexitate”. Cu aceste calibre se verifică arborele sau butucul după ce au fost verificate dimensional. Această verificare furnizează doar informația că profilul real se înscrie într-un volum limită și nu poate preciza abaterile geometrice prin parametrii dimensionali expliți.

## **Capitolul 2.**

### **Studiul geometriei îmbinărilor arbore-butuc prin caneluri**

Geometria îmbinărilor prin caneluri este concepută pentru poziționarea relativă a butucului față de arbore (preluarea a cinci grade de libertate relativă, v §1.1.) și pentru asigurarea rezistenței mecanice a ansamblului. Forma lor complicată și precizia ridicată a impus, pentru asigurarea interschimbabilității, standardizarea sau normalizarea geometriei canelurilor. Geometria celor trei tipuri de caneluri – dreptunghiulare, evolventice și triunghiulare (v. §.1.3.) se va studia în cele ce urmează.

#### **§2.1. Studiul comparativ al geometriei canelurilor dreptunghiulare**

Canelurile dreptunghiulare sunt standardizate în trei serii de dimensiuni: seria ușoară STAS 1768- 86, seria mijlocie STAS 1769-86 și seria grea STAS 1770-86. Pentru mașinile unelte se folosesc arbori și butuci canelați cu profil dreptunghiular conform STAS 2760-78 și 2761-78.

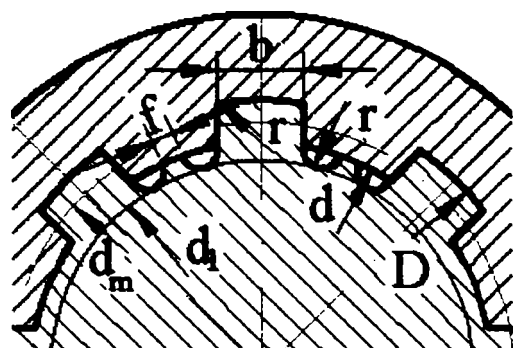
Geometria canelurilor dreptunghiulare este definită de următorii parametri:

- diametrul interior  $d$  [mm];
- diametrul exterior  $D$  [mm];
- numărul de caneluri  $z$  [ - ];
- lățimea canelurii  $b$  [mm];
- teșitura capului canelurii  $c$  [mm];
- raza de racordare de la baza canelurii  $r$  [mm];

La îmbinările canelate cu centrare pe diametrul interior (v. §.1.3.), pentru rectificarea suprafeței de centrare de pe arbore se execută la generarea prin frezare a profilului canelurilor și degajări de rectificare. Acestea sunt definite prin diametrul minim  $d_1$  [mm] și lățimea minimă a fațetei de centrare  $f$  [mm]. Forma degajării de rectificare se obține prin rostogolire în funcție de forma „mustășilor” frezei melc pentru caneluri utilizate.

Notarea arborilor și butucilor canelați se face prin indicarea simbolului suprafeței de centrare, a dimensiunilor nominale și anume a numărului de caneluri  $z$ , a diametrului interior  $d$ , a diametrului exterior  $D$ , și a lățimii canelurii  $b$ , a simbolurilor câmpurilor de toleranță pentru suprafețele de centrare și lățimea canelurii și prin indicarea standardului care definește geometria acestora. De exemplu, un arbore canelat seria mijlocie, cu centrare interioară, cu numărul de caneluri  $z = 8$ , diametrul interior  $d = 42$  mm și diametrul exterior  $D = 48$  mm și lățimea  $b = 8$  se notează :

**Arbore canelat d-8x42f7x48x8f8 STAS 1769-78,**

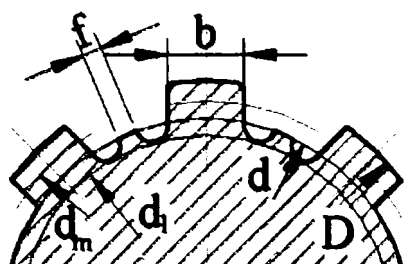


**Fig.2.1 Geometria canelurii dreptunghiulare cu centrare pe diametrul interior din seria mijlocie**

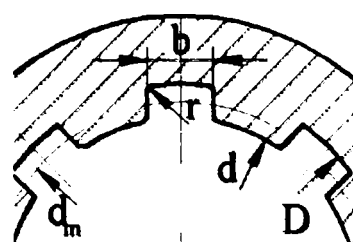
iar un butuc canelat seria grea cu centrare interioară, cu numărul de caneluri  $z = 10$ , diametrul interior  $d = 32$  mm și diametrul exterior  $D = 40$  mm și lățimea canelurii  $b = 5$  mm se notează:

**Butuc canelat d-10x32H7x40x5D9 STAS 1770-86**

Arborii și butucii canelați pentru mașini unelte au 4 sau 6 caneluri. Notarea acestora se face numai prin indicarea diametrului interior  $d$ , a celui exterior  $D$  și a lățimii canelurii.



**Fig. 2.2. Geometria arborelui canelat cu profil dreptunghiular cu centrare pe diametrul interior**



**Fig. 2.3. Geometria butucului canelat cu profil dreptunghiular cu centrare pe diametrul interior**

Toleranțele și ajustajele pentru arborii și butucii canelați standardizați sunt de asemenea stabilite de standarde și norme. Pentru îmbinările cu profil dreptunghiular acestea sunt stabilite de STAS 6565-79. În cazul centrării interioare, ajustajele preferențiale (recomandate) pentru diametrul  $d$  al suprafeței de centrare sunt H7/f7 și H7/g6 pentru ajustajul mobil, iar pentru ajustajul fix H7/js6, iar pentru diametrul exterior  $D$  (necentrant) D9/f8 pentru butucii necăliți, F10/e8 și F10/e9 pentru butuci căliți nerezificați, în cazul ajustajului mobil și D9/k7 și F8/j7 în cazul ajustajului fix.

La centrarea pe diametrul exterior se recomandă ajustajele H7/f7 și H7/g6 pentru diametrul exterior  $D$  în cazul ajustajului mobil și H7/js6 la ajustajul fix. În îmbinările cu centrare

pe flancuri se recomandă alegerea pentru lățimea canelurii  $b$  ajustajele D9/e8 și F10/f8 pentru ajustajele mobile, respectiv F8/js7 pentru ajustajele fixe.

Verificarea abaterilor acestor dimensiuni se face individual cu calibre simple specifice (pentru arbori – calibre inel, pentru alezaje – calibre tampon, respectiv de lungime pentru lățimea canelurii) sau cu calibre de tip complex pentru verificarea simultană a erorilor de formă și poziție

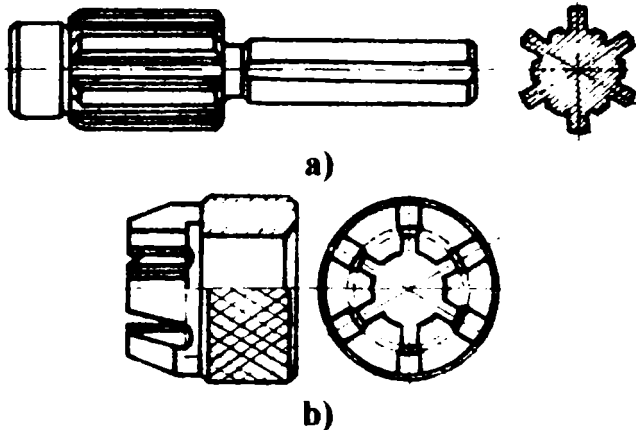


Fig. 2.4. Calibre pentru caneluri:

interioare (a) și exterioare (b)

interioare (a) și exterioare (b) de ghidare, la angajarea în alezaj, pentru evitarea deteriorărilor. Pentru caneluri exterioare (arbori canelați), calibrele sunt de forma prezentată în fig. 2.4 b, având de asemenea o porțiune de ghidare pe diametrul exterior al arborelui canelat verificat.

relativă a locului de montare a arborelui în canelurii.

În acest caz, pentru cele două limite ale câmpului de toleranță se confecționează două calibre T – trece – și respectiv NT – nu trece, ca negative ale canelurii de verificat.

În fig. 2.4 a este prezentat un calibrul pentru caneluri interioare (alezaj canelat) cu centrare pe diametrul mare, prevăzut cu un cep de ghidare,

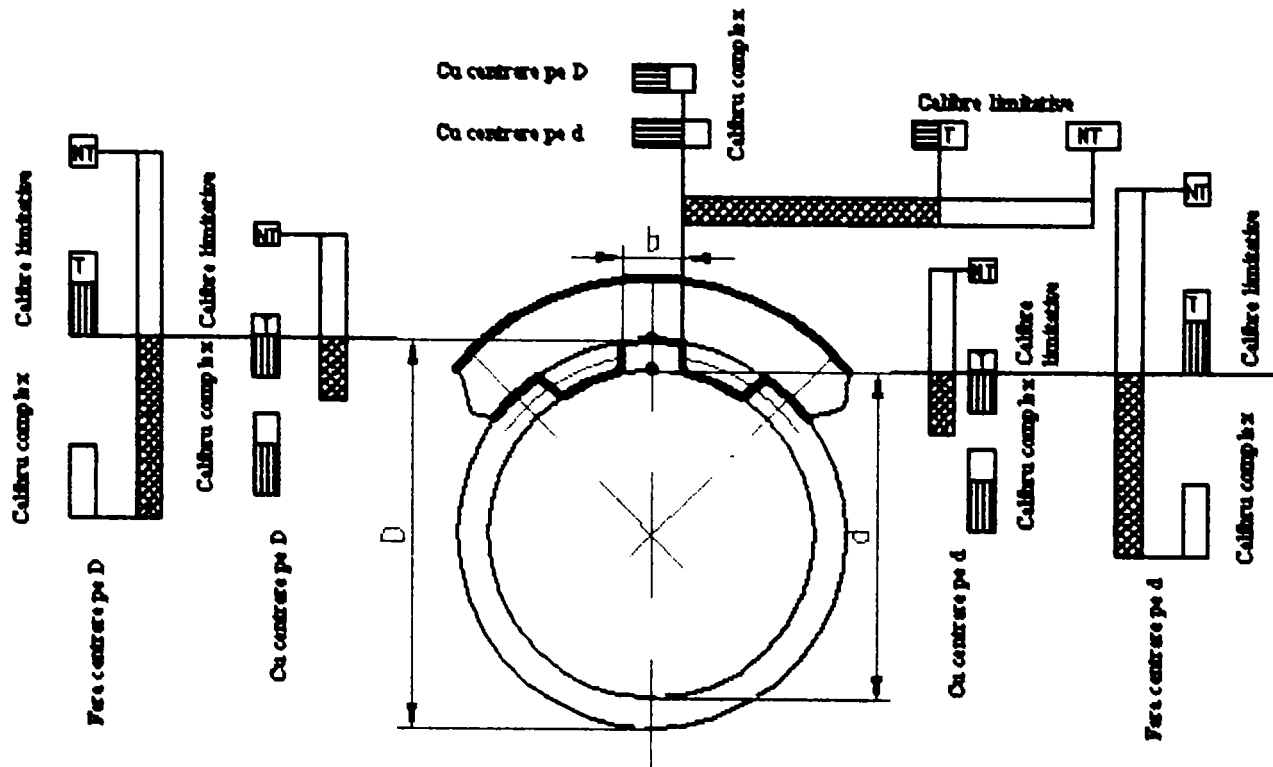


Fig. 2.5. Schema câmpurilor de toleranțe pentru calibre tampon

Abaterile de formă și poziție pentru îmbinările canelate cu profil dreptunghiular sunt limitate prin toleranțele de fabricație și de uzură ale calibrelor de complexitate, conform STAS 7088-64 (fig. 2.5 – pentru calibrele tampon complex de verificare a canelurii din butuci – și fig.2.6 – pentru calibrele inel complex de verificare a canelurii de pe arbori).

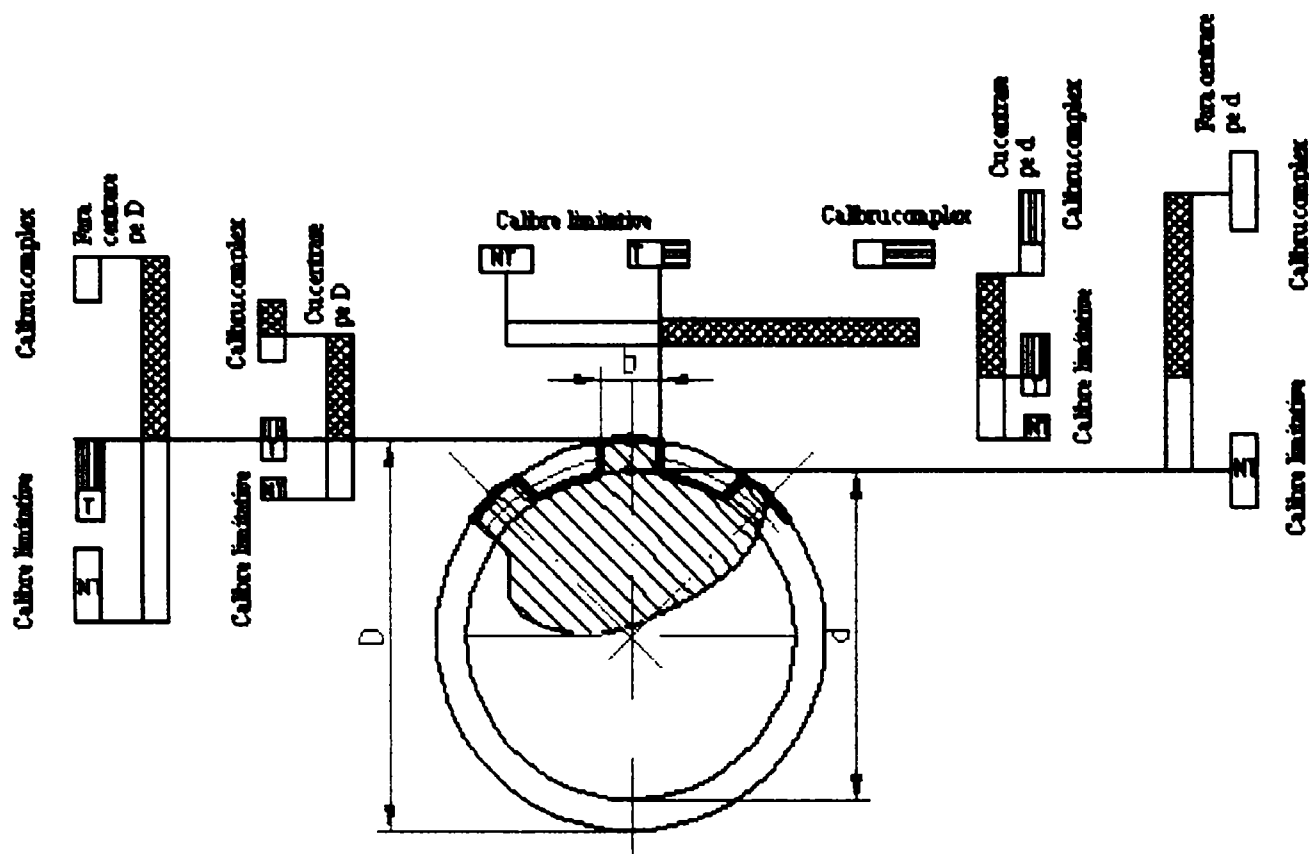
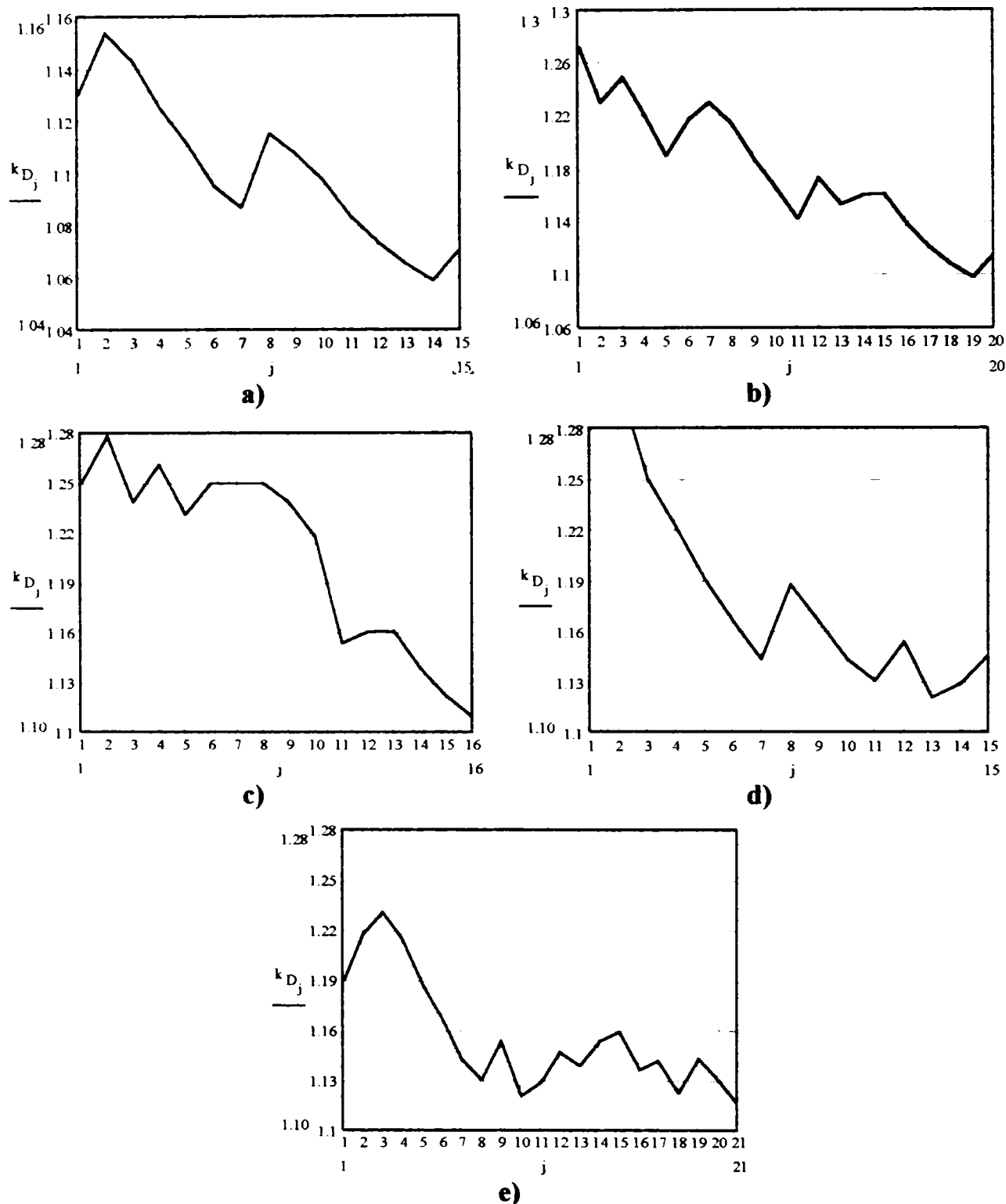


Fig. 2.6 Schema câmpurilor de toleranțe pentru calibre inel

Standardul impune și toleranțele erorilor de divizare și ale erorilor cumulate de divizare, atât pentru calibrele tampon complex, cât și pentru cele inel complex. De remarcat este faptul că, pentru suprafețele de centrare sunt impuse câmpuri de toleranță de ordinul micrometrilor ( $\mu\text{m}$ ), ca și pentru toleranța erorii de divizare, pentru toleranța cumulată de divizare recomandându-se câmpuri de toleranță între  $10 \mu\text{m}$  și  $20 \mu\text{m}$ . Toleranțele pentru suprafețele pe care nu se face centrarea sunt de ordinul zecilor de  $\mu\text{m}$ . Calibrele complexe trebuie să intre pe piesa verificată pe toată lungimea de control.

Seriile standardizate de dimensiuni pentru canelurile dreptunghiulare sunt recomandate fiecare pentru domenii de utilizare specifice, așa precum sugerează și denumirile lor standardizate – ușoară, mijlocie și grea. Seriile de dimensiuni mai ușoare utilizează, la același diametru interior, decisiv pentru capacitatea portantă la torsiune a arborelui, mai puțin material, canelurile fiind mai puțin proeminente (v. fig. 1.5.). De asemenea canelurile se execută mai ușor, îndepărtând mai puțin material și având acces mai bun pentru finisarea suprafețelor de centrare.

În cele ce urmează se studiază similitudinea geometrică (asemănarea) și similitudinea funcțională a seriilor standardizate de caneluri dreptunghiulare.



**Fig. 2.7. Coeficientul diametrului exterior: a) seria ușoară, b) seria mijlocie, c) seria grea, d) pentru mașini unelte – cu 4 caneluri, e) pentru mașini unelte – cu 6 caneluri (anexa 1).**

În fig. 2.7. se prezintă variația coeficientului diametrului exterior  $k_D$ :

$$k_D = \frac{D}{d} \quad (2.1)$$



Pentru toate tipurile de caneluri, diametrul exterior  $D$  scade de la 115 % (seria ușoară) – 130 % (seria grea) din diametrul interior  $d$ , pentru valorile mici ale acestuia până la 105 – 112 %, pentru cele mai mari caneluri.

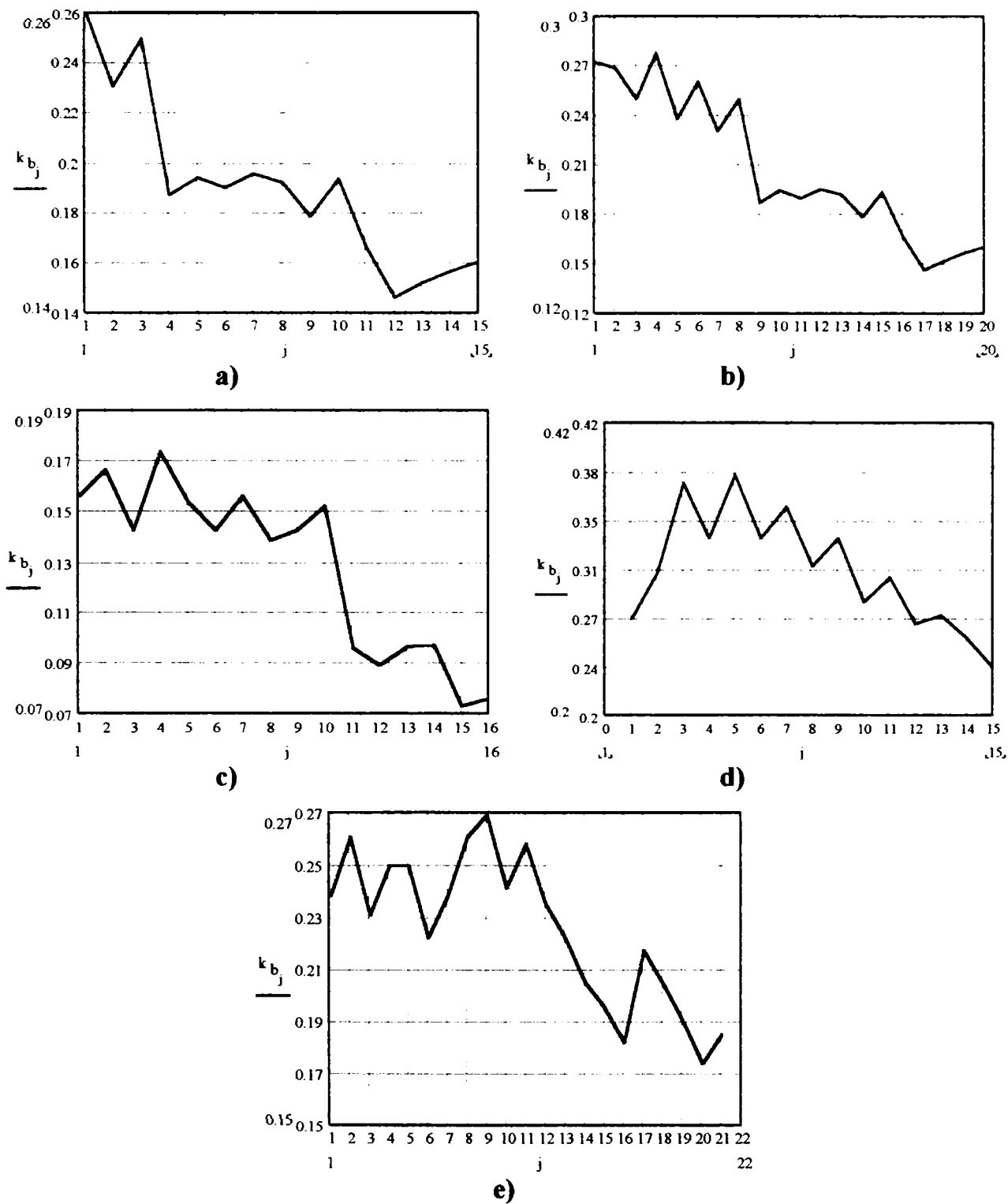
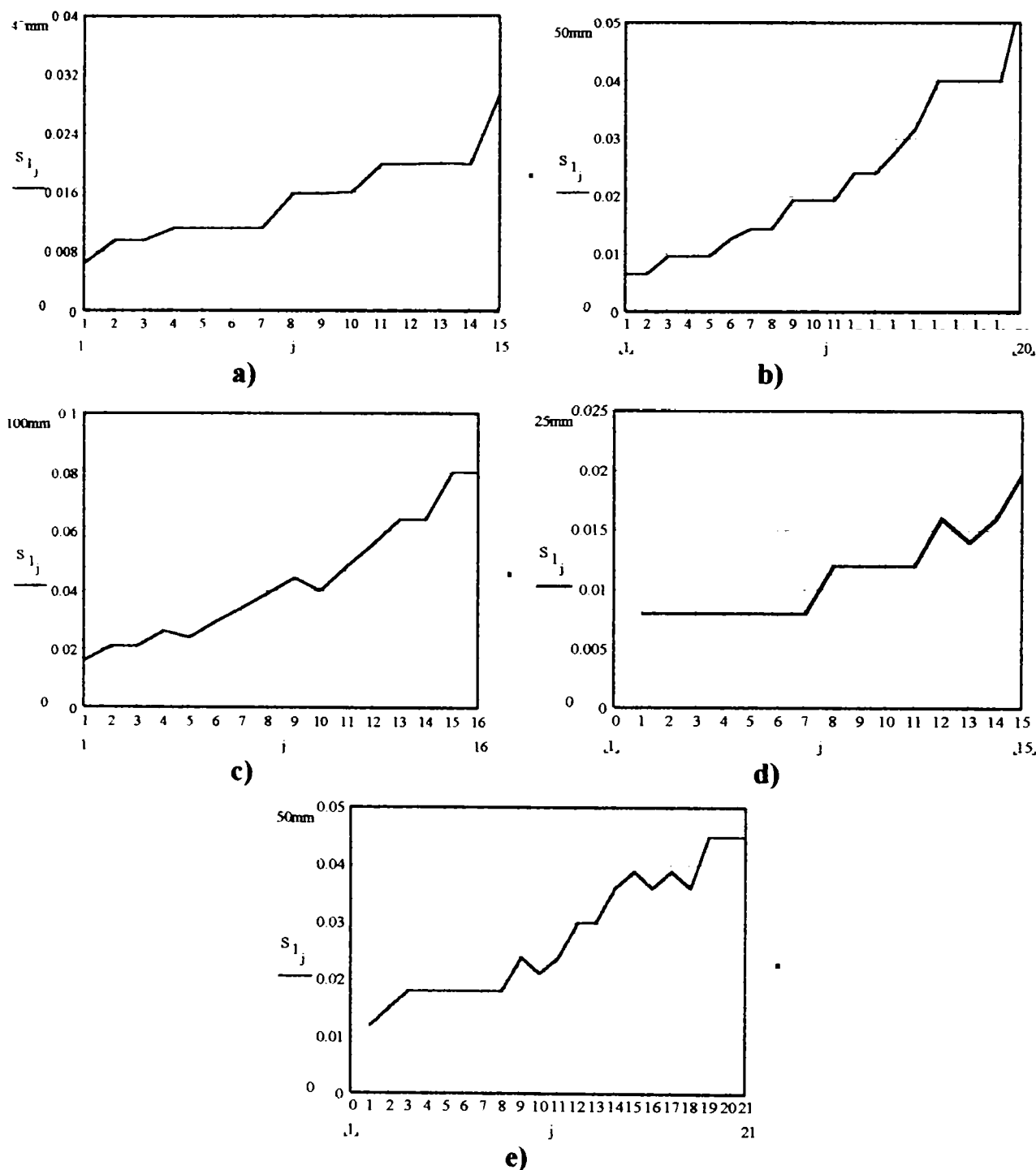


Fig. 2.8. Coeficientul lățimii canelurii: a) seria ușoară, b) seria mijlocie, c) seria grea, d) pentru mașini unelte – cu 4 caneluri, e) pentru mașini unelte – cu 6 caneluri (anexa 1).

Coeficientul de lățime  $k_b$ :

$$k_b = \frac{b}{d} \quad (2.2)$$

are o tendință similară. De remarcat însă este scăderea ponderii procentuale de la 25 -15% pentru seriile ușoare până la 16 - 8 % pentru seria grea. Acest fapt se explică prin necesitatea introducerii unui număr mai mare de caneluri pe periferia îmbinării.

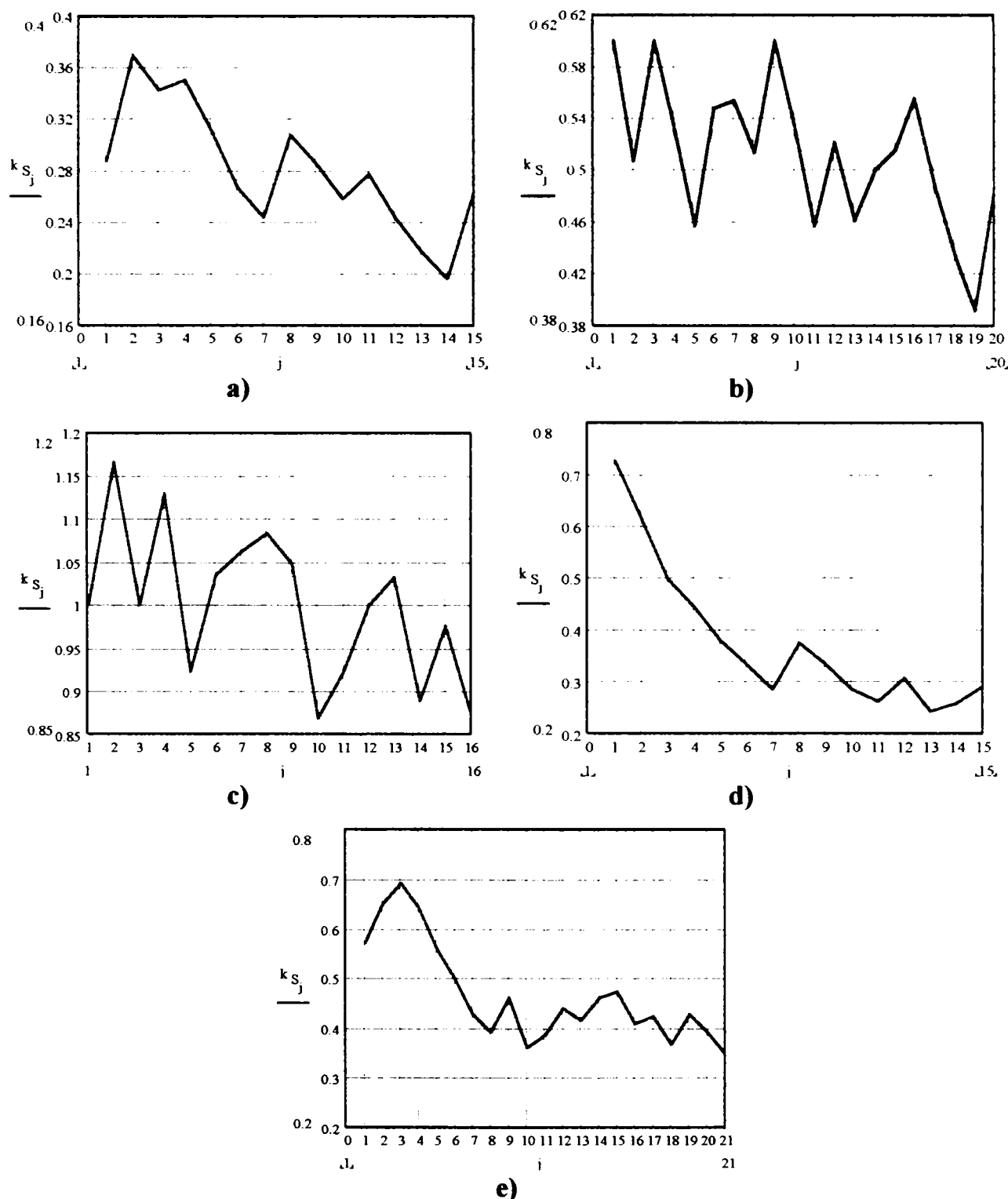


**Fig. 2.9. Suprafața portantă a flancului canelurii, pe unitatea de lungime: a) seria ușoară, b) seria mijlocie, c) seria grea, d) pentru mașini unelte – cu 4 caneluri, e) pentru mașini unelte – cu 6 caneluri (anexa 1).**

Suprafața portantă a flancului canelurii pe unitatea de lungime  $S_1$  [mm]:

$$S_1 = z \cdot \left( \frac{D-d}{2} - 2 \cdot c \right) \tag{2.3}$$

crește pentru toate tipurile de caneluri. Coeficientul suprafeței portante a flancului canelurii pe unitatea de lungime  $k_s$ :



**Fig. 2.10. Coeficientul suprafeței portante a flancului canelurii pe unitatea de lungime: a) seria ușoară, b) seria mijlocie, c) seria grea, d) pentru mașini unelte – cu 4 caneluri, e) pentru mașini unelte – cu 6 caneluri (anexa 1).**

$$k_s = \frac{S_1}{D} \quad (2.4)$$

scade însă pentru toate tipurile de caneluri. Astfel pentru seria ușoară acest coeficient variază de la 0,37 până la 0,20; pentru seria mijlocie de la 0,60 până la 0,40 și pentru seria grea de la 1,20 la

0,80. Pentru canelurile mașinilor unelte acest coeficient are valori cuprinse între 0,70 și 0,25 pentru cele cu 4 caneluri, respectiv 0,70 până la 0,35 la cele cu 6 caneluri.

Variațiile coeficienților studiați neagă asemănarea geometrică a canelurilor din aceleași serii de dimensiuni. Odată cu creșterea dimensiunilor îmbinării diametrele interior și exterior devin mai apropiate procentual; canelurile sunt din ce în ce mai subțiri față de diametrul interior.

Gruparea canelurilor pe serii de dimensiuni se face după ponderea capacității portante a îmbinării la solicitarea de contact pe suprafețele portante față de capacitatea portantă a arborelui la solicitarea de torsiune.

Se introduce coeficientul de portanță  $k_e$  definit ca raportul dintre momentul de răsucire capabil a fi transmis de suprafețele portante sollicitate la contact  $M_{cap_p}$

$$M_{cap_p} = 0,75 \cdot r_m \cdot S_l \cdot L \cdot p_a \quad (2.5)$$

unde  $r_m$  [mm] este raza medie a îmbinării:

$$r_m = \frac{D + d}{4} \quad (2.6)$$

$L$  [mm] este lungimea îmbinării și  $p_a$  este presiunea medie admisă pe suprafețele de contact, și momentul de răsucire capabil a fi transmis de arbore  $M_{cap_t}$ .

$$M_{cap_t} = W_p \cdot \tau_{at}, \quad (2.7)$$

unde  $W_p$  [mm<sup>3</sup>] este modulul de rezistență polar al secțiunii transversale prin arborele canelat și  $\tau_{at}$  tensiunea tangențială de torsiune admisă.

Pentru un arbore canelat plin expresia coeficientului  $k_e$  este:

$$k_e = \frac{6 \cdot d_m \cdot S_l \cdot L \cdot p_a}{\pi \cdot d_m^3 \cdot \tau_{at}} \quad (2.8)$$

Relațiile de definire a momentelor de răsucire capabile și valorile presiunii  $p_a = 10$  MPa și tensiunii tangențiale  $\tau_{at} = 35$  MPa admisibile sunt cele recomandate în standardele de calcul și îndrumătoarele de proiectare, pentru dimensionarea preliminară a îmbinărilor prin caneluri, respectiv a arborilor.

În fig. 2.11 sunt prezentate valorile acestui coeficient pentru seriile de dimensiuni standardizate, pentru lungimi relative ale butucului de 0,75; 1,0; 1,25; 1,5, 1,75 față de diametrul interior  $d$  al îmbinării.

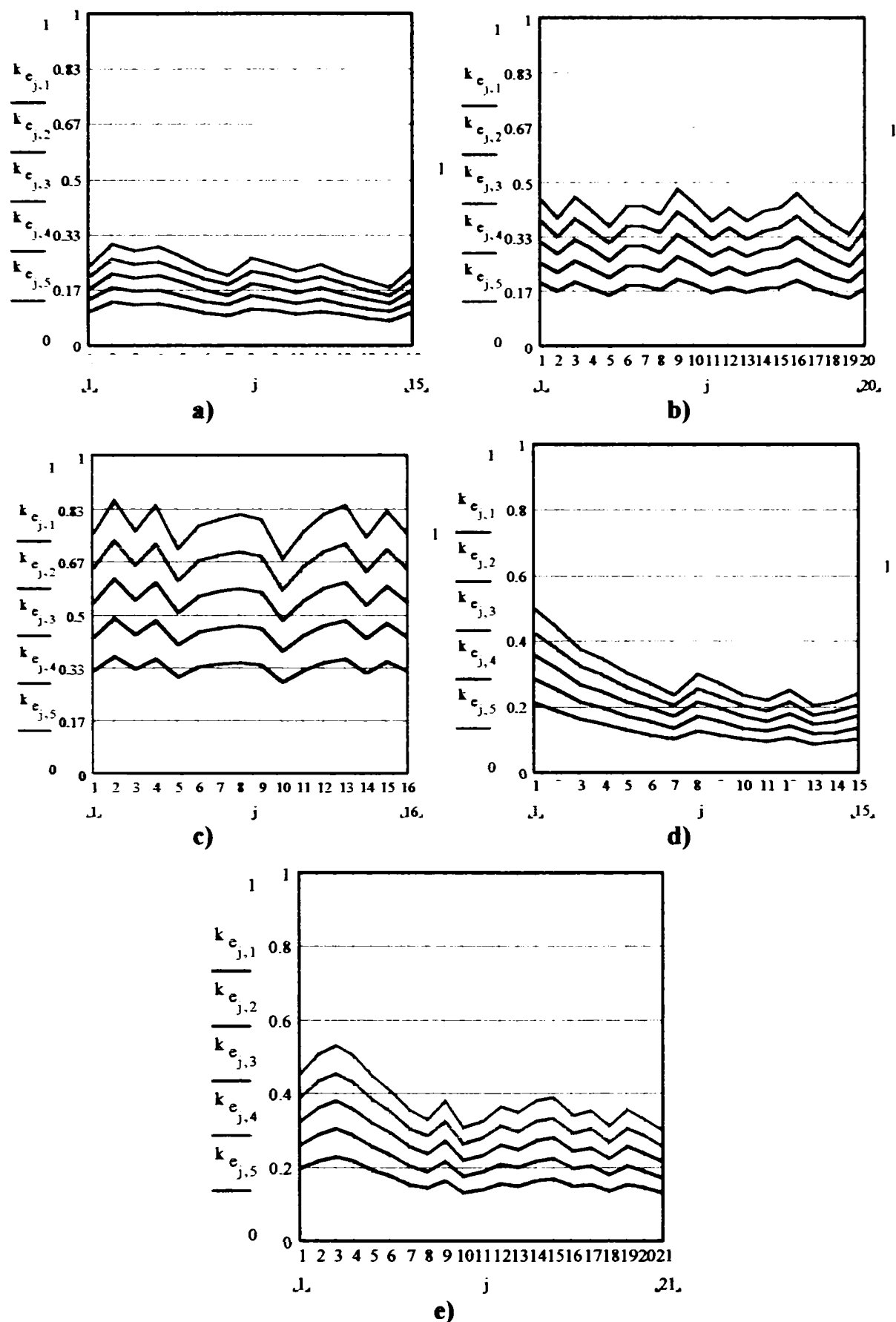


Fig. 2.11. Coeficientul echiportanță: a) seria ușoară, b) seria mijlocie, c) seria grea, d) pentru mașini unelte – cu 4 caneluri, e) pentru mașini unelte – cu 6 caneluri (anexa 1).

^ Canelurile dreptunghiulare seria ușoară utilizează 15 % (pentru lungimi de contact egale cu diametrul îmbinării) până la 33 % (pentru lungimi egale cu dublul diametrului îmbinării) din

capacitatea portantă a arborelui în timp ce seria mijlocie utilizează 20 % până la 50 % din capacitatea portantă a arborelui. Aceste tipuri de îmbinări se vor folosi cu precădere la arborii supradimensionați la rezistență la oboseală.

Condiția de echiportanță se poate realiza la canelurile din seria grea, atunci când lungimea îmbinării este egală cu dublul diametrului interior. Totuși, și îmbinările din această serie utilizează mai puțin de jumătate din capacitatea portantă a arborelui atunci când lungimea de contact nu depășește valoarea diametrului interior.

Canelurile pentru mașini unelte, cu valori ale coeficientului de portanță cuprinse între 0,1 și 0,4 pentru îmbinările cu 4 caneluri, respectiv 0,2 până la 0,5 pentru îmbinările cu 6 caneluri pot fi considerate serii de dimensiuni ușoare spre medii.

Valorile relative ale capacității portante a contactului pe caneluri față de capacitatea portantă la a arborelui sunt informative. Rapoartele reale ale capacităților portante se pot determina numai în cazuri concrete de proiectare, în care se iau în considerare toți factorii geometrici, de precizie, funcționali, etc.

## **§2.2. Studiul geometric al canelurilor evolventice**

Ca urmare a dezvoltării tehnologiilor, mașinilor unelte și sculelor de prelucrare a profilelor periodice prin rostogolire sau rulare, utilizarea îmbinărilor prin caneluri evolventice s-a extins. Prin acest procedeu de generare se pot obține arbori și butuci canelați mai ieftini și cu precizie ridicată.

Geometria canelurilor evolventice este definită, ca și cea a angrenajelor evolventice cu ajutorul profilelor de referință (fig. 2.12). Stabilite prin standardul STAS 12154 pentru cele trei tipuri de centrare: - pe flancuri CEF (fig. 2.12 a)), pe exterior CEE (fig. 2.12 b)) și pe interior CEI (fig. 2.12 c)), profilele de referință sunt profilele în secțiune normală ale cremalierelor de referință pentru canelurile evolventice de uz general utilizate în construcția de mașini, cu modulul cuprins între 1 mm și 10 mm. Pentru canelurile ce funcționează în condiții speciale se admite folosirea profilului de referință al danturilor evolventice sau profile de referință speciale.

Parametrii profilelor de referință sunt centralizați în tabelul 2.1.

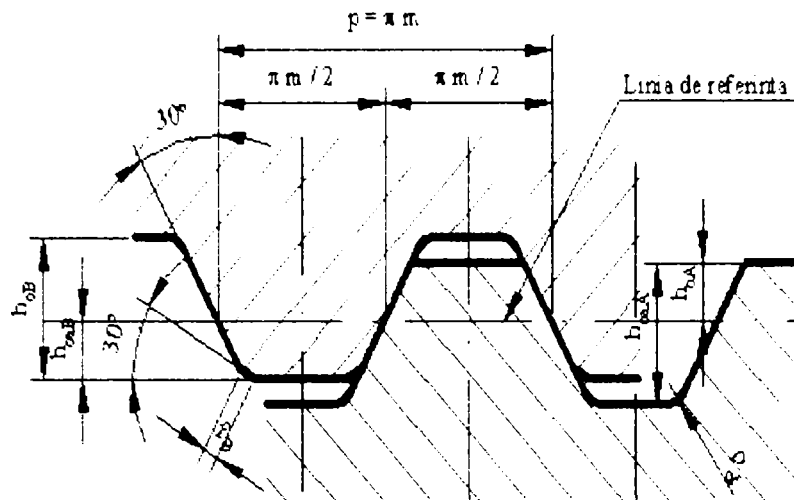
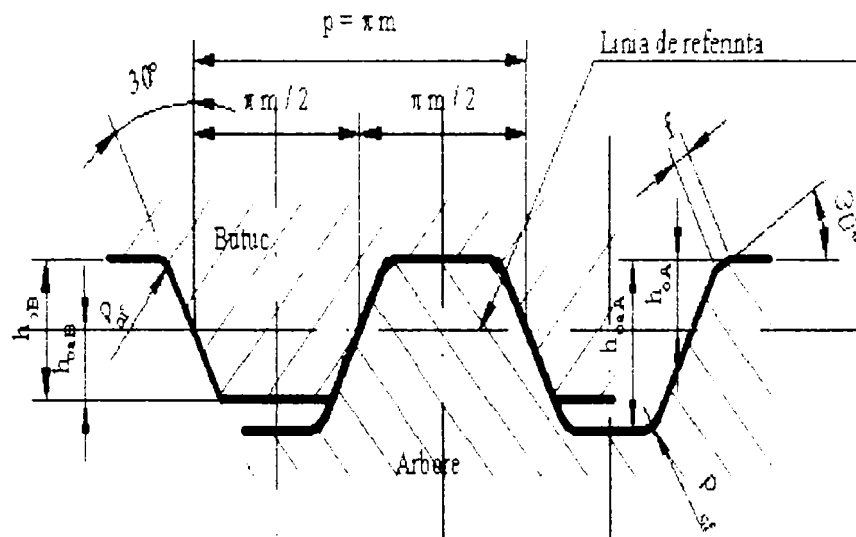
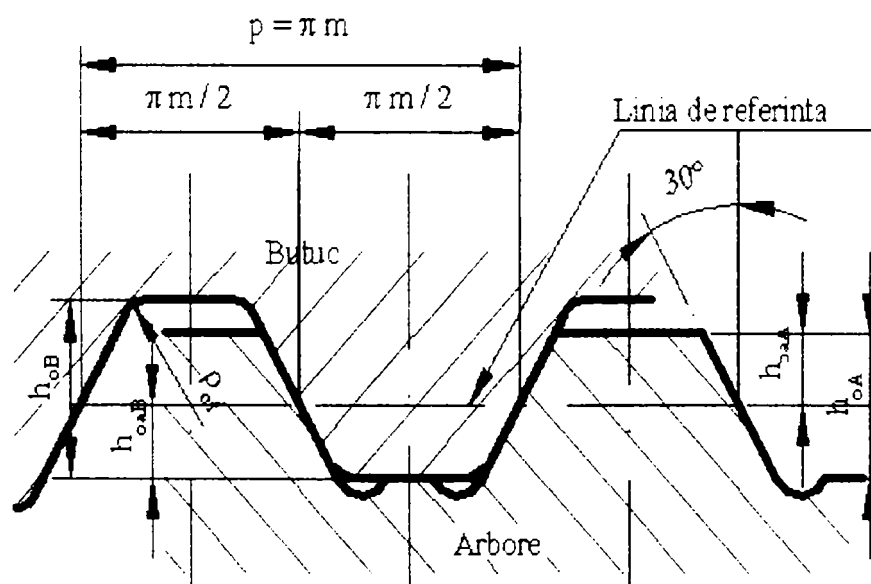


Fig. 2.12. a) Profile de referință ale danturilor arborilor și butucilor canelați tip CEF (centrare pe flancuri)



b). Profile de referință ale danturilor arborilor și butucilor canelați tip CEE (centrare pe diametrul exterior)



c) Profile de referință ale danturilor arborilor și butucilor canelați tip CEI (centrare pe diametrul interior)

Tabelul 2.1. Parametrii profilului de referință pentru canelurile în evolventă

Denumirea parametrului	Simbol	Tipul de centrare		
		CEF	CEE	CEI
Unghiul de presiune de referință	$\alpha_0$	30°		
Pasul	$p$	$\pi m$		
Raza de racordare de referință la picior	$\rho_{of}$	0.16 m		
a) Pentru profilul de referință al arborelui				
Înălțimea capului de referință	$h_{0aA}$	0,45 m		
Înălțimea dintelui de referință	$h_{0A}$	1,1 m	1,1 m	0,9 m
Lățimea teșiturii (flancării) capului	$f_A$	0	0,15 m	0
b) Pentru profilul de referință al butucului				
Înălțimea capului de referință		0,45 m		
Înălțimea dintelui de referință		1,1 m	0,9 m	1,1 m
Lățimea teșiturii (flancării) capului		0,15 m	0	0

Canelurile evolventice sunt mai scurte decât dinții angrenajelor evolventice cu același modul, înălțimea dintelui de referință fiind de numai  $h_{0A} = (0,9 \dots 1,1)$  m. Unghiul de presiune de referință  $\alpha_0$  este de 30°, mai mare decât la angrenajele evolventice ( $\alpha_{0n} = 20^\circ$ ). Cu ajutorul profilelor de referință se generează canelurile drepte și cele înclinate.

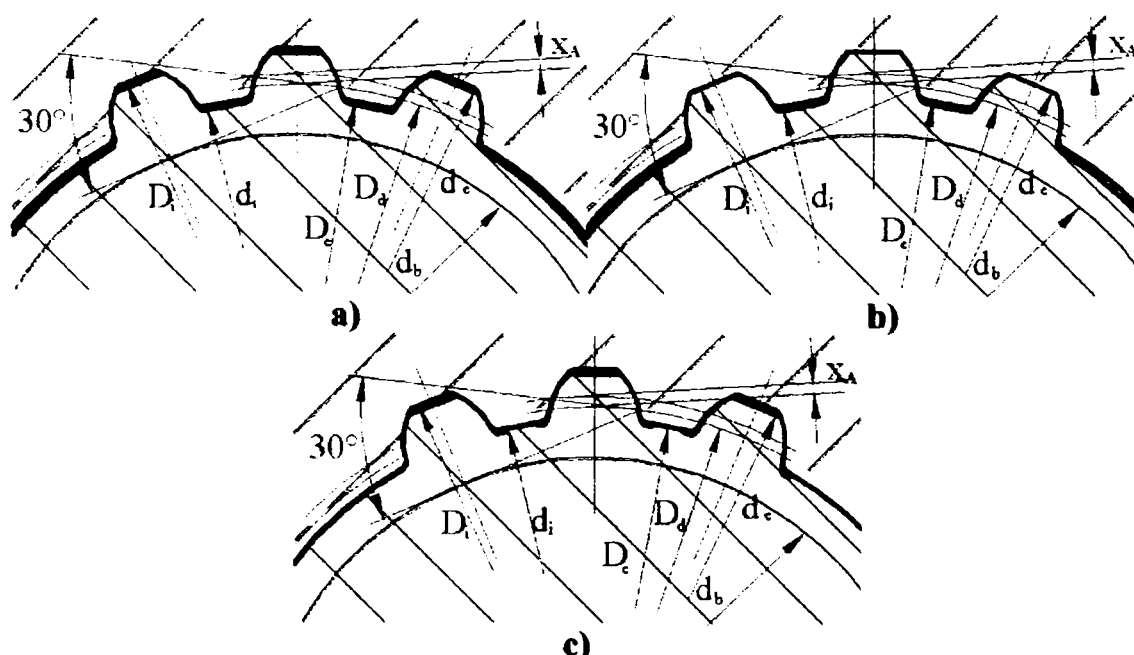


Fig. 2.13. Dimensiunile principale ale arborilor și butucilor canelați cu profil evolventic: a) cu centrare pe flancuri, b) cu centrare exterioară, c) cu centrare interioară

Forma profilelor frontale ale canelurilor este prezentată în fig. 2.13. Dimensiunile canelurilor evolventice cu dinți drepiți se determină cu relațiile prezentate în tabelul 2.2.



Tabelul 2.2 Relațiile de calcul pentru dimensiunile arborilor și butucilor canelați cu profil evolventic.

Denumirea parametrului	Simbol	Tipul de centrare		
		CEF	CEE	CEI
<b>Elemente comune</b>				
Diametrul nominal	D	Elemente caracteristice îmbinării		
Modulul	m			
Numărul de dinți	z			
Diametrul de divizare	d	m z		
Diametrul de bază	d <sub>b</sub>	d cosα <sub>0</sub>		
Pasul de divizare	p	π m		
Arcul de divizare al dintelui arborelui și Arcul de divizare al golului butucului	e s	$e = s = \frac{\pi \cdot m}{2} + 2 \cdot x_A \cdot \operatorname{tg} \alpha_0$		
<b>Elementele arborelui</b>				
Diametrul de cap	d <sub>a</sub>	D-0,2 m	D	D-0,2 m
Diametrul de picior	d <sub>f</sub>	D-2 h <sub>0A</sub>	D-2 h <sub>0A</sub>	D-2 h <sub>0A</sub>
Deplasarea nominală a profilului arborelui	x <sub>A</sub>	$\frac{D - 2 \cdot h_{0aA}}{2}$		
Diametrul începutului profilului	d <sub>l</sub>	d <sub>l</sub> ≤ D <sub>a</sub>		
<b>Elementele butucului</b>				
Diametrul de cap	D <sub>a</sub>	D-2 h <sub>0B</sub>	D-2 h <sub>0B</sub>	D-2 h <sub>0B</sub>
Diametrul de picior	D <sub>f</sub>	D		
Diametrul începutului profilului	D <sub>l</sub>	D <sub>l</sub> ≥ d <sub>a</sub>		

Gama modulelor pentru canelurile în evolventă este standardizată similar cu cea pentru angrenaje. Șirul I de valori  $m \in \{1,25; 2; 3; 5; 8\}$  este de preferat, șirul II  $m \in \{1; 1,5; 2,5; 4; 6; 10\}$  se utilizează numai în situațiile în care valorile din șirul I nu corespund.

Notarea unui arbore, respectiv butuc canelat cu caneluri în evolventă cuprinde: denumirea (arbore sau butuc); simbolul tipului de centrare; diametrul nominal [mm]; modul [mm]; simbolul toleranței și numărul standardului pentru dimensiunile canelurilor.

De exemplu un arbore canelat în evolventă cu centrare pe flancuri, având diametrul nominal  $D = 60$  [mm], modulul  $m = 2$  [mm] și câmpul de toleranță a grosimii dintelui 9g se notează:

**Arbore CEF 60 x 2-9g STAS 6858,**

iar un butuc canelat în evolventă cu centrare pe diametrul exterior având diametrul nominal  $D = 200$  [mm], modulul  $m = 8$  [mm] și câmpul de toleranță al diametrului de centrare H7, iar câmpul de toleranță al lărgimii golului 9H se notează:

**Butuc CEE 200 H7 x 8-9H STAS 6858.**

Îmbinarea prin caneluri se notează:

**CEE 120 H8/h7 x 4 – 9H/9g,**

unde 120 reprezintă diametrul nominal al îmbinării, în mm și 4 este modulul.

Pentru controlul îmbinărilor prin caneluri evolventice se utilizează, similar cu controlul angrenajelor cota peste / între role și cota peste  $n$  dinți / goluri. Dimensiunile de control se calculează în funcție de elementele caracteristice ale îmbinării și parametrii profilului de referință.

Cota peste dinți se calculează cu relația:

$$W_n = \left[ \pi \cdot (N - 0,5) + 2 \cdot \frac{x_A}{m} \cdot \operatorname{tg} \alpha_0 + z \cdot \operatorname{inv} \alpha_0 \right] \cdot m \cdot \cos \alpha_0 \quad (2.9)$$

unde  $N$  este numărul de dinți / goluri peste care se măsoară cota  $W_n$ .

Numărul teoretic de dinți pentru măsurarea cote  $W_n$  se calculează cu relația:

$$N = \frac{z}{\pi} \cdot \left( \operatorname{tg} \alpha_{w_n} - \frac{2 \cdot x_A}{d} \cdot \operatorname{tg} \alpha_0 - \operatorname{inv} \alpha_0 \right) \quad (2.10)$$

unde unghiul de presiune de referință  $\alpha_{w_n}$  este:

$$\alpha_{w_n} = \arccos \frac{\cos \alpha_0}{1 + \frac{2 \cdot x_A}{d}} \quad (2.11)$$

Pentru măsurare se adoptă numărul de dinți obținut prin rotunjirea la întregul cel mai apropiat al numărului teoretic calculat cu relația (2.10).

Pentru măsurarea cotei peste bile  $M_A$  (la verificarea arborilor canelați) se utilizează bile cu diametrul  $D_M = 2m$ , iar pentru măsurarea cotei între bile  $M_B$  (pentru controlul butucilor canelați) diametrul bilelor de control se alege  $D_M = 1,75m$ . Cotele peste bile se calculează cu relația:

$$M_A = 2 \cdot r_b + D_M \quad (2.12)$$

pentru număr par de caneluri, respectiv:

$$M_A = 2 \cdot r_b \cdot \cos \frac{\pi}{2 \cdot z} + D_M \quad (2.13)$$

pentru număr impar de caneluri.

Pentru verificarea butucilor canelați, cota între bile de calculează, pentru caneluri cu număr par, cu formula:

$$M_B = 2 \cdot r_b - D_M, \quad (2.14)$$

iar pentru număr impar de caneluri cu formula:

$$M_B = 2 \cdot r_b \cdot \cos \frac{\pi}{2 \cdot z} - D_M. \quad (2.15)$$

În relațiile (2.12; ...2.15)  $r_b$  este raza centrului bilelor, care se determină astfel:

$$r_b = \frac{d \cdot \cos \alpha_0}{2 \cdot \cos \alpha_b} \quad (2.16)$$

unde  $\alpha_b$  este unghiul de presiune al centrelor bilelor:

$$\text{inv} \alpha_b = \text{inv} \alpha_0 \mp \left( \frac{\pi}{2 \cdot z} + 2 \cdot \frac{x_A}{d} \text{tg} \alpha_0 + \frac{D_M}{d_b} \right), \quad (2.17)$$

semnul – corespunzând canelurii exterioare (de pe arbore), iar semnul +, celei interioare (din butuc).

Toleranțele și ajustajele pentru arborii și butucii cilindrici cu canelură evolventică sunt stabilite de STAS 7338, în funcție de modul de centrare. Pentru grosimea arcului unui dinte, respectiv pentru lărgimea arcului golului, se stabilesc trei abateri limită: superioară, inferioară și complexă. Abaterea cumulează abaterile de poziție ale canelurilor, erorile profilului, etc. și se verifică cu ajutorul unui calibru complex – Trece, sub formă de inel canelat pentru arbore, respectiv tampon canelat pentru butuc.

Pentru lărgimea golului se recomandă câmpurile de toleranță 7H, 9H sau 11H, iar pentru grosimea dintelui, câmpurile: 9h și 9g. Diametrele de cap și de picior ale arborilor și butucilor cu canelură în evolventă se aleg din sistemul de toleranțe și ajustaje ISO pentru suprafețe lise. Ajustajele recomandate pentru diametrele îmbinării sunt:

- pentru centrare pe flanc, diametrul de vârf al arborelui  $d_a$ : d9; h12, diametrul de vârf al butucului D: H11;
- pentru centrarea pe diametrul exterior D (diametrul de cap al arborelui și diametrul de picior al butucului), se aleg ajustajele: h7 / js6, H7 / h6 și H7 / g6, diametrul de vârf al butucului  $D_a$ : H11;

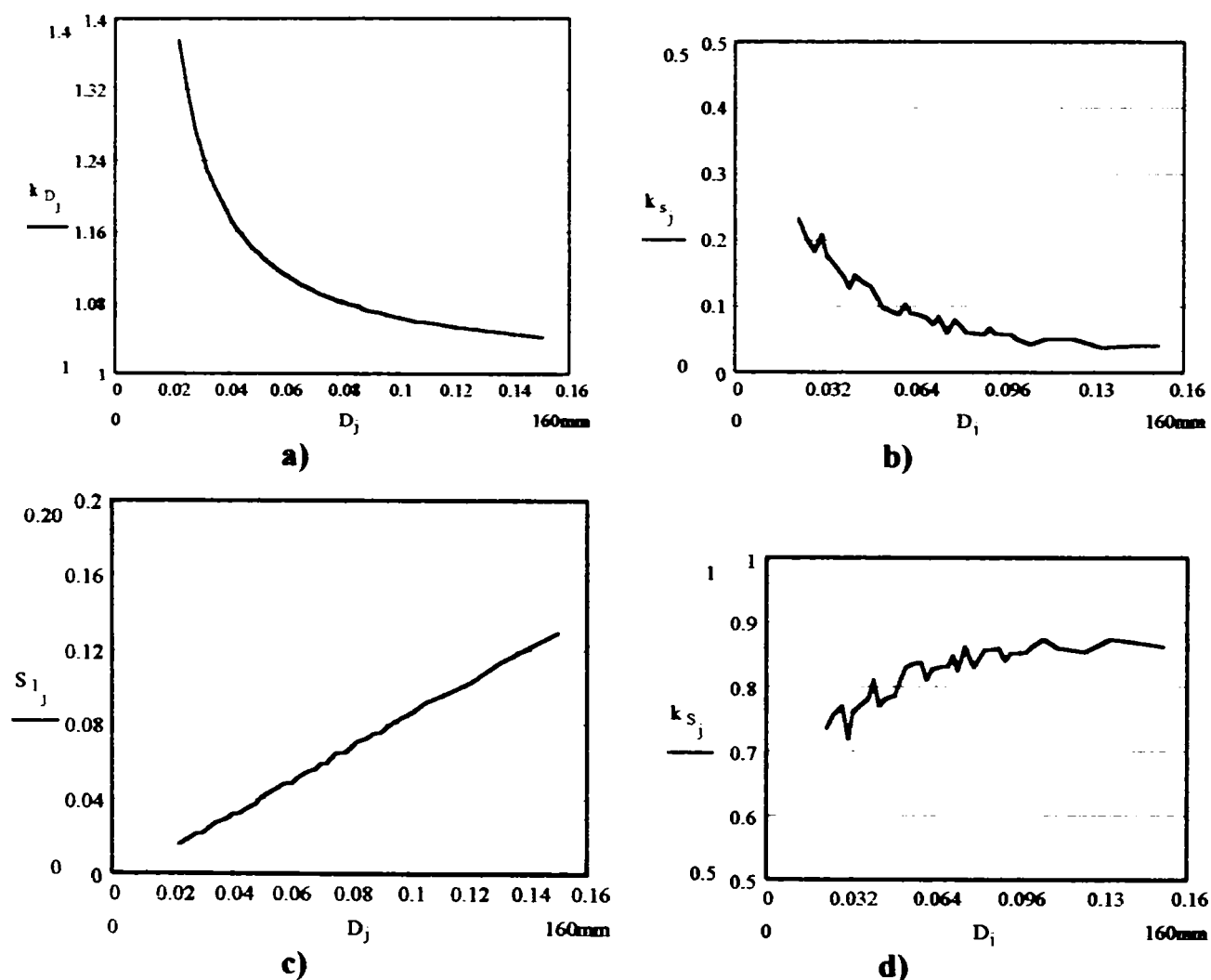
Toleranța complexă și bătaia radială sunt prescrise în clasele de precizie 7 ... 11.

Similitudinea canelurilor evolventice se studiază utilizând coeficienți similari cu cei folosiți la studiul canelurilor dreptunghiulare.

Coeficientul de diametru  $k_D$  se definește ca raportul dintre diametrul nominal D și diametrul de cap al canelurii butucului.

$$k_D = \frac{D}{D_a} = \frac{1}{1 - \frac{2 \cdot h_{0B}}{D}} = \frac{1}{1 - \frac{2 \cdot h_{0B}}{m \cdot \left( z + 2 \cdot \left( \frac{h_{0aB}}{m} + \frac{x_A}{m} \right) \right)}} \quad (2.18)$$

Parametrii  $h_{0aB}$  și  $h_{0B}$  sunt definiți (tab. 2.1), în funcție de tipul de centrare, proporțional cu modulul  $m$  al îmbinării. Coeficientul  $k_D$  scade hiperbolic odată cu creșterea numărului de caneluri  $z$ , respectiv a diametrului nominal  $D$  (v. fig. 2.14.a)).



**Fig. 2.14. Coeficienții de asemănare pentru îmbinările canelate cu profil evolventic cu modulul  $m = 3$ : a) coeficientul de diametru, b) coeficientul grosimii dintelui, c) suprafața portantă a flancului canelurii pe unitatea de lungime, d) coeficientul suprafeței portante a flancului canelurii pe unitatea de lungime (anexa 2).**

Pentru a studia variația relativă a grosimii canelurilor se utilizează coeficientul de grosime a canelurii  $k_s$ :

$$k_s = \frac{s}{D} = \frac{\frac{\pi}{2} + 2 \cdot \frac{x_A}{m} \cdot \operatorname{tg} \alpha_0}{z + 2 \cdot \left( \frac{h_{0aB}}{m} + \frac{x_A}{m} \right)} \quad (2.19)$$

care scade, de asemenea, hiperbolic cu creșterea dimensiunii îmbinării (v. fig. 2.14. b)).

Suprafața portantă a flancului canelurilor pe unitatea de lungime  $S_1$ :

$$S_1 = z \cdot \frac{d_a - D_a}{2} = z \cdot (h_{0aA} + h_{0aB}) \quad (2.20)$$

crește proporțional cu dimensiunea (v. fig. 2. 14.c))iar coeficientul suprafeței portante  $k_s$ :

$$k_s = \frac{S_1}{D} = \frac{\frac{h_{0aA}}{m} + \frac{h_{0aB}}{m}}{1 + \frac{2}{z} \cdot \left( \frac{h_{0aB}}{m} + \frac{x_A}{m} \right)} \quad (2.21)$$

crește asimptotic spre valoarea limită  $k_{slim}$  (v fig. 2.14.d)):

$$k_{slim} = \frac{h_{0aA}}{m} + \frac{h_{0aB}}{m} = 0,9. \quad (2.22)$$

Coeficientul de portanță  $k_e$  se definește ca:

$$k_e = \frac{M_{cap p}}{M_{cap t}} = \frac{6}{\pi} \cdot \left( \frac{h_{0aA}}{m} + \frac{h_{0aB}}{m} \right) \cdot \frac{L}{d} \cdot \frac{p_a}{\tau_{at}}, \quad (2.23)$$

și are variația prezentată în figura 2.15, pentru canelurile evolventice cu modulele din șirul I, pentru valori ale raportului  $L / d$  cuprinse între 0,75 (curba inferioară) și 1,75 (curba superioară).

Coeficientul de portanță este practic independent de modulul îmbinării și indică apropierea de condiția de echiporanță atunci când lungimea de contact  $L$  se apropie de dublul diametrului nominal  $D$ , similar cu canelurile dreptunghiulare din seria grea. Discutabilă este însă ipoteza că tot 75% din caneluri preiau sarcina, având în vedere numărul lor mult mai mare decât la canelurile dreptunghiulare. Abaterile de pas ale canelurilor de pe arbore și din butuc pot reduce semnificativ aria suprafeței de contact sub sarcină și astfel să afecteze portanța îmbinării la solicitarea de contact. Coeficientul de portanță are, în aceste condiții, valori mai scăzute.

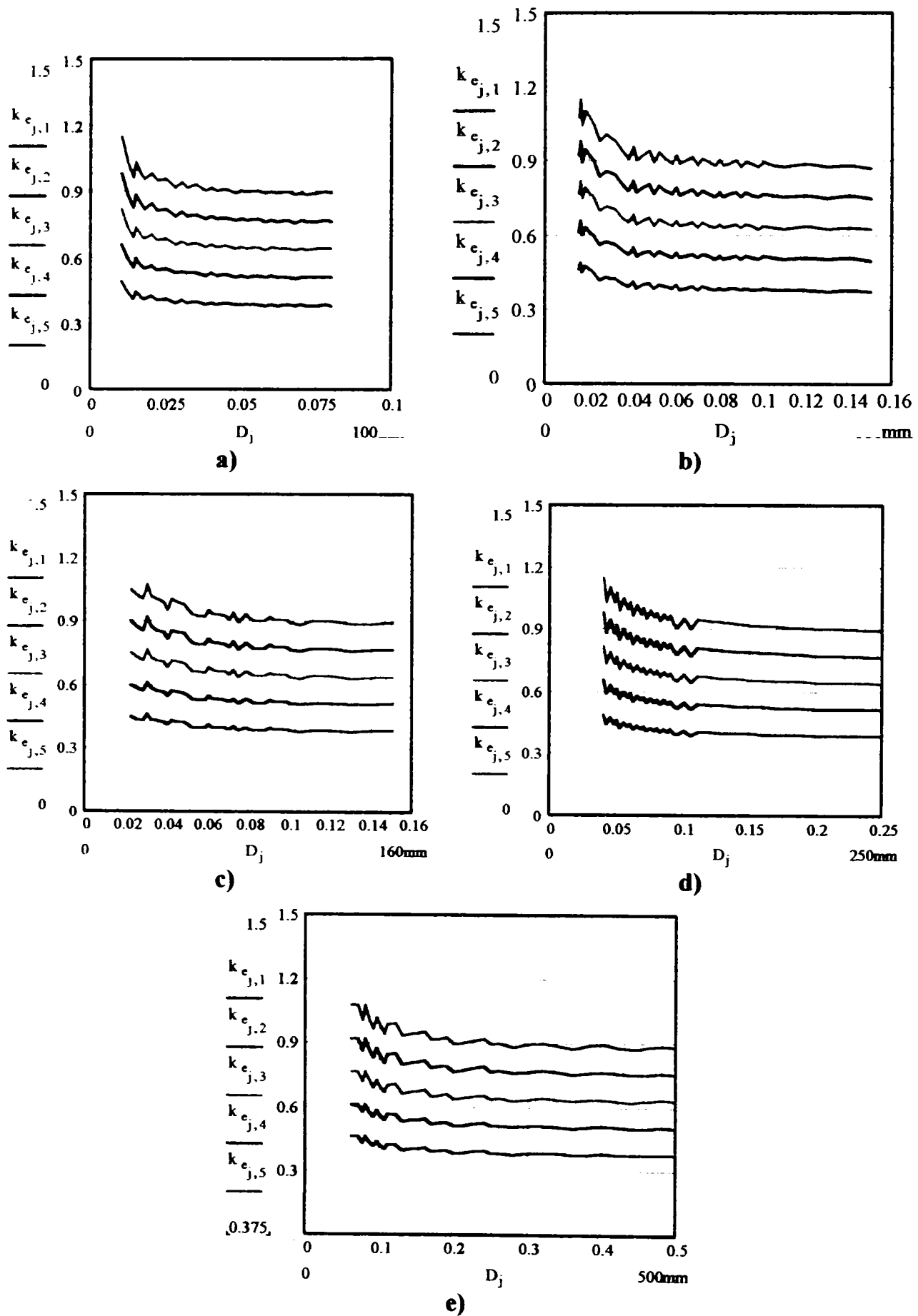


Fig. 2.15. Coeficientul echiportanță: a)  $m = 1,25$  mm, b)  $m = 2$  mm, c)  $m = 3$  mm, d)  $m = 5$  mm, e)  $m = 8$  mm (anexa 2).

### §2.3. Studiul geometric al canelurilor triunghiulare

Pentru îmbinări fixe, la care este necesară poziționarea unghiulară la montaj cu unghiuri discrete dar relativ mici (pârghii, roti sau brațe de manevră, manivele, etc.), se utilizează îmbinările cu caneluri triunghiulare.

Aceste caneluri sunt standardizate în două variante de profile (STAS 7346) cu suprafața flancurilor canelurilor plană, atât la arbore cât și la butuc, pentru diametrele nominale cuprinse între 8 mm și 60 mm (fig. 2.16), și cu flancuri evolventice la arbore și plane la butuc, pentru diametre de la 65 mm la 120 mm.

Diametrul nominal  $D$  al îmbinării este egal cu diametrul de cap al arborelui. Diametrul de divizare  $d$  este diametrul cercului pe care arcul canelurii de pe arbore este egal cu cel al canelurii din butuc:

$$e = s = \frac{p}{2} = \frac{\pi \cdot d}{2 \cdot z}, \quad (2.24)$$

unde  $z$  este numărul de caneluri.

Unghiul dintre flancurile golului dintre canelurile arborelui ( $\beta = 60^\circ$  la canelurile cu flancuri plane) este egal cu unghiul canelurii din butuc și cu unghiul sculei de canelat arborele. Unghiul canelurii de pe arbore  $\gamma$ , egal cu unghiul golului din butuc și cu unghiul sculei de canelat interior (pentru prelucrarea butucului) și se calculează cu relația:

$$\gamma = \beta - \frac{360^\circ}{z}. \quad (2.25)$$

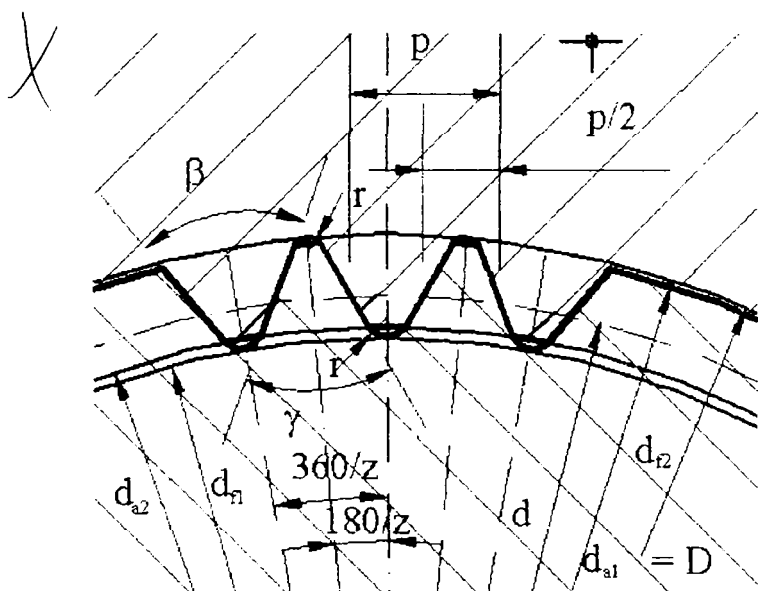
Canelurile arborelui cu flancuri evolventice sunt similare cu cele ale îmbinării  $d = 1.5$  mm. Unghiul canelurii din butuc este dublul unghiului de presiune pe diametrul de contact, și este indicat în standard.

Canelurile cu profil triunghiular se execută în două clase de precizie: normală (N) și ridicată (R).

Arborii și butucii canelați cu profil triunghiular se notează prin indicarea

diametrului nominal, a clasei de precizie și a standardului de dimensiuni:

**Arbore canelat 20 (R) STAS 7346-83.**



**Fig. 2. 16. Geometria canelurilor triunghiulare**

Toleranțele prevăzute în STAS 8489 asigură un ajustaj cu joc, pentru îmbinările de uz general. Pentru îmbinări speciale, cu strângere sau cu ajustaj intermediar, în documentația de execuție trebuie precizate valorile toleranțelor și ajustajelor specifice.

Canelurile triunghiulare ale îmbinărilor solicitate cu moment de răsucire reversibil se execută numai în clasa de precizie ridicată.

Precizia de execuție a îmbinărilor prin caneluri triunghiulare se verifică cu calibre limitative TRECE – NU TRECE. Abaterile de formă și poziție ale canelurilor arborelui și butucului sunt incluse în câmpul de toleranțe. Centrarea făcându-se numai pe flancuri diametrele necentrante (de cap și de picior) se execută în câmpurile de toleranță  $A11$ , respectiv  $A11$ .

Îmbinările cu caneluri triunghiulare se verifică și prin măsurarea cotei peste / între role. Determinarea cotelor  $M_a$  și  $M_b$  pentru măsurarea arborelui și butucului se face cu relațiile (2.12-2.15) similar cu îmbinările prin caneluri evolventice.

De remarcat sunt însă, valorile mari (de ordinul zecimilor sau sutimilor de milimetru) atât pentru arbore, cât și pentru butuc, chiar la îmbinările din clasa de precizie ridicată. Așa cum se va demonstra în capitolul 5, îmbinările prin caneluri triunghiulare nu pot compensa aceste erori (pentru asigurarea contactului a cel puțin 75 % din canelurile conjugate) decât prin deformare plastică. Acesta este motivul pentru care caneluri triunghiulare sunt utilizate numai la realizarea îmbinărilor fixe.

Studiul asemănării canelurilor triunghiulare se face cu relații similare ca și cel al canelurilor dreptunghiulare. Coeficientul de diametru  $k_D$ , cu valori mai mici decât la canelurile evolventice, este similar ca valori canelurilor dreptunghiulare din seriile ușoară și medie. Coeficientul de lățime  $k_p$  are valori foarte reduse (lățimea medie a canelurii în jur de 5 % din diametrul nominal) mult mai mici decât chiar la seria ușoară a canelurilor dreptunghiulare și comparabil doar cu cel de la canelurile evolventice cu module până la 1,5 mm. Suprafața portantă pe unitatea de lungime  $S_1$  are însă, valori mai mari decât oricare dintre seriile de caneluri dreptunghiulare. Numai canelurile evolventice cu modul mai mare sau egal cu 1,5 realizează suprafețe portante comparabile sau mai mari. Din acest motiv, aparent, îmbinările prin caneluri triunghiulare au capacități portante foarte mari. Coeficientul de portanță  $k_e$  indică valori supraunitare (capacitate portantă la solicitarea de contact a flancului mai mare decât capacitatea portantă la torsiune a arborelui) chiar la rapoarte  $L/D$  subunitare. În realitate, capacitatea portantă la contact este mai redusă datorită numărului mai mic de 75 % din caneluri aflate în contact și a repartiției nefavorabile a încărcării pe lungimea îmbinării.



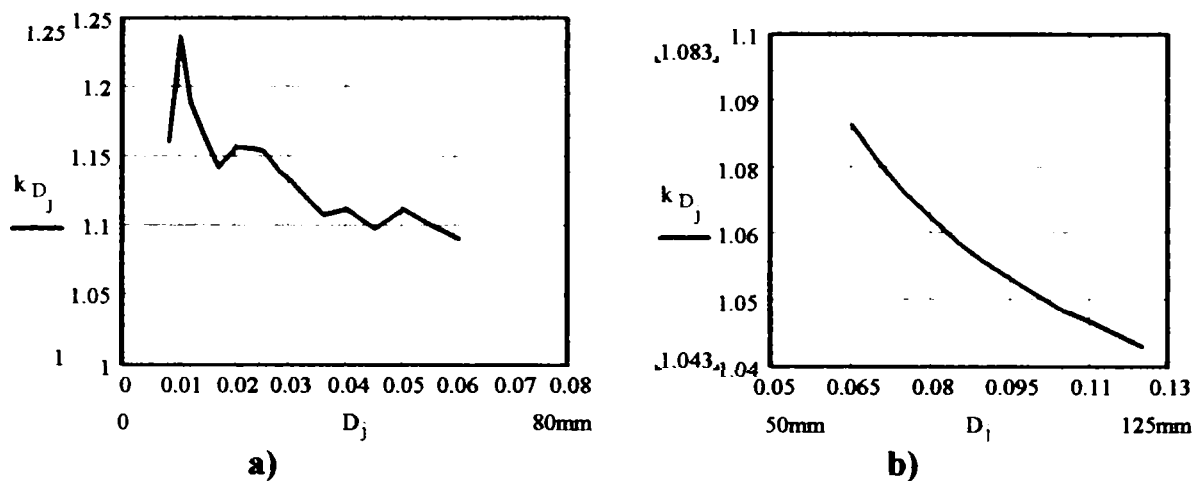


Fig. 2.16. Coeficientul diametrului exterior: a) pentru diametre cuprinse între 8 mm și 60 mm, b) pentru diametre cuprinse între 65 mm și 120 mm (anexa 3)..

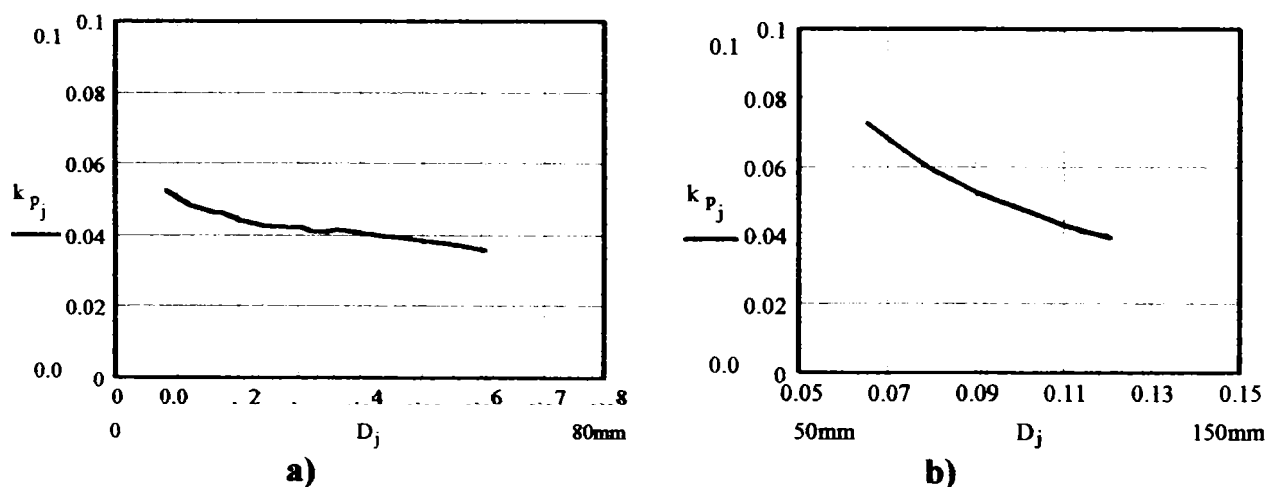


Fig. 2.17. Coeficientul grosimii dintelui: a) pentru diametre cuprinse între 8 mm și 60 mm, b) pentru diametre cuprinse între 65 mm și 120 mm (anexa 3).

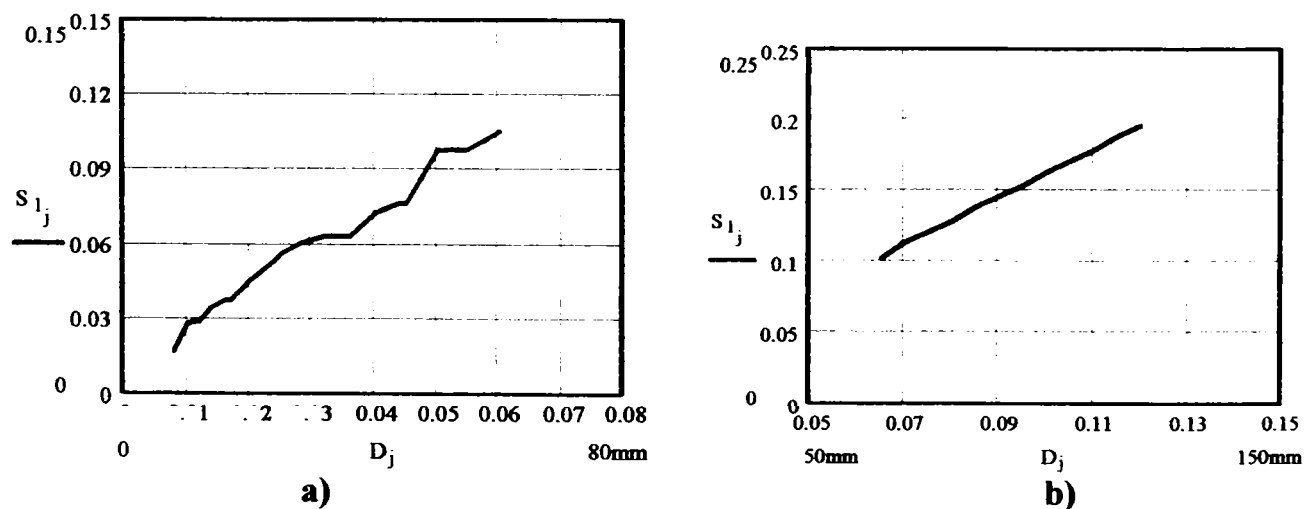


Fig. 2.18. Suprafața portantă a flancului pe unitatea de lungime: a) pentru diametre cuprinse între 8 mm și 60 mm, b) pentru diametre cuprinse între 65 mm și 120 mm (anexa 3).

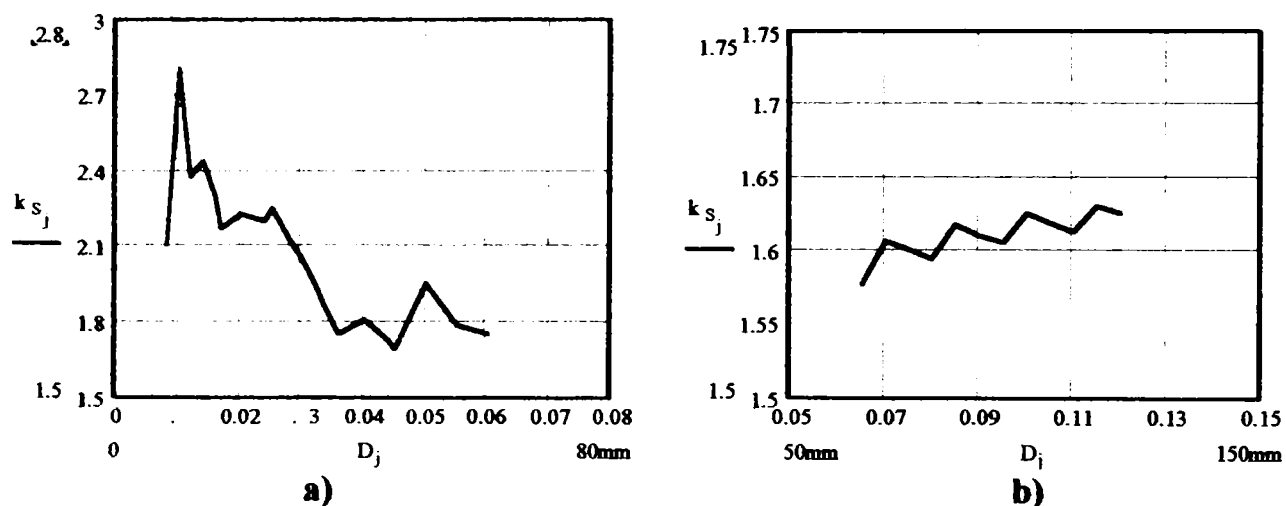


Fig. 2.19. Coeficientul suprafeței portante: a) pentru diametre cuprinse între 8 mm și 60 mm, b) pentru diametre cuprinse între 65 mm și 120 mm (anexa 3).

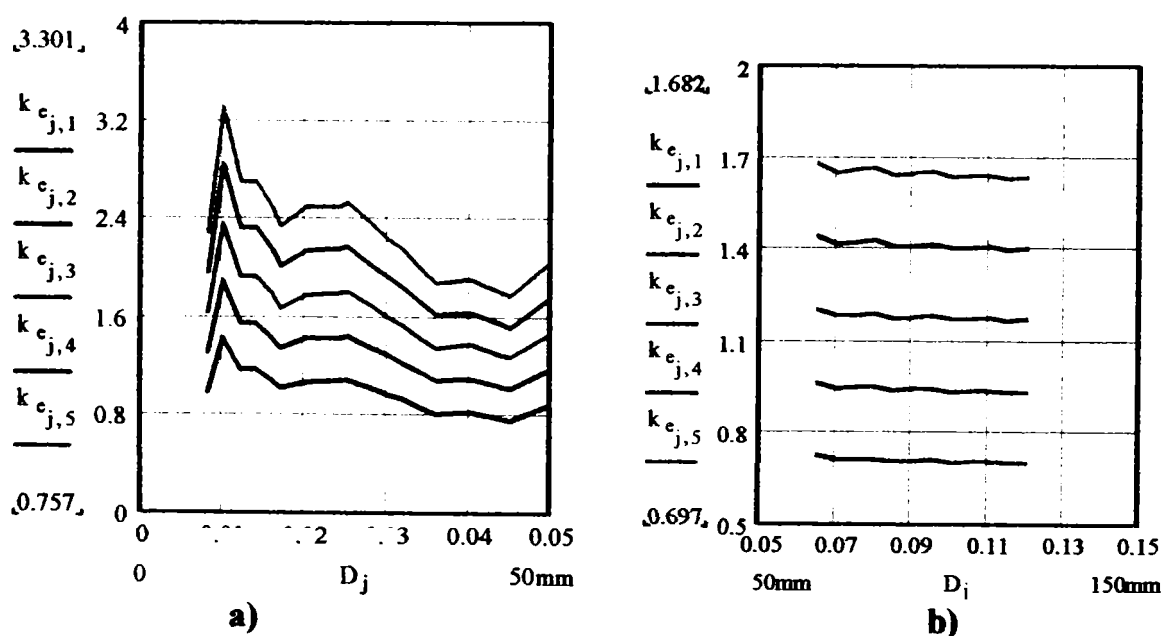


Fig. 2.20. Coeficientul de portanță: a) pentru diametre cuprinse între 8 mm și 60 mm, b) pentru diametre cuprinse între 65 mm și 120 mm (anexa 3).

Coeficienții de asemănare geometrică și cei de portanță vor fi folosiți în capitolele 5 și 6 pentru determinarea unor relații simplificate de calcul a capacității portante a îmbinărilor prin caneluri la contact, dar care să țină seama de fenomenele de transfer de sarcină pe suprafețe extinse și de influența abaterilor geometrice asupra repartiției sarcinii.

## Capitolul 3.

### Repartiția sarcinii pe suprafețele portante multiple ale îmbinării

#### §3.1. Cauzele neuniformității încărcării suprafețelor portante multiple

În calculul de rezistență a îmbinărilor arbore-butuc prin caneluri, pentru toate cele trei tipuri, se determină încărcarea medie  $F_m$  pe una din suprafețele portante multiple ale îmbinării:

$$F_m = \frac{2 \cdot T}{d_m \cdot z}, \quad (3.1)$$

unde :  $T$  [mNm] este momentul de torsiune la care este solicitată îmbinarea,

$$T = k_a \cdot T_n, \quad (3.2)$$

unde  $k_a$  [-] - coeficientul dinamicii exterioare , dependent de natura mașinii motoare și a mașinii de lucru;

$T_n$  [mNm] - momentul de torsiune nominal ;

$z$  [-] - numărul de suprafețe portante ale îmbinării;

$d_m$  [ mm ] - diametrul mediu de contact între suprafețele portante.

Încărcarea reală  $F_i$  a suprafeței  $i$  diferă în general de cea medie datorită:

a) abaterilor geometrice (de pas) ale profilului arborelui și butucului, datorate erorilor de prelucrare. Nedeterminarea statică a sistemului (v. §1.1.), corelată cu aceste abateri impune ca, la începutul încărcării ( $T \rightarrow 0$ ), din perechile de suprafețe portante să se afle în contact:

- doar una, în cazul îmbinărilor cu centrare interioară, cinci grade de mobilitate sunt preluate de ajustajul cilindric cu diametrul  $d$ ;
- trei, în cazul îmbinărilor scurte cu centrare pe flancuri;
- cinci, în cazul îmbinărilor lungi cu centrare pe flancuri.

Ipoteza enunțată mai sus este impusă de necesitatea identității dintre numărul de grade de mobilitate preluate și numărul de puncte de contact între corpurile ce formează îmbinarea.

b) solicitării îmbinării cu o sarcină radială  $F_r$ ; suprafețele portante contribuie la preluarea acesteia, producându-se modificarea încărcării  $F_i$ :

$$\sum_{i=1}^z \vec{F}_i = \vec{F}_r \quad (3.3)$$

Pentru determinarea influenței fiecăreia dintre aceste cauze asupra fenomenului de repartiție a sarcinii, se va lucra în ipoteza cumulării efectelor, adică se vor studia separat cele două cazuri, luând în calcul numai una dintre ele și considerând celelalte neglijabile. Se vor determina astfel coeficienții parțiali de concentrare a sarcinii, după cum urmează:

- coeficientul de concentrare a sarcinii datorită erorilor de prelucrare  $k_p$ , se va determina pentru cazul unei îmbinări nesolicitate cu sarcina radială  $F_r$ , ținând seama doar de influența abaterii de pas  $\Delta p_i$ ;

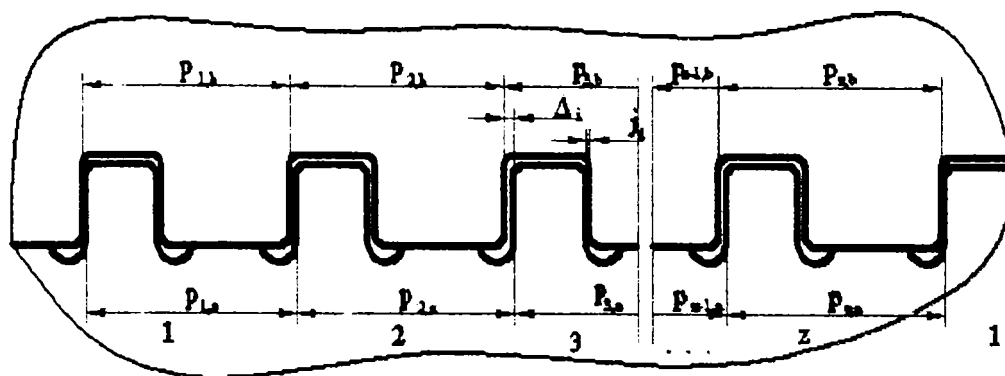
- coeficientul de concentrare a sarcinii datorită solicitării îmbinării cu o încărcare radială  $k_{Fr}$ , se va determina pentru cazul unei îmbinări cu erori de pas  $\Delta p_i$  neglijabile, ținând seama doar de influența încărcării radiale  $F_r$ .

Pentru compunerea efectelor se consideră că solicitarea maximă pe o pereche de suprafețe portante se poate estima amplificând încărcarea medie  $F_m$  cu cei doi coeficienți de corecție:

$$F_{l,max} = k_p \cdot k_{Fr} \cdot F_m \quad (3.4)$$

### §3.2. Repartiția sarcinii datorită abaterilor de divizare (de pas) ale suprafețelor portante ale arborelui și butucului

În repartizarea neuniformă a sarcinii pe suprafețele portante ale îmbinării, erorile de pas produse de erorile de divizare la prelucrarea profilului activ al arborelui și butucului este decisivă (Fig. 3.1).



**Fig. 3.1** Erorile de divizare la prelucrarea profilului activ al arborelui și butucului

Pentru studiu se vor nota cu indicele  $i \in [1; z]$  suprafețele portante în ordinea în care acestea sunt dispuse pe periferia îmbinării, în sensul momentului de răsucire aplicat asupra butucului. Indicele  $i = 1$  corespunde perechii aflate în contact în stare descărcată ( $T \rightarrow 0$ ).

Pentru a fi posibil montajul este necesar să fie respectate următoarele condiții:

$$a) \quad b_{a_i} < b_{b_i}, \forall i \in [1, z] \quad (3.5)$$

și deci pe fiecare pereche de caneluri  $i$ , există jocul  $j_i$

$$j_i = b_{b_i} - b_{a_i} > 0, \forall i \in [1, z], \quad (3.6)$$

unde  $b_{a,b,i}$  [mm] este lățimea efectivă a canelurii  $i$  de pe arbore, respectiv din butuc.

În stare descărcată ( $T \rightarrow 0$ ), numai perechea  $j = 1$  de suprafețe portante este în contact; și deci suprafețele portante se vor afla la distanța  $\Delta_{i0}$

$$\Delta_{i0} = \sum_{j=2}^i p_{aj} - \sum_{j=2}^i p_{bj} \geq 0, i = 2; z, \Delta_{10} = 0 \quad (3.7)$$

unde:  $p_{a,bj}$  [mm] – pasul pe cercul de diametru mediu pentru arbore, respectiv butuc, între suprafețele portante  $j$  și  $j+1$ .

$$p_{a,bj} = p + \Delta p_{a,bj}, \quad (3.8)$$

unde:  $p$  [mm] – pasul nominal pe cercul de diametrul mediu  $d_m$ ;

$\Delta p_{a,bj}$  [mm] – abaterea de pas pentru arcul  $j$ , cuprins între suprafețele portante  $j$  și  $j+1$  ale arborelui respectiv butucului, care poate fi pozitivă sau negativă.

b), jocul de reversare  $\Delta_{ri}$ , în sensul opus tendinței de mișcare trebuie să existe:

$$\Delta_{ri0} = b_{b_i} - (b_{a_i} + \Delta_{i0}) = j_i - \Delta_{i0} > 0 \quad (3.9)$$

La îmbinările cu centrare pe alte suprafețe decât pe flancuri, fie că acestea sunt suprafețele cilindrice interioare sau exterioare ale arborelui și butucului, fie că rotorul antrenat de arbore este lăgăruit separat, încărcarea începe imediat cu creșterea momentului de răsucire  $T$ . Prima pereche de caneluri în contact este cea care îndeplinește condiția (3.7) relativ la toate celelalte  $z - 1$ .

Încărcarea îmbinărilor cu centrare pe flancuri începe numai după ce au intrat în contact trei perechi de suprafețe portante. Pentru aceasta au loc următoarele mișcări:

a. Rotire în jurul punctului de contact de pe suprafața 1 (fig. 3.2. b). Pentru compensarea distanței  $\Delta_0$  între suprafețele  $k$ , este necesară o rotire cu unghiul  $\theta_k$ :

$$\theta_{1k} = \frac{2 \cdot \Delta_{0k+1}}{d_m \cdot (1 - \cos(\phi_k))} \quad (3.10)$$

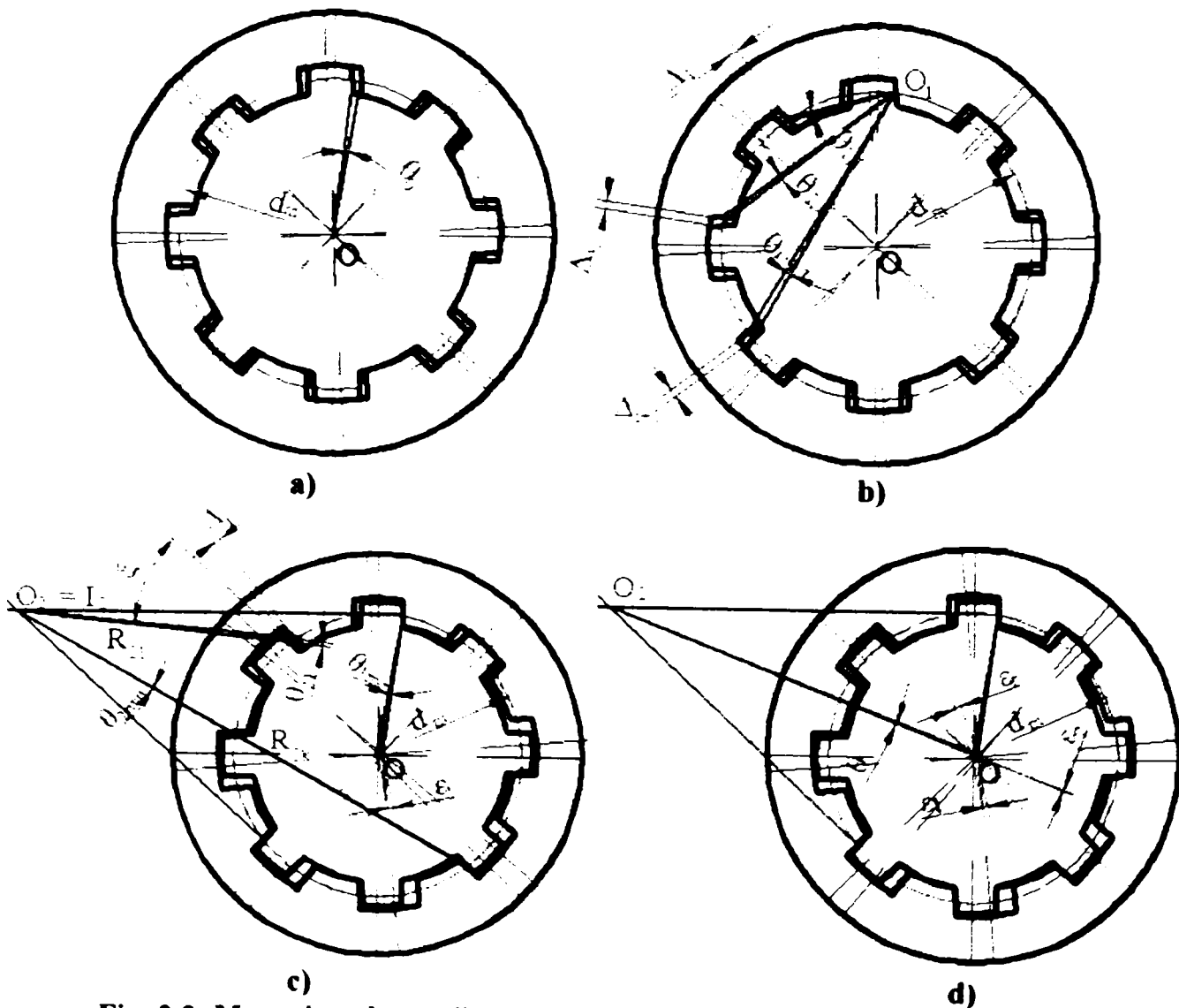
unde:  $\phi_k = \phi_1 \cdot (k + 1)$  este unghiul dintre prima canelură în contact și cea curentă. Rotirea în jurul acestui punct se oprește atunci când unghiul  $\theta = \theta_{1\min}$  și a doua pereche de caneluri intră în contact. Notăm cu  $z_2$  indicele celei d-a doua perechi de caneluri în contact. Distanța între suprafețele portante se micșorează cu:

$$\lambda_{r_k} = \frac{\theta_{1\min} \cdot d_m \cdot (1 - \cos(\phi_k))}{2} \tag{3.11}$$

și devine:  $\Delta_{r_{1k}} = \Delta_{o_{k-1}} - \lambda_{r_k}$ .

Această micromișcare produce deplasarea relativă a centrului butucului față de centrul arborelui (fig. 3.2. c) producând eroarea de centrare  $\epsilon_1$ :

$$\epsilon_1 = \frac{d_m}{2} \cdot \theta_{1\min} \tag{3.12}$$



**Fig. 3.2. Mecanismul centrării pe flancuri**

b. Rotire în jurul centrului instantaneu de rotație  $I_2$ , aflat la intersecția normalelor la

primele două suprafețe în contact (fig. 3.2. c), și situat la distanța:

$$R_{I_2} = \frac{d_m}{2 \cdot \cos \frac{\phi_1 \cdot z_2}{2}} \quad (3.13)$$

față de centrul îmbinării, pe o direcție care face unghiul:

$$\psi = \frac{\phi_1 \cdot z_2}{2} \quad (3.14)$$

cu direcția radială a primei caneluri în contact.

Unghiurile de rotație necesare pentru aducerea în contact a perechii de suprafețe k sunt:

$$\theta_{2k} = \frac{\Delta_{r1k}}{R_{2k} \cdot \cos(\zeta_{2k})} \quad (3.15)$$

unde:

$$R_{2k} = \frac{d_m}{2} \cdot \sqrt{\frac{1}{\cos\left(\frac{\phi_1 \cdot z_2}{2}\right)} + 1 - 2 \cdot \cos\left(\phi_k - \frac{\phi_1 \cdot z_2}{2}\right)} \quad (3.16)$$

este distanța de la centrul instantaneu de rotație la punctul de intersecție dintre suprafața portantă k și cercul de diametru mediu  $d_m$  și

$$\zeta_{2k} = \arcsin \left( \frac{\sin\left(\frac{\phi_1 \cdot z_2}{2}\right)}{\sqrt{1 + \cos\left(\frac{\phi_1 \cdot a_2}{2}\right)^2 - 2 \cdot \cos\left(\frac{\phi_1 \cdot z_2}{2}\right) \cdot \cos\left(\phi_k - \frac{\phi_1 \cdot z_2}{2}\right)}} \right) \quad (3.17)$$

este unghiul între raza de rotație și tangenta la suprafața portantă k.

Distanța între suprafețele portante se va micșora din nou cu:

$$\lambda_{2k} = \theta_{2k} \cdot R_{2k} \cdot \cos(\zeta_{2k}) \quad (3.18)$$

devenind:  $\Delta_{r2k+1} = \Delta_{r1} - \lambda_{2k}$ . (3.19)

Centrul butucului se deplasează relativ față centrul arborelui perpendicular pe direcția radială ce trece prin centrul instantaneu de rotație  $I_2$  cu:

$$\varepsilon_2 = R_{I_2} \cdot \theta_{2\min} \quad (3.20)$$

Eroarea totală de centrare produsă de mecanismul de centrare pe flancuri are valoarea:

$$\varepsilon = \frac{d_m}{2} \cdot \sqrt{\theta_{1\min}^2 + \frac{\theta_{2\min}^2}{\cos^2 \psi} + \frac{2 \cdot \theta_{1\min} \cdot \theta_{2\min}}{\cos \psi}} \quad (3.21)$$

Eroarea de centrare depinde de abaterile de pas ale suprafețelor portante dar și de ordinea lor de intrare în contact, respectiv de poziția unghiulară a primelor trei caneluri purtătoare.

Dacă primele două suprafețe în contact sunt diametral opuse, existența unei încărcări radiale induce o mișcare de translație pe direcția tangentei la suprafețe, într-un sens sau în celălalt, care poate fi asimilată unei rotații cu centrul la infinit. Dacă valoarea sarcinii radiale este însă mai mică decât suma forțelor de frecare produse de componentele normale ale reacțiunilor, rotorul rămâne în echilibru instabil în contact cu numai două suprafețe portante. În timpul funcționării, la apariția incidentală a unor forțe radiale perturbatoare temporare, rotorul se poate deplasa. Dacă forțele perturbatoare sunt variabile în timp sau sunt rotitoare față de arbore, deplasarea poate avea loc și în timpul funcționării, în special în perioadele de funcționare în gol sau la sarcini reduse.

Se recomandă, deci, utilizarea îmbinărilor prin caneluri cu număr impar de dinți, la care fenomenul descris mai sus nu poate avea loc. Această condiție nu poate fi respectată decât atunci când se utilizează caneluri evolventice sau triunghiulare. Canelurile dreptunghiulare standardizate au, din motive tehnologice, numere pare de caneluri. Pentru o centrare optimă pe flancuri este necesară standardizarea sau normalizarea unor serii de dimensiuni cu numere impare de caneluri.

În timpul funcționării la sarcina  $T$ , se produce o rotire relativă  $\theta$  între arbore și butuc și deci o deplasare:

$$\Delta = \frac{d_m}{2} \cdot \theta \quad (3.22)$$

pe direcția tangentei în fiecare punct al cercului mediu (Fig. 3.3). Distanța  $\Delta_i$  între suprafețele portante este în acest caz:

$$\Delta_i = \Delta_{i0} - \Delta \quad (3.23)$$

Dacă  $\Delta_i > 0$ , suprafețele portante nu sunt în contact și  $F_i = 0$ .

Dacă  $\Delta_i < 0$ , numim  $|\Delta_i|$  interferența suprafețelor portante și

$$F_i = c_F \cdot |\Delta_i| \quad (3.24)$$

unde  $c_F$  este rigiditatea perechii de elemente portante (considerată în primă analiză a fi constantă).

Notăm cu  $i_c$  numărul de perechi de suprafețe aflate în contact:

$1 \leq i_c \leq z$ , pentru centrare interioară sau exterioară;

$3 \leq i_c \leq z$ , pentru centrarea pe flancuri.



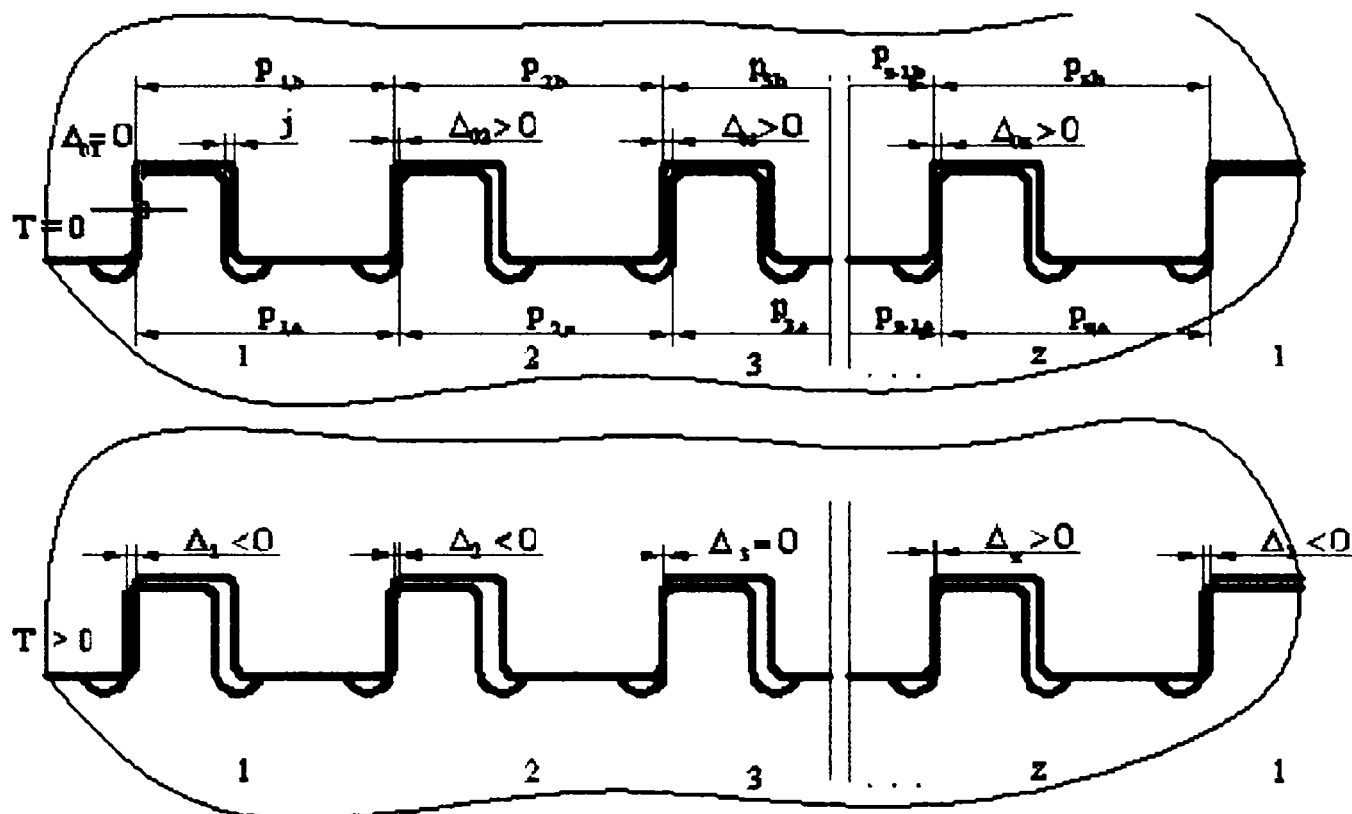


Fig. 3.3. Interferența dintre suprafețele portante conjugate ale unei îmbinări arbore-butuc încărcată cu momentul de răsucire  $T$

Momentul de răsucire total  $T$  va fi preluat de cele  $i_c$  suprafețe în contact:

$$T = \sum_{i=i_{\min}}^{i_c} T_i = \frac{d_m}{2} \cdot \sum_{i=i_{\min}}^{i_c} F_i = \frac{d_m}{2} \cdot C_F \cdot \sum_{i=1}^{i_c} |\Delta_i| \quad (3.25)$$

sau

$$\frac{2 \cdot T}{d_m} = z \cdot F_{lm} = C_F \cdot \sum_{i=1}^{i_c} |\Delta_i| = C_F \cdot \sum_{i=1}^{i_c} (\Delta - \Delta_{i0}) \quad (3.26)$$

sau:

$$F_{lm} = \frac{i_c}{z} \cdot C_F \cdot \Delta - \frac{1}{z} \cdot C_F \cdot \sum_{i=1}^{i_c} \Delta_{i0} \quad (3.27)$$

Pentru calculul de rezistență al îmbinării este importantă evident sarcina pe perechea cea mai sollicitată ,

$$F_{i,\max} = F_1 = C_F \cdot \Delta \quad (3.28)$$

Din ecuația (3.21.) :

$$i_c \cdot F_1 = z \cdot F_{lm} + C_F \cdot \sum_{i=1}^{i_c} \Delta_{i0} \quad (3.29)$$

sau

$$k_p = \frac{F_{l,max}}{F_{lm}} = \frac{z}{i_c} + \frac{C_F}{i_c \cdot F_{lm}} \cdot \sum_{i=1}^{i_c} \Delta_{i0} \quad (3.30)$$

unde cu  $k_p$  am notat coeficientul de concentrare a sarcinii datorită erorilor de prelucrare. Ținând seama că încărcarea medie pe o suprafață portantă se poate exprima în funcție de momentul de răsucire transmis  $T$ , acest coeficient se mai poate scrie :

$$k_p = \frac{z}{i_c} \cdot \left( 1 + \frac{d_m \cdot C_F}{2 \cdot T} \cdot \sum_{i=1}^{i_c} \Delta_{i0} \right) \quad (3.31)$$

Suma distanțelor inițiale dintre suprafețele portante se determină astfel:

$$\sum_{i=1}^{i_c} \Delta_{i0} = \sum_{i=2}^{i_c} \sum_{j=2}^i (p_{aj} - p_{bj}) \quad (3.32)$$

și, înlocuind  $p_{a,bj}$  din formula (3.8),

$$\sum_{i=1}^{i_c} \Delta_{i0} = \sum_{i=2}^{i_c} \sum_{j=2}^i (\Delta p_{aj} - \Delta p_{bj}) \quad (3.33)$$

Se poate observa ușor că, odată cu creșterea momentului  $T$  aplicat îmbinării crește și numărul  $i_c$  de perechi de suprafețe portante în contact.

Condiția ca toate suprafețele să fie portante este :

$$T \geq \frac{d_m}{2} \cdot c_F \cdot \sum_{i=1}^z |\Delta_{i0}| \quad (3.34)$$

Dacă această condiție este îndeplinită, valoarea coeficientului  $k_p$ :

$$k_p = 1 + \frac{d_m \cdot c_F}{2 \cdot T} \cdot \sum_{i=1}^z |\Delta_{i0}| \quad (3.35)$$

este  $1 < k_p \leq 2$ . Condiția de intrare în contact a tuturor suprafețelor portante nu poate fi întotdeauna îndeplinită. Îmbinările cu precizie inferioară, cu număr mare de caneluri și cu rigiditate ridicată a elementelor portante nu o pot obține. În aceste cazuri, coeficientul de repartiție a sarcinii pe caneluri are valori mai mari decât 2.

Diagrama de rigiditate a unei astfel de îmbinări este prezentată în figura (3.4), unde cu  $T_i$  și  $\theta_i$  au fost notate valorile efortului de torsiune și a deplasării de rotație până la care au fost în contact  $i$  perechi de suprafețe portante. În figura (3.4 a [K1]) se evidențiază diferența dintre rigiditatea îmbinării ideale (cu abateri de pas nule, deci cu toate canelurile în contact) și o îmbinare cu erori cu  $z = 45$ . Se evidențiază valorile momentului de răsucire pentru care un anumit număr de

caneluri se află în contact. Diferențele între caracteristicile de rigiditate ale unor îmbinări cu diferite clase de precizie sunt arătate în fig. 3.4. b [K1]. O comparație între diagramele de rigiditate ale unei îmbinări cu centrare interioară, respectiv cu centrare pe flancuri este prezentată în figura 3.4.c. [M8].

Datorită intrării succesive în contact a perechilor de suprafețe portante, rigiditatea îmbinării, egală la începerea încărcării cu rigiditatea  $c_f$  a unei singure perechi, crește progresiv odată cu creșterea momentului de răsucire la care este supusă îmbinarea, ajungând la valoarea maximă atunci când toate perechile au intrat în contact. Caracteristica de rigiditate cu pantă variabilă produce imprecizia cinematică a transmisiei din care îmbinarea face parte, atunci când mărimea, dar mai ales sensul momentului de răsucire, se modifică.

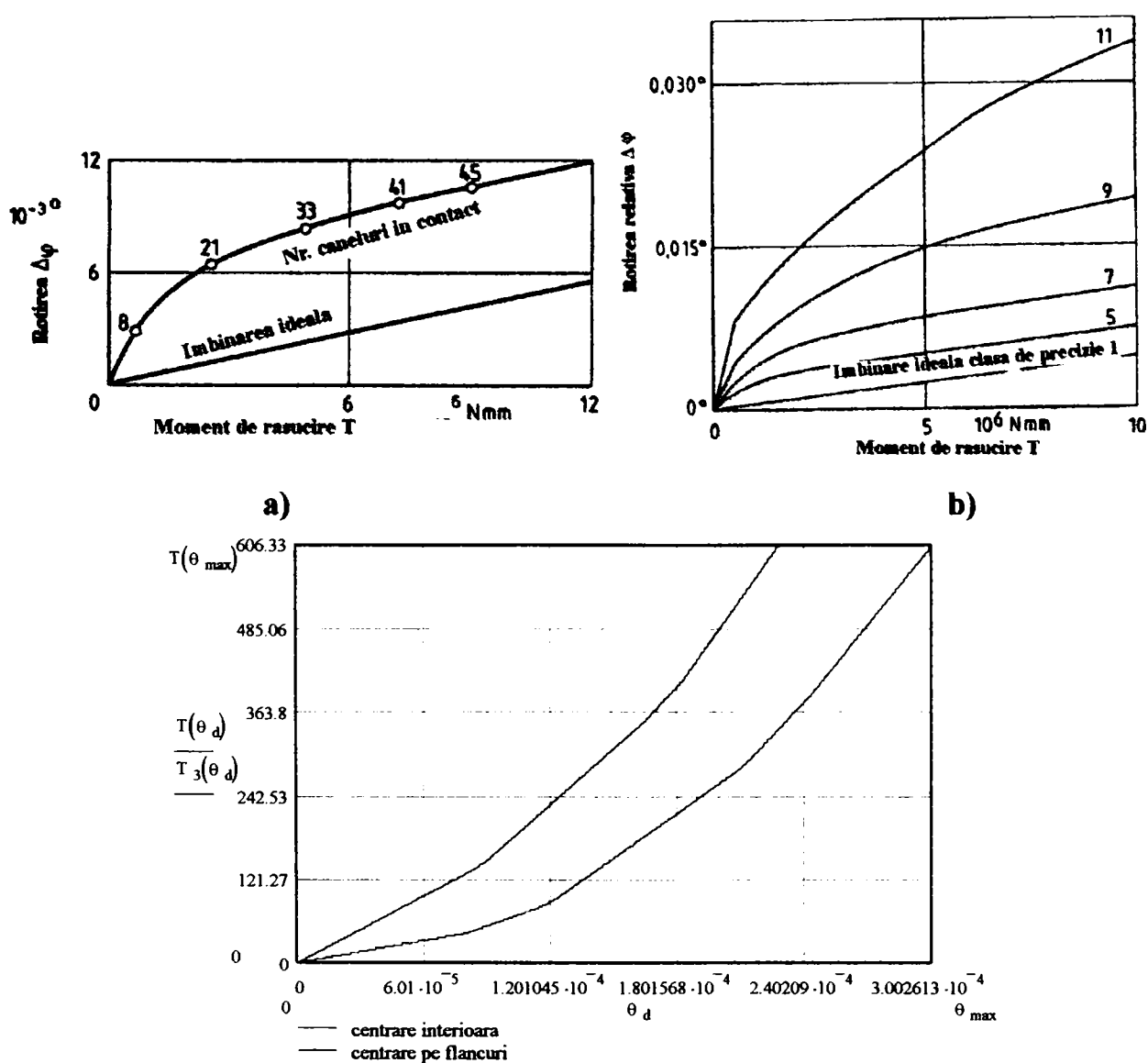


Fig. 3.4 Diagrama de rigiditate a unei îmbinări arbore-butuc prin formă cu erori de divizare ale suprafețelor portante

Datorită faptului că suprafețele portante sunt încărcate cu sarcini  $F_i$  diferite, în îmbinare apare o reacțiune radială  $F_{rp}$  [ N ] ( figura 3.4 ) :

$$\bar{F}_{rp} = \sum_{i=1}^{i_c} \bar{F}_i \quad (3.36)$$

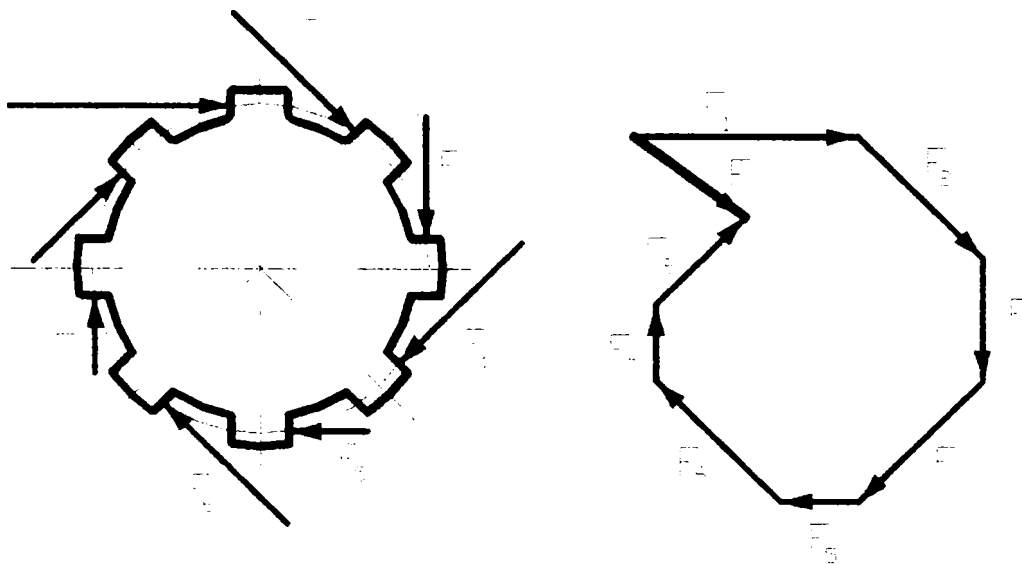
Valoarea acestei reacțiuni interne :

$$F_{rp} = \sqrt{\left( \sum_{i=1}^{i_c} F_i \cdot \cos \varphi_i \right)^2 + \left( \sum_{i=1}^{i_c} F_i \cdot \sin \varphi_i \right)^2} \quad (3.37)$$

depinde de erorile de divizare, dar și de ordinea de intrare în contact a perechilor de suprafețe portante conjugate, iar direcția ei este definită de unghiul  $\varphi_{rp}$ :

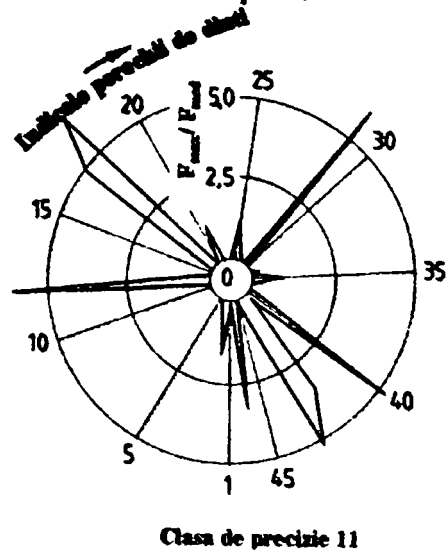
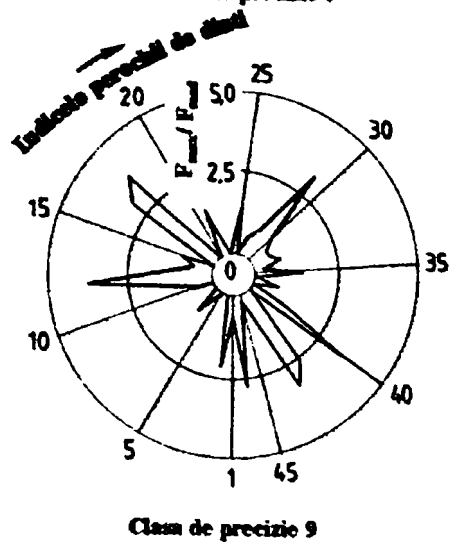
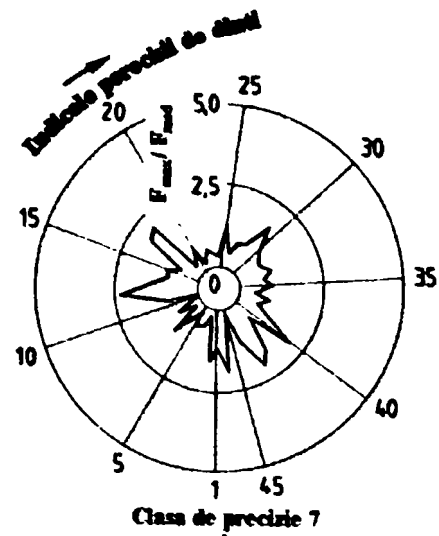
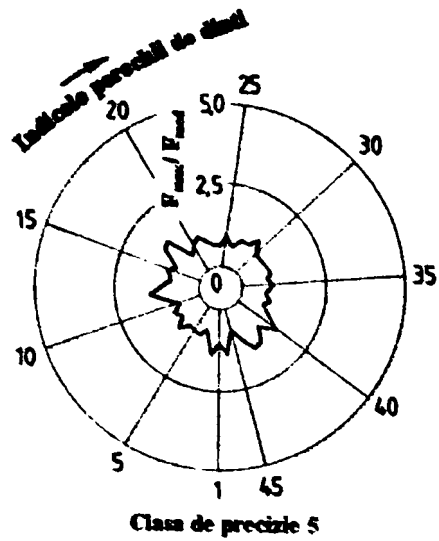
$$\operatorname{tg} \varphi_{rp} = \frac{\sum_{i=1}^{i_c} F_i \cdot \sin \varphi_i}{\sum_{i=1}^{i_c} F_i \cdot \cos \varphi_i} \quad (3.38)$$

Această reacțiune internă îmbinării produce o eroare de centrare a butucului față de arbore, în limita jocului existent între suprafețele de centrare și a deformațiilor acestora, dependentă de eroarea de divizare, și care poate influența eroarea cinematică a transmisiei din care îmbinarea face parte.

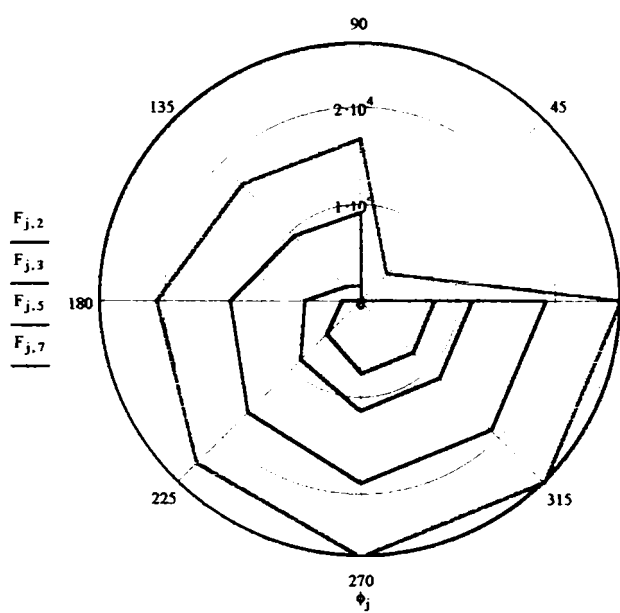


**Fig. 3.5. Reacțiunea internă datorată variației sarcinii pe suprafețele portante multiple**

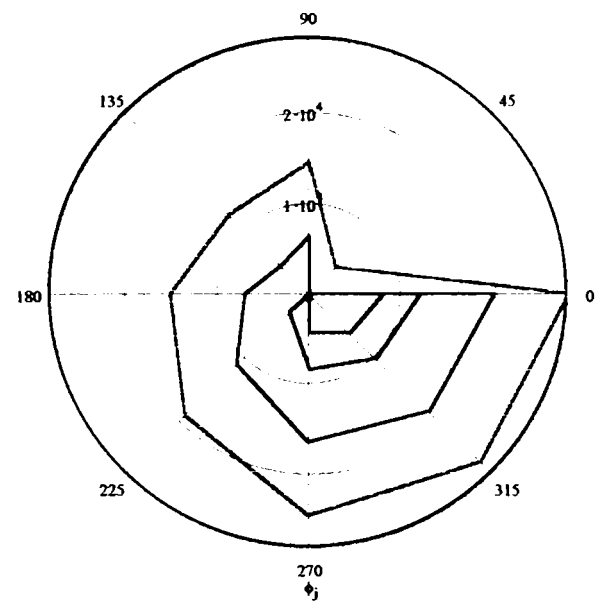
Dependența dintre parametrii geometrici, de precizie, cinematici și cinetostatici ai îmbinării și amplitudinea acestei micromișcări și influența acestora asupra uzurii îmbinării nu este tratată în literatura de specialitate consultată.



a)



b)

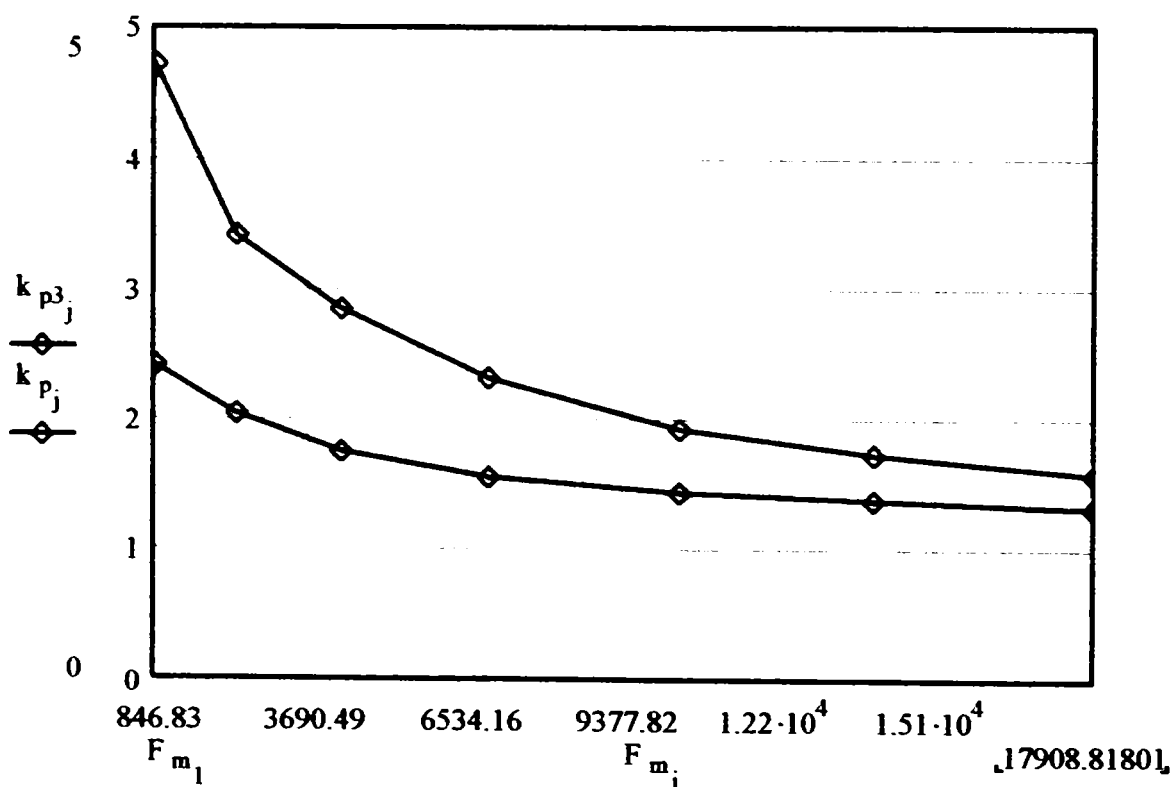


### 3.6. Repartiția încărcării pe caneluri

În figura 3.6 se prezintă variația încărcării pe caneluri. Influența clasei de precizie asupra repartiției sarcinii pe suprafețele portante ale unei îmbinări prin caneluri evolventice cu  $z = 45$  este prezentată în figura 3.6. a [K1]. Îmbinările mai precise, în clasele de precizie 5 și 7 au repartiții uniforme și încărcarea este distribuită pe toate canelurile, în timp ce îmbinările cu precizie scăzută din clasele de precizie 9 și 11 au repartiții foarte defavorabile ale sarcinii, nu toate canelurile intrând în contact la valoarea maximă a momentului transmis.

Pentru o îmbinare prin caneluri dreptunghiulare cu  $z = 8$  se prezintă, pentru cazul centrării pe flancuri și a centrării pe interior (Fig. 3.6 b) variația încărcării pe caneluri. Se remarcă repartiția mai favorabilă a sarcinii pe canelurile îmbinării cu centrare pe flancuri.

În figura 3.7 se prezintă variația coeficienților de concentrare  $k_p$  a sarcinii cu creșterea încărcării medii  $F_m$ , pentru îmbinarea prin opt caneluri dreptunghiulare, din clasa de precizie 9.



**Fig. 3.7. Coeficientul de repartiție a sarcinii din cauza erorilor de pas**

Se remarcă, din nou, comportarea mai bună a îmbinărilor cu centrare pe flancuri, coeficienții de repartiție a sarcinii având valori cuprinse între 2,5 și 1,5 pentru întreg domeniul de utilizare.

Îmbinarea cu centrare pe interior poate avea încărcarea maximă de până la cinci ori mai mare decât cea medie.

### §3.3. Repartiția sarcinii datorită încărcării îmbinării cu o sarcină radială

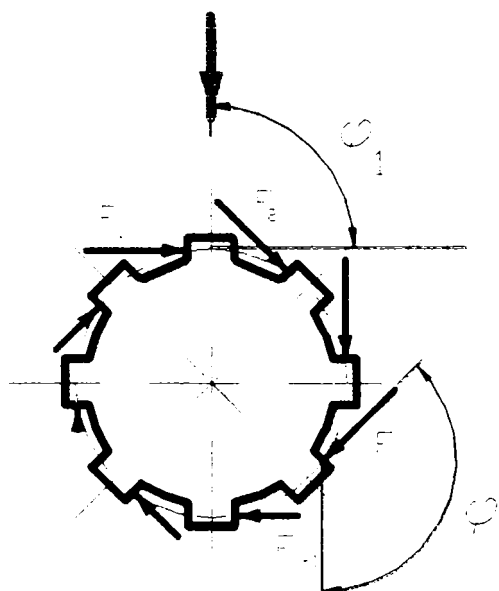
În cazul în care torsorul de reducere al acțiunilor exterioare are în componența sa și o forță radială  $F_r$  pe lângă momentul  $T$ , aceasta va fi preluată de suprafețele portante ca în figura 3.8., dacă centrarea relativă între arbore și butuc se face pe aceste suprafețe (cazul îmbinărilor cu caneluri dreptunghiulare cu centrare pe flancuri, a celor cu caneluri evolventice sau triunghiulare, a îmbinărilor poligonale). Ecuațiile de echilibru ale arborelui se scriu în acest caz astfel:

$$\sum_{i=1}^z F_i \cdot \cos \varphi_i = F_r \quad (3.39.a)$$

$$\sum_{i=1}^z F_i \cdot \sin \varphi_i = 0 \quad (3.39.b)$$

$$\sum_{i=1}^z F_i = \frac{2 \cdot T}{d_m} \quad (3.39.c)$$

unde  $\varphi_i$  este unghiul dintre direcția normalei pe suprafața de contact și direcția încărcării radiale  $F_r$ .



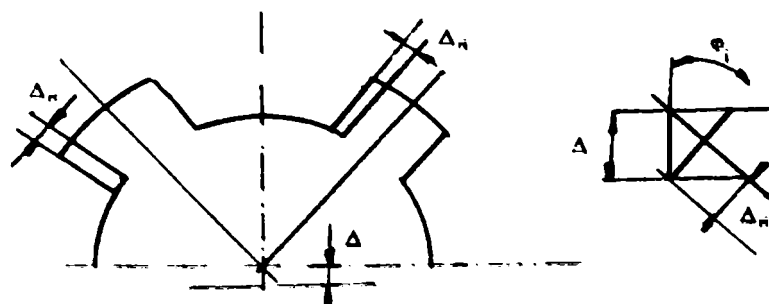
**Fig. 3.8. Forțele ce acționează asupra arborelui unei îmbinări solicitate cu sarcină radială**

Dacă centrarea se face pe alte suprafețe decât cele portante, (cazul îmbinărilor cu caneluri dreptunghiulare cu centrare interioară) în ecuațiile de echilibru mai apare termenul  $F_{sc}$ , reacțiunea suprafeței portante. Acest caz nu este însă studiat în bibliografia de specialitate consultată.

Sistemul descris de ecuațiile de echilibru este de  $z - 3$  ori static nedeterminat; pentru ridicarea nedeterminării se utilizează ecuațiile de deformații:

$$\Delta_{ri} = \Delta \cdot \cos \varphi_i \tag{3.40}$$

unde  $\Delta$  este deplasarea relativă între arbore și butuc pe direcția încărcării radiale  $F_r$ , iar  $\Delta_{ri}$  - deplasarea suprafeței portante  $i$  a arborelui, în direcție tangetială, ca urmare a deformațiilor produse de acțiunea încărcării radiale  $F_r$  (Fig. 3.9)



**Fig. 3.9 Deformațiile suprafețelor portante și deplasarea radială relativă**

Sarcina  $F_i$  pe fiecare pereche portantă  $i$  este:

$$F_i = (\Delta_t + \Delta_{ri}) \cdot c_F = F_{lm} + \Delta_{ri} \cdot c_F = F_{lm} + \Delta \cdot c_F \cdot \cos \varphi_i \tag{3.41}$$

unde  $\Delta_t$  este deplasarea suprafeței portante  $i$  a arborelui, în direcție tangențială, ca urmare a deformațiilor produse de acțiunea încărcării cu momentul de torsiune  $T$ , iar unghiul  $\varphi_i$  se poate exprima în funcție de unghiul  $\varphi_1$  pentru una din suprafețele portante și de pasul unghiular al suprafeței periodice  $\frac{2 \cdot \pi}{z}$ :

$$\varphi_i = \varphi_1 + (i - 1) \cdot \frac{2 \cdot \pi}{z} \tag{3.42}$$

Înlocuind în ecuația (3.39. a) expresiile sarcinilor  $F_i$  din ecuațiile (3.41), obținem:

$$F_{lm} \cdot \sum_{i=1}^z \cos \varphi_i + \Delta \cdot c_F \cdot \sum_{i=1}^z \cos^2 \varphi_i = F_r \tag{3.43}$$

Ținând seama că:

$$\cos \varphi_i = -\cos(\varphi_i + \pi) \tag{3.44}$$

și

$$\sum_{i=1}^z \cos \varphi_i = 0, \tag{3.45}$$

valoarea deplasării relative  $\Delta$  se poate exprima în funcție de încărcarea radială  $F_r$ :



$$\Lambda = \frac{F_r}{c_F \cdot \sum_{i=1}^z \cos^2 \varphi_i} \quad (3.46)$$

dar

$$\sum_{i=1}^z \cos^2 \varphi_i = \frac{1}{2} \cdot \sum_{i=1}^z (1 - \cos 2\varphi_i) = \frac{z}{2} \quad (3.47)$$

Revenind cu expresia deplasării totale  $\Delta$  determinată în relația (3.46) în expresia sarcinii  $F_i$  pe o suprafață portantă oarecare  $i$  (3.41), se obține:

$$F_i = F_{1m} + F_r \cdot \frac{2 \cdot \cos \varphi_i}{z} \quad (3.48)$$

iar pentru sarcina maximă:

$$F_{i,max} = F_{i|\varphi=0} = F_{1m} + \frac{2}{z} \cdot F_r \quad (3.49)$$

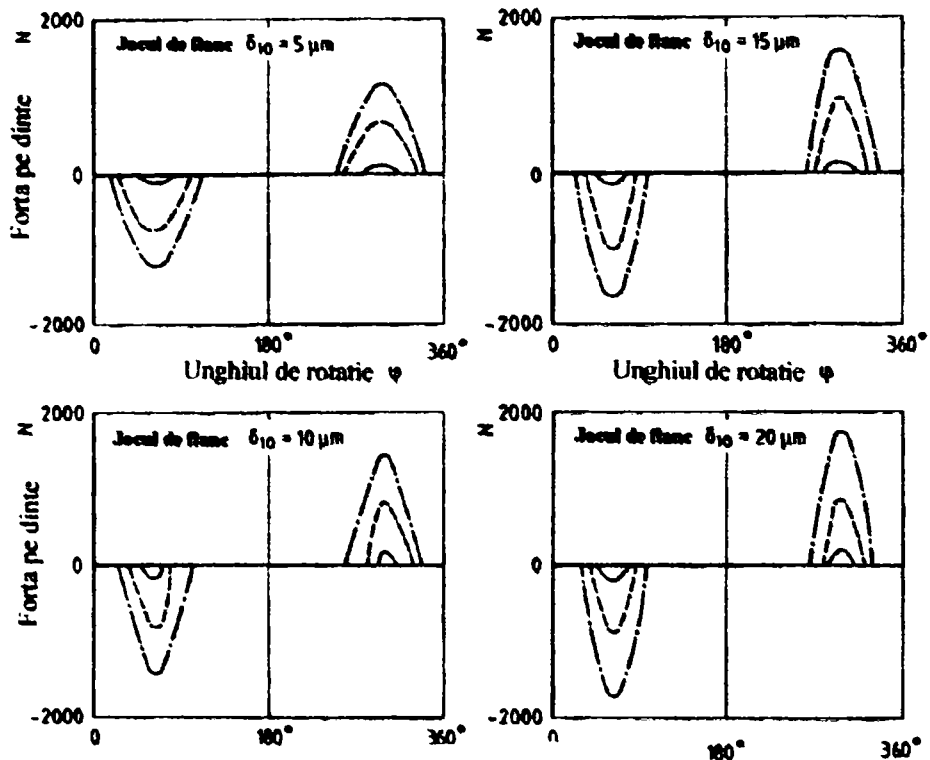
Coeficientul de concentrare a sarcinii datorită încărcării radiale  $k_{Fr}$  are expresia:

$$k_{Fr} = \frac{F_{i,max}}{F_{1m}} = 1 + \frac{2 \cdot F_r}{z \cdot F_{1m}} = 1 + \frac{F_r \cdot d_m}{T} \quad (3.50)$$

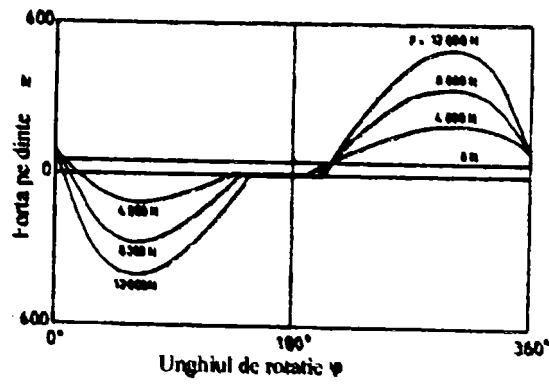
Expresia coeficientului de concentrare a sarcinii datorită încărcării radiale  $k_{Fr}$  din expresia (3.50) este valabilă atunci când suprafețele portante nu pierd contactul datorită deplasării  $\Delta$  ( $F_{i,min} \geq 0$ ). Această condiție se poate scrie din ecuația (3.42):

$$F_{1m} \geq \frac{F_r}{z} \text{ sau } F_r \leq \frac{T}{d_m} \quad (3.51.)$$

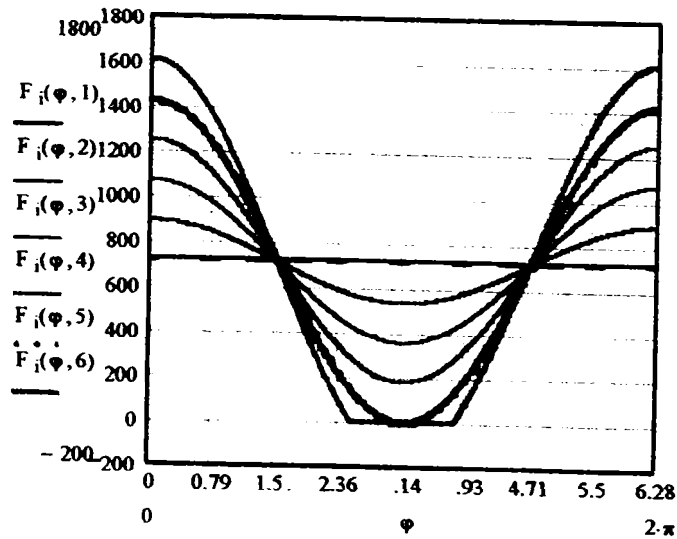
Variația sarcinii pe una din perechile de suprafețe portante pentru o rotație completă, în funcție de încărcarea radială este prezentată în figura 3.10. În figura 3.10. a) [K1] este evidențiată influența jocului de flanc asupra variației încărcării pe caneluri, pentru o îmbinarea sollicitată numai cu încărcare radială. Repartiția sarcinii pe suprafețele portante ale unei îmbinări cu încărcare radială semnificativă față de momentul de torsiune este prezentată în 3.10. b) [K1]. Cazul unei îmbinări sollicitate cu moment de torsiune predominant este evidențiat în fig. 3.10. c) [M8]. Pentru valori mai mari ale raportului  $F_r / F_{1m}$ , perechea de suprafețe portante pierde contactul în anumite faze ale mișcării. În ecuațiile (3.37. a), (3.37. b) și (3.37. c) vor lipsi, în acest caz 1...(z-2) termeni.



a)



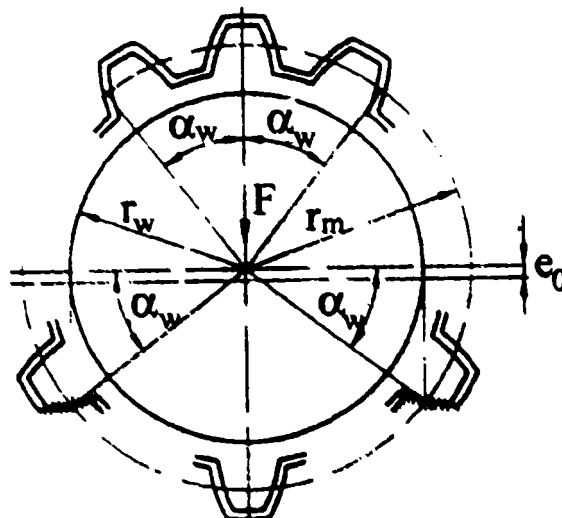
b)



c)

Fig. 3.10. Variația sarcinii pe o pereche de suprafețe portante în timpul unei rotații complete a arborelui

În cazul în care centrarea butucului pe arbore se face pe flancurile îmbinării, existența unei sarcini radiale peste limita dată de formula (3.41. a) produce deplasarea relativă radială a elementelor îmbinării până la consumarea jocului de flanc. (v. și fig. 3.11). Contactul dintre suprafețele conjugate are loc pe flancul din sensul momentului de răsucire numai pe arcu situat de o parte a direcției sarcinii radiale.



**Fig. 3.11. Contactul dintre flancurile îmbinării încărcate numai cu sarcini radiale [K1]**

În această situație, în sistemul de ecuații (3.39) încărcările  $F_i$  ale suprafețelor portante se consideră pozitive dacă impun contactul pe flancul din sensul momentului de răsucire și negative dacă contactul se face pe flancul opus. Contactul inițial se face însă numai pe două suprafețe portante, câte una în fiecare sens. Îmbinarea cu joc preia deci numai patru grade de libertate relativă, corespunzătoare celor patru contacte echivalente (câte două pe fiecare suprafață în contact, v. și capitolul 1). Gradul de libertate introdus de aplicarea unei încărcări radiale asupra unei îmbinări canelate cu joc se manifestă printr-o micromișcare pe direcția forței radiale.

Pentru îmbinarea fără erori de pas și cu joc de flanc egal la toate canelurile, suprafețele în contact vor fi diametral opuse, unghiul de rotație necesar pentru consumarea jocului fiind:

$$\theta_{Fr} = \frac{j_f}{d_m} \quad (3.52)$$

Contactul se menține pe cele două caneluri atâta timp cât planul lor de simetrie face cu perpendiculara pe direcția sarcinii radiale unghiul:

$$\varphi_c \in \left[ -\frac{\pi}{z}; +\frac{\pi}{z} \right] \quad (3.53)$$

La limitele acestui interval  $\varphi_c = \pm \frac{\pi}{z}$  se produce schimbarea perechii de caneluri în

contact, sub acțiunea sarcinii radiale  $F_r$ , printr-o alunecare pe înălțimea canelurilor (fig. 3.12 ) până când fac contact patru perechi de suprafețe portante.

Eroarea de centrare produsă de deplasarea butucului în limita jocului de flanc  $j$  sub acțiunea încărcării radiale  $F_r$  are două componente, una pe direcția lui  $F_r$ ,  $\epsilon_{\alpha}$  și una perpendiculară pe aceasta,  $\epsilon_{\alpha}$ :

$$\begin{cases} \epsilon_{\alpha} = \frac{j_f \cdot \cos \varphi_c}{2} \\ \epsilon_{\alpha} = \frac{j_f \cdot \sin \varphi_c}{2} \end{cases} \quad (3.54)$$

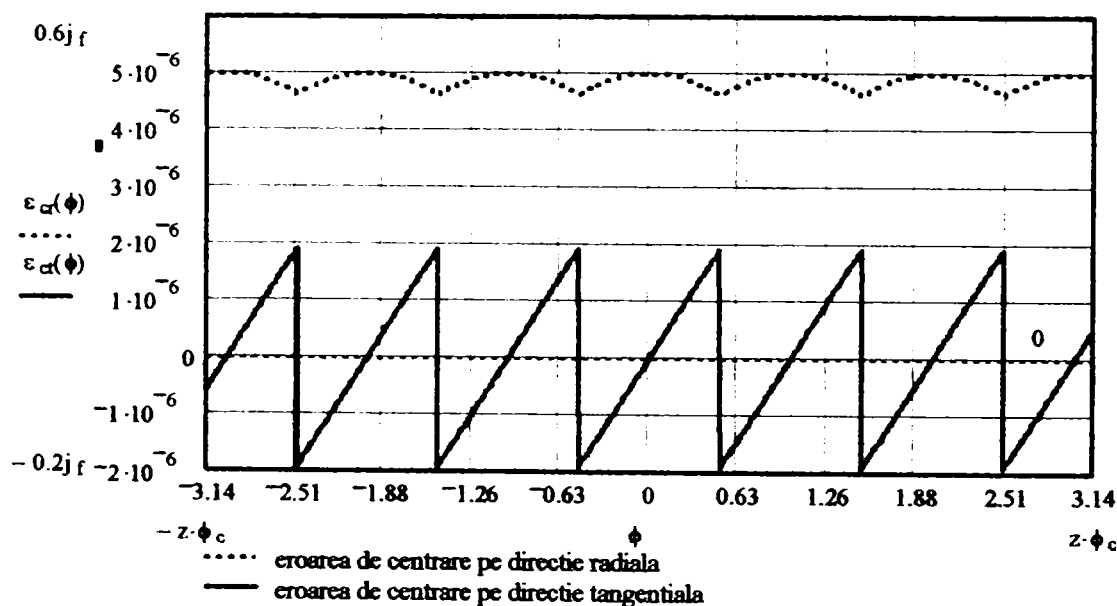


Fig. 3.12. Eroarea de centrare pentru o îmbinare canelată cu joc de flanc solicitată radial

În figura 3.12. este prezentată variația erorilor de centrare pentru o îmbinare cu 8 caneluri cu joc de flanc  $j_f = 0,01$  mm solicitată radial rotativ, la o rotație relativă completă a sarcinii. Componenta maximă a erorii este cea radială, dar variația maximă o are componenta transversală, observație importantă pentru dinamica sistemului.

Variația excentricității butucului față de arbore în timpul unei rotații evidențiază existența unei micromișcări relative între arbore și butuc și deci a unei deplasări relative a suprafețelor portante ale arborelui și butucului pe direcția tangentei comune. Această micromișcare poate avea influență asupra capacității portante a îmbinării, provocând uzura abrazivă și /sau adezivă (griparea), chiar în cazul îmbinărilor fără deplasare axială relativă.

Pentru îmbinările cu erori de pas solicitate radial, micromișcările necesare contactului multiplu sunt similare cu cele descrise în §3.2 prin relațiile (3.10) ... (3.12) și figura 3.2, înlocuind

distanțele inițiale  $\Delta_i$  dintre suprafețele portante cu jocurile de reversare  $\Delta_{ri}$  pe flancurile opuse ale canelurilor, conform ecuației (3.9). Odată cu creșterea forței radiale, deformațiile primelor caneluri în contact permit închiderea jocului de reversare rămas și preluarea încărcării pe mai multe suprafețe portante. Diagrama de rigiditate a unei astfel de îmbinări este similară cu cele prezentate în figura 3.4.

Condiția (3.51) de contact pe flancurile din sensul momentului de răsucire aplicat îmbinării poate fi interpretată geometric. În cazul în care rotorul montat prin caneluri pe arbore este o roata de transmisie, momentul de răsucire este produs de rezultanta  $F_t$  a componentelor tangențiale a interacțiunilor cu elementul de transmitere a puterii:

$$F_t = \frac{2 \cdot T}{d_w}, \quad (3.55)$$

unde  $d_w$  este diametrul activ al rotii (de rostogolire la angrenaje, de referință sau primitive la roțile de curea). Încărcarea radială a îmbinării este produsă de rezultanta  $F_r$  a componentelor radiale a interacțiunilor cu elementul de transmitere a puterii. Rezultanta  $F_{rez}$  a interacțiunilor trece printr-un punct situat pe cercul activ și face cu tangenta la acesta (direcția deplasării instantanee și a vitezei tangențiale) unghiul  $\alpha_w$ , numit unghiul de presiune:

$$\alpha_w = \arctg \frac{F_r}{F_t}. \quad (3.56)$$

Condiția (3.51) se poate astfel scrie:

$$F_r \leq \frac{T}{d_w} \cdot \frac{d_w}{d_m} = \frac{F_t}{2} \cdot \frac{d_w}{d_m}, \quad (3.57)$$

sau geometric:

$$\operatorname{tg} \alpha_w = \frac{F_r}{F_t} \leq \frac{d_w}{2 \cdot d_m} \text{ sau } d_m \leq \frac{d_w}{2} \cdot \operatorname{ctg} \alpha_w = \frac{d_b}{2 \cdot \sin \alpha_w}. \quad (3.58)$$

unde  $d_b$  este diametrul de bază, al cercului tangent direcției rezultantei  $F_{rez}$ :

$$d_b = \frac{2 \cdot T}{F_{rez}}$$

La limită, atunci când încărcarea minimă este nulă într-un singur punct pe contur, condiția (3.58) devine o egalitate. Se definește diametrul limită al îmbinării ca diametrul mediu al îmbinării pentru care sarcina minimă pe o canelură este nulă.

$$d_{lim} = \frac{d_b}{2 \cdot \sin \alpha_w} \quad (3.59)$$

Dacă diametrul mediu al îmbinării este inferior celui limită, canelurile fac contact pe flancurile din același sens pe toată durata mișcării. Acesta este cazul roților dințate, al roților de lanț sau de curea sincronă. La transmisiile prin frecare (curele sau roți cu fricțiune), la care rezultanta eforturilor din cele două ramuri face un unghi relativ mic cu linia centrelor, condiția (3.58) trebuie verificată pentru fiecare roată în parte. La transmisiile din compunerea mașinilor de precizie sau de mare viteză (mașini unelte cu comandă numerică, prese rapide, etc.), fenomenele dinamice produse de deplasarea relativă a butucului pe arbore pe direcție radială și transversală sub acțiunea sarcinilor radiale mari pot dăuna funcționării. Dacă nu este îndeplinită, deci, în aceste cazuri condiția (3.58), se recomandă lăgăruirea separată a roții pentru preluarea încărcării radiale, îmbinarea prin caneluri fiind solicitată numai cu momentul de răsucire  $T$ .

### **§3.4. Compunerea efectelor abaterilor de pas și a încărcării îmbinării cu o sarcină radială**

Coeficienții  $k_p$  și  $k_{Fr}$  permit determinarea încărcării maxime pe caneluri în cazul în care numai una dintre cauze este predominantă. Dacă ambele cauze de variație a sarcinii pe caneluri sunt semnificative, literatura de specialitate [K1, K3] recomandă multiplicarea valorii medii a sarcinii (ec. (3.1)), cu valorile acestor coeficienți.

Relațiile de determinare analitică a încărcării maxime a canelurilor (ecuațiile (3.29) și, respectiv (3.48)) arată însă că la valoarea încărcării medii se adaugă o supraîncărcare produsă de fiecare din cele două cauze de variație. Din acest motiv, pentru calculul corect este necesară **însurarea efectelor** prin determinarea unui coeficient global prin adăugare:

$$k_{\text{glob}} = 1 + k'_p + k'_{Fr}, \quad (3.60)$$

unde:

$$k'_p = k_p - 1 = \frac{d_m \cdot c_F}{2 \cdot T} \cdot \sum_{i=1}^z |\Delta_{i0}| \quad (3.61)$$

și

$$k'_{Fr} = k_{Fr} - 1 = \frac{2 \cdot F_r}{z \cdot F_{lm}} = \frac{F_r \cdot d_m}{T} \quad (3.62)$$

sunt coeficienții parțiali ai supraîncărcărilor ce produc neuniformitatea sarcinii pe caneluri. Pentru valori ale coeficienților de corecție apropiați de 1 (coeficienți parțiali de

supraîncărcare apropiată de 0), cele două relații dau rezultate apropiate. Dar, așa cum s-a arătat în §3.2 și §3.3, valorile coeficienților sunt apreciabile și deci, pentru un calcul corect, trebuie utilizată relația (3.60).

Cu ajutorul coeficienților  $k_p$  și  $k_{Fr}$  de concentrare a sarcinii, determinați conform ecuațiilor (3.31) și, respectiv (3.50) se poate determina încărcarea perechii de suprafețe portante maxim solicitate, în vederea verificării sau dimensionării corecte a îmbinării. Din aceste ecuații se poate observa că valoarea coeficienților crește cu sporirea numărului de suprafețe ale îmbinării, ceea ce impune concluzia că nu este întotdeauna rațională mărirea numărului acestora pentru creșterea capacității portante.

De asemenea, din ecuația (3.31) se poate trage concluzia că reducerea efectului concentrator al erorii de pas se poate face prin:

- a) reducerea acestora pe cale tehnologică (prin precizia de execuție sau prin rodare);
- b) reducerea rigidității  $c_F$  a elementelor portante, ceea ce explică mai buna comportare sub sarcină a îmbinărilor canelate în comparație cu cele cu ajustaje poligonale, în contradicție cu unele recomandări și rezultate teoretice.

## Capitolul 4.

### Repartiția sarcinii pe lungimea îmbinărilor arbore-butuc prin caneluri

#### §4.1 Cauzele variației sarcinii pe lungimea suprafețelor portante

Presiunea medie pe suprafețele portante se determină, pentru toate tipurile de îmbinări prin caneluri, în ipoteza solicitării numai cu moment de răsucire T:

$$p_m = \frac{2 \cdot T}{d_m \cdot z \cdot S_1 \cdot L} \quad (4.1)$$

unde:

$p_m$  [MPa] – presiunea medie pe suprafețele portante;

T [mNm] – momentul de torsiune la care este solicitată îmbinarea;

z [-] – numărul perechilor de suprafețe portante;

$d_m$  [mm] – diametrul mediu de contact între elementele îmbinării;

$S_1$  [mm<sup>2</sup>/mm] – aria suprafeței de contact pe unitatea de lungime;

L [mm] – lungimea îmbinării.

Pentru fiecare caz în parte se determină apoi presiunea maximă:

$$P_{max} = k_L \cdot P_m \quad (4.2)$$

unde  $k_L$  este coeficientul global de repartiție a presiunii pe lungimea îmbinării:

$$k_L = k_{Mr} \otimes k_d \oplus k_e \quad (4.3)$$

iar coeficienții parțiali datorati fenomenelor care produc variația presiunii cuantifică:

$k_{Mr}$  – efectul solicitării îmbinării cu moment de răsturnare;

$k_d$  – diferența între deformațiile de torsiune ale arborelui și cele ale butucului;

$k_e$  – abaterile geometrice pe lungimea îmbinării.



Descrierea fenomenelor care produc variația presiunii și determinarea legilor de repartiție  $\otimes$  și  $\oplus$  și a expresiilor coeficienților parțiali se va face în paragrafele ce urmează.

### **§4.2. Repartiția sarcinii datorită solicitărilor îmbinării cu un moment de răsturnare $M_r$**

Dacă asupra îmbinării cu centrare pe flancuri acționează, în afara momentului de răsucire  $T$ , și momentul de răsturnare  $M_r$ , presiunea efectivă  $p_{xi}$  pe suprafața portantă  $i$  la distanța  $x$  de capătul îmbinării va fi variabilă atât pe lungime cât și de la o suprafață portantă la alta. Ecuațiile de echilibru ale butucului, scrise scalar prin componentele momentelor față de sistemul de axe atașat, având axa  $x$  identică cu axa îmbinării și cu axa  $z$  pe direcția momentului de răsturnare  $M_r$  sunt prezentate în sistemul (4.4.)

$$\begin{cases} \sum_{i=1}^z \int_0^L \frac{d_m}{2} \cdot dF_{\bar{u}_i} = T \\ \sum_{i=1}^z \int_0^L x \cdot dF_{\bar{u}_i} \cdot \sin \phi_i = M_r \\ \sum_{i=1}^z \int_0^L x \cdot dF_{\bar{u}_i} \cdot \cos \phi_i = 0 \end{cases} \quad (4.4)$$

unde:

$$dF_{\bar{u}_i} = p_{xi} \cdot dA = p_{xi} \cdot S_i \cdot dx \quad (4.5)$$

$\phi_i$  unghiul dintre normala la suprafața sa  $i$  și direcția momentului de răsturnare

Pe suprafețele multiple de contact dintre piesele conjugate ale îmbinării momentul de răsucire  $T$  produce presiunea medie  $p_m$  conform ecuației (4.1). Existența, între componentele torsorului de reducere a acțiunilor exterioare la axa îmbinării, și a momentului de răsturnare  $M_r$  produce neuniformitatea presiunii efective  $p_x$  pe lungimea îmbinării pe fiecare din suprafețele de contact  $i$ . Presiunea efectivă  $p_{xi}$  la distanța  $x$  de unul din capetele îmbinării are valoarea:

$$p_{xi} = p_m + \left( \frac{2 \cdot x}{L} - 1 \right) \cdot \Delta p_{i,max} \quad (4.6)$$

unde  $\Delta p_{i,max}$  este valoarea maximă a creșterii presiunii pe suprafața portantă  $i$  datorită momentului de răsturnare  $M_r$  și depinde de unghiul  $\phi_i$  dintre normala la suprafața sa  $i$  și direcția momentului de răsturnare:

$$\Delta p_{i,max} = \Delta p_{max} \cdot \sin \phi_i \quad (4.7)$$

Momentul  $M_r$  este preluat de toate cele  $z$  suprafețe portante:

$$M_r = \sum_{i=1}^z \int_0^L p_{xi} \cdot S_1 \cdot x \cdot \sin \varphi_i \cdot dx \quad (4.8)$$

Înlocuind în ecuația (4.5) valoarea  $p_{xi}$  din ecuațiile (4.3) și (4.4) și ținând seama că:

$$\sum_{i=1}^z \sin \varphi_i = 0; \quad \varphi_i = \varphi_1 + 2 \cdot \pi \cdot (i - 1) / z$$

se obține:

$$M_r = \frac{1}{12} \cdot S_1 \cdot L^2 \cdot \Delta p_{\max} \cdot \sum_{i=1}^z (1 - \cos 2 \varphi_i) \quad (4.9)$$

și, ținând seama că:

$$\sum_{i=1}^z \cos 2 \varphi_i = 0; \quad \varphi_i = \varphi_1 + 2 \cdot \pi \cdot (i - 1) / z$$

se determină:

$$\Delta p_{\max} = \frac{12 \cdot M_r}{z \cdot S_1 \cdot L^2} \quad (4.10)$$

iar valoarea coeficientului de concentrare a sarcinii  $k_{M_r}$  datorat încărcării îmbinării cu un moment de răsturnare  $M_r$  este:

$$k_{M_r} = \frac{p_{\max}}{p_m} = 1 + \frac{\Delta p_{\max}}{p_m} = 1 + \frac{6 \cdot M_r \cdot d_m}{T \cdot L} \quad (4.11)$$

Valoarea  $k_{M_r}$  dată de ecuația (4.11) este valabilă numai pentru momente de răsturnare relativ mici, pentru care  $\Delta p_{\max} < p_m$ , deci:

$$M_r \leq T \cdot \frac{L}{6 \cdot d_m} \quad (4.12)$$

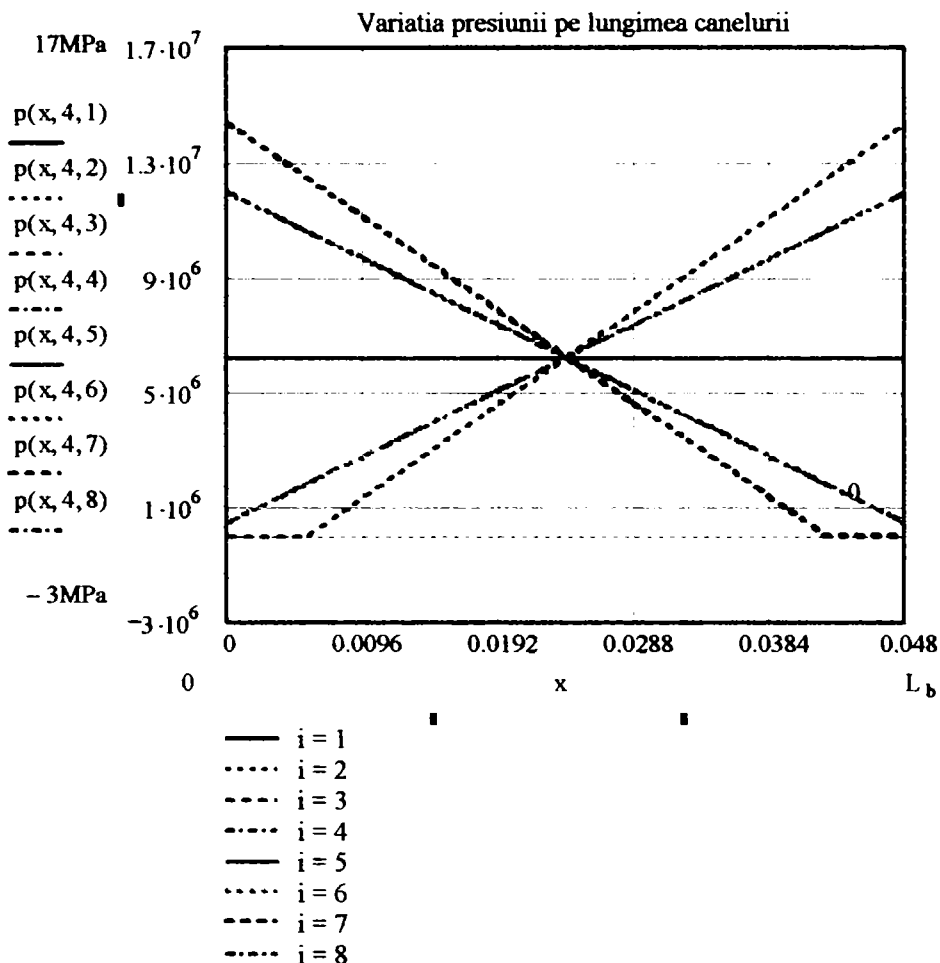
În aceste condiții,  $k_{M_r} \in [1; 2]$ .

Dacă nu este îndeplinită condiția (4.12), în anumite zone ale îmbinării suprafețele conjugate pierd contactul relativ, preluarea sarcinii făcându-se pe suprafețe restrânse. În aceste cazuri, coeficientul  $k_{M_r}$  are valori mai mari decât 2.

În Anexa 7 este cuprins studiul analitic al variației presiunii pe suprafețele portante ale îmbinării canelate 32 x 38 x 5 x 10 de referință, solicitate cu moment de răsturnare.

În figura 4.1 este prezentată variația presiunii pe canelurile îmbinării solicitate cu momentul de răsucire  $T = 100 \text{ Nm}$  și cu momentul de răsturnare  $M_r = 0,25 T = 25 \text{ Nm}$ . Presiunea maximă se află la capete opuse ale îmbinării pentru canelurile separate de planul axial

perpendicular pe direcția momentului de răsturnare. La mijlocul îmbinării, presiunea este egală cu cea medie, pe toate canelurile îmbinării.



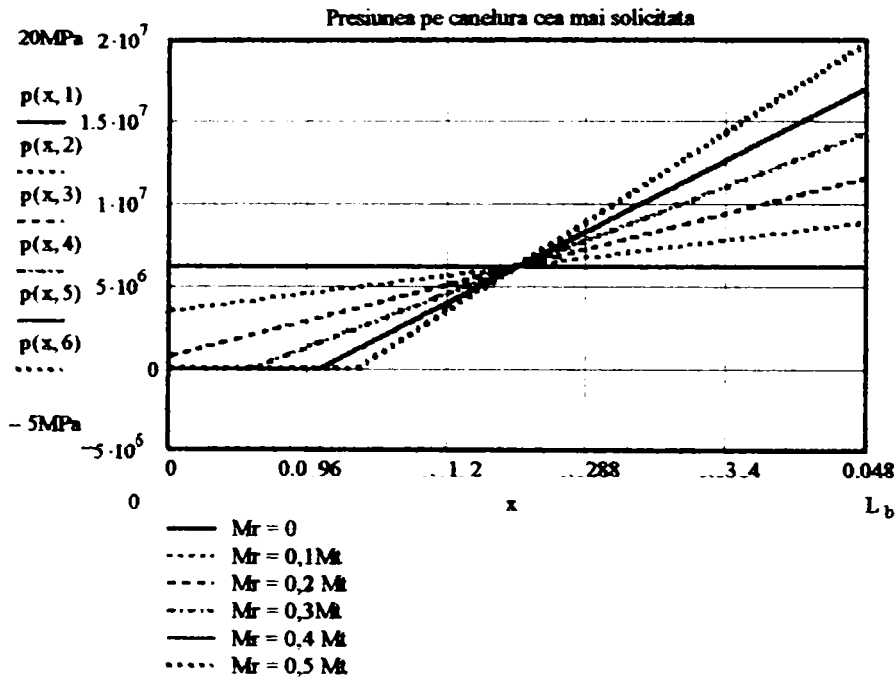
**Fig. 4.1. Variația presiunii pe lungimea canelurilor îmbinării solicitate cu moment de răsturnare  $M_r = 0,25 T$ .**

În figura 4.2 este prezentată variația presiunii pe canelura cea mai solicitată a îmbinării de referință (din planul axial al momentului de răsturnare), pentru momente de răsturnare până la 50% din momentul de răsucire. Odată cu sporirea ponderii momentului de răsturnare în torsorul de reducere al acțiunilor exterioare, presiunea maximă crește proporțional, pe când cea minimă se apropie de 0. Dacă momentul de răsturnare depășește valoarea limită:

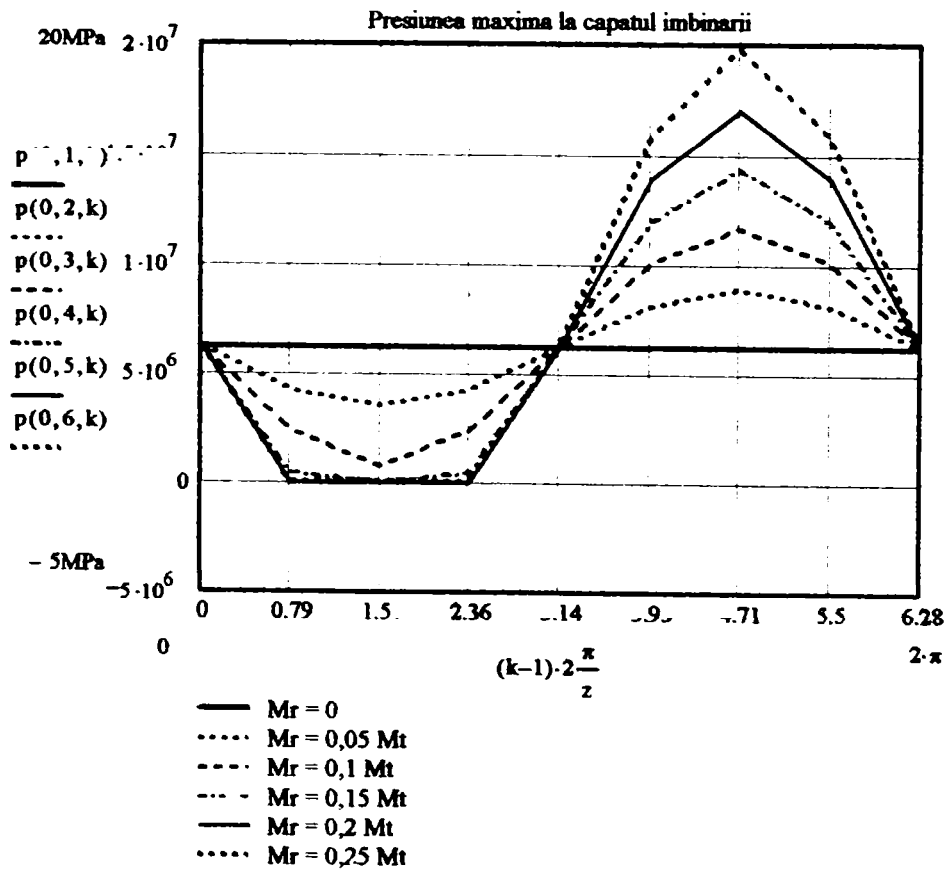
$$M_{r\lim} = T \cdot \frac{L}{6 \cdot d_m}, \quad (4.13)$$

la capătul descărcat al îmbinării se pierde contactul dintre caneluri. Lungimea portantă (de contact) a canelurilor este mai mică decât lungimea butucului. Distribuția de presiuni nu mai este trapezoidală ci triunghiulară, presiunea maximă crescând foarte mult. Momentele de răsturnare depășesc însă rareori valoarea limită. În cazul roților de transmisie montate pe arbori canelați, tendința de răsturnare produsă de asimetria coroanei față de butuc și / sau de componenta axială

a rezultantei acțiunilor exterioare (roți dințate cilindrice cu dinți înclinați, roți dințate conice sau roți melcate) nu depășește în cazurile uzuale limita recomandată de relația (4.13).



**Fig. 4.2. Variația presiunii pe lungimea îmbinărilor canelate solicitate cu moment de răsturnare.**

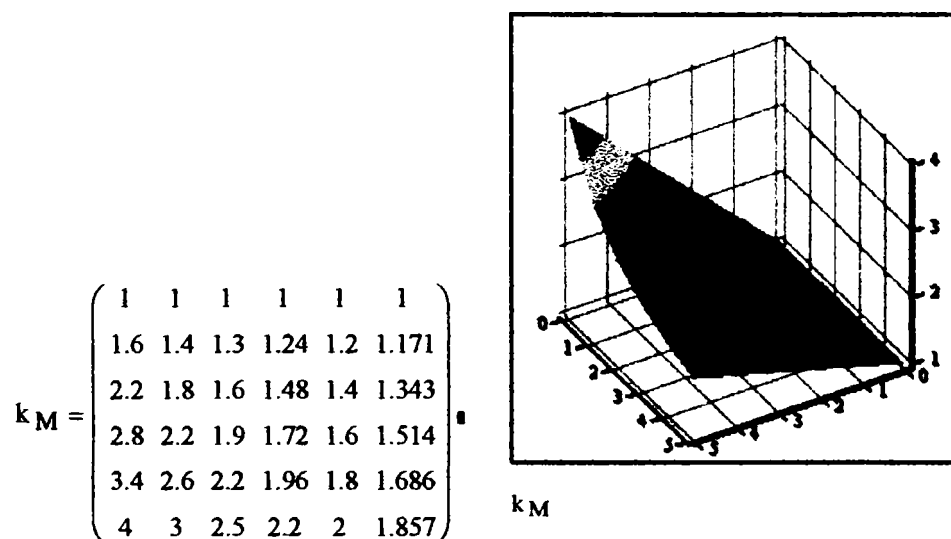


**Fig. 4.3. Variația presiunii maxime în îmbinările canelate solicitate cu moment de răsturnare.**

Presiunea de la un capăt al îmbinării variază pe parcursul unei rotații, ca în figura 4.3. Dacă momentul de răsturnare depășește valoarea limită, pe o secvență a mișcării presiunea se anulează, solicitarea variabilă de contact având caracter pulsant. Îmbinările încărcate cu moment de răsturnare mai mare decât valoarea limită suferă deformații plastice la capete, în special canelurile din butuc. Sunt afectate astfel precizia de centrare asigurată de îmbinare și performanțele întregului sistem mecanic.

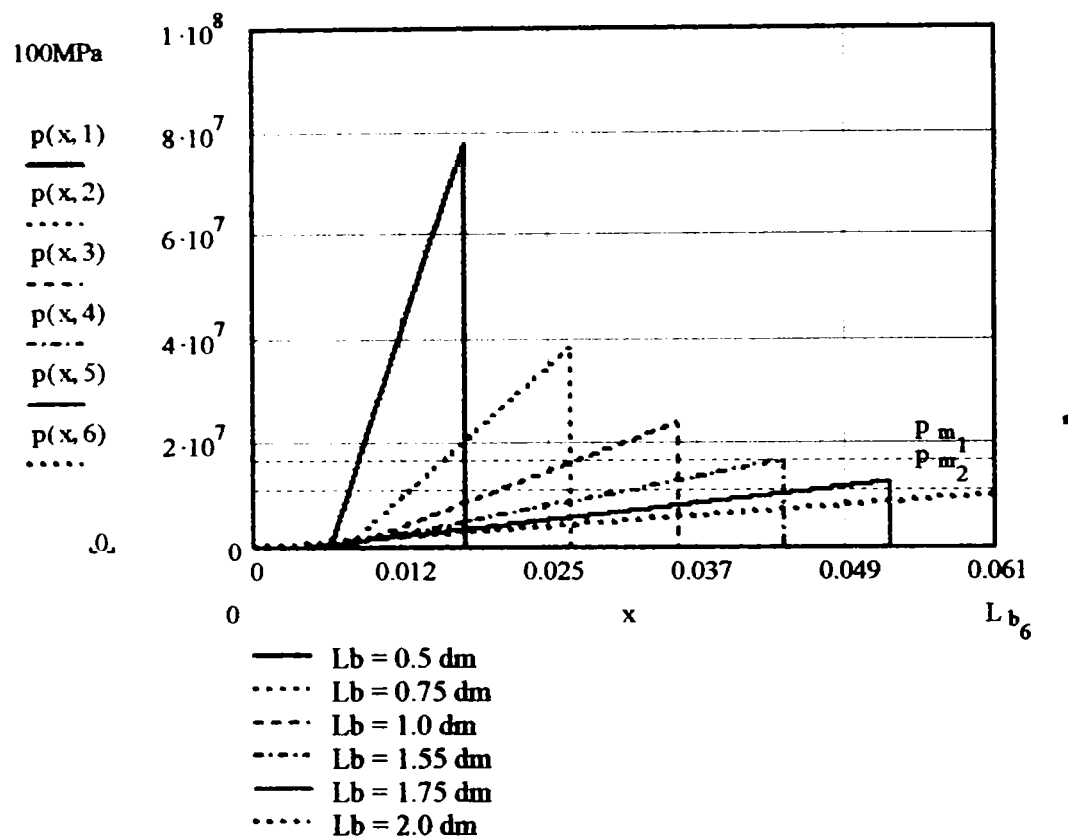
Pentru evitarea deformațiilor remanente produse de presiunile variabile pe suprafețele portante, este recomandată preluarea momentelor de răsturnare mari pe alte suprafețe decât cele portante ale canelurilor, prin lăgăruirea separată a rotorului, prin utilizarea centrării interioare sau prin rezemarea axială fermă a butucului pe arbore. Dacă nu este posibilă nici una din soluțiile recomandate (de ex. la roțile baladoare ale cutiilor de viteze) este necesară mărirea lungimii îmbinării (a butucului).

Influența lungimii butucului asupra coeficientului de repartiție a sarcinii și a variației presiunii din îmbinare este prezentată în figurile 4.4 și 4.5. Diagrama din figura 4.4 evidențiază creșterea liniară a coeficientului  $k_M$  cu creșterea momentului de răsturnare și scăderea hiperbolică a acestuia în funcție de lungimea îmbinării, așa cum arată și relația (4.11). Pentru momente de răsturnare egale cu jumătate din momentul de răsucire, pentru a evita pierderea contactului dintre caneluri în anumite faze ale mișcării este necesară o lungime a îmbinării de cel puțin de două ori mai mare decât diametrul acesteia.



**Fig. 4. 4. Coeficientului  $k_M$  de repartiție a presiunii în îmbinările canelate solicitate cu moment de răsturnare.**

Creșterea lungimii butucului produce scăderea asimptotică a presiunii maxime din îmbinare dar și a celei medii (v. și figura 4.5), și de aceea nu este rațional să se utilizeze butuci mai lungi decât 2,5 ori diametrul nominal al îmbinării.



**Fig. 4. 5. Variația presiunii maxime pe lungimea îmbinărilor canelate solícitate cu moment de răsturnare, pentru diferite valori ale raportului L/d.**

### **§4.3. Repartiția sarcinii datorită deformațiilor de torsiune ale arborelui și butucului**

Valoarea presiunii medii  $p_m$  a fost determinată în ipoteza rigidității infinite ale elementelor îmbinării (arbore și butuc) și a perechilor de suprafețe portante. În realitate, distribuția presiunii lungimea îmbinării este în mare măsură determinată de rigiditatea finită a acestora, adică de deformațiile elastice ale arborelui, butucului și canelurilor acestora apărute în urma încărcării cu moment de răsucire.

Pentru studiul repartiției sarcinii pe lungimea îmbinării se pornește de la ecuația de echilibru a momentelor pe direcția axei x ce acționează asupra unui tronson de arbore de lungime infinit mică  $dx$ , situat la distanța  $x$  de unul din capetele îmbinării (v. fig. 4.1):

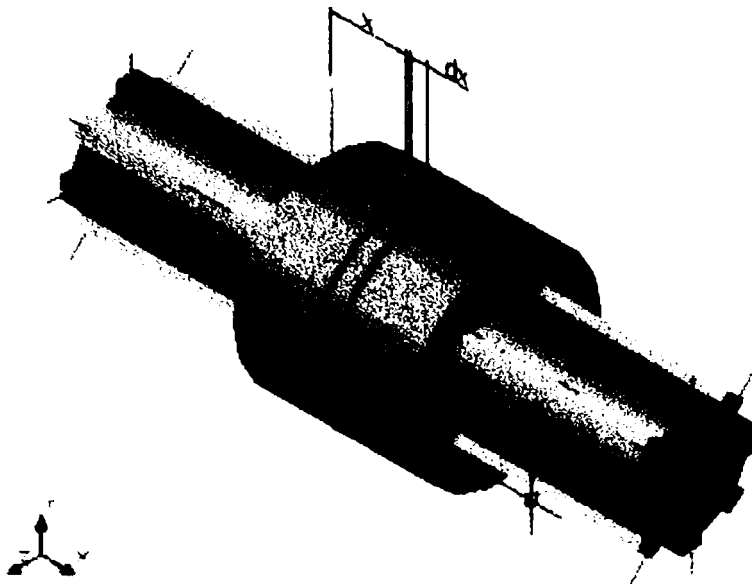


Fig. 4.6. Echilibrul tronsonului de arbore de lungime infinit mică  $dx$

$$T_x + dT_x = T_x + 0,5 \cdot z \cdot p_x \cdot d_m \cdot h \cdot dx \quad (4.14)$$

unde:

$T_x$  [mNm] – momentul de torsiune din arbore în secțiunea  $x$ .

Considerând, ca și până acum, că presiunea  $p_x$  pe suprafețele portante ale elementelor îmbinării este direct proporțională cu interferența lor, adică cu deplasarea relativă unui punct din zona nedeformată a butucului față de omologul său de pe arbore ca urmare a deformației însumate a zonei de contact, și notând cu  $\varphi_{x1,2}$  deformația unghiulară de torsiune a secțiunii arborelui, respectiv butucului, în secțiunea studiată, ecuația (4.10) devine:

$$\frac{dT_x}{dx} = c_T \cdot (\varphi_{x1} - \varphi_{x2}) \quad (4.15)$$

unde:

$c_T$  - rigiditatea la torsiune a elementelor îmbinării;

$$c_T = \frac{1}{2} \cdot z \cdot c_F \cdot d_m$$

ecuația (4.15) se poate rezolva în funcție de modul de aplicare a momentelor  $T$  asupra arborelui și butucului, utilizând ecuațiile de deformații:

- pentru arbore:

$$d\varphi_{x1} = \frac{T_x \cdot dx}{G_1 \cdot I_{p1}} \quad (4.16)$$

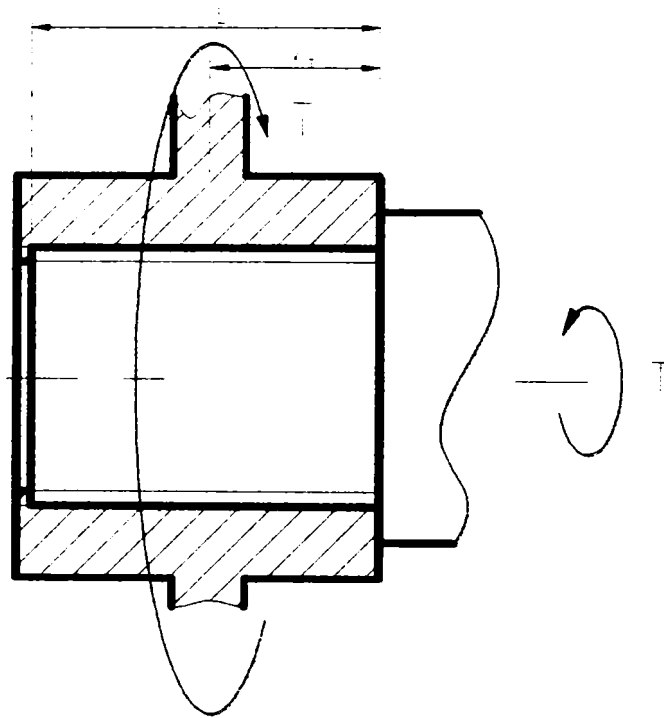
- pentru butuc:

$$a) d\varphi_{x2} = \frac{T_x \cdot dx}{G_2 \cdot I_{p2}} \quad (4.17.a)$$

în afara zonei cuprinse între secțiunile de aplicare a momentului de răsucire și:

$$b) d\varphi_{x2} = \frac{(T - T_x) \cdot dx}{G_2 \cdot I_{p2}} \quad (4.17.b)$$

între secțiunile de aplicare a momentelor (fig. 4.2).



**Fig. 4.7. Aplicarea momentului de torsiune asupra arborelui și butucului unei îmbinări prin caneluri**

Derivând ecuația (4.14) în raport cu  $x$  și înlocuind mărimile  $d\varphi_{x1,2}$  din ecuațiile (4.16), respectiv (4.17. a și b) se obține ecuația diferențială a transferului de sarcină de la arbore la butuc:

$$\frac{d^2 T_x}{dx^2} - \mu^2 \cdot T_x = 0 \quad (4.18.a)$$

pentru cazul a, respectiv:

$$\frac{d^2 T_x}{dx^2} - \mu^2 \cdot T_x = -\mu^2 \cdot \lambda \cdot T \quad (4.18.b)$$

pentru cazul b, unde:

$T_x$  [mNm] – momentul de torsiune din arbore în secțiunea  $x$ ,

$G_{1,2}$  [MPa] – modulele de elasticitate transversale ale materialului arborelui, respectiv butucului;



$I_{p1,2}$  [mm<sup>4</sup>] – momentele de inerție polare ale secțiunii arborelui, respectiv butucului.

În ecuațiile (4.17) s-au folosit notațiile:

$$\mu^2 = c_T \left( \frac{I}{G_1 \cdot I_{p1}} + \frac{I}{G_2 \cdot I_{p2}} \right) \quad [\text{mm}^{-2}]$$

și

$$\lambda = \frac{G_1 \cdot I_{p1}}{G_1 \cdot I_{p1} + G_2 \cdot I_{p2}} \quad [-]$$

Rezolvând ecuațiile diferențiale liniare (4.18.a) și (4.18.b) și adăugând condițiile de limită(4.19):

$$\begin{aligned} T_x &= 0 \quad \text{pentru} \quad x = 0 \\ T_x &= T \quad \text{pentru} \quad x = L \end{aligned} \quad (4.19 \text{ a})$$

și condițiile de continuitate:

$$T_{x1} = T_{x2} \quad \text{și} \quad \frac{dT_{x1}}{dx} = \frac{dT_{x2}}{dx} \quad \text{pentru} \quad x = x_T \quad (4.19 \text{ b})$$

Se obțin soluțiile:

$$T_x = T \cdot \frac{[1 - \lambda + \lambda \cdot \text{ch}(\mu \cdot L - \mu \cdot x_T)] \cdot \text{sh}(\mu x)}{\text{sh}(\mu L)} \quad (4.20. \text{a})$$

respectiv:

$$T_x = T \cdot \left[ \frac{(1 - \lambda) \cdot \text{sh}(\mu x) - \lambda \cdot \text{ch}(\mu \cdot x_T) \cdot \text{sh}(\mu L - \mu x)}{\text{sh}(\mu L)} + \lambda \right] \quad (4.20. \text{b})$$

Presiunea locală  $p_x$  pe suprafețele portante ale elementelor îmbinării este:

$$p_x = \frac{dT_x}{dx} \cdot \frac{2}{d_m \cdot z \cdot S_1} \quad (4.21)$$

Pentru cele două zone analizate se poate determina valoarea presiunii  $p_x$  introducând în ecuația (4.17) expresiile eforturilor de torsiune  $T_x$  din ecuațiile (4.16.a), respectiv (4.16.b):

$$p_x = p_m \cdot \frac{\mu \cdot L \cdot [1 - \lambda + \lambda \cdot \text{ch}(\mu \cdot L - \mu \cdot x_T)] \cdot \text{ch}(\mu \cdot x)}{\text{sh}(\mu \cdot L)} \quad (4.22. \text{a})$$

respectiv

$$p_x = p_m \cdot \frac{\mu \cdot L \cdot [(1 - \lambda) \cdot \text{ch}(\mu \cdot x) + \lambda \cdot \text{ch}(\mu \cdot x_T) \cdot \text{ch}(\mu \cdot L - \mu \cdot x)]}{\text{sh}(\mu \cdot L)} \quad (4.22. \text{b})$$

Valorile maxime ale presiunii  $p_x$  se întâlnesc în secțiunea  $x = L$

$$p_{\max} = p_m \cdot \frac{\mu \cdot L \cdot [1 - \lambda + \lambda \cdot \text{ch}(\mu \cdot L - \mu \cdot x_T)] \cdot \text{ch}(\mu \cdot L)}{\text{sh}(\mu \cdot L)} \quad (4.23. \text{a})$$

$$p_{\max} = p_m \cdot \frac{\mu \cdot L \cdot [(1 - \lambda) \cdot \text{ch}(\mu \cdot L) + \lambda \cdot \text{ch}(\mu \cdot x_T)]}{\text{sh}(\mu \cdot L)} \quad (4.23. b)$$

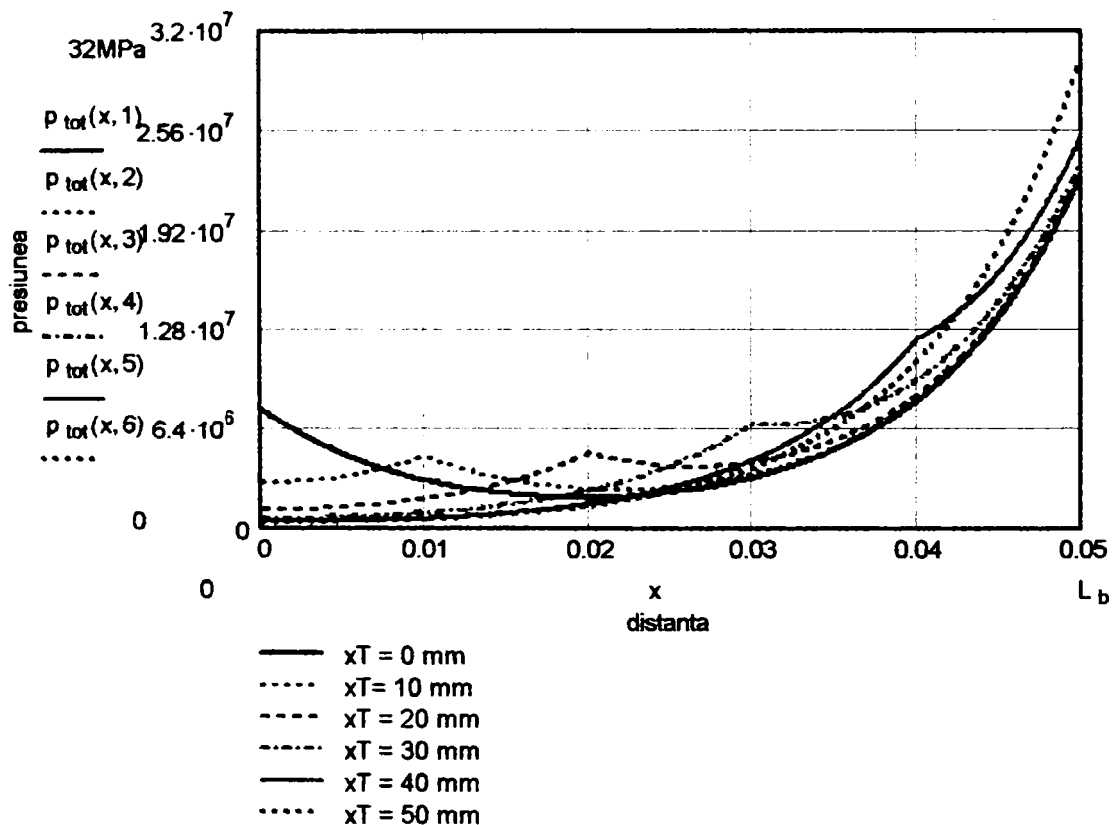
Deoarece presiunea medie  $p_m$  are expresia:

$$p_m = \frac{2 \cdot T}{d_m \cdot z \cdot S_1 \cdot L} \quad (4.1)$$

valorile coeficienților de concentrare a sarcinii  $k_d$  pentru cele două cazuri sunt:

$$k_d = \frac{p_x}{p_m} = \frac{\mu \cdot L \cdot [1 - \lambda + \lambda \cdot \text{ch}(\mu \cdot L - \mu \cdot x_T)] \cdot \text{ch}(\mu \cdot L)}{\text{sh}(\mu \cdot L)} \quad (4.24. a)$$

$$k_d = \frac{\mu \cdot L \cdot [(1 - \lambda) \cdot \text{ch}(\mu \cdot L) + \lambda \cdot \text{ch}(\mu \cdot x_T)]}{\text{sh}(\mu \cdot L)} \quad (4.24. b)$$



**Fig. 4.8. Variația presiunii pe lungimea îmbinării pentru diferite secțiuni de aplicare a momentului de răsucire.**

Variația presiunii pe lungimea îmbinării este prezentată în fig. 4.8, în care se evidențiază existența unui maxim la ambele capete ale îmbinării. Este de asemenea evident că valoarea presiunii maxime și deci a coeficientului de concentrare a sarcinii (v. și fig. 4.9 și Anexa 8) este mai mare dacă momentul de răsucire se aplică mai aproape de zona solicitată a arborelui. Explicația acestui fenomen constă în faptul că momentele de torsiune din arbore și butuc au sensuri opuse, și deci, deformațiile unghiulare ale acestora au, de asemenea, sensuri opuse. Din acest motiv, interferența dintre suprafețele portante conjugate este maximă la capătul

încărcat cu momentul maxim de torsiune al arborelui și minimă la celălalt. În acest caz, transferul de sarcină este mai “energic” la capătul îmbinării la care este aplicat momentul de răsucire.

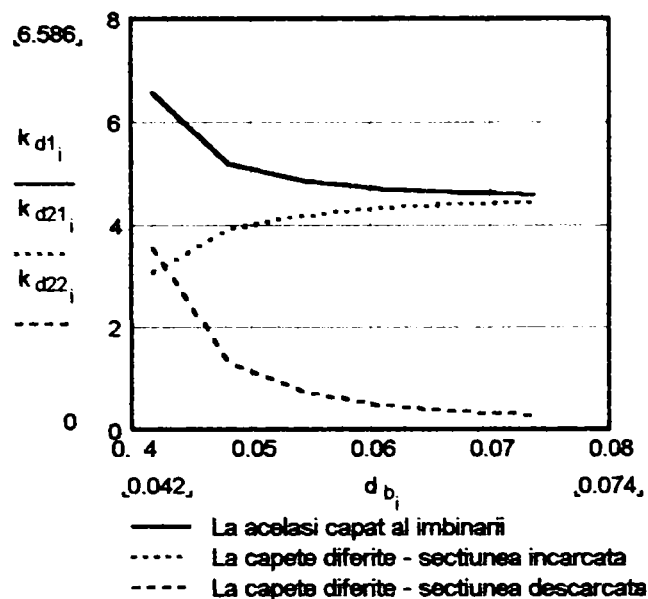


Fig. 4.9. Coeficientul de repartiție a sarcinii pentru diferite diametre ale butucului.

În cazul în care momentele de răsucire sunt aplicate arborelui și butucului la capete opuse ale îmbinării ( $x_T = 0$ , cazul arborilor cardanici și telescopici), momentul de torsiune din arbore și din butuc și deformațiile unghiulare ale acestora au același sens. Din acest motiv, interferența dintre suprafețe portante conjugate este semnificativă pe toată lungimea îmbinării, transferul de sarcină fiind mai uniform distribuit. Transmiterea optimă a încărcării între arbore și butuc are loc atunci când maximele de presiune din secțiunile  $x = 0$  și  $x = L$  sunt egale. Condiția de optimă portanță este deci:

$$\lambda = \frac{1}{2}, \quad (4.25)$$

adică, conform notațiilor din formula (4.17):

$$G_1 \cdot I_{p1} = G_2 \cdot I_{p2} \quad (4.26)$$

Pentru o îmbinare cu arbore plin, condiția (4.26) devine:

$$d_{b_{opt}} = D \cdot \sqrt[4]{1 + \frac{G_1}{G_2} \cdot \left(\frac{d}{D}\right)^4} \quad (4.27)$$

În figura 4.10 sunt trasate diagramele de variație a presiunii pentru îmbinări prin caneluri 32 x 38 x 6 x 8 cu lungimea de 50 mm și cu diametre exterioare ale butucului cuprinse între 42 mm și 58 mm, utilizând foaia de calcul MATHCAD din Anexa 8. Numai la îmbinarea

cu diametrul butucului minim (grosime de 2 mm) presiunile de la capetele îmbinării sunt apropiate.

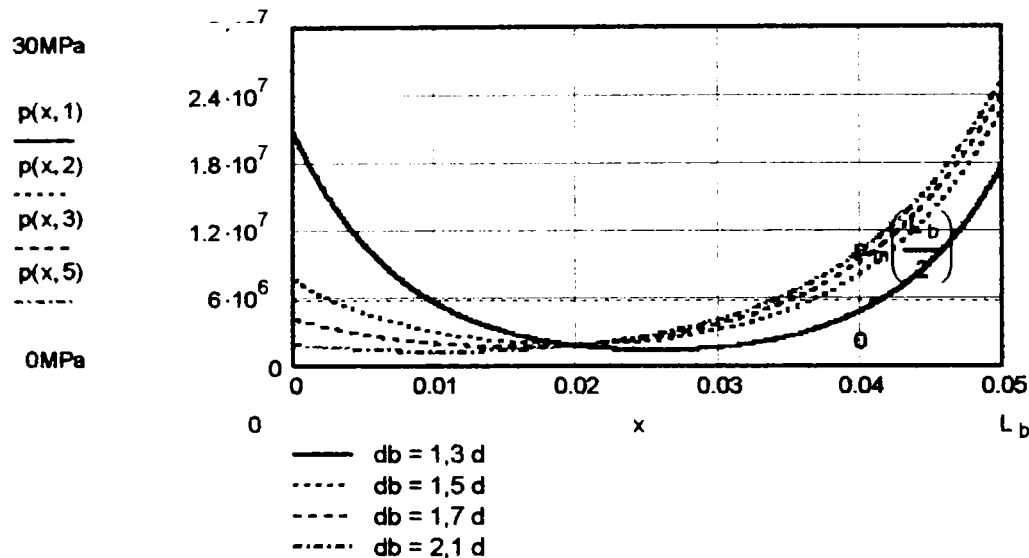


Fig. 4.10. Variația presiunii pe lungimea îmbinării pentru diferite diametre ale butucului.

Pentru seriile de dimensiuni standardizate, condiția de echiportanță se obține, la îmbinările cu butuc de oțel, pentru diametre exterioare ale butucului de (1,13 ... 1,16) D la seria ușoară, (1,08 ... 1,12) D la seria mijlocie și (1,09 ... 1,14) D la seria grea. Diametrele optime ale butucului au valori relativ mici și contravin recomandărilor tehnologice pentru elaborarea semifabricatului (grosimea peretelui la turnare sau forjare în matriță) și prelucrare finală (rezistența la tracțiune a butucului la broșarea canelurilor). Din acest motiv, condiția de optimă portanță nu poate fi obținută dar recomandăm proiectarea îmbinărilor cu butuci cu perete cât mai subțire, pentru minimizarea efectului de repartiție neuniformă a sarcinii pe caneluri.

Este evident că, pentru funcționarea optimă a îmbinării (adică pentru încărcarea suprafețelor portante cât mai aproape de condiția de echiportanță), se recomandă să se proiecteze rotorul în așa fel încât transmiterea momentului de răsucire de la disc sau spițe la butuc să se facă la capătul opus celui în care arborele este supus momentului maxim de torsiune. Această condiție nu poate fi îndeplinită întotdeauna, în special din considerente constructive (de exemplu la roțile mici ale transmisiilor mecanice, la care coroana este legată direct de butuc, fără ca roata să mai aibă disc sau spițe). În aceste cazuri, momentul de răsucire se aplică distribuit asupra butucului, pe lățimea coroanei. În ipoteza că transferul de sarcină de la transmisie către rotor este progresiv, se poate considera că momentul de răsucire aplicat butucului este uniform distribuit t:

$$t = \frac{T}{L_c}, \quad (4.28)$$

unde  $L_c$  este lățimea coroanei. Funcția de moment de torsiune din butuc:

$$T_{xb} = t \cdot x - T_x \tag{4.29}$$

impune o formă nouă pentru expresia (4.17 b) a diferențialei rotirii butucului în secțiunea x:

$$d\varphi_{x2} = \frac{(t \cdot x - T_x) \cdot dx}{G_2 \cdot I_{p2}} \tag{4.30}$$

Ecuția diferențială a transferului de sarcină are în acest caz forma:

$$\frac{d^2 T_x}{dx^2} - \mu^2 \cdot T_x = -\mu^2 \cdot \lambda \cdot t \cdot x \tag{4.31}$$

La rotoarele de tip disc lungimea butucului este egală cu lățimea coroanei. Soluția ecuației diferențiale (4.28) cu condițiile de limită (4.19) este:

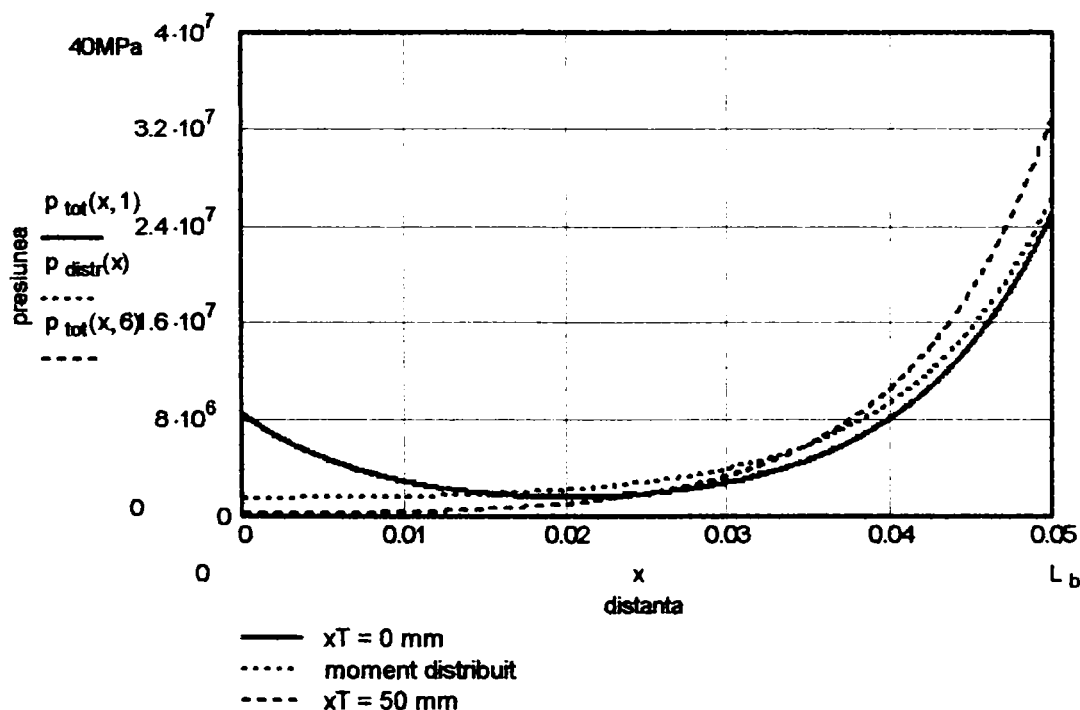
$$T_x = T \cdot \left[ (1 - \lambda) \frac{\text{sh}(\mu x)}{\text{sh}(\mu L)} + \lambda \cdot \frac{x}{L} \right], \tag{4.32}$$

o însumare între o lege hiperbolică și una liniară, iar presiunea pe lungimea îmbinării, (v. figura 4.11 și Anexa 8) determinată conform relației(4.21):

$$p_x = p_m \cdot \left[ \frac{\mu \cdot L \cdot (1 - \lambda) \cdot \text{ch}(\mu \cdot x)}{\text{sh}(\mu \cdot L)} + \lambda \right] \tag{4.33}$$

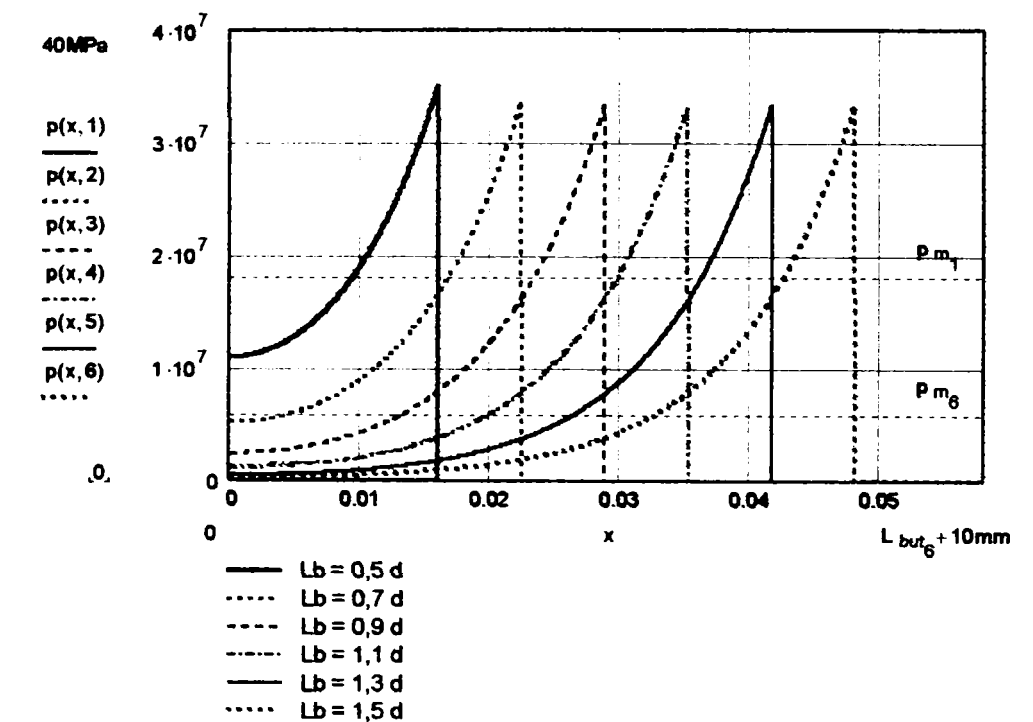
este crescătoare pe toată lungimea butucului. Coeficientul de concentrare a sarcinii are valoarea:

$$k_d = \frac{\mu \cdot L \cdot (1 - \lambda) \cdot \text{ch}(\mu \cdot L)}{\text{sh}(\mu \cdot L)} + \lambda \tag{4.34}$$

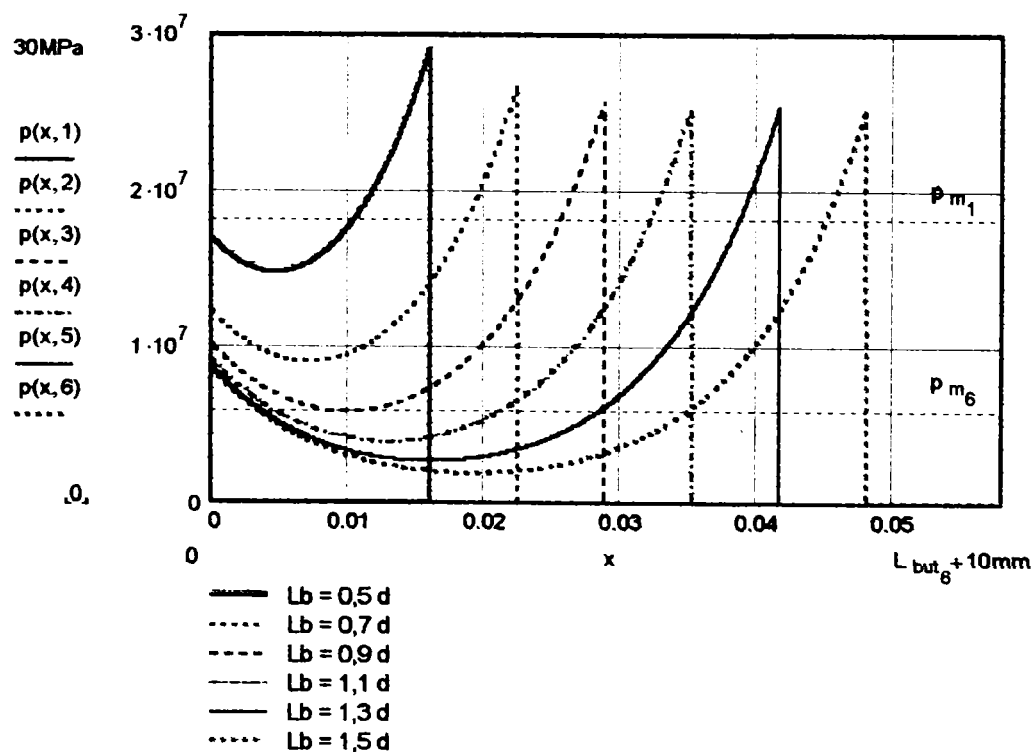


**Fig. 4.11. Variația presiunii pe lungimea îmbinării pentru aplicarea distribuită a momentului asupra butucului.**

Alura curbei este apropiată de cea pentru aplicarea concentrată a momentului la capătul încărcat al îmbinării, dar valoarea presiunii maxime și a coeficientului de repartiție a sarcinii sunt similari aplicării momentului la capătul opus.



a)

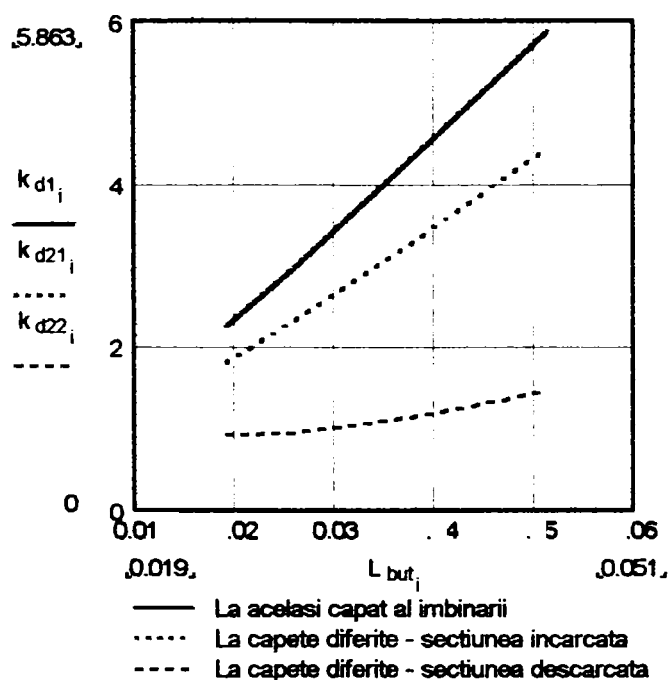


b)

Fig. 4.12. Influența lungimii butucului asupra presiunii din îmbinare, pentru aplicarea momentelor de răsucire asupra arborelui și butucului: a) la același capăt al îmbinării; b) la capetele opuse ale îmbinării.

Relația 4.1 și percepția comună consideră că presiunea pe caneluri este invers proporțională cu lungimea îmbinării. Diagramele din figura 4.12 (v și Anexa 8), și relațiile (4.23) contrazic această ipoteză. Valoarea maximă a presiunii din îmbinare este aproape aceeași pentru orice lungime a butucului îmbinării cuprinsă între 0,5 d și 1,5 d, indiferent de secțiunea de aplicare a momentului de răsucire. Se poate estima că doar o fracțiune din lungimea butucului de (0,5 ... 1) d participă eficient la preluarea momentului de răsucire. Nu este rațional deci să se proiecteze îmbinări cu butuci prea lungi, pe lângă dezavantajul gabaritic și al consumului mai ridicat de material adăugându-se și sporirea gradului de nedeterminare statică al îmbinării prin creșterea ariei nominale de contact, ceea ce impune ridicarea preciziei geometrice a elementelor îmbinării sau mărirea jocurilor pentru a respecta pe toată lungimea condițiile de montaj (v. §3.1).

Pentru calculul coeficientului  $k_d$  de repartiție a sarcinii se raportează presiunea maximă la cea medie, care este invers proporțională cu lungimea îmbinării. Valorile acestui coeficient (v. fig. 4.13 și Anexa 8), cresc pentru lungimi ale butucului mai mari. Pentru îmbinarea de referință, studiată în anexa 8, coeficienții variază între 2 și 6 pentru aplicarea (defavorabilă, fig. 4.12 a) a momentului de răsucire asupra butucului în secțiunea încărcată a îmbinării și între 2 și 4 pentru aplicarea momentelor de răsucire asupra arborelui și butucului la capetele opuse ale îmbinării. Se remarcă utilizarea eficientă a lungimii nominale a îmbinării și valorile minime egale pentru ambele cazuri de încărcare dacă lungimea îmbinării este egală cu jumătate din diametrul său interior. La îmbinările scurte, modalitatea de aplicare a răsucirii asupra butucului este mai puțin importantă, observație utilizată la alegerea îmbinării de încercat pe standul descris în capitolul 6.



**Fig. 4.13. Coeficientul de repartiție a sarcinii în funcție de lungimea butucului**

Studiul făcut în acest capitol utilizează, pentru determinarea rigidităților canelurilor metoda prezentată în capitolul 5, care consideră neglijabilă apropierea dintre corpurile aflate în contact produsă de deformațiile microneregularităților suprafețelor portante. Deformațiile canelurilor produse de distribuțiile de presiuni astfel determinate (v. fig. 4.14 și Anexele 8 și 9) sunt însă mai mici decât înălțimea microneregularităților, ceea ce impune luarea în calcul a rigidității de contact a microgeometriei canelurilor.

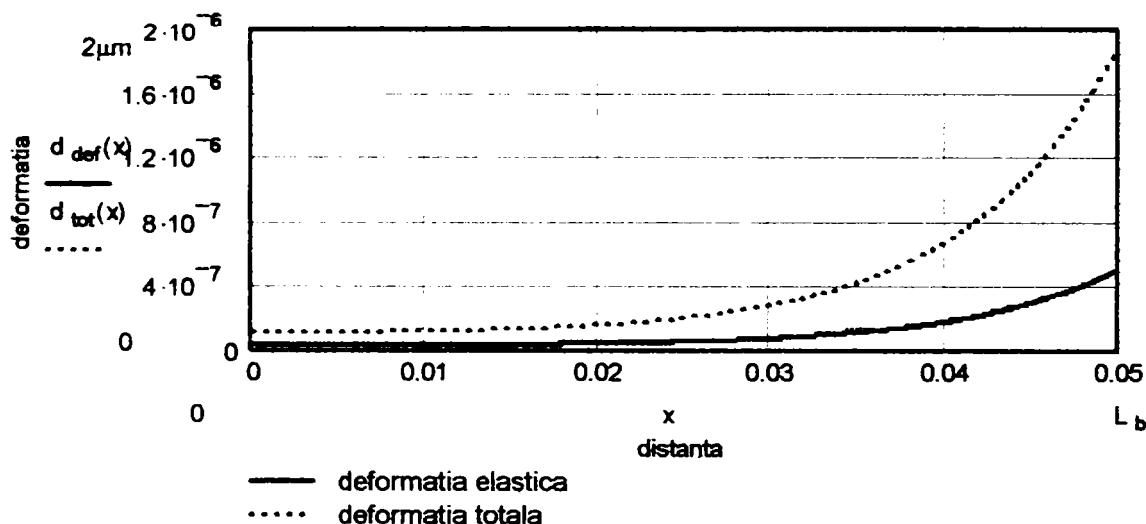


Fig. 4.14. Deformația însumată a canelurilor

Funcția rigidității de contact [B1; K7] are forma generală:

$$a(p_c) = R_p \cdot \left( \frac{p_c}{\alpha \cdot t_m \cdot p_r} \right)^{1/\nu}, \quad (4.35)$$

- unde:
- $a(p_c)$  este apropierea relativă între corpuri în funcție de presiunea efectivă;
  - $R_p$  – adâncimea de nivelare;
  - $p_c$  – presiunea efectivă de contact;
  - $p_r$  – presiunea reală de contact.

Pentru suprafețe portante rugoase ( $R_a > 0,16 \mu\text{m}$ ) fără ondulații (valuri) se poate utiliza relația aproximativă:

$$a(p_c) = 3,4 \cdot R_a \cdot \left( \frac{p_c}{p_r} \right)^{1/3}, \quad (4.36)$$

unde  $R_a$  este abaterea medie aritmetică a profilului.

Deoarece dependența sarcină / deformație nu este liniară, prin derivarea ecuației (4.15) nu se mai obține o ecuație diferențială liniară. Pentru a putea rezolva ecuația, se înlocuiește dependența (4.36) cu una liniară aproximativă (v. figura 4.15 și anexa 8), pe intervalul de presiuni estimat  $[0; p_{\text{max}}]$ :



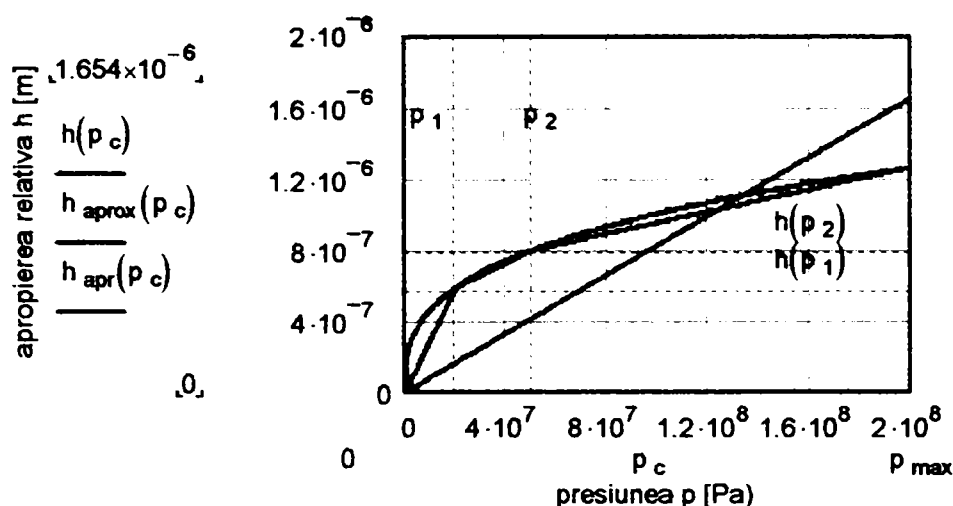


Fig. 4.15. Diagrama rigidității de contact.

$$a_{aprox}(p) = a\left(\frac{2}{3} \cdot p_{max}\right) \cdot \frac{p}{\frac{2}{3} p_{max}} \quad (4.37)$$

care intersectează curba teoretică în punctul  $A\left(\frac{2}{3} p_{max}; a\left(\frac{2}{3} p_{max}\right)\right)$ , cu elasticitatea aproximată:

$$e_{aprox} = a\left(\frac{2}{3} \cdot p_{max}\right) \cdot \frac{E}{\frac{2}{3} p_{max}} \quad (4.38)$$

Erorile introduse prin această aproximație sunt relativ mari. Pentru calcule mai precise se aproximează dependența dintre apropierea relativă și presiunea efectivă prin tronsoane liniare (v. fig. 4.16 și Anexa 9) care intersectează curba teoretică în punctele  $A_i(p_i; a(p_i))$ , (unde  $p_i$  sunt valori intermediare convenabil alese ale presiunii în intervalul  $[0; p_{max}]$ ), și care au expresiile:

$$a_{apri}(p) = a(p_i) + \frac{a(p_{i+1}) - a(p_i)}{p_{i+1} - p_i} \cdot (p - p_i) \quad (4.39)$$

Elasticitățile de contact pe tronsoanele considerate sunt:

$$e_{ci} = \frac{a(p_{i+1}) - a(p_i)}{p_{i+1} - p_i} \cdot E \quad (4.40)$$

și elasticitatea totală (de deformare și de contact):

$$e_{tot_i} = e_{def} + e_{ci} \quad (4.41)$$

Pentru obținerea soluției aproximative cu precizie satisfăcătoare am realizat o foaie de calcul MATHCAD (Anexa 9) folosind o metodă iterativă. Pentru valori ale presiunii maxime și intervale de presiuni se determină succesiv elasticitatea de deformare, elasticitatea aproximativă

(4.38) și repartiția presiunilor pentru aceste aproximații (figura 4.16 și Anexa 9). Se aleg apoi valorile intermediare  $p_i$  ale presiunii pe caneluri și se determină numeric (utilizând funcția **root** a programului MATHCAD) abscisele  $x_i$  ale secțiunilor în care presiunea are valorile  $p_i$ .

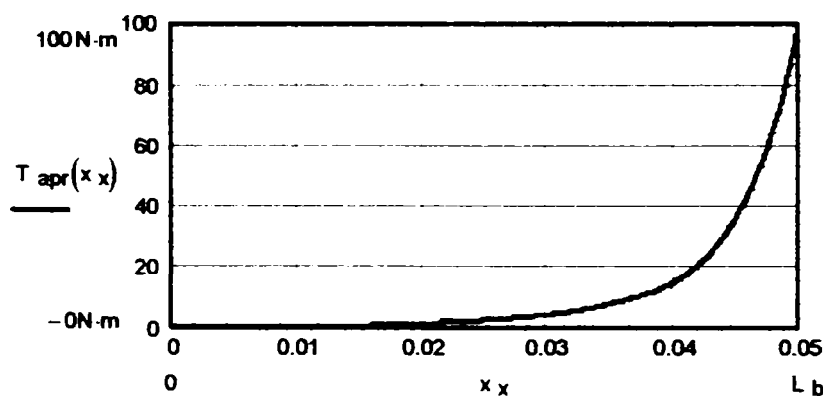
Soluțiile ecuațiilor diferențiale liniare de transfer a sarcinii:

$$T_{x_i} = T \cdot (C_{2i-1} \cdot e^{\mu x} + C_{2i} \cdot e^{-\mu x}) \quad (4.42)$$

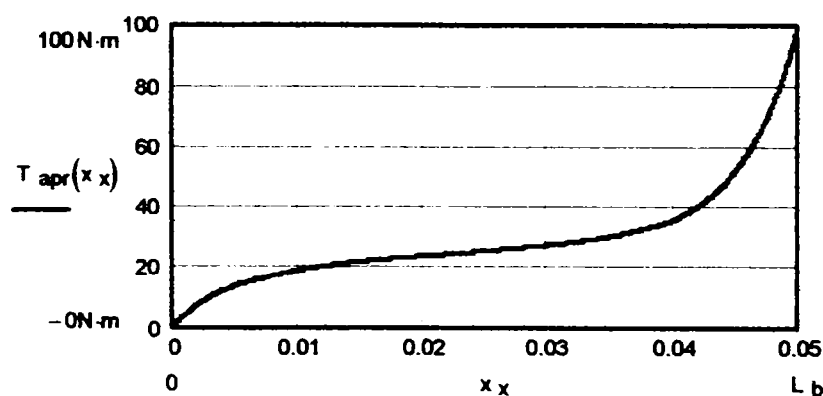
aproximează pe intervalele  $[x_i; x_{i+1}]$  soluția exactă, trebuie să îndeplinească condițiile de limită (4.19 a) și condițiile de continuitate:

$$T_{x_i} = T_{x_{i+1}} \quad \text{și} \quad \frac{dT_{x_i}}{dx} = \frac{dT_{x_{i+1}}}{dx} \quad \text{pentru} \quad x = x_i \quad (4.43)$$

Constantele de integrare  $C_i$  se obțin prin rezolvarea sistemului dat de ecuațiile (4.19) și (4.43) (v și Anexa 9) utilizând funcția **lsolve** a programului MATHCAD. Soluția aproximativă obținută pentru funcția de moment de torsiune este prezentată în figura 4.16, pentru cele două variante de aplicare a momentului de răsucire asupra butucului.



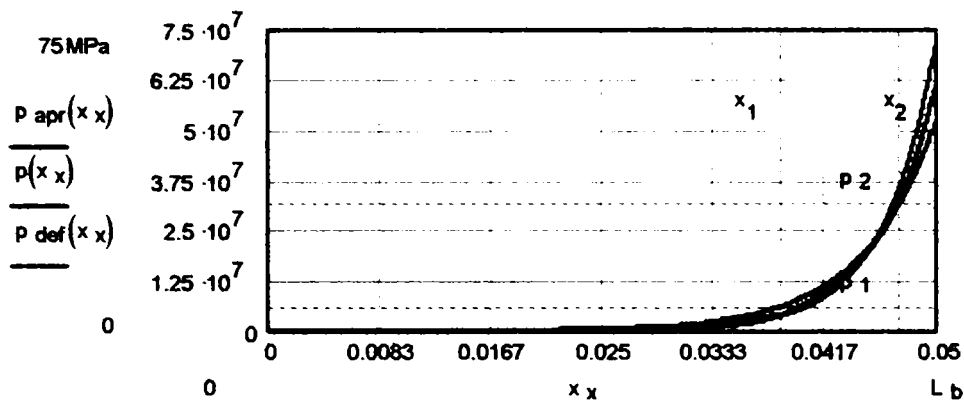
a)



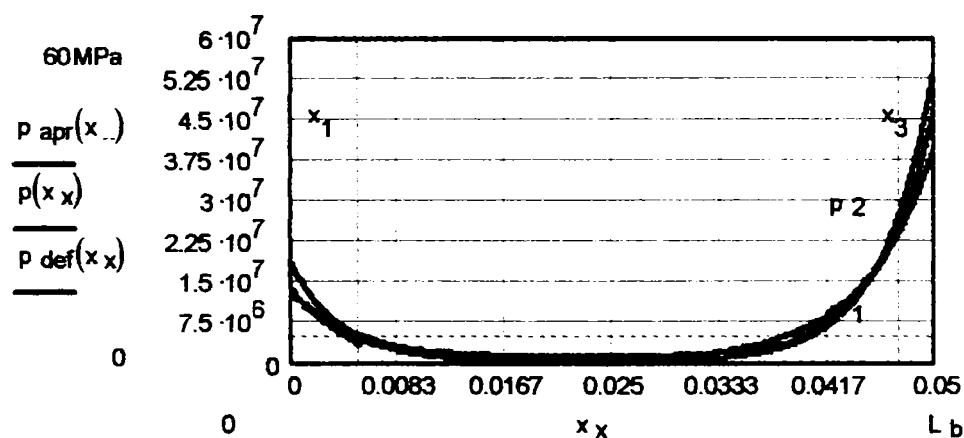
b)

**Fig. 4.16. Diagramele momentului de torsiune aproximativ din arbore pentru aplicarea momentelor de răsucire asupra arborelui și butucului: a) la același capăt al îmbinării; b) la capetele opuse ale îmbinării.**

Diagramele de variație a presiunii pe lungimea îmbinării (prezentate în figura 4.17), pentru cele două cazuri studiate, se obțin, conform ecuației (4.21), prin derivarea funcțiilor de moment de torsiune (4.42).



a)



b)

**Fig. 4.17. Variația presiunii pe caneluri pentru aplicarea momentelor de răsucire asupra arborelui și butucului: a) la același capăt; b) la capetele opuse ale îmbinării.**

Se compară apoi presiunile din secțiunile  $x_i$  la începutul și sfârșitul iterației. Dacă diferențele sunt peste o valoare maximă admisă de precizia de calcul necesară, calculul se reia cu noile valori ale presiunii. Dacă precizia este suficientă, soluția aproximativă se acceptă.

Deformațiile aproximative însumate ale canelurilor, calculate cu metoda iterativă, prezentate în figura 4.18, indică o participare mai intensă a mijlocului îmbinării la transferul de sarcină decât am presupus inițial. Totuși, presiunea din îmbinare prezintă maxime semnificative la capetele îmbinării, coeficienții de repartiție având valori în intervalele precizate.

Deformațiile estimate au însă valori de ordinul micronilor, adică în domeniul distanțelor inițiale dintre caneluri studiate în §3.2. Intrarea în contact a canelurilor nu se face pe toată lungimea îmbinării ci începând de la capete. De aceea, la iterațiile inițiale, pentru calculul coeficienților  $\mu_i$  (ec. 4.17) se consideră în contact  $z_c = 3$  caneluri iar la iterațiile ulterioare

numărul de caneluri în contact pe tronsoanele de la capetele îmbinării va fi determinat în funcție de erorile de pas ca în capitolul 3.

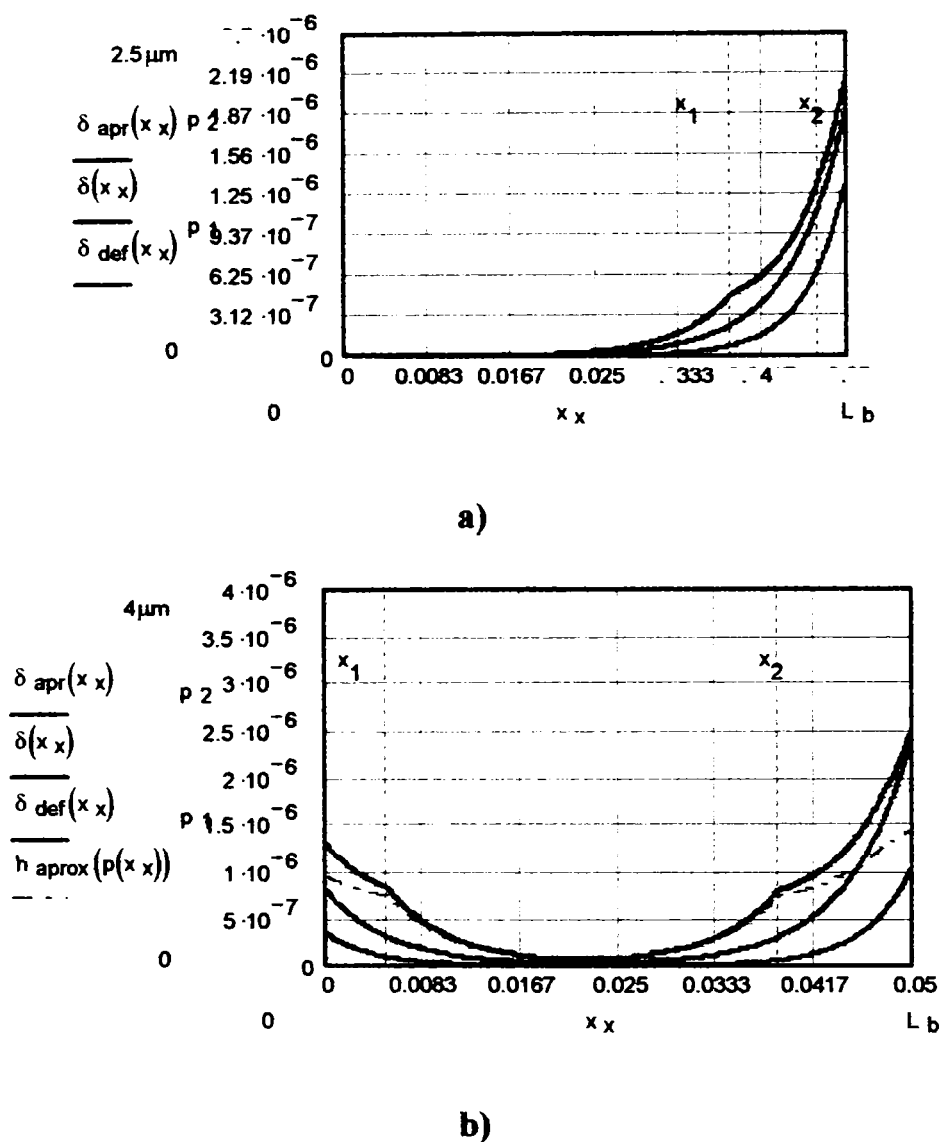


Fig. 4.18. Deformațiile canelurilor pentru aplicarea momentelor de răsucire asupra arborelui și butucului: a) la același capăt; b) la capetele opuse ale îmbinării.

#### §4.4. Repartiția sarcinii datorită abaterilor de paralelism ale suprafețelor portante ale arborelui și butucului față de axa îmbinării

Abaterile de paralelism ale suprafețelor portante față de axa îmbinării sunt urmare a erorilor de generare (prin frezare sau rectificare pentru arbore, prin broșare pentru butuc, vezi și paragraful 1.7) și se pot defini ca suma distanțelor dintre generatoarea cilindrului de diametru mediu  $d_m$  și suprafețele portante ale arborelui, respectiv butucului, pe direcția tangentei la acest cilindru perpendiculară pe axa lui.

În primă aproximație, aceste erori pot fi considerate ca fiind proporționale cu distanța  $x$  dintre secțiune în care ele sunt măsurate și capătul îmbinării.

$$\Delta = \xi \cdot x \quad (4.44)$$

În acest caz, în ecuația diferențială (4.10) mai apare un termen:

$$\frac{dT}{dx} = c_T \cdot \left( \varphi_{x1} - \varphi_{x2} - \frac{2 \cdot \xi \cdot x}{d_m} \right) \quad (4.45)$$

iar ecuațiile (4.14. a) și (4.14. b) devin:

$$\frac{d^2 T_x}{dx^2} - \mu^2 \cdot T_x = \Psi \quad (4.46 \text{ a})$$

pentru cazul a, respectiv:

$$\frac{d^2 T_x}{dx^2} - \mu^2 \cdot T_x = -\mu^2 \cdot \lambda \cdot T - \Psi, \quad (4.46 \text{ b})$$

unde  $\Psi = \frac{2\xi}{d_m} \cdot \mu^2 \cdot \lambda \cdot G_2 \cdot I_{p2} \text{ [N/mm]}$

Ecuațiile (4.27. a) și (4.27. b) au soluții de forma

$$T_x = T_{0x} + T_{ex}, \quad (4.47)$$

unde:

$T_{ex}$  – momentul suplimentar de torsiune în secțiunea  $x$  a îmbinării datorită erorii geometrice pe lungimea îmbinării.

Prin rezolvarea ecuațiilor diferențiale (4.27. a) și (4.27. b) se obține expresia acestei variații (4.28), în ipoteza că eroarea geometrică este redusă în comparație cu deformațiile elastice ale suprafețelor portante, adică această eroare nu produce diminuarea lungimii efective de contact și deci condițiile inițiale de rezolvare sunt aceleași ca și la ecuațiile (4.15. a) și (4.15. b):

$$T_{ex} = -\frac{\Psi}{\mu^2} \cdot \frac{\text{sh}(\mu x) + \text{sh}(\mu L - \mu x)}{\text{sh}(\mu L)} \quad (4.48)$$

Legea de variație a presiunii pe lungimea îmbinării, determinată și în acest caz cu formula (4.17), are forma (4.26):

$$p_x = p_{x0} + \Delta p_{ex} \quad (4.49)$$

unde:

- $p_x \text{ [N/mm}^2\text{]}$  – presiunea în secțiunea  $x$ ;
- $p_{0x} \text{ [N/mm}^2\text{]}$  – presiunea în secțiunea  $x$  a îmbinării fără erori;

- $\Delta p_{ex}$  [N/mm<sup>2</sup>] – variația presiunii în secțiunea x datorată erorii de paralelism a suprafețelor portante.

Expresia componentei  $p_{ex}$  a presiunii de contact este reprezentată în ecuația (4.31):

$$\Delta p_{ex} = -\frac{2 \cdot \Psi}{d_m \cdot z \cdot S_1 \cdot \mu} \cdot \frac{\text{ch}(\mu x) + \text{ch}(\mu L - \mu x)}{\text{sh}(\mu L)} \quad (4.50)$$

Valoarea maximă a presiunii  $p_{max}$  se regăsește în secțiunile  $x = 0$  sau  $x = L$ , conform expresiilor (4.22.a) și (4.22.b), la care se adaugă variația maximă  $\Delta p_{ex}$  a presiunii datorată erorilor de paralelism a suprafețelor portante:

$$\Delta p_{e_{max}} = -\frac{2 \cdot \Psi}{d_m \cdot z \cdot S_1 \cdot \mu} \cdot \frac{1 + \text{ch}(\mu L)}{\text{sh}(\mu L)} \quad (4.51)$$

și coeficientul total de concentrare a sarcinii pe lungimea îmbinării cu erori de paralelism a suprafețelor portante se poate exprima ca în (4.32):

$$k_{et} = k_D + k_e \quad (4.52)$$

unde:

$k_{et}$  [-] – coeficientul total de repartiție a sarcinii pe lungimea îmbinării cu erori de paralelism a suprafețelor portante;

$k_e$  [-] – coeficientul de repartiție a sarcinii pe lungimea îmbinării datorită erorilor de paralelism a suprafețelor portante.

Expresia acestuia din urmă este dată în formula:

$$k_e = -\frac{\Psi \cdot L}{T \cdot \mu} \cdot \frac{1 + \text{ch}(\mu L)}{\text{sh}(\mu L)} \quad (4.53)$$

Se observă că  $k_e$  depinde invers proporțional de valoarea T a momentului de răsucire care este transmis prin îmbinare.

Pentru valori mici ale momentului de răsucire T, deformațiile elastice ale arborelui și butucului sunt mai mici decât erorile de paralelism ale suprafețelor portante. Contactul nu se mai face pe toată lungimea îmbinării, ci numai pe o porțiune limitată de lungime  $L_0$ . Coeficienții de concentrare a sarcinii au valori mai ridicate.

Pentru îmbinările solicitate și cu moment de răsturnare, acesta produce o supraîncărcare a capetelor îmbinării. Pentru cumularea efectului răsturnării trebuie în acest caz **adăugat** coeficientul de suprasarcină:

$$k'_{M_r} = \frac{\Delta p_{max}}{p_m} = \frac{6 \cdot M_r \cdot d_m}{T \cdot L} \quad (4.54)$$

## Capitolul 5.

### Rigiditatea canelurilor

× Rigiditatea canelurilor este, așa cum s-a arătat în capitolele 3 și 4, parametrul principal care influențează repartizarea pe suprafețele portante ale îmbinărilor. Deformațiile produse de contactul sub sarcină dintre caneluri sunt o însumare a efectelor unei stări complexe de tensiuni și deformații, dificil de determinat analitic. În cele ce urmează, se prezintă o metodă de determinare a rigidității canelurilor, se face un studiu al variației rigidității pentru seriile de dimensiuni standardizate și se propun relații simple pentru calcule rapide.

#### §5.1 Principii și convenții de calcul a rigidității canelurilor

Rigiditatea perechii de elemente portante  $c_F$  se definește ca raportul dintre rezultanta  $F_i$  ce acționează asupra suprafeței portante pe direcția tangentei la cercul mediu, la intersecția acestuia cu fața portantă a canelurilor și „interferența”  $\Delta_i$  a acestora.

$$c_F = \frac{F_i}{\Delta_i} \quad [\text{N/mm}] \quad (5.1)$$

În cele ce urmează, se va considera că suma deformațiilor canelurilor de pe arbore  $\delta_a$  și din butuc  $\delta_b$  pe direcție tangentă la cercul mediu, la intersecția acestuia cu fața portantă a canelurilor este egală cu  $\Delta_i$ . Deformațiile de contact (ale microneregularităților suprafețelor portante) se consideră a fi mici în comparație cu  $\Delta_i$ .

$$\Delta = \delta_a + \delta_b \quad [\text{mm}] \quad (5.2)$$

Calculul analitic al deformațiilor canelurilor de pe arbore și din butuc se face folosind metoda Mohr-Maxwell generalizată. Se vor lua deci în considerare eforturile de compresiune, forfecare și încovoiere din caneluri, considerate ca grinzi încastrate pe arbore, respectiv butuc, deformația totală fiind suma deformațiilor produse de fiecare efort în parte.

$$\delta_{a,b} = \delta_{na,b} + \delta_{fa,b} + \delta_{ia,b} \quad [\text{mm}] \quad (5.3)$$

unde:

$\delta_{na,b}$  [mm] – este deformația produsă de eforturile normale de compresiune;

$\delta_{fa,b}$  [mm] – este deformația produsă de eforturile tangențiale de forfecare;

$\delta_{ia,b}$  [mm] – este deformația produsă de eforturile de încovoiere;

$$\delta_{na,b} = \int_{y_{\min}}^{y_{\max}} \frac{F_{na,b}(y) \cdot f_{na,b}(y)}{E_{a,b} \cdot A_{a,b}(y)} \cdot dy \quad (5.4)$$

$$\delta_{fa,b} = \int_{y_{\min}}^{y_{\max}} \frac{F_{fa,b}(y) \cdot f_{fa,b}(y)}{G_{a,b} \cdot A_{a,b}(y)} \cdot dy \quad (5.5)$$

$$\delta_{ia,b} = \int_{y_{\min}}^{y_{\max}} \frac{F_{ia,b}(y) \cdot f_{ia,b}(y)}{E_{a,b} \cdot A_{a,b}(y)} \cdot dy \quad (5.6)$$

unde:

$F_{na,b}$  [N] – este efortul normal de compresiune;

$F_{fa,b}$  [N] – este efortul tangențial de forfecare;

$M_{ia,b}$  [mNm] – este efortul de încovoiere;

din canelura arborelui, respectiv a butucului

$f_{na,b}$  [-] – este efortul normal de compresiune;

$f_{fa,b}$  [-] – este efortul tangențial de forfecare;

$m_{ia,b}$  [mm] – este efortul de încovoiere.

din grinda conjugată canelurii arborelui, respectiv a butucului, produsă de sarcina unitară aplicată pe direcția deformației  $\delta$ :

$E_{a,b}$  [MPa] – sunt modulele de elasticitate longitudinale;

$G_{a,b}$  [MPa] – sunt modulele de elasticitate transversale

ale materialelor arborelui, respectiv butucului

$A_{a,b}$  [mm<sup>2</sup>] – este aria;

$I_{a,b}$  [mm<sup>4</sup>] – este momentul de inerție axial

secțiunii perpendiculară pe axa canelurii din arbore, respectiv butuc.

$y_{\min, \max}$  [mm] – este cota de la centrul arborelui până la capetele grinzii echivalente canelurii.

Sistemul de coordonate ales pentru definirea geometriei canelurilor este cel uzual în studiul grinzilor încastrate:



- axa Ox – axa geometrică a îmbinării
- axa Oy – axa de simetrie a canelurii
- axa Oz – axa perpendiculară pe planul de simetrie a canelurii în secțiune transversală.

Sistemul de coordonate corespunzătoare canelurii de pe arbore este rotit cu o jumătate de pas unghiular ( $\pi/z$ ) față de cel corespunzător canelurii din butuc.

Studiul se face pentru o îmbinare de lungime  $\Delta x$ . Presiunea pe toată suprafața de contact se consideră constantă.

În aceste condiții,

$$A_{a,b}(y) = \Delta x \cdot s_{a,b}(y) \quad [\text{mm}] \quad (5.7)$$

$$I_{a,b}(y) = \frac{1}{12} \cdot \Delta x \cdot s_{a,b}^3(y) \quad [\text{mm}] \quad (5.8)$$

unde  $s_{a,b}(y)$  [mm] este lățimea canelurii la distanța  $y$  față de axa îmbinării pentru arbore, respectiv pentru butuc.

Pentru toate tipurile de caneluri, contactul între canelurile conjugate are loc doar pe o zonă a flancului, și nu pe toată înălțimea canelurii. Se notează cu N respectiv P punctele de pe flancul canelurii, în secțiune transversală, corespunzătoare diametrului minim, respectiv maxim, ale zonelor de contact.

Rezultanta presiunilor  $F_i$  are, în toate cazurile studiate expresia:

$$F_i = \frac{d_P - d_N}{2} \cdot p \cdot \Delta x \quad [\text{N}] \quad (5.9)$$

unde  $d_{P,N}$  [mm] sunt diametrele corespunzătoare punctelor P, respectiv N.

Pentru exprimarea mai comodă a rigidității  $c_F$  prin integrale Mohr-Maxwell din formulele (4.4); (4.5); (4.6) vom introduce noțiunea de „elasticitate geometrică”  $e$ , a canelurilor, înțelegând prin aceasta deformația canelurii relativă la diametrul mediu produsă de presiunea  $p$  ce acționează asupra unei suprafețe portante cu modul de elasticitate transversal  $E$ , unitar.

$$e = \delta \cdot \frac{E}{p} \quad [\text{mm}] \quad (5.10)$$

Elasticitatea geometrică totală a elementelor portante ale îmbinării va fi suma elasticităților parțiale ale arborelui și butucului, pentru fiecare efort în parte.

$$e_{\text{tot}} = e_a + e_b \quad [\text{mm}] \quad (5.11)$$

$$e_{a,b} = e_{na,b} + e_{fa,b} + e_{ia,b} \quad [\text{mm}] \quad (5.12)$$

## §5.2. Rigiditatea canelurilor dreptunghiulare

Geometria îmbinării prin caneluri dreptunghiulare este definită de: diametrul interior  $d$ , diametrul exterior  $D$ , lățimea canelurii  $b$ , numărul de caneluri  $z$ , diametrul minim al degajărilor de rectificare  $d_1$ , lățimea degajării de rectificare  $f$ , teșitura canelurii pe arbore  $c$  și racordarea canelurii din butuc  $r$ .

Pentru determinarea diagramelor de eforturi produse în canelura de pe arbore, respectiv din butuc și a legii de variație a lățimii canelurii în funcție de distanța  $y$  de la centrul îmbinării până la planul în care aceasta se măsoară se face următorul studiu geometric.

Datorită lățimii finite  $b$  a canelurii dreptunghiulare suprafața portantă a canelurii nu este conținută într-un plan radial. Normala la această suprafață formează cu tangenta la cercul de diametru  $d_y$  unghiul  $\gamma_y$  (fig. 5.1.):

$$\gamma_y = \arcsin \frac{b}{d_y} \quad (5.13)$$

Coordonatele punctului curent  $M_a$  de pe flancul canelurii de pe arbore în zona rectilinie:

$$\begin{aligned} y_{M_a} &= \frac{d_y}{2} \cdot \cos \gamma_y \\ z_{M_a} &= \frac{d_y}{2} \cdot \sin \gamma_y \end{aligned} \quad (5.14)$$

respectiv cele ale unui punct curent  $M_b$  de pe flancul canelurii din butuc vor fi:

$$\begin{aligned} y_{M_b} &= \frac{d_y}{2} \cdot \cos \left( \frac{\pi}{z} - \gamma_y \right) \\ z_{M_b} &= \frac{d_y}{2} \cdot \sin \left( \frac{\pi}{z} - \gamma_y \right) \end{aligned} \quad (5.15)$$

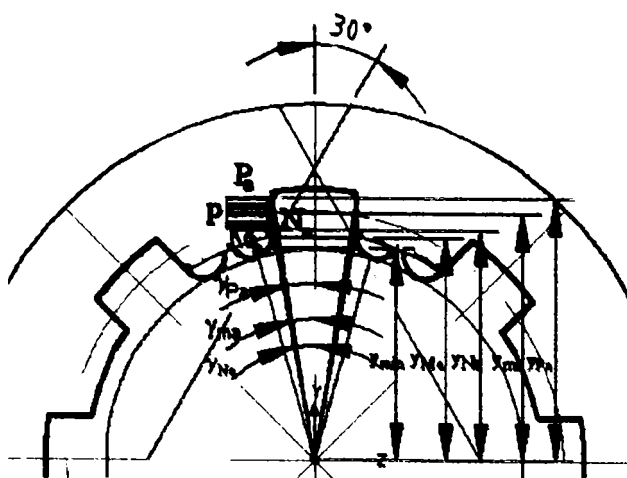


Fig. 5.1. Geometria canelurii de pe arbore

Lățimea canelurii din arbore, respectiv butuc, pe direcție perpendiculară pe axa canelurii, se definește pe două tronsoane:

- $s_{1a,b}$  în zona rectilinie, respectiv
- $s_{2a,b}$  în zona de racordare de la baza canelurii.

Pentru arbore:

$$s_{1a} = b$$

$$s_{2a}(y) = b + 2 \cdot r_d - 2 \cdot \sqrt{r_d^2 - \left( \frac{d}{2} \cdot \cos(\gamma_d) - y \right)^2} \quad (5.16)$$

respectiv pentru butuc:

$$s_{b1}(y) = 2 \cdot y \cdot \tan\left(\frac{\pi}{z}\right) - \frac{b}{\cos\left(\frac{\pi}{z}\right)}$$

$$s_{b2}(y) = 2 \left[ z_{pb} + r \cdot \cos\left(\frac{\pi}{z}\right) - \sqrt{r^2 - \left( y - y_{pb} + r \cdot \sin\left(\frac{\pi}{z}\right) \right)^2} \right] \quad (5.17)$$

unde:  $y_{pb}$  și  $z_{pb}$  sunt coordonatele punctului P față de sistemul de referință al butucului.

Încastrarea canelurii pe arbore, respectiv în butuc se consideră a fi secțiunea cuprinsă între punctele de tangență ale racordării de la baza canelurii cu drepte înclinate cu  $30^\circ$  față de axa de simetrie a canelurii.

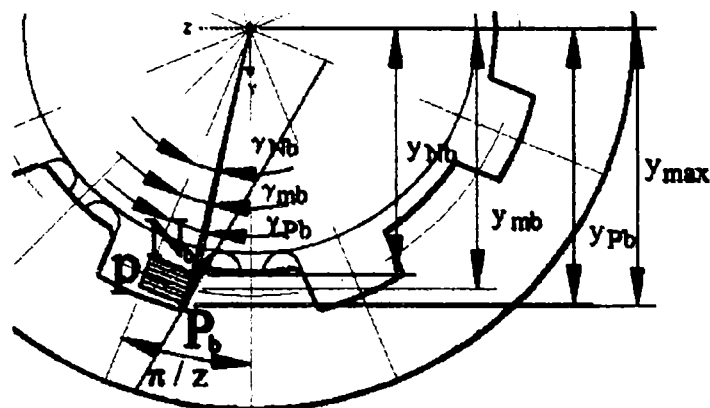


Fig. 5.2. Geometria canelurii din butuc

Funcțiile de eforturi din canelura de pe arbore, în variabila  $y$ , se scriu în ipoteza repartiției uniforme a presiunii pe înălțimea canelurii. Considerând o valoare unitară a presiunii, funcțiile de eforturi depind numai de geometria canelurii, și vor fi numite eforturi geometrice.

Pentru zona de contact, cuprinsă între punctele  $N_a$  și  $P_a$ , variația momentului încovoietor  $M_{ia1}$  și a forței tăietoare  $F_{ta1}$  este dată de relațiile:

$$M_{ia1}(y) = \frac{(y_{Pa} - y)^2}{2} \quad (5.18)$$

$$F_{ta1}(y) = y_{Pa} - y,$$

efortul normal  $F_{na}$  fiind nul.

Pentru baza canelurii, cuprinsă între punctul  $N_a$  și secțiunea de încastrare, funcțiile de eforturi au expresiile:

$$M_{ia2}(y) = (y_{Pa} - y_{Na}) \cdot \left( \frac{y_{Pa} + y_{Na}}{2} - y \right) \quad (5.19)$$

$$F_{ta2}(y) = y_{Pa} - y_{Na}$$

Funcțiile de eforturi astfel definite se vor utiliza în studiul elasticității canelurii, cu ajutorul programului Mathcad 2001. Pentru exemplificare, se prezintă diagramele de eforturi geometrice – moment încovoietor și forța tăietoare –, realizate în Mathcad 2001 (v. Anexa 10).

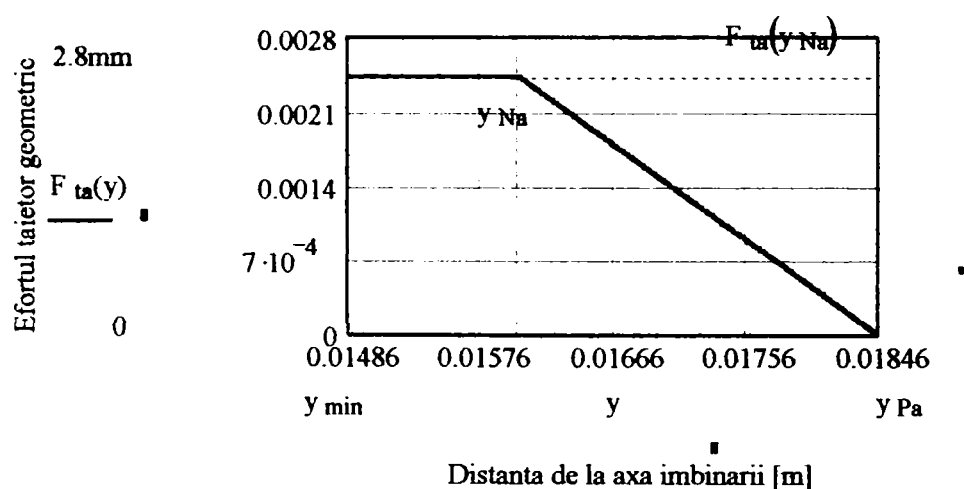


Fig. 5.3. Variația efortului tăietor geometric din canelura arborelui

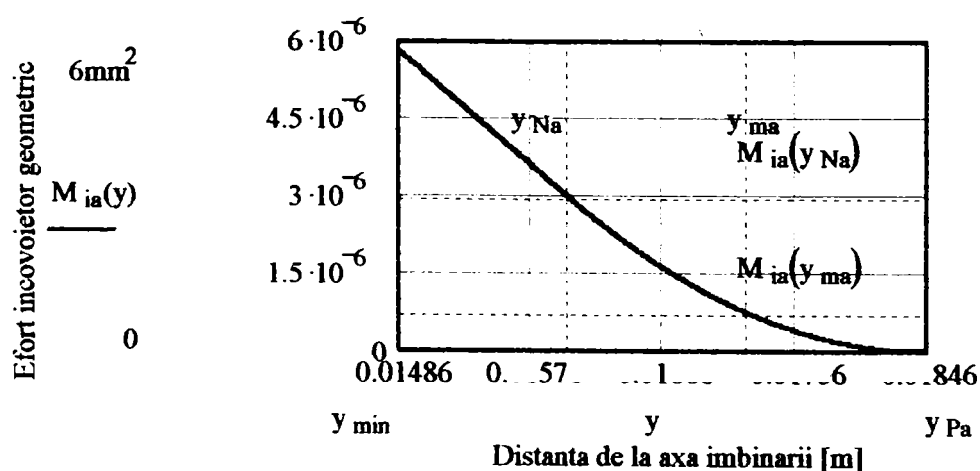


Fig. 5.4. Variația efortului încovoietor geometric din canelura arborelui

Funcțiile de eforturi pentru canelura din butuc, în zona de contact respectiv la baza canelurii:

$$\begin{aligned}
 F_{nb1}(y) &= (y - y_{Nb}) \cdot \operatorname{tg}\left(\frac{\pi}{z}\right) \\
 F_{tb1}(y) &= y - y_{Nb} \\
 M_{ib1}(y) &= \frac{y - y_{Nb}}{2} \cdot \left[ (y - y_{Nb}) - s_{b1} \left( \frac{y + y_{Nb}}{2} \right) \operatorname{tg}\left(\frac{\pi}{z}\right) \right]
 \end{aligned} \tag{5.19}$$

$$\begin{aligned}
 F_{nb2}(y) &= (y_{Pb} - y_{Nb}) \cdot \operatorname{tg}\left(\frac{\pi}{z}\right) \\
 F_{tb2}(y) &= y_{Pb} - y_{Nb} \\
 M_{ib2}(y) &= (y_{Pb} - y_{Nb}) \cdot \left[ \left( y - \frac{y_{Pb} + y_{Nb}}{2} \right) - \frac{s_{b1} \cdot \left( \frac{y_{Pb} + y_{Nb}}{2} \right)}{2} \cdot \operatorname{tg}\left(\frac{\pi}{z}\right) \right]
 \end{aligned} \tag{5.20}$$

sunt prezentate grafic în figurile 5.5, 5.6 și 5.7 respectiv:

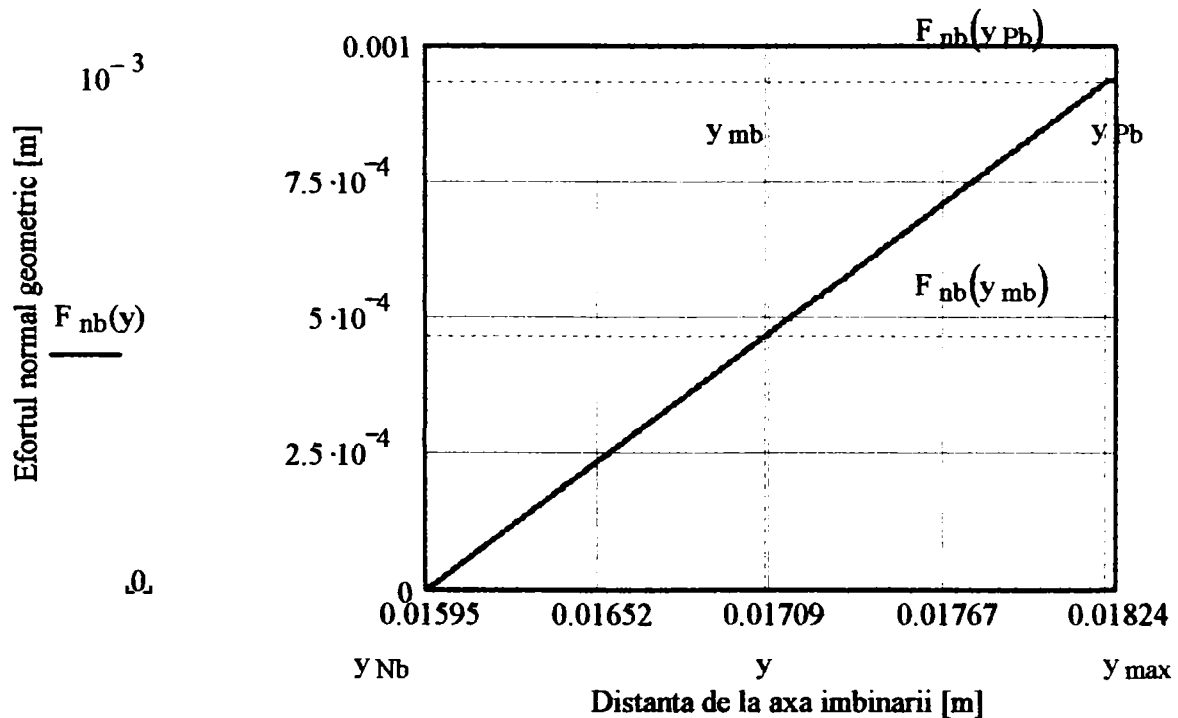


Fig. 5.5. Variația efortului normal geometric din canelura butucului

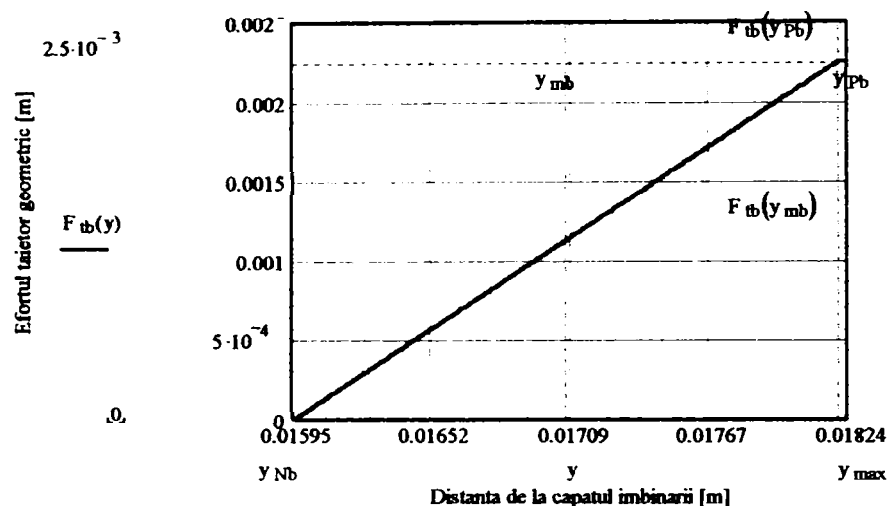


Fig. 5.6. Variația efortului tăietor geometric din canelura butucului

Pentru grinda conjugată, funcțiile de eforturi au expresiile

$$m_{ia}(y) = \left[ \left( \frac{d_m}{2} \cdot \cos(\gamma_m) - y \right) \cdot \cos(\gamma_m) + \frac{b}{2} \cdot \sin(\gamma_m) \right] \cdot (y_{\min} \leq y \leq y_{\max}) \quad (5.21)$$

$$f_{ia}(y) = \cos(\gamma_m) \cdot (y_{\min} \leq y \leq y_{\max}) \quad (5.22)$$

pentru canelura de pe arbore, respectiv:

$$m_{ib}(y) = (y - y_{mb}) \cdot \cos\left(\frac{\pi}{z} - \gamma_m\right) - \frac{s_{b1}(y_{mb})}{2} \cdot \sin\left(\frac{\pi}{z} - \gamma_m\right) \quad (5.23)$$

$$f_{ib}(y) = \cos\left(\frac{\pi}{z} - \gamma_m\right) \quad (5.24)$$

$$f_{nb}(y) = \sin\left(\frac{\pi}{z} - \gamma_m\right) \quad (5.25)$$

pentru canelura din butuc.

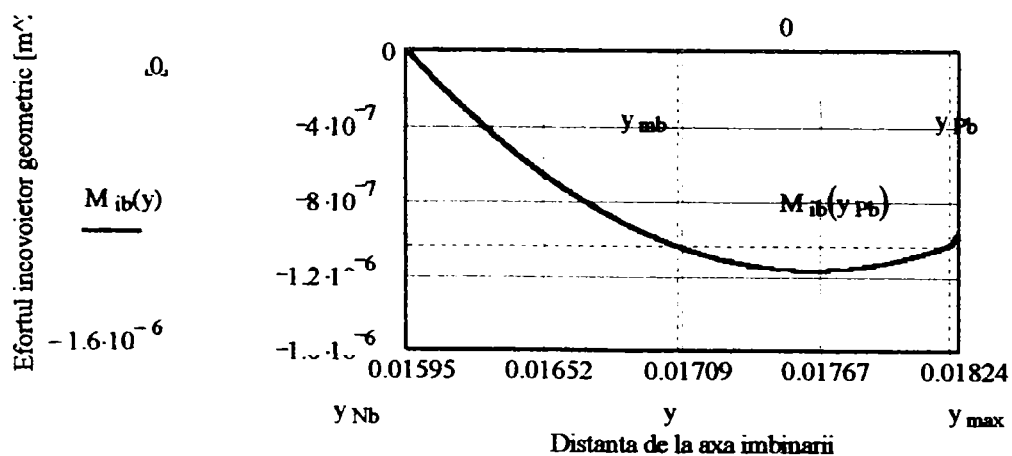


Fig. 5.7. Variația efortului încovoietor geometric din canelura butucului

Elasticitatea canelurii de pe arbore respectiv din butuc se determină înlocuind expresiile (5.17) ... (5.20) ale funcțiilor de eforturi geometrice în relațiile (5.5), (5.6), (5.7).

$$e_{at} = 2,24 \cdot (1 + \nu) \cdot \int_{y_{min}}^{y_{ma}} \frac{F_{ta}(y) \cdot f_{ta}(y)}{s_a(y)} dy \quad (5.26)$$

$$e_{ai} = \int_{y_{min}}^{y_{ma}} \frac{12 \cdot M_{ia}(y) \cdot m_{ia}(y)}{s_a(y)^3} dy \quad (5.27)$$

$$e_a = e_{ai} + e_{at} \quad (5.28)$$

$$e_{bn} = \int_{y_{mb}}^{y_{max}} \frac{F_{nb}(y) \cdot f_{nb}(y)}{s_b(y)} dy \quad (5.29)$$

$$e_{bt} = 2,24 \cdot (1 - \nu) \cdot \int_{y_{mb}}^{y_{pb}} \frac{F_{tb}(y) \cdot f_{tb}(y)}{s_b(y)} dy \quad (5.30)$$

$$e_{bi} = \int_{y_{mb}}^{y_{max}} \frac{12 \cdot M_{ib}(y) \cdot m_{ib}(y)}{s_b(y)^3} dy \quad (5.31)$$

Pentru îmbinările studiate, integralele definite se vor calcula numeric, utilizând facilitățile de calcul ale programului MATHCAD (Anexa 10).

$$e_b = e_{bi} + e_{bt} + e_{bn} \quad (5.32)$$

Elasticitatea unei perechi de elemente portante este suma elasticităților canelurii de pe arbore și a celei din butuc, cele două elemente elastice fiind înseriate pe direcția transferului de sarcină între arbore și butuc.

$$e_{def} = e_a + e_b \quad (5.33)$$

În Anexa 10 sunt centralizate rezultatele calculului analitic al rigidității canelurilor pentru toate tipo-dimensiunile de caneluri dreptunghiulare standardizate, sintetizate și în fig. 5.8.

Preponderentă în determinarea valorilor elasticității totale de deformație este elasticitatea arborelui, și, dintre componentele acesteia, elasticitatea de deformare tangențială. Din acest motiv, pentru simplificarea calculelor, se poate calcula numai elasticitatea de deformație la solicitarea tangențială de forfecare  $e_{at}$ , și utiliza apoi coeficientul de corecție  $k_{def}$  (v. fig. 5.9.)

$$k_{def} = \frac{e_{def}}{e_{at}} \quad (5.34)$$

cu valorile date în tabelul 5.1.

**Tabelul 5.1. Coeficienții de corecție pentru calculul elasticității canelurilor dreptunghiulare**

Coeficientul de corecție	Seria		
	ușoară	mijlocie	grea
$k_{def}$	1,4	1,6	2.4
$k_{def\ aprox}$	2	2,25	3.7

Atunci când se dorește un calcul rapid și simplificat, se poate considera canelura de pe arbore ca o grindă încastrată, de grosime constantă  $b$  și solicitată pe toată înălțimea ei  $S_1$  cu presiune constantă unitară. În acest caz, expresia aproximativă a elasticității tangențiale a canelurii de pe arbore  $e_{at\ aprox}$  este:

$$e_{at\ aprox} = \frac{3}{4} \cdot k \cdot (1 + \nu) \cdot \frac{S_1^2}{b} \quad (5.35)$$

În Anexa 4 au fost calculate valorile elasticității  $e_{at\ aprox}$  pentru toate tipo-dimensiunile de caneluri dreptunghiulare. Variația coeficientului  $k_{def\ aprox}$

$$k_{def\ aprox} = \frac{e_{def}}{e_{at\ aprox}} \quad (5.36)$$

pentru cele trei serii de dimensiuni standardizate este prezentată în figura 5.9, iar valorile recomandate pentru calculul rapid al elasticității totale a îmbinărilor prin caneluri dreptunghiulare sunt centralizate în tabelul 5.1. Erorile introduse prin aceste aproximații sunt cuprinse între  $\pm 3\%$  și  $\pm 12,5\%$  pentru seria ușoară,  $\pm 3,5\%$  și  $\pm 15,5\%$  pentru seria mijlocie  $\pm 10\%$  și  $\pm 20\%$  pentru seria grea, pentru utilizarea coeficienților  $k_{def}$  respectiv  $k_{def\ aprox}$ .

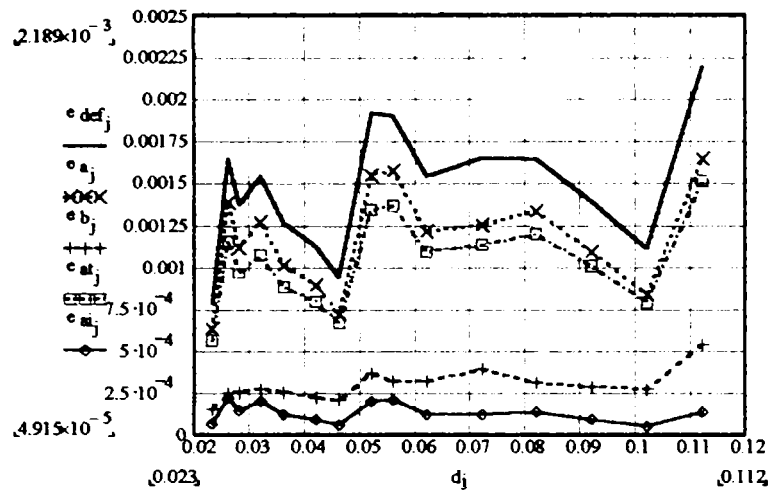
Se observă că la seriile mai grele, ponderea tuturor elasticităților crește în dauna celei de deformare tangențială. Acest fapt se explică prin creșterea relativă a înălțimii canelurilor și prin subțierea lor odată cu creșterea numărului de caneluri pe periferia îmbinării, și prin apropierea ca formă și dimensiuni a canelurilor din butuc cu cele din arbore.

Pentru calculul deformațiilor canelurilor, valoarea elasticității se determină cu relația:

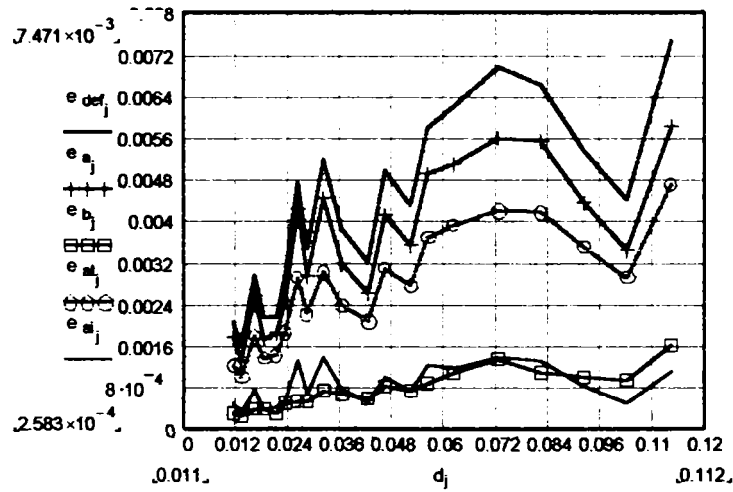
$$\delta_{a,b} = e_{a,b} \cdot \frac{p}{E_{a,b}} \quad (5.37)$$

În Anexa 4 sunt calculate valorile deformațiilor însumate ale canelurilor de pe arbore și din butuc din oțel cu modulul de elasticitate  $E = 2,15 \cdot 10^5$  MPa, solicitate cu presiunea medie de 10 MPa. Valorile deformațiilor calculate sunt cuprinse între 0,04 și 0,1  $\mu\text{m}$  pentru seria ușoară, 0,09 și 0,35  $\mu\text{m}$  pentru seria mijlocie și 0,4 și 1,25  $\mu\text{m}$  pentru seria grea.

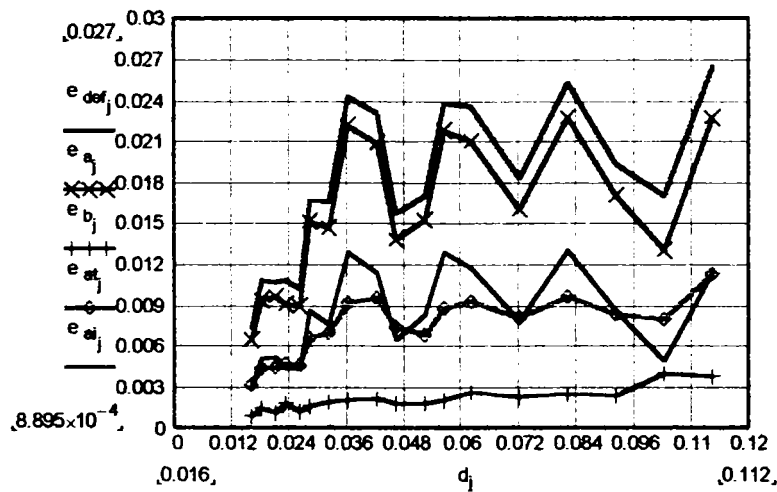




a) seria ușoară

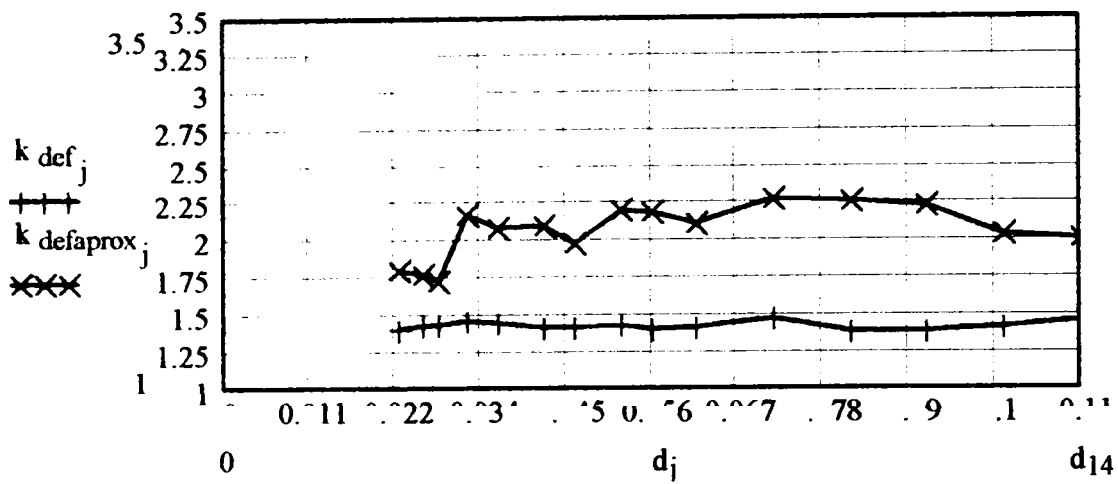


b) seria mijlocie

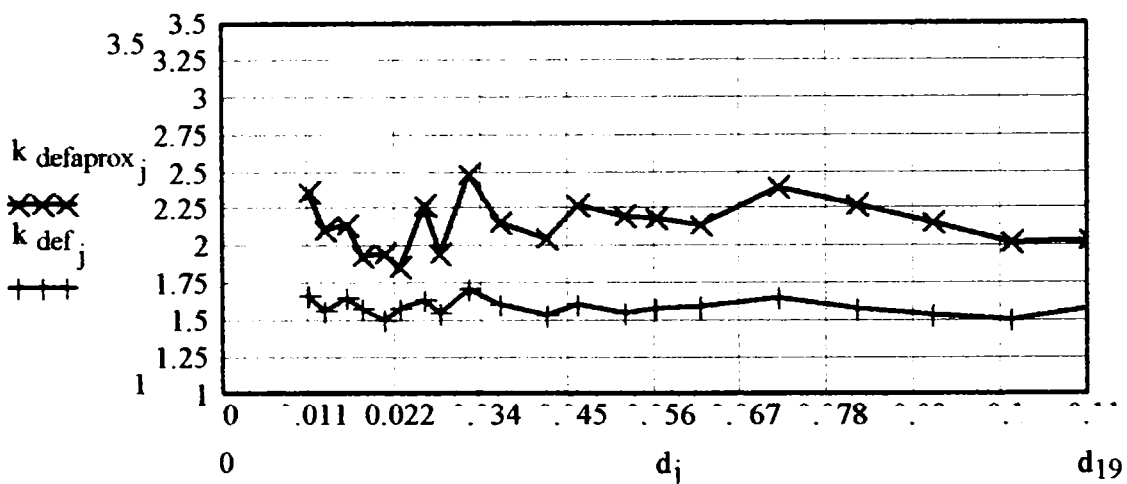


c) seria grea

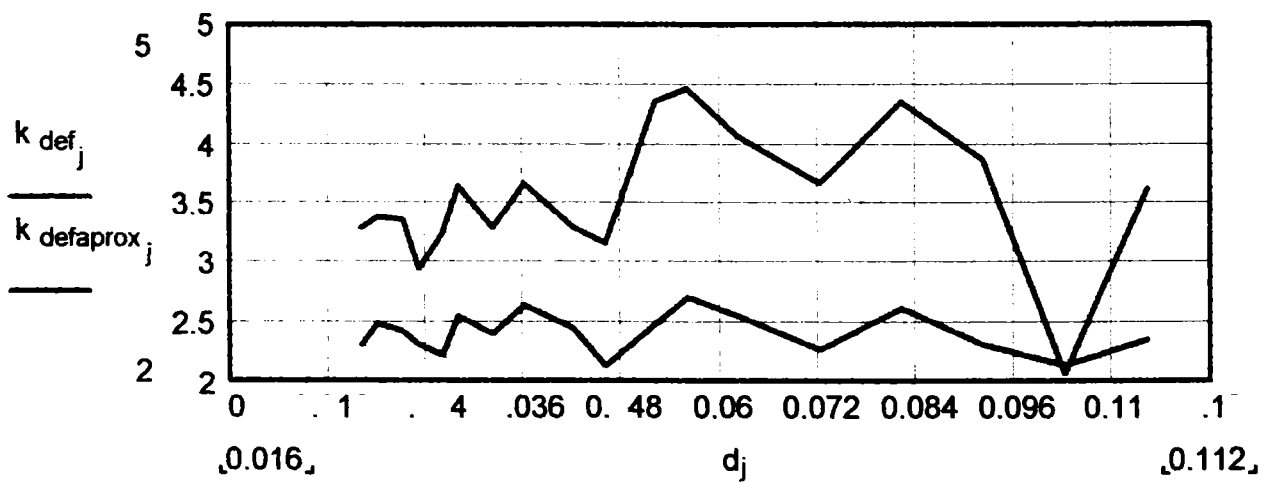
**Fig. 5.8. Elasticitatea de deformație  $e_{def}$  a canelurilor și componentele sale: elasticitatea canelurii de pe arbore  $e_a$ ; elasticitatea canelurii din butuc  $e_b$ ; elasticitatea la deformații tangențiale a canelurii de pe arbore  $e_{at}$ ; elasticitatea la încovoiere a canelurii de pe arbore  $e_{ai}$ ;**



a)



b)



c)

Fig. 5.9. Coeficientul de corecție pentru calculul simplificat al elasticității totale a canelurilor dreptunghiulare. a) seria ușoară; b) seria mijlocie; c) seria grea

### §5.3. Rigiditatea canelurilor triunghiulare

Canelurile triunghiulare sunt caracterizate geometric prin: diametrul de divizare  $d$ , diametrul exterior  $D$ , unghiul canelurii din butuc  $\beta = 60^\circ$ , numărul de caneluri  $z$  și de diametrele minim și maxim ale canelurii de pe arbore  $d_{a1,2}$ . Studiul geometric premergător definirii funcțiilor de eforturi din caneluri constă din determinarea următorilor parametrii geometrici:

- lățimea (coarda) canelurii pe diametrul de divizare  $s_d$ ;

$$s_d = d \cdot \sin \frac{\pi}{2 \cdot z} \quad (5.38)$$

- unghiul la centru corespunzător lățimii canelurii pe diametrul de divizare  $\theta_d$ ;

$$\theta_d = \frac{\pi}{z} \quad (5.39)$$

- unghiul canelurii de pe arbore  $\gamma$ ;

$$\gamma = \beta - \frac{2 \cdot \pi}{z} \quad (5.40)$$

- ordonata punctului de pe flancul canelurii situat pe cercul de diametru mediu  $y_d$ ;

$$y_d = \frac{d}{2} \cdot \cos \left( \frac{\pi}{2 \cdot z} \right) \quad (5.41)$$

Lățimea pe coardă  $s_a(y)$  a canelurii de pe arbore la distanța  $y$  de centrul îmbinării, pe zona de flanc rectilinie, se exprimă prin funcția:

$$s_{1a}(y) = s_d + 2 \cdot (y_d - y) \cdot \operatorname{tg} \left( \frac{\gamma}{2} \right) \quad (5.42)$$

iar unghiul la centru  $\theta_a(y)$  al coardei de ordonată  $y$ , prin funcția:

$$\theta_a(y) = 2 \cdot \operatorname{arctg} \left( \frac{s_{1a}(y)}{2 \cdot y} \right) \quad (5.43)$$

Diametrul cercului curent  $d_{ya}(y)$  care trece prin capetele coardei de ordonată  $y$  este definit de relația:

$$d_{ya}(y) = \frac{2 \cdot y}{\cos \left( \frac{\theta_a(y)}{2} \right)} \quad (5.44)$$

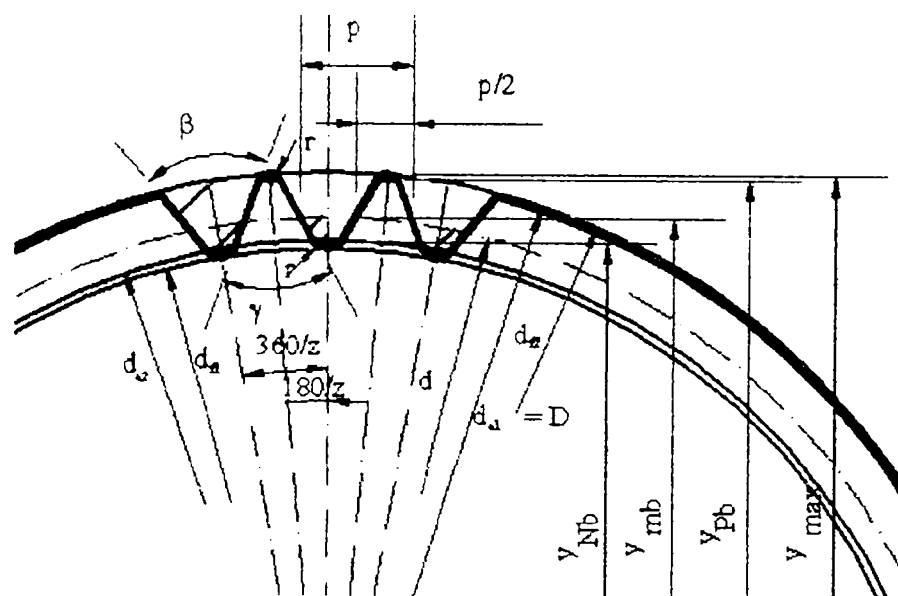
Ordonatele punctelor caracteristice ale flancului canelurii de pe arbore sunt soluții ale ecuațiilor de gradul al doilea:

$$y_{P_a}^2 + (s_{1a}(y_{P_a}))^2 = \frac{d_{1a}^2}{4} \quad (5.45)$$

pentru punctul de contact de ordonată maximă, respectiv:

$$y_{N_a}^2 + (s_{1a}(y_{N_a}))^2 = \frac{d_{2a}^2}{4} \quad (5.46)$$

pentru punctul de contact de ordonată minimă. Aceste coordonate se determină prin rezolvarea numerică a ecuațiilor (5.41) respectiv (5.42), utilizând una din funcțiile *Find*, *Solve* sau *Root* ale programului MATHCAD (v. Anexa 11).



**Fig. 5.10. Geometria canelurii de pe butuc**

Lățimea  $s_b(y)$  pe coarda de ordonată curentă  $y$  a canelurii din butuc, în zona de flanc rectilinie, se exprimă prin funcția:

$$s_{1b}(y) = s_d + 2 \cdot (y - y_d) \cdot \operatorname{tg}\left(\frac{\beta}{2}\right) \quad (5.47)$$

iar unghiul la centru  $\theta_b(y)$  al coardei de ordonată  $y$ , prin funcția:

$$\theta_b(y) = 2 \cdot \operatorname{arctg}\left(\frac{s_{1b}(y)}{2 \cdot y}\right) \quad (5.48)$$

Diametrul cercului curent  $d_{yb}(y)$  care trece prin capetele coardei de ordonată  $y$  este definit de relația:

$$d_{yb}(y) = \frac{2 \cdot y}{\cos\left(\frac{\theta_b(y)}{2}\right)} \quad (5.49)$$

Racordarea dintre flancurile canelurii din butuc are raza  $r_2$ :

$$r_2 = \frac{s_{a \min}}{2 \cdot \cos\left(\frac{\gamma}{2}\right)}, \quad (5.50)$$

unde  $s_{a \min}$  este lățimea minimă a canelurii de pe arbore, corespunzătoare diametrului maxim de contact, respectiv ordonatei  $y_{Pa}$  a punctului exterior de contact  $P_a$ :

$$s_{a \min} = s_{1a}(y_{Pa}) \quad (5.51)$$

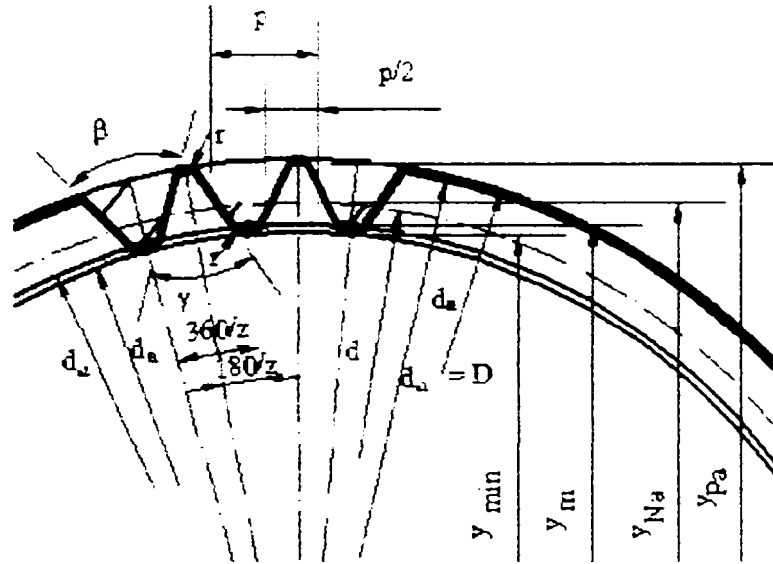


Fig. 5.11. Geometria canelurii de pe arbore

Ordonatele punctelor caracteristice ale flancului canelurii din butuc sunt soluții ale ecuațiilor de gradul al doilea:

$$y_{Pb}^2 + (s_{1b}(y_{Pb}))^2 = \frac{d_{a1}^2}{4} \quad (5.52)$$

pentru punctul de contact de ordonată maximă, respectiv:

$$y_{Nb}^2 + (s_{1b}(y_{Nb}))^2 = \frac{d_{a2}^2}{4} \quad (5.53)$$

pentru punctul de contact de ordonată minimă. Aceste coordonate se determină prin rezolvarea numerică a ecuațiilor (5.48) respectiv (5.49).

Racordarea dintre flancurile canelurii de pe arbore are raza  $r_1$  determinată din condiția de rectilinitate a flancului în zona de contact:

$$r_1 = \frac{s_{b \min}}{2 \cdot \cos\left(\frac{\beta}{2}\right)}, \quad (5.54)$$

unde  $s_{b \min}$  este lățimea minimă a canelurii din butuc, corespunzătoare diametrului minim de contact, respectiv ordonatei  $y_{Nb}$  a punctului interior de contact  $N_a$ :

$$s_{b \min} = s_{1ba}(y_{Nb}) \quad (5.55)$$

Contribuția zonei fără contact de la baza canelurilor la elasticitatea totală nu poate fi neglijată. Se determină deci coordonatele centrelor cercurilor de racordare  $O_{ra,b}$  ( $y_{Ora,b}$ ,  $z_{Ora,b}$ ):

$$\begin{cases} y_{Ora,b} = \left( \frac{d_{f1,2}}{2} + r_{1,2} \right) \cdot \cos\left(\frac{\pi}{z}\right) \\ z_{Ora,b} = \left( \frac{d_{f1,2}}{2} + r_{1,2} \right) \cdot \sin\left(\frac{\pi}{z}\right) \end{cases} \quad (5.56)$$

Variația lățimii canelurii pe zona de racordare este descrisă de funcțiile:

$$s_{2a,b}(y) = 2 \cdot \left[ z_{Ora,b} - \sqrt{r_{1,2}^2 - (y_{Ora,b} - y)^2} \right] \quad (5.56)$$

iar ordonatele încastrărilor echivalente (în punctele în care tangenta la arcul de racordare este înclinată cu  $30^\circ$  față de axa canelurii) au expresiile:

$$y_{a \min} = y_{Ora} - \frac{r_1}{2} \quad (5.57)$$

$$y_{b \max} = y_{Orb} + \frac{r_2}{2} \quad (5.58)$$

Pentru zona de contact, cuprinsă între punctele  $N_a$  și  $P_a$ , variația momentului încovoietor  $M_{ia1}$  și a forței normale  $F_{na1}$  tăietoare  $F_{ta1}$  este dată de relațiile:

$$\begin{aligned} M_{ia1}(y) &= \frac{(y_{Pa} - y)^2}{2} - (y_{Pa} - y) \cdot s_{a1} \left( \frac{y_{Pa} + y}{2} \right) \cdot \operatorname{tg} \frac{\gamma}{2} \\ F_{na1}(y) &= (y_{Pa} - y) \cdot \operatorname{tg} \frac{\gamma}{2} \\ F_{ta1}(y) &= y_{Pa} - y, \end{aligned} \quad (5.59)$$

Pentru baza canelurii, cuprinsă între punctul  $N_a$  și secțiunea de încastrare, funcțiile de eforturi au expresiile:

$$\begin{aligned} M_{ia2}(y) &= (y_{Pa} - y_{Na}) \cdot \left( \frac{y_{Pa} + y_{Na}}{2} - y \right) - (y_{Pa} - y_{Na}) \cdot s_{a1} \left( \frac{y_{Pa} + y_{Na}}{2} \right) \cdot \operatorname{tg} \gamma \\ F_{na2}(y) &= -(y_{Pa} - y_{Na}) \cdot \operatorname{tg} \gamma \\ F_{ta2}(y) &= y_{Pa} - y_{Na} \end{aligned} \quad (5.60)$$

Funcțiile de eforturi pentru canelura din butuc, în zona de contact respectiv la baza canelurii:

$$\begin{aligned}
 F_{nb1}(y) &= (y - y_{Nb}) \cdot \operatorname{tg}\left(\frac{\beta}{2}\right) \\
 F_{tb1}(y) &= y - y_{Nb} \\
 M_{ib1}(y) &= \frac{y - y_{Nb}}{2} \cdot \left[ (y - y_{Nb}) - s_{b1} \left( \frac{y + y_{Nb}}{2} \right) \operatorname{tg}\left(\frac{\beta}{2}\right) \right]
 \end{aligned} \tag{5.61}$$

$$\begin{aligned}
 F_{nb2}(y) &= (y_{Pb} - y_{Nb}) \cdot \operatorname{tg}\left(\frac{\beta}{2}\right) \\
 F_{tb2}(y) &= y_{Pb} - y_{Nb} \\
 M_{ib2}(y) &= (y_{Pb} - y_{Nb}) \cdot \left[ \left( y - \frac{y_{Pb} + y_{Nb}}{2} \right) - \frac{s_{b1} \cdot \left( \frac{y_{Pb} + y_{Nb}}{2} \right)}{2} \cdot \operatorname{tg}\left(\frac{\beta}{2}\right) \right]
 \end{aligned} \tag{5.62}$$

Pentru grinda conjugată, funcțiile de eforturi au expresiile

$$\begin{aligned}
 m_{ia}(y) &= \left[ (y_d - y) \cdot \cos\left(\frac{\theta_d}{2}\right) + \frac{s_d}{2} \cdot \sin\left(\frac{\theta_d}{2}\right) \right] \cdot (y_{\min} \leq y \leq y_{\max}) \\
 f_{na}(y) &= -\sin\left(\frac{\theta_d}{2}\right) \cdot (y_{\min} \leq y \leq y_{\max}) \\
 f_{ta}(y) &= \cos\left(\frac{\theta_d}{2}\right) \cdot (y_{\min} \leq y \leq y_{\max})
 \end{aligned} \tag{5.63}$$

pentru canelura de pe arbore, respectiv:

$$\begin{aligned}
 m_{ib}(y) &= (y - y_d) \cdot \cos\left(\frac{\theta_d}{2}\right) - \frac{s_b(y_d)}{2} \cdot \sin\left(\frac{\theta_d}{2}\right) \\
 f_{tb}(y) &= \cos\left(\frac{\theta_d}{2}\right) \\
 f_{nb}(y) &= -\sin\left(\frac{\theta_d}{2}\right)
 \end{aligned} \tag{5.64}$$

pentru canelura din butuc.

Elasticitățile geometrice parțiale ale arborelui și butucului și elasticitatea totală se determină cu relațiile (5.26) ... (5.33), în care, pentru funcțiile de eforturi se utilizează expresiile (5.55) ... (5.60)

Analiza elasticității canelurilor triunghiulare este cuprinsă în Anexa 11.

## §5.4. Rigiditatea canelurilor evolventice

Determinarea analitică a rigidității canelurilor evolventice este dificilă din două cauze:

- funcțiile de eforturi nu pot fi scrise analitic ușor, ci doar sub forma unor integrale definite cu variabila  $y$  la una din limitele de integrare, datorită variației unghiului de presiune pe înălțimea canelurii;

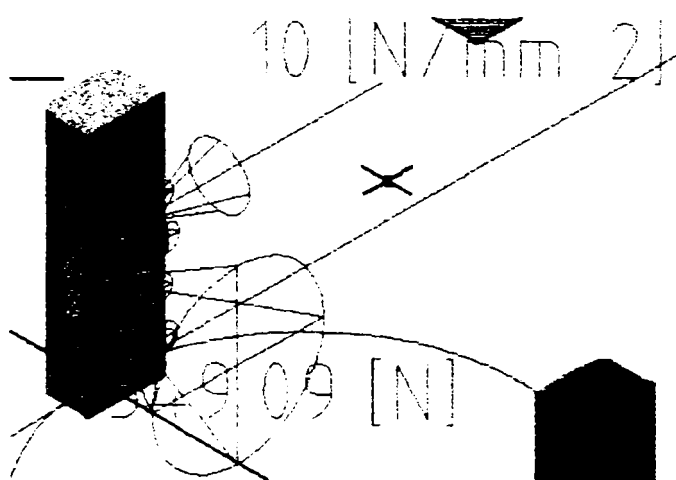
- lățimea canelurii, situată la numitorul fracțiilor din integralele Mohr – Maxwell și chiar la puterea a treia în cele pentru determinarea elasticității la încovoiere, are expresii depinzând de involuta unghiului de presiune.

Pentru determinarea elasticității geometrice a canelurilor evolventice (Anexa 12), acestea au fost împărțite în  $k$  intervale considerate de grosime și unghi de presiune constante. Integralele au fost aproximate cu sume finite, care au fost adunate utilizând programul MATHCAD.

## §5.5. Determinarea rigidității canelurilor prin metoda elementului finit

Pentru verificarea corectitudinii studiului analitic al rigidității canelurilor, s-au studiat prin metoda elementului finit utilizând programul MECHANICAL DESKTOP, câteva tipodimensiuni de îmbinări prin caneluri.

Convențiile de delimitare a secțiunilor de încastrare sunt aceleași ca la §4.2. ... 4.4. Modelul utilizat este tridimensional, canelura având lungime egală la arbore și la butuc. Pentru studiu, presiunea medie pe suprafețele de contact s-a considerat de 10 MPa (în Fig. 5.10,  $\text{N/mm}^2$ ).



**Fig. 5.12. Modelul canelurii de pe arbore**



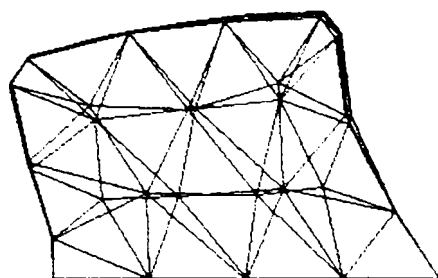


Fig. 5.13. Deformația canelurii de pe arbore a) structura inițială; b) structura după rafinare.

În figura 5.13. se prezintă structura deformată (anamorfozată) a modelului MEF al canelurii de pe arbore.

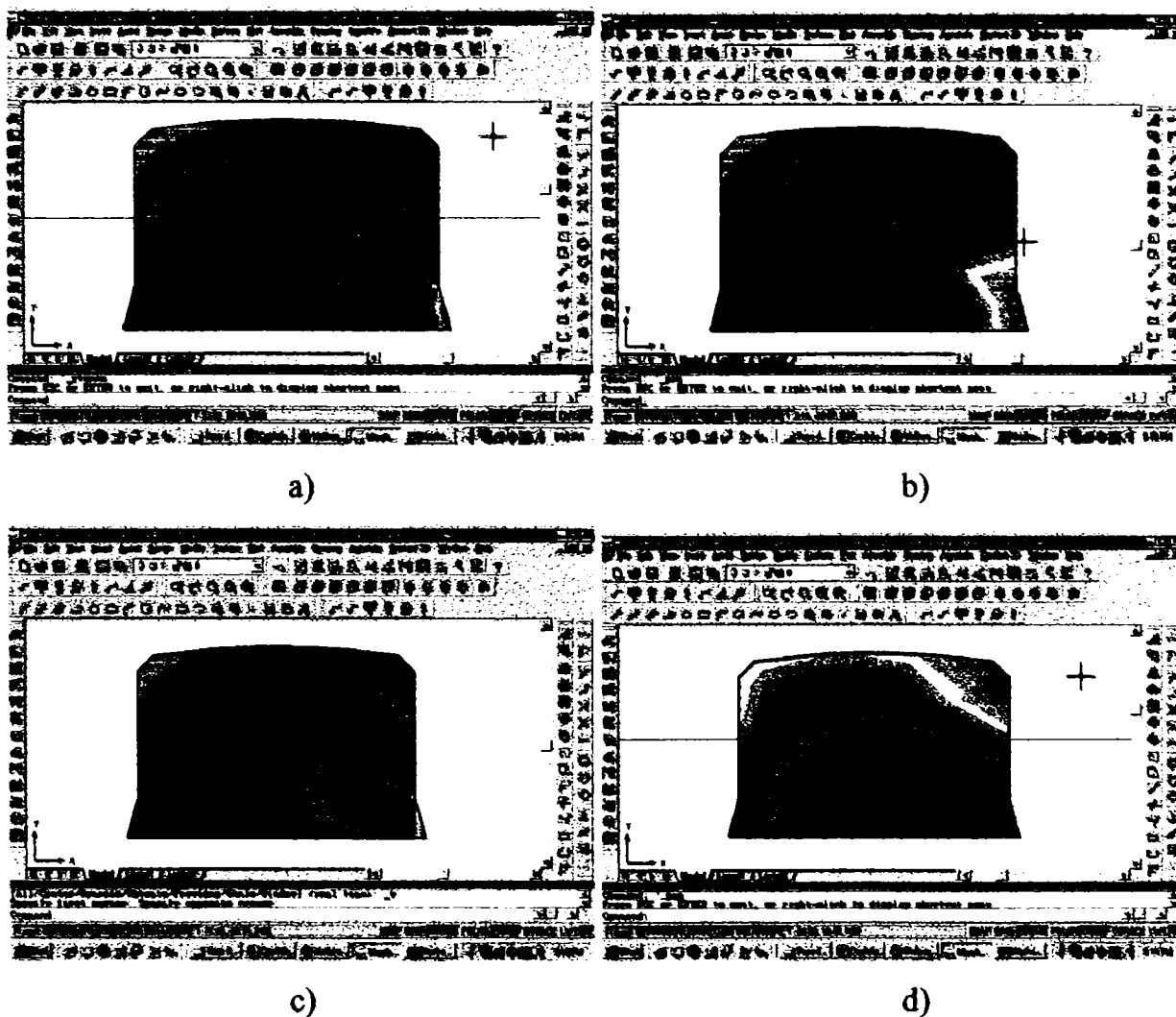


Fig. 5.14. Rezultatele analizei prin MEF pentru canelura de pe arbore:

- a) Tensiunile principale conform teoriei Von Misses;
- b) Tensiunile normale pe direcție orizontală;
- c) Tensiunile tangențiale pe direcție orizontală;
- d) Deformația însumată pe direcție orizontală.

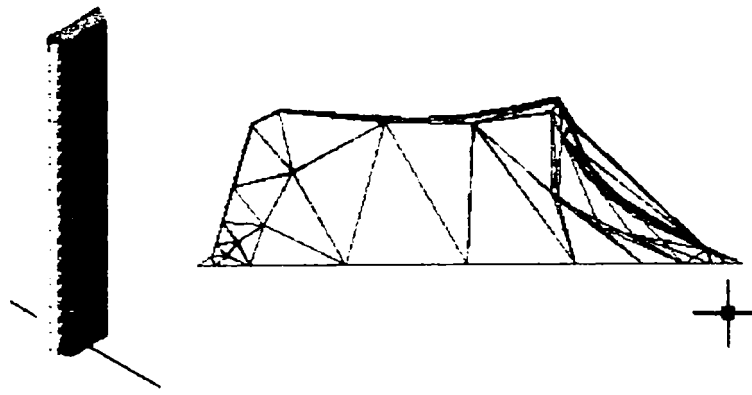


Fig. 5.15. Modelul canelurii de pe butuc. Deformația canelurii

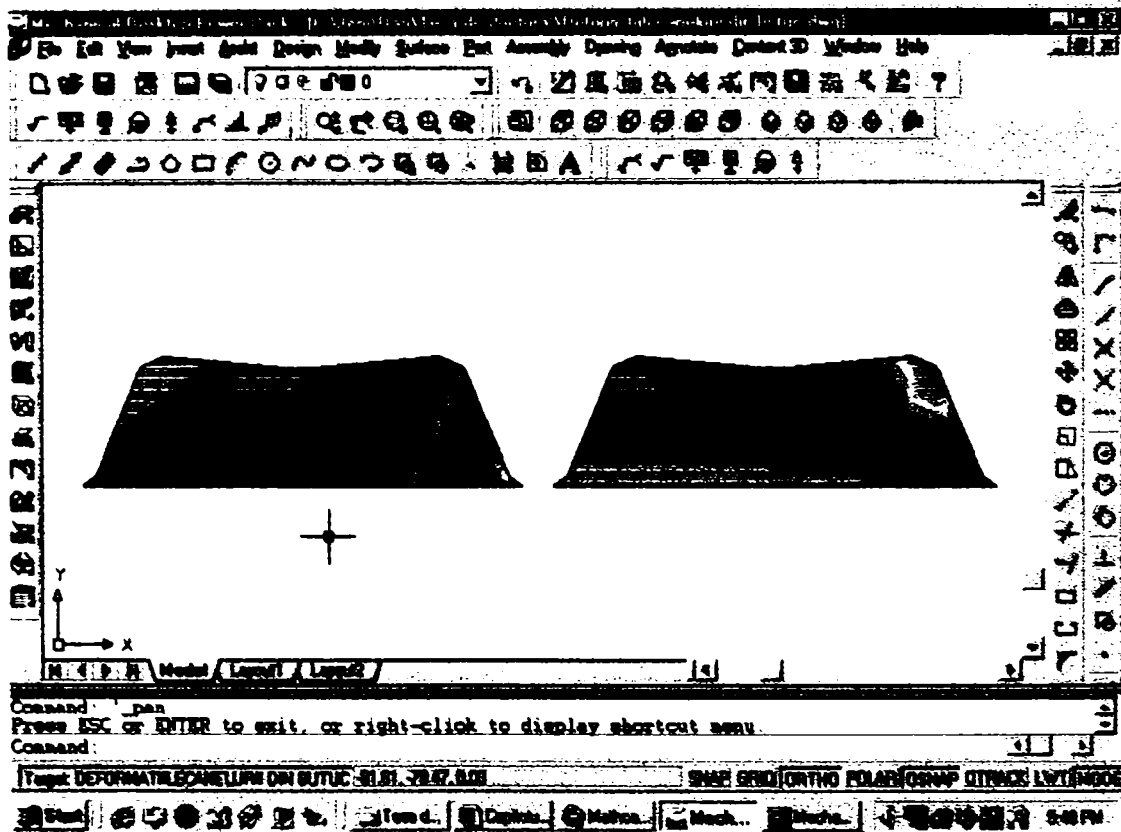


Fig. 5.16. Rezultatele analizei prin MEF pentru canelura de pe butuc:

- Tensiunile principale conform teoriei Von Misses;
- Deformația însumată pe direcție orizontală.

În Anexa 13 sunt prezentate rezultatele analizei cu element finit a canelurilor de pe arbore și din butuc pentru îmbinări prin caneluri dreptunghiulare din seriile de dimensiuni standardizate cu diametrul interior  $d = 32$  mm, din oțel cu modulul de elasticitate  $E = 2,1 \cdot 10^5$  MPa. Deformațiile totale pe cercul de diametru mediu  $d_m$  sunt  $0,12 \mu\text{m}$ ,  $0,56 \mu\text{m}$  și  $0,74 \mu\text{m}$  la arbore, respectiv  $0,05 \mu\text{m}$ ,  $0,07 \mu\text{m}$ ,  $0,12 \mu\text{m}$  la butuc. Erorile față de valorile calculate în Anexa 10 sunt de 20% pentru seria ușoară și de numai 2% pentru seria grea. Modelul de calcul este adecvat pentru seriile de dimensiuni mai grele, la care distribuția tensiunilor și deformațiilor este apropiată de cea teoretică.

## **Capitolul 6.**

### **Determinarea experimentală a rigidității îmbinărilor arbore-butuc prin caneluri**

#### **§6.1. Condițiile de măsurare a rigidității îmbinărilor prin caneluri**

Îmbinările arbore butuc constituie sisteme mecanice elastice complexe, cu elementele legate în serie – arbore, elemente portante, butuc – dar și în paralel – elementele portante multiple (canelurile). Deformația sistemului sub sarcină (rigiditatea sistemului) va fi obținută prin compunerea deformațiilor elementelor sale (a rigidităților) după legi complexe. Structura sistemului elastic nu poate fi descompusă, pentru un studiu corect, în elemente finite. Studiul analitic trebuie făcut utilizând elemente elastice infinite mici (pentru studiul analitic) sau elemente finite mici (pentru studiul numeric aproximativ).

Caracterul mixt al structurii sistemului elastic și mai ales faptul ca el nu poate fi tratat ca având un număr redus de grade de libertate elastică face dificilă decelarea teoretică sau experimentală a diferitelor fenomene care însoțesc transferul de sarcină.

Forma constructivă compactă și interstițiile și jocurile reduse din îmbinare fac accesul cu aparate de măsură posibil doar în zonele adiacente îmbinării: suprafața cilindrică exterioară și suprafețele inelare frontale ale butucului, suprafețele exterioare ale arborelui. Rezultatele măsurărilor vor descrie suma efectelor tuturor fenomenelor de transfer ce au loc în îmbinare.

Măsurarea directă a presiunii pe suprafețele canelurilor de pe arbore și din butuc este foarte dificilă dacă nu chiar imposibilă, deci pentru determinarea distribuției acesteia se vor folosi metode indirecte.

Pentru separarea efectelor diferitelor cauze este necesar ca:

- să se reducă, prin proiectarea corectă a standurilor, numărul cauzelor de variație care se pot însuma;
- să se separe, prin măsurări multiple, simultane sau succesive, și prin prelucrarea adecvată a rezultatelor, efectele fenomenelor studiate.

Standurile pentru determinarea diagramelor de rigiditate – dependența dintre momentul de răsucire aplicat îmbinării și rotirea relativă a butucului față de arbore – pentru îmbinările prin caneluri vor îndeplini deci următoarele condiții:

- sarcina aplicată îmbinării va avea numai componenta de moment de răsucire  $M_x = T$ , sarcinile radiale  $F_r$  și momentele de răsturnare  $M_r$  trebuind să fie nule sau neglijabile;
- încărcarea trebuie făcută lent, pentru a elimina sarcinile dinamice și a permite sistemului să se „așeze”, adică să aibă loc toate micro-mișcările ce însoțesc aplicarea sarcinii;
- precizia sistemului de încărcare trebuie să permită reluarea măsurărilor în aceleași condiții, pentru aceeași îmbinare sau pentru alta;
- aparatura de măsurare trebuie să fie „diferențială”, adică să măsoare rotirea relativă a secțiunii butucului față de cea a arborelui, eliminând astfel deformațiile suporturilor, a sistemului de încărcare sau a structurii de rezistență a standului.

Caracterul static al încercărilor simplifică prelevarea datelor experimentale și construcția standurilor, dar îndepărtează experimentul de condițiile reale de exploatare.

În vederea determinării încărcării maxime admise și a estimării ordinului de mărime a variabilelor măsurate, se consideră o îmbinarea arbore - butuc de referință cu următoarele caracteristici (figura 6.1.):

Diametrul interior	$d = 32 \text{ mm};$
Diametrul exterior	$D = 38 \text{ mm};$
Lățimea canelurii	$b = 6 \text{ mm};$
Numărul de caneluri	$z = 8;$
Diametrul minim al degajărilor de rectificare	$d_1 = 29,4 \text{ mm};$
Lățimea degajării de rectificare	$f = 1,48 \text{ mm};$
Teșitura canelurii din butuc	$c = 0,3 \text{ mm};$
Racordarea canelurii din butuc	$r = 0,3 \text{ mm};$
Diametrul mediu al îmbinării	$d_m = \frac{d + D}{2} \quad d_m = 35 \text{ mm};$
Diametrul exterior al butucului	$D_b = 56 \text{ mm};$
Lungimea îmbinării	$L = 48 \text{ mm}$

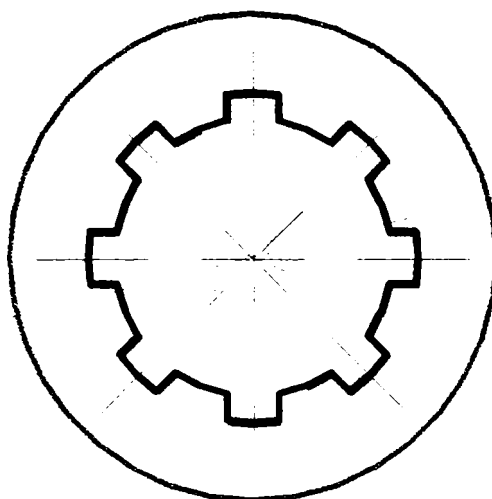
Momentul de răsucire transmisibil, în condiții de lucru mijlocii, de îmbinarea de referință cu butucul fix pe arbore se calculează conform STAS 1747-67:

$$\text{Suprafața portantă unitară} \quad s_p = 0,75 \cdot z \cdot \left( \frac{D-d}{2} - 2 \cdot c \right) \quad s_p = 14,4 \text{ mm};$$

$$\text{Presiunea admisibilă la strivire} \quad p_{as} = 80 \text{ MPa};$$

$$\text{Momentul de torsiune transmisibil} \quad T = \frac{d_m}{2} \cdot s_p \cdot L \cdot p_{as} \quad T = 9,677 \cdot 10^5 \text{ mNm}$$

Se va accepta deci pentru încercările statice un moment de răsucire maxim  $T_{max}$  aplicat îmbinării de  $10^6$  mNm.



**Fig. 6.1. Dimensiunile îmbinării standardizate de referință**

## **§6.2. Determinarea rigidității unei perechi de elemente portante**

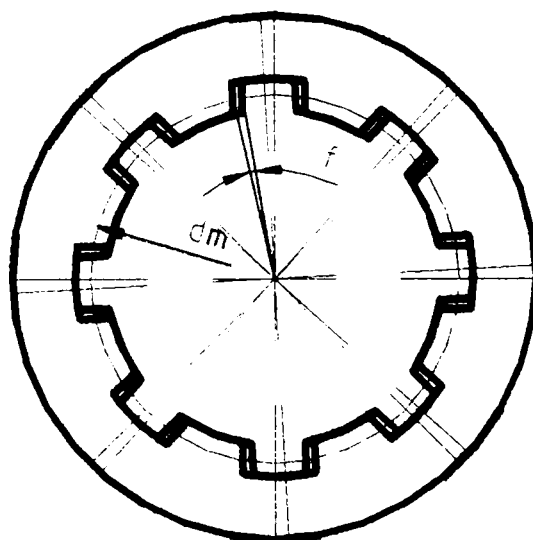
Datorită caracterului static nedeterminat al îmbinărilor canelate, transferul de sarcină este influențat de rigiditatea elementelor îmbinării – arbore, butuc – dar și de elasticitatea canelurilor față de piesa în care sunt prelucrate. Pentru a confirma exactitatea metodelor de calcul analitic sau a modelelor care folosesc metoda elementului finit, este necesară determinarea experimentală a acestor rigidități.

Deoarece rigiditatea arborelui și a butucului, considerate ca piese cilindrice, respectiv tubulare, poate fi suficient de precis determinată prin metodele de calcul analitic, în acest paragraf se va determina rigiditatea însumată a canelurilor de pe arbore și din butuc.

Se definește ca **rigiditate însumată a canelurilor de pe arbore și din butuc**  $C_T$  raportul dintre **momentul de torsiune**  $T$  din îmbinare și **unghiul de rotire relativă**  $\theta$  al suprafeței portante a butucului raportată la diametrul mediu al îmbinării față de suprafața cilindrică

exterioară a arborelui. Rotirea relativă caracterizată de unghiul  $\theta$  este cauzată de deformațiile de contact, de încovoiere, tangențiale ( de forfecare ) și de compresiune ale materialului arborelui și butucului din zona canelurilor, cuprins între diametrele interior  $d$  și exterior  $D$ . De remarcă este faptul ca această rigiditate se referă numai la deformațiile canelurilor și nu la deformațiile de torsiune ale materialului de bază al arborelui, respectiv butucului, considerate ca piese cilindrice sau tubulare, respectiv.

$$C_T = \frac{T}{\theta} \quad (6.1)$$



**Fig. 6.2. Definierea rigidității însumate a canelurilor.**

Din acest motiv, este necesar ca standul să fie astfel conceput încât măsurarea să fie minim posibil influențată de deformațiile de torsiune ale materialului de bază al arborelui, respectiv butucului.

Pentru a nu fi influențată de abaterile de pas ale elementelor îmbinării, rigiditatea trebuie măsurată pentru o singură pereche de elemente portante. Contactul dintre celelalte caneluri conjugate trebuie interzis. În acest caz însă, o singură reacțiune asupra butucului ar produce contactul forțat pe suprafețele de centrare, și deci o forță de frecare ce poate influența rezultatul măsurării. Este deci necesară lăgăruirea separată a butucului pentru a prelua această încărcare radială nedorită.

La standul prezentat schematic în figura 6.2., aceste probleme se rezolvă după cum urmează:

- sistemul de măsurare, format dintr-o pârghie cu brațul egal cu raza medie a îmbinării și un comparator cu precizie de  $0,001 \mu\text{m}$ , este montat la capătul descărcat al îmbinării. Deoarece la acest capăt momentele de torsiune din arbore și din butuc sunt

nule, rotirea relativă între butuc și arbore este produsă numai de deformația canelurilor;

- lungimea redusă a îmbinării asigură o distribuție mai uniformă a presiunii pe suprafețele de contact; presiunea poate fi deci considerată constantă și egală cu presiunea medie;
- canelurile de pe arbore, mai puțin cea care se măsoară, sunt îndepărtate prin prelucrare mecanică, astfel încât contactul să se facă numai pe o pereche de suprafețe pe tot domeniul de încercare;
- butucul este lăgăruit pe o pereche de rulmenți montați pe suport, care vor prelua încărcarea radială ne dorită; jocul radial al rulmenților trebuie să fie mai mic decât jocul din ajustajul de centrare al canelurilor.

Standul se încarcă progresiv cu momente de răsucire  $T_i$ ,  $T_i \in [0; T_{\max}]$

$$T_i = F_i \cdot b \text{ [mNm]} \quad (6.2)$$

unde -  $F_i$  [N] este forța de încărcare produsă de greutatea etalonate;

-  $b$  [mm] este brațul pârghiei dispozitivului de încărcare  $b$ .

Înregistrând indicațiile  $\Delta_i$  ale comparatorului, rotirea relativă  $\theta_i$  va fi:

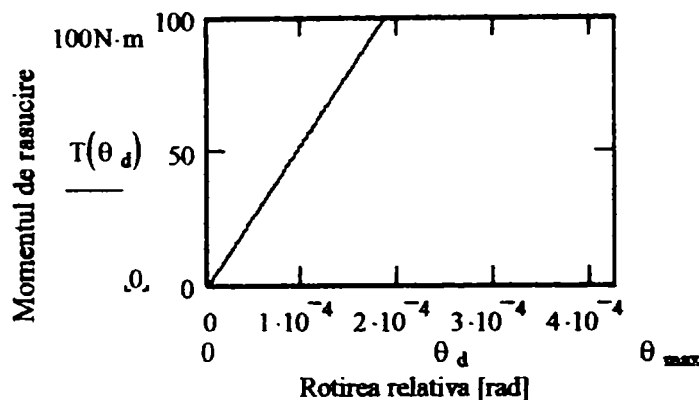
$$\theta_i = \frac{\Delta_i}{r_m}; [\text{rad}] \quad (6.3)$$

Se trasează diagrama de rigiditate  $T_i = T_i(\theta_i)$  al cărei coeficient de regresie liniară este **rigiditatea însumată a canelurilor**.

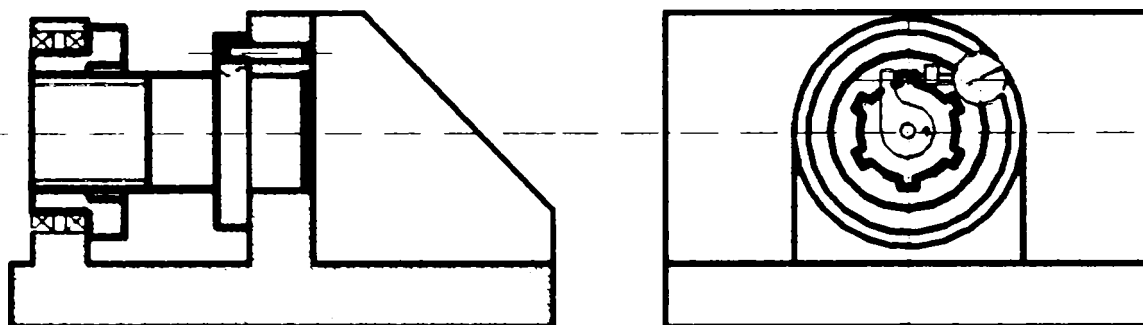
În figură este prezentată diagrama teoretică de rigiditate a îmbinării de referință cu o singură pereche de caneluri în contact. Rigiditatea însumată  $C_F$  a fost calculată [M3] ținând seama de deformațiile de încovoiere, tangențiale (de forfecare) și de compresiune ale materialului arborelui și butucului din zona canelurilor, neglijându-se deformațiile de contact. Această aproximație este discutabilă având în vedere că valoarea estimată a deformației  $\Delta_{\max}$  este de ordinul micrometrilor, adică de același ordin de mărime ca și rugozitatea suprafețelor de contact.

Deformația însumată maximă a unei perechi de elemente portante este

$$\Delta_{\max} = \frac{S_{pl} \cdot P_{as}}{C_F}; \quad \Delta_{\max} = 1,92 \cdot 10^{-3} \text{ mm}$$



**Fig. 6.3. Diagrama de rigiditate estimată a unei perechi de elemente portante a îmbinării de referință.**



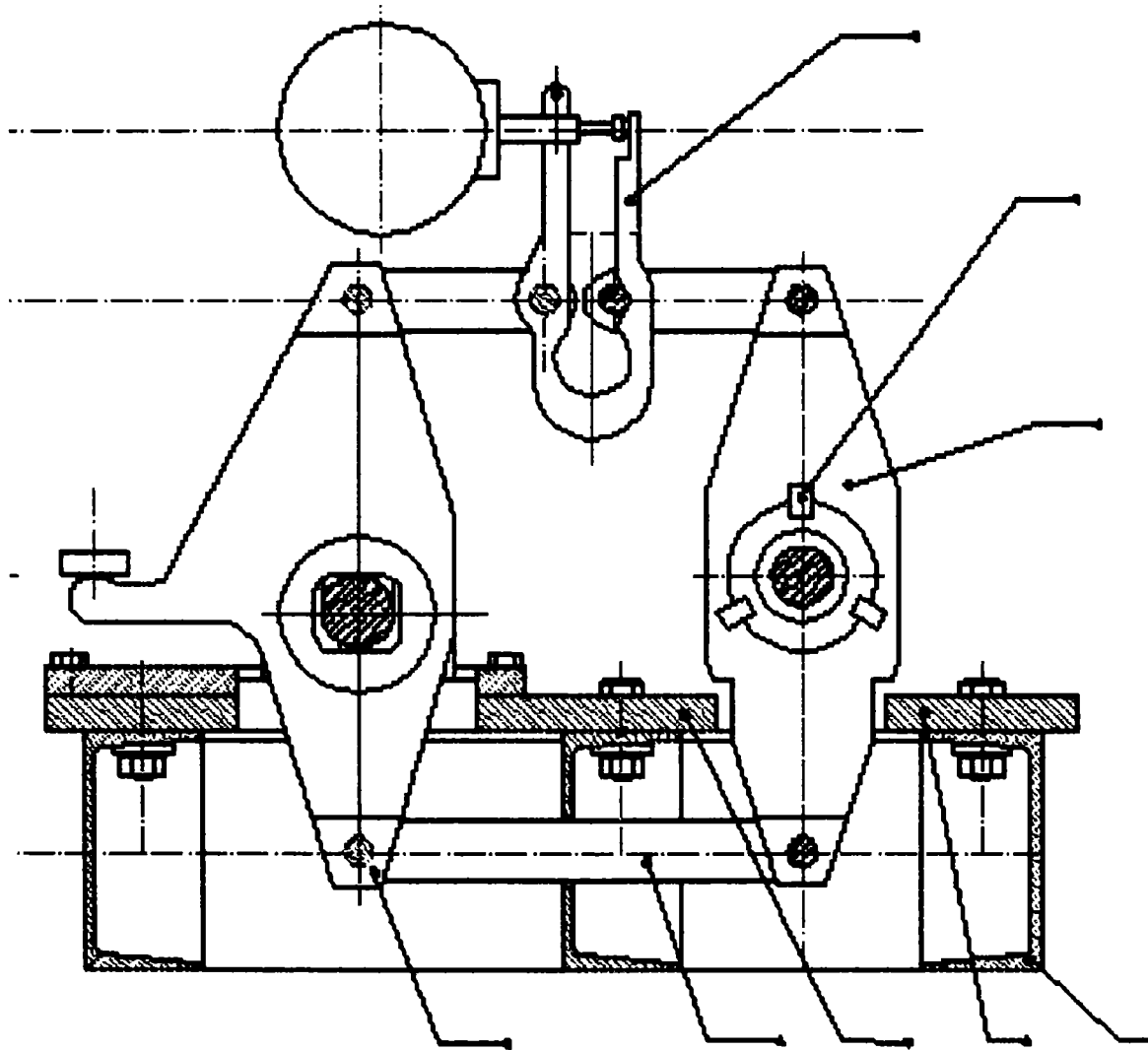
**Fig. 6.4. Stand pentru determinarea rigidității însumate a unei perechi de caneluri.**

Standul cu încărcare gravitațională are dezavantajul că soliciță ansamblul testat cu moment de răsturnare și cu forță radială, pe lângă momentul de răsucire. Pentru preluarea acestora este necesară lăgăruirea separată a arborelui și a butucului. Momentul pierdut prin frecare în lagăre influențează rezultatele măsurării, crescând rigiditatea aparentă a ansamblului. De asemenea, erorile de coaxialitate dintre cele două lăgăruri pot produce contactul neuniform pe lungime între caneluri și deci introducerea unui moment de răsturnare pasiv, interior îmbinării și care soliciță suplimentar lagărele.

Pentru eliminarea acestor dezavantaje, s-a conceput și executat un stand (Fig. 6.5.) cu sistem de încărcare mecanic simetric, care soliciță ansamblul testat numai cu moment de răsucire. Pentru eliminarea lăgăruirii suplimentare a butucului, se utilizează o epruvetă cu două perechi opuse de caneluri în contact (Fig. 6.6.). Acestea asigură autocentrarea butucului pe arborele canelat și reducerea reciprocă a sarcinilor radiale.

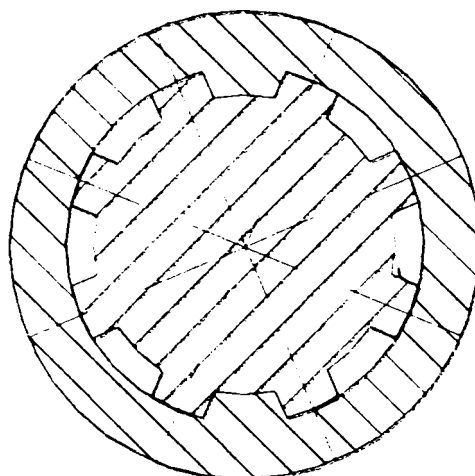
Sistemul de încărcare este format dintr-un mecanism dublu paralelogram articulată, care ramifică forța de încărcare și o distribuie, cu brațe egale și cu sensuri diferite, la capetele pârghiei de răsucire.





**Fig. 6.5. Stand pentru determinarea rigidității canelurilor**

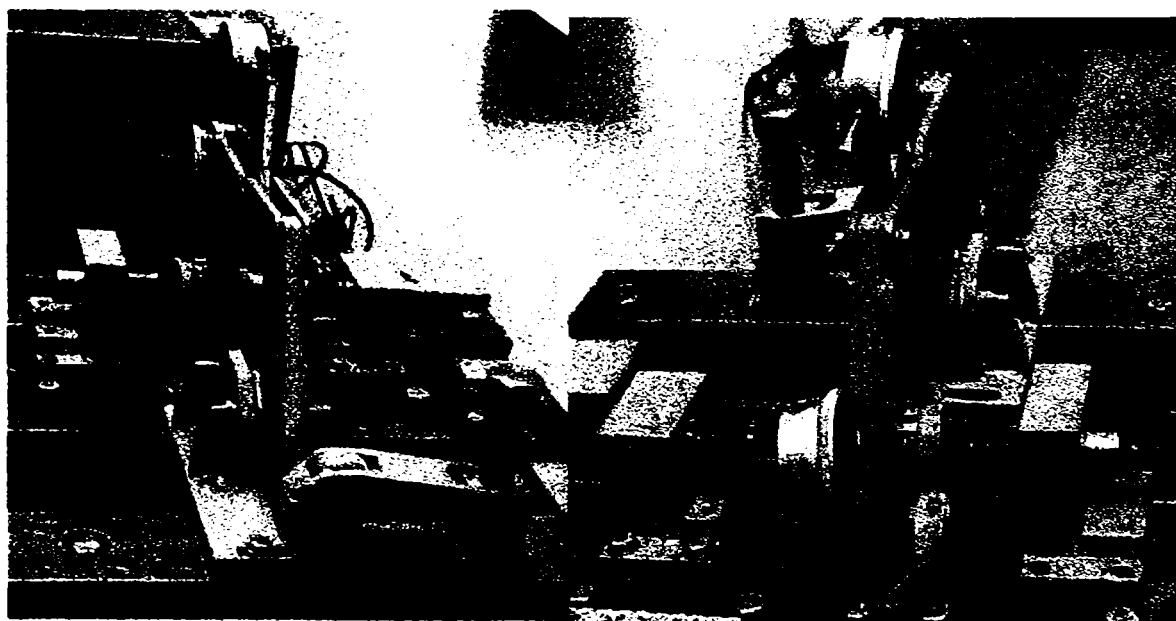
Momentul de încărcare este realizat manual, cu o cheie fixă de 32, și amplificat prin mecanismul cu șurub și piuliță trapezoidale și prin mecanismul cu pârghie cu raportul de amplificare 5/1 (Fig. 6.7. a).



**Fig. 6.6. Epruveta pentru determinarea rigidității canelurilor**

Rezemarea pârghiei de echilibrare se face pe un lagăr cu două grade de libertate, pentru eliminarea gradului de nedeterminare statică introdus de bucla mecanică închisă.

Arborele canelat este rezemat pe două suporturi (Fig. 6.7. b), unul fix, care materializează încastrarea capătului arborelui canelat, și unul mobil, care constituie simpla rezemare a capătului liber al arborelui.

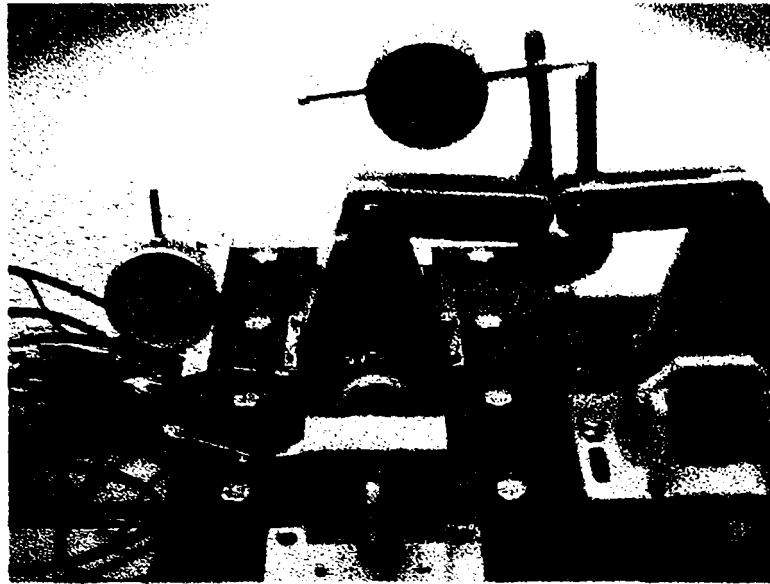


a)

b)

**Fig. 6.7. Construcția standului pentru măsurarea rigidității îmbinărilor canelate**

Suporturile arborelui și suportul mecanismului de încărcare pot fi deplasate de-a lungul a două ghidaje paralele, pentru a adapta standul la lungimea arborelui încercat și la poziția tronsonului canelat pe lungime.

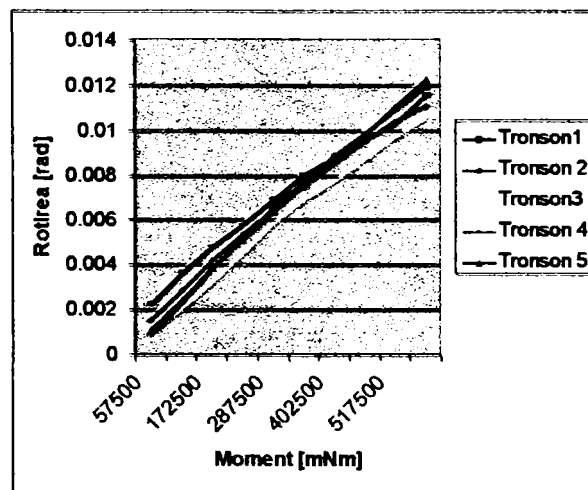


**Fig. 6.8. Sistemul de măsurare a standului pentru determinarea rigidității canelurilor**

Sistemul de măsurare (Fig. 6.8) este format din dinamometrul mecanic potcoavă tip Rejtö cu constanta de 50 N/div, pentru măsurarea forței din eclisele de încărcare și determinarea momentului aplicat îmbinării și din ansamblul de măsurare a rotirii relative, compus din două brațe: unul purtător al comparatorului de măsurare a deformației, montat fix pe arbore în imediata vecinătate a îmbinării și unul de măsurare, montat pe suprafața cilindrică exterioară a butucului, la capătul opus al îmbinării.

Rezultatele încercărilor sunt cuprinse în Anexa 14 și centralizate în figura 6.9.

Coeficienții de regresie liniară a curbelor de rigiditate pentru cele cinci îmbinări încercate sunt în jurul valorii  $2 \times 10^{-8}$  rad/mNm, corespunzători unor rigidități torsionale de  $50 \times 10^6$  mNm/rad. Pentru că se încearcă două caneluri opuse simultan, rigiditatea medie a unei caneluri este de 25 kNm/rad.



**Fig. 6.9. Rigiditatea canelurilor dreptunghiulare**

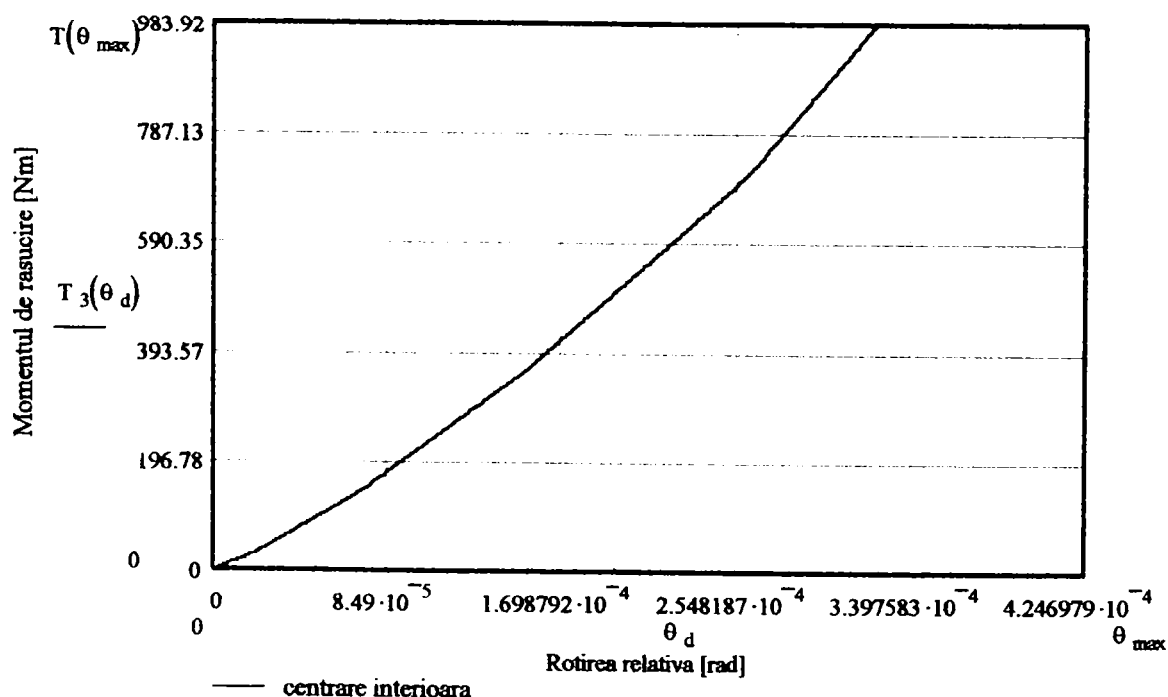
Comparând rezultatele măsurărilor cu estimările analitice se constată că nu se pot neglija rotirile produse de deformațiile de torsiune ale arborelui și butucului. Aceste rotiri, estimate prin calcul a avea valori de 0,0002 ... 0,0004 rad pentru un moment de torsiune de 100 Nm aplicat îmbinării studiate, au același ordin de mărime (Fig. 6.3) ca și rotirile produse de deformația canelurilor față de arbore, respectiv butuc. Cu toate acestea, rigiditatea măsurată este de aproape de două ori mai mică decât cea calculată. Aceasta se explică parțial prin eroarea de măsurare produsă de distanța față de capătul îmbinării (mică dar existentă) la care a fost montat suportul comparatorului pe arbore, dar și prin contribuția rigidității de contact la diminuarea rigidității sistemului elastic al îmbinării.

### § 6.3. Determinarea diagramei de rigiditate a unei îmbinări prin caneluri.

Abaterile de pas ale canelurilor de pe arbore și din butuc, asociate caracterului static nedeterminat al îmbinării, impun contactul inițial ( pentru  $T \rightarrow 0$ ) într-un număr finit de puncte de pe suprafețele portante, după cum urmează:

- un punct de contact la îmbinările cu centrare interioară sau exterioară;
- trei puncte de contact la îmbinările scurte cu centrare pe flancuri;
- cinci puncte de contact la îmbinările lungi cu centrare pe flancuri.

Odată cu creșterea momentului de răsucire  $T$ , contactul se extinde pe lungimea suprafețelor portante și pe canelurile inițial fără contact. Are loc astfel o creștere progresivă a rigidității îmbinării.

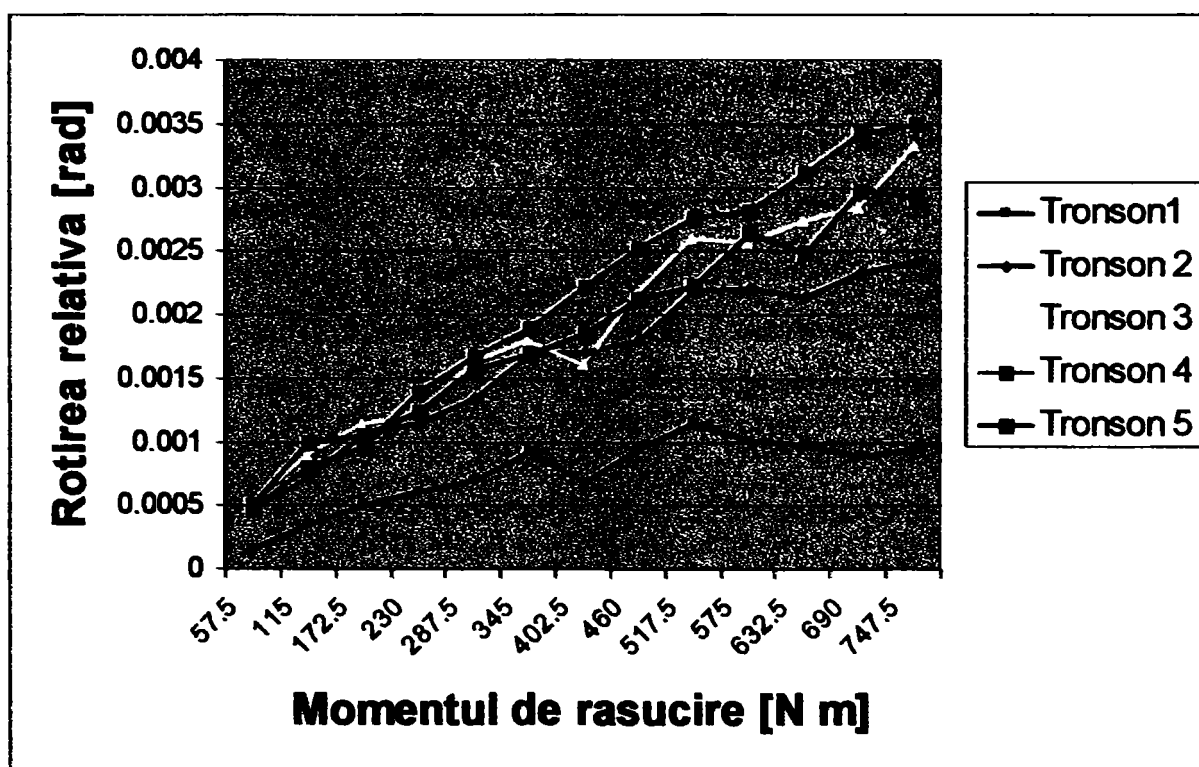


**Fig. 6.10. Diagrama de rigiditate pentru o îmbinare prin caneluri cu abateri de pas distribuite normal**

În figura 6.10. este prezentată diagrama de rigiditate estimată pentru îmbinarea de referință cu abateri de pas. Distribuția normală a abaterilor de pas ale canelurilor arborelui și butucului are o abatere medie pătratică de  $1 \mu\text{m}$  (ceea ce corespunde unei toleranțe de  $6 \mu\text{m}$ ).

Standul utilizat pentru ridicarea diagramei de rigiditate a îmbinării complete este același cu cel utilizat pentru rigiditatea unei perechi de caneluri, prezentat în §6.2.

Încercările se realizează în aceleași condiții ca și la paragraful precedent, rezultatele fiind centralizate în Anexa 14 și în figura 6.11. Rigiditatea îmbinării cu 6 perechi de caneluri este evident mai mare decât cea a îmbinării cu două caneluri în contact. Raportul rigidităților măsurate nu este însă de 3/1 ci doar de 2/1, datorită contribuției rotirii secțiunilor arborelui și butucului, dar și contactului incomplet al canelurilor ce formează îmbinarea.



**Fig. 6.11. Diagrama de rigiditate a îmbinării canelate.**

## **Capitolul 7**

### **Determinarea experimentală a variației presiunii pe lungimea îmbinărilor arbore-butuc prin caneluri**

Măsurarea directă a presiunii produsă de solicitarea de contact pe suprafețe extinse este în general extrem de dificilă dacă nu chiar imposibilă. Determinarea experimentală directă a valorii presiunii locale și a distribuției acesteia pe suprafața nominală de contact este cu atât mai dificilă dacă piesele ce compun ansamblul sunt compacte, robuste, de dimensiuni reduse și cu forme complicate. Din acest motiv, transferul de sarcină din îmbinările canelate și distribuția presiunii pe suprafețele portante se determină prin metode indirecte. Piesa cea mai accesibilă traductoarelor și aparatelor de măsură este butucul îmbinării, în special suprafața sa cilindrică exterioară. Studiul variației tensiunilor și deformațiilor din butuc este deci soluția cea mai accesibilă. Dintre metodele experimentale pentru determinarea stării de tensiuni și deformații pe suprafața cilindrică exterioară a butucului: tensometrie electrică rezistivă, inductivă sau capacitivă, metoda lacurilor casante, metodele Moiré, etc, s-a optat pentru utilizarea traductoarelor electrice rezistive (timbre sau mărci tensometrice).

#### **§7.1. Principiul tensometriei electrice**

Tensometria electrică se bazează pe transformarea deformațiilor mecanice, prin intermediul unor traductoare, în variații ale unei mărimi electrice. După această mărime – rezistență electrică, inductanță, capacitate electrică, frecvență – traductoarele se numesc rezistive, inductive, capacitive sau cu coardă vibrantă.

Traductorul tensometric rezistiv utilizează fenomenul de modificare a rezistenței electrice a unui conductor datorită deformației mecanice a acestuia.

Rezistența electrică a unui conductor se poate exprima cu relația:

$$R = \rho \cdot \frac{l}{S} \quad [ \Omega ] \quad (7.1)$$

unde:

$\rho$  – rezistivitatea materialului conductorului [  $\Omega / \text{mm}$  ];

$l$  – lungimea conductorului [ mm ];

$S$  – aria secțiunii transversale a conductorului.

Diferențiând relația rezistenței  $R$  se obține:

$$dR = \frac{dR}{d\rho} \cdot d\rho + \frac{dR}{dl} \cdot dl + \frac{dR}{dS} \cdot dS = d\rho \cdot \frac{l}{S} + dl \cdot \frac{\rho}{S} - \rho \cdot \frac{1}{S^2} \cdot dS \quad (7.2)$$

Variația specifică a rezistenței se obține raportând relația (7.5) la (7.4):

$$\frac{dR}{R} = \frac{d\rho}{\rho} + \frac{dl}{l} - \frac{dS}{S} \quad (7.3)$$

și deoarece  $\frac{dl}{l} = \varepsilon$  și  $\frac{dS}{S} = -2 \cdot \mu \cdot \varepsilon$

$$\frac{dR}{R} = \varepsilon \cdot \left( 1 + 2 \cdot \mu + \frac{d\rho}{\rho \cdot \varepsilon} \right) \quad (7.4)$$

unde  $\mu$  este coeficientul de contracție transversală (a lui Poisson) al materialului conductorului ( $\mu = 0,3$  la oțel).

Din relația (7.7) se observă că modificarea rezistenței electrice a conductorului nu depinde numai de alungirea specifică  $\varepsilon$  ci și de modificarea rezistivității materialului în stare deformată. Din acest motiv, caracteristica traductorului sau factorul de tensosensibilitate  $k$ :

$$k = 1 + 2 \cdot \mu + \frac{d\rho}{\rho \cdot \varepsilon} \quad (7.5)$$

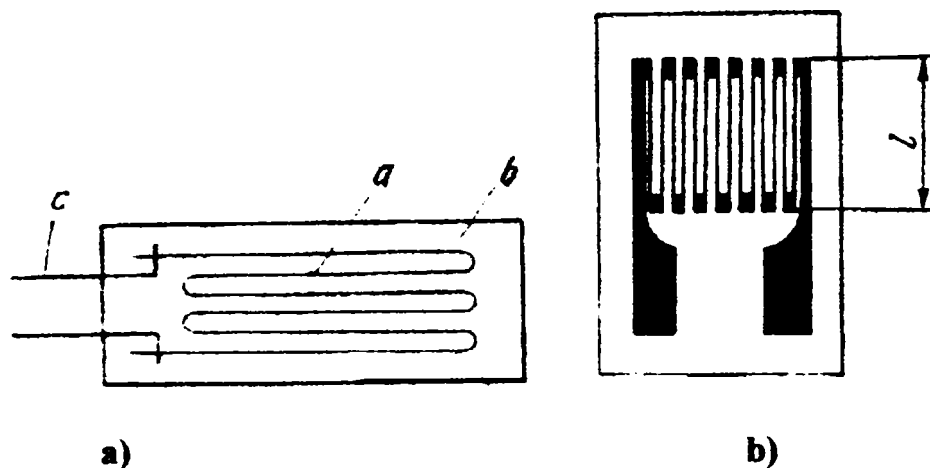
diferă de valoarea minimă  $k_{\min} = 1,6$ . Pentru materialele folosite în mod obișnuit la construcția traductoarelor electrice rezistive (sau mărcilor tensometrice cum mai sunt numite), factorul de tensosensibilitate are valori cuprinse între 2,0 și 3,5. Caracteristica traductoarelor trebuie determinată experimental pentru fiecare lot în parte.

## **§7.2. Tipuri de traductoare tensometrice rezistive**

Pentru utilizare în diferite condiții de măsurare se poate achiziționa o mare varietate de traductoare tensometrice rezistive simple sau combinate ( rozete tensometrice), care diferă prin materialul conductor, materialul suportului și adezivul folosit. Dimensiunile traductoarelor sunt din ce în ce mai mici, numeroase firme producătoare oferind produse cu dimensiuni milimetrice

și chiar submilimetrice. Se poate folosi deci tensometria electrică rezistivă în domenii tot mai extinse. În figura 3. . sunt prezentate două tipuri de traductoare simple:

- a) traductor pe suport de hârtie;
- b) traductor imprimat.



**Figura 7.1. Traductoare tensometrice rezistive.**

### **§7.3. Proprietățile traductorului tensometric rezistiv**

Spre a utiliza în mod curent traductorul tensometric rezistiv, trebuie să i se cunoască proprietățile, legate de scopul urmărit.

**Liniaritatea.** Principala proprietate a traductorului tensometric este liniaritatea, adică păstrarea unei relații liniare între variația relativă a rezistenței  $\Delta R / R$  și alungirea  $\epsilon$ . Cât timp există această relație liniară, constanta  $k$  rămâne neschimbată. În general traductoarele fabricate curent sunt liniare până la eforturi unitare care depășesc limita de curgere a oțelului, deci până în zone în care legea lui Hooke, deci însăși tensometria, nu mai este aplicabilă.

**Efectul temperaturii.** În general, fiind vorba de aliaje metalice, variațiile de temperatură influențează rezistența ohmică a traductorilor tensometrici. În schimb, constanta traductorilor rămâne în general neschimbată, în limitele curenți de utilizare. Schimbarea rezistenței electrice a traductoarelor cu temperatura se suprapune variației de rezistență datorită deformațiilor mecanice și poate falsifica complet măsurarea tensometrică. Se va arăta ce măsuri de compensare se iau spre a evita acest neajuns.

**Efectul umidității.** Umezeala dăunează traductorilor tensometrici. În primul rând, umezeala micșorează rezistența electrică, permițând scurgeri de curent între firele grilajului rezistent, scurgeri prin suportul izolant etc. În al doilea rând, umezeala micșorează rezistența



mecanică a unor adezivi în special a celor pe bază de celuloid, permițând lunecări între traductor și piesă, ceea ce are ca efect falsificarea completă a măsurării.

Rezultă de aici că umezeala este principalul dușman al traductorului tensometric rezistiv. Măsurarea tensometrică reușește în special când se face în mediu uscat, pe timp uscat. În cazul în care în mediul înconjurător există umezeală prea mare, se iau măsuri speciale de uscare, de exemplu cu raze infraroșii, precum și măsuri de acoperire a traductorilor cu ceară, parafină sau chit izolant.

**Efectul deformației transversale.** Traductorul tensometric în serpentină are o serie de bucle, unde direcția firului rezistent nu coincide cu direcția de solicitare a traductorului. În aceste locuri, deformațiile transversale produc erori în măsurare, care sunt de ordinul  $-2\%$  la  $+4\%$  pentru traductori cu suport de hârtie, respectiv de  $-2,3\%$  la  $+6,7\%$  pentru traductori cu suport de bachelită. În general aceste erori se neglijează. Se fac și construcții speciale de traductori, insensibili la deformațiile transversale, realizați din o serie de fire paralele, legate transversal prin punți, de rezistență mult mai mică.

#### **§7.4. Tehnologia pregătirii măsurării tensometrice**

Pentru buna reușită a unei măsurări tensometrice, trebuie să se ia o serie de măsuri:

**Traductorul** tensometric trebuie să fie ales corespunzător măsurării ce se va efectua, atât în ce privește dimensiunile, cât și comportarea sa la temperatură, umezeală, etc.

**Locul de măsurare** trebuie ales după o prealabilă apreciere a stării de eforturi unitare. Cu cât piesa este mai complexă, cu atât se vor face măsurări în mai multe puncte, deci se vor lipi mai mulți traductori. La locul de măsurare, piesa trebuie să fie bine curățată de rugină, vopsele, cu ajutorul unui polizor sau al unei pile. Nu este necesară realizarea unei suprafețe prea lustruite, rizurile rămase favorizând aderența traductorului de piesă. De asemenea, trebuie bine studiată orientarea traductorului pe piesă.

După curățarea prin șlefuire, suprafața piesei se curăță de resturi de murdărie, grăsimi, prin spălare cu vată îmbibată în acetonă, eventual se curăță într-o primă fază cu alcool, apoi cu acetonă. După aceasta, nu este permis a mai atinge piesa cu mâna.

După curățare, se aplică un strat fin de clei (adeziv) atât pe piesă cât și pe traductor și se aplică traductorul apăsându-l ușor cu degetul spre a elimina excesul de clei și bulele de aer.

Apoi traductoarele se lasă să se usuce, pe durata prescrisă, după tipul de adeziv folosit.

Uscarea traductorilor se poate face în aer, sau pe cale artificială., prin încălzire. Uscarea prin încălzire este obligatorie pentru cleiurile care se întăresc prin polimerizare.

După uscarea completă se face verificarea rezistenței electrice. În acest scop se verifică atât rezistența traductorului propriu-zis, conectând firele sale la bornele ohmmetrului, cât și rezistența sa de izolație, care trebuie să aibă valoarea prescrisă.

Dacă este necesar, se iau apoi măsuri de izolare a traductorilor împotriva umezelii.

În fine, se lipesc firele de legătură., care permit conectarea traductorilor în circuitul de măsurare.

### §7.5. Aparatura pentru tensometrie electrică

#### Puntea Wheatstone

Variațiile de rezistență  $\Delta R$  suferite de traductorul tensometric sunt destul de mici. Astfel, pentru un traductor având  $R = 120 \Omega$  și  $k = 2,04$ , supus unei deformații specifice  $\varepsilon = 1 \cdot 10^{-3}$  (căreia îi corespunde la oțel  $\sigma = 210 \text{ MPa}$ ) variația rezistenței este

$$\Delta R = k \cdot R \cdot \varepsilon = 2,4 \cdot 120 \cdot 10^{-3} = 0,2448 \Omega \quad (7.6)$$

Astfel de variații ale rezistenței ohmice se măsoară prin variații corespunzătoare de tensiune sau curent.

Măsurarea nu se face direct la bornele rezistenței, ci introducând-o într-un circuit care să mărească sensibilitatea și precizia măsurării.

În mod obișnuit, circuitul electric care face această măsurare este o punte Wheatstone numită punte tensometrică.

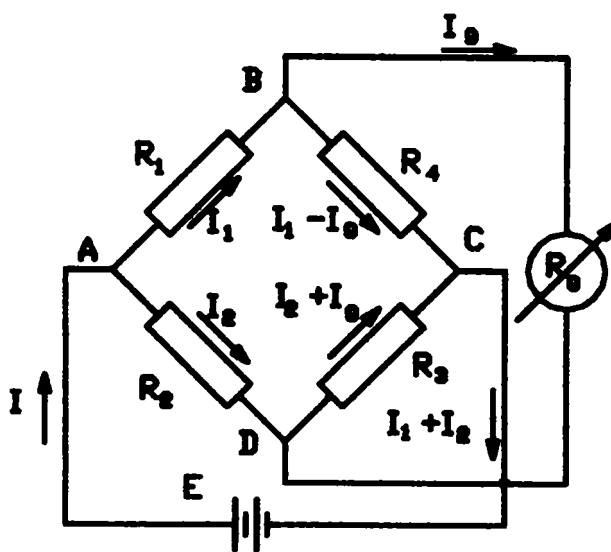


Figura 7.2. Punte Wheatstone

În figura 7.2 se arată o schemă a punții tensometrice. În această schemă,  $R_1$  este rezistența traductorului activ, cel cu care facem măsurarea.

**Metoda punții echilibrate;** prin diagonala BD a punții, curentul  $I_g = 0$  atunci când este îndeplinită condiția de echilibru:

$$R_1 \cdot R_3 = R_2 \cdot R_4 \quad (7.7)$$

$R_1$  este rezistența traductorului activ TA lipit pe piesă în punctul de măsurare.  $R_2$  este rezistența unui traductor identic cu TA, numit traductor compensator TC așezat în aceleași condiții de temperatură cu cel activ, lipit pe o piesă din același material, dar nesolicitată. Astfel, variațiile de temperatură acționează identic asupra rezistenței traductorilor TA și TC. Se realizează în acest fel compensarea termică.

Rezistența traductorului  $R_1$  variază sub sarcină cu  $\Delta R_1$ . Spre a menține echilibrul punții, este necesară modificarea unei rezistențe, de exemplu pe  $R_4$ , astfel încât condiția de echilibru să fie îndeplinită.

$$\frac{R_1 + \Delta R_1}{R_2} = \frac{R_4 + \Delta R_4}{R_3} \quad (7.8)$$

Acest lucru se realizează așezând un potențiomtru pe brațul în care este legată rezistența  $R_4$ . Acest potențiomtru are un cadran care este gradat direct în deformații specifice  $\varepsilon$ . În metoda punții echilibrate, se reglează potențiomtrul, până când acul aparatului indicator stă pe zero și se citește deformația specifică.

**Metoda punții dezechilibrate;** acul aparatului G deviază în urma variației de rezistență a traductorului activ, iar cadranul acestui aparat se gradează în deformații specifice  $\varepsilon$ .

### **§7.6. Determinarea distribuției presiunii din îmbinare prin măsurarea tensiunilor tangențiale de torsiune pe suprafața exterioară a butucului.**

În cazul rotorilor cu butucul de lungime sensibil mai mare decât zona de aplicare a momentului de răsucire, (la care se poate folosi ipoteza aplicării concentrate a momentului de torsiune), suprafața cilindrică exterioară a butucului este accesibilă pentru lipirea traductoarelor tensometrice.

În cadrul experimentelor s-a încercat un arbore cardanic și telescopic cu îmbinare prin caneluri cu centrare pe flancuri în afara seriilor de dimensiuni standardizate („seria supergrea”) 30 x 38 x 3,5 x 16, cu dimensiunile:

***Determinarea experimentală a variației presiunii pe lungimea îmbinărilor arbore-butuc prin caneluri***

- diametrul exterior	$D = 38 \text{ mm};$
- diametrul interior	$d = 30 \text{ mm};$
- lățimea canelurilor de pe arbore	$b = 3.5 \text{ mm};$
- numărul de caneluri	$z = 16$

Pentru a asigura o suprafață de lipire netedă pentru timbrele tensometrice, de pe exteriorul a butucului au fost îndepărtate mecanic nervurile de rigidizare cu furca cardanică și s-a prelucrat mecanic prin strunjire și rectificare suprafața cilindrică exterioară. Garnitura de etanșare a fost de asemenea îndepărtată, ca și zona de început a canelurii, cu rigiditate variabilă produsă de canalul de sertizare a capacului etanșării.

Pentru îmbinarea de referință, tensiunea tangențială maximă (pe suprafața butucului și în secțiunea solicitată cu momentul de răsucire  $T_x = T_{\max}$ ), tensiunile principale maxime și deformațiile principale sunt calculate mai jos:

Modulul de rezistență polar al secțiunii butucului:

$$W_{pb} = \frac{\pi(D_b^4 - D^4)}{16 \cdot D_b} \quad W_{PB} = 2,717 \cdot 10^4 \text{ mm}^3 \quad (7.9)$$

Tensiunea maximă de torsiune din butuc:

$$\sigma_1 = \tau_{b \max} \quad \sigma_1 = 35,614 \text{ MPa} \quad (7.10)$$

$$\sigma_2 = -\tau_{b \max} \quad \sigma_2 = -35,614 \text{ MPa} \quad (7.10')$$

Deformațiile principale pe suprafața cilindrică exterioară a butucului:

$$\varepsilon_1 = \frac{\sigma_1 \cdot (1 + \mu)}{E} \quad \varepsilon_1 = 215,342 \frac{\mu\text{m}}{\text{m}} \quad (7.11)$$

La răsucirea unei bare de secțiune circulară direcțiile principale ale tensiunilor principale  $\sigma_1$ ,  $\sigma_2$  de întindere și compresiune fac cu generatoarea cilindrului unghiuri de  $45^\circ$  și sunt egale cu eforturile tangențiale unitare  $\tau$ . Acestor eforturi unitare le corespund deformațiile  $\varepsilon_1$  și  $\varepsilon_2$  egale și de semn contrar. În cazul general când arborele nu este numai răsucit, ci este supus și la încovoiere și întindere pentru a determina deformațiile specifice datorite răsucirii și a elimina pe cele datorite încovoierii și întinderii trebuie aplicate patru mărci; axele mărcilor trebuie să fie orientate sub un unghi de  $45^\circ$  față de generatoare, iar centrele geometrice ale mărcilor să coincidă cu vârfurile pătratului înscris în secțiune.

La amplasarea și conectarea prezentată în figura 7.3 se vor măsura numai deformațiile specifice  $\varepsilon_1$  și  $\varepsilon_2$  datorate răsucirii, iar influența încovoierii și întinderii se va elimina. Variația totală de rezistență măsurată va fi:

**Determinarea experimentală a variației presiunii pe lungimea îmbinărilor arbore-butuc prin caneluri**

$$\Delta R = k \cdot R_1 (\varepsilon_2 - \varepsilon_m + \varepsilon_t) + k \cdot R_2 (\varepsilon_2 + \varepsilon_m + \varepsilon_t) - [k \cdot R_3 (-\varepsilon_1 + \varepsilon_m + \varepsilon_t) + k \cdot R_4 (-\varepsilon_1 - \varepsilon_m + \varepsilon_t)] \quad (7.12)$$

Când  $R_1 = R_2 = R_3 = R_4 = R$  se obține:

$$\Delta R = k \cdot R (2 \cdot \varepsilon_2 + 2\varepsilon_t) - k \cdot R (-2 \cdot \varepsilon_1 + 2\varepsilon_t); \quad (7.13)$$

$$\Delta R = k \cdot R \cdot 4 \cdot \varepsilon_1 \quad (7.14)$$

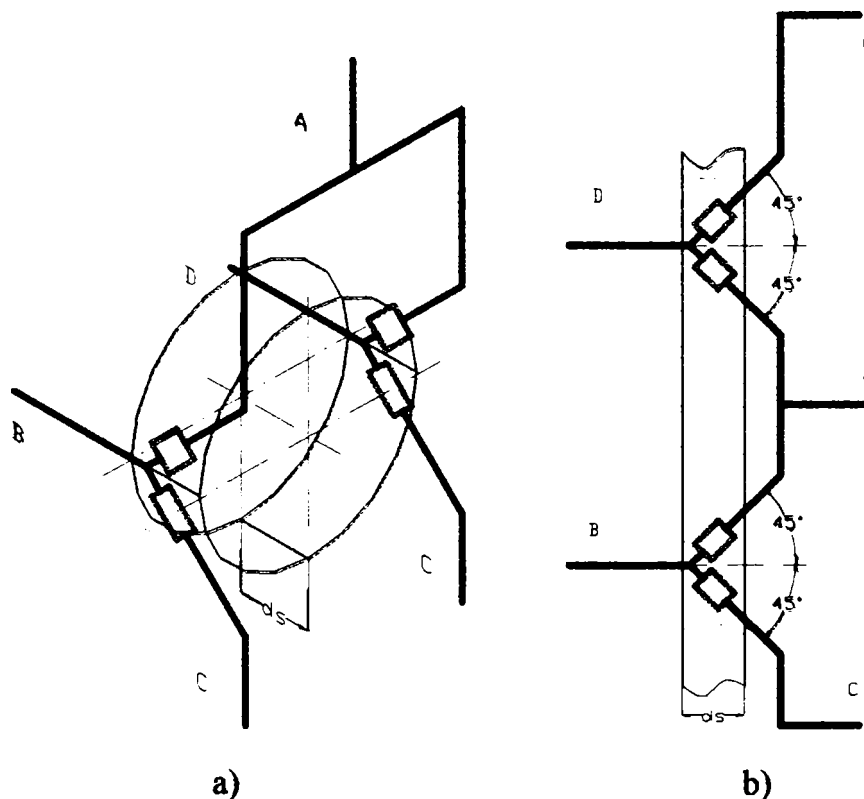
În felul acesta influența încovoierii și întinderii se elimină din indicațiile aparatului.

Cunoscând pe  $\varepsilon_1$  se calculează  $\sigma$  respectiv  $\tau$ , cu formula:

$$\tau = \sigma = \frac{E}{1 + \mu} \cdot \varepsilon_1 \quad (7.15)$$

Poate fi utilizată și o altă schemă de amplasare a mărcilor, în care fiecare pereche de mărci se amplasează pe aceeași generatoare. Cu toate că deformația de încovoiere poate fi diferită pentru mărcile  $R_2$  și  $R_1$ , totuși ea nu introduce denaturări, deoarece influența ei este eliminată de fiecare pereche de mărci  $R_2, R_3$ , și  $R_1, R_4$ , în mod separat.

În calcule s-a presupus că axele tuturor traductoarelor sunt situate sub un unghi de  $45^\circ$  față de generatoarea butucului. Neîndeplinirea acestor condiții duce la denaturarea rezultatelor măsurătorilor. Din acest motiv este necesară etalonarea punților anterior încercărilor.



**Figura 7. 3. Principiul măsurării tensometrice a tensiunii tangențiale de torsiune maxime pe suprafața cilindrică exterioară**

***Determinarea experimentală a variației presiunii pe lungimea îmbinărilor arbore-butuc prin caneluri***

Traductoarele tensometrice lipite pe butuc pe două generatoare opuse sesizează deformațiile principale  $\varepsilon_{1i}$  și  $\varepsilon_{2i}$  la distanța  $x_i$  de capătul descărcat al canelurii de pe arbore. Puntea înregistrează valoarea tensiunii tangențiale  $\tau(x_i)$ .

Se poate calcula deci valoarea efortului de torsiune  $T(x_i)$  din secțiunea  $i$ :

$$T(x_i) = \tau(x_i) \cdot W_{pb} \quad (7.16)$$

Din condiția de echilibru a tronsonului  $i$  din butuc, cuprins între cotele  $x_{i-1}$  și  $x_i$ :

$$T(x_{i-1}) - T(x_i) = p_{mi} \cdot \frac{d_m}{2} \cdot \Delta x_i \cdot s_p \cdot z \quad (7.17)$$

unde

- $p_{mi}$  [ MPa ] este presiunea medie pe tronsonul  $i$  și
- $\Delta x_i$  [ mm ] este lungimea tronsonului  $i$ ;

$$\Delta x_i = x_i - x_{i-1} \quad (7.18)$$

se poate determina  $p_{mi}$

$$p_{mi} = \frac{2 \cdot W_{pb}}{d_m \cdot s_p \cdot (x_i - x_{i-1}) \cdot z} \cdot [\tau(x_{i-1}) - \tau(x_i)] \quad (7.19)$$

Coeficientul de repartitie a presiunii pe suprafețele portante se poate obține raportând presiunea medie pe tronsonul  $i$  din relația (7.19) la valoarea presiunii medii.

$$k_i = \frac{L}{x_i - x_{i-1}} \cdot \frac{\tau(x_{i-1}) - \tau(x_i)}{\tau_0} \quad (7.20)$$

Se observă că valoarea coeficienților de distribuție pe tronsoane se poate determina în funcție de indicațiile punților tensometrice și poziția traductoarelor rezistive.

Pentru a obține informații suficient de precise despre îmbinarea de referință cu lungimea  $L = 34 \dots 54$  mm este necesară folosirea a 4 seturi de câte 4 traductoare pe lungimea îmbinării care să măsoare tensiunile tangențiale  $\tau(x_i)$  și un traductor de etalonare pentru măsurarea momentului de răsucire  $M_r$ , montat în zona sollicitată cu momentul maxim de torsiune.

Traductoarele de măsurare sunt montate cu un pas  $\Delta x_i$  de 13 mm. Primul set de traductoare se montează la 5 mm de capătul îmbinării. Pentru o măsurare corectă sunt necesare traductoare cu dimensiuni geometrice reduse, astfel încât deformația să poată fi considerată constantă pe lungimea traductorului.

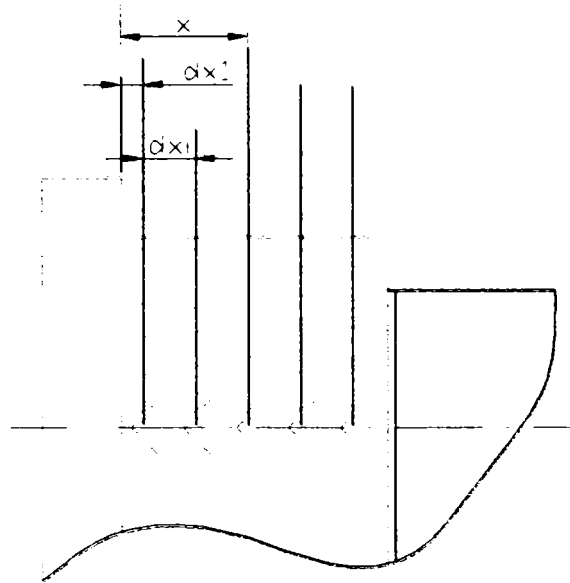
În construcția standului s-au utilizat timbre tensometrice 3/120 LG 11, produse de firma Hottinger Baldwin Messtechnik GMBH cu următoarele caracteristici:

- Rezistența electrică:  $R = 120,0 \Omega \pm 0,2\%$
- Factorul  $k$ :  $k = 2,04 \pm 0,5\%$

## **Determinarea experimentală a variației presiunii pe lungimea îmbinărilor arbore-butuc prin caneluri**

- Coeficientul de temperatură a factorului k:  $95 \times 10^{-6} / ^\circ\text{C}$
- Compensare pentru  $11,5 \times 10^{-6} / ^\circ\text{C}$ .

Pentru lipirea timbrelor pe suprafața epruvetei s-a folosit adezivul Z 70, rapid unicomponent cu polimerizare la rece, care necesită suprafețe de lipire netede, produs, ca și timbrele, de Hottinger Baldwin Messtechnik GMBH, și recomandat de producător pentru acest tip de timbre.



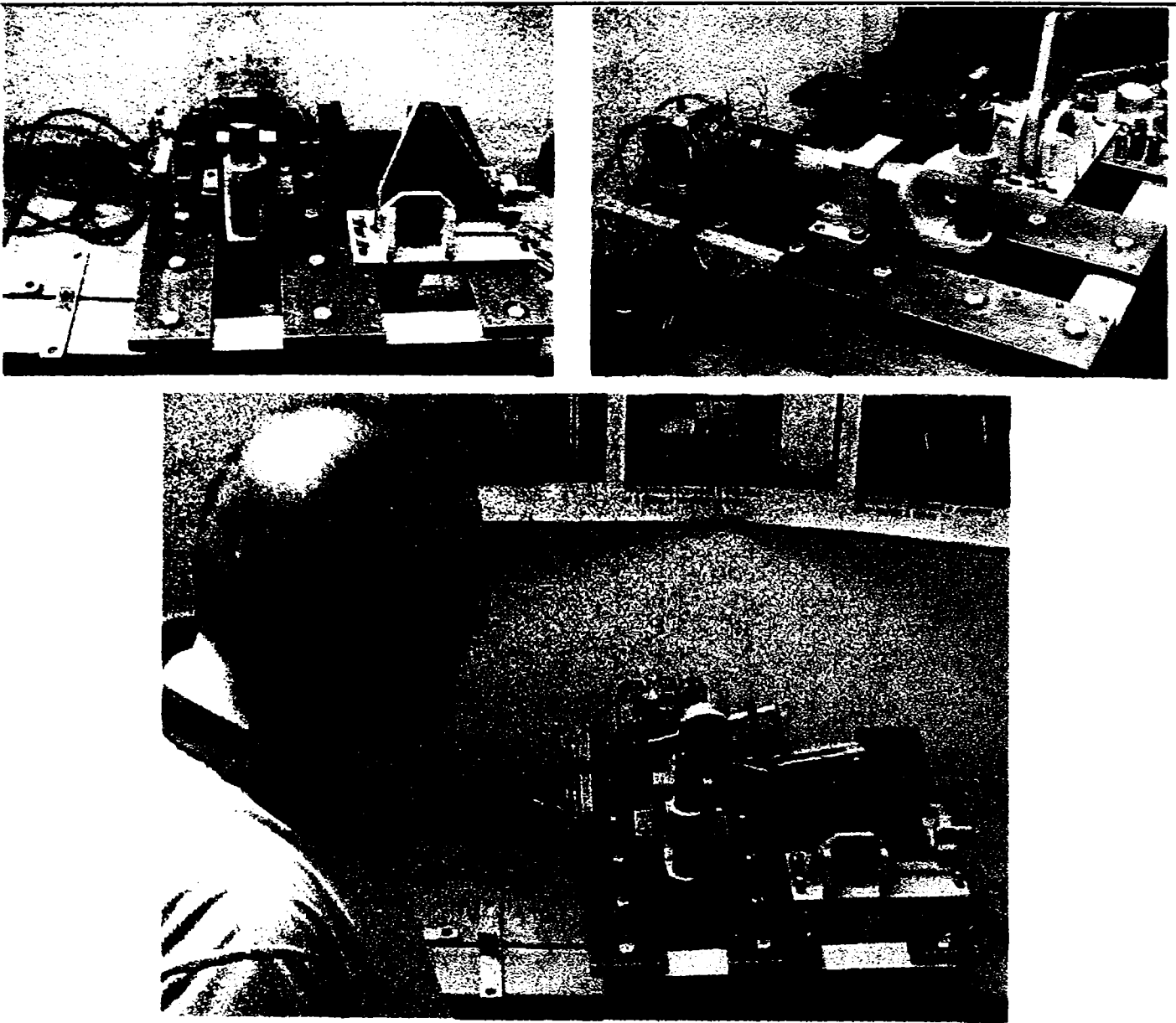
**Figura 7.4. Schema de lipire a timbrelor tensometrice pe epruveta standului pentru măsurarea tensiunilor tangențiale din butuc**

Standul proiectat, realizat și executat la catedra de Organe de mașini și mecanisme din cadrul Departamentului de Mecatronică al Facultății de mecanică a Universității „Politehnica” din Timișoara este prezentat în figurile 7.6 și 7.7.

Standul asigură fixarea epruvetei – arbore cardanic și telescopic pe ghidajele 2 și 3 montate pe cadrul sudat 1 cu ajutorul unui suport fix 28 ce simulează una din crucile arborelui, asigurând astfel preluarea momentului de răsucire și posibilitatea de auto-așezare a butucului față de arbore. Arborele se așează liber pe suportul său 26, care îi permite deplasarea axială pentru realizarea diferitelor lungimi de contact în îmbinare. Reglarea lungimii de contact se face manual, prin deplasarea axială a arborelui împreună cu sistemul de încărcare cu moment de răsucire. Poziționarea corectă este realizată cu ajutorul unor repere prelucrate pe suprafața de rezemare a arborelui. Ajustajul dintre arbore și suportul său trebuie să fie suficient de larg pentru a nu introduce un moment de frecare ce ar putea influența rezultatele măsurării.

Aplicarea momentului de răsucire fără încărcare radială se realizează cu dornul 6, poziționat simetric prin bucușă 13 fixată cu știftul filetat 14.

*Determinarea experimentală a variației presiunii pe lungimea îmbinărilor arbore-butuc prin caneluri*



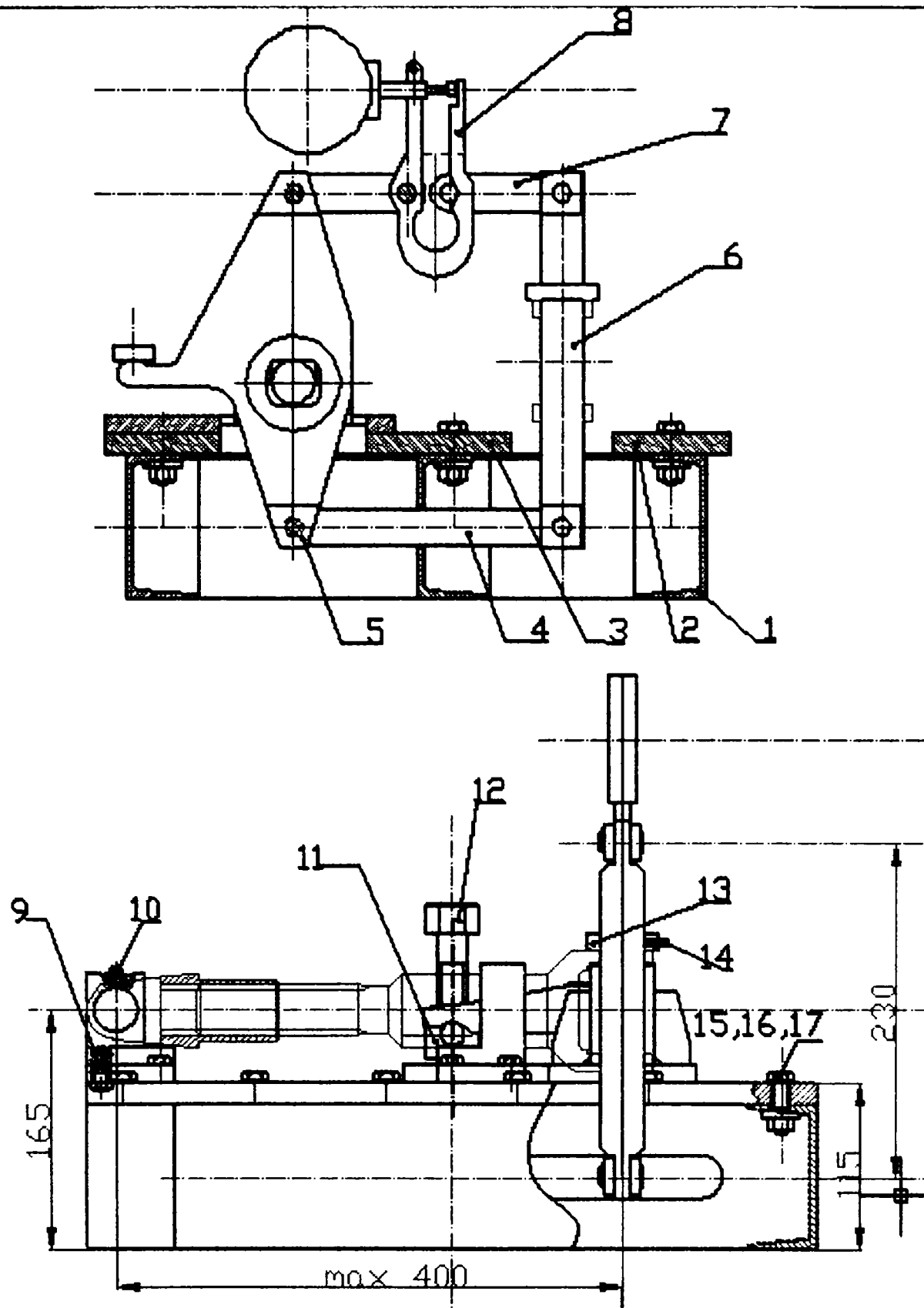
**Figura 7.6. Stand pentru măsurarea tensiunilor tangențiale din butuc**

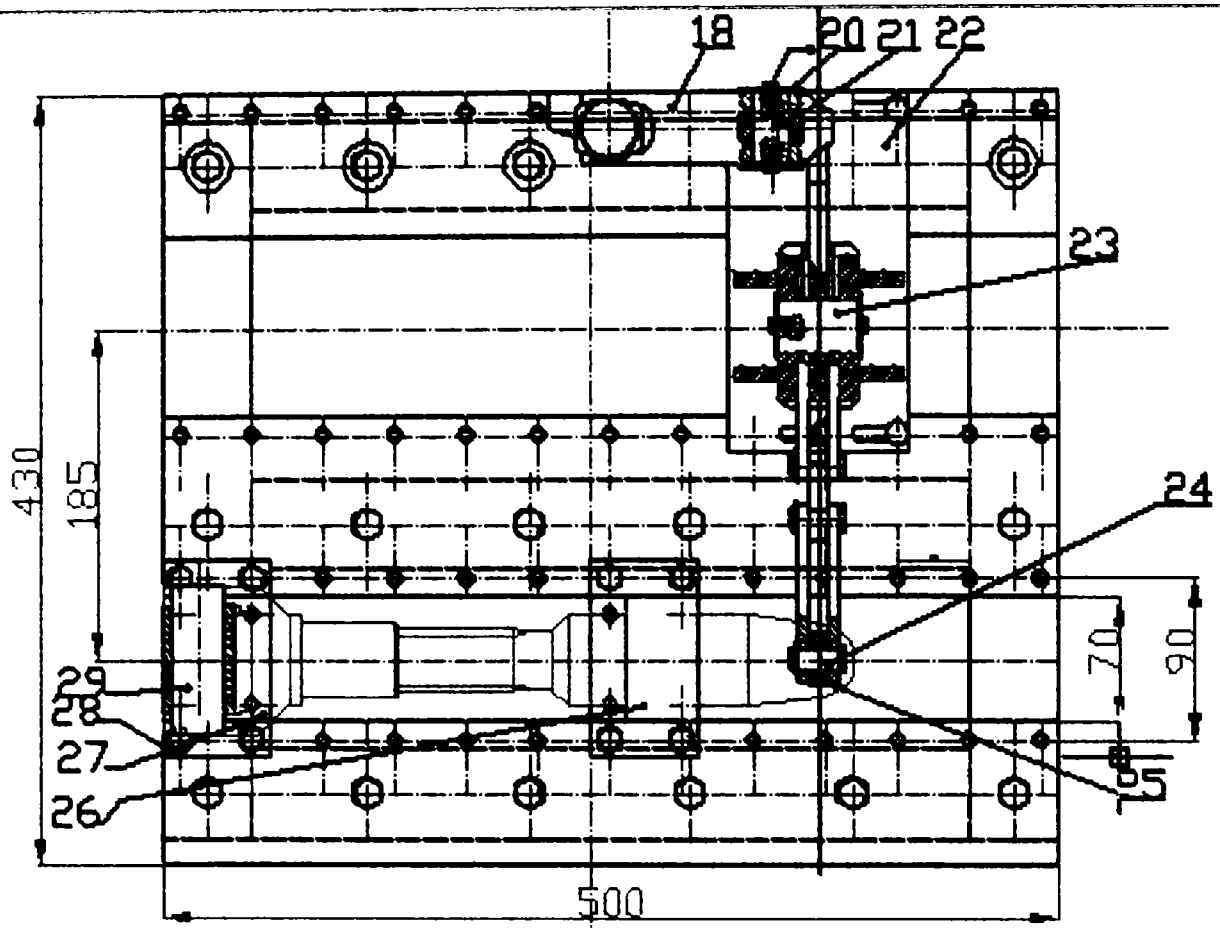
Sistemul de încărcare cu moment de răsucire și sistemul de măsurare a acestui moment sunt aceleași cu cele prezentate în capitolul 6. Dealtfel standul a fost conceput ca un stand multifuncțional, putând fi adaptat și pentru alte dimensiuni de arbori și butuci canelați, dar și pentru orice încercare ce necesită momente de răsucire cuprinse între 100 și 1000 de Nm cu încărcare radială neglijabilă. Gabaritul pieselor încercate, în stare montată, nu trebuie să depășească 400 de mm. Suporturile epruvetei trebuie re-proiectate și executate în funcție de piesele încercate, ca și pârghia de încărcare, pentru a respecta cota de 165 mm între baza standului și axa epruvetei.

Rezultatele încercărilor și prelucrarea lor sunt cuprinse în Anexa 15.

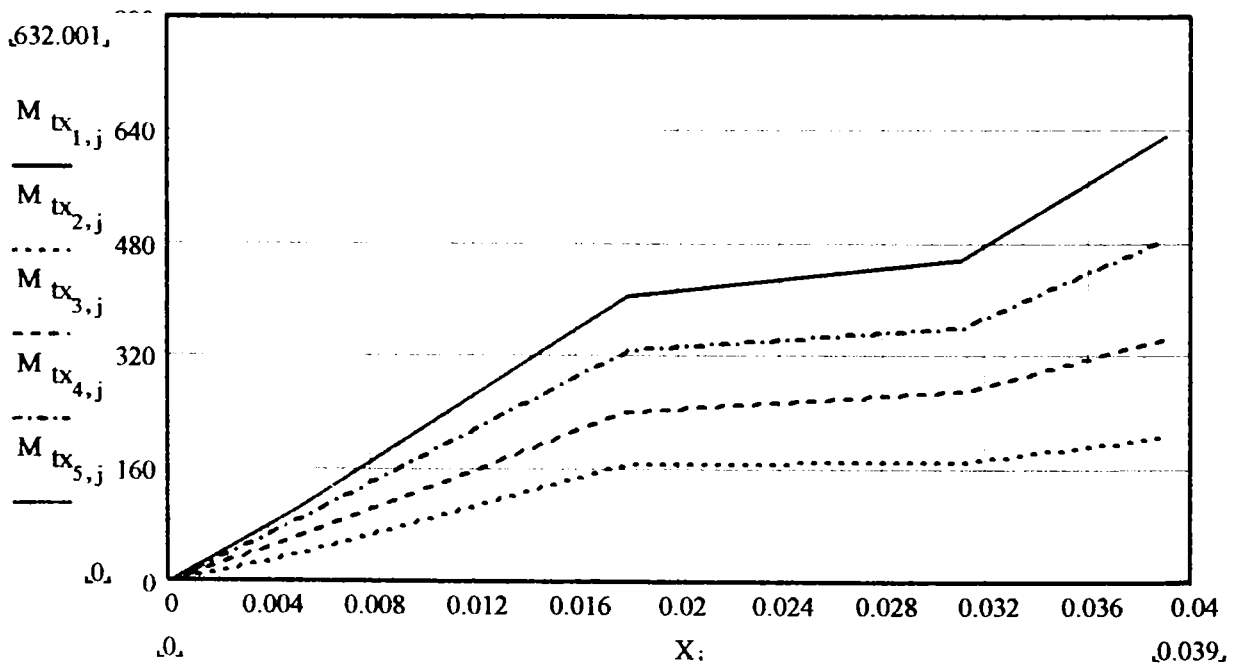


*Determinarea experimentală a variației presiunii pe lungimea îmbinărilor arbore-  
butuc prin caneluri*



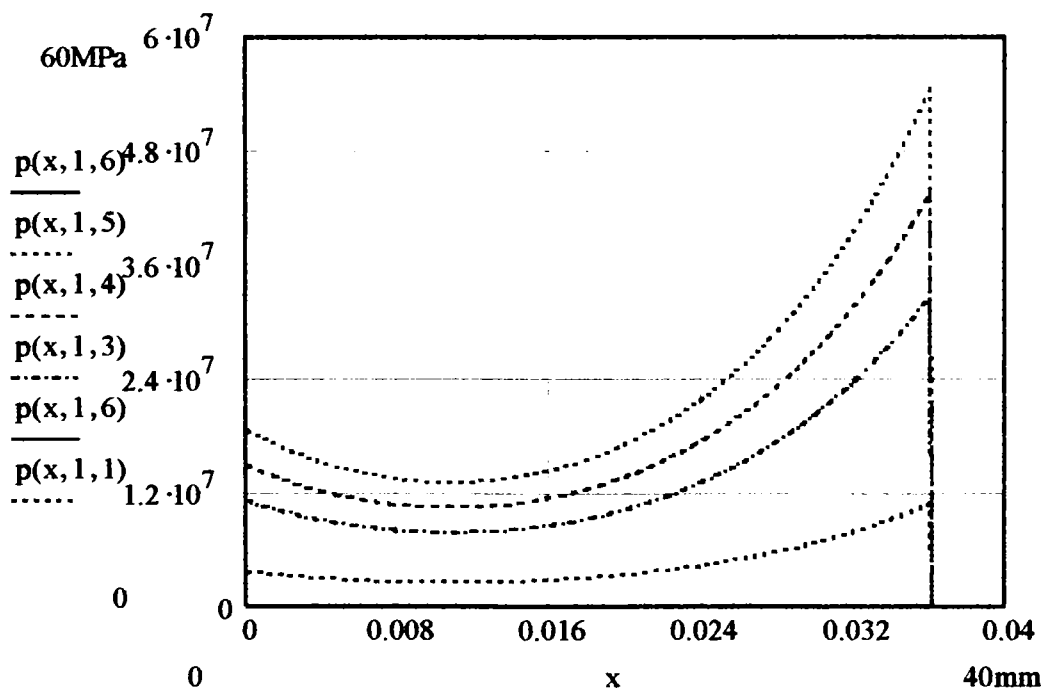
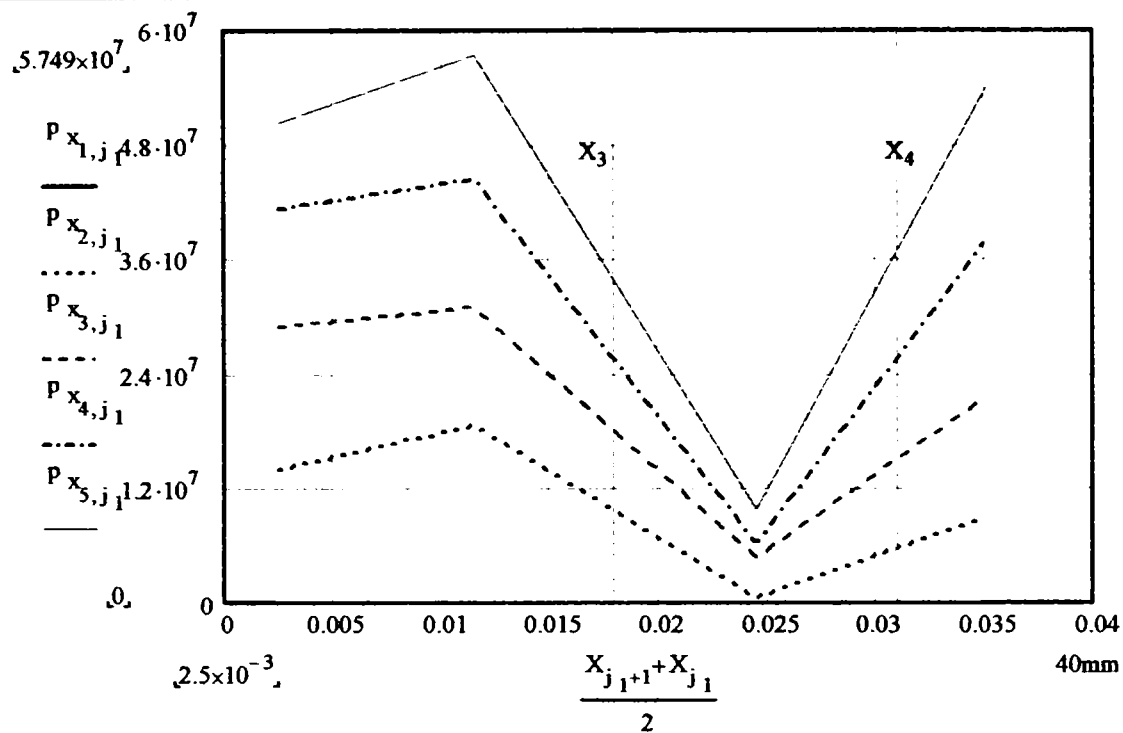


**Figura 7.7. Schema standului pentru măsurarea tensiunilor tangențiale din butuc**



**Fig. 7.8 Variația momentului de torsiune pe lungimea butucului, pentru  $L = 39$  mm**

**Determinarea experimentală a variației presiunii pe lungimea îmbinărilor arbore-butuc prin caneluri**



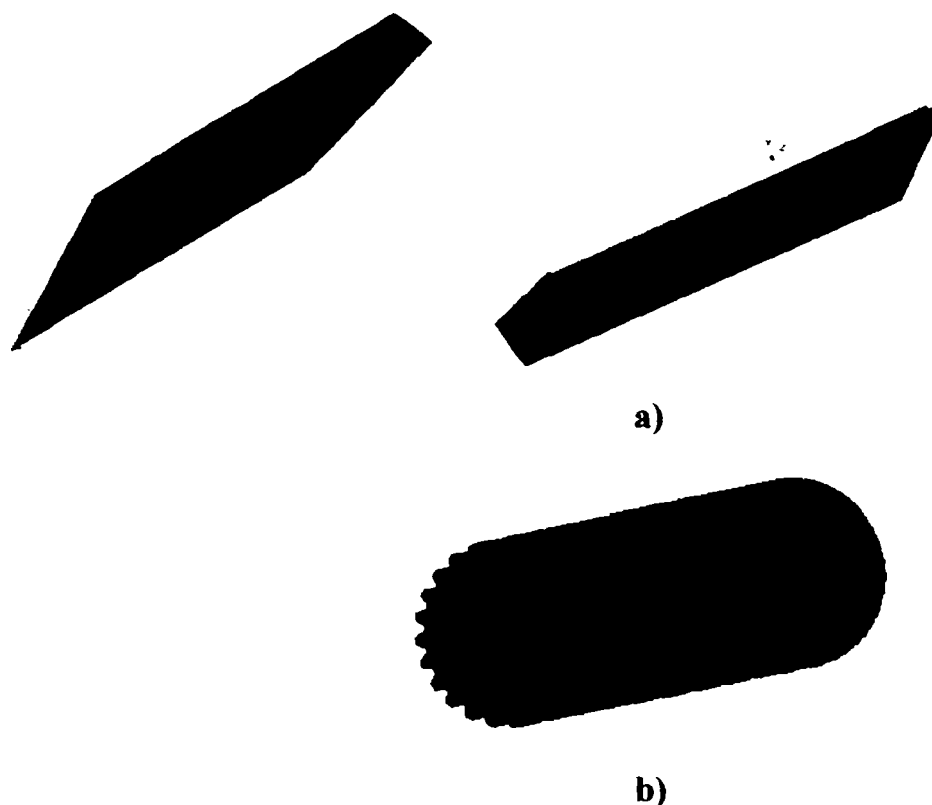
**Fig. 7.9 Variația presiunii pe lungimea butucului, pentru  $L = 39$  mm: a) valori experimentale; b) valori calculate**

În figurile 7.8 și 7.9 sunt prezentate graficele funcțiilor de variație a momentului de răsucire, respectiv a presiunii pe lungimea îmbinării. Alura celor două familii de curbe evidențiază schimbul de sarcină mai intens la capetele îmbinării și o scădere puternică a presiunii în zona centrală. Coincidența valorică este de asemenea bună, valorile maxime ale presiunii apropiindu-se, la momente de răsucire de 600 Nm, de 60 de MPa, ceea ce ne permite să afirmăm că modelul teoretic poate fi validat.

### **§7.7. Determinarea distribuției presiunii din îmbinare prin metode numerice.**

Metodele numerice se utilizează la studiul stării de tensiuni și deformații din sistemele mecanice, pentru cazuri concrete de proiectare, dar și pentru validarea modelelor de calcul analitic.

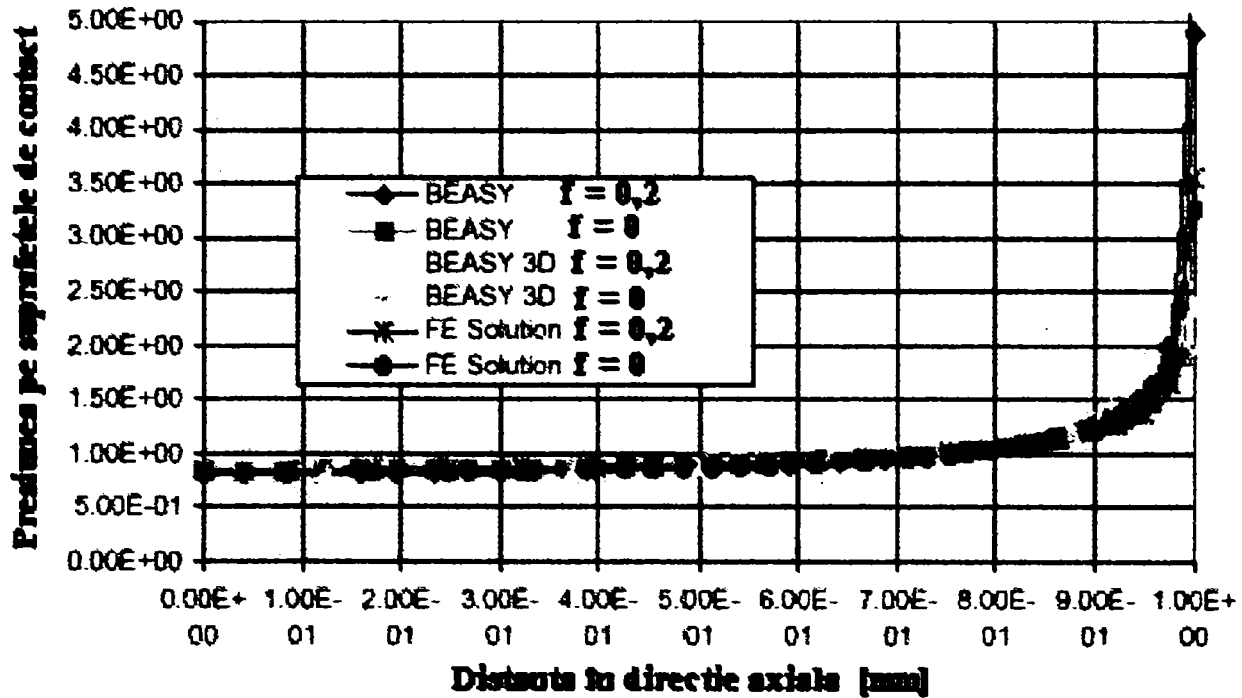
Pentru studiul variației presiunii pe lungimea îmbinărilor prin caneluri se utilizează modele cu simetrie axială, în cazul studiului îmbinării fără erori, sau modele spațiale tridimensionale, pentru îmbinările cu erori. În figura 7.10 se prezintă cele două tipuri de modele.



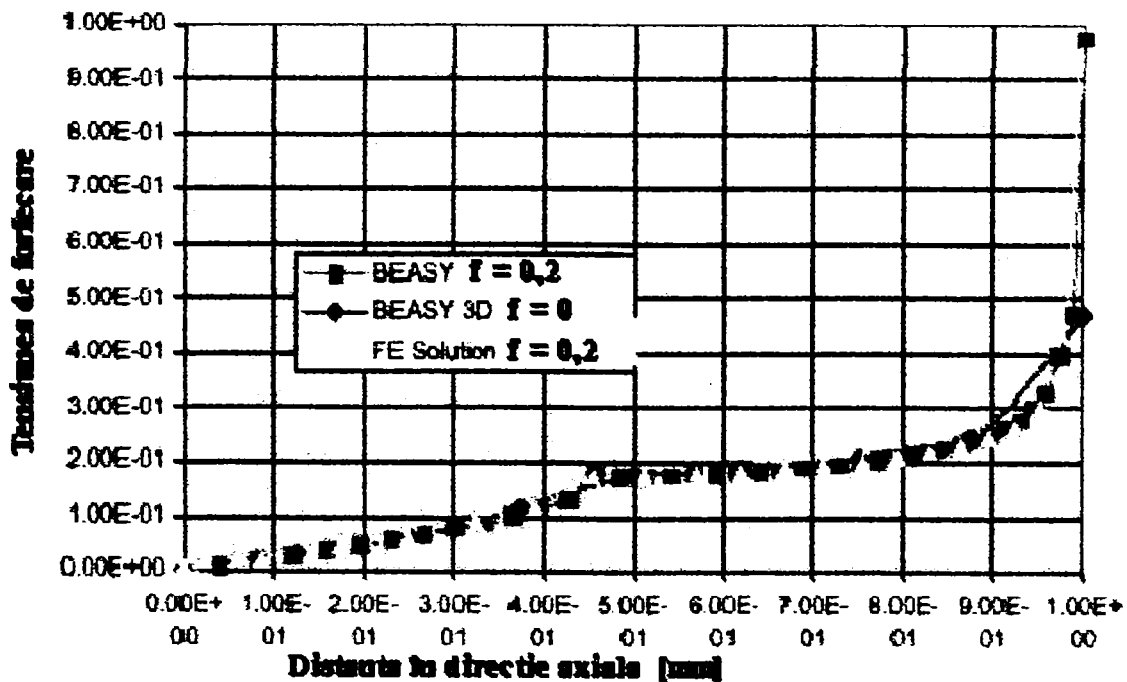
**Fig. 7.10. Modelarea îmbinărilor prin caneluri: a) model cu simetrie axială; b) model tridimensional complet [A1].**

Rezolvarea prin metoda elementului finit FEM și a elementelor de frontieră BEM a problemelor de contact presupune rezolvarea unor sisteme neliniare, ceea ce, în practică, se rezolvă prin iterații. Programele moderne de analiză cu element finit au posibilitatea de a realiza acest studiu, necesitând, ca parametrii de legătură, rigiditatea de contact, coeficienții de frecare și, eventual, jocul în stare nesolicitată sub forma unor „elemente de joc” (gap elements), care se pot închide în timpul încărcării.

Variația solicitării de contact și a tensiunii de forfecare pe lungimea îmbinării [A1] sunt prezentate în figurile 7.11, respectiv 7.12.



**Fig. 7.11.** Comparație între variația presiunii pe suprafețele de contact obținută cu modele 2D și 3D, cu coeficient de frecare  $f = 0$  respectiv  $f = 0,2$ .



**Fig. 7.12.** Comparație între variația tensiunii de forfecare pe lungimea de contact obținută cu modele 2D și 3D, cu coeficient de frecare  $f = 0$  respectiv  $f = 0,2$ . [A1]

Coincidența dintre alura curbelor obținute prin diferite metode numerice și similaritatea acestora cu cele analitice, în special în ceea ce privește puternica concentrare a transferului de sarcină la unul din capetele îmbinării validează încă o dată modelul analitic propus.

## Capitolul 8.

### Observații, concluzii, contribuții personale la studiul îmbinărilor arbore-butuc prin caneluri

#### §8.1. Prezentarea generală, clasificarea și domeniile de utilizare a îmbinărilor arbore-butuc

O îmbinare arbore-butuc preia șase grade de mobilitate dintre elementele îmbinate și șase componente ale tursorului de reducere al acțiunilor exterioare la axa îmbinării. În unele cazuri, acest tip de îmbinare permite deplasarea axială relativă a butucului față de arbore, materializând cupla cinematică de translație de clasa a V-a ( $C_5$ ). În majoritatea aplicațiilor, pentru preluarea forței axiale  $F_{ax}$ , a încărcării radiale  $F_r$  și momentului de răsturnare  $M_r$  se utilizează (v. fig. 1.1.): **centrare pe cilindru lung; centrare pe cilindru scurt; centrare pe o suprafață conică lungă.**

Determinarea poziției corpurilor rigide impune existența a șase puncte de contact, **patru câte patru necoplanare și trei câte trei necoliniare.** Un număr mai mare de puncte de contact și nerespectarea condițiilor de poziție relativă a acestora conduce la **nedeterminarea statică a sistemului**, care se ridică, pentru corpurile deformabile, prin adăugarea de atâtea ecuații de deformație de câte ori sistemul este static nedeterminat. Suprafețele de contact conțin, teoretic, o infinitate de puncte iar practic, un număr de pete de contact. Contactul pe suprafețe extinse este condiționat conformitatea suprafețelor conjugate, obținută prin respectarea condițiilor de precizie geometrică (de dimensiune, de formă geometrică și de poziție relativă) impuse acestora sau prin rodare, și de deformațiile elastice și plastice ale corpurilor aflate în contact.

La îmbinările cu centrare pe suprafețe cilindrice cu ajustaj cu joc, contactul este condiționat de componenta dominantă a tursorului de reducere a acțiunilor exterioare. Într-o îmbinare cu joc cu geometrie ideală și elemente perfect rigide, încărcarea radială predominantă produce (v. fig. 1.2. a) eroarea de centrare  $\epsilon_c = \frac{j_{max}}{2}$ . Dacă predomină momentul de răsturnare,

în îmbinare, (v. fig. 1.2. b) eroare unghiulară de centrare  $\gamma = \frac{j_{\max}}{L_b}$ , ( $L_b$  - lungimea îmbinării).

Erorile de centrare sunt inerente **ajustajului cilindric cu joc** și deci acesta **nu asigură o centrare propriu – zisă ci o pseudo – centrare** a butucului față de arbore.

Luând în considerare deformațiile suprafețelor conjugate, contactul se extinde (v. fig. 1.3.). În cazul încărcării radiale predominante, zona de contact (v. fig. 1.3. a) este o suprafață cilindrică de lungime egală cu lungimea butucului și cuprinsă în interiorul unghiului la centru

$$2 \cdot \theta = 2 \cdot \arccos \frac{1}{1 + 2 \cdot \frac{\delta_r}{j}}, \text{ unde } \delta_r \text{ este deplasarea radială relativă a butucului față de arbore}$$

datorită deformațiilor produse de încărcarea radială. Eroarea de centrare  $\varepsilon_c$  crește  $\varepsilon_c = \frac{j_{\max}}{2} + \delta_r$ .

Dacă momentul de răsturnare  $M_r$  este predominant (v. fig. 1.3. b), contactul se extinde la capetele îmbinării pe suprafețe cilindrice de lățime maximă  $L_c$  în planul perpendicular pe direcția momentului  $M_r$  și cuprinse în interiorul unghiului la centru  $\theta_x$ . Eroarea de centrare unghiulară  $\gamma$

crește până la valoarea  $\gamma = \frac{j + 2 \cdot \delta_{r_{\max}}}{L_b}$ ,  $\delta_{r_{\max}}$  - interferența maximă la capetele îmbinării. Dacă

se ține seama și de rigiditatea finită a arborelui și butucului, suprafețele de contact se extind și distribuția de presiune se modifică. În cazul sarcinilor exterioare rotitoare față de arbore (arbori de transmisie), suprafața de contact se va roti pe arbore, putând provoca uzarea prin deformare plastică a ajustajului și, implicit, creșterea jocului și scăderea preciziei de centrare.

Însumarea efectelor forței radiale și a momentului de răsturnare depinde de mărimea și direcția relativă a acestora și de dimensiunile îmbinării. Astfel, la valori relative mici ale momentului de răsturnare  $M_r$  și dacă acesta este perpendicular pe direcția forței radiale  $F_r$  (cazul unei forțe radiale excentrice sau al unei componente axiale paralele cu axa îmbinării), contactul dintre arbore și butuc se face de-a lungul unei generatoare, pe toată lungimea butucului. Distribuția de presiuni va fi în acest caz asimetrică, rezultanta ei fiind pe direcția sarcinii excentrice  $F_r$ . Dacă sarcina radială are excentricitate mai mare decât jumătate din lungimea butucului, momentul de răsturnare produce rotirea relativă a butucului față de arbore și contactul asimetric pe capetele îmbinării. Rezultantele celor două distribuții de presiuni asimetrice și cu sensuri opuse preiau momentul de răsturnare, diferența lor echilibrând încărcarea radială.

În cazul îmbinărilor prin strângere, înainte de încărcarea acestora se introduce o distribuție de presiuni inițială între suprafețele de centrare. Sarcinile exterioare ce acționează

asupra îmbinării în exploatare modifică această distribuție de presiuni prin suprapunerea unei distribuții „de sarcină”. Dacă presiunea rămâne pozitivă după încărcare în toate punctele ajustajului, încărcările exterioare sunt preluate atât de suprafețele îndreptate în sensul solicitării cât și de cele opuse. Din acest motiv, ajustajele cu strângere au rigiditate mai mare la sarcini radiale sau de răsturnare decât cele cu joc (sistemul tehnic elastic este obținut prin legarea „în paralel” a două sisteme cu joc echivalente).

Modul de preluare a sarcinilor radiale și de răsturnare poate fi influențat și de modul de transmitere a momentului de răsucire. În special la îmbinările prin formă, **asimetria îmbinării** (nominală sau produsă de erorile de execuție) poate **introduce reacțiuni interne îmbinării**, ce **afectează precizia de centrare și distribuția de presiuni din îmbinare**. Fixarea axială contribuie prin reacțiuni normale și forțe de frecare la preluarea sarcinilor radiale și de răsturnare. Efectul lor, deși nu puțin important, este cel mai adesea neglijat.

Principala deosebire între îmbinările arbore – butuc este modul de preluare a rotirii relative a butucului față de arbore în jurul axei îmbinării. În teză propun o **definiție geometric riguroasă a tipurilor de îmbinări arbore-butuc demontabile** (§1.1). Astfel, îmbinările arbore – butuc se clasifică în: îmbinări prin formă; îmbinări prin forță; îmbinări prin formă și forță. Alegerea uneia dintre acestea se face în funcție de capacitatea sa portantă raportată la cea a arborelui, condițiile de funcționare, complexitatea și costul variantelor acceptabile din primele două puncte de vedere. **În tabelul 1.2 am propus o cuantificare a modului în care diferitele tipuri de îmbinări**, (tabelul 1.1), **îndeplinesc principalele funcții**. În tabelul 1.3 sunt recomandate tipuri de îmbinări pentru diferite solicitări și condiții de exploatare.

**Îmbinările prin caneluri** sunt indicate la **transmiterea de momente de răsucire mari**, și sunt singurele care **pot materializa eficient cupla de translație  $C_s$** , de aceea au un **domeniu de aplicabilitate** suficient de **extins** și, mai ales, **rezervat**. Studiul intimității fenomenelor de transmitere a sarcinilor între elementele îmbinării determină cu precizie, încă în faza de proiectare, eforturile unitare maxime și deci evită supradimensionările. Arborele și butucul au profile care fac imposibilă rotirea relativă, asigurând astfel transmiterea momentului de răsucire și posibilitatea deplasării axiale

Utilizarea îmbinărilor cu caneluri este limitată de costul ridicat al prelucrării, în special al pregătirii de fabricație (mașini-unelte, scule, dispozitive și verificatoare speciale și disciplină tehnologică ridicată), condiționat de precizia necesară. Canelurile dreptunghiulare sunt cel mai des utilizate, deoarece posibilitățile tehnologice permit obținerea unei precizii mai mari față de celelalte tipuri de îmbinări prin caneluri, fiind de aceea preferate pentru realizarea îmbinării



mobile (arbori telescopici, roți mobile la cutiile de viteze, etc.). Canelurile triunghiulare sunt recomandate în construcția îmbinărilor fixe, cu solicitări variabile sau reversibile (pârghii sau manivele pe capete de arbore). Canelurile evolventice au rezistență bună la solicitări variabile și se utilizează în construcția de autovehicule.

Proiectarea îmbinării arborelui cu rotorul este o “fază” a algoritmului de proiectare a unei transmisii mecanice. După calculul diametrului minim necesar pentru secțiunea prin arbore solicitată la momentul de torsiune maxim, se alege: tipul de îmbinare recomandat, dimensiunile secțiunii transversale ale îmbinării (standardizate sau normalizate) și se dimensionează butucul rotorului, stabilindu-i diametrul exterior  $d_e$  și lungimea  $L$ . Aceasta se poate face constructiv, folosind rapoarte tradițional acceptate de proiectanți [G1] dintre dimensiunile butucului și diametrul nominal al îmbinării. Pentru fiecare tip de îmbinare și caz de utilizare se recomandă valori diferite ale acestor rapoarte. Dimensionarea se poate face și prin calcul, punând condiția de echiporantă a arborelui și butucului la solicitarea de torsiune. Și în acest caz dimensionarea este aproximativă, deoarece se ia în calcul numai una din componentele torsorului de reducere a interacțiunilor dintre arbore și butuc, momentul de răsucire.

Se stabilesc apoi dimensiunile longitudinale ale îmbinării, ele putând fi mai mici sau egale cu lungimea  $L$  a butucului. Pentru îmbinările fixe se definitivează modul de fixare axială a butucului pe arbore, ținând seama de tehnologia de prelucrare a elementelor de îmbinare pe arbore și respectiv în butuc. După determinarea tuturor dimensiunilor elementelor îmbinării se face verificarea acestora, în general la contact între suprafețele conjugate ale arborelui și butucului indus de momentul de răsucire  $T$ , comparându-se valoarea efectivă a presiunii medii  $p_m$  cu o valoare admisă a presiunii  $p_a$  diferită de la un tip de îmbinare la altul și întotdeauna mult inferioară limitei de rezistență la compresiune și stabilită experimental în funcție de materialele elementelor îmbinării dar și în funcție de tipul de îmbinare, clasa de precizie, condițiile de funcționare, etc., ceea ce înseamnă că în acestea s-au inclus coeficienți de corecție pentru a compensa diferența dintre presiunea maximă  $p_{max}$ , incomod de determinat în proiectarea de tip clasic, și cea medie  $p_m$ , calculabilă simplu cu o formulă de tip (1.13).

Unele standarde și surse bibliografice [D1], recomandă determinarea lungimii necesare a îmbinării prin dimensionare din condiția de rezistență la contact, calculând  $L$  din formula (1.13). Practica de proiectare arată însă că, în majoritatea cazurilor și mai ales la proiectarea prototipurilor sau a produselor de serie mică, lungimea butucului rezultată din calcul este redusă și pare a nu asigura stabilitatea rotorului pe arbore. Pentru proiectarea produselor de serie mare este indicată reluarea dimensionării și verificării până ce elementele îmbinării sunt încărcate cât

mai aproape de capacitatea lor portantă. Dacă în urma verificării nu este îndeplinită condiția de rezistență, se reiau operațiile de proiectare. În opinia autorului, ordinea de “intervenție” asupra parametrilor aflați la dispoziția proiectantului este: lungimea îmbinării; materialul elementelor îmbinării; numărul de elemente portante; tipul îmbinării; diametrul nominal al îmbinării.

După proiectarea îmbinării se verifică rezistența arborelui la solicitări variabile (oboseală) ținând seama de modificările modulelor de rezistență axial  $W_z$  și polar  $W_p$  ale secțiunii transversale prin arbore și de concentratorii de tensiune specifici. Unele surse bibliografice mai indică necesitatea unui calcul de rezistență la încovoiere sau /și la forfecare a elementelor portante (caneluri). Studiile mai noi, standardele în vigoare și experiența proiectanților, inclusiv a autorului, afirmă însă că solicitarea critică este în totalitatea cazurilor cea de contact.

## **§8.2 Considerații tehnologice și de precizie pentru îmbinările arbore-butuc prin formă**

Capacitatea portantă superioară a îmbinărilor canelate asigurată prin complexitatea lor constructivă necesită o precizie care să asigure ridicarea tehnologică a nedeterminării statice a sistemului mecanic și deci costuri de fabricație sporite. Pentru obținerea unei **capacități portante corespunzătoare** este necesar **un grad cât mai ridicat de conformitate a suprafețelor în contact**. Precizia de formă și poziție relativă nu este definită direct ci prin impunerea toleranțelor **calibrelor complexe**. Această verificare furnizează doar informația că profilul real se înscrie într-un volum limită și nu poate preciza abaterile geometrice prin parametrii dimensionali expliți.

Seriile standardizate de dimensiuni pentru canelurile dreptunghiulare sunt recomandate fiecare pentru domenii de utilizare specifice, așa precum sugerează și denumirile lor standardizate – ușoară, mijlocie și grea. Seriile de dimensiuni mai ușoare utilizează, la același diametru interior, decisiv pentru capacitatea portantă la torsiune a arborelui, mai puțin material, canelurile fiind mai puțin proeminente (v. fig. 1.5.). De asemenea canelurile se execută mai ușor, îndepărtând mai puțin material și având acces mai bun pentru finisarea suprafețelor de centrare.

În capitolul 2 am studiat similitudinea îmbinărilor prin caneluri standardizate, utilizând foile de calcul MATHCAD elaborate de autor și prezentate în anexele 1, 2 și 3. Pentru toate tipurile de caneluri, diametrul exterior  $D$  scade de la 115 % (seria ușoară) – 130 % (seria grea) din diametrul interior  $d$ , pentru valorile mici ale acestuia până la 105 – 112 %, pentru cele mai

mari caneluri. Coeficientul de lățime  $k_b = \frac{b}{d}$  are o tendință similară. De remarcat însă este scăderea ponderii procentuale de la 25 -15% pentru seriile ușoare până la 16 - 8 % pentru seria grea, datorită necesității introducerii unui număr mai mare de caneluri pe periferia îmbinării.

Suprafața portantă a flancului canelurii pe unitatea de lungime  $S_1 = z \cdot \left( \frac{D-d}{2} - 2 \cdot c \right)$  crește pentru toate tipurile de caneluri, coeficientul suprafeței portante a flancului canelurii pe unitatea de lungime  $k_s = \frac{S_1}{D}$  însă scade. Astfel pentru seria ușoară acest coeficient variază de la 0,37 până la 0,20; pentru seria mijlocie de la 0,60 până la 0,40 și pentru seria grea de la 1,20 la 0,80. Pentru **canelurile** mașinilor unelte acest coeficient are valori cuprinse între 0,70 și 0,25 pentru cele cu 4 caneluri, respectiv 0,70 până la 0,35 la cele cu 6 caneluri.

Variațiile coeficienților studiați **neagă asemănarea geometrică a canelurilor din aceleași serii de dimensiuni**. Odată cu creșterea dimensiunilor îmbinării diametrele interior și exterior devin mai apropiate; canelurile sunt din ce în ce mai subțiri față de diametrul interior.

Gruparea canelurilor pe serii de dimensiuni se face după **ponderea capacității portante a îmbinării la solicitarea de contact pe suprafețele portante față de capacitatea portantă a arborelui la solicitarea de torsiune**. Prezenta lucrare introduce **coeficientul de portanță  $k_e$**  definit ca **raportul dintre momentul de răsucire capabil a fi transmis de suprafețele portante solícitate la contact și momentul de răsucire capabil a fi transmis de arbore**. În fig. 2.11 sunt prezentate valorile acestui coeficient pentru seriile de dimensiuni standardizate, pentru lungimi relative ale butucului de 0,75 ... 1,75 d. **Seria ușoară utilizează 15 %** (pentru lungimi de contact egale cu diametrul îmbinării) **până la 33 %** (pentru lungimi egale cu dublul diametrului îmbinării) **din capacitatea portantă a arborelui** în timp ce **seria mijlocie utilizează 20 % până la 50 %**. **Condiția de echiporanță se poate realiza la canelurile din seria grea, atunci când lungimea îmbinării este egală cu dublul diametrului interior**. Totuși, și îmbinările din această serie utilizează mai puțin de jumătate din capacitatea portantă a arborelui atunci când lungimea de contact nu depășește valoarea diametrului interior. Canelurile pentru mașini unelte, cu valori ale coeficientului de portanță cuprinse între 0,1 și 0,4 pentru îmbinările cu 4 caneluri, respectiv 0,2 până la 0,5 pentru îmbinările cu 6 caneluri pot fi considerate serii de dimensiuni ușoare spre medii. Valorile relative ale capacității portante a contactului pe caneluri față de capacitatea portantă la a arborelui sunt informative. Rapoartele

reale ale capacităților portante se pot determina numai în cazuri concrete de proiectare, în care se iau în considerare toți factorii geometrici, de precizie, funcționali, etc.

Am demonstrat că la canelurile evolventice coeficientul de portanță este practic independent de modulul îmbinării și indică apropierea de condiția de echiportanță atunci când lungimea de contact  $L$  se apropie de dublul diametrului nominal  $D$ , similar cu canelurile dreptunghiulare din seria grea. Discutabilă este însă ipoteza că tot 75% din caneluri preiau sarcina, având în vedere numărul lor mult mai mare decât la canelurile dreptunghiulare.

Studiul asemănării canelurilor triunghiulare scoate în evidență următoarele: coeficientul de diametru  $k_D$ , cu valori mai mici decât la canelurile evolventice, este similar ca valori canelurilor dreptunghiulare din seriile ușoară și medie; coeficientul de lățime  $k_p$  are valori foarte reduse (lățimea medie a canelurii în jur de 5 % din diametrul nominal) mult mai mici decât chiar la seria ușoară a canelurilor dreptunghiulare și comparabil doar cu cel de la canelurile evolventice cu module până la 1,5 mm; suprafața portantă pe unitatea de lungime  $S_1$  are valori mai mari decât oricare dintre seriile de caneluri dreptunghiulare. Numai canelurile evolventice cu modul mai mare sau egal cu 1,5 realizează suprafețe portante comparabile sau mai mari. Din acest motiv, aparent, îmbinările prin caneluri triunghiulare au capacități portante foarte mari. Coeficientul de portanță  $k_e$  indică valori supraunitare (capacitate portantă la solicitarea de contact a flancului mai mare decât capacitatea portantă la torsiune a arborelui) chiar la rapoarte  $L/D$  subunitare. În realitate, capacitatea portantă la contact este mai redusă datorită repartiției nefavorabile a încărcării pe caneluri și pe lungimea îmbinării.

### **§8.3 Repartiția sarcinii pe suprafețele portante multiple ale îmbinării**

Pentru toate cele trei tipuri de îmbinări arbore-butuc prin caneluri se determină încărcarea medie  $F_m$  pe una din suprafețele portante multiple ale îmbinării. Încărcarea reală  $F_i$  a suprafeței  $i$  diferă în general de cea medie datorită:

a) abaterilor geometrice (de pas) ale profilului arborelui și butucului. Nedeterminarea statică a sistemului (v. §1.1.) impune ca, la începutul încărcării ( $T \rightarrow 0$ ), din perechile de suprafețe portante să se afle în contact doar una, în cazul îmbinărilor cu centrare interioară, sau trei, în cazul îmbinărilor scurte cu centrare pe flancuri.

b) solicitării îmbinării cu o sarcină radială  $F_r$ ; suprafețele portante contribuie la preluarea acesteia, producându-se modificarea încărcării  $F_i$ .

Pentru determinarea influenței fiecăreia dintre aceste cauze asupra fenomenului de repartiție a sarcinii, am lucrat în ipoteza cumulării efectelor, luând în calcul numai una dintre ele și considerând celelalte neglijabile, determinând astfel coeficienții parțiali de repartiție a sarcinii:

- datorită erorilor de prelucrare  $k_p$ , pentru cazul unei îmbinări fără sarcină radială  $F_r$ , ținând seama doar de influența abaterii de pas  $\Delta p_i$ ;

- datorită solicitării îmbinării cu o încărcare  $F_r$  radială  $k_{F_r}$ , pentru cazul unei îmbinări cu erori de pas  $\Delta p_i$  neglijabile.

În repartizarea neuniformă a sarcinii pe suprafețele portante ale îmbinării, erorile de pas sunt decisive. Pentru a fi posibil montajul este necesar ca pe fiecare pereche de caneluri  $i$ , există jocul  $j_i = b_{b_i} - b_{a_i} > 0, \forall i \in [1, z]$ ,  $b_{a,b_i}$  [mm] este lățimea efectivă a canelurii  $i$  de pe arbore, respectiv din butuc. În stare descărcată suprafețele portante se află la distanța

$$\Delta_{i0} = \sum_{j=2}^i p_{a_j} - \sum_{j=2}^i p_{b_j} \geq 0; i = 2; z, \Delta_{10} = 0, \text{ unde } p_{a,b_j} \text{ este pasul pe cercul de diametru mediu}$$

pentru arbore, respectiv butuc, între suprafețele portante  $j$  și  $j+1$ ,  $p_{a,b_j} = p + \Delta p_{a,b_j}$ , și  $\Delta p_{a,b_j}$  este abaterea de pas pentru arcul  $j$ , cuprins între suprafețele portante  $j$  și  $j+1$  ale arborelui respectiv butucului, pozitivă sau negativă. Jocul de reversare  $\Delta_{ri0} = b_{b_i} - (b_{a_i} + \Delta_{i0}) = j_i - \Delta_{i0} > 0$ , în sensul opus tendinței de mișcare trebuie să existe. La îmbinările cu centrare pe alte suprafețe decât pe flancuri, încărcarea începe imediat cu creșterea momentului de răsucire  $T$ . **Expresia matematică condiției de determinare a primei perechi de caneluri în contact (3.7) este determinată de autorul prezentei lucrări.**

Încărcarea îmbinărilor cu centrare pe flancuri începe numai după ce au intrat în contact trei perechi de suprafețe portante. **Analiza mișcărilor relative pentru realizarea centrării pe flancuri a îmbinării canelate cu erori de pas a fost concepută de autorul prezentei teze:**

a) Rotire în jurul punctului de contact de pe suprafața 1 (fig. 3.2. b). Pentru compensarea distanței  $\Delta_0$  între suprafețele  $k$ , este necesară o rotire cu unghiul  $\theta_k$ , care se oprește atunci când a doua pereche de caneluri intră în contact. Distanța între suprafețele portante se micșorează. Această micromișcare produce deplasarea relativă a centrului butucului față de centrul arborelui

(fig. 3.2. c) producând eroarea de centrare  $\varepsilon_1 = \frac{d_m}{2} \cdot \theta_{1\min}$ .

b) Rotire în jurul centrului instantaneu de rotație  $I_2$ , aflat la intersecția normalelor la primele două suprafețe în contact (fig. 3.2. c). Unghiurile de rotație necesare pentru aducerea în

contact a perechii de suprafețe  $k$  sunt  $\theta_{2k} = \frac{\Delta_{r1k}}{R_{2k} \cdot \cos(\zeta_{2k})}$ . Distanța între suprafețele portante se va micșora din nou cu  $\lambda_{2k} = \theta_{2k} \cdot R_{2k} \cdot \cos(\zeta_{2k})$ , devenind:  $\Delta_{r2k+1} = \Delta_{r1} - \lambda_{2k}$ . Centrul butucului se deplasează relativ față centrul arborelui perpendicular pe direcția radială ce trece prin centrul instantaneu de rotație  $I_2$  cu  $\varepsilon_2 = R_{I_2} \cdot \theta_{2\min}$ . Eroarea totală de centrare produsă de

mecanismul de centrare pe flancuri are valoarea  $\varepsilon = \frac{d_m}{2} \cdot \sqrt{\theta_{1\min}^2 + \frac{\theta_{2\min}^2}{\cos^2 \psi} + \frac{2 \cdot \theta_{1\min} \cdot \theta_{2\min}}{\cos \psi}}$ .

**Eroarea de centrare depinde de abaterile de pas ale suprafețelor portante dar și de ordinea lor de intrare în contact, respectiv de poziția unghiulară a primelor trei caneluri purtătoare.**

Dacă primele două suprafețe în contact sunt diametral opuse, existența unei încărcări radiale induce o mișcare de translație pe direcția tangentei la suprafețe, într-un sens sau în celălalt, care poate fi asimilată unei rotații cu centrul la infinit. Dacă valoarea sarcinii radiale este însă mai mică decât suma forțelor de frecare produse de componentele normale ale reacțiunilor, **rotorul rămâne în echilibru instabil** în contact cu numai două suprafețe portante. În timpul funcționării, la apariția incidentală a unor forțe radiale perturbatoare temporare, rotorul se poate deplasa. Dacă forțele perturbatoare sunt variabile în timp sau sunt rotitoare față de arbore, deplasarea poate avea loc și în timpul funcționării, în special în perioadele de funcționare în gol sau la sarcini reduse. **Recomandăm, deci, utilizarea îmbinărilor prin caneluri cu număr impar de dinți**, la care fenomenul descris mai sus nu poate avea loc. Această condiție nu poate fi respectată decât atunci când se utilizează caneluri evolventice sau triunghiulare. Canelurile dreptunghiulare standardizate au, din motive tehnologice, numere pare de caneluri. Pentru o centrare optimă pe flancuri este necesară **standardizarea sau normalizarea unor serii de dimensiuni cu numere impare de caneluri**.

Pentru studiul analitic al îmbinărilor cu abateri de pas, am elaborat o foaie de calcul utilizând programul MATHCAD, care **generează abateri de pas cu distribuție normală** și cu toleranța impusă și calculează distanțele dintre suprafețele portante în diferite faze ale încărcării.

Condiția ca toate suprafețele să fie portante este  $T \geq \frac{d_m}{2} \cdot c_F \cdot \sum_{i=1}^z |\Delta_{i0}|$ . Dacă această condiție este îndeplinită, valoarea coeficientului  $k_p = 1 + \frac{d_m \cdot c_F}{2 \cdot T} \cdot \sum_{i=1}^z |\Delta_{i0}|$  este  $1 < k_p \leq 2$ . Condiția de intrare în contact a tuturor suprafețelor portante nu poate fi întotdeauna îndeplinită.

Îmbinările cu precizie inferioară, cu număr mare de caneluri și cu rigiditate ridicată a elementelor portante nu o pot obține. În aceste cazuri, coeficientul de repartitie a sarcinii pe caneluri are valori mai mari decât 2.

Diagrama de rigiditate a unei astfel de îmbinări este prezentată în figura (3.4). În figura 3.4 a [K1]) se evidențiază diferența dintre rigiditatea îmbinării ideale (cu abateri de pas nule, deci cu toate canelurile în contact) și o îmbinare cu erori cu  $z = 45$ . Se evidențiază valorile momentului de răsucire pentru care un anumit număr de caneluri se află în contact. Diferențele între caracteristicile de rigiditate ale unor îmbinări cu diferite clase de precizie sunt arătate în fig. 3.4. b [K1]. O comparație între diagramele de rigiditate ale unei îmbinări cu centrare interioară, respectiv cu centrare pe flancuri, pe care le-am trasat utilizând programul MATHCAD este prezentată în figura 3.4. c. [M8]. Datorită intrării succesive în contact a perechilor de suprafețe portante, rigiditatea îmbinării crește progresiv odată cu creșterea momentului de răsucire la care este supusă îmbinarea, ajungând la valoarea maximă atunci când toate perechile au intrat în contact. Caracteristica de rigiditate cu pantă variabilă produce imprecizia cinematică a transmisiei care conține îmbinarea, atunci când mărimea momentului de răsucire se modifică.

În figura 3.6 se prezintă variația încărcării pe caneluri. Influența clasei de precizie asupra repartiției sarcinii pe suprafețele portante ale unei îmbinări prin caneluri evolventice cu  $z = 45$  este prezentată în figura 3.6. a [K1]. Îmbinările mai precise au repartiții uniforme și încărcarea este distribuită pe toate canelurile, în timp ce îmbinările cu precizie scăzută au repartiții foarte defavorabile ale sarcinii, nu toate canelurile intră în contact la transmiterea momentului maxim.

Pentru o îmbinare prin caneluri dreptunghiulare cu  $z = 8$  se prezintă, pentru cazul centrării pe flancuri și a centrării pe interior (Fig. 3.6 b) variația încărcării pe caneluri, utilizând în continuare foaia de calcul pe care am elaborat-o. Remarcăm repartiția mai favorabilă a sarcinii pe canelurile îmbinării cu centrare pe flancuri. În figura 3.7 se prezintă variația coeficienților de concentrare  $k_p$  a sarcinii cu creșterea încărcării medii  $F_m$ , pentru îmbinarea prin opt caneluri dreptunghiulare, din clasa de precizie 9 analizată în foaia de calcul. Remarcăm, din nou, **comportarea mai bună a îmbinărilor cu centrare pe flancuri**, coeficienții de repartitie a sarcinii având valori cuprinse între 2,5 și 1,5 pentru întreg domeniul de utilizare. Îmbinarea cu centrare pe interior poate avea încărcarea maximă de până la cinci ori mai mare decât cea medie.

În cazul în care torsorul de reducere al acțiunilor exterioare are în componența sa și o forță radială  $F_r$ , pe lângă momentul  $T$ , aceasta va fi preluată de suprafețele portante, (v. fig. 3.8.), dacă centrarea relativă între arbore și butuc se face pe aceste suprafețe. Variația sarcinii pe una din perechile de suprafețe portante pentru o rotație completă, în funcție de încărcarea radială este

prezentată în figura 3.10. În figura 3.10. a) [K1] este evidențiată influența jocului de flanc asupra variației încărcării pe caneluri, pentru o îmbinarea solicitată numai cu încărcare radială. Repartiția sarcinii pe suprafețele portante ale unei îmbinări cu încărcare radială semnificativă față de momentul de torsiune este prezentată în 3.10. b) [K1]. Cazul unei îmbinări solicitate cu moment de torsiune predominant este evidențiat în fig. 3.10. c) [M8].

În cazul în care centrarea butucului pe arbore se face pe flancurile îmbinării, existența unei sarcini radiale peste limita dată de formula (3.41. a) produce deplasarea relativă radială a elementelor îmbinării până la consumarea jocului de flanc. (v. și fig. 3.11). Contactul dintre suprafețele conjugate are loc pe flancul din sensul momentului de răsucire numai pe arcul situat de o parte a direcției sarcinii radiale. Variația excentricității butucului față de arbore în timpul unei rotații, în funcție de clasa de precizie a îmbinării, evidențiază existența unei micromișcări relative între arbore și butuc și deci a unei deplasări relative a suprafețelor portante ale arborelui și butucului pe direcția tangentei comune. Această micromișcare poate avea influență asupra capacității portante a îmbinării, provocând uzarea abrazivă și /sau adezivă (griparea), chiar în cazul îmbinărilor fără deplasare axială relativă.

Cu ajutorul coeficienților  $k_p$  și  $k_{Fr}$  de concentrare a sarcinii, determinați conform ecuațiilor (3.31) și, respectiv (3.50) se determină încărcarea perechii de suprafețe portante maxim solicitate, în vederea verificării sau dimensionării corecte a îmbinării. Din aceste ecuații se poate observa că valoarea coeficienților crește cu sporirea numărului de suprafețe ale îmbinării, ceea ce impune concluzia că **nu este întotdeauna rațională mărirea numărului de caneluri pentru creșterea capacității portante a îmbinării.**

De asemenea, din ecuația (3.31) se poate trage concluzia că **reducerea efectului concentrator al erorii de pas se poate face prin:**

- a) **reducerea acestora pe cale tehnologică (prin precizia de execuție sau prin rodare);**
- b) **reducerea rigidității  $c_F$  a elementelor portante**, ceea ce explică mai buna comportare sub sarcină a îmbinărilor canelate în comparație cu cele cu ajustaje poligonale.

Pentru compunerea efectelor se consideră că solicitarea maximă pe o pereche de suprafețe portante se estimează amplificând încărcarea medie  $F_m$  cu un coeficient global de repartiție a sarcinii obținut prin însumarea a doi coeficienți parțiali de suprasarcină:  $F_{l,max} = (1 + k'_p + k'_{Fr}) \cdot F_m$ , și **nu prin amplificare**, așa cum se consideră în majoritatea surselor bibliografice.



## §8.4 Repartiția sarcinii pe lungimea îmbinărilor arbore-butuc prin caneluri

În capitolul 4 am analizat cauzele variației sarcinii pe lungimea suprafețelor portante. Presiunea medie pe suprafețele portante se determină, pentru toate tipurile de îmbinări prin caneluri, în ipoteza solicitării numai cu moment de răsucire  $T$ . Pentru fiecare caz în parte se determină apoi presiunea maximă  $p_{\max} = k_L \cdot p_m$  unde  $k_L$  este **coeficientul global** de repartiție a presiunii pe lungimea îmbinării obținut prin **compunerea coeficienților parțiali** datorată fenomenelor care produc variația presiunii. Coeficientul  $k_{M_r}$  cuantifică efectul solicitării îmbinării cu **moment de răsturnare**,  $k_d$  – diferența între **deformațiile de torsiune** ale arborelui și cele ale butucului iar  $k_e$  – **abaterile geometrice pe lungimea îmbinării**.

Dacă asupra îmbinării cu centrare pe flancuri acționează, în afara momentului de răsucire  $T$ , și momentul de răsturnare  $M_r$ , presiunea efectivă  $p_x$  pe suprafața portantă  $i$  la distanța  $x$  de capătul îmbinării variază atât pe lungime cât și de la o suprafață portantă la alta. Pe suprafețele multiple de contact momentul de răsucire  $T$  produce presiunea medie  $p_m$  conform ecuației (4.1), momentul de răsturnare  $M_r$  producând neuniformitatea presiunii efective  $p_x$  pe lungimea îmbinării pe fiecare din suprafețele de contact.

Valoarea coeficientului de concentrare a sarcinii  $k_{M_r} = \frac{p_{\max}}{p_m}$  este dependentă de rapoartele  $M_r/T$  și  $L/d_m$  (v. și ec. (4.11)) este valabilă dacă  $\Delta p_{\max} < p_m$ , deci:  $M_r \leq T \cdot \frac{L}{6 \cdot d_m}$ . În aceste condiții,  $k_{M_r} \in [1;2]$ . Dacă nu este îndeplinită condiția (4.12), în anumite zone ale îmbinării suprafețele conjugate pierd contactul relativ, preluarea sarcinii făcându-se pe suprafețe restrânse. În aceste cazuri, coeficientul  $k_{M_r}$  are **valori mai mari decât 2**.

Valoarea presiunii medii  $p_m$  se determină în ipoteza rigidității infinite ale arborelui și butucului și a perechilor de suprafețe portante și a valabilității ipotezei lui de Saint Venant. În realitate, distribuția presiunii pe lungimea îmbinării este în mare măsură determinată de deformațiile elastice apărute în urma încărcării și de modalitatea aplicării momentului de răsucire. În §4.3. am determinat repartiția sarcinii datorită deformațiilor de torsiune ale arborelui și butucului cu ajutorul **ecuațiilor diferențiale ale transferului de sarcină**, pentru diferite modalități de aplicare a momentului de răsucire asupra butucului.

Variația presiunii pe lungimea îmbinării este prezentată în fig. 4.3, în care se evidențiază existența unui maxim la ambele capete ale îmbinării. Este de asemenea evident că

valoarea presiunii maxime și deci a coeficientului de concentrare a sarcinii este mai mare dacă momentul de răsucire se aplică mai aproape de zona solicitată a arborelui, deoarece momentele de torsiune din arbore și butuc au sensuri opuse, și deci deformațiile unghiulare ale acestora au, de asemenea, sensuri opuse, interferența dintre suprafețele portante conjugate este maximă la capătul încărcat cu momentul maxim de torsiune al arborelui și minimă la celălalt, transferul de sarcină fiind mai “energic” un capăt al îmbinării. În cazul în care momentul de răsucire este aplicat la capătul opus al îmbinării, momentele de torsiune din arbore și din butuc și deformațiile unghiulare ale acestora au același sens, interferența dintre suprafețe portante conjugate este semnificativă pe toată lungimea îmbinării, transferul de sarcină fiind distribuit mai uniform.

Pentru funcționarea optimă a îmbinării recomandăm să se proiecteze rotorul în așa fel încât **aplicarea momentului de răsucire la butuc să se facă la capătul opus celui în care arborele este supus momentului maxim de torsiune**. Această condiție nu poate fi îndeplinită întotdeauna, în special din considerente constructive (de exemplu la roțile mici ale transmisiilor mecanice, la care coroana este legată direct de butuc).

Condiția de optimă portanță a îmbinării, de egalitate a maximelor de presiune de la capetele îmbinării, se obține numai pentru diametre exterioare ale butucului apropiate de diametrul exterior al canelurilor. La îmbinările canelate ale arborilor cardanici și telescopici recomandăm utilizarea butucilor cu pereți cât se poate de subțiri.

Lungimea îmbinării, contrar percepției comune și relației simplificate (4.1), nu are efecte asupra presiunii maxime dacă este mai mare decât diametrul nominal al îmbinării. Practic, transferul energetic are loc pe o lungime egală cu jumătate din diametrul nominal, caz în care efectul modului de aplicare a momentului de răsucire asupra butucului este mult redus.

Variația presiunii datorită abaterilor de paralelism ale suprafețelor portante ale arborelui și butucului față de axa îmbinării este studiată în §4.4. Abaterile de paralelism ale suprafețelor portante față de axa îmbinării sunt urmare a erorilor de generare. În ecuațiile diferențiale ale transferului de sarcină mai apare un termen dependent de eroarea de paralelism, care adaugă o funcție  $T_{ex}$  [mNm] – efortul de torsiune în secțiunea  $x$  a îmbinării datorită erorii geometrice pe lungimea îmbinării – soluției.

Rezolvarea ecuațiilor diferențiale se face în ipoteza că eroarea geometrică nu produce diminuarea lungimii efective de contact. Legea de variație a presiunii pe lungimea îmbinării, determinată și în acest caz prin derivarea funcției de variație a momentului de torsiune, are forma (4.28)  $p_x = p_{x0} + \Delta p_{ex}$  unde  $p_{0x}$  – presiunea în secțiunea  $x$  a îmbinării fără erori iar  $\Delta p_{ex}$ , – variația presiunii datorată erorii de paralelism a suprafețelor portante.

Valoarea maximă a presiunii  $p_{\max}$  se regăsește în secțiunile  $x = 0$  sau  $x = L$ , conform (4.22.a) și (4.22.b), la care se adaugă variația maximă a presiunii datorată erorilor de paralelism a suprafețelor portante și coeficientul total de concentrare a sarcinii pe lungimea îmbinării cu erori de paralelism a suprafețelor portante se poate exprima ca în (4.31):  $k_{et} = k_D + k_e$  unde  $k_d$  este coeficientul de repartitie a sarcinii pe lungimea îmbinării datorită deformațiilor de torsiune ale arborelui și butucului și  $k_e$  cel datorat erorilor de paralelism a suprafețelor portante. Expresia acestuia din urmă este dată în formula (4.32). Se observă că  $k_e$  depinde invers proporțional de valoarea  $T$  a momentului de răsucire care este transmis prin îmbinare.

Deformațiile locale ale canelurilor produse de starea de solicitare descrisă sunt în unele cazuri mai mici decât înălțimea de nivelare a microasperităților suprafețelor de contact. În teză am conceput un **algoritm iterativ** pentru a ține seama de **influența rigidității de contact asupra fenomenelor de transfer a sarcinii**. Acesta poate fi utilizat și pentru analiza îmbinărilor cu erori de pas sau a celor cu butuc cu diametrul exterior variabil (tronconici).

Efectul momentului de răsturnare se estimează prin **adăugarea** unui coeficient de suprasarcină  $k'_{M_r}$  și nu prin înmulțirea celor doi coeficienți de repartitie.

Pentru valori mici ale momentului de răsucire  $T$ , deformațiile elastice ale arborelui și butucului sunt mai mici decât erorile de paralelism ale suprafețelor portante. Contactul nu se mai face pe toată lungimea îmbinării, ci numai pe o porțiune limitată de lungime  $L_0$ . Coeficienții de concentrare a sarcinii au valori mai ridicate.

## **§8.5 Calculul rigidității canelurilor**

Rigiditatea canelurilor este, așa cum s-a arătat în capitolele 3 și 4, parametrul principal care influențează repartizarea pe suprafețele portante ale îmbinărilor. Deformațiile produse de contactul sub sarcină dintre caneluri sunt o însumare a efectelor unei stări complexe de tensiuni și deformații, dificil de determinat analitic. În capitolul 5 se prezintă o **metodă de determinare a rigidității canelurilor, elaborată de autorul prezentei teze**, se face un **studiu al variației rigidității pentru seriile de dimensiuni standardizate** și se propun **relații simple pentru calcule rapide**.

Definim **rigiditatea perechii de elemente portante**  $c_F$  ca raportul dintre rezultanta  $F_i$  ce acționează asupra suprafeței pe direcția tangentei la cercul mediu, la intersecția acestuia cu fața portantă a canelurilor și „interferența”  $\Delta_i$  a acestora,  $c_F = \frac{F_i}{\Delta_i}$ . Se consideră că  $\Delta_i$  este suma

deformațiilor canelurilor de pe arbore  $\delta_a$  și din butuc  $\delta_b$  pe direcție tangențială la cercul mediu, la intersecția acestuia cu fața portantă a canelurilor. Deformațiile de contact (ale microneregularităților suprafețelor portante) se consideră a fi mici în comparație cu  $\Delta_i$ .

Calculul analitic al deformațiilor canelurilor de pe arbore și din butuc se face folosind metoda Mohr-Maxwell generalizată. Se iau deci în considerare eforturile de compresiune, forfecare și încovoiere din caneluri, considerate ca grinzi încastrate pe arbore, respectiv butuc, deformația totală fiind suma deformațiilor produse de fiecare efort în parte.

Pentru exprimarea mai comodă a rigidității  $c_F$  prin integrale Mohr-Maxwell din formulele (4.4); (4.5); (4.6) **am introdus noțiunea de elasticitate geometrică** a canelurilor, deformația canelurii relativă la diametrul mediu produsă de presiunea  $p$  unitară ce acționează asupra unei suprafețe portante cu modul de elasticitate transversal  $E$ , unitar,  $e = \delta \cdot \frac{E}{p}$ . Elasticitatea

geometrică totală a elementelor portante ale îmbinării va fi suma elasticităților parțiale ale arborelui și butucului, pentru fiecare efort în parte  $e_{tot} = e_a + e_b$ ,  $e_{a,b} = e_{na,b} + e_{fa,b} + e_{ia,b}$ .

Pentru îmbinările studiate, integralele definite se calculează numeric, utilizând facilitățile de calcul ale programului MATHCAD, într-o nouă foaie de calcul elaborată de autorul tezei de față. În Anexa 10 sunt centralizate rezultatele calculului analitic al rigidității canelurilor pentru toate tipo-dimensiunile de caneluri dreptunghiulare standardizate, sintetizate și în fig. 5.8. **Preponderentă** în determinarea valorilor elasticității totale de deformație este elasticitatea arborelui, și, dintre componentele acesteia, **elasticitatea de deformare tangențială**. Din acest motiv, pentru simplificarea calculelor, se poate calcula numai elasticitatea de deformație la solicitarea tangențială de forfecare  $e_{at}$ , și utiliza apoi coeficientul de corecție  $k_{def}$  introdus de autor (v. fig. 5.9.),  $k_{def} = \frac{e_{def}}{e_{at}}$ , cu valorile pe care le recomandăm în tabelul 5.1.

În Anexa 10 am calculat valorile elasticității  $e_{at \text{ aprox}}$  pentru toate tipo-dimensiunile de caneluri dreptunghiulare. Variația coeficientului  $k_{def \text{ aprox}} = \frac{e_{def}}{e_{at \text{ aprox}}}$  pentru cele trei serii de dimensiuni standardizate este prezentată în figura 5.9, iar valorile pe care le recomandăm pentru calculul rapid al elasticității totale a îmbinărilor prin caneluri dreptunghiulare sunt centralizate în tabelul 5.1. Erorile introduse prin aceste aproximații sunt cuprinse între  $\pm 3\%$  și  $\pm 12,5\%$  pentru seria ușoară,  $\pm 3,5\%$  și  $\pm 15,5\%$  pentru seria mijlocie  $\pm 10\%$  și  $\pm 20\%$  pentru seria grea, pentru utilizarea coeficienților  $k_{def}$  respectiv  $k_{def \text{ aprox}}$ .

Se observă că la seriile mai grele, ponderea tuturor elasticităților crește în dauna celei de deformare tangențială. Acest fapt se explică prin creșterea relativă a înălțimii canelurilor și prin subțierea lor odată cu creșterea numărului de caneluri pe periferia îmbinării, și prin apropierea ca formă și dimensiuni a canelurilor din butuc cu cele din arbore.

Pentru calculul deformațiilor canelurilor, valoarea elasticității se determină cu relația  $\delta_{a,b} = e_{a,b} \cdot \frac{P}{E_{a,b}}$ . În Anexa 10 sunt calculate valorile deformațiilor însumate ale canelurilor de pe arbore și din butuc din oțel cu modulul de elasticitate  $E = 2,15 \cdot 10^5$  MPa, solicitate cu presiunea medie de 10 MPa. Valorile deformațiilor calculate sunt cuprinse între 0,04 și 0,1  $\mu\text{m}$  pentru seria ușoară, 0,09 și 0,35  $\mu\text{m}$  pentru seria mijlocie și 0,4 și 1,25  $\mu\text{m}$  pentru seria grea.

Analiza elasticității canelurilor triunghiulare este cuprinsă în Anexa 11. Determinarea analitică a rigidității canelurilor evolventice este dificilă. Funcțiile de eforturi se scriu sub forma unor integrale definite cu variabila  $y$  la una din limitele de integrare, datorită variației unghiului de presiune pe înălțimea canelurii. Lățimea canelurii de la numitorul fracțiilor din integralele Mohr – Maxwell depinde de involuta unghiului de presiune. Pentru determinarea elasticității geometrice (Anexa 12), canelurile evolventice au fost împărțite în intervale considerate de grosime și unghi de presiune constante. **Integralele au fost approximate cu sume finite**, care au fost adunate utilizând programul MATHCAD.

Pentru verificarea corectitudinii studiului analitic al rigidității canelurilor, am studiat prin metoda elementului finit, utilizând programul MECHANICAL DESKTOP, câteva tipodimensiuni de îmbinări prin caneluri. Convențiile de delimitare a secțiunilor de încăstrare sunt aceleași ca la §4.2. ... 4.4. Modelul utilizat este tridimensional, canelura având lungime egală la arbore și la butuc. Pentru studiu, presiunea medie pe suprafețele de contact s-a considerat de 10 MPa (în Fig. 5.10,  $\text{N}/\text{mm}^2$ ). În Anexa 13 sunt prezentate rezultatele analizei cu element finit a canelurilor de pe arbore și din butuc pentru îmbinări prin caneluri dreptunghiulare din seriile de dimensiuni standardizate cu diametrul interior  $d = 32$  mm, din oțel cu modulul de elasticitate  $E = 2,1 \cdot 10^5$  MPa. Deformațiile totale pe cercul de diametru mediu  $d_m$  sunt 0,12  $\mu\text{m}$  0,56  $\mu\text{m}$  și 0,74  $\mu\text{m}$  la arbore, respectiv 0,05  $\mu\text{m}$ , 0,07  $\mu\text{m}$  0,12  $\mu\text{m}$  la butuc. Erorile față de valorile calculate în Anexa 10 sunt de 20% pentru seria ușoară și de numai 2% pentru seria grea. **Modelul de calcul este adecvat pentru seriile de dimensiuni mai grele, la care distribuția tensiunilor și deformațiilor este apropiată de cea teoretică.**

## **§8.6. Determinarea experimentală a rigidității îmbinărilor arbore-butuc prin caneluri**

Îmbinările arbore butuc constituie sisteme mecanice elastice complexe, cu elementele legate în serie – arbore, elemente portante, butuc – dar și în paralel – elementele portante multiple (canelurile). Rigiditatea sistemului se obține prin compunerea rigidităților elementelor sale după legi complexe. Structura sistemului elastic nu poate fi descompusă, pentru un studiu corect, în elemente finite. Studiul analitic trebuie făcut utilizând elemente elastice infinit mici (pentru studiul analitic) sau elemente finite mici (pentru studiul numeric aproximativ). Caracterul mixt al structurii sistemului elastic și mai ales faptul ca el nu poate fi tratat ca având un număr redus de grade de libertate elastică face dificilă decelarea teoretică sau experimentală a diferitelor fenomene care însoțesc transferul de sarcină.

Forma constructivă compactă și interstițiile și jocurile reduse din îmbinare fac accesul cu aparate de măsură posibil doar în zonele adiacente îmbinării: suprafața cilindrică exterioară și suprafețele inelare frontale ale butucului, suprafețele exterioare ale arborelui. Rezultatele măsurărilor vor descrie suma efectelor tuturor fenomenelor de transfer ce au loc în îmbinare.

Măsurarea directă a presiunii pe suprafețele canelurilor de pe arbore și din butuc este foarte dificilă dacă nu chiar imposibilă, deci pentru determinarea distribuției acesteia se vor folosi metode indirecte. Pentru separarea efectelor diferitelor cauze este necesar ca să se reducă, prin proiectarea corectă a standurilor, numărul cauzelor de variație care se pot însuma și să se separe, prin măsurări multiple, simultane sau succesive, și prin prelucrarea adecvată a rezultatelor, efectele fenomenelor studiate.

Standurile realizate pentru determinarea diagramelor de rigiditate pentru îmbinările prin caneluri îndeplinesc următoarele condiții:

- **sarcina aplicată îmbinării are numai componenta moment de răsucire  $M_x = T$ , sarcinile radiale  $F_r$  și momentele de răsturnare  $M_r$  fiind nule sau neglijabile;**
- **încărcarea se face lent**, eliminând sarcinile dinamice și permițând sistemului să se „așeze”, adică să aibă loc toate micro-mișcările ce însoțesc aplicarea sarcinii;
- precizia sistemului de încărcare permite **reluarea măsurărilor în aceleași condiții**, pentru aceeași îmbinare sau pentru alta;
- **aparatura de măsurare este „diferențială”**, ea măsoară rotirea relativă a secțiunii butucului față de cea a arborelui, eliminând astfel deformațiile suporturilor, a sistemului de încărcare sau a structurii de rezistență a standului.

Caracterul static al încercărilor simplifică prelevarea datelor experimentale și construcția standurilor, dar îndepărtează experimentul de condițiile reale de exploatare. Pentru o îmbinarea arbore - butuc de referință cu caracteristicile (v. fig 6.1.) se acceptă pentru încercări un moment de răsucire maxim  $T_{max}$  aplicat îmbinării de  $10^6$  mNm.

Datorită caracterului static nedeterminat al îmbinărilor canelate, transferul de sarcină este influențat de rigiditatea elementelor îmbinării – arbore, butuc – dar și de elasticitatea canelurilor față de piesa în care sunt prelucrate. Pentru a confirma exactitatea metodelor de calcul analitic sau a modelelor care folosesc metoda elementului finit, s-au determinat experimental aceste rigidități. Deoarece rigiditatea arborelui și a butucului, considerate ca piese cilindrice, respectiv tubulare, poate fi suficient de precis determinată prin metodele de calcul analitic, s-a determinat rigiditatea însumată a canelurilor de pe arbore și din butuc.

S-a definit ca **rigiditate însumată a canelurilor de pe arbore și din butuc**  $C_T = \frac{T}{\theta}$

raportul dintre **momentul de torsiune T** din îmbinare și **unghiul de rotire relativă  $\theta$**  al suprafeței portante a butucului pe diametrul mediu al îmbinării față de poziția nedeformată. Această rigiditate se referă numai la deformațiile canelurilor și nu la deformațiile de torsiune ale materialului de bază al arborelui, respectiv butucului, considerate ca piese cilindrice sau tubulare, respectiv. Pentru a nu fi influențată de abaterile de pas ale elementelor îmbinării, rigiditatea trebuie măsurată pentru o singură pereche de elemente portante. Autorul tezei a conceput și executat un stand (Fig. 6.5.) cu sistem de încărcare mecanic simetric, care solicită ansamblul testat numai cu moment de răsucire. Pentru **eliminarea lăgăruirii suplimentare a butucului**, se utilizează o epruvetă cu **două** perechi opuse de caneluri în contact (Fig. 6.6.). Acestea asigură autocentrarea butucului pe arborele canelat și reducerea reciprocă a sarcinilor radiale. Sistemul de măsurare (Fig. 6.8) este format din dinamometrul mecanic potcoavă tip Rejtö pentru determinarea momentului aplicat îmbinării și din ansamblul de măsurare a rotirii relative.

Rezultatele încercărilor sunt cuprinse în Anexa 14 și centralizate în figura 6.9. Coeficienții de regresie liniară a curbelor de rigiditate pentru cele cinci îmbinări încercate sunt în jurul valorii  $2 \times 10^{-8}$  rad/mNm, corespunzători unor rigidități torsionale de  $50 \times 10^6$  mNm/rad. Pentru că se încearcă două caneluri opuse simultan, rigiditatea medie a unei caneluri este de 25 kNm/rad. Comparând rezultatele măsurărilor cu estimările analitice se constată că nu se pot neglija rotirile produse de deformațiile de torsiune ale arborelui și butucului. Aceste rotiri, estimate prin calcul a avea valori de 0,0002 ... 0,0004 rad pentru un moment de torsiune de 100 Nm aplicat îmbinării studiate, au același ordin de mărime (Fig. 6.3) ca și rotirile produse de

deformația canelurilor față de arbore, respectiv butuc. Cu toate acestea, rigiditatea măsurată este de aproape de două ori mai mică decât cea calculată. Aceasta se explică parțial prin eroarea de măsurare produsă de distanța față de capătul îmbinării (mică dar existentă) la care a fost montat suportul comparatorului pe arbore, dar și prin contribuția rigidității de contact la diminuarea rigidității sistemului elastic al îmbinării.

Abaterile de pas ale canelurilor de pe arbore și din butuc, asociate caracterului static nedeterminat al îmbinării, impun contactul inițial într-un număr finit de puncte de pe suprafețele portante. Odată cu creșterea momentului de răsucire  $T$ , contactul se extinde pe lungimea suprafețelor portante și pe canelurile inițial fără contact. Are loc astfel o creștere progresivă a rigidității îmbinării.

Standul utilizat pentru ridicarea diagramei de rigiditate a îmbinării complete este același cu cel utilizat pentru rigiditatea unei perechi de caneluri, prezentat în §6.2. Încercările se realizează în aceleași condiții, rezultatele fiind centralizate în Anexa 15 și în figura 6.12. Rigiditatea îmbinării cu 6 perechi de caneluri este evident mai mare decât cea a îmbinării cu două caneluri în contact. Raportul rigidităților măsurate nu este însă de 3/1 ci doar de 2/1, datorită contribuției rotirii secțiunilor arborelui și butucului, dar și contactului incomplet al canelurilor ce formează îmbinarea.

### **§8.7. Determinarea experimentală a variației presiunii pe lungimea îmbinărilor arbore-butuc prin caneluri**

Măsurarea directă a presiunii produsă de solicitarea de contact pe suprafețe extinse este extrem de dificilă dacă nu chiar imposibilă, și este cu atât mai dificilă cu cât piesele ce compun ansamblul sunt compacte, robuste, de dimensiuni reduse și cu forme complicate. Din acest motiv, transferul de sarcină din îmbinările canelate și distribuția presiunii pe suprafețele portante se determină prin metode indirecte. Piesa cea mai accesibilă traductoarelor și aparatelor de măsură este butucul îmbinării, în special suprafața sa cilindrică exterioară. Studiul variației tensiunilor și deformațiilor din butuc este deci soluția cea mai accesibilă. Dintre metodele experimentale pentru determinarea stării de tensiuni și deformații pe suprafața cilindrică exterioară a butucului: tensometrie electrică rezistivă, inductivă sau capacitivă, metoda lacurilor casante, metodele Moiré, etc, am optat pentru utilizarea traductoarelor electrice rezistive.



În cadrul experimentelor s-a încercat un arbore cardanic și telescopic cu îmbinare prin caneluri cu centrare pe flancuri în afara seriilor de dimensiuni standardizate („seria supergrea”) Pentru a asigura o suprafață de lipire netedă pentru timbrele tensometrice, de pe exteriorul a butucului au fost îndepărtate mecanic nervurile de rigidizare cu furca cardanică și s-a prelucrat mecanic prin strunjire și rectificare suprafața cilindrică exterioară.

Traductoarele tensometrice lipite pe butuc pe două generatoare opuse sesizează deformațiile principale  $\varepsilon_{1i}$  și  $\varepsilon_{2i}$  la distanța  $x_i$  de capătul descărcat al canelurii de pe arbore. Puntea înregistrează valoarea tensiunii tangențiale  $\tau(x_i)$ . Pentru a obține informații suficient de precise despre îmbinările încercate, au fost folosite 4 seturi de câte 4 traductoare pe lungimea îmbinării care măsoară tensiunile tangențiale  $\tau(x_i)$  și un traductor de etalonare pentru măsurarea momentului de răsucire  $M_r$ , montat în zona sollicitată cu momentul maxim de torsiune. Traductoarele de măsurare sunt montate cu un pas  $\Delta x_i$  de 13 mm. Primul set de traductoare se montează la 5 mm de capătul îmbinării. Pentru o măsurare corectă sunt necesare traductoare cu dimensiuni geometrice reduse, astfel încât deformația să poată fi considerată constantă pe lungimea traductorului.

S-au utilizat timbre tensometrice produse de firma Hottinger Baldwin Messtechnik GMBH, iar pentru lipirea timbrelor pe suprafața epruvetei s-a folosit adezivul Z 70, produs de aceeași firmă și recomandat de producător pentru acest tip de timbre.

Standul proiectat și executat de autorul tezei, și care va fi utilizat în laboratorul de Organe de mașini din cadrul Departamentului de Mecatronică al Facultății de mecanică a Universității „Politehnica” din Timișoara este prezentat în figurile 7.6 și 7.7. Standul a fost conceput ca un **stand multifuncțional**, putând fi adaptat pentru orice încercare ce necesită momente de răsucire cuprinse între 100 și 1000 de Nm cu încărcare radială neglijabilă. Gabaritul pieselor încercate, în stare montată, nu trebuie să depășească 400 de mm. Suporturile epruvetei trebuie re-proiectate și executate în funcție de piesele încercate, ca și pârghia de încărcare, pentru a respecta cota de 165 mm între baza standului și axa epruvetei. Rezultatele încercărilor și prelucrarea lor sunt cuprinse în Anexa 16.

În figurile 7.8 și 7.9 sunt prezentate graficele variației experimentale a momentului de torsiune, respectiv a presiunii pe lungimea îmbinării. Alura celor două familii de curbe evidențiază schimbul de sarcină mai intens la capetele îmbinării și o scădere puternică a presiunii în zona centrală. Coincidența valorică este de asemenea bună, valorile maxime ale presiunii apropiindu-se, la momente de răsucire de 600 Nm, de 60 de MPa, ceea ce ne permite să afirmăm că modelul teoretic poate fi validat.

## **§8.8. Determinarea distribuției presiunii din îmbinare prin metode numerice.**

Metodele numerice se utilizează la studiul stării de tensiuni și deformații din sistemele mecanice, pentru cazuri concrete de proiectare, dar și pentru validarea modelelor de calcul analitic. Pentru studiul variației presiunii pe lungimea îmbinărilor prin caneluri se utilizează modele cu simetrie axială, în cazul studiului îmbinării fără erori, sau modele spațiale tridimensionale, pentru îmbinările cu erori. În figura 7.10 se prezintă cele două tipuri de modele.

Rezolvarea prin metoda elementului finit FEM și a elementelor de frontieră BEM a problemelor de contact presupune rezolvarea unor sisteme neliniare, ceea ce, în practică, se rezolvă prin iterații. Programele moderne de analiză cu element finit au posibilitatea de a realiza acest studiu, necesitând, ca parametri de legătură, rigiditatea de contact, coeficienții de frecare și, eventual, jocul în stare nesolicitată sub forma unor „elemente de joc” (gap elements), care se pot închide în timpul încărcării.

Variația solicitării de contact și a tensiunii de forfecare pe lungimea îmbinării [A1] sunt prezentate în figurile 7.11, respectiv 7.12. Coincidența dintre alura curbelor obținute prin diferite metode numerice și similaritatea acestora cu cele analitice, în special în ceea ce privește puternica concentrare a transferului de sarcină la unul din capetele îmbinării validează încă o dată modelul analitic propus.

## **§8.9. Concluzii finale.**

Studiile cuprinse în prezenta lucrare duc la următoarele concluzii:

- ajustajul cilindric cu joc nu asigură o centrare propriu – zisă ci o pseudo – centrare a butucului față de arbore;
- pentru obținerea unei capacități portante corespunzătoare este necesar un grad cât mai ridicat de conformitate a suprafețelor în contact;
- canelurile din aceleași serii de dimensiuni nu sunt geometric asemenea;
- gruparea canelurilor pe serii de dimensiuni se face după ponderea capacității portante a îmbinării la solicitarea de contact pe suprafețele portante față de capacitatea portantă a arborelui la solicitarea de torsiune;
- Condiția de echiporțanță se poate realiza la canelurile dreptunghiulare din seria grea și la cele evolventice, atunci când lungimea îmbinării este egală cu dublul diametrului interior;

- eroarea de centrare în îmbinările prin caneluri depinde de abaterile de pas ale suprafețelor portante dar și de ordinea lor de intrare în contact, respectiv de poziția unghiulară a primelor trei caneluri purtătoare;
- pentru o centrare optimă pe flancuri este necesară standardizarea sau normalizarea unor serii de dimensiuni de caneluri dreptunghiulare cu numere impare de caneluri;
- la îmbinările cu precizie inferioară, cu număr mare de caneluri și cu rigiditate ridicată a elementelor portante nu sunt în contact toate canelurile și coeficientul de repartiție a sarcinii pe caneluri are valori mai mari decât 2;
- rigiditatea îmbinării crește progresiv odată cu creșterea momentului de răsucire la care este supusă îmbinarea, ajungând la valoarea maximă atunci când toate perechile au intrat în contact; caracteristica de rigiditate cu pantă variabilă produce imprecizia cinematică a transmisiei care conține îmbinarea, atunci când mărimea momentului de răsucire se modifică;
- îmbinările cu centrare pe flancuri se comportă mai bine sub sarcină, coeficienții de repartiție a sarcinii având valori mai mici decât la îmbinarea cu centrare interioară;
- variația excentricității butucului față de arbore la îmbinările încărcate cu sarcină radială evidențiază existența unei micromișcări și deci a unei deplasări relative a suprafețelor portante ale arborelui și butucului pe direcția tangentei comune; această micromișcare poate provoca uzura abrazivă și /sau adezivă (griparea), chiar în cazul îmbinărilor fără deplasare axială relativă;
- nu este întotdeauna rațională mărirea numărului de caneluri pentru creșterea capacității portante a îmbinării;
- reducerea efectului concentrator al erorii de pas se poate face prin reducerea lor pe cale tehnologică (prin precizia de execuție sau prin rodare) sau reducerea rigidității  $c_F$  a elementelor portante;
- coeficientul global de repartiție a sarcinii se obține prin însumarea a doi coeficienți parțiali de suprasarcină și nu prin amplificare;
- pentru preluarea momentelor de răsturnare nu este rațională creșterea lungimii îmbinării peste dublul diametrului său nominal;
- pentru funcționarea optimă a îmbinării, aplicarea momentului de răsucire la butuc se face în partea opusă celei în care arborele este supus momentului maxim de torsiune;
- condiția de optimă portanță a îmbinării se obține numai pentru diametre exterioare ale butucului apropiate de diametrul exterior al canelurilor;

- lungimea îmbinării nu are efecte asupra presiunii maxime dacă este mai mare decât diametrul nominal al îmbinării; practic, transferul energetic are loc pe o lungime egală cu jumătate din diametrul nominal, caz în care efectul modului de aplicare a momentului de răsucire asupra butucului este mult redus;
- modelul de calcul analitic a rigidității canelurilor propus în prezenta teză este validat de analiza cu element finit pentru seriile de dimensiuni mai grele; seriile mai ușoare au distribuții de tensiuni diferite de cele teoretice;
- preponderență în determinarea valorii elasticității totale de deformare este elasticitatea de deformare tangențială arborelui;
- încercările pe stand validează studiile teoretice ale rigidității canelurilor și îmbinărilor canelate; nu poate fi neglijată însă contribuția deformațiilor de torsiune ale arborelui și butucului la deformarea totală a îmbinării;
- rezultatele măsurărilor tensometrice rezistive confirmă concentrarea transferului energetic la capetele îmbinării, ce a fost descris prin modelul teoretic.

### **§8.10. Direcții de cercetare ulterioară**

Studiile cuprinse în prezenta lucrare și concluziile acestora evidențiază următoarele direcții în care cercetarea se poate continua:

- cercetarea abaterilor reale ale arborilor și butucilor canelați, a repartițiilor abaterii de pas și a corelațiilor dintre clasa de precizie și toleranțele calibrelor de complexitate și abaterile profilelor pe periferia și pe lungimea îmbinării;
- studiul îmbinărilor cu sarcini radiale sau momente de răsturnare la care se pierde temporar contactul pe caneluri sau pe porțiuni ale acestora;
- studiul analitic și experimental al variației presiunii pe înălțimea canelurii;
- studiul analitic și experimental al deformațiilor plastice locale produse de vârfurile de presiune evidențiate în prezenta lucrare, a modificării geometriei suprafețelor portante și a influenței acesteia asupra legilor de variație a presiunii;
- generalizarea ecuațiilor diferențiale de transfer a sarcinii la alte tipuri de îmbinări și la sisteme mecanice cu contact pe suprafețe extinse;
- studiul uzării îmbinărilor prin caneluri, atât în urma micromișcărilor produse de sarcinile radiale sau de momentele de răsturnare cât și a celei produse de deplasarea axială în mers și sub sarcină (arbori cardanici și telescopici).

## **§8.11. Contribuții personale**

Cercetările realizate în prezenta lucrare aduc următoarele contribuții personale:

- O definiție geometric riguroasă a îmbinărilor prin formă și prin forță.
- Sistematizarea caracteristicilor funcționale și tehnologice ale îmbinărilor arbore-butuc și cuantificarea după sistemul de notare din învățământul românesc a modului de realizare a acestora.
- Studiul similitudinii îmbinărilor canelate și introducerea coeficientului de portanță.
- Descrierea analitică a mecanismului centrării pe flancuri și a succesiunii de intrare în contact a canelurilor cu abateri de pas.
- Determinarea ecuațiilor diferențiale ale transferului de sarcină pentru cazurile generale de aplicare a momentelor de răsucire.
- Elaborarea unui algoritm iterativ de rezolvare a ecuațiilor diferențiale neliniare de transfer a sarcinii pe suprafețe cu deformații ale microneregularităților prin liniarizarea pe tronsoane a curbei de rigiditate de contact.
- Elaborarea de foi de calcul MATHCAD pentru studiul fiecărei cauze de variație a presiunii pe caneluri.
- Elaborarea unei metodologii de determinare analitică a rigidității canelurilor și verificarea rezultatelor acesteia prin metoda elementului finit.
- Determinarea experimentală a diagramelor de rigiditate a canelurilor și a îmbinărilor prin caneluri.
- Verificarea experimentală prin tensometrie electrică a legii de transfer a sarcinii prin măsurarea efortului de torsiune din butuc.

## **§8.12. Valorificarea rezultatelor**

- Publicarea a 8 lucrări științifice în domeniul tezei din care 6 ca unic autor și 2 ca prim autor.
- Realizarea unui stand multifuncțional pentru încercarea statică a îmbinărilor arbore-butuc, aflat în Laboratorul de Organe de mașini al Universității „Politehnica” din Timișoara.
- Elaborarea a două lucrări de laborator.

**Bibliografie**

- |    |                    |  |   |
|----|--------------------|--|---|
| A1 | Adey, R.A          | Modeling and Simulation of Spline Couplings                          | IMEchE Transmission seminar, June, 1999                         |
| B1 | Balekics, M.       | Tribologie. Freccarea  | Editura Toderco, Cluj-Napoca, 2000                              |
| B1 | Birgher, I.A.      | Rasciot na procinosti detalei maşin                                  | Maşinostroienie Moscova, 1979                                   |
| B2 | Batoz, J. L.       | Modélisation des structures par éléments finis                       | Hermes, Paris, 1992   |
| B3 | Buzdugan, Gh.      | Rezistenta materialelor  | Ed. Tehnică Bucureşti, 1980.                                    |
| C1 | Chişiu, Al         | Organe de maşini   | Editura Didactică şi Pedagogică, Bucureşti, 1976                |
| D1 | Drăghici, I.       | Îndrumar de proiectare în construcţia de maşini, vol II              | Editura Tehnică Bucureşti, 1981                                 |
| D2 | Douglas Faires, J. | Numerische Methoden Näherungsverfahren und ihre praktische Anwendung | Spektrum Akademischer, Verlag, Heidelberg, Berlin Oxford, 1994. |
| F1 | Florea, V.         | Bazele proiectării în construcţia de maşini, Vol. I.                 | Lito Institutul de învăţământ superior Sibiu, 1988              |
| E1 | Ehrlenspiel, K.    | Auswahl und Gestaltung kostengünstiger Welle-Nabe-Verbindungen       | Antriebestechnik, nr. 10, 1991                                  |
| G1 | Gafiţanu, M.       | Organe de maşini, vol I  | Editura Tehnica Bucureşti, 1981                                 |
| K1 | Kollmann, F.G.     | Welle-Nabe-Verbindungen Gestaltung, Auslegung, Auswahl               | Springer-Verlag, Berlin, 1984                                   |
| K2 | Kudriavţev, V. N.  | Kursovâie proiectirovanie detalei maşin                              | Maşinostroienie Moscova, 1977                                   |
| K3 | Kuzmin, ş.a.       | Detalei maşin  | Maşinostroienie Moscova, 1977                                   |
| K4 | Krause, W          | Konstruktionselemente der  | Carl Hanser Verlag München                                      |

- |    |                              |  |  |
|----|------------------------------|--|--|
|    |                              | Feinmechanik   | Wien, 1993   |
| K5 | Koller, R.                   | Konstruktionslehre für den Maschinenbau Grundlagen zur Neu-und Weiterentwicklung technis der Produkte mit beispalen.       | Springer Verlag, 1993, ed. A. III-a și 1998 ed. A IV-a     |
| K6 | Kmothe, K                    | Finite elemente. Eine Einfühmag für luginieure   | Springen Verlag, 1992                                      |
| K7 | Kragelsky, I., V.            | Tribology Handbook   | Mir Publishers Moscow, 1981                                |
| M1 | Mocanu, D., R.               | Analiza experimentală a tensiunilor  | Editura Tehnică, București, 1977                           |
| M2 | Mocanu, D., R.               | Determinarea experimentală a eforturilor unitare   | Ed. Transporturilor și Telecomunicațiilor, 1966.           |
| M3 | Matek, W. Ș a Roloff / Matek | Maschinenelemente, 14 Auflage  | Vieweg Wiesbaden, 2000                                     |
| M4 | Manea, Gh.                   | Organe de mașini   | Editura Tehnică București, 1970                            |
| M5 | Mărgineanu, D.               | Repartiția sarcinii pe lungimea îmbinarilor arbore-butuc prin formă  | Simpozionul național MTM 1992 Vol.3, luc. 22               |
| M6 | Mărgineanu, D.               | Repartiția sarcinii pe suprafețele portante multiple ale îmbinărilor arbore-butuc prin formă                               | Simpozionul național MTM 1992 Vol.3, luc. 23               |
| M7 | Mărgineanu, D.               | Un studiu critic asupra metodelor actuale de proiectare a îmbinărilor arbore-butuc cu caneluri și ajustaje poligonale      | Analele Universității din Oradea, Fascicola Mecanică, 1992 |
| M8 | Mărgineanu, D.               | Repartiția sarcinii pe lungimea îmbinărilor arbore-butuc prin caneluri datorită rigidității finite a elementelor îmbinării | Al VII-lea Simpozion MTM Timișoara 1996                    |
| M9 | Mărgineanu, D.               | Repartiția sarcinii pe lungimea  | Al VII-lea Simpozion MTM,                                  |

- |     |                  |  |   |
|-----|------------------|--|---|
|     |                  | unei îmbinări arbore-butuc prin<br>caneluri în cazul aplicării uniform<br>distribuite a momentului de<br>răsucire pe toată lungimea<br>butucului | Timișoara 1996  |
| M10 | Mărgineanu, D.   | Spline joints rigidity   | MTM, 2000, Timișoara  |
| M11 | Mărgineanu, D.   | Influența abaterilor de pas asupra<br>repartiției încărcării pe canelurile<br>utilizate în acționările hidraulice                                | Hervex, 2002, Râmnicu Vâlcea  |
| M12 | Mărgineanu, D.   | Load distribution on spline joints   | The Eleventh World Congress<br>in Mechanism and Machine<br>Science, August 18~21,2003,<br>Tianjin China |
| N1  | Niemann, G.      | Maschinenelemente  | Springer-Verlag, Berlin, 1973   |
| N2  | Niemann, G.      | Maschinenelemente  | Springer-Verlag, Berlin, 1986   |
| O1  | Orlov, P.I       | Osnovîi konstruirovaniia   | Mașinostroenie Moscova,<br>1977   |
| P1  | Pahl, G.         | Konstruktionslehre. Methoden und<br>Anwendung. Ediția a III-a  | Springen – Verlag, Berlin,<br>1993  |
| P2  | Pokomy, J        | Köhle/Rögnitz Maschinenteile<br>Teil I.  | B.G. Teubner Stuttgart, 1997  |
| P3  | Perju, D         | Măsurări mecanice, Vol. I  | Editura „Politehnica”<br>Timișoara, 2001  |
| R1  | Rothbart, H., A. | Mechanical Design Handbook   | Mc. Graw-Hill, 1996   |
| S1  | Shigley, J.E     | Mechanical engineering design  | Mc Graw Hill, New York,<br>1972   |
| S2  | Schmeltz, F.     | Universal Joints and Driveshafts.<br>Analysis, Design, Applications  | Springen – Verlag, Berlin,<br>1992  |
| S3  | Steinhilper, W.  | Maschinen – und Konstruktions-<br>elemente Grundlagen der<br>berechnung und Gestaltung/ Band<br>1  | Springen – Verlag, Berlin,<br>1994  |



- |    |                 |  |  |
|----|-----------------|--|--|
| S4 | Steinhilper, W. | Maschinen – und Konstruktions-<br>elemente. Grundlagen der<br>berechnung und Gestaltung. Band<br>2 | Springen – Verlag, Berlin,<br>1993                       |
| S5 | Smilga, V.      | Evident ? nu, încă nelămurit   | Editura Științifică, București,<br>1963                  |
| V1 | Voinea, R.      | Introducere în mecanica solidului<br>cu aplicații în inginerie                                     | Editura Academiei Republicii<br>Socialiste România, 1989 |



# Similitudinea imbinarilor prin caneluri dreptunghiulare

## Seria usoara

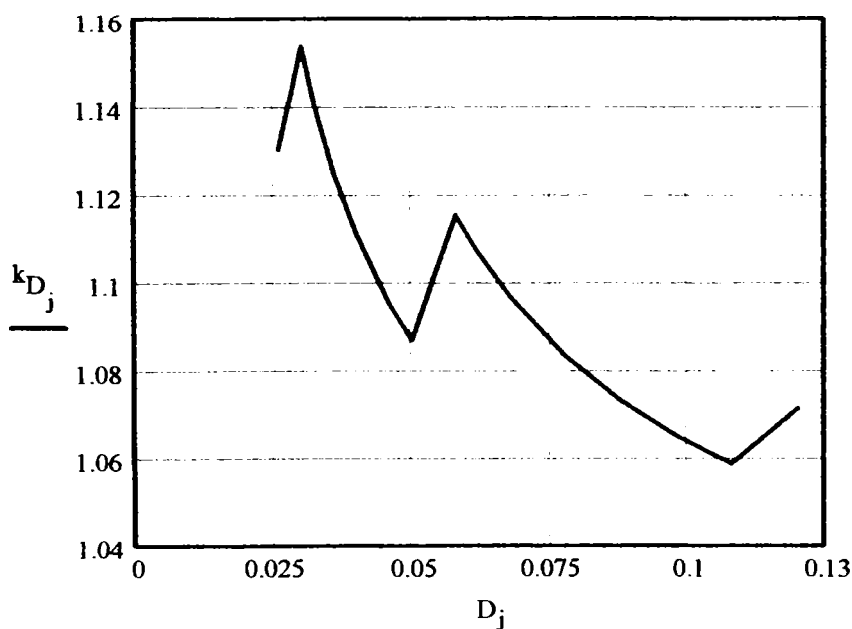
Dimensiunile canelurilor

Numarul de dimensiuni:  $j := 1..15$

Diametrul interior	Diametrul exterior	Latimea canelurii	Numarul de caneluri	Tesitura canelurii
$d :=$ 23mm	$D :=$ 26mm	$b :=$ 6mm	$z :=$ 6	$c :=$ 0.2mm
26mm	30mm	6mm	6	0.2mm
28mm	32mm	7mm	6	0.2mm
32mm	36mm	6mm	8	0.3mm
36mm	40mm	7mm	8	0.3mm
42mm	46mm	8mm	8	0.3mm
46mm	50mm	9mm	8	0.3mm
52mm	58mm	10mm	8	0.5mm
56mm	62mm	10mm	8	0.5mm
62mm	68mm	12mm	8	0.5mm
72mm	78mm	12mm	10	0.5mm
82mm	88mm	12mm	10	0.5mm
92mm	98mm	14mm	10	0.5mm
102mm	108mm	16mm	10	0.5mm
112mm	120mm	18mm	10	0.5mm

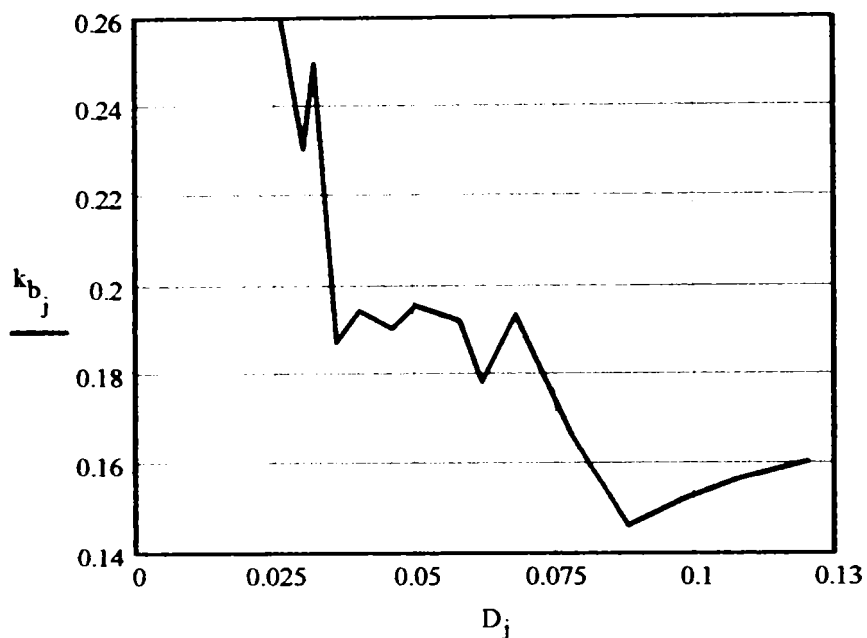
Coeficientul diametrului exterior:

$$k_{D_j} := \frac{D_j}{d_j}$$



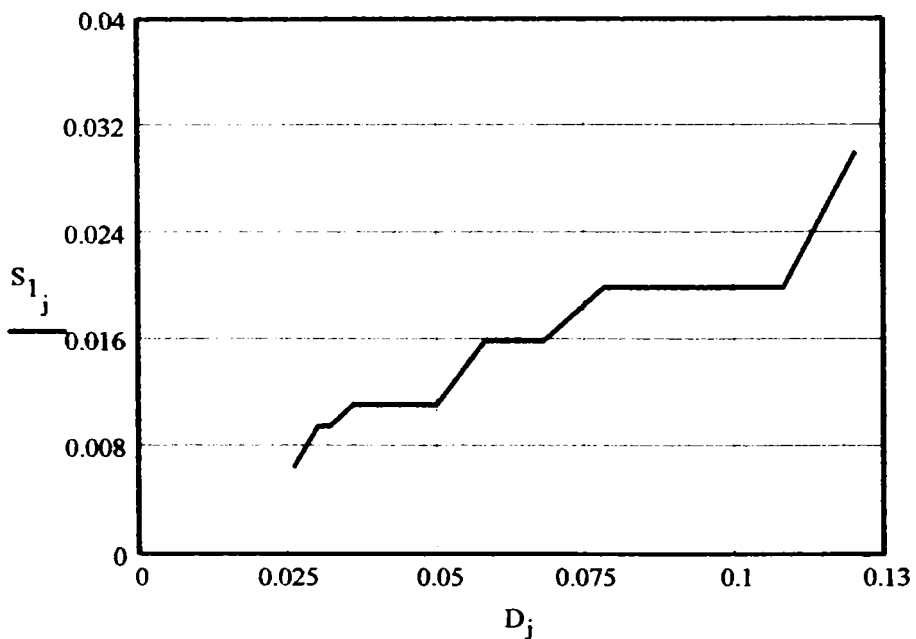
$k_D$	1
1	1.13
2	1.154
3	1.143
4	1.125
5	1.111
6	1.095
7	1.087
8	1.115
9	1.107
10	1.097
11	1.083
12	1.073
13	1.065
14	1.059
15	1.071

Coefficientul latimii canelurii:  $k_{b_j} := \frac{b_j}{d_j}$



	1
1	0.261
2	0.231
3	0.25
4	0.188
5	0.194
6	0.19
7	0.196
8	0.192
9	0.179
10	0.194
11	0.167
12	0.146
13	0.152
14	0.157
15	0.161

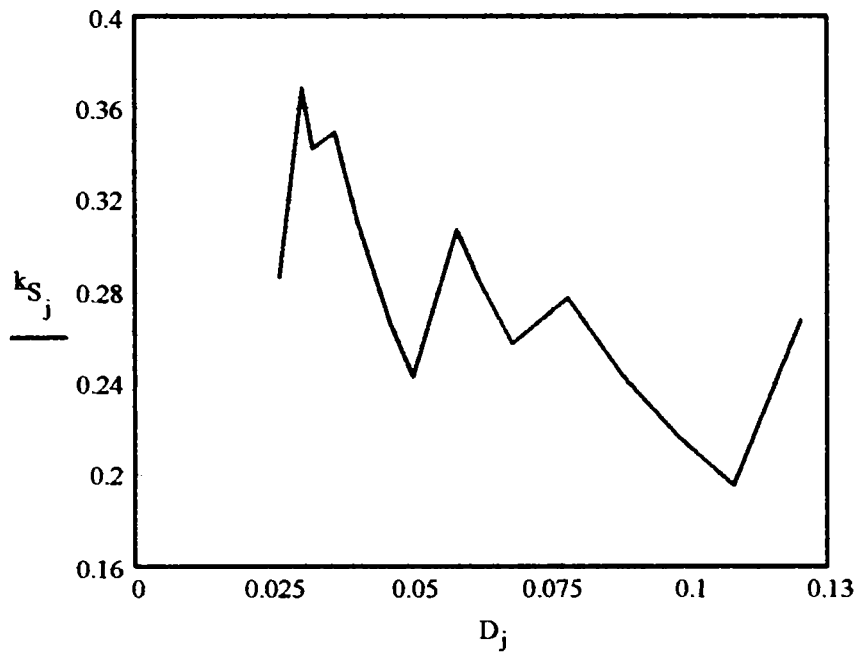
Suprafata portanta a flancului canelurii, pe unitatea de lungime:  $S_{1_j} := z_j \cdot \left( \frac{D_j - d_j}{2} - 2 \cdot c_j \right)$



	1	mm
1	6.6	
2	9.6	
3	9.6	
4	11.2	
5	11.2	
6	11.2	
7	11.2	
8	16	
9	16	
10	16	
11	16	
12	20	
13	20	
14	20	
15	30	

Coeficientul suprafetei portante a flancului canelurii pe unitatea de lungime:

$$k_{S_j} := \frac{S_{1_j}}{d_j}$$



	1
1	0.287
2	0.369
3	0.343
4	0.35
5	0.311
6	0.267
7	0.243
8	0.308
9	0.286
10	0.258
11	0.178
12	0.244
13	0.217
14	0.196
15	0.268

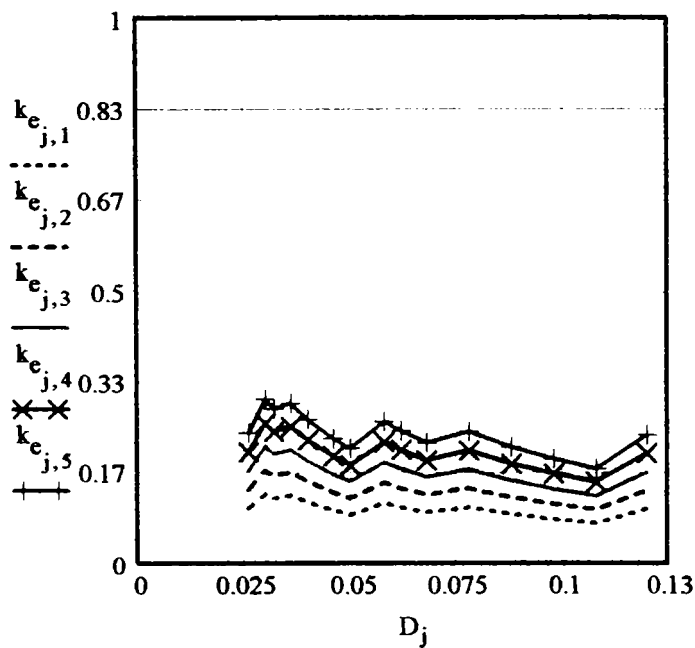
Diametrul mediu al imbinării:  $d_{m_j} := \frac{D_j + d_j}{2}$

Lungimea imbinării:  $k := 1..5$        $L_{j,k} := d_j \cdot (0.5 + 0.25 \cdot k)$

Tensiunea tangentiala de torsiune admisa:  $\tau_{at} := 35 \frac{N}{mm^2}$

Presiunea admisa:  $p_a := 10 \frac{N}{mm^2}$

Coeficientul de echiportanta:  $k_{e_{j,k}} := \frac{6 \cdot d_{m_j} \cdot S_{1_j} \cdot L_{j,k} \cdot p_a}{\pi \cdot (d_{m_j})^3 \cdot \tau_{at}}$



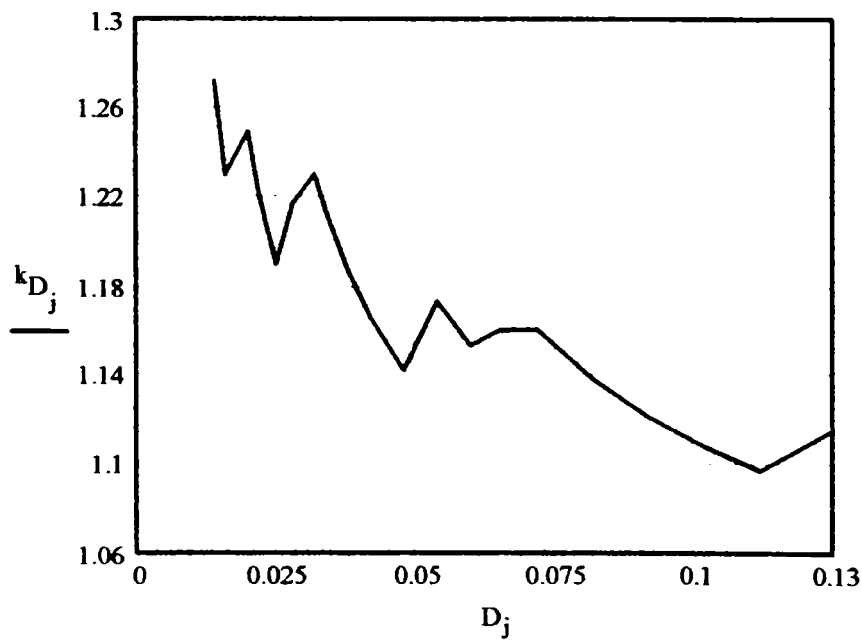
	1	2	3	4	5
1	0.103	0.138	0.172	0.207	0.241
2	0.13	0.174	0.217	0.261	0.304
3	0.122	0.163	0.204	0.244	0.285
4	0.127	0.169	0.211	0.254	0.296
5	0.114	0.152	0.19	0.229	0.267
6	0.099	0.133	0.166	0.199	0.232
7	0.092	0.122	0.153	0.183	0.214
8	0.113	0.15	0.188	0.225	0.263
9	0.105	0.14	0.176	0.211	0.246
10	0.096	0.128	0.16	0.192	0.224
11	0.105	0.14	0.175	0.21	0.244
12	0.093	0.124	0.155	0.186	0.217
13		0.111	0.1	0.17	0.195
14	0.076	0.101	0.126	0.151	0.177
15	0.102	0.136	0.17	0.204	0.238

**Seria mijlocie**

$d :=$	11mm 13mm 16mm 18mm 21mm 23mm 26mm 28mm 32mm 36mm 42mm 46mm 52mm 56mm 62mm 72mm 82mm 92mm 102mm 112mm	$D :=$	14mm 16mm 20mm 22mm 25mm 28mm 32mm 34mm 38mm 42mm 48mm 54mm 60mm 65mm 72mm 82mm 92mm 102mm 112mm 125mm	$b :=$	3mm 3.5mm 4mm 5mm 5mm 6mm 6mm 7mm 6mm 7mm 8mm 9mm 10mm 10mm 12mm 12mm 12mm 14mm 16mm 18mm	$z :=$	6 6 6 6 6 6 6 6 6 6 8 8 8 8 8 8 8 8 8 8 8 10 10 10 10 10 10	$c :=$	0.2mm 0.2mm 0.2mm 0.2mm 0.2mm 0.2mm 0.2mm 0.2mm 0.2mm 0.2mm 0.3mm 0.3mm 0.3mm 0.3mm 0.3mm 0.3mm 0.3mm 0.3mm 0.3mm 0.3mm 0.5mm 0.5mm 0.5mm 0.5mm 0.5mm 0.5mm 0.5mm 0.5mm
--------	--	--------	---	--------	--	--------	---	--------	--

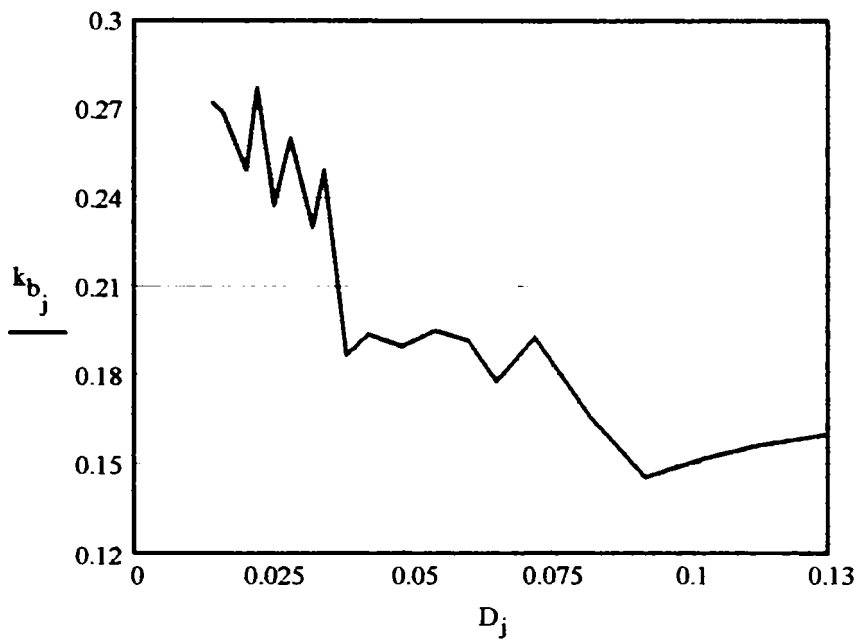
Numarul de dimensiuni:  $j := 1..20$

Coefficientul diametrului exterior:  $k_{D_j} := \frac{D_j}{d_j}$



	1
1	1.273
2	1.231
3	1.25
4	1.222
5	1.19
6	1.217
7	1.231
8	1.214
9	1.188
10	1.167
11	1.143
12	1.174
13	1.154
14	1.161
15	1.161
16	1.139
17	1.122
18	1.109
19	1.098
20	1.116

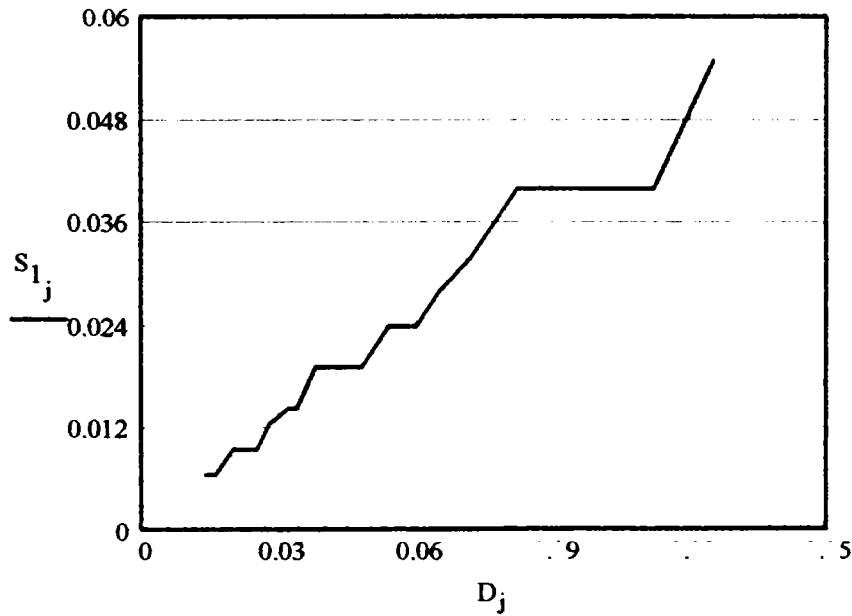
Coeficientul latimii canelurii:  $k_{b_j} := \frac{b_j}{d_j}$



	1
1	0.273
2	0.269
3	0.25
4	0.278
5	0.238
6	0.261
7	0.231
8	0.25
9	0.188
10	0.194
11	0.19
12	0.196
13	0.192
14	0.179
15	0.194
16	0.167
17	0.146
18	0.152
19	0.157
20	0.161

Suprafata portanta a flancului canelurii, pe unitatea de lungime:

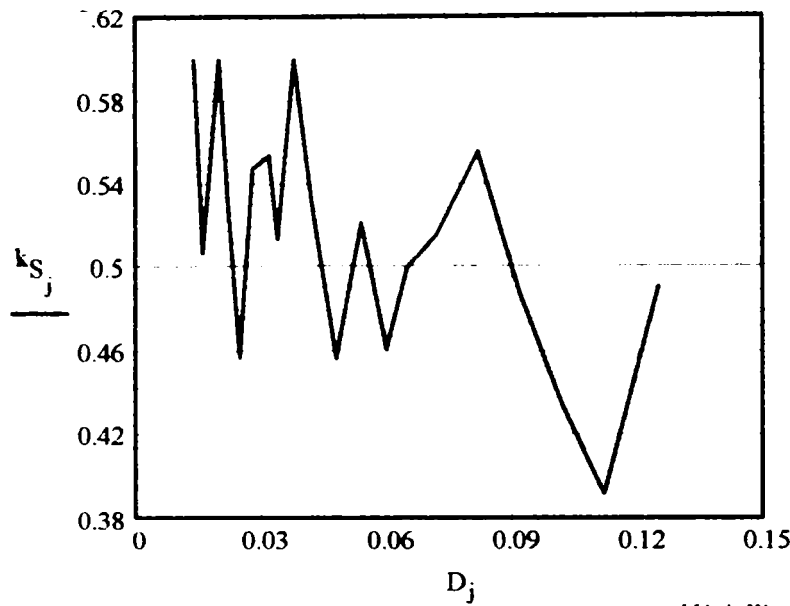
$$S_{1_j} := z_j \cdot \left( \frac{D_j - d_j}{2} - 2 \cdot c_j \right)$$



	1
1	6.6
2	6.6
3	9.6
4	9.6
5	9.6
6	12.6
7	14.4
8	14.4
9	19.2
10	19.2
11	19.2
12	24
13	24
14	28
15	32
16	40
17	40
18	40
19	40
20	55

$S_1 =$  mm

Coeficientul suprafeței portante a flancului canelurii pe unitatea de lungime:  $k_{S_j} := \frac{S_{1_j}}{d_j}$



	1
1	
2	0.508
3	0.6
4	0.533
5	0.457
6	0.548
7	0.554
8	0.514
9	0.6
10	0.533
11	0.457
12	0.522
13	
14	0.5
15	0.516
16	0.556
17	0.488
18	0.435
19	0.392
20	0.491

Diametrul mediu al imbinării:

$$d_{m_j} := \frac{d_j + d_j}{2}$$

Lungimea imbinării:

$$k := 1..5$$

$$L_{j,k} := d_j \cdot (0.5 + 0.25k)$$

Tensiunea tangentială de torsiune admisă:

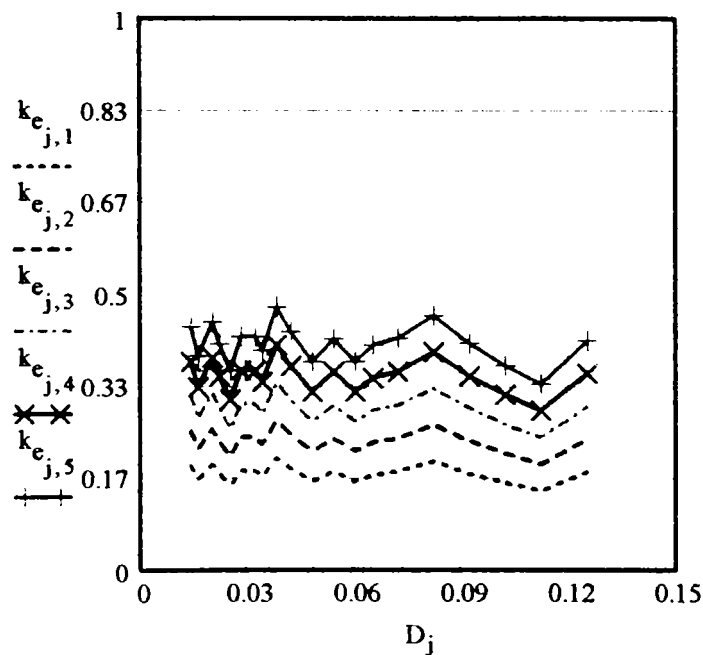
$$\tau_{at} := 35 \frac{N}{mm^2}$$

Presiunea admisă:

$$p_a := 10 \frac{N}{mm^2}$$

Coeficientul de echiportanță:

$$k_{e_{j,k}} := \frac{6 \cdot d_{m_j} \cdot S_{1_j} \cdot L_{j,k} \cdot p_a}{\pi \cdot (d_{m_j})^3 \cdot \tau_{at}}$$



	1	2	3	4	5
1	0.19	0.254	0.317	0.38	0.444
2	0.167	0.223	0.278	0.334	0.39
3	0.194	0.259	0.323	0.388	0.453
4	0.177	0.236	0.295	0.354	0.413
5	0.156	0.208	0.26	0.312	0.364
6	0.182	0.243	0.304	0.365	0.426
7	0.182	0.243	0.304	0.364	0.425
8	0.172	0.229	0.286	0.343	0.401
9	0.205	0.274	0.342	0.411	0.479
10	0.186	0.248	0.31	0.372	0.434
11	0.163	0.217	0.272	0.326	0.38
12	0.181	0.241	0.301	0.361	0.422
13	0.163	0.217	0.271	0.326	0.38
14	0.175	0.234	0.292	0.351	0.409
15	0.181	0.241	0.301	0.362	0.422
16	0.199	0.265	0.331	0.398	0.464
17	0.177	0.236	0.296	0.355	0.414
18	0.16	0.213	0.267	0.32	0.373
19	0.146	0.194	0.243	0.292	0.34
20	0.18	0.239	0.299	0.359	0.419

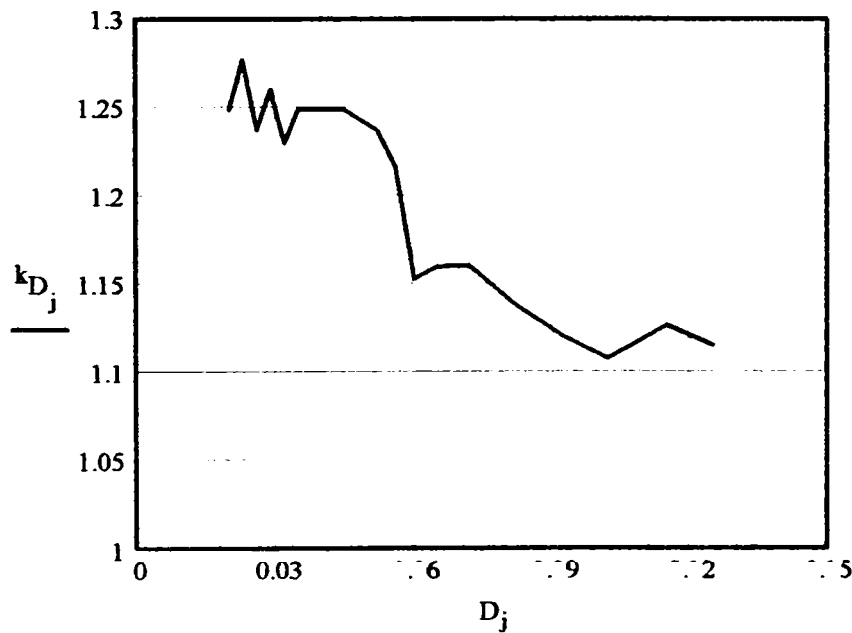


**Seria grea**

d :=	D :=	b :=	z :=	c :=
16mm	20mm	2.5mm	10	0.2mm
18mm	23mm	3mm	10	0.2mm
21mm	26mm	3mm	10	0.2mm
23mm	29mm	4mm	10	0.2mm
26mm	32mm	4mm	10	0.3mm
28mm	35mm	4mm	10	0.3mm
32mm	40mm	5mm	10	0.3mm
36mm	45mm	5mm	10	0.3mm
42mm	52mm	6mm	10	0.3mm
46mm	56mm	7mm	10	0.5mm
52mm	60mm	5mm	16	0.5mm
56mm	65mm	5mm	16	0.5mm
62mm	72mm	6mm	16	0.5mm
72mm	82mm	7mm	16	0.5mm
82mm	92mm	6mm	20	0.5mm
92mm	102mm	7mm	20	0.5mm
102mm	115mm	8mm	20	0.5mm
112mm	125mm	9mm	20	0.5mm

Numarul de dimensiuni:  $j := 1..18$

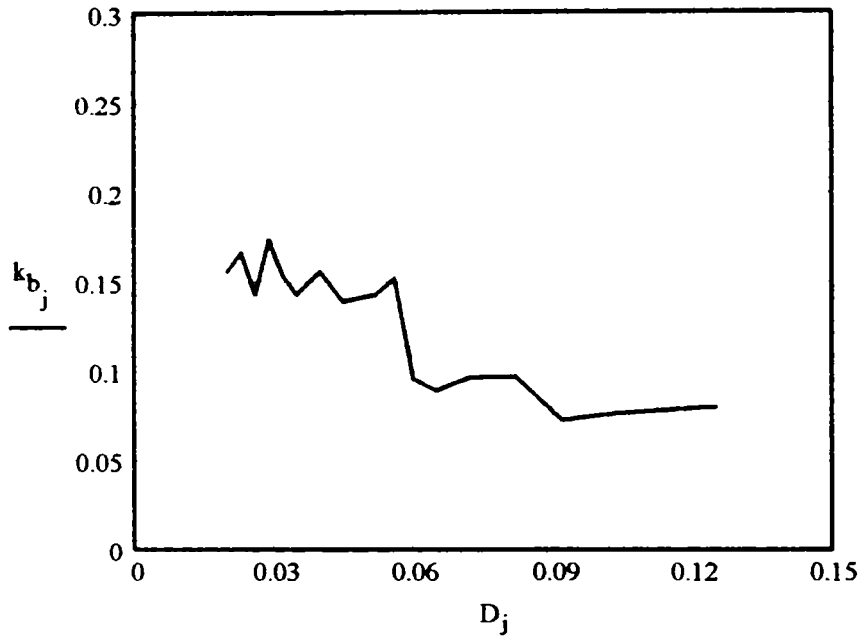
Coefficientul diametrului exterior:  $k_{D_j} := \frac{D_j}{d_j}$



	1
1	1.25
2	1.278
3	1.238
4	1.261
5	1.231
6	1.25
7	1.25
8	1.25
9	1.238
$k_D =$ 10	1.217
11	1.154
12	1.161
13	1.161
14	1.139
15	1.122
16	1.109
17	1.127
18	1.116
19	1.098
20	1.116

Coeficientul latimii canelurii

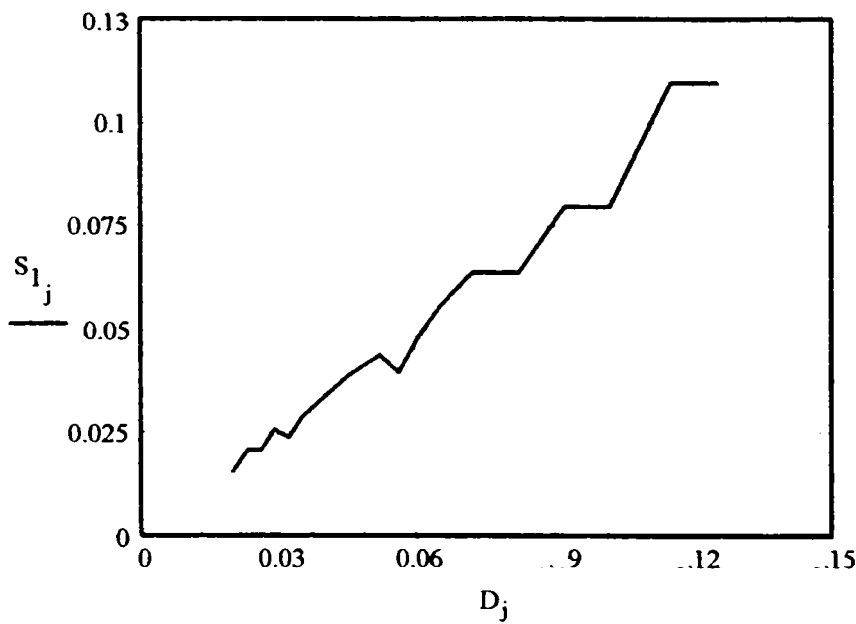
$$k_{b_j} := \frac{b_j}{d_j}$$



	1
1	0.156
2	0.167
3	0.143
4	0.174
5	0.154
6	0.143
7	0.156
8	0.139
9	0.143
10	0.152
11	0.096
12	0.089
13	0.097
14	0.097
15	0.073
16	0.076
17	0.078
18	0.08
19	0.157
20	0.161

Suprafata portanta a flancului canelurii pe unitatea de lungime:

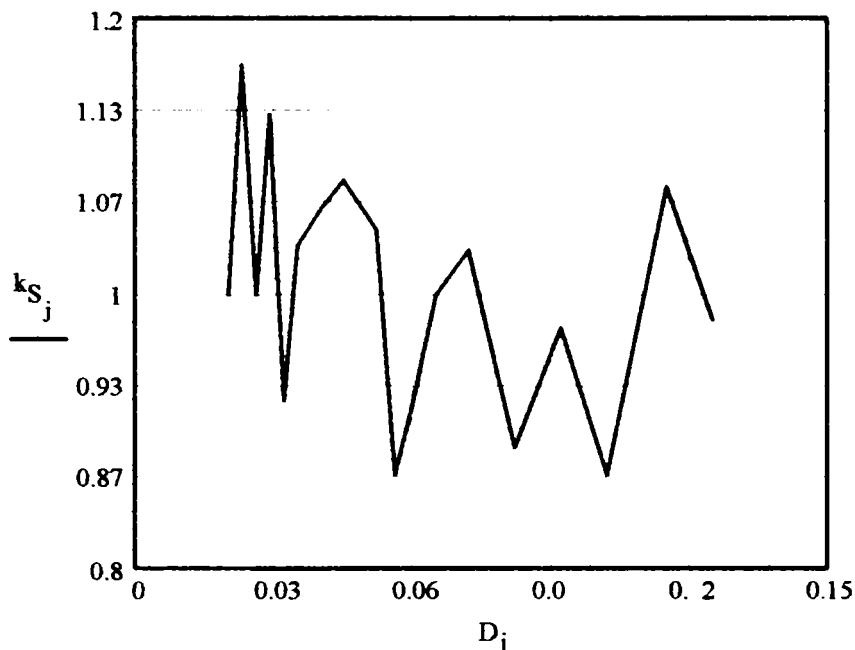
$$S_{1_j} := z_j \cdot \left( \frac{D_j - d_j}{2} - 2 \cdot c_j \right)$$



	1	
1	16	
2	21	
3	21	
4	26	
5	24	
6	19	
7	34	
8	39	
9	44	
10	40	mm
11	48	
12	56	
13	64	
14	64	
15	80	
16	80	
17	110	
18	110	
19	40	
20	55	

Coeficientul suprafetei portante a flancului canelurii pe unitatea de lungime:

$$k_{S_j} := \frac{S_{1_j}}{d_j}$$



	1
1	1
2	1.167
3	1
4	1.13
5	0.923
6	1.036
7	1.063
8	1.083
9	1.048
10	0.87
11	0.923
12	1
13	1.032
14	0.889
15	0.976
16	0.87

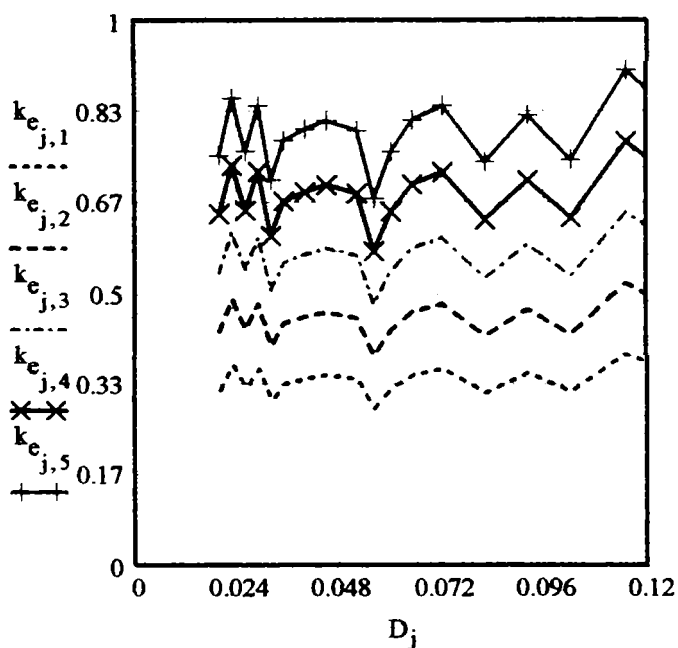
Diametrul mediu al imbinării:  $d_{m_j} := \frac{D_j + d_j}{2}$

Lungimea imbinării:  $k := 1..5$        $L_{j,k} := d_j \cdot (0.5 + 0.25k)$

Tensiunea tangentiala de torsiune admisa:  $\tau_{at} := 35 \frac{N}{mm^2}$  , Presiunea admisa:  $p_a := 10 \frac{N}{mm^2}$

Coeficientul de echipotanta:

$$k_{e_{j,k}} := \frac{6 \cdot d_{m_j} \cdot S_{1_j} \cdot L_{j,k} \cdot p_a}{\pi \cdot (d_{m_j})^3 \cdot \tau_{at}}$$



	1	2	3	4	5
1	0.323	0.431	0.539	0.647	0.755
2	0.368	0.491	0.614	0.736	0.859
3	0.327	0.436	0.545	0.654	0.763
4	0.362	0.483	0.603	0.724	0.845
5	0.304	0.405	0.506	0.607	0.709
6	0.3	0.3	0.3	0.3	0.3
7	0.344	0.458	0.573	0.687	0.802
8	0.35	0.467	0.584	0.701	0.817
9	0.342	0.456	0.571	0.685	0.799
10	0.29	0.386	0.483	0.579	0.676
11	0.326	0.434	0.543	0.651	0.76
12	0.351	0.468	0.584	0.701	0.818
13	0.362	0.482	0.603	0.724	0.844
14	0.318	0.424	0.53	0.636	0.742
15	0.355	0.473	0.591	0.709	0.828
16	0.32	0.427	0.534	0.64	0.747

**Pentru masini unelte**

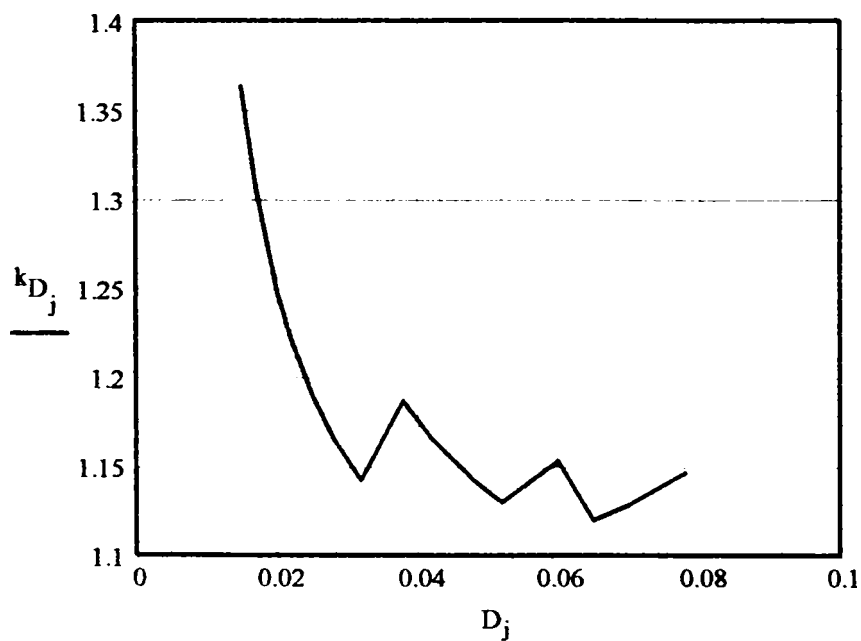
d :=	11mm 13mm 16mm 18mm 21mm 24mm 28mm 32mm 36mm 42mm 46mm 52mm 58mm 62mm 68mm	D :=	15mm 17mm 20mm 22mm 25mm 28mm 32mm 38mm 42mm 48mm 52mm 60mm 65mm 70mm 78mm	b :=	3mm 4mm 6mm 6mm 8mm 8mm 10mm 10mm 12mm 12mm 14mm 14mm 16mm 16mm 16mm	z := 4
------	--	------	--	------	--	--------

Numarul de dimensiuni

j := 1.. 15

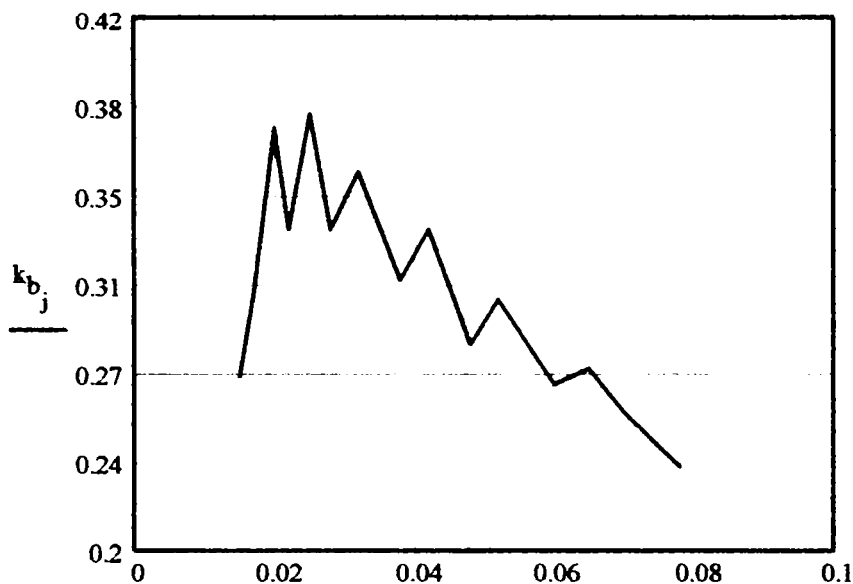
Coeficientul diametrului exterior

$$k_{D_j} := \frac{D_j}{d_j}$$



	1
1	1.364
2	1.25
3	1.222
4	1.19
5	1.167
6	1.143
7	1.188
8	1.167
9	1.143
10	1.13
11	1.154
12	1.121
13	1.129
14	1.147
15	1.147

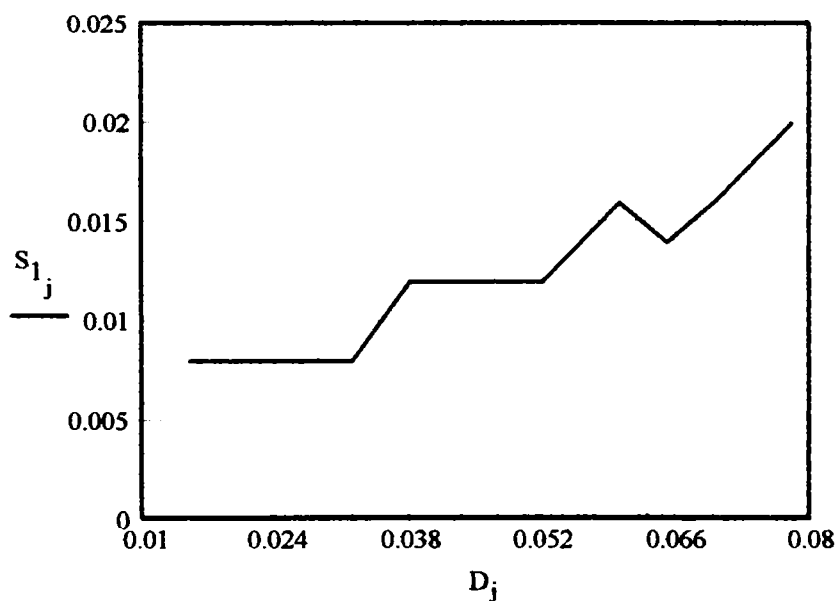
Coefficientul latimii canelurii:  $k_{b_j} := \frac{b_j}{d_j}$



	1
1	0.273
2	0.308
3	0.375
4	0.333
5	0.381
6	0.333
7	0.357
8	0.313
9	0.333
10	0.286
11	0.304
12	0.269
13	0.276
14	0.258
...	...

Suprafata portanta a flancului canelurii, pe unitatea de lungime:

$$S_{1_j} := z \cdot \left( \frac{D_j - d_j}{2} \right)$$

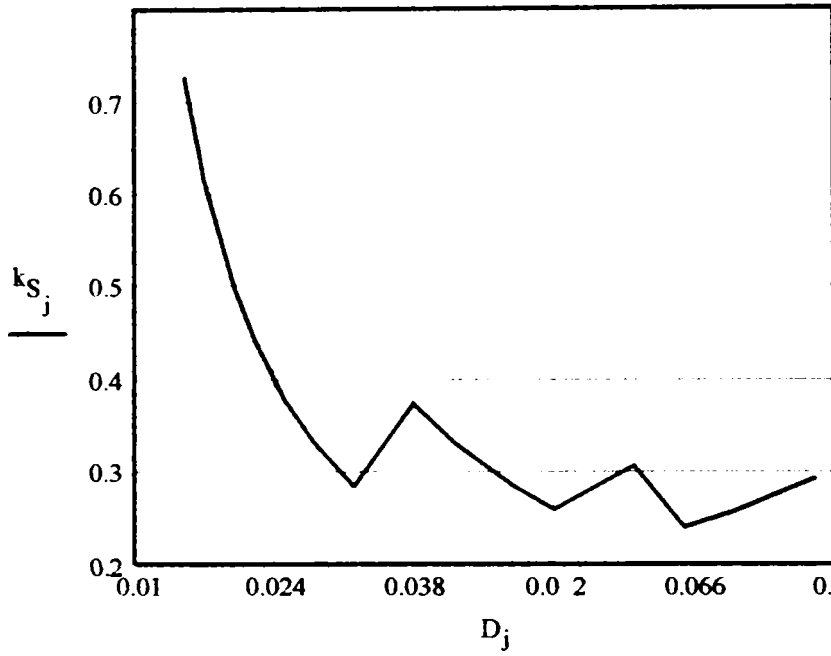


	1
1	8
2	8
3	8
4	8
5	8
6	8
7	8
8	12
9	12
10	12
11	12
12	16
13	14
14	16
15	20

mm

Coefficientul suprafetei portante a flancului canelurii pe unitatea de lungime:

$$k_{S_j} := \frac{S_{1_j}}{d_j}$$



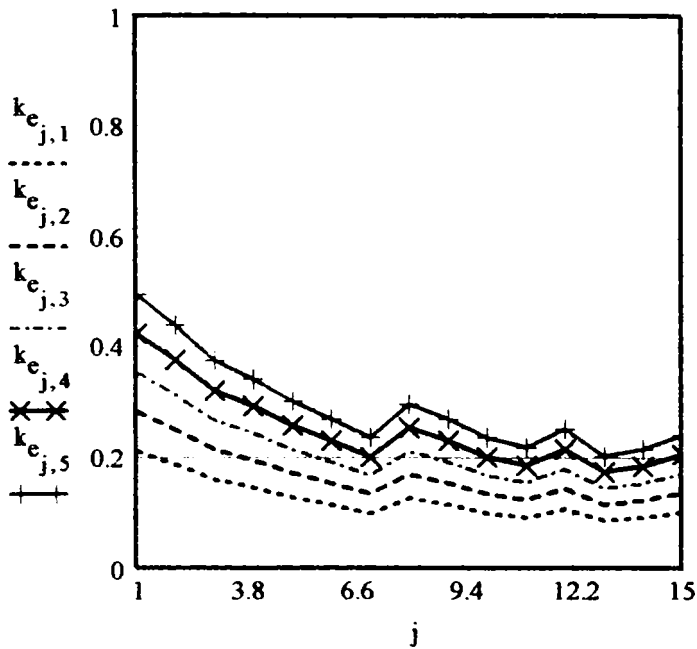
	1
1	0.727
2	0.615
3	0.5
4	0.444
5	0.381
6	0.333
7	0.286
8	0.375
9	0.333
10	0.286
11	0.261
12	0.378
13	0.241
14	0.258
15	0.294

Diametrul mediu al imbinării  $d_{m_j} := \frac{D_j + d_j}{2}$

Lungimea imbinării  $k := 1..5$   $L_{j,k} := d_j \cdot (0.5 + 0.25k)$

Tensiunea tangentiala de torsiune admisa:  $\tau_{at} := 35 \frac{N}{mm^2}$ , Presiunea admisa:  $p_a := 10 \frac{N}{mm^2}$

Coefficientul de echiportanta  $k_{e_{j,k}} := \frac{6 \cdot d_{m_j} \cdot S_{1_j} \cdot L_{j,k} \cdot p_a}{\pi \cdot (d_{m_j})^3 \cdot \tau_{at}}$



	1	2	3	4	5
1	0.213	0.284	0.355	0.426	0.497
2	0.189	0.252	0.315	0.378	0.441
3	0.162	0.216	0.269	0.323	0.377
4	0.147	0.196	0.246	0.295	0.344
5	0.13	0.173	0.217	0.26	0.303
6	0.116	0.155	0.194	0.232	0.271
7	0.102	0.136	0.17	0.204	0.238
8	0.128	0.171	0.214	0.257	0.299
9	0.116	0.155	0.194	0.232	0.271
10	0.102	0.136	0.17	0.204	0.238
11	0.094	0.125	0.157	0.188	0.22
12	0.109	0.145	0.181	0.217	0.253
13	0.088	0.117	0.146	0.176	0.205
14	0.093	0.124	0.155	0.186	0.217
15	0.104	0.139	0.174	0.209	0.244
16	0.32	0.427	0.534	0.64	0.747

**Pentru masini unelte**

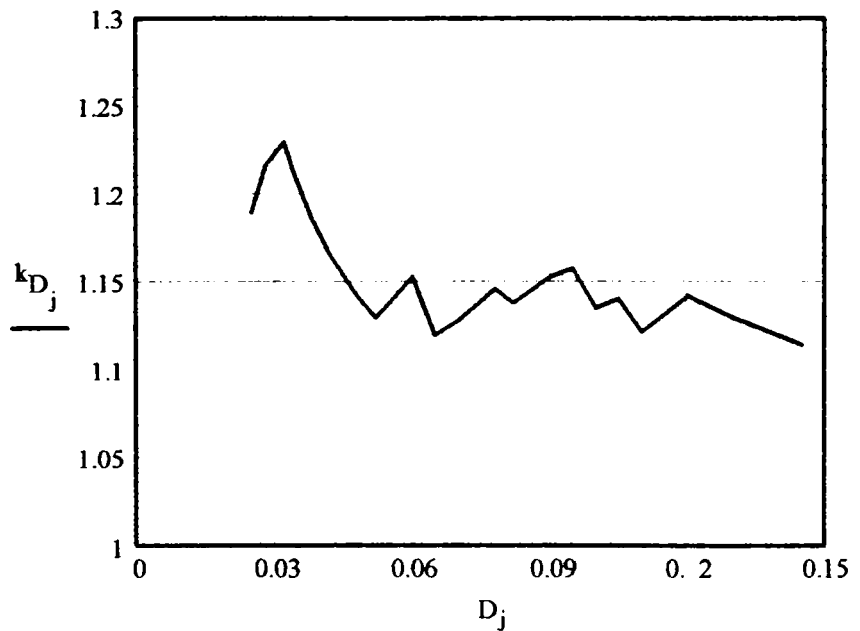
$d :=$	21mm	$D :=$	25mm	$b :=$	5mm	$z := 6$
	23mm		28mm		6mm	
	26mm		32mm		6mm	
	28mm		34mm		7mm	
	32mm		38mm		8mm	
	36mm		42mm		8mm	
	42mm		48mm		10mm	
	46mm		52mm		12mm	
	52mm		60mm		14mm	
	58mm		65mm		14mm	
	62mm		70mm		16mm	
	68mm		78mm		16mm	
	72mm		82mm		16mm	
	78mm		90mm		16mm	
	82mm		95mm		16mm	
	88mm		100mm		16mm	
	92mm		105mm		20mm	
	98mm		110mm		20mm	
	105mm		120mm		20mm	
	115mm		130mm		20mm	
	130mm		145mm		24mm	

Numarul de dimensiuni  $j := 1..21$

Coefficientul diametrului exterior

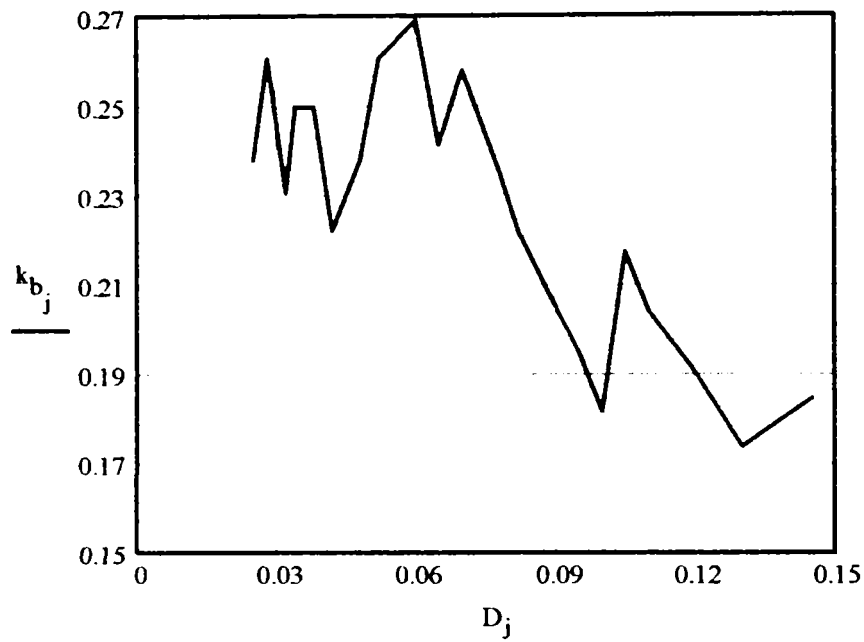
$$k_{D_j} := \frac{D_j}{d_j}$$

	1
1	1.19
2	1.217
3	1.231
4	1.214
5	1.188
6	1.167
7	1.143
8	1.13
$k_D =$	9 1.154
	10 1.121
	11 1.129
	12 1.147
	13 1.139
	14 1.154
	15 1.159
	16 1.136
	17 1.141
	18 1.122



A.1.13

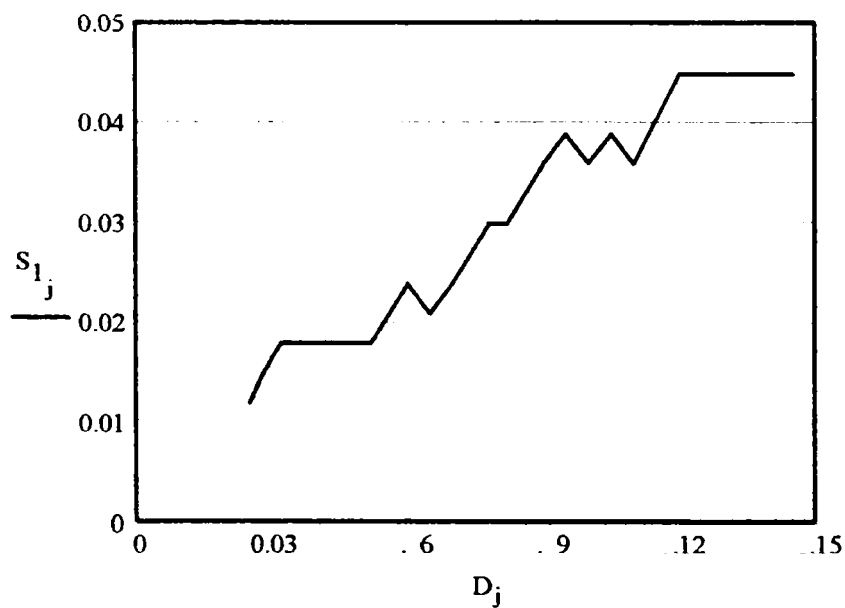
Coefficientul latimii canelurii:  $k_{b_j} := \frac{b_j}{d_j}$



	1
1	0.238
2	0.261
3	0.231
4	0.25
5	0.25
6	0.222
7	0.238
8	0.261
9	0.269
10	0.241
11	0.258
12	0.235
13	0.222
14	0.205
15	0.195
16	0.182
17	0.217
18	0.204

Suprafata portanta a flancului canelurii, pe unitatea de lungime:

$$S_{1_j} := z \cdot \left( \frac{D_j - d_j}{2} \right)$$

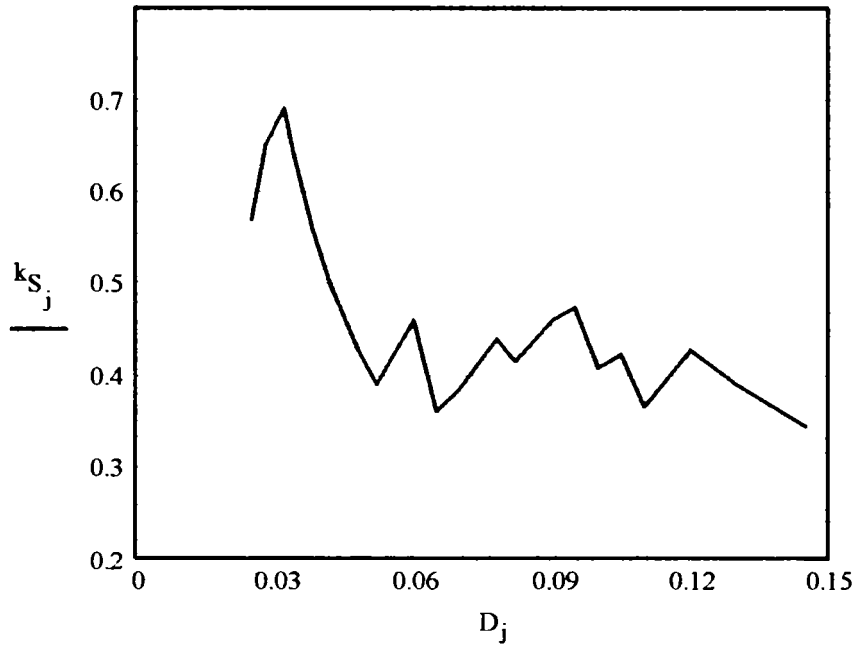


	1
1	12
2	12
3	18
4	18
5	18
6	18
7	18
8	18
9	24
10	21
11	24
12	30
13	30
14	--
15	39
16	36
17	39
18	36

mm



Coeficientul suprafetei portante a flancului canelurii pe unitatea de lungime  $k_{S_j} := \frac{S_{1_j}}{d_j}$



	1
1	0.571
2	0.652
3	0.692
4	0.643
5	0.562
6	0.5
7	0.429
8	0.391
9	0.462
10	0.362
11	0.387
12	0.441
13	0.417
14	0.462
15	0.476
16	0.49
17	0.424
18	0.367

Diametrul mediu al imbinarii:  $d_{m_j} := \frac{D_j + d_j}{2}$

Lungimea imbinarii:  $k := 1..5$   $L_{j,k} := d_j \cdot (0.5 + 0.25k)$

$p_a := 10 \frac{N}{mm^2}$

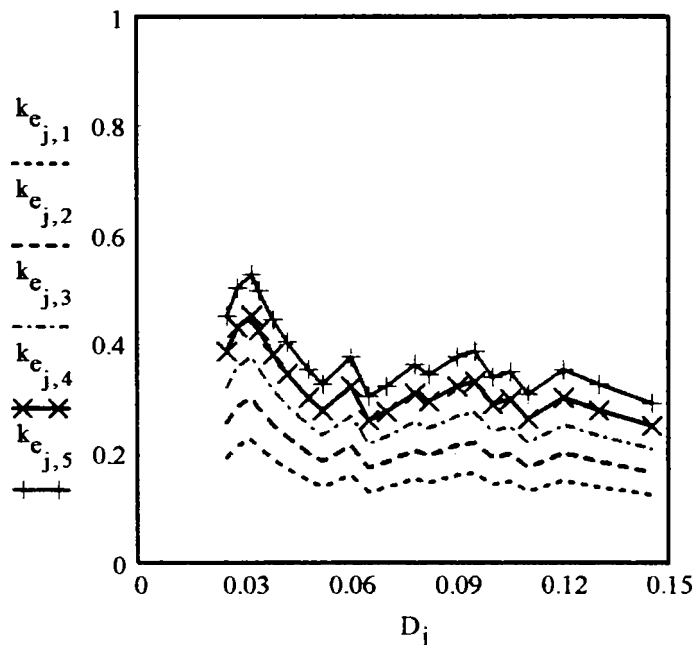
Tensiunea tangentiala de torsiune admisa:  $\tau_{at} := 35 \frac{N}{mm^2}$

Coeficientul de echiportanta

Presiunea admisa:

$$k_{e_{j,k}} := \frac{6 \cdot d_{m_j} \cdot S_{1_j} \cdot L_{j,k} \cdot p_a}{\pi \cdot (d_{m_j})^3 \cdot \tau_{at}}$$

	1	2	3	4	5
1	0.195	0.26	0.325	0.39	0.455
2	0.217	0.29	0.362	0.434	0.507
3	0.228	0.304	0.38	0.455	0.531
4	0.215	0.286	0.358	0.429	0.501
5	0.192	0.257	0.321	0.385	0.449
6	0.174	0.232	0.291	0.349	0.407
7	0.174	0.232	0.291	0.349	0.407
8	0.141	0.188	0.235	0.282	0.329
9	0.163	0.217	0.271	0.326	0.38
10	0.132	0.176	0.22	0.264	0.308
11	0.14	0.186	0.233	0.28	0.326
12	0.157	0.209	0.261	0.313	0.366
13	0.149	0.199	0.248	0.298	0.348
14	0.163	0.217	0.271	0.326	0.38
15	0.167	0.223	0.279	0.334	0.39
16	0.147	0.196	0.245	0.293	0.342
17	0.151	0.202	0.252	0.303	0.353
18	0.133	0.178	0.222	0.267	0.311



# Similitudinea canelurilor evolventice

Numarul de variante	$j := 1..26$		
Modulul danturii	$m_n := 1 \cdot \text{mm}$		
Unghiul de inclinare al danturii pe cilindrul de divizare	$\beta := 0 \text{deg}$		
Cremaliera de referinta			
Pentru profilul de referinta al arborelui	Coeficientul normal al capului de referinta	$h_{0anA} := 0.45$	
	Coeficientul normal al dintelui	$h_{0nA} := 1.1$	
	Coeficientul normal al flancarii dintelui	$f_A := 0.15$	
Pentru profilul de referinta al butucului	Coeficientul normal al capului de referinta	$h_{0anB} := 0.45$	
	Coeficientul normal al dintelui	$h_{0nB} := 1.1$	
	Coeficientul normal al flancarii dintelui	$f_b := 0.15$	
Unghiul de angrenare pe linia de divizare	$\alpha_n := 30 \text{-deg}$		
Coeficientul razei de racordare de referinta la picior	$\rho_{0f} := 0.16$		
Unghiul de presiune frontal de referinta	$\alpha_t := \text{atan}\left(\frac{\tan(\alpha_n)}{\cos(\beta)}\right)$	$\alpha_t = 30 \text{deg}$	

## Calculul geometric

1. Modulul frontal

$$m_t := \frac{m_n}{\cos(\beta)}$$

$$m_t = 1 \text{ mm}$$

Numarul de dinti

minim

$$\min(z) = 6$$

$z :=$

$D :=$  mm

maxim

$$\max(z) = 58$$

Diametrul nominal

minim

$$\min(D) = 8 \text{ mm}$$

maxim

$$\max(D) = 60 \text{ mm}$$

2. Diametrul de divizare

$$d_j := z_j \cdot m_t$$

3. Coeficientul normal al deplasarii de profil

$$x_A := \frac{D - m_t \cdot (z + 1.1)}{2}$$

4. Diametrul de varf

al arborelui

$$d_a := D - 0.2 \cdot m_t$$

al butucului

$$D_a := D - 2 \cdot m_t$$

5. Diametrul de picior

al arborelui

$$d_f := D - 2 \cdot h_{0nA} \cdot m_n$$

al butucului

$$D_f := D$$

6. Diametrul de baza

$$d_b := d \cdot \cos(\alpha_t)$$

7. Arcul de divizare frontal al dintelui

$$s_t := 2 \cdot x_A \cdot \tan(\alpha_t) + \frac{\pi}{2} \cdot m_t$$

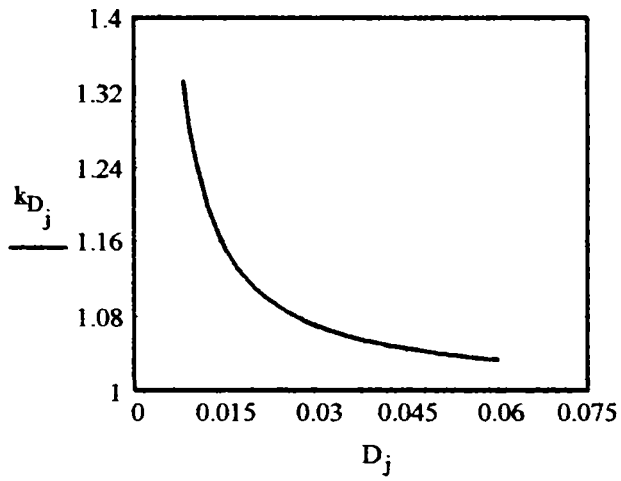
8. Arcul de divizare normal al dintelui

$$s_n := s_t \cdot \cos(\beta)$$

6	8
7	9
8	10
10	12
12	14
13	15
14	16
15	17
16	18
18	20
20	22
24	25
26	28
28	30
30	32
34	35
36	38
38	40
40	42
44	45
46	48
48	50
50	52
54	55
56	58
58	60

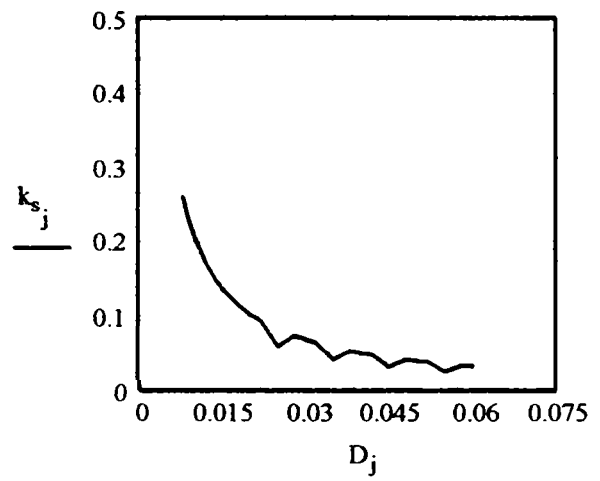
Coefficientul de diametru

$$k_{D_j} := \frac{D_j}{D_{a_j}}$$



Coefficientul de grosime a canelunii

$$k_{S_j} := \frac{s_{t_j}}{D_j}$$



	1
1	1.333
2	1.286
3	1.25
4	1.2
5	1.167
6	1.154
7	1.143
8	1.133
9	1.125
10	1.111
11	1.1
12	1.087
13	1.077
14	1.071
15	1.067
16	1.061
17	1.056
18	1.053
19	1.05
20	1.047
21	1.043
22	1.042
23	1.04
24	1.038
25	1.036
26	1.034

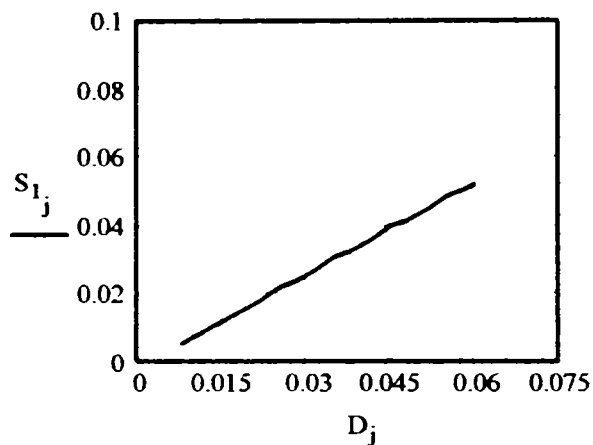
$k_D =$

	1
1	0.261
2	0.232
3	0.209
4	0.174
5	0.149
6	0.139
7	0.131
8	0.123
9	0.116
10	0.105
11	0.095
12	0.061
13	0.075
14	0.07
15	0.065
16	0.043
17	0.055
18	0.052
19	0.05
20	0.034
21	0.044
22	0.042
23	0.04
24	0.028
25	0.036
26	0.035

$k_s =$

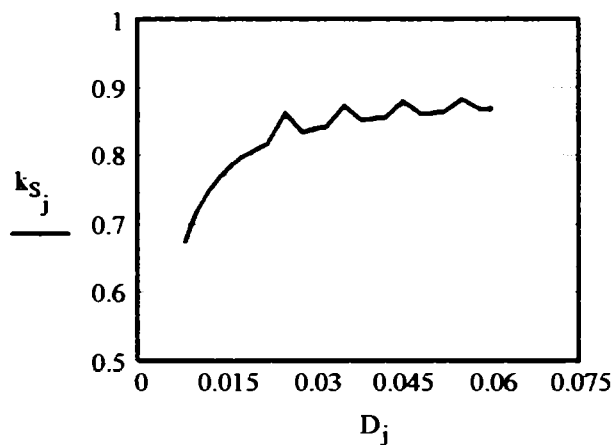
Suprafata portanta a flancului pe unitatea de lungime

$$S_{1j} := z_j \cdot \frac{d_{a_j} - D_{a_j}}{2}$$



Coeficientul suprafetei portante

$$k_{S_j} := \frac{S_{1j}}{D_j}$$



	1
1	5.4
2	6.3
3	7.2
4	9
5	10.8
6	11.7
7	12.6
8	13.5
9	14.4
10	16.2
11	18
12	21.6
13	23.4
14	25.2
15	27
16	30.6
17	32.4
18	34.2
19	36
20	39.6
21	41.4
22	43.2
23	45
24	48.6
25	50.4
26	52.2

$S_1 =$  mm

	1
1	0.675
2	0.7
3	0.72
4	0.75
5	0.771
6	0.78
7	0.788
8	0.794
9	0.8
10	0.81
11	0.818
12	0.864
13	0.836
14	0.84
15	0.844
16	0.874
17	0.853
18	0.855
19	0.857
20	0.88
21	0.863
22	0.864
23	0.865
24	0.884
25	0.869
26	0.87

$k_S =$

Lungimea relativa a butucului

$$k := 1..5$$

$$L_{j,k} := D_j \cdot (0.5 + 0.25 \cdot k)$$

Presiunea medie admisa

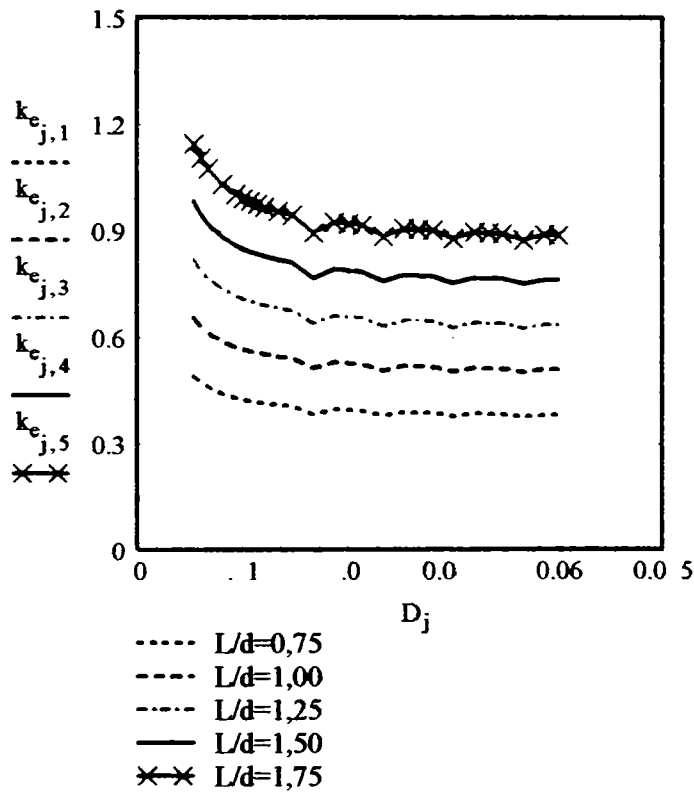
$$p_a := 10 \frac{\text{newton}}{\text{mm}^2}$$

Tensiunea tangentiala de torsiune admisa

$$\tau_{at} := 35 \frac{\text{newton}}{\text{mm}^2}$$

Coefficientul de portanta

$$k_{e,j,k} := \frac{6 \cdot S_{l_j} \cdot L_{j,k} \cdot p_a}{\pi \cdot (d_j)^2 \cdot \tau_{at}}$$



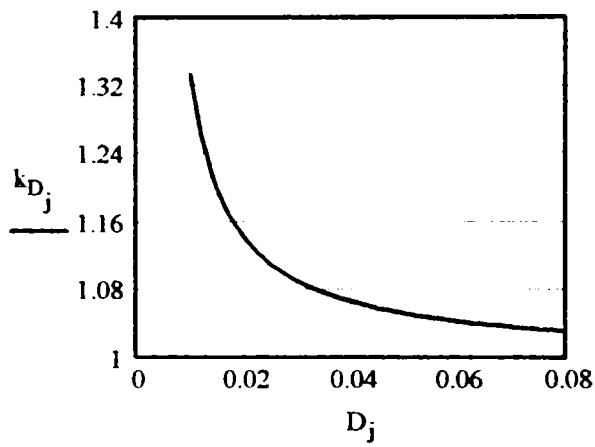
	1	2	3	4	5
1	0.49	0.65	0.82	0.98	1.15
2	0.47	0.63	0.79	0.95	1.1
3	0.46	0.61	0.77	0.92	1.07
4	0.44	0.59	0.74	0.88	1.03
5	0.43	0.57	0.72	0.86	1
6	0.42	0.57	0.71	0.85	0.99
7	0.42	0.56	0.7	0.84	0.98
8	0.42	0.56	0.7	0.83	0.97
9	0.41	0.55	0.69	0.83	0.97
10	0.41	0.55	0.68	0.82	0.95
11	0.41	0.54	0.68	0.81	0.95
12	0.38	0.51	0.64	0.77	0.9
13	0.4	0.53	0.66	0.79	0.93
14	0.39	0.53	0.66	0.79	0.92
15	0.39	0.52	0.65	0.79	0.92
16	0.38	0.51	0.63	0.76	0.88
17	0.39	0.52	0.65	0.78	0.91
18	0.39	0.52	0.65	0.78	0.9
19	0.39	0.52	0.64	0.77	0.9
20	0.38	0.5	0.63	0.75	0.88
21	0.38	0.51	0.64	0.77	0.9
22	0.38	0.51	0.64	0.77	0.9
23	0.38	0.51	0.64	0.77	0.89
24	0.38	0.5	0.63	0.75	0.88
25	0.38	0.51	0.64	0.76	0.89
26	0.38	0.51	0.64	0.76	0.89

Modulul danturii

$$m_n := 1.25 \cdot \text{mm}$$

Coefficientul de diametru

$$k_{D_j} := \frac{D_j}{D_{a_j}}$$

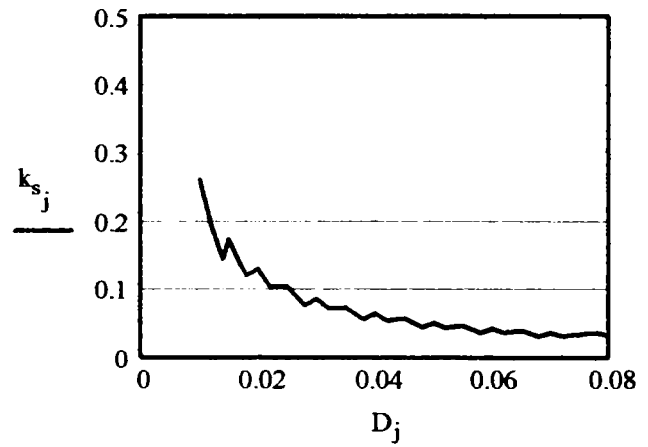


	1
1	1.33
2	1.26
3	1.22
4	1.2
5	1.19
6	1.17
7	1.16
8	1.14
9	1.13
10	1.11
11	1.1
12	1.09
13	1.08
14	1.08
15	1.07
16	1.07
17	1.06
18	1.06
19	1.05
20	1.05
21	1.05
22	1.05
23	1.05
24	1.04
25	1.04
26	1.04
27	1.04
28	1.04
29	1.04
30	1.03

$k_D =$

Coefficientul de grosime a canelurii

$$k_{s_j} := \frac{s_{t_j}}{D_j}$$

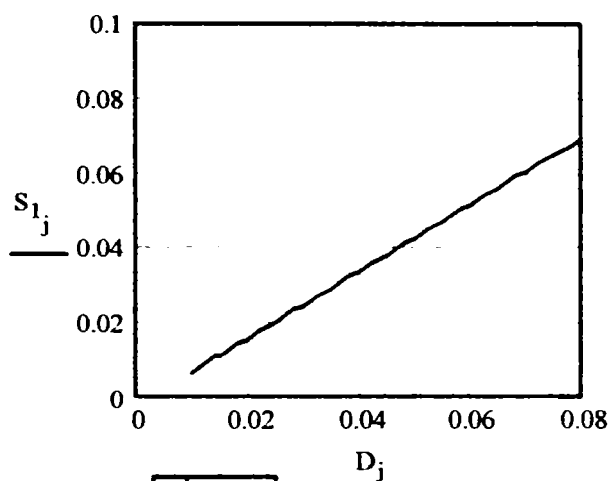


	1
1	0.26
2	0.19
3	0.15
4	0.17
5	0.15
6	0.14
7	0.12
8	0.13
9	0.11
10	0.1
11	0.08
12	0.09
13	0.07
14	0.07
15	0.06
16	0.07
17	0.06
18	0.06
19	0.05
20	0.05
21	0.04
22	0.05
23	0.04
24	0.04
25	0.04
26	0.04
27	0.03
28	0.04
29	0.03
30	0.03

$k_s =$

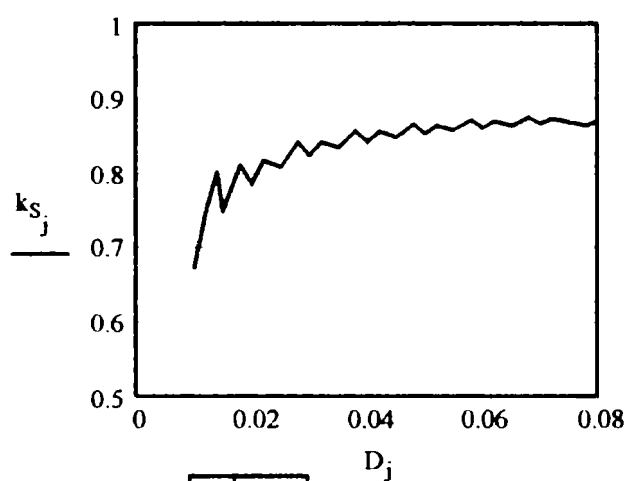
Suprafata portanta a flancului pe unitatea de lungime

$$S_{1j} := z_j \cdot \frac{d_{a_j} - D_{a_j}}{2}$$



Coefficientul suprafetei portante

$$k_{S_j} := \frac{S_{1j}}{D_j}$$



	1
1	6.75
2	9
3	11.25
4	11.25
5	12.38
6	13.5
7	14.63
8	15.75
9	18
10	20.25
11	23.62
12	24.75
13	27
14	29.25
S <sub>1</sub> = 15	32.63
16	33.75
17	36
18	38.25
19	41.63
20	42.75
21	45
22	47.25
23	50.63
24	51.75
25	54
26	56.25
27	59.63
28	60.75
29	63
30	65.25

mm

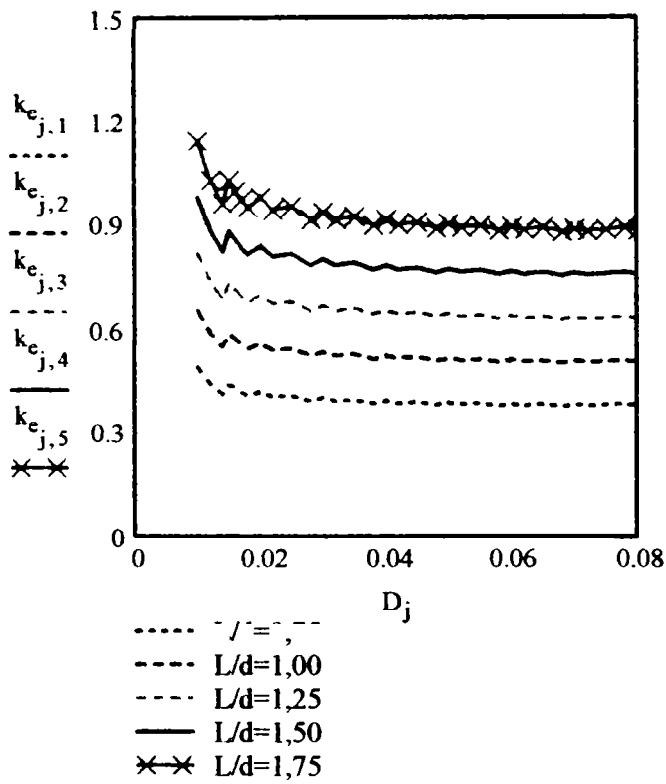
	1
1	0.68
2	0.75
3	0.8
4	0.75
5	0.77
6	0.79
7	0.81
8	0.79
9	0.82
10	0.81
11	0.84
12	0.82
13	0.84
14	0.84
k <sub>S</sub> = 15	0.86
16	0.84
17	0.86
18	0.85
19	0.87
20	0.86
21	0.87
22	0.86
23	0.87
24	0.86
25	0.87
26	0.87
27	0.88
28	0.87
29	0.88
30	0.87

Lungimea relativa a butucului  $k := 1..5$   $L_{j,k} := D_j \cdot (0.5 + 0.25 \cdot k)$

Presiunea medie admisa  $p_a := 10 \frac{\text{newton}}{\text{mm}^2}$

Tensiunea tangentiala de torsiune admisa  $\tau_{at} := 35 \frac{\text{newton}}{\text{mm}^2}$

Coeficientul de portanta  $k_{e,j,k} := \frac{6 \cdot S_{l,j} \cdot L_{j,k} \cdot p_a}{\pi \cdot (d_j)^2 \cdot \tau_{at}}$



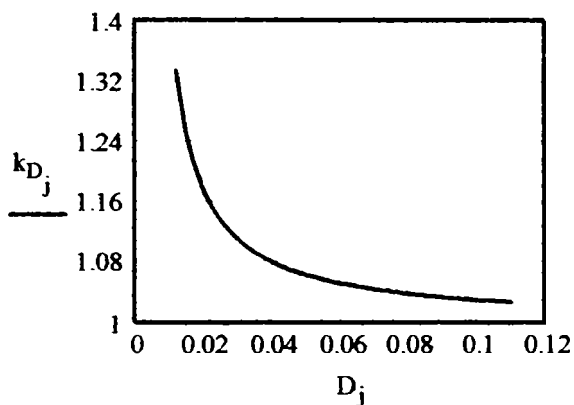
	1	2	3	4	5
1	0.44	0.61	0.82	0.98	1.15
2	0.44	0.59	0.74	0.88	1.03
3	0.41	0.55	0.69	0.83	0.96
4	0.44	0.59	0.74	0.88	1.03
5	0.43	0.57	0.71	0.86	1
6	0.42	0.56	0.7	0.83	0.97
7	0.41	0.54	0.68	0.82	0.95
8	0.42	0.56	0.7	0.84	0.98
9	0.41	0.54	0.68	0.81	0.95
10	0.41	0.55	0.68	0.82	0.95
11	0.39	0.52	0.65	0.79	0.92
12	0.4	0.54	0.67	0.8	0.94
13	0.39	0.52	0.65	0.79	0.92
14	0.4	0.53	0.66	0.79	0.93
15	0.39	0.51	0.64	0.77	0.9
16	0.39	0.52	0.65	0.79	0.92
17	0.39	0.52	0.64	0.77	0.9
18	0.39	0.52	0.65	0.78	0.91
19	0.38	0.51	0.64	0.76	0.89
20	0.39	0.52	0.65	0.78	0.9
21	0.38	0.51	0.64	0.77	0.89
22	0.39	0.51	0.64	0.77	0.9
23	0.38	0.51	0.63	0.76	0.89
24	0.38	0.51	0.64	0.77	0.9
25	0.38	0.51	0.63	0.76	0.89
26	0.38	0.51	0.64	0.77	0.89
27	0.38	0.5	0.63	0.76	0.88
28	0.38	0.51	0.64	0.76	0.89
29	0.38	0.51	0.63	0.76	0.88
30	0.38	0.51	0.64	0.76	0.89
31	0.38	0.51	0.64	0.77	0.89
32	0.38	0.51	0.63	0.76	0.89



Modulul danturii  $m_n := 1.5 \cdot \text{mm}$

Coefficientul de diametru

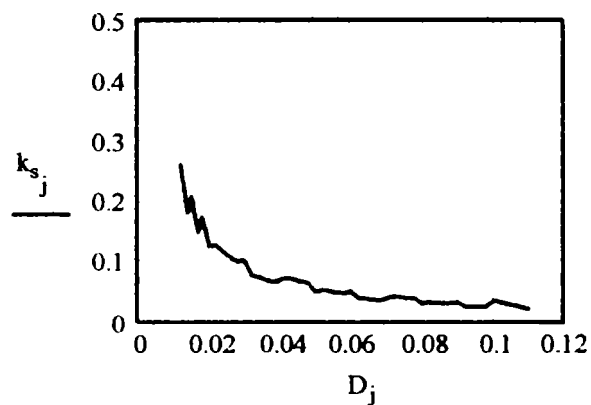
$$k_{D_j} := \frac{D_j}{D_{a_j}}$$



	1
1	1.333
2	1.273
3	1.25
4	1.231
5	1.214
6	1.2
7	1.176
8	1.158
9	1.136
10	1.12
11	1.111
12	1.103
13	1.094
14	1.086
$k_D =$	15 1.081
	16 1.077
	17 1.071
	18 1.067
	19 1.064
	20 1.061
	21 1.058
	22 1.055
	23 1.053
	24 1.051
	25 1.048
	26 1.046
	27 1.045
	28 1.043
	29 1.042
	30 1.04

Coefficientul de grosime a canelurii

$$k_{s_j} := \frac{s_{t_j}}{D_j}$$

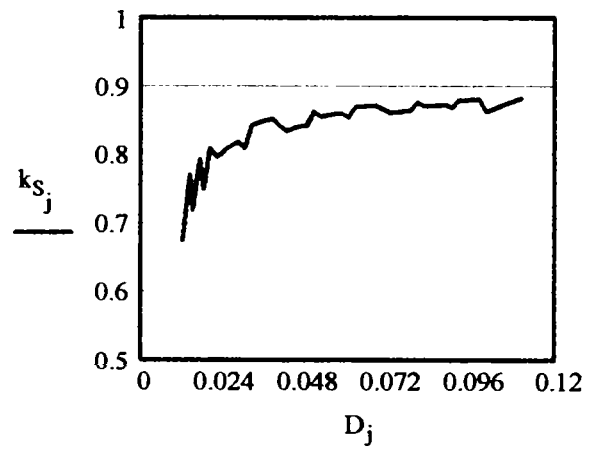
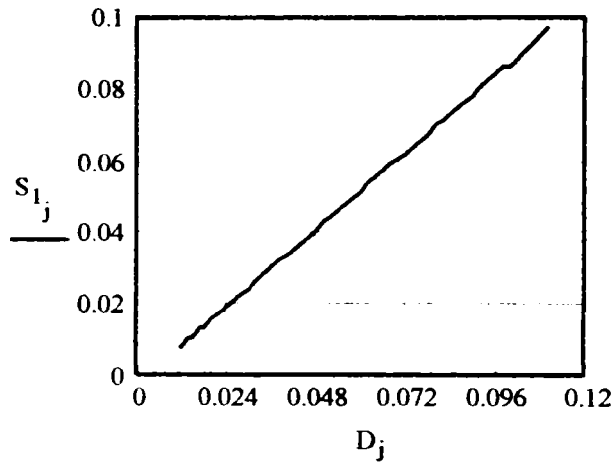


	1
1	0.261
2	0.183
3	0.209
4	0.178
5	0.15
6	0.174
7	0.128
8	0.129
9	0.114
10	0.102
11	0.105
12	0.08
13	0.073
14	0.067
$k_s =$	15 0.071
	16 0.075
	17 0.07
	18 0.065
	19 0.051
	20 0.055
	21 0.052
	22 0.049
	23 0.052
	24 0.041
	25 0.039
	26 0.038
	27 0.041
	28 0.044
	29 0.042
	30 0.04

Suprafata portanta a flancului pe unitatea de lungime Coeficientul suprafetei portante

$$S_{1j} := z_j \cdot \frac{d_{a_j} - D_{a_j}}{2}$$

$$k_{S_j} := \frac{S_{1j}}{D_j}$$



	1
1	8.1
2	10.8
3	10.8
4	12.15
5	13.5
6	13.5
7	16.2
8	17.55
9	20.25
10	22.95
11	24.3
12	27
13	29.7
14	32.4
15	33.75
16	35.1
17	37.8
18	40.5
19	43.2
20	44.55
21	47.25
22	49.95
23	51.3
24	54
25	56.7
26	59.4
27	60.75
28	62.1
29	64.8
30	67.5

$S_1 =$  mm

	1
1	0.675
2	0.771
3	0.72
4	0.759
5	0.794
6	0.75
7	0.81
8	0.798
9	0.81
10	0.82
11	0.81
12	0.844
13	0.849
14	0.853
15	0.844
16	0.836
17	0.84
18	0.844
19	0.864
20	0.857
21	0.859
22	0.861
23	0.855
24	0.871
25	0.872
26	0.874
27	0.868
28	0.863
29	0.864
30	0.865

$k_S =$

Lungimea relativa a butucului

$$k := 1..5$$

$$L_{j,k} := D_j \cdot (0.5 + 0.25 \cdot k)$$

Presiunea medie admisa

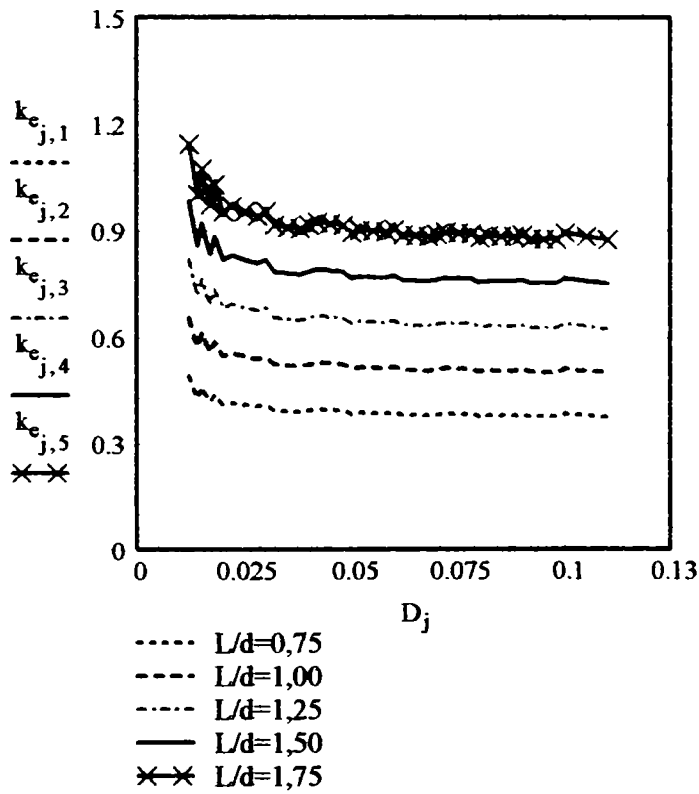
$$p_a := 10 \frac{\text{newton}}{\text{mm}^2}$$

Tensiunea tangentiala de torsiune admisa

$$\tau_{at} := 35 \frac{\text{newton}}{\text{mm}^2}$$

Coefficientul de portanta

$$k_{e,j,k} := \frac{6 \cdot S_{1j} \cdot L_{j,k} \cdot p_a}{\pi \cdot (d_j)^2 \cdot \tau_{at}}$$



				4	
1	0.49	0.65	0.82	0.98	1.15
2	0.43	0.57	0.72	0.86	1
3	0.46	0.61	0.77	0.92	1.07
4	0.44	0.58	0.73	0.87	1.02
5	0.42	0.56	0.7	0.83	0.97
6	0.44	0.59	0.74	0.88	1.03
7	0.41	0.55	0.68	0.82	0.95
8	0.42	0.55	0.69	0.83	0.97
9	0.41	0.55	0.68	0.82	0.95
10	0.4	0.54	0.67	0.81	0.94
11	0.41	0.55	0.68	0.82	0.95
12	0.39	0.52	0.65	0.79	0.92
3	0.39	0.52	0.65	0.78	0.9
14	0.39	0.52	0.65	0.78	0.91
15	0.39	0.52	0.65	0.79	0.92
16	0.4	0.53	0.66	0.79	0.93
17	0.39	0.53	0.66	0.79	0.92
18	0.39	0.52	0.65	0.79	0.92
19	0.38	0.51	0.64	0.77	0.9
20	0.39	0.52	0.64	0.77	0.9
21	0.39	0.51	0.64	0.77	0.9
22	0.38	0.51	0.64	0.77	0.9
23	0.39	0.52	0.65	0.78	0.9
24	0.38	0.51	0.63	0.76	0.89
25	0.38	0.51	0.63	0.76	0.89
26	0.38	0.51	0.63	0.76	0.89
27	0.38	0.51	0.64	0.76	0.89
28	0.38	0.51	0.64	0.77	0.9
29	0.38	0.51	0.64	0.77	0.9
30	0.38	0.51	0.64	0.77	0.89
31	0.38	0.5	0.63	0.76	0.88
32	0.38	0.51	0.63	0.76	0.89
33	0.38	0.51	0.63	0.76	0.89
34	0.38	0.51	0.63	0.76	0.88
35	0.38	0.51	0.64	0.76	0.89
36	0.38	0.5	0.63	0.75	0.88

Modulul danturii

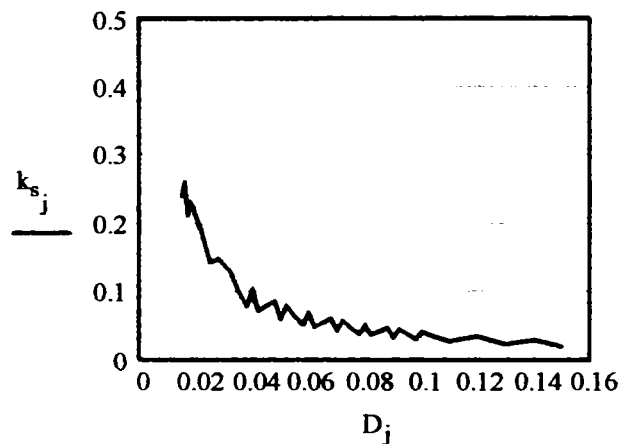
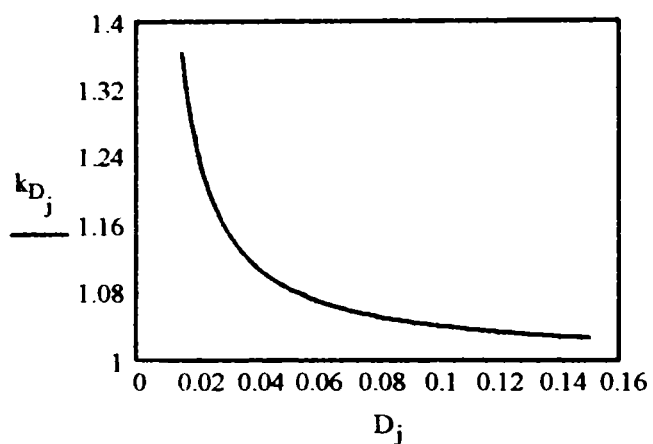
$m_n := 2\text{-mm}$

Coefficientul de diametru

Coefficientul de grosime a canelurii

$$k_{D_j} := \frac{D_j}{D_{a_j}}$$

$$k_{s_j} := \frac{s_{t_j}}{D_j}$$



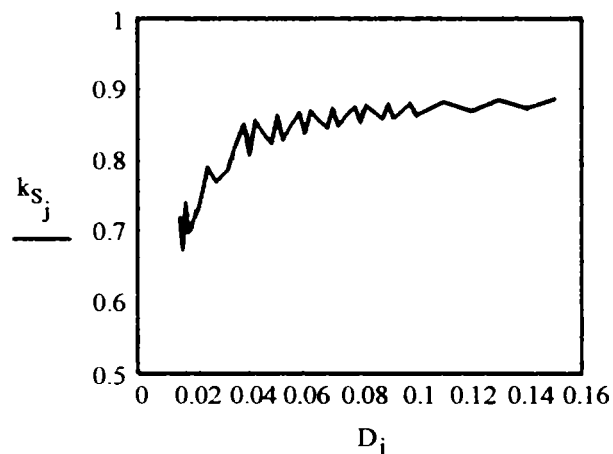
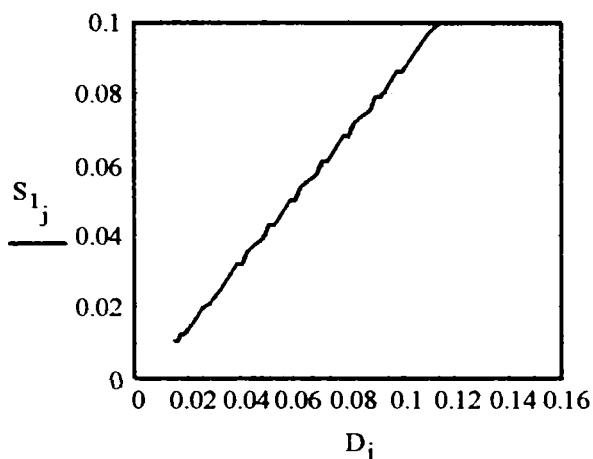
	1
1	1.364
2	1.333
3	1.308
4	1.286
5	1.25
6	1.222
7	1.19
8	1.167
9	1.154
10	1.143
11	1.129
12	1.118
13	1.111
14	1.105
$k_D =$ 15	1.098
16	1.091
17	1.087
18	1.083
19	1.078
20	1.074
21	1.071
22	1.069
23	1.066
24	1.063
25	1.061
26	1.059
27	1.056
28	1.054
29	1.053
30	1.051

	1
1	0.24
2	0.261
3	0.212
4	0.232
5	0.209
6	0.19
7	0.144
8	0.149
9	0.139
10	0.131
11	0.103
12	0.08
13	0.105
14	0.072
$k_s =$ 15	0.08
16	0.087
17	0.061
18	0.08
19	0.066
20	0.052
21	0.07
22	0.049
23	0.055
24	0.061
25	0.043
26	0.058
27	0.048
28	0.039
29	0.052
30	0.037

Suprafata portanta a flancului pe unitatea de lungime Coeficientul suprafetei portante

$$S_{1j} := z_j \cdot \frac{d_{a_j} - D_{a_j}}{2}$$

$$k_{S_j} := \frac{S_{1j}}{D_j}$$



	1
1	10.8
2	10.8
3	12.6
4	12.6
5	14.4
6	16.2
7	19.8
8	21.6
9	23.4
10	25.2
11	28.8
12	32.4
13	32.4
14	36
15	37.8
16	39.6
17	43.2
18	43.2
19	46.8
20	50.4
21	50.4
22	54
23	55.8
24	57.6
25	61.2
26	61.2
27	64.8
28	68.4
29	68.4
30	72

$S_1 =$  mm

	1
1	0.72
2	0.675
3	0.741
4	0.7
5	0.72
6	0.736
7	0.792
8	0.771
9	0.78
10	0.788
11	0.823
12	0.853
13	0.81
14	0.857
15	0.84
16	0.825
17	0.864
18	0.831
19	0.851
20	0.869
21	0.84
22	0.871
23	0.858
24	0.847
25	0.874
26	0.85
27	0.864
28	0.877
29	0.855
30	0.878

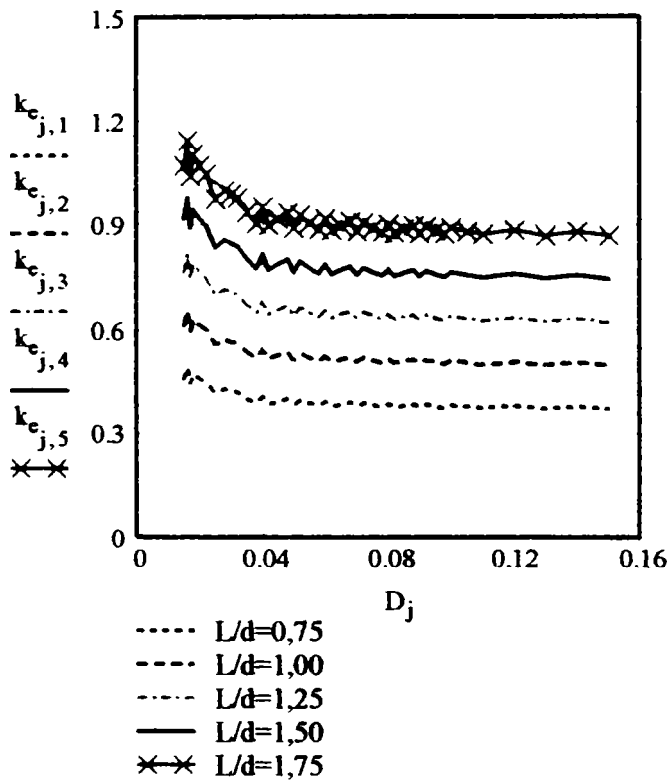
$k_S =$

Lungimea relativa a butucului  $k := 1..5$   $L_{j,k} := D_j \cdot (0.5 + 0.25 \cdot k)$

Presiunea medie admisa  $p_a := 10 \frac{\text{newton}}{\text{mm}^2}$

Tensiunea tangentiala de torsiune admisa  $\tau_{at} := 35 \frac{\text{newton}}{\text{mm}^2}$

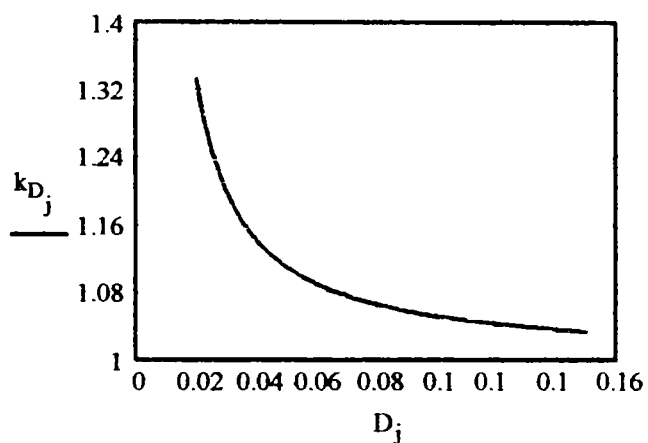
Coefficientul de portanta  $k_{e,j,k} := \frac{6 \cdot S_{1j} \cdot L_{j,k} \cdot p_a}{\pi \cdot (d_j)^2 \cdot \tau_{at}}$



	1	2	3	4	5
1	0.46	0.614	0.767	0.921	1.074
2	0.491	0.655	0.819	0.982	1.146
3	0.447	0.596	0.745	0.895	1.044
4	0.474	0.631	0.789	0.947	1.105
5	0.46	0.614	0.767	0.921	1.074
6	0.45	0.6	0.75	0.9	1.05
7	0.419	0.558	0.698	0.837	0.977
8	0.43	0.573	0.716	0.859	1.003
9	0.425	0.567	0.708	0.85	0.992
10	0.421	0.561	0.702	0.842	0.982
11	0.403	0.537	0.671	0.806	0.94
12	0.389	0.518	0.648	0.778	0.907
13	0.409	0.546	0.6...	0.79	0.955
14	0.387	0.516	0.645	0.773	0.902
15	0.395	0.526	0.658	0.789	0.921
16	0.402	0.536	0.67	0.804	0.938
17	0.384	0.512	0.639	0.767	0.895
18	0.399	0.532	0.665	0.798	0.931
19	0.39	0.519	0.649	0.779	0.909
20	0.381	0.509	0.636	0.763	0.89
21	0.395	0.526	0.658	0.789	0.921
22	0.381	0.507	0.634	0.761	0.888
23	0.386	0.515	0.644	0.772	0.901
24	0.391	0.522	0.652	0.783	0.913
25	0.379	0.506	0.632	0.758	0.885
26	0.39	0.52	0.65	0.78	0.91
27	0.384	0.512	0.639	0.767	0.895
28	0.378	0.504	0.63	0.756	0.882
29	0.388	0.517	0.646	0.775	0.905
30	0.378	0.503	0.629	0.755	0.881
31	0.382	0.509	0.636	0.764	0.891
32	0.386	0.514	0.643	0.772	0.9

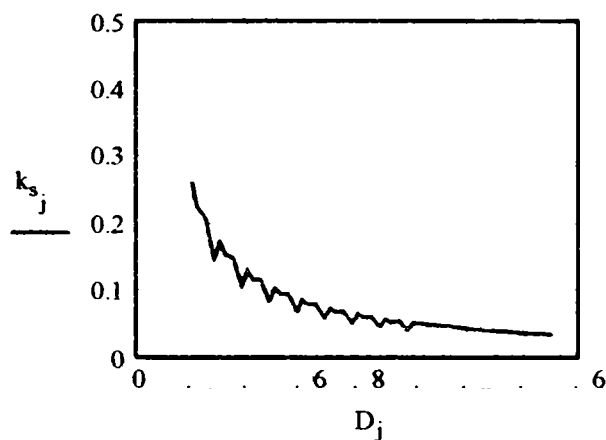
Modulul danturii  $m_n := 2.5 \cdot \text{mm}$   
 Coeficientul de diametru

$$k_{D_j} := \frac{D_j}{D_{a_j}}$$



Coeficientul de grosime a canelurii

$$k_{s_j} := \frac{s_{t_j}}{D_j}$$

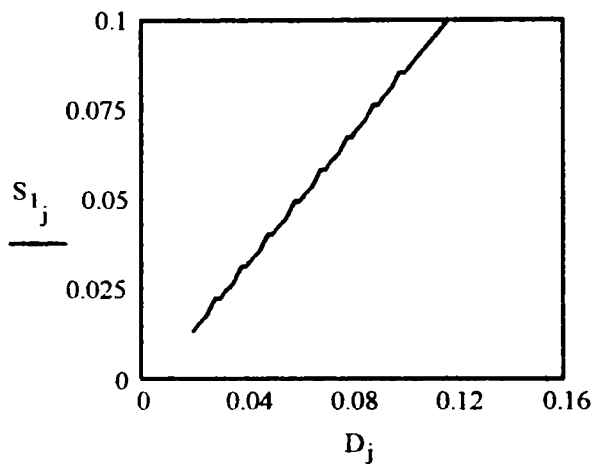


	1
1	1.333
2	1.294
3	1.25
4	1.217
5	1.2
6	1.185
7	1.167
8	1.152
9	1.143
10	1.135
11	1.125
12	1.116
13	1.111
14	1.106
15	1.1
16	1.094
17	1.091
18	1.088
19	1.083
20	1.079
21	1.077
22	1.075
23	1.071
24	1.068
25	1.067
26	1.065
27	1.063
28	1.06
29	1.059
30	1.057

	1
1	0.261
2	0.224
3	0.209
4	0.145
5	0.174
6	0.154
7	0.149
8	0.107
9	0.131
10	0.118
11	0.116
12	0.085
13	0.105
14	0.095
15	0.095
16	0.07
17	0.087
18	0.08
19	0.08
20	0.06
21	0.075
22	0.069
23	0.07
24	0.052
25	0.065
26	0.06
27	0.061
28	0.046
29	0.058
30	0.054

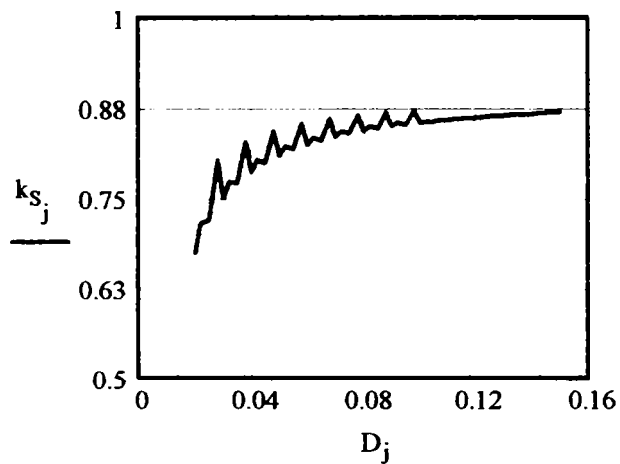
Suprafata portanta a flancului pe unitatea de lungime

$$S_{1j} := z_j \frac{d_{a_j} - D_{a_j}}{2}$$



Coefficientul suprafetei portante

$$k_{S_j} := \frac{S_{1j}}{D_j}$$



	1
1	13.5
2	15.75
3	18
4	22.5
5	22.5
6	24.75
7	27
8	31.5
9	31.5
10	33.75
11	36
12	40.5
13	40.5
14	42.75
15	45
16	49.5
17	49.5
18	51.75
19	54
20	58.5
21	58.5
22	60.75
23	63
24	67.5
25	67.5
26	69.75
27	72
28	76.5
29	76.5
30	78.75

$S_1 =$  mm

	1
1	0.675
2	0.716
3	0.72
4	0.804
5	0.75
6	0.773
7	0.771
8	0.829
9	0.787
10	0.804
11	0.8
12	0.844
13	0.81
14	0.822
15	0.818
16	0.853
17	0.825
18	0.835
19	0.831
20	0.86
21	0.836
22	0.844
23	0.84
24	0.865
25	0.844
26	0.851
27	0.847
28	0.869
29	0.85
30	0.856

$k_S =$

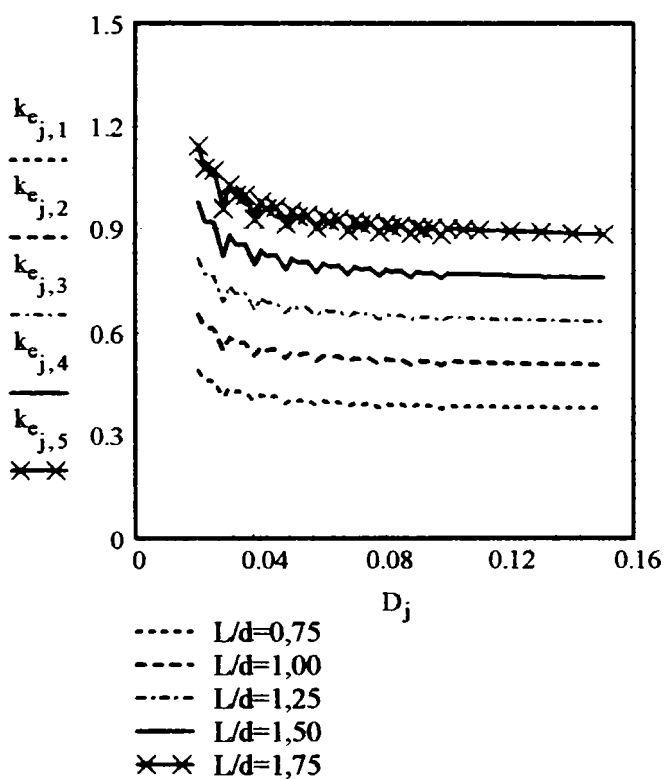


Lungimea relativa a butucului  $k := 1..5$   $L_{j,k} := D_j \cdot (0.5 + 0.25 \cdot k)$

Presiunea medie admisa  $p_a := 10 \frac{\text{newton}}{\text{mm}^2}$

Tensiunea tangentiala de torsiune admisa  $\tau_{at} := 35 \frac{\text{newton}}{\text{mm}^2}$

Coeficientul de portanta  $k_{e,j,k} := \frac{6 \cdot S_{l_j} \cdot L_{j,k} \cdot p_a}{\pi \cdot (d_j)^2 \cdot \tau_{at}}$

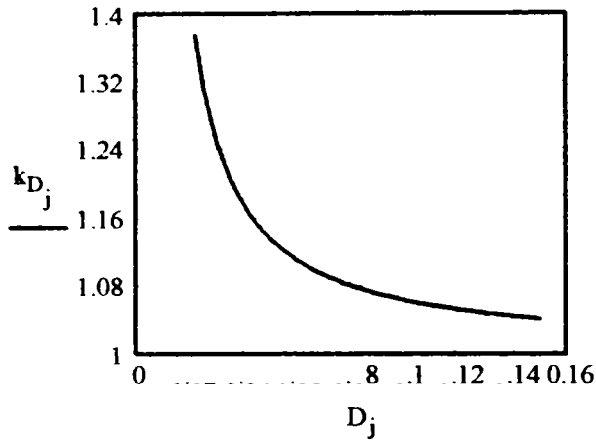


	1	2	3	4	5
1	0.491	0.655	0.819	0.982	1.146
2	0.463	0.617	0.772	0.926	1.08
3	0.46	0.614	0.767	0.921	1.074
4	0.413	0.55	0.688	0.825	0.963
5	0.442	0.589	0.737	0.884	1.031
6	0.429	0.571	0.714	0.857	1
7	0.43	0.573	0.716	0.859	1.003
8	0.4	0.533	0.667	0.8	0.933
9	0.421	0.561	0.702	0.842	0.982
10	0.413	0.55	0.688	0.825	0.963
11	0.414	0.552	0.691	0.829	0.967
12	0.393	0.524	0.655	0.786	0.917
13	0.409	0.546	0.682	0.819	0.955
14	0.403	0.538	0.672	0.806	0.941
15	0.405	0.54	0.675	0.81	0.945
16	0.388	0.518	0.647	0.777	0.906
17	0.402	0.536	0.67	0.804	0.938
18	0.397	0.53	0.662	0.794	0.927
19	0.399	0.532	0.665	0.798	0.931
20	0.385	0.514	0.642	0.771	0.899
21	0.397	0.529	0.661	0.793	0.926
22	0.393	0.524	0.655	0.786	0.917
23	0.395	0.526	0.658	0.789	0.921
24	0.383	0.511	0.638	0.766	0.894
25	0.393	0.524	0.655	0.786	0.917
26	0.39	0.52	0.65	0.779	0.909
27	0.391	0.522	0.652	0.783	0.913
28	0.381	0.508	0.636	0.763	0.89
29	0.39	0.52	0.65	0.78	0.91
30	0.387	0.516	0.645	0.775	0.904
31	0.389	0.518	0.648	0.778	0.907
32	0.38	0.507	0.633	0.76	0.887

Modulul danturii  $m_D := 3 \cdot \text{mm}$

Coefficientul de diametru

$$k_{D_j} := \frac{D_j}{D_{a_j}}$$

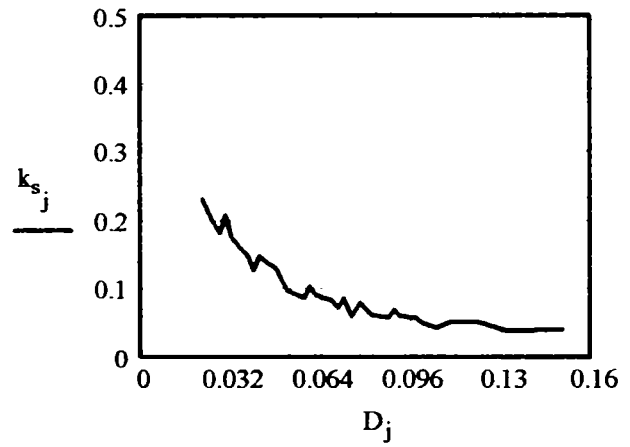


	1
1	1.375
2	1.316
3	1.273
4	1.25
5	1.231
6	1.207
7	1.188
8	1.176
9	1.167
10	1.154
11	1.143
12	1.136
13	1.13
14	1.122
15	1.115
16	1.111
17	1.107
18	1.102
19	1.097
20	1.094
21	1.091
22	1.087
23	1.083
24	1.081
25	1.079
26	1.076
27	1.073
28	1.071
29	1.07
30	1.067

$k_D =$

Coefficientul de grosime a canelurii

$$k_{s_j} := \frac{s_{t_j}}{D_j}$$

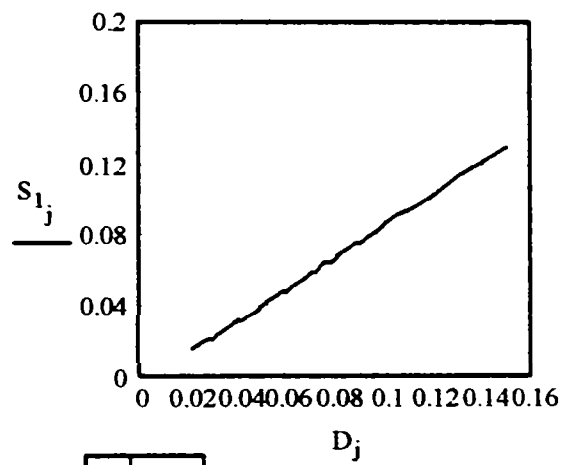


	1
1	0.233
2	0.205
3	0.183
4	0.209
5	0.178
6	0.163
7	0.15
8	0.128
9	0.149
10	0.139
11	0.131
12	0.114
13	0.098
14	0.093
15	0.088
16	0.105
17	0.092
18	0.088
19	0.084
20	0.073
21	0.087
22	0.061
23	0.08
24	0.071
25	0.062
26	0.06
27	0.058
28	0.07
29	0.062
30	0.06

$k_s =$

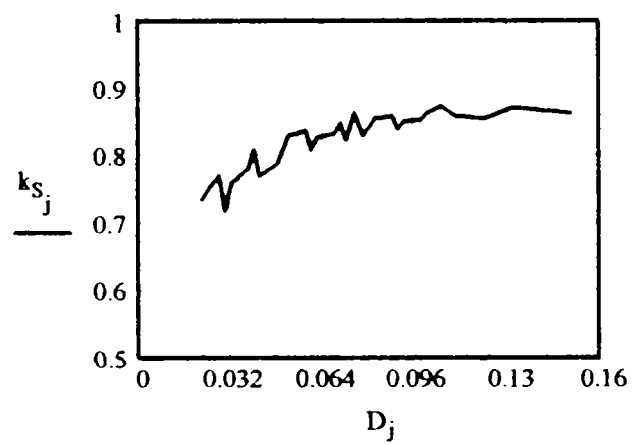
Suprafata portanta a flancului pe unitatea de lungime

$$S_{1j} := z_j \cdot \frac{d_{a_j} - D_{a_j}}{2}$$



Coefficientul suprafetei portante

$$k_{S_j} := \frac{S_{1j}}{D_j}$$



	1	
1	16.2	
2	18.9	
3	21.6	
4	21.6	
5	24.3	
6	27	
7	29.7	
8	32.4	
9	32.4	
10	35.1	
11	37.8	
12	40.5	
13	43.2	
14	45.9	
15	48.6	mm
16	48.6	
17	51.3	
18	54	
19	56.7	
20	59.4	
21	59.4	
22	64.8	
23	64.8	
24	67.5	
25	70.2	
26	72.9	
27	75.6	
28	75.6	
29	78.3	
30	81	

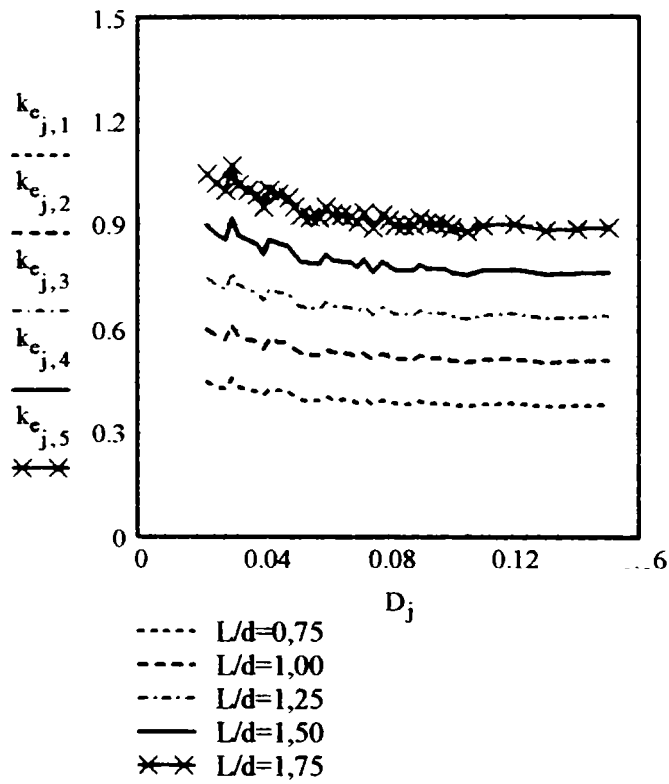
	1	
1	0.736	
2	0.756	
3	0.771	
4	0.72	
5	0.759	
6	0.771	
7	0.782	
8	0.81	
9	0.771	
10	0.78	
11	0.787	
12	0.81	
13	0.831	
14	0.835	
15	0.838	
16	0.81	
17	0.827	
18	0.831	
19	0.834	
20	0.849	
21	0.825	
22	0.864	
23	0.831	
24	0.844	
25	0.856	
26	0.858	
27	0.859	
28	0.84	
29	0.851	
30	0.853	

Lungimea relativa a butucului  $k := 1..5$   $L_{j,k} := D_j \cdot (0.5 + 0.25 \cdot k)$

Presiunea medie admisa  $p_a := 10 \frac{\text{newton}}{\text{mm}^2}$

Tensiunea tangentiala de torsiune admisa  $\tau_{at} := 35 \frac{\text{newton}}{\text{mm}^2}$

Coefficientul de portanta  $k_{e,j,k} := \frac{6 \cdot S_{1j} \cdot L_{j,k} \cdot p_a}{\pi \cdot (d_j)^2 \cdot \tau_{at}}$



	1	2	3	4	5
1	0.45	0.6	0.75	0.9	1.05
2	0.438	0.585	0.731	0.877	1.023
3	0.43	0.573	0.716	0.859	1.003
4	0.46	0.614	0.767	0.921	1.074
5	0.437	0.582	0.728	0.873	1.019
6	0.43	0.573	0.716	0.859	1.003
7	0.424	0.566	0.707	0.848	0.99
8	0.409	0.546	0.682	0.819	0.955
9	0.43	0.573	0.716	0.859	1.003
10	0.425	0.567	0.708	0.85	0.992
11	0.421	0.561	0.702	0.842	0.982
12	0.409	0.546	0.682	0.819	0.955
13	0.399	0.53	0.665	0.79	0.931
14	0.397	0.53	0.662	0.794	0.927
15	0.396	0.527	0.659	0.791	0.923
16	0.409	0.546	0.682	0.819	0.955
17	0.401	0.534	0.668	0.801	0.935
18	0.399	0.532	0.665	0.798	0.931
19	0.398	0.53	0.663	0.795	0.928
20	0.391	0.521	0.651	0.781	0.912
21	0.402	0.536	0.67	0.804	0.938
22	0.384	0.512	0.639	0.767	0.895
23	0.399	0.532	0.665	0.798	0.931
24	0.393	0.524	0.655	0.786	0.917
25	0.387	0.516	0.645	0.774	0.904
26	0.387	0.515	0.644	0.773	0.902
27	0.386	0.514	0.643	0.772	0.9
28	0.395	0.526	0.658	0.789	0.921
29	0.389	0.519	0.649	0.779	0.909
30	0.389	0.518	0.648	0.778	0.907
31	0.388	0.518	0.647	0.776	0.906
32	0.384	0.512	0.639	0.767	0.895

Coeficientul de diametru

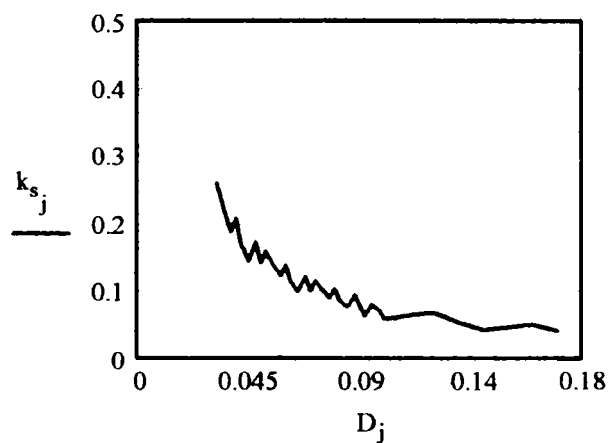
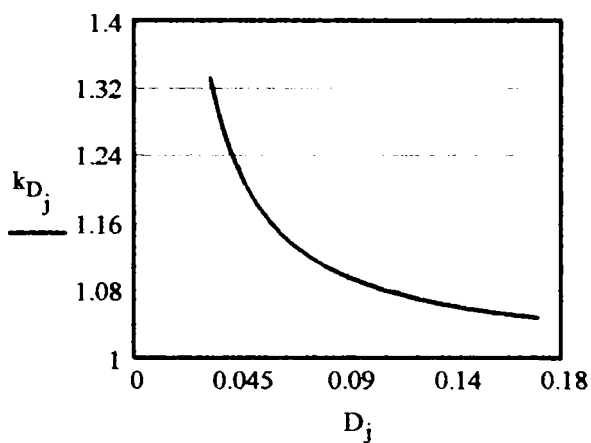
Modulul danturii

$m_n := 4\text{-mm}$

Coeficientul de grosime a canelurii

$$k_{D_j} := \frac{D_j}{D_{a_j}}$$

$$k_{s_j} := \frac{s_{t_j}}{D_j}$$



	1
1	1.333
2	1.296
3	1.267
4	1.25
5	1.235
6	1.216
7	1.2
8	1.19
9	1.182
10	1.17
11	1.16
12	1.154
13	1.148
14	1.14
15	1.133
16	1.129
17	1.125
18	1.119
19	1.114
20	1.111
21	1.108
22	1.104
23	1.1
24	1.098
25	1.095
26	1.092
27	1.089
28	1.087
29	1.082

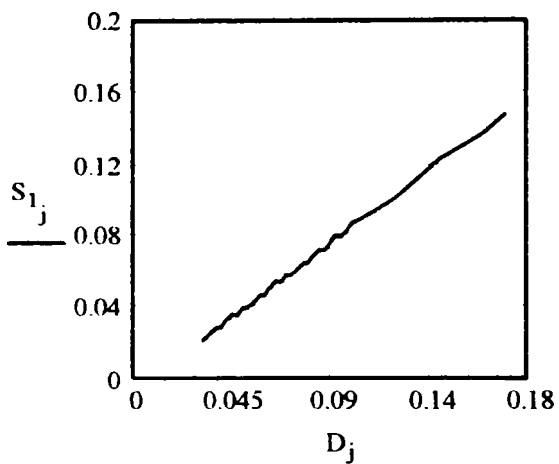
$k_D =$

	1
1	0.261
2	0.222
3	0.19
4	0.209
5	0.172
6	0.147
7	0.174
8	0.144
9	0.161
10	0.142
11	0.124
12	0.139
13	0.116
14	0.102
15	0.123
16	0.103
17	0.116
18	0.104
19	0.092
20	0.105
21	0.088
22	0.078
23	0.095
24	0.08
25	0.066
26	0.082
27	0.074
28	0.061
29	0.063

$k_s =$

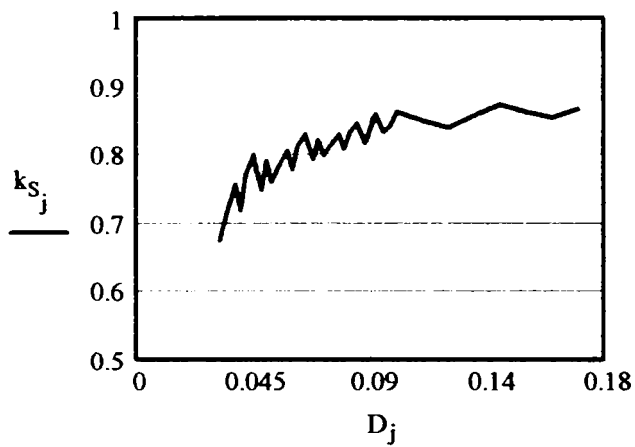
Suprafata portanta a flancului pe unitatea de lungime

$$S_{1j} := z_j \cdot \frac{d_{a_j} - D_{a_j}}{2}$$



Coeficientul suprafetei portante

$$k_{S_j} := \frac{S_{1j}}{D_j}$$



	1
1	21.6
2	25.2
3	28.8
4	28.8
5	32.4
6	36
7	36
8	39.6
9	39.6
10	43.2
11	46.8
12	46.8
13	50.4
14	54
15	54
16	57.6
17	57.6
18	61.2
19	64.8
20	64.8
21	68.4
22	72
23	72
24	75.6
25	79.2
26	79.2
27	82.8
28	86.4
29	90
30	93.6

$S_1 =$  mm

	1
1	0.675
2	0.72
3	0.758
4	0.72
5	0.771
6	0.8
7	0.75
8	0.792
9	0.762
10	0.785
11	0.807
12	0.78
13	0.813
14	0.831
15	0.794
16	0.823
17	0.8
18	0.816
19	0.831
20	0.81
21	0.834
22	0.847
23	0.818
24	0.84
25	0.861
26	0.834
27	0.845
28	0.864
29	0.857
30	0.851

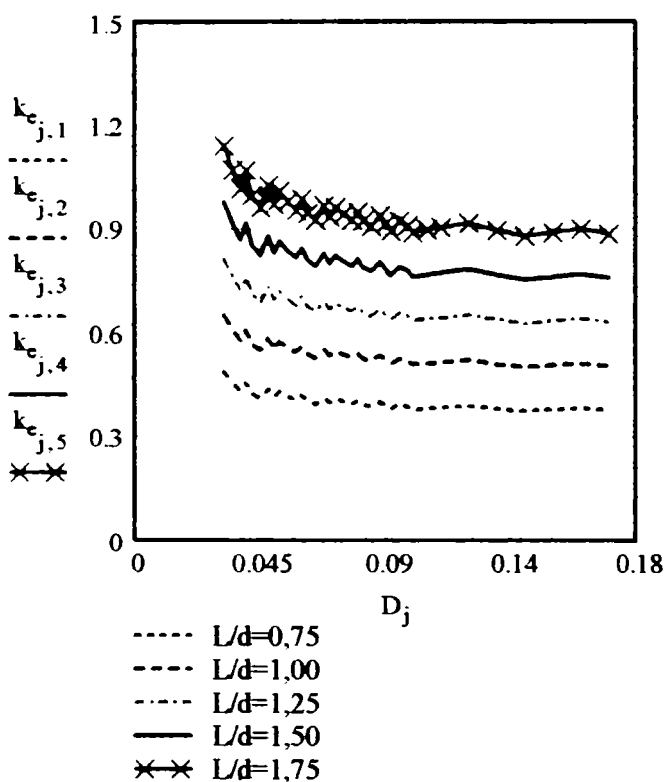
$k_S =$

Lungimea relativa a butucului  $k := 1..5$   $L_{j,k} := D_j \cdot (0.5 + 0.25 \cdot k)$

Presiunea medie admisa  $p_a := 10 \frac{\text{newton}}{\text{mm}^2}$

Tensiunea tangentiala de torsiune admisa  $\tau_{at} := 35 \frac{\text{newton}}{\text{mm}^2}$

Coefficientul de portanta  $k_{e,j,k} := \frac{6 \cdot S_{l_j} \cdot L_{j,k} \cdot p_a}{\pi \cdot (d_j)^2 \cdot \tau_{at}}$



	1	2	3	4	5
1	0.491	0.655	0.819	0.982	1.146
2	0.46	0.614	0.767	0.921	1.074
3	0.437	0.583	0.729	0.875	1.021
4	0.46	0.614	0.767	0.921	1.074
5	0.43	0.573	0.716	0.859	1.003
6	0.414	0.552	0.691	0.829	0.967
7	0.442	0.589	0.737	0.884	1.031
8	0.419	0.558	0.698	0.837	0.977
9	0.435	0.58	0.725	0.871	1.016
10	0.422	0.563	0.703	0.844	0.985
11	0.411	0.548	0.685	0.822	0.959
12	0.425	0.567	0.708	0.85	0.992
13	0.40	0.544	0.6	0.716	0.92
14	0.399	0.532	0.665	0.798	0.931
15	0.417	0.557	0.696	0.835	0.974
16	0.403	0.537	0.671	0.806	0.94
17	0.414	0.552	0.691	0.829	0.967
18	0.406	0.542	0.677	0.812	0.948
19	0.399	0.532	0.665	0.798	0.931
20	0.409	0.546	0.682	0.819	0.955
21	0.397	0.53	0.662	0.795	0.927
22	0.391	0.522	0.652	0.783	0.913
23	0.405	0.54	0.675	0.81	0.945
24	0.395	0.526	0.658	0.789	0.921
25	0.385	0.513	0.642	0.77	0.899
26	0.398	0.53	0.663	0.795	0.928
27	0.392	0.523	0.654	0.785	0.915
28	0.384	0.512	0.639	0.767	0.895
29	0.387	0.516	0.645	0.773	0.902
30	0.39	0.519	0.649	0.779	0.909
31	0.395	0.526	0.658	0.789	0.921
32	0.386	0.515	0.644	0.772	0.901

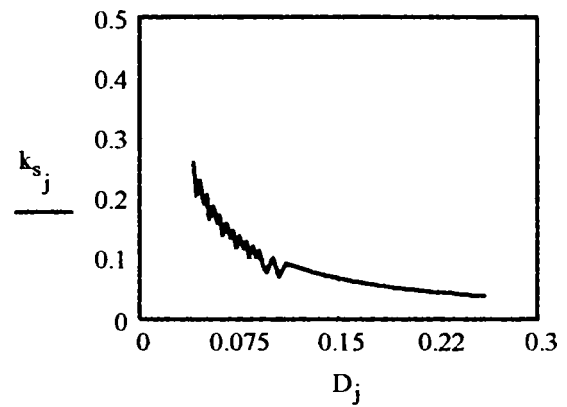
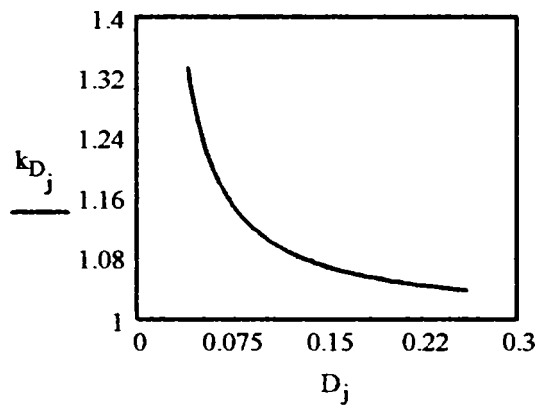
Coefficientul de diametru Modulul danturii

$m_n := 5 \text{ mm}$

Coefficientul de grosime a canelurii

$$k_{D_j} := \frac{D_j}{D_{a_j}}$$

$$k_{s_j} := \frac{s_{t_j}}{D_j}$$



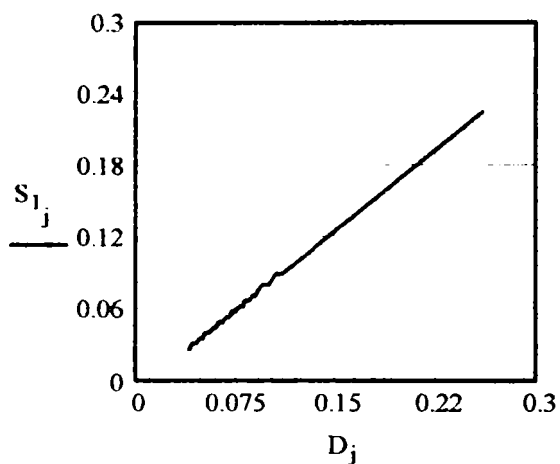
	1
1	1.333
2	1.313
3	1.286
4	1.263
5	1.25
6	1.238
7	1.222
8	1.208
9	1.2
10	1.192
11	1.182
12	1.172
13	1.167
14	1.161
15	1.154
16	1.147
17	1.143
18	1.139
19	1.133
20	1.128
21	1.125
22	1.122
23	1.118
24	1.114
25	1.111
26	1.105
27	1.1
28	1.091
29	1.083
30	1.077

	1
1	0.261
2	0.208
3	0.232
4	0.194
5	0.209
6	0.168
7	0.19
8	0.16
9	0.174
10	0.141
11	0.161
12	0.137
13	0.149
14	0.121
15	0.139
16	0.119
17	0.131
18	0.106
19	0.123
20	0.106
21	0.116
22	0.095
23	0.08
24	0.095
25	0.105
26	0.072
27	0.095
28	0.087
29	0.08
30	0.075



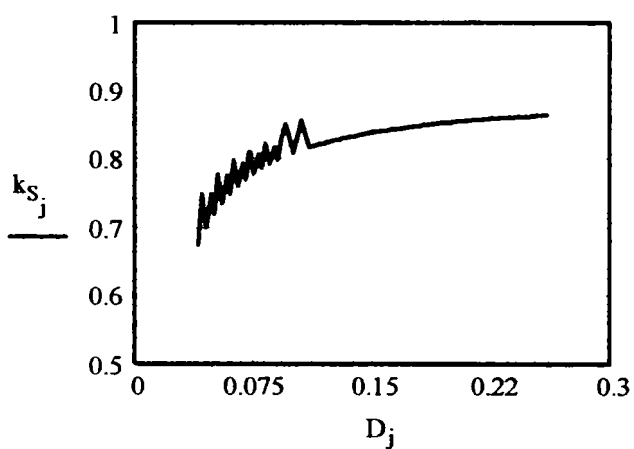
Suprafata portanta a flancului pe unitatea de lungime

$$S_{1j} := z_j \frac{d_{a_j} - D_{a_j}}{2}$$



Coefficientul suprafetei portante

$$k_{S_j} := \frac{S_{1j}}{D_j}$$



	1
1	27
2	31.5
3	31.5
4	36
5	36
6	40.5
7	40.5
8	45
9	45
10	49.5
11	49.5
12	54
13	54
14	58.5
15	58.5
16	63
17	63
18	67.5
19	67.5
20	72
21	72
22	76.5
23	81
24	81
25	81
26	90
27	90
28	99
29	108
30	117

$S_1 =$  mm

	1
1	0.675
2	0.75
3	0.7
4	0.75
5	0.72
6	0.779
7	0.736
8	0.776
9	0.75
10	0.798
11	0.762
12	0.794
13	0.771
14	0.813
15	0.78
16	0.808
17	0.787
18	0.823
19	0.794
20	0.818
21	0.8
22	0.832
23	0.853
24	0.827
25	0.81
26	0.857
27	0.818
28	0.825
29	0.831
30	0.836

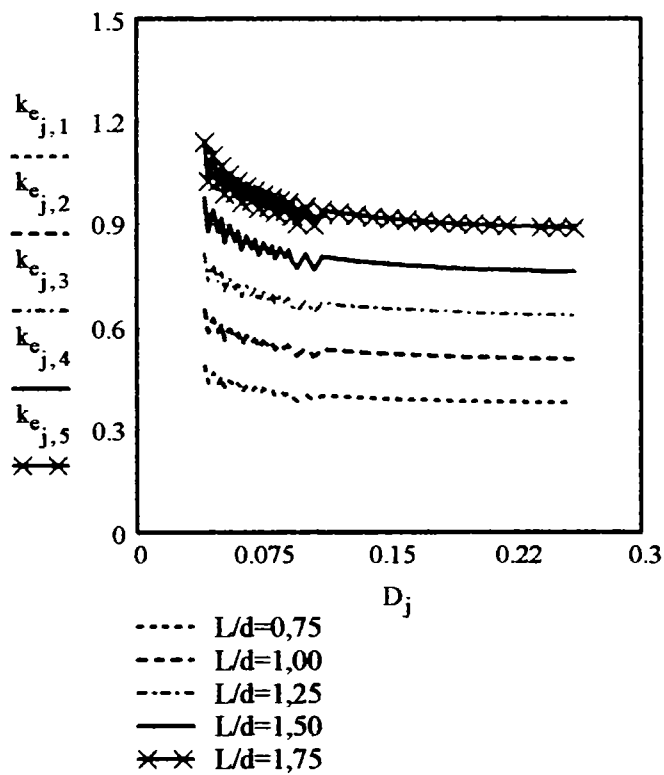
$k_S =$

Lungimea relativa a butucului  $k := 1..5$   $L_{j,k} := D_j \cdot (0.5 + 0.25 \cdot k)$

Presiunea medie admisa  $p_a := 10 \frac{\text{newton}}{\text{mm}^2}$

Tensiunea tangentiala de torsiune admisa  $\tau_{at} := 35 \frac{\text{newton}}{\text{mm}^2}$

Coeficientul de portanta  $k_{e,j,k} := \frac{6 \cdot S_{I_j} \cdot L_{j,k} \cdot p_a}{\pi \cdot (d_j)^2 \cdot \tau_{at}}$



	1	2	3	4	5
1	0.491	0.655	0.819	0.982	1.146
2	0.442	0.589	0.737	0.884	1.031
3	0.474	0.631	0.789	0.947	1.105
4	0.442	0.589	0.737	0.884	1.031
5	0.46	0.614	0.767	0.921	1.074
6	0.426	0.568	0.709	0.851	0.993
7	0.45	0.6	0.75	0.9	1.05
8	0.427	0.57	0.712	0.855	0.997
9	0.442	0.589	0.737	0.884	1.031
10	0.415	0.554	0.692	0.83	0.969
11	0.435	0.58	0.725	0.871	1.016
12	0.417	0.557	0.696	0.835	0.974
13	0.43	0.573	0.716	0.859	1.003
14	0.408	0.544	0.68	0.816	0.952
15	0.425	0.567	0.708	0.85	0.992
16	0.41	0.547	0.684	0.821	0.958
17	0.421	0.561	0.702	0.842	0.982
18	0.403	0.537	0.671	0.805	0.94
19	0.417	0.557	0.696	0.835	0.974
20	0.405	0.54	0.675	0.81	0.945
21	0.414	0.552	0.691	0.829	0.967
22	0.399	0.532	0.664	0.797	0.93
23	0.389	0.518	0.648	0.778	0.907
24	0.401	0.535	0.668	0.802	0.936
25	0.409	0.546	0.682	0.819	0.955
26	0.387	0.516	0.645	0.773	0.902
27	0.405	0.54	0.675	0.81	0.945
28	0.402	0.536	0.67	0.804	0.938
29	0.399	0.532	0.665	0.798	0.931
30	0.397	0.529	0.661	0.793	0.926
31	0.395	0.526	0.658	0.789	0.921
32	0.393	0.524	0.655	0.786	0.917

Coeficientul de diametru

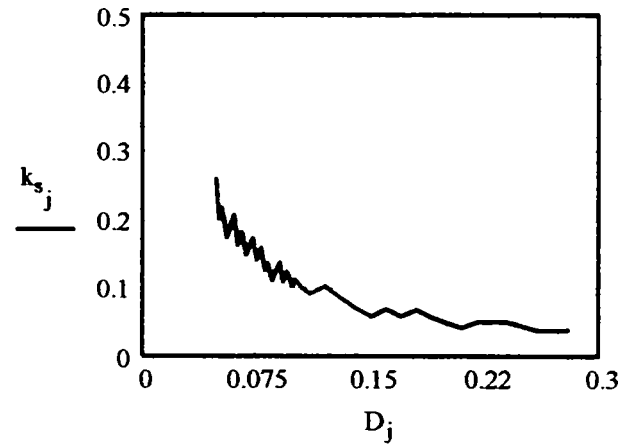
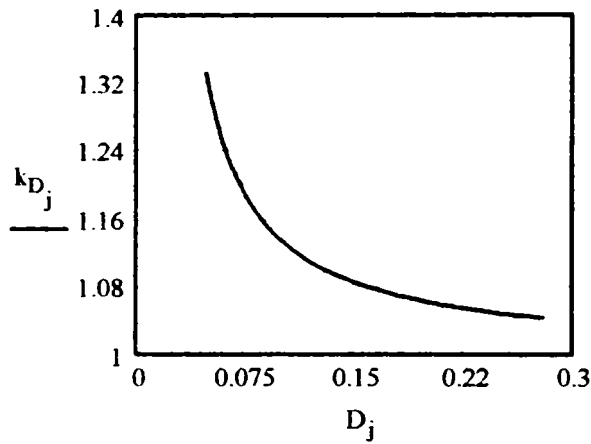
Modulul danturii

$m_n := 6 \text{ mm}$

Coeficientul de grosime a canelurii

$$k_{D_j} := \frac{D_j}{D_{a_j}}$$

$$k_{s_j} := \frac{s_{t_j}}{D_j}$$



	1
1	1.333
2	1.316
3	1.3
4	1.279
5	1.261
6	1.25
7	1.24
8	1.226
9	1.214
10	1.207
11	1.2
12	1.19
13	1.182
14	1.176
15	1.171
16	1.164
17	1.158
18	1.154
19	1.15
20	1.145
21	1.14
22	1.136
23	1.129
24	1.122
25	1.111
26	1.102
27	1.094
28	1.087
29	1.081
30	1.076

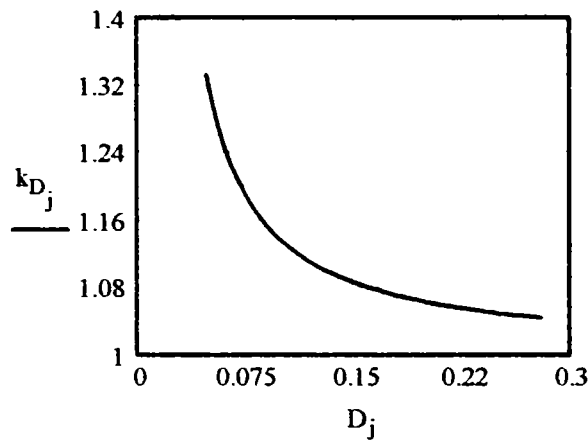
$k_D =$

	1
1	0.261
2	0.205
3	0.219
4	0.176
5	0.196
6	0.209
7	0.165
8	0.184
9	0.15
10	0.163
11	0.174
12	0.144
13	0.161
14	0.128
15	0.139
16	0.114
17	0.129
18	0.139
19	0.111
20	0.126
21	0.104
22	0.114
23	0.103
24	0.093
25	0.105
26	0.088
27	0.073
28	0.061
29	0.071
30	0.06

$k_s =$

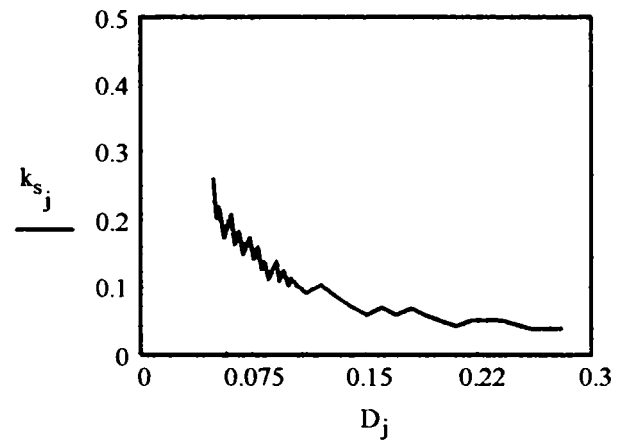
Suprafata portanta a flancului  
e unitatea de lungime

$$S_{l_j} := z_j \cdot \frac{d_{a_j} - D_{a_j}}{2}$$



Coefficientul suprafetei portante

$$k_{S_j} := \frac{S_{l_j}}{D_j}$$



	1
1	32.4
2	37.8
3	37.8
4	43.2
5	43.2
6	43.2
7	48.6
8	48.6
9	54
10	54
11	54
12	59.4
13	59.4
14	64.8
15	64.8
16	70.2
17	70.2
18	70.2
19	75.6
20	75.6
21	81
22	81
23	86.4
24	91.8
25	97.2
26	108
27	118.8
28	129.6
29	135
30	145.8

$S_l =$  mm

	1
1	1.333
2	1.316
3	1.3
4	1.279
5	1.261
6	1.25
7	1.24
8	1.226
9	1.214
10	1.207
11	1.2
12	1.19
13	1.182
14	1.176
15	1.171
16	1.164
17	1.158
18	1.154
19	1.15
20	1.145
21	1.14
22	1.136
23	1.129
24	1.122
25	1.111
26	1.102
27	1.094
28	1.087
29	1.081
30	1.076

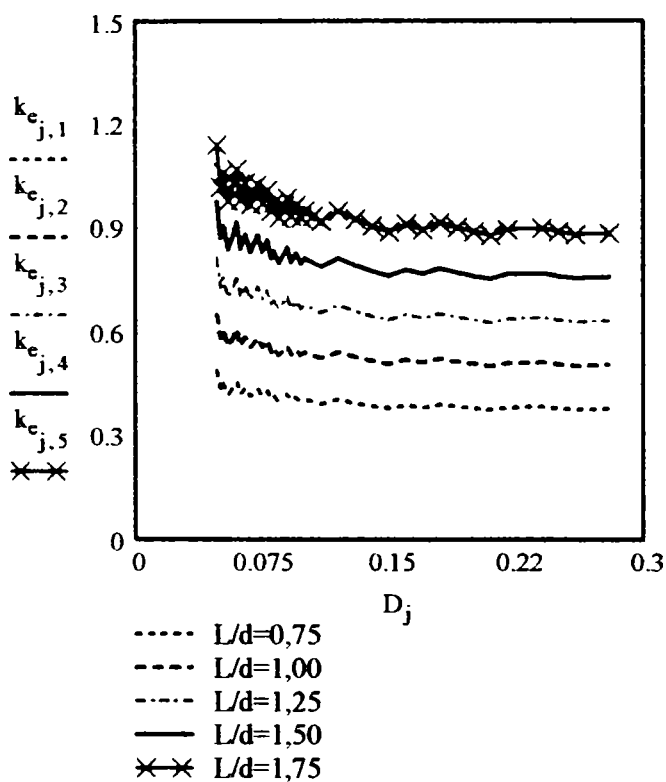
$k_D =$

Lungimea relativa a butucului  $k := 1..5$   $L_{j,k} := D_j \cdot (0.5 + 0.25 \cdot k)$

Presiunea medie admisa  $p_a := 10 \frac{\text{newton}}{\text{mm}^2}$

Tensiunea tangentiala de torsiune admisa  $\tau_{at} := 35 \frac{\text{newton}}{\text{mm}^2}$

Coeficientul de portanta  $k_{e,j,k} := \frac{6 \cdot S_{l_j} \cdot L_{j,k} \cdot p_a}{\pi \cdot (d_j)^2 \cdot \tau_{at}}$



	1	2	3	4	5
1	0.491	0.655	0.819	0.982	1.146
2	0.438	0.585	0.731	0.877	1.023
3	0.456	0.608	0.76	0.912	1.064
4	0.422	0.563	0.703	0.844	0.985
5	0.445	0.593	0.742	0.89	1.038
6	0.46	0.614	0.767	0.921	1.074
7	0.423	0.564	0.705	0.846	0.987
8	0.443	0.591	0.739	0.887	1.035
9	0.417	0.557	0.696	0.835	0.974
10	0.43	0.573	0.716	0.859	1.003
11	0.442	0.589	0.737	0.884	1.031
12	0.419	0.558	0.698	0.837	0.977
13	0.435	0.58	0.725	0.871	1.016
14	0.409	0.546	0.682	0.819	0.955
15	0.419	0.559	0.699	0.839	0.979
16	0.401	0.535	0.669	0.803	0.937
17	0.416	0.554	0.693	0.831	0.97
18	0.425	0.567	0.708	0.85	0.992
19	0.403	0.538	0.672	0.807	0.941
20	0.417	0.555	0.694	0.833	0.972
21	0.401	0.535	0.668	0.802	0.936
22	0.409	0.546	0.682	0.819	0.955
23	0.403	0.537	0.671	0.806	0.94
24	0.397	0.53	0.662	0.794	0.927
25	0.409	0.546	0.682	0.819	0.955
26	0.399	0.532	0.665	0.798	0.931
27	0.391	0.521	0.651	0.781	0.912
28	0.384	0.512	0.639	0.767	0.895
29	0.393	0.524	0.655	0.786	0.917
30	0.387	0.515	0.644	0.773	0.902
31	0.395	0.526	0.658	0.789	0.921
32	0.389	0.518	0.648	0.778	0.907

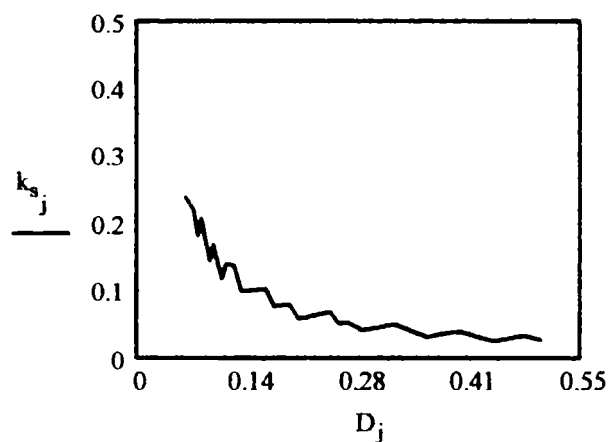
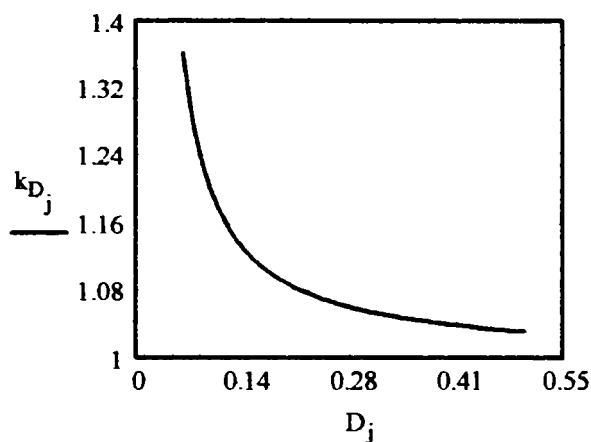
Coefficientul de diametru

Modulul danturii  $m_n := 8 \text{ mm}$

Coefficientul de grosime a canelurii

$$k_{D_j} := \frac{D_j}{D_{a_j}}$$

$$k_{s_j} := \frac{s_{t_j}}{D_j}$$



	1
1	1.364
2	1.296
3	1.271
4	1.25
5	1.232
6	1.216
7	1.203
8	1.19
9	1.18
10	1.17
11	1.154
12	1.14
13	1.129
14	1.119
15	1.111
16	1.104
17	1.098
18	1.092
19	1.087
20	1.082
21	1.078
22	1.071
23	1.068
24	1.066
25	1.061
26	1.056
27	1.053
28	1.049
29	1.047
30	1.044

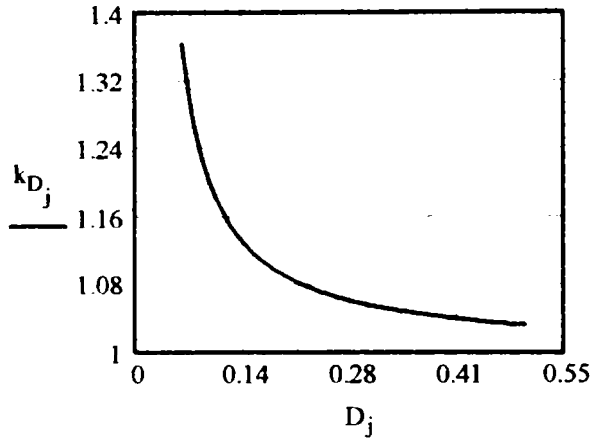
$k_D =$

	1
1	0.24
2	0.222
3	0.184
4	0.209
5	0.176
6	0.147
7	0.17
8	0.144
9	0.121
10	0.142
11	0.139
12	0.102
13	0.103
14	0.104
15	0.105
16	0.078
17	0.08
18	0.082
19	0.061
20	0.063
21	0.066
22	0.07
23	0.053
24	0.055
25	0.043
26	0.048
27	0.052
28	0.042
29	0.034
30	0.038

$k_s =$

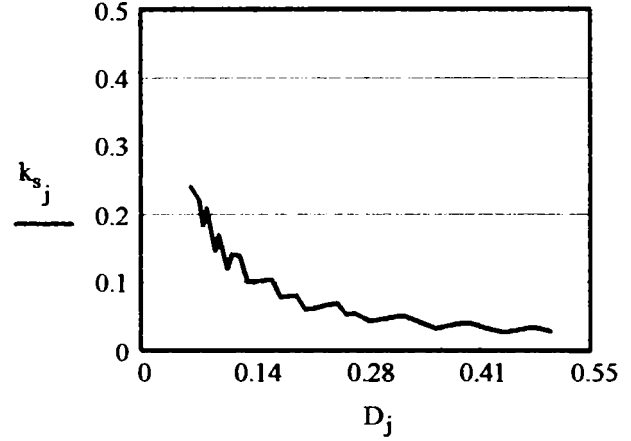
Suprafata portanta a flancului pe unitatea de lungime

$$S_{1j} := z_j \cdot \frac{d_{a_j} - D_{a_j}}{2}$$



Coefficientul de grosime a canelurii

$$k_{S_j} := \frac{S_{1j}}{D_j}$$



	1
1	43.2
2	50.4
3	57.6
4	57.6
5	64.8
6	72
7	72
8	79.2
9	86.4
10	86.4
11	93.6
12	108
13	115.2
14	122.4
15	129.6
16	144
17	151.2
18	158.4
19	172.8
20	180
21	187.2
22	201.6
23	216
24	223.2
25	244.8
26	259.2
27	273.6
28	295.2
29	316.8
30	331.2

$S_1 =$  mm

	1
1	0.24
2	0.222
3	0.184
4	0.209
5	0.176
6	0.147
7	0.17
8	0.144
9	0.121
10	0.142
11	0.139
12	0.102
13	0.103
14	0.104
15	0.105
16	0.078
17	0.08
18	0.082
19	0.061
20	0.063
21	0.066
22	0.07
23	0.053
24	0.055
25	0.043
26	0.048
27	0.052
28	0.042
29	0.034
30	0.038

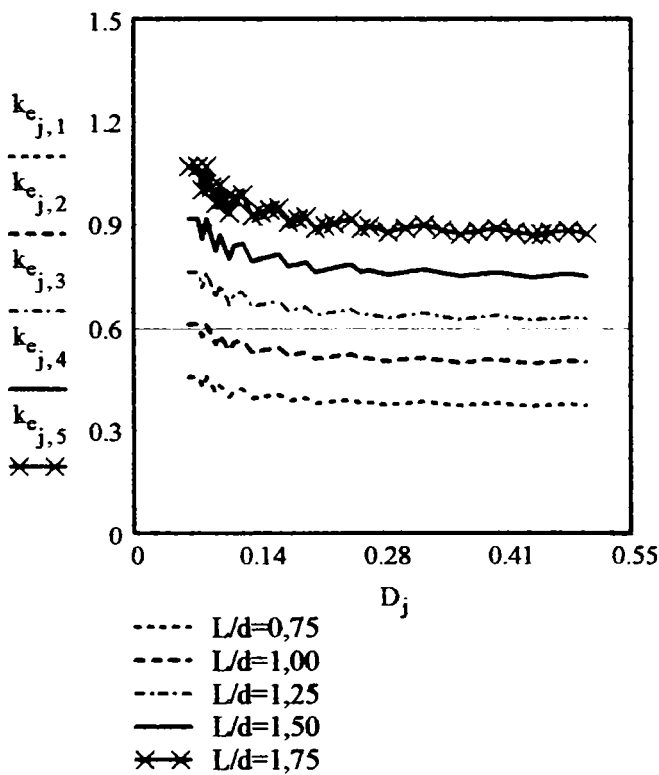
$k_s =$

Lungimea relativa a butucului  $k := 1..5$   $L_{j,k} := D_j \cdot (0.5 + 0.25 \cdot k)$

Presiunea medie admisa  $p_a := 10 \frac{\text{newton}}{\text{mm}^2}$

Tensiunea tangentiala de torsiune admisa  $\tau_{at} := 35 \frac{\text{newton}}{\text{mm}^2}$

Coeficientul de portanta  $k_{e,j,k} := \frac{6 \cdot S_{l_j} \cdot L_{j,k} \cdot p_a}{\pi \cdot (d_j)^2 \cdot \tau_{at}}$



	1	2	3	4	5
1	0.46	0.614	0.767	0.921	1.074
2	0.46	0.614	0.767	0.921	1.074
3	0.432	0.576	0.719	0.863	1.007
4	0.46	0.614	0.767	0.921	1.074
5	0.435	0.58	0.725	0.87	1.015
6	0.414	0.552	0.691	0.829	0.967
7	0.437	0.583	0.729	0.875	1.021
8	0.419	0.558	0.698	0.837	0.977
9	0.403	0.537	0.671	0.806	0.94
10	0.422	0.563	0.703	0.844	0.985
11	0.425	0.567	0.708	0.85	0.992
12	0.399	0.532	0.665	0.798	0.931
13	0.403	0.537	0.671	0.806	0.94
14	0.406	0.542	0.677	0.812	0.948
15	0.409	0.546	0.682	0.819	0.955
16	0.391	0.522	0.652	0.783	0.913
17	0.395	0.526	0.658	0.789	0.921
18	0.398	0.53	0.663	0.795	0.928
19	0.384	0.512	0.639	0.767	0.895
20	0.387	0.516	0.645	0.773	0.902
21	0.39	0.519	0.649	0.779	0.909
22	0.395	0.526	0.658	0.789	0.921
23	0.384	0.512	0.639	0.767	0.895
24	0.386	0.515	0.644	0.772	0.901
25	0.379	0.506	0.632	0.758	0.885
26	0.384	0.512	0.639	0.767	0.895
27	0.388	0.517	0.646	0.775	0.905
28	0.382	0.509	0.636	0.764	0.891
29	0.377	0.502	0.628	0.753	0.879
30	0.38	0.507	0.634	0.761	0.887
31	0.384	0.512	0.639	0.767	0.895
32	0.379	0.506	0.632	0.758	0.885

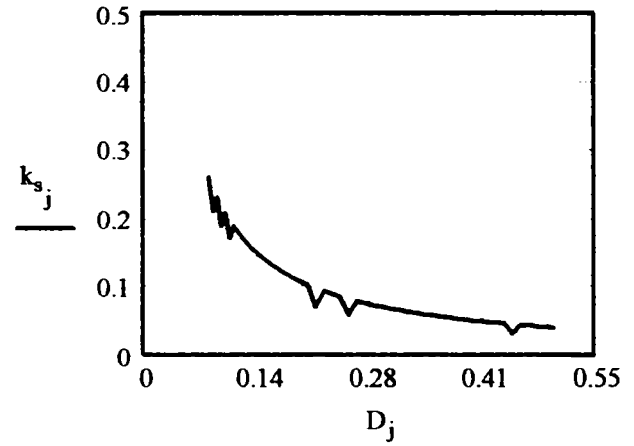
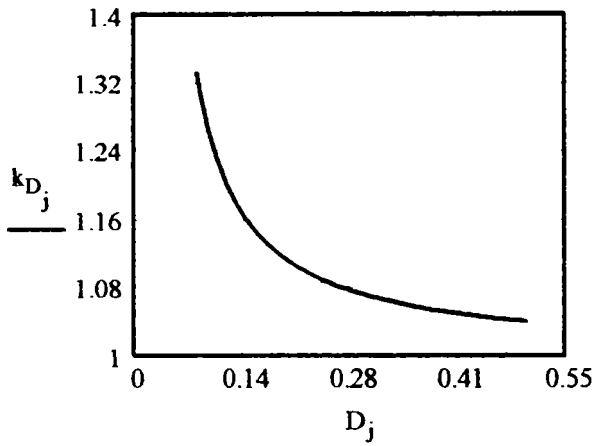


Coefficientul de diametru Modulul danturii  $m_n := 10\text{-mm}$

Coefficientul de grosime a canelurii

$$k_{D_j} := \frac{D_j}{D_{a_j}}$$

$$k_{s_j} := \frac{s_{t_j}}{D_j}$$

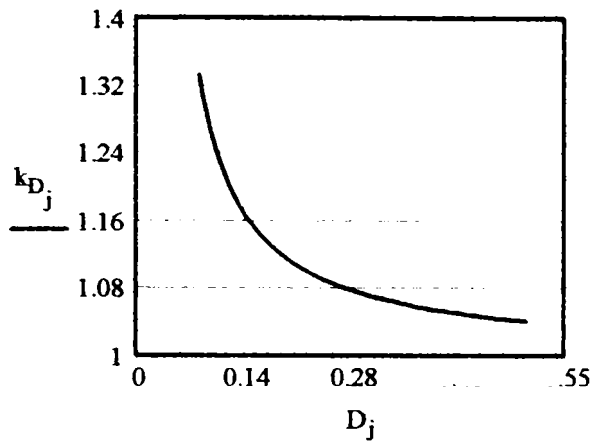


	1
1	1.333
2	1.308
3	1.286
4	1.267
5	1.25
6	1.235
7	1.222
8	1.2
9	1.182
10	1.167
11	1.154
12	1.143
13	1.133
14	1.125
$k_D =$	15 1.118
	16 1.111
	17 1.105
	18 1.1
	19 1.091
	20 1.087
	21 1.083
	22 1.077
	23 1.071
	24 1.067
	25 1.063
	26 1.059
	27 1.056
	28 1.053
	29 1.05
	30 1.048

	1
1	0.261
2	0.212
3	0.232
4	0.19
5	0.209
6	0.172
7	0.19
8	0.174
9	0.161
10	0.149
11	0.139
12	0.131
13	0.123
14	0.116
$k_s =$	15 0.11
	16 0.105
	17 0.072
	18 0.095
	19 0.087
	20 0.061
	21 0.08
	22 0.075
	23 0.07
	24 0.065
	25 0.061
	26 0.058
	27 0.055
	28 0.052
	29 0.05
	30 0.048

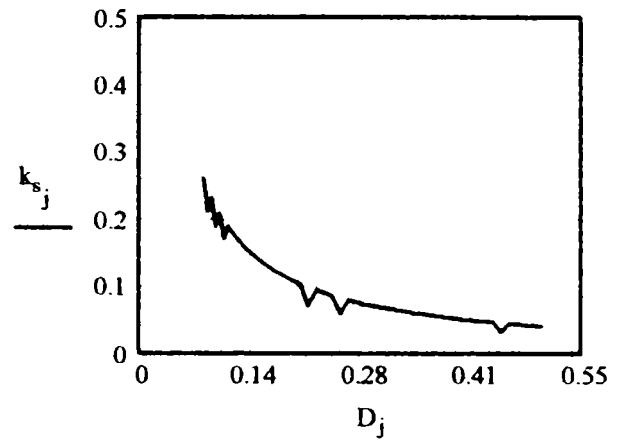
Suprafata portanta a flancului pe unitatea de lungime

$$S_{1j} := z_j \cdot \frac{d_{a_j} - D_{a_j}}{2}$$



Coefficientul suprafetei portante

$$k_{S_j} := \frac{S_{1j}}{D_j}$$



	1
1	54
2	63
3	63
4	72
5	72
6	81
7	81
8	90
9	99
10	108
11	117
12	126
13	135
14	144
$S_1 =$	15 153
	16 162
	17 180
	18 180
	19 198
	20 216
	21 216
	22 234
	23 252
	24 270
	25 288
	26 306
	27 324
	28 342
	29 360
	30 378

mm

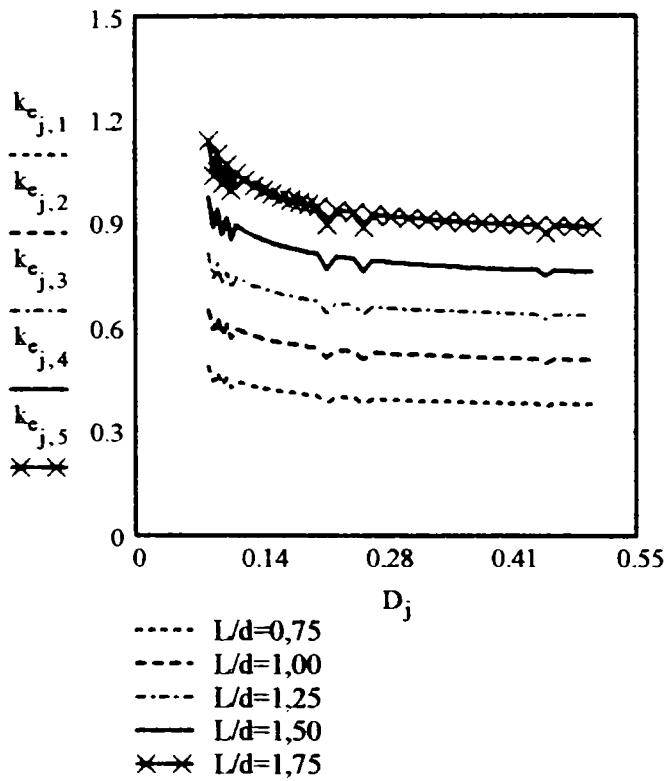
	1
1	0.675
2	0.741
3	0.7
4	0.758
5	0.72
6	0.771
7	0.736
8	0.75
9	0.762
10	0.771
11	0.78
12	0.787
13	0.794
14	0.8
$k_S =$	15 0.805
	16 0.81
	17 0.857
	18 0.818
	19 0.825
	20 0.864
	21 0.831
	22 0.836
	23 0.84
	24 0.844
	25 0.847
	26 0.85
	27 0.853
	28 0.855
	29 0.857
	30 0.859

Lungimea relativa a butucului  $k := 1..5$   $L_{j,k} := D_j \cdot (0.5 + 0.25 \cdot k)$

Presiunea medie admisa  $p_a := 10 \frac{\text{newton}}{\text{mm}^2}$

Tensiunea tangentiala de torsiune admisa  $\tau_{at} := 35 \frac{\text{newton}}{\text{mm}^2}$

Coeficientul de portanta  $k_{e,j,k} := \frac{6 \cdot S_{1j} \cdot L_{j,k} \cdot p_a}{\pi \cdot (d_j)^2 \cdot \tau_{at}}$



	1	2	3	4	5
1	0.491	0.655	0.819	0.982	1.146
2	0.447	0.596	0.745	0.895	1.044
3	0.474	0.631	0.789	0.947	1.105
4	0.437	0.583	0.729	0.875	1.021
5	0.46	0.614	0.767	0.921	1.074
6	0.43	0.573	0.716	0.859	1.003
7	0.45	0.6	0.75	0.9	1.05
8	0.442	0.589	0.737	0.884	1.031
9	0.435	0.58	0.725	0.871	1.016
10	0.43	0.573	0.716	0.859	1.003
11	0.425	0.567	0.708	0.85	0.992
12	0.421	0.561	0.702	0.842	0.982
13	0.417	0.557	0.696	0.835	0.974
14	0.414	0.55	0.691	0.829	0.967
15	0.412	0.549	0.686	0.823	0.961
16	0.409	0.546	0.682	0.819	0.955
17	0.387	0.516	0.645	0.773	0.902
18	0.405	0.54	0.675	0.81	0.945
19	0.402	0.536	0.67	0.804	0.938
20	0.384	0.512	0.639	0.767	0.895
21	0.399	0.532	0.665	0.798	0.931
22	0.397	0.529	0.661	0.793	0.926
23	0.395	0.526	0.658	0.789	0.921
24	0.393	0.524	0.655	0.786	0.917
25	0.391	0.522	0.652	0.783	0.913
26	0.39	0.52	0.65	0.78	0.91
27	0.389	0.518	0.648	0.778	0.907
28	0.388	0.517	0.646	0.775	0.905
29	0.387	0.516	0.645	0.773	0.902
30	0.386	0.514	0.643	0.772	0.9
31	0.377	0.502	0.628	0.753	0.879
32	0.385	0.513	0.642	0.77	0.899

# Similitudinea canelurilor triunghiulare

Arbori si butuci cu diametrul nominal D de la 8 la 60 mm

## Dimensiunile canelurilor

Diametrul nominal	Diametrul de divizare	Numarul de caneluri	Diametrul exterior al arborelui
8mm	7.5mm	28	8.1mm
10mm	9mm	28	10.1mm
12mm	11mm	30	12mm
14mm	13mm	31	14.2mm
16mm	15mm	32	16.2mm
17mm	16mm	32	17.2mm
20mm	18.5mm	33	20mm
24mm	22mm	34	23.9mm
25mm	23mm	34	25mm
28mm	26mm	35	28mm
30mm	28mm	35	30mm
32mm	30mm	36	32mm
34mm	32mm	36	34mm
36mm	34mm	36	36mm
40mm	38mm	37	39.9mm
44mm	42mm	38	44mm
45mm	43mm	38	45mm
50mm	47.5mm	39	50mm
55mm	52.5mm	40	54.9mm
60mm	57.5mm	42	60mm

Numarul de dimensiuni  $j := 1..20$

Unghiul canelurii din butuc  $\beta := 60\text{deg}$

Diametrul interior al arborelui	Diametrul exterior al butucului	Diametrul interior al butucului
$d_i :=$ 6.91mm	$D_e :=$ 6.9mm	$D_i :=$ 8.21mm
8.26mm	8.1mm	9.9mm
10.20mm	10.1mm	12mm
12.06mm	12mm	14.18mm
14.01mm	13.9mm	16.18mm
14.91mm	14.9mm	17.28mm
17.37mm	17.3mm	20mm
20.76mm	20.8mm	23.76mm
21.70mm	21.7mm	24.87mm
24.55mm	24.6mm	27.94mm
26.40mm	26.5mm	30.06mm
28.41mm	28.5mm	32.01mm
30.38mm	30.5mm	34.17mm
32.20mm	32.5mm	36.19mm
35.95mm	36mm	40.16mm
39.72mm	40mm	44.42mm
40.68mm	41mm	45.39mm
44.97mm	45mm	50.2mm
49.72mm	50mm	55.25mm
54.76mm	55mm	60.39mm

Unghiul canelunii din arbore

$$\gamma_j := \beta - \frac{2\pi}{z_j}$$

Pasul

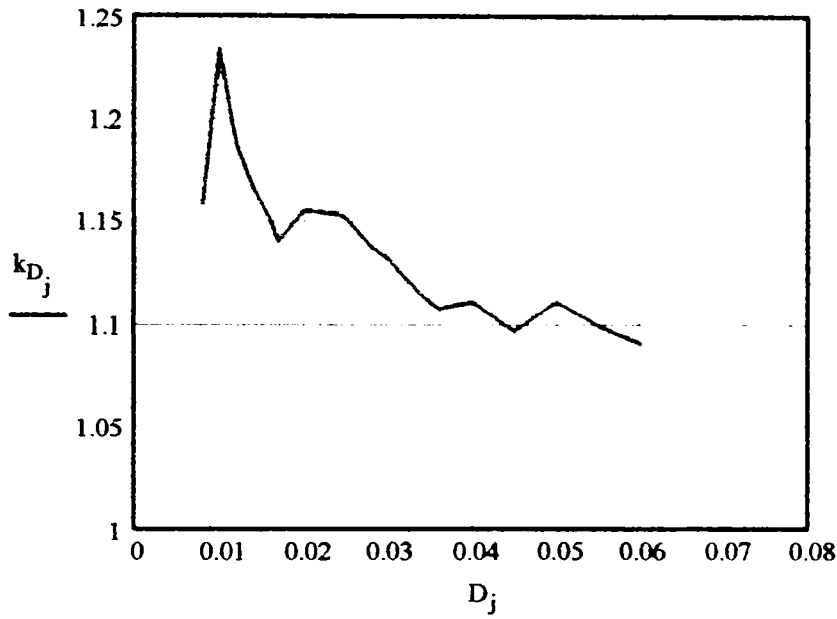
$$p_j := \frac{\pi \cdot D_{d,j}}{z_j}$$

	1	
1	47.143	$\gamma =$ deg
2	47.143	
3	48	
4	48.387	
5	48.75	
6	48.75	
7	49.091	
8	49.412	
9	49.412	
10	49.714	
11	49.714	
12	50	
13	50	
14	50	
15	50.27	
16	50.526	
17	50.526	
18	50.769	
19	51	
20	51.429	

	1	
1	0.841	$p =$ mm
2	1.01	
3	1.152	
4	1.317	
5	1.473	
6	1.571	
7	1.761	
8	2.033	
9	2.125	
10	2.334	
11	2.513	
12	2.618	
13	2.793	
14	2.967	
15	3.227	
16	3.472	
17	3.555	
18	3.826	
19	4.123	
20	4.301	

Coefficientul de diametru

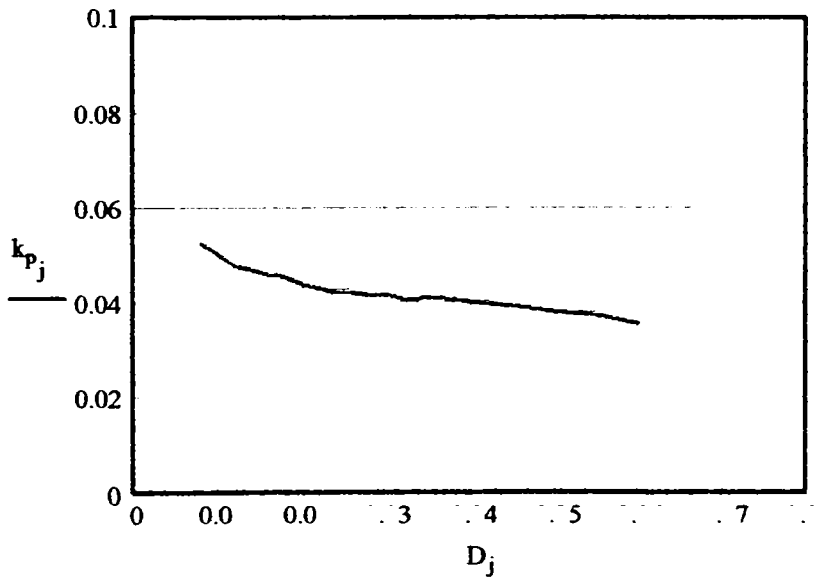
$$k_{D_j} := \frac{D_j}{D_{e_j}}$$



	1
1	1.159
2	1.235
3	1.188
4	1.167
5	1.151
6	1.144
7	1.156
8	1.154
9	1.152
10	1.138
11	1.132
12	1.123
13	1.115
14	1.108
15	1.111
16	1.1
17	1.098
18	1.111
19	1.1
20	1.091

Coefficientul grosimii dintelui

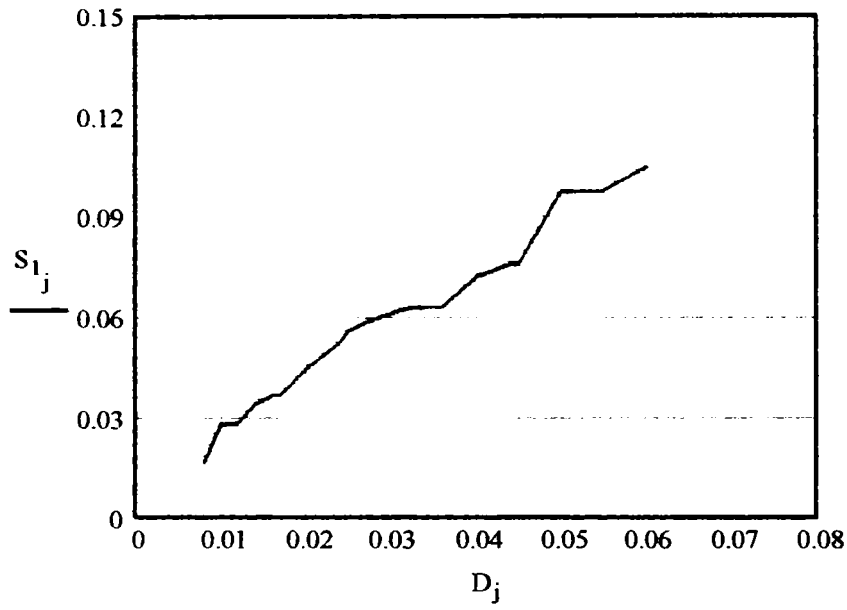
$$k_{p_j} := \frac{p_j}{2D_j}$$



	1
1	0.053
2	0.05
3	0.048
4	0.047
5	0.046
6	0.046
7	0.044
8	0.042
9	0.043
10	0.042
11	0.042
12	0.041
13	0.041
14	0.041
15	0.04
16	0.039
17	0.039
18	0.038
19	0.037
20	0.036

Suprafata portanta a flancului pe unitatea de lungime

$$S_{1j} := z_j \cdot \frac{d_{e_j} - D_{e_j}}{2}$$

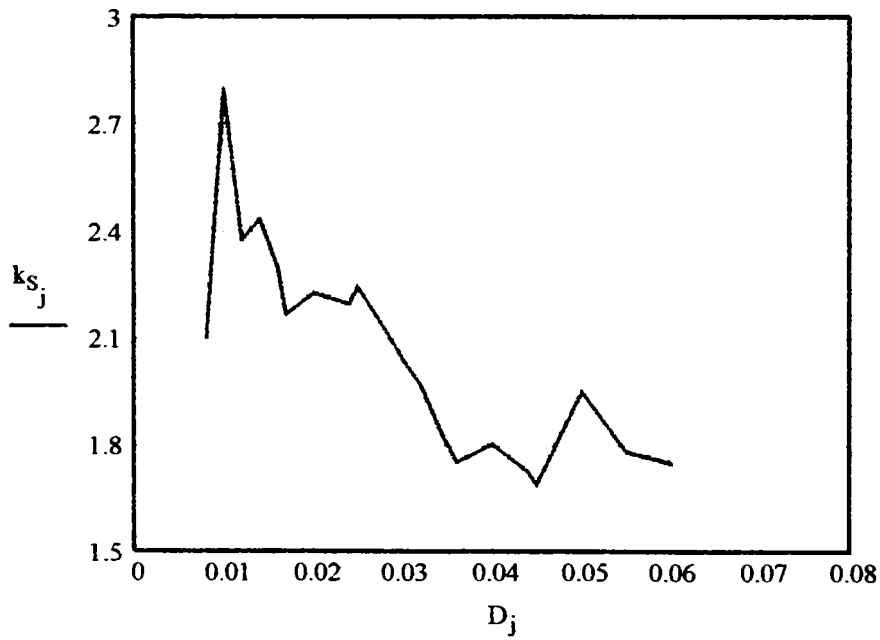


	1
1	16.8
2	28
3	2.5
4	34.1
5	36.8
6	36.8
7	44.55
8	52.7
9	56.1
10	59.5
11	61.25
12	63
13	63
14	63
15	72.15
16	76
17	76
18	97.5
19	98
20	105

$S_1 =$  mm

Coeficientul suprafetei portante

$$k_{S_j} := \frac{S_{1j}}{D_j}$$



	1
1	2.1
2	2.8
3	2.375
4	2.436
5	2.3
6	2.165
7	2.228
8	2.196
9	2.244
10	2.125
11	2.042
12	1.969
13	1.853
14	1.75
15	1.804
16	1.727
17	1.689
18	1.95
19	1.782
20	1.75

$k_S =$

Lungimea relativa a butucului  $k := 1..5$

$$L_{j,k} := D_j \cdot (0.5 + 0.25 \cdot k)$$

Presiunea medie admisa

$$p_a := 10 \frac{\text{newton}}{\text{mm}^2}$$

Tensiunea tangentiala de torsiune admisa

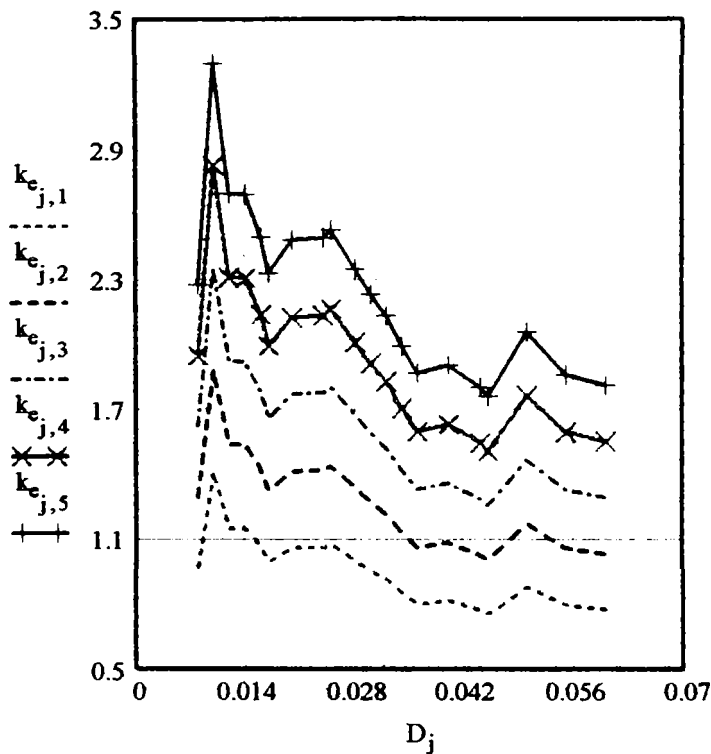
$$\tau_{at} := 35 \frac{\text{newton}}{\text{mm}^2}$$

Coefficientul de portanta

$$k_{e,j,k} := \frac{6 \cdot S_{l_j} \cdot L_{j,k} \cdot p_a}{\pi \cdot (D_{d_j})^2 \cdot \tau_{at}}$$

	1	2	3	4	5
1	0.978	1.304	1.63	1.956	2.282
2	1.415	1.886	2.358	2.829	3.301
3	1.157	1.542	1.928	2.313	2.699
4	1.156	1.541	1.927	2.312	2.698
5	1.071	1.428	1.785	2.142	2.499
6	1	1.333	1.667	2	2.334
7	1.065	1.421	1.776	2.131	2.486
8	1.069	1.426	1.782	2.139	2.495
9	1.085	1.447	1.808	2.17	2.532
10	1.009	1.345	1.681	2.017	2.353
11	0.959	1.279	1.599	1.918	2.238
12	0.917	1.222	1.528	1.833	2.139
13	0.856	1.141	1.427	1.712	1.998
14	0.803	1.071	1.338	1.606	1.874
15	0.818	1.091	1.363	1.636	1.909
16	0.776	1.034	1.293	1.552	1.81
17	0.757	1.009	1.262	1.514	1.766
18	0.884	1.179	1.474	1.769	2.063
19	0.8	1.067	1.334	1.601	1.867
20	0.78	1.04	1.3	1.56	1.82

$k_e =$



A.3.5



Arbori si butuci cu diametrul nominal D de la 65 la 120 mm

Diametrul nominal	Diametrul de divizare	Numarul de caneluri	Diametrul exterior al arborelui
65mm	61.5mm	41	1
70mm	67.5mm	45	1 65
75mm	72mm	48	2 70
80mm	76.5mm	51	3 75
85mm	82.5mm	55	4 80
90mm	87mm	58	5 85
95mm	91.5mm	61	6 90
100mm	97.5mm	65	7 95
105mm	102mm	68	8 100
110mm	106.5mm	71	9 105
115mm	112.5mm	75	10 110
120mm	117mm	78	11 115
			12 120

$D :=$        $D_d :=$        $z :=$        $d_e := D$        $d_e =$       mm

Diametrul interior al arborelui

59.6mm
64.6mm
69.6mm
74.6mm
79.6mm
84.6mm
89.6mm
94.6mm
99.6mm
104.6mm
109.6mm
114.6mm

$d_i :=$

$j := 1..12$

Diametrul exterior al butucului

1
1 60
2 65
3 70
4 75
5 80
6 85
7 90
8 95
9 100
10 105
11 110
12 115

$D_{e_j} := D_j - 5mm$        $D_e =$       mm

Diametrul interior al butucului

65.421mm
70.546mm
75.500mm
80.443mm
85.529mm
90.488mm
95.433mm
100.486mm
105.445mm
110.397mm
115.503mm
120.506mm

$D_i :=$

Unghiul canelunii din arbore

Unghiul canelunii din arbore

$$\gamma_j := \beta - \frac{2\pi}{z_j}$$

$$\beta := 60deg$$

pasul

$$p_j := \frac{\pi \cdot D_{d_j}}{z_j}$$

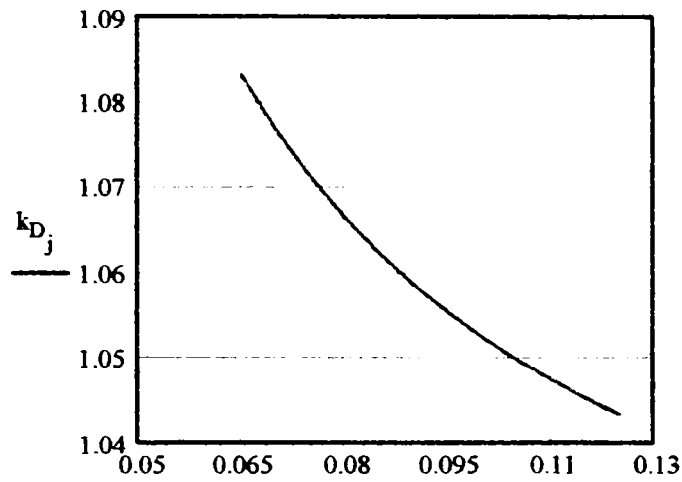
1
1 51.22
2 52
3 52.5
4 52.941
5 53.455
6 53.793
7 54.098
8 54.462
9 54.706
10 54.93
11 55.2
12 55.385

$\gamma =$       deg

1
1 4.712
2 4.712
3 4.712
4 4.712
5 4.712
6 4.712
7 4.712
8 4.712
9 4.712
10 4.712
11 4.712
12 4.712

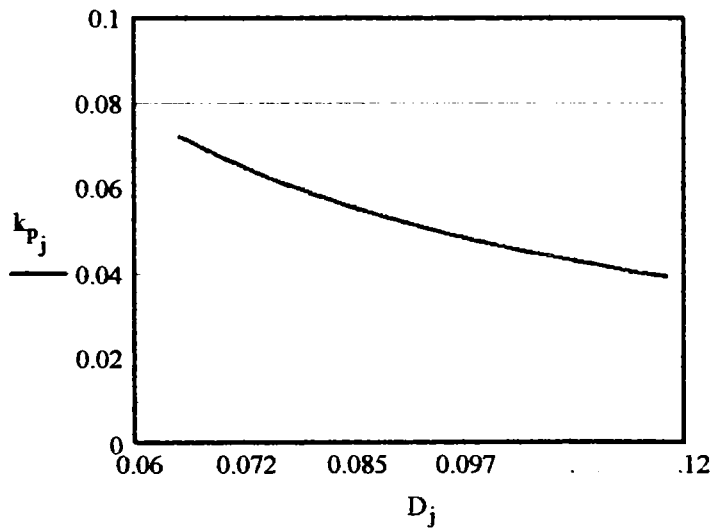
$p =$       mm

Coefficientul de diametru  $k_{D_j} := \frac{D_j}{D_{e_j}}$



	1
1	1.083
2	1.077
3	1.071
4	1.067
5	1.063
$k_D =$ 6	1.059
7	1.056
8	1.053
9	1.05
10	1.048
11	1.045
12	1.043

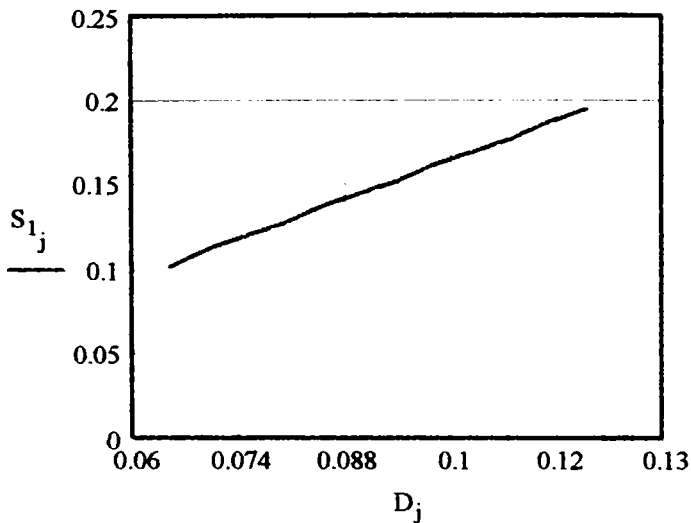
Coefficientul grosimii dintelui  $k_{p_j} := \frac{p_j}{D_j}$



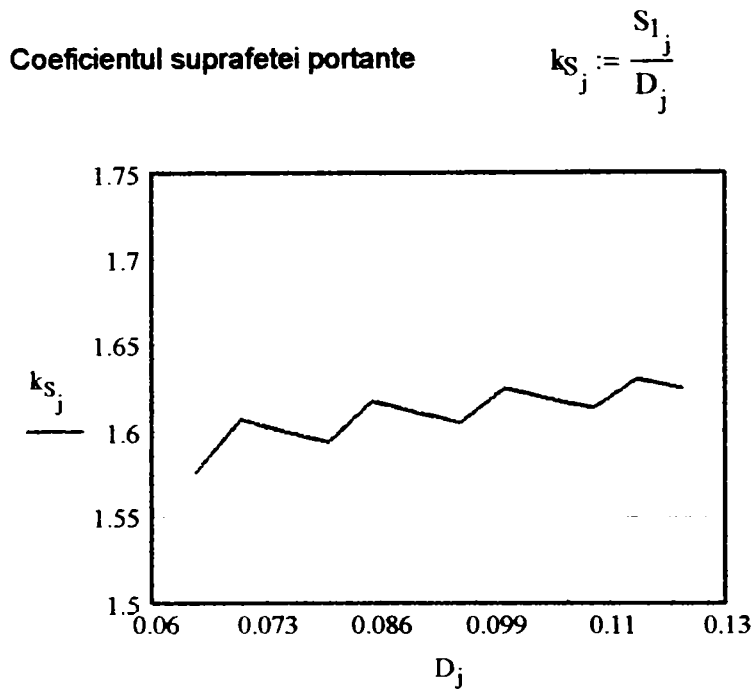
	1
1	0.072
2	0.067
3	0.063
4	0.059
5	0.055
$k_p =$ 6	0.052
7	0.05
8	0.047
9	0.045
10	0.043
11	0.041
12	0.039

Suprafata portanta a flancului pe unitatea de lungime

$$S_{1_j} := z_j \cdot \frac{d_{e_j} - D_{e_j}}{2}$$



	1
1	102.5
2	112.5
3	120
4	127.5
5	137.5
$S_1 =$ 6	145 mm
7	152.5
8	162.5
9	170
10	177.5
11	187.5
12	195



	1
1	1.577
2	1.607
3	1.6
4	1.594
5	1.618
6	1.611
7	1.605
8	1.625
9	1.619
10	1.614
11	1.63
12	1.625

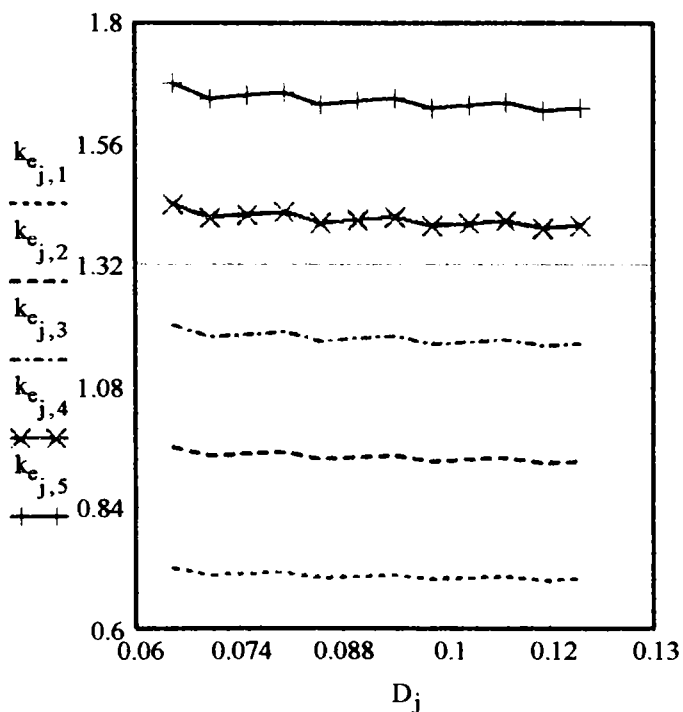
Lungimea relativa a butucului  $k := 1..5$   $L_{j,k} := D_j \cdot (0.5 + 0.25 \cdot k)$

Presiunea medie admisa  $p_a := 10 \frac{\text{newton}}{\text{mm}^2}$

Tensiunea tangentiala la torsiune admisa  $\tau_{at} := 35 \frac{\text{newton}}{\text{mm}^2}$

Coefficientul de portanta  $k_{e,j,k} := \frac{6 \cdot S_{1_j} \cdot L_{j,k} \cdot p_a}{\pi \cdot (D_{d_j})^2 \cdot \tau_{at}}$

	1	2	3	4	5
1	0.721	0.961	1.202	1.442	1.682
2	0.707	0.943	1.179	1.415	1.65
3	0.711	0.947	1.184	1.421	1.658
4	0.713	0.951	1.189	1.427	1.664
5	0.703	0.937	1.171	1.406	1.64
6	0.706	0.941	1.176	1.411	1.646
7	0.708	0.944	1.18	1.416	1.652
8	0.7	0.933	1.166	1.399	1.632
9	0.702	0.936	1.17	1.404	1.638
10	0.705	0.939	1.174	1.409	1.644
11	0.697	0.93	1.162	1.395	1.627
12	0.7	0.933	1.166	1.399	1.632
13	0.856	1.141	1.427	1.712	1.998
14	0.803	1.071	1.338	1.606	1.874
15	0.818	1.091	1.363	1.636	1.909
16	0.776	1.034	1.293	1.552	1.81



# Calculul geometric al canelurilor evolventice inclinate

## Date initiale

1. Numarul de dinti	$z := 20$	
2. Modulul danturii	$m_n := 2.5 \cdot \text{mm}$	
3. Unghiul de inclinare al danturii pe cilindrul de divizare Cremaliera de referinta	$\beta := 0 \text{deg}$	
4. Unghiul de angrenare pe linia de divizare	$\alpha_n := 30 \cdot \text{deg}$	
5. Coeficientul razei de racordare de referinta la picior Pentru profilul de referinta al arborelui	$\rho_{Of} := 0.16$	
6. Coeficientul normal al capului de referinta	$h_{0anA} := 0.45$	
7. Coeficientul normal al dintelui	$h_{0nA} := 1.1$	
8. Coeficientul normal al flancarii dintelui Pentru profilul de referinta al butucului	$f_A := 0.15$	
9. Coeficientul normal al capului de referinta	$h_{0anB} := 0.45$	
10. Coeficientul normal al dintelui	$h_{0nB} := 1.1$	
11. Coeficientul normal al flancarii dintelui	$f_b := 0.15$	$\text{inv}(\alpha) := \tan(\alpha) - \alpha$
12. Unghiul de presiune frontal de referinta	$\alpha_t := \text{atan}\left(\frac{\tan(\alpha_n)}{\cos(\beta)}\right)$	$\alpha_t = 30 \text{deg}$
13. Diametrul nominal	$D := 55 \text{mm}$	

## Calculul geometric

1. Modulul frontal	$m_t := \frac{m_n}{\cos(\beta)}$	$m_t = 2.5 \text{ mm}$
2. Diametrul de divizare	$d := z \cdot m_t$	$d = 50 \text{ mm}$
3. Coeficientul normal al deplasarii de profil	$x_A := 0.5 \cdot [D - m_t \cdot (z + 1.1)]$	$x_A = 1.125 \text{ mm}$
4. Diametrul de varf al arborelui al butucului	$d_a := D - 0.2 \cdot m_t$ $D_a := D - 2 \cdot m_t$	$d_a = 54.5 \text{ mm}$ $D_a = 50 \text{ mm}$
5. Diametrul de picior al arborelui al butucului	$d_f := D - 2 \cdot h_{0nA} \cdot m_n$ $D_f := D$	$d_f = 49.5 \text{ mm}$ $D_f = 55 \text{ mm}$
6. Diametrul de baza	$d_b := d \cdot \cos(\alpha_t)$	$d_b = 43.301 \text{ mm}$
7. Arcul de divizare frontal al dintelui	$s_t := 2 \cdot x_A \cdot \tan(\alpha_t) + 0.5 \pi \cdot m_t$	$s_t = 5.226 \text{ mm}$
8. Arcul de divizare normal al dintelui	$s_n := s_t \cdot \cos(\beta)$	$s_n = 5.226 \text{ mm}$
9. Unghiul de presiune frontal la capul dintelui	$\alpha_{ta} := \text{acos}\left(\frac{d}{d_a} \cdot \cos(\alpha_t)\right)$	$\alpha_{ta} = 37.39 \text{ deg}$
10. Arcul de cap frontal al dintelui	$s_{at} := d_a \cdot \left(\text{inv}(\alpha_t) - \text{inv}(\alpha_{ta}) + \frac{s_t}{d}\right)$	$s_{at} = 2.538 \text{ mm}$
11. Unghiul de inclinare la capul canelurii	$\beta_a := \text{atan}\left(\tan(\beta) \cdot \frac{d_a}{d}\right)$	$\beta_a = 0$
12. Arcul de cap normal al dintelui	$s_{an} := s_{at} \cdot \cos(\beta_a)$	$s_{an} = 2.538 \text{ mm}$

13. Arcul de divizare frontal al golului peste dinti	$e_t := 0.5\pi \cdot m_t - 2 \cdot x_A \cdot \tan(\alpha_t)$	$e_t = 2.628 \text{ mm}$
14. Arcul d divizare al golului dintre dinti	$e_n := 0.5\pi \cdot m_t - 2 \cdot x_A \cdot \tan(\alpha_t)$	$e_n = 2.628 \text{ mm}$
15. Arcul de cap frontal al golului dintre dinti	$e_{at} := d_a \cdot \left( \frac{e_t}{d} + \text{inv}(\alpha_{ta}) - \text{inv}(\alpha_t) \right)$	$e_{at} = 6.023 \text{ mm}$
16. Arcul de cap normal al golului dintre dinti	$e_{an} := e_{at} \cdot \cos(\beta_a)$	$e_{an} = 6.023 \text{ mm}$
17. Pasul normal (de divizare)	$p_n := \pi \cdot m_n$	$p_n = 7.854 \text{ mm}$
18. Pasul frontal (de divizare)	$p_t := \pi \cdot m_t$	$p_t = 7.854 \text{ mm}$
19. Pasul de baza frontal	$p_{bt} := p_t \cdot \cos(\alpha_t)$	$p_{bt} = 6.802 \text{ mm}$

Elemente de control

1. Coarda constanta normala a dintelui	$s_{cn} := \left[ 0.5\pi \cdot (\cos(\alpha_n))^2 \cdot m_n + x_A \cdot \sin(2 \cdot \alpha_n) \right]$	$s_{cn} = 3.92 \text{ mm}$
2. Inaltimea la coarda constanta a dintelui	$h_{cn} := 0.5 \cdot (d_a - d - s_{cn} \cdot \tan(\alpha_n))$	$h_{cn} = 1.119 \text{ mm}$
3. Calculul lungimii (cotei) normale peste dinti		
3.1. Numarul teoretic de dinti pentru masurarea lungimii (cotei) peste dinti		

Unghiul de presiune normal pe cilindru  $\alpha_{twn} := \arccos\left(\frac{z \cdot \cos(\alpha_t)}{z + 2 \cdot \frac{x_A}{m_n}}\right)$   $\alpha_{twn} = 34.031 \text{ deg}$

$$N := \frac{z}{\pi} \cdot \left[ \frac{\tan(\alpha_{twn})}{(\cos(\beta_a))^2} - \left( \frac{2}{z} \cdot \frac{x_A}{m_n} \cdot \tan(\alpha_n) \right) - \text{inv}(\alpha_t) \right] \quad N = 3.792$$

3.2 Numarul real de dinti pentru masurarea lungimii peste N dinti  $N := \text{floor}(N + 0.5)$   $N = 4$

3.3 Lungimea frontala peste N dinti  $W_{tn} := \left[ \pi \cdot (N - 0.5) + 2 \cdot \frac{x_A}{m_t} \cdot \tan(\alpha_t) + z \cdot \text{inv}(\alpha_t) \right] \cdot m_t \cdot \cos(\alpha_t)$   $W_{tn} = 27.259 \text{ mm}$

3.4 Lungimea normala peste N dinti  $W_{nn} := \left[ \pi \cdot (N - 0.5) + 2 \cdot \frac{x_A}{m_n} \cdot \tan(\alpha_n) + z \cdot \text{inv}(\alpha_n) \right] \cdot m_n \cdot \cos(\alpha_n)$   $W_{nn} = 27.259 \text{ mm}$

4. Lungimea (cota) peste bile (in plan frontal)  $d_{bila} := m_n \cdot 2$   $d_{bila} = 5 \text{ mm}$

4.1. Unghiul de presiune frontal al centrelor bilelor

$$k_o := \text{inv}(\alpha_t) - \frac{\pi}{2 \cdot z} + \frac{2 \cdot \frac{x_A}{m_n} \cdot \tan(\alpha_n)}{z} + \frac{d_{bila}}{z \cdot m_n \cdot \cos(\alpha_n)} \quad \alpha := 20 \text{ deg}$$

$$\alpha_{tb} := \text{root}(\tan(\alpha) - \alpha \cdot \text{rad} - k_o, \alpha) \quad \alpha_{tb} = 37.868 \text{ deg}$$

4.2. Raza cercului pe care sunt situate centrele bilelor  $r_b := \frac{z \cdot m_n \cdot \cos(\alpha_t)}{2 \cdot \cos(\beta) \cdot \cos(\alpha_{tb})}$   $r_b = 27.426 \text{ mm}$

Pe arbore pentru z numar par  $M_a := 2 \cdot r_b \cdot \cos\left(\frac{\pi}{2 \cdot z}\right) + d_{bila}$   $M_a = 59.683 \text{ mm}$

penrtu z numar impar  $M_a := 2 \cdot r_b \cdot \cos\left(\frac{\pi}{2 \cdot z}\right) \cdot \cos\left(\frac{\pi}{2 \cdot z}\right) + d_{bila}$   $M_a = 59.514 \text{ mm}$

In butuc  $d_{bila} := 4.4 \text{ mm}$  pentru z numar par  $M_b := 2 \cdot r_b \cdot \cos\left(\frac{\pi}{2 \cdot z}\right) - d_{bila}$   $M_b = 50.283 \text{ mm}$

penrtu z numar impar  $M_b := 2 \cdot r_b \cdot \cos\left(\frac{\pi}{2 \cdot z}\right) \cdot \cos\left(\frac{\pi}{2 \cdot z}\right) - d_{bila}$   $M_b = 50.114 \text{ mm}$

# Repartitia incarcarii pe caneluri cauzata de abaterile de pas

## Dimensiunile imbinarii

Diametrul mediu	$d_m := 35$	
Numarul de caneluri	$z := 8$	
Lungimea imbinarii	$L := 48\text{mm}$	
Pasul pe diametrul mediu	$p := \pi \cdot \frac{d_m}{z}$	$p = 13.744$
Abaterrea de pas standard	$\sigma_p := 0.001$	$\mu\text{m} := 10^{-6} \text{m}$
Suprafata portanta unitara	$S_f := 2.445\text{mm}$	
Elasticitatea geometrica a canelurilor	$e_{\text{tot}} := 14.258\text{mm}$	$\text{MPa} := 10^6 \text{Pa}$
Modulul de elasticitate al pieselor imbinate	$E := 2.15 \cdot 10^5 \text{MPa}$	
$i := 1..z - 1$		

Distantele dintre suprafetele portante ale canelurilor cu erori

pe arbore

in butuc

$$p_a := \text{norm}(z - 1, p, \sigma_p) \cdot \text{mm}$$

$$p_b := \text{norm}(z - 1, p, \sigma_p) \cdot \text{mm}$$

$$p_{a_{z-1}} := \pi \cdot d_m \cdot \text{mm} - \sum p_a \quad p_{a_{z-1}} = 13.749 \text{ mm} \quad p_{b_{z-1}} := \pi \cdot d_m \cdot \text{mm} - \sum p_b \quad p_{b_{z-1}} = 13.737 \text{ mm}$$

$$p_a = \begin{pmatrix} 13.744 \\ 13.744 \\ 13.744 \\ 13.744 \\ 13.743 \\ 13.745 \\ 13.744 \\ 13.749 \end{pmatrix} \text{ mm}$$

$$p_b = \begin{pmatrix} 13.745 \\ 13.747 \\ 13.745 \\ 13.745 \\ 13.745 \\ 13.745 \\ 13.745 \\ 13.737 \end{pmatrix} \text{ mm}$$

$$p_{ab} := \text{stack}(p_a, p_b)$$

Toleranta abaterii de pas

$$T_p := \max(p_{ab}) - \min(p_{ab}) \quad T_p = 11.299 \mu\text{m}$$

Diferentele de pas

$$\delta_p := (p_a - p_b) \quad \delta_p = \begin{pmatrix} -0.995 \\ -2.871 \\ -1.282 \\ -1.937 \\ -2.548 \\ -0.872 \\ -0.794 \\ 11.299 \end{pmatrix} \mu\text{m}$$

$$\delta_{p\max} := \max(\delta_p) \quad \delta_{p\max} = 11.299 \mu\text{m}$$

$$\delta_{p\min} := \min(\delta_p) \quad \delta_{p\min} = -2.871 \mu\text{m}$$

$$j := 0..z - 1$$

Distantele intre suprafetele portante

in pozitia nominala

rotite pentru montaj

$$\Delta_j := \sum_{i=1}^j \delta_{p_i} \quad \Delta = \begin{pmatrix} -3.867 \\ -2.871 \\ -4.153 \\ -6.09 \\ -8.638 \\ -9.51 \\ -10.303 \\ 0.995 \end{pmatrix} \mu\text{m} \quad \Delta_j := \Delta_j - \min(\Delta) \quad \Delta = \begin{pmatrix} 6.437 \\ 7.432 \\ 6.15 \\ 4.214 \\ 1.666 \\ 0.794 \\ 0 \\ 0.995 \end{pmatrix} \mu\text{m}$$

$$\text{hexmin} := \frac{1}{60} \cdot \text{deg}$$

$$\text{hexsec} := \frac{1}{60} \cdot \text{hexmin}$$

$$\text{TOL} := 10^{-8}$$

renumerotate de la prima pereche in contact

$$\Delta_{\text{rot}} := \text{stack}(\text{submatrix}(\Delta, \text{match}(0, \Delta)_{0, z-1, 0, 0}), \text{submatrix}(\Delta, 0, \text{match}(0, \Delta)_{0-1, 0, 0}))$$

$$k := 0..z - 2$$

$$\Delta_{\text{rot}} = \begin{pmatrix} 0 \\ 0.995 \\ 6.437 \\ 7.432 \\ 6.15 \\ 4.214 \\ 1.666 \\ 0.794 \end{pmatrix} \mu\text{m}$$

Unghiul de pozitie pentru canelura k	$\phi_1 := \frac{2 \cdot \pi}{z}$	$\phi_k := \phi_1 \cdot (k + 1)$
Rotirea necesara pentru contact pe canelura k	$\theta_k := \frac{2 \cdot \Delta_{rot_{k+1}}}{d_m \cdot \text{mm} \cdot (1 - \cos(\phi_k))}$	$\theta = \begin{pmatrix} 40.057 \\ 75.868 \\ 51.315 \\ 36.245 \\ 29.092 \\ 19.633 \\ 31.937 \end{pmatrix} \text{ hexsec}$
Rotirea pentru contact pe doua caneluri	$\theta_1 := \min(\theta)$	$\theta_1 = 19.633 \text{ hexsec}$
Eroarea de centrare	$e_1 := \frac{d_m \cdot \text{mm}}{2} \cdot \theta_1$	$e_1 = 1.666 \mu\text{m}$
Deplasarea produsa de rotirea initiala	$\lambda_{r_k} := \frac{\theta_1 \cdot d_m \cdot \text{mm} \cdot (1 - \cos(\phi_k))}{2}$	$\lambda_r = \begin{pmatrix} 0.488 \\ 1.666 \\ 2.843 \\ 3.331 \\ 2.843 \\ 1.666 \\ 0.488 \end{pmatrix} \mu\text{m}$
Distanța ramasa dupa rotirea initiala	$\Delta_{r1_k} := \Delta_{rot_{k+1}} - \lambda_{r_k}$	$\Delta_{r1} = \begin{pmatrix} 0.508 \\ 4.771 \\ 4.589 \\ 2.819 \\ 1.37 \\ 0 \\ 0.306 \end{pmatrix} \mu\text{m}$
Indicele celei de-a doua perechi de caneluri in contact	$z_2 := \text{match}(0, \Delta_{r1})_0 + 1$	$z_2 = 6$
Raza centrului instantaneu de rotatie	$R_{I2} := \frac{d_m \cdot \text{mm}}{2 \cdot \cos\left(\frac{\phi_1 \cdot z_2}{2}\right)}$	$R_{I2} = -24.749 \text{ mm}$
Raza de rotatie pentru suprafata k	$R_{2_k} := \frac{d_m \cdot \text{mm}}{2} \cdot \sqrt{\frac{1}{\cos\left(\frac{\phi_1 \cdot z_2}{2}\right)^2 + 1 - 2 \cdot \cos\left(\phi_k - \frac{\phi_1 \cdot z_2}{2}\right)}$	$R_2 = \begin{pmatrix} 30.311 \\ 22.037 \\ 17.5 \\ 22.037 \\ 30.311 \\ 36.768 \\ 39.131 \end{pmatrix} \text{ mm}$



Unghiul de pozitie a suprafetei k fata de centrul instantaneu de rotatie

$$\zeta_{2k} := \operatorname{asin} \left( \frac{\sin \left( \phi_k - \frac{\phi_1 \cdot z_2}{2} \right)}{\sqrt{1 + \cos \left( \frac{\phi_1 \cdot z_2}{2} \right)^2 - 2 \cdot \cos \left( \frac{\phi_1 \cdot z_2}{2} \right) \cdot \cos \left( \phi_k - \frac{\phi_1 \cdot z_2}{2} \right)}} \right)$$

$$\zeta_2 = \begin{pmatrix} -54.736 \\ -26.565 \\ 0 \\ 26.565 \\ 54.736 \\ 90 \\ 2.396 \times 10^{-14} \end{pmatrix} \text{ deg}$$

Rotatia in jurul centrului I necesara pentru contactul suprafetei k

$$\theta_{2k} := \frac{\Delta r_{1k}}{R_{2k} \cdot \cos(\zeta_{2k})} \cdot (k \neq z_2 - 1) + \pi \cdot (k = z_2 - 1)_2 =$$

$$\begin{pmatrix} 5.982 \\ 49.928 \\ 54.085 \\ 29.498 \\ 16.149 \\ 6.48 \times 10^5 \\ 1.612 \end{pmatrix} \text{ hexsec}$$

Rotatia necesara pentru contact pe trei caneluri  $\theta_2 := \min(\theta_2)$   $\theta_2 = 1.612 \text{ hexsec}$

Deplasarea produsa de rotirea finala  $\lambda_{2k} := \theta_2 \cdot R_{2k} \cdot \cos(\zeta_{2k}) \cdot (k \neq z_2 - 1)$   $\lambda_2 =$

$$\begin{pmatrix} 0.137 \\ 0.154 \\ 0.137 \\ 0.154 \\ 0.137 \\ 0 \\ 0.306 \end{pmatrix} \mu\text{m}$$

Distanta ramasa dupa rotirea finala  $\Delta r_{2k+1} := \Delta r_{1k} - \lambda_{2k}$   $\Delta r_2 =$

$$\begin{pmatrix} 0 \\ 0.371 \\ 4.617 \\ 4.452 \\ 2.665 \\ 1.233 \\ 0 \\ 0 \end{pmatrix} \mu\text{m}$$

Eroarea de centrare finala  $e_2 := \frac{R_{26}}{2} \cdot \theta_2$   $e_2 = 0.153 \mu\text{m}$

Eroarea de centrare totala  $e_{\text{ctot}} := \sqrt{e_1^2 + e_2^2}$   $e_{\text{ctot}} = 1.673 \mu\text{m}$

$$i := 0..z - 1$$

Rigiditatea canelurilor

$$c_F := \frac{E \cdot L \cdot S_1}{c_{tot}} \quad c_F = 1.77 \times 10^6 \frac{N}{mm}$$

$$k := 1..7$$

Treptele de deformatie estimate

$$\Delta_{def_k} := \frac{k}{6} \cdot \max(\Delta) \quad \Delta_{def} = \begin{pmatrix} 0 \\ 1.239 \\ 2.477 \\ 3.716 \\ 4.955 \\ 6.194 \\ 7.432 \\ 8.671 \end{pmatrix} \mu m$$

Cantitatea de contact pe canelura i pentru treapta k de deplasare

$$\lambda_{i,k} := (\Delta_{def_k} - \Delta_{r2_i}) \cdot (\Delta_{def_k} \geq \Delta_{r2_i})$$

$$\lambda = \begin{pmatrix} 0 & 1.24 & 2.48 & 3.72 & 4.95 & 6.19 & 7.43 & 8.67 \\ 0 & 0.87 & 2.11 & 3.35 & 4.58 & 5.82 & 7.06 & 8.3 \\ 0 & 0 & 0 & 0 & 0.34 & 1.58 & 2.82 & 4.05 \\ 0 & 0 & 0 & 0 & 0.5 & 1.74 & 2.98 & 4.22 \\ 0 & 0 & 0 & 1.05 & 2.29 & 3.53 & 4.77 & 6.01 \\ 0 & 5.34 \times 10^{-3} & 1.24 & 2.48 & 3.72 & 4.96 & 6.2 & 7.44 \\ 0 & 1.24 & 2.48 & 3.72 & 4.95 & 6.19 & 7.43 & 8.67 \\ 0 & 1.24 & 2.48 & 3.72 & 4.95 & 6.19 & 7.43 & 8.67 \end{pmatrix} \mu m$$

Rotirea maxima pentru centrarea interioara

$$\theta_{max} := \frac{2 \cdot \max(\Delta)}{d_m \cdot mm} \quad \theta_{max} = 87.6 \text{ hexsec}$$

Dependenta deplasare/rotire

$$\Delta(\theta) := \frac{d_m \cdot mm \cdot \theta}{2}$$

Functia de rigiditate pentru centrarea interioara

$$T(\theta) := c_F \cdot \frac{d_m \cdot mm}{2} \cdot \sum_{j=0}^{z-1} (\Delta(\theta) > \Delta_{rot_j}) \cdot (\Delta(\theta) - \Delta_{rot_j})$$

Momentul necesar pentru contactul complet pentru centrarea interioara

$$T(\theta_{max}) = 983.916 \text{ N} \cdot m$$

Rotirea maxima pentru centrarea interioara

$$\theta_{3max} := \frac{2 \cdot \max(\Delta_{r2})}{d_m \cdot mm} \quad \theta_{3max} = 54.42 \text{ hexsec}$$

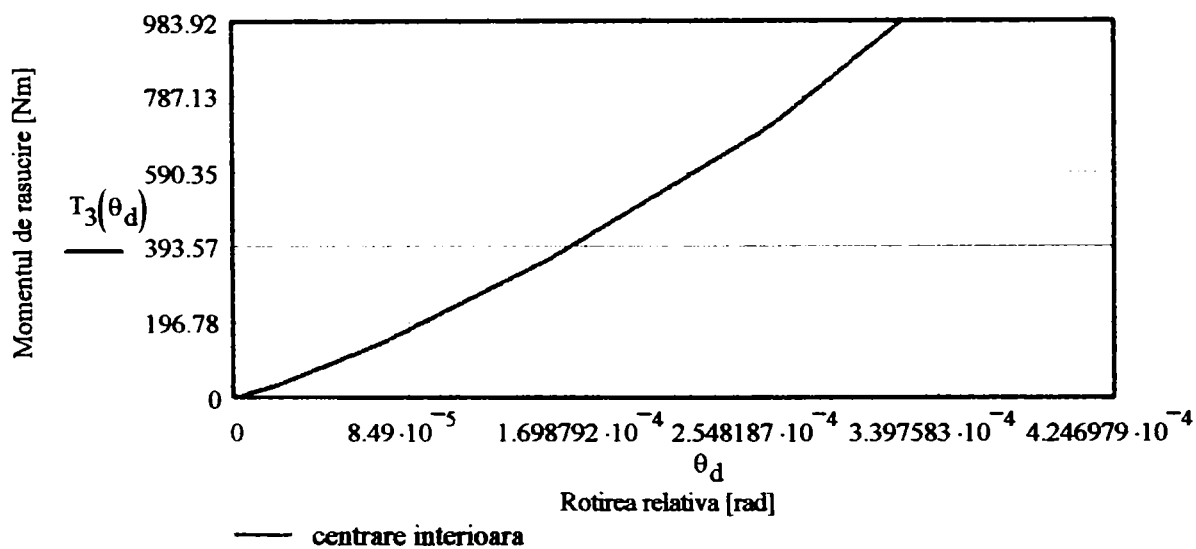
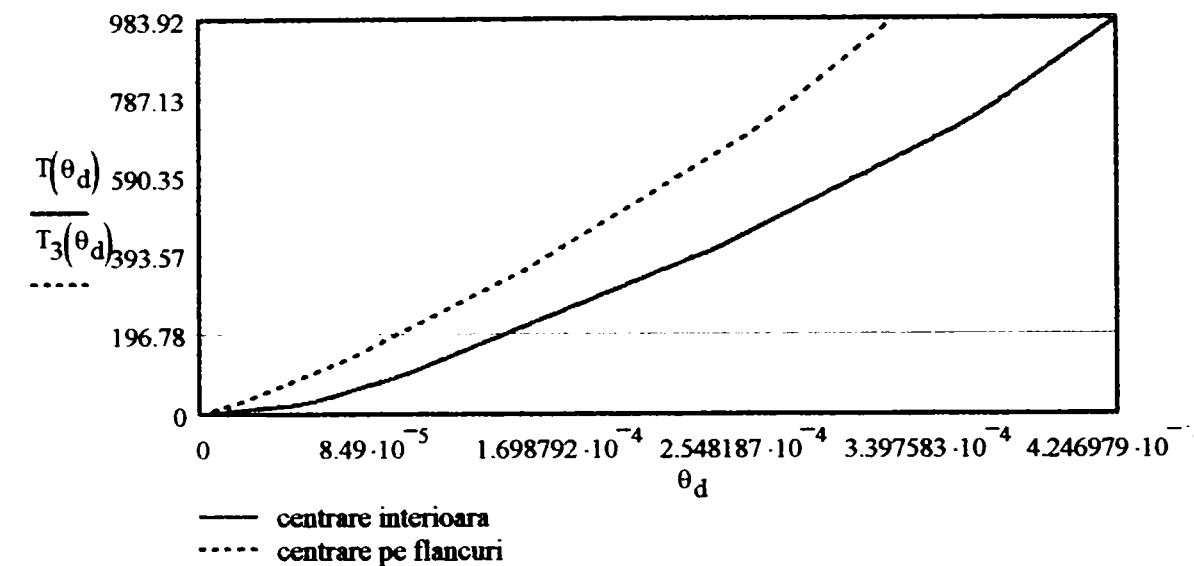
Functia de rigiditate pentru centrarea pe flancuri

$$T_3(\theta) := c_F \cdot \frac{d_m \cdot mm}{2} \cdot \sum_{j=0}^{z-1} (\Delta(\theta) > \Delta_{r2_j}) \cdot (\Delta(\theta) - \Delta_{r2_j})$$

Momentul necesar pentru contactul complet pentru centrarea pe flancuri

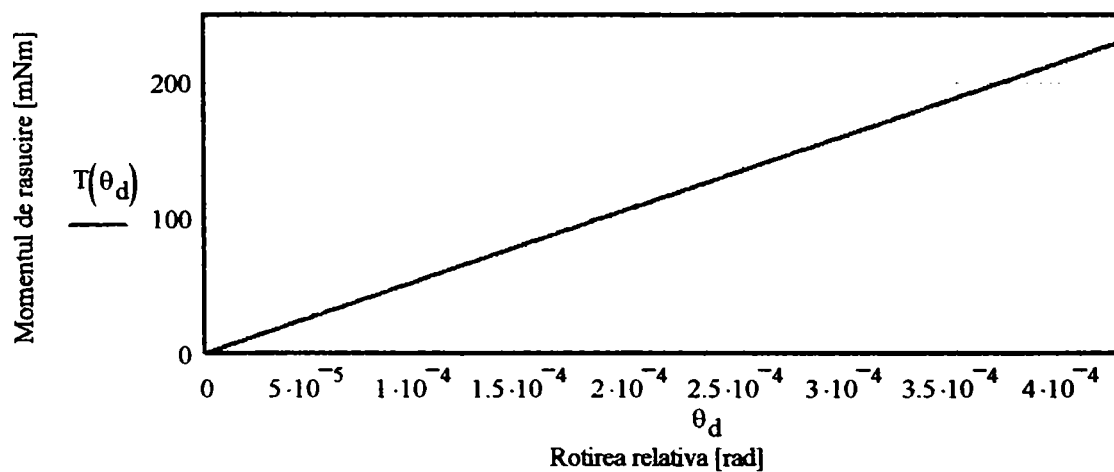
$$T_3(\theta_{3max}) = 730.852 \text{ N} \cdot m$$

Diagramele de rigiditate pentru imbinari cu centrari diferite



j := 0..8

Funcția de rigiditate a unei perechi de caneluri  $T(\theta) := c_F \cdot \frac{d_m \cdot \text{mm}}{2} \cdot \Delta(\theta)$



Deformatiile (rotirile) de torsiune ale arborelui si butucului

Diametrul (interior al) arborelui

$$d := 30\text{mm}$$

Diametrul butucului

$$D_b := 40\text{mm}$$

Lungimea imbinarii (butucului)

$$L_b := 28\text{mm}$$

Momentul maxim pe imbinare

$$T_{\text{max}} := 1000\text{N}\cdot\text{m}$$

Modulul de elasticitate transversal

$$G_a := 83000 \frac{\text{N}}{\text{mm}^2}$$

Momentul de inerție polar al secțiunii transversale prin arbore

$$I_{pa} := \frac{\pi \cdot d^4}{32}$$

Momentul de inerție polar al secțiunii transversale prin butuc

$$I_{pb} := \frac{\pi \cdot (D_b^4 - d^4)}{32}$$

Rotirea relativă a secțiunilor transversale prin arbore situate la capetele imbinării

$$\phi_a := \frac{T_{\text{max}} \cdot L_b}{G_a \cdot I_{pa}} \quad \phi_a = 14.584 \text{ hexmin}$$

Rotirea relativă a secțiunilor transversale prin arbore situate la capetele imbinării

$$\phi_b := \frac{T_{\text{max}} \cdot L_b}{G_a \cdot I_{pb}} \quad \phi_b = 6.75 \text{ hexmin}$$

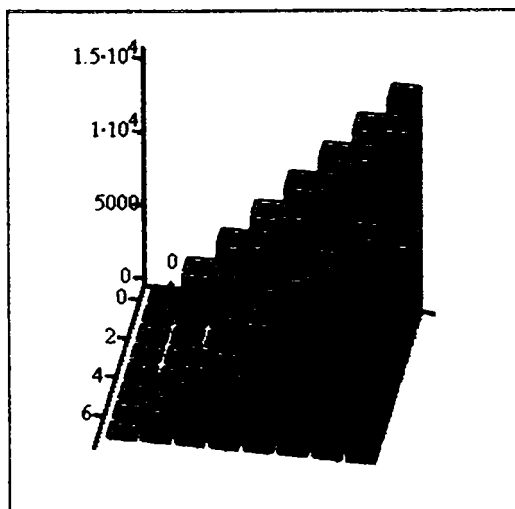
Sarcina pe canelura

$$F_{i,k} := \lambda_{i,k} \cdot c_F$$

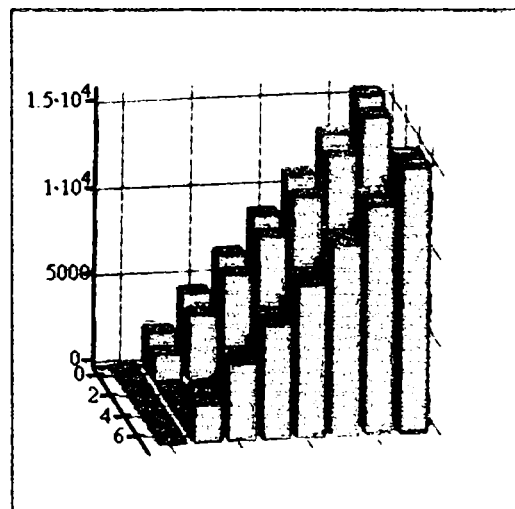
F =

0	2192	4384	6576	8769	10961	13153	15345
0	1536	3728	5920	8112	10304	12497	14689
0	0	0	0	598	2790	4982	7174
0	0	0	0	890	3082	5274	7466
0	0	0	1860	4053	6245	8437	10629
0	9	2202	4394	6586	8778	10970	13162
0	2192	4384	6576	8769	10961	13153	15345
0	2192	4384	6576	8769	10961	13153	15345

N



F



F

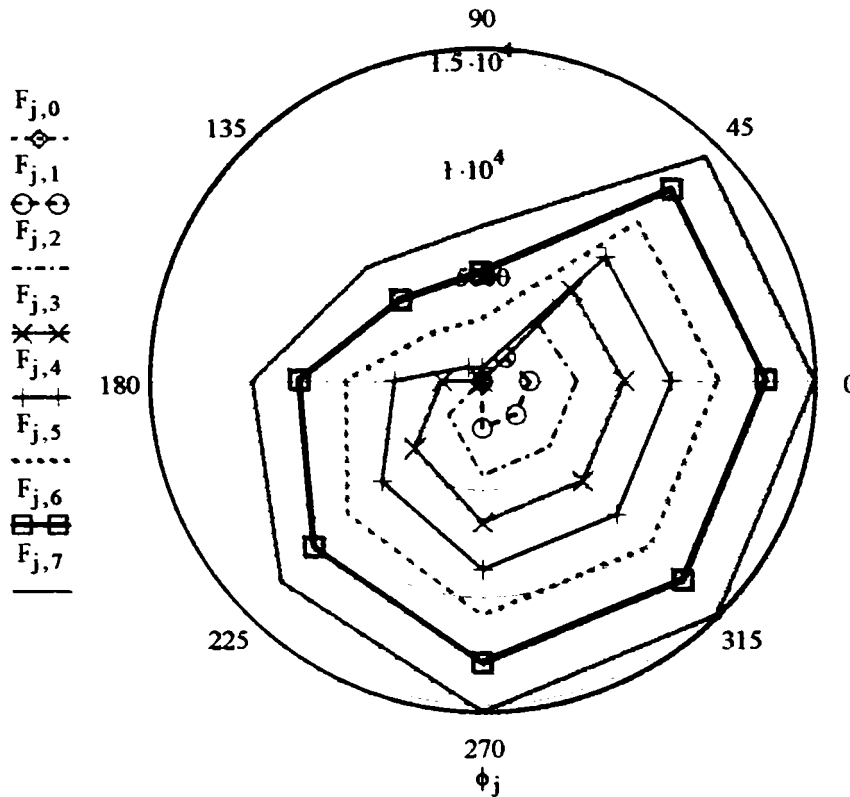
Coeficientul de repartitie a sarcinii pe caneluri

$j := 0..7$

$F_{0,j} := F_{j,0}$	$F_{m0} := \text{mean}(F_0)$	$F_{m0} = 0 \text{ N}$		
$F_{1,j} := F_{j,1}$	$F_{m1} := \text{mean}(F_1)$	$F_{m1} = 1.015 \times 10^3 \text{ N}$	$k_{p1} := \frac{\max(F_1)}{F_{m1}}$	$k_{p1} = 2.159$
$F_{2,j} := F_{j,2}$	$F_{m2} := \text{mean}(F_2)$	$F_{m2} = 2.385 \times 10^3 \text{ N}$	$k_{p2} := \frac{\max(F_2)}{F_{m2}}$	$k_{p2} = 1.838$
$F_{3,j} := F_{j,3}$	$F_{m3} := \text{mean}(F_3)$	$F_{m3} = 3.988 \times 10^3 \text{ N}$	$k_{p3} := \frac{\max(F_3)}{F_{m3}}$	$k_{p3} = 1.649$
$F_{4,j} := F_{j,4}$	$F_{m4} := \text{mean}(F_4)$	$F_{m4} = 5.818 \times 10^3 \text{ N}$	$k_{p4} := \frac{\max(F_4)}{F_{m4}}$	$k_{p4} = 1.507$
$F_{5,j} := F_{j,5}$	$F_{m5} := \text{mean}(F_5)$	$F_{m5} = 8.01 \times 10^3 \text{ N}$	$k_{p5} := \frac{\max(F_5)}{F_{m5}}$	$k_{p5} = 1.368$
$F_{6,j} := F_{j,6}$	$F_{m6} := \text{mean}(F_6)$	$F_{m6} = 1.02 \times 10^4 \text{ N}$	$k_{p6} := \frac{\max(F_6)}{F_{m6}}$	$k_{p6} = 1.289$

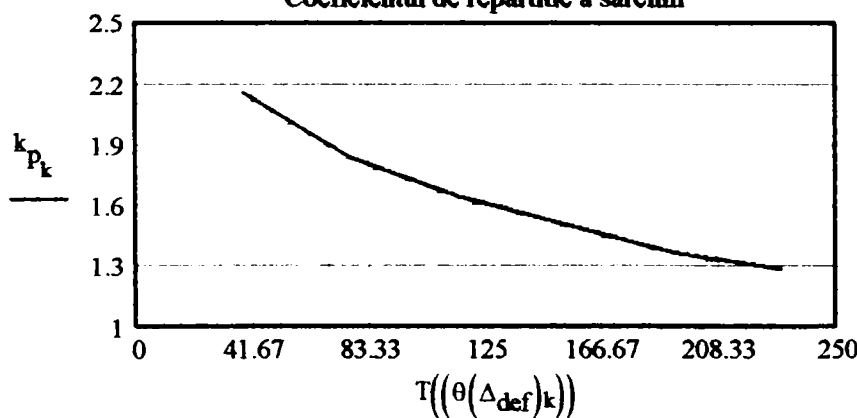
$F_{8,k} := F_{0,k} \quad j := 0..8 \quad \phi_j := \phi_1 \cdot j \quad \phi_8 := 0$

Repartitia sarcinii pe caneluri



$$\theta(\Delta) := \frac{2\Delta}{d_m \cdot \text{mm}}$$

Coeficientul de repartitie a sarcinii



# Variatia sarcinii pe caneluri produsa de incarcarea radiala a imbinarii

Date initiale

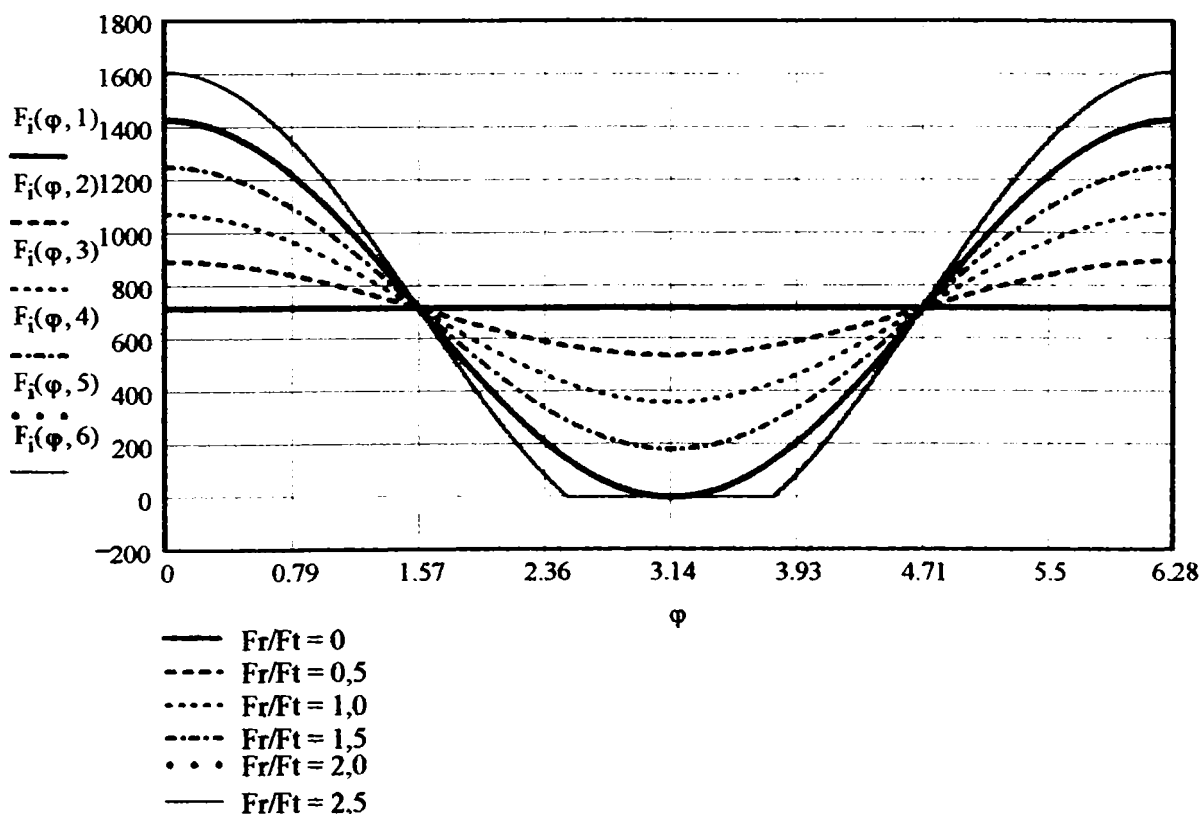
Momentul nominal		$T_n := 100\text{N}\cdot\text{m}$
Diametrul interior		$d := 32\text{mm}$
Diametrul exterior		$D := 38\text{mm}$
Latimea canelurii		$b := 6\text{mm}$
Numarul de caneluri		$z := 8$
Diametrul minim al degajarilor de rectificare		$d_l := 29.4\text{mm}$
Latimea minima a degajarii de rectificare		$f_{\text{min}} := 0.15\text{mm}$
Tesitura canelurii de pe arbore		$c := 0.3\text{mm}$
Racordarea canelurii din butuc		$r := 0.3\text{mm}$
Diametrul mediu al imbinarii	$d_m := 0.5(d + D)$	$d_m = 35\text{mm}$
Jocul de flanc		$j_f := 0.01\text{mm}$

Sarcina medie pe canelura  $F_m := \frac{2 \cdot T_n}{z \cdot d_m}$   $F_m = 714.286\text{ N}$

$i := 1..6$

Sarcina radiala pe imbinare  $F_{r_i} := (i - 1) \cdot F_m$   $F_r = \begin{pmatrix} 0 \\ 714.286 \\ 1428.571 \\ 2142.857 \\ 2857.143 \\ 3571.429 \end{pmatrix} \text{ N}$

Sarcina pe canelura  $F_j(\varphi, i) := \left( F_m + F_{r_i} \cdot 2 \cdot \frac{\cos(\varphi)}{z} \right)$   $F_i(\varphi, i) := F_j(\varphi, i) \cdot (F_j(\varphi, i) \geq 0)$



A.6.1

## Eroarea de pas produsa de o sarcina pur radiala

Semiunghiul de pas

$$\phi_c := \frac{\pi}{z}$$

$$\phi_c = 22.5 \text{ deg}$$

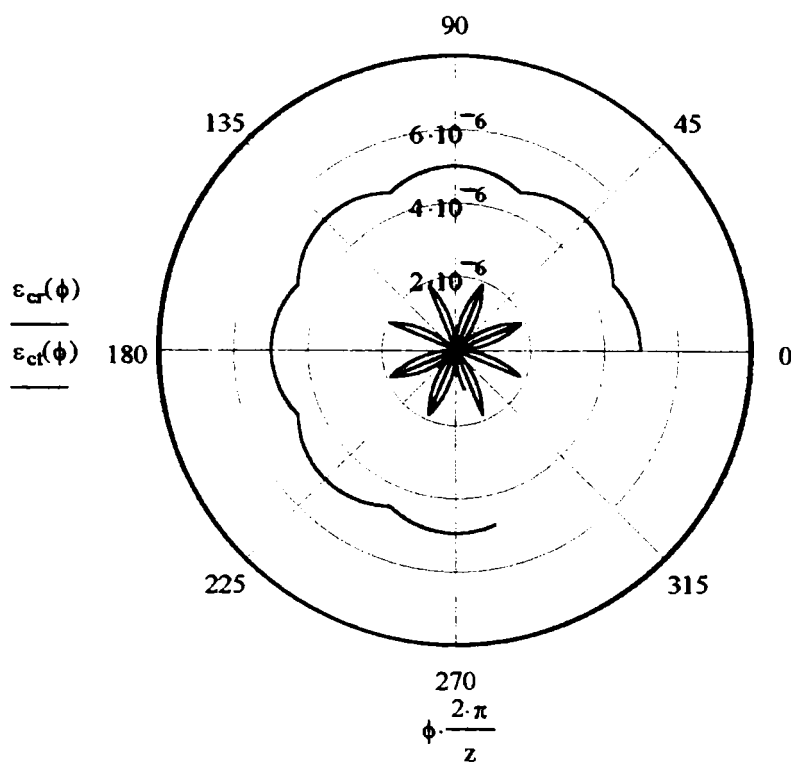
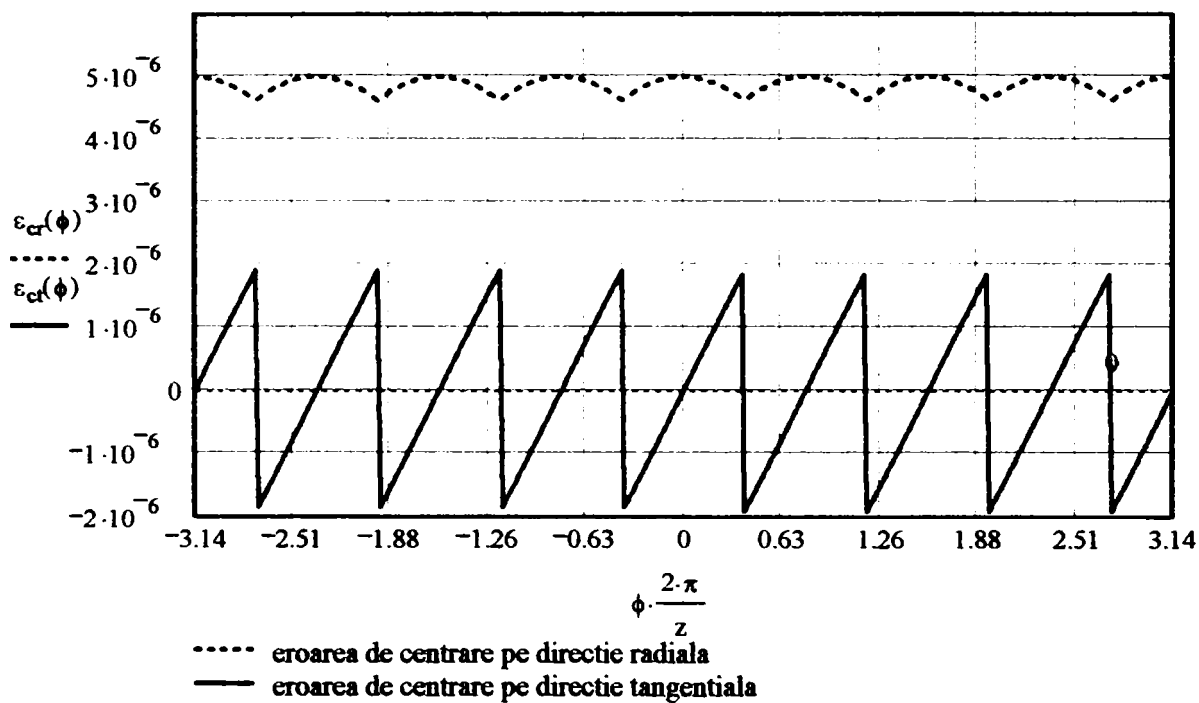
$$\phi_1(\phi) := 2\phi_c \cdot (\phi - \text{round}(\phi))$$

Eroarea de centrare radiala

$$\varepsilon_{cr}(\phi) := \frac{jf}{2} \cdot \cos(\phi_1(\phi))$$

Eroarea de centrare transversala

$$\varepsilon_{ct}(\phi) := \frac{jf}{2} \cdot \sin(\phi_1(\phi))$$



# Variatia presiunii pe caneluri produsa de solicitarea imbinarii cu moment de rasturnare

## Date initiale

Diametrul interior	$d := 32\text{mm}$	
Diametrul exterior	$D := 38\text{mm}$	$\text{MPa} := 10^6\text{Pa}$
Latimea canelurii	$b := 6\text{mm}$	
Numarul de caneluri	$z := 8$	
Diametrul minim al degajarilor de rectificare	$d_1 := 28.4\text{mm}$	
Latimea degajarii de rectificare	$f := 1.48\text{mm}$	
Tesitura canelurii de pe arbore	$c := 0.3\text{mm}$	
Racordarea canelurii din butuc	$r := 0.3\text{mm}$	
Diametrul mediu al imbinarii	$d_m := \frac{d + D}{2}$	$d_m = 35\text{mm}$
Lungimea butucului	$L_b := 1.5 \cdot d$	$L_b = 48\text{mm}$
Momentul de torsiune	$T_t := 100\text{N}\cdot\text{m}$	
	$S_1 := \frac{D - d}{2} - 2 \cdot c$	$S_1 = 2.4\text{mm}$

Momentul de rasturnare

$$i := 1..6$$

$$M_{T_i} := 0.1 \cdot (i - 1) \cdot T_t$$

$$M_r = \begin{pmatrix} 0 \\ 10 \\ 20 \\ 30 \\ 40 \\ 50 \end{pmatrix} \text{N}\cdot\text{m}$$

Presiunea medie  
produsa de rasucire

$$p_m := \frac{2T_t}{d_m \cdot z \cdot S_1 \cdot L_b}$$

$$p_m = 6.2\text{MPa}$$

Presiunea maxima  
produsa de rasturnare

$$\Delta p_{\max_i} := \frac{12 \cdot M_{T_i}}{z \cdot S_1 \cdot L_b^2}$$

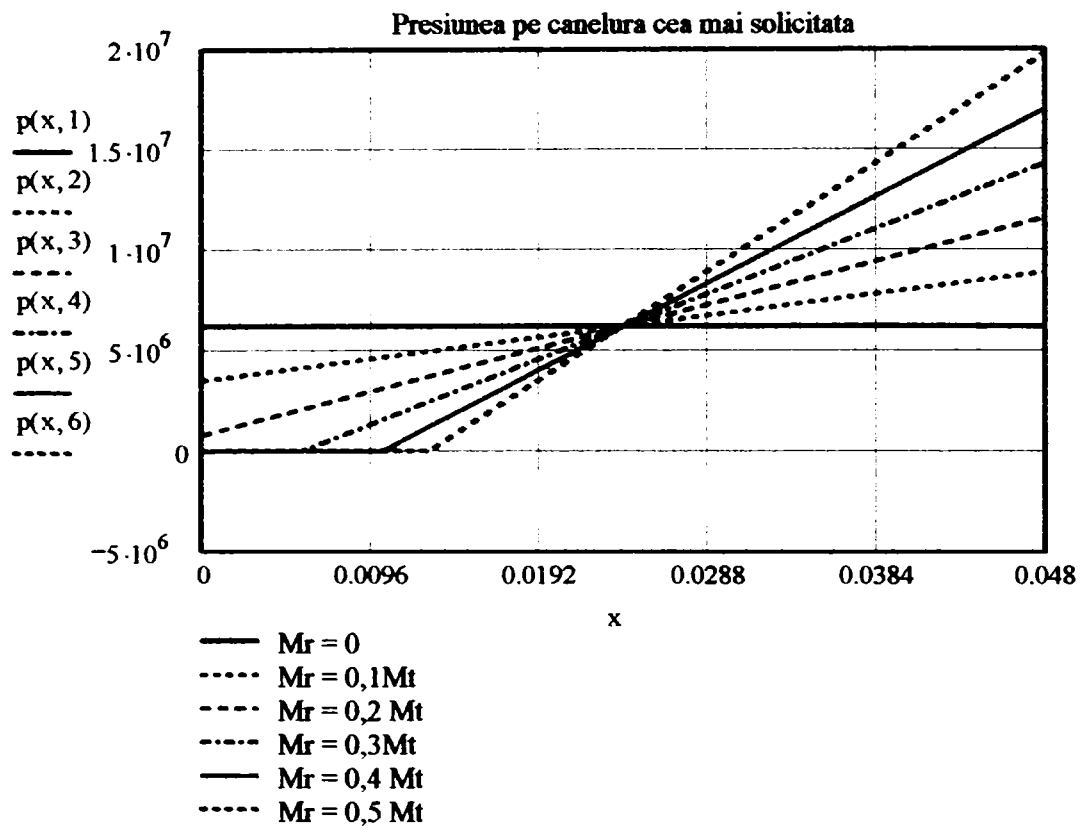
Variata presiunii pe lungimea  
imbinarii, pe canelura cea mai  
solicitata, pentru diferite momente  
de rasturnare

$$p(x, i) := \frac{\left[ p_m + \left( \frac{2 \cdot x}{L_b} - 1 \right) \cdot \Delta p_{\max_i} \right] + \left| p_m + \left( \frac{2 \cdot x}{L_b} - 1 \right) \cdot \Delta p_{\max_i} \right|}{2}$$



# Anexa 7

## Variatia presiunii pe caneluri produsa de solicitarea imbinarii cu moment de rasturnare



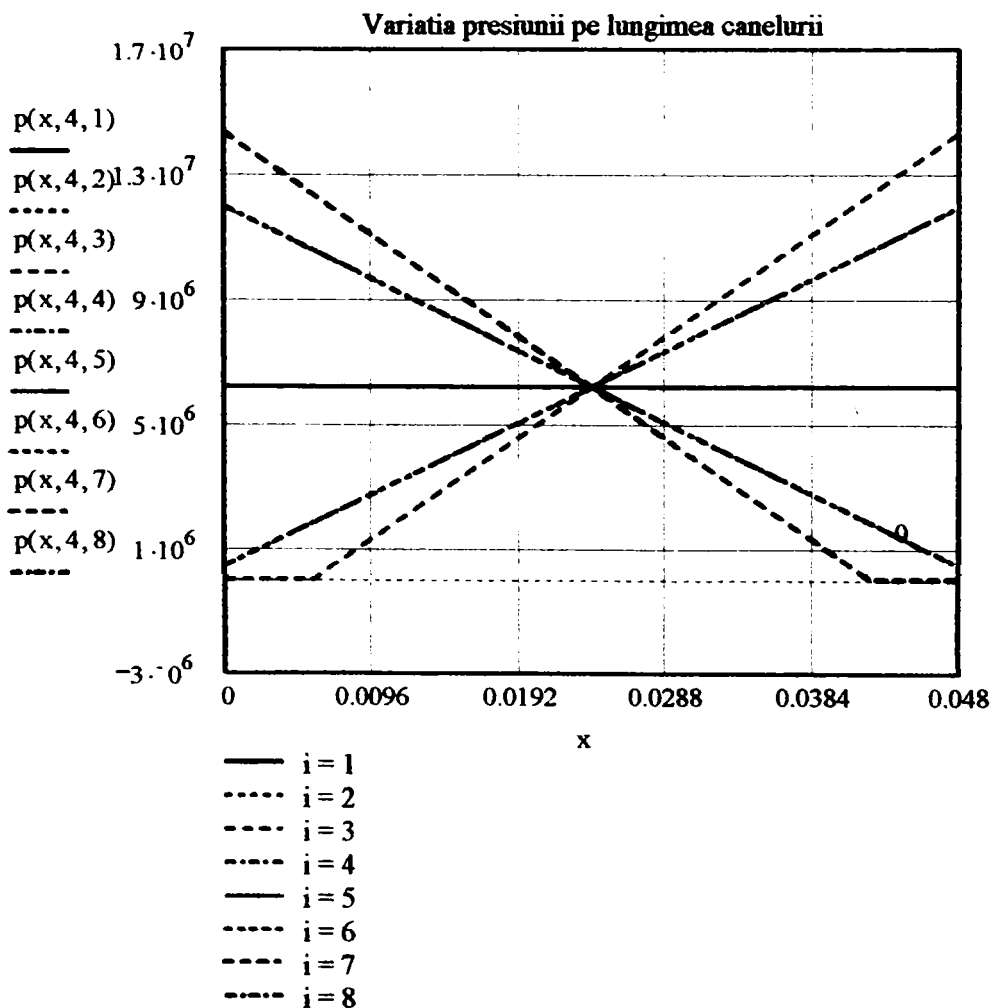
Indicele canelurii

Variata presiunii pe lungimea imbinarii, pe caneluri, pentru  $M_r = 0,3 T$

$$k := 1..z + 1$$

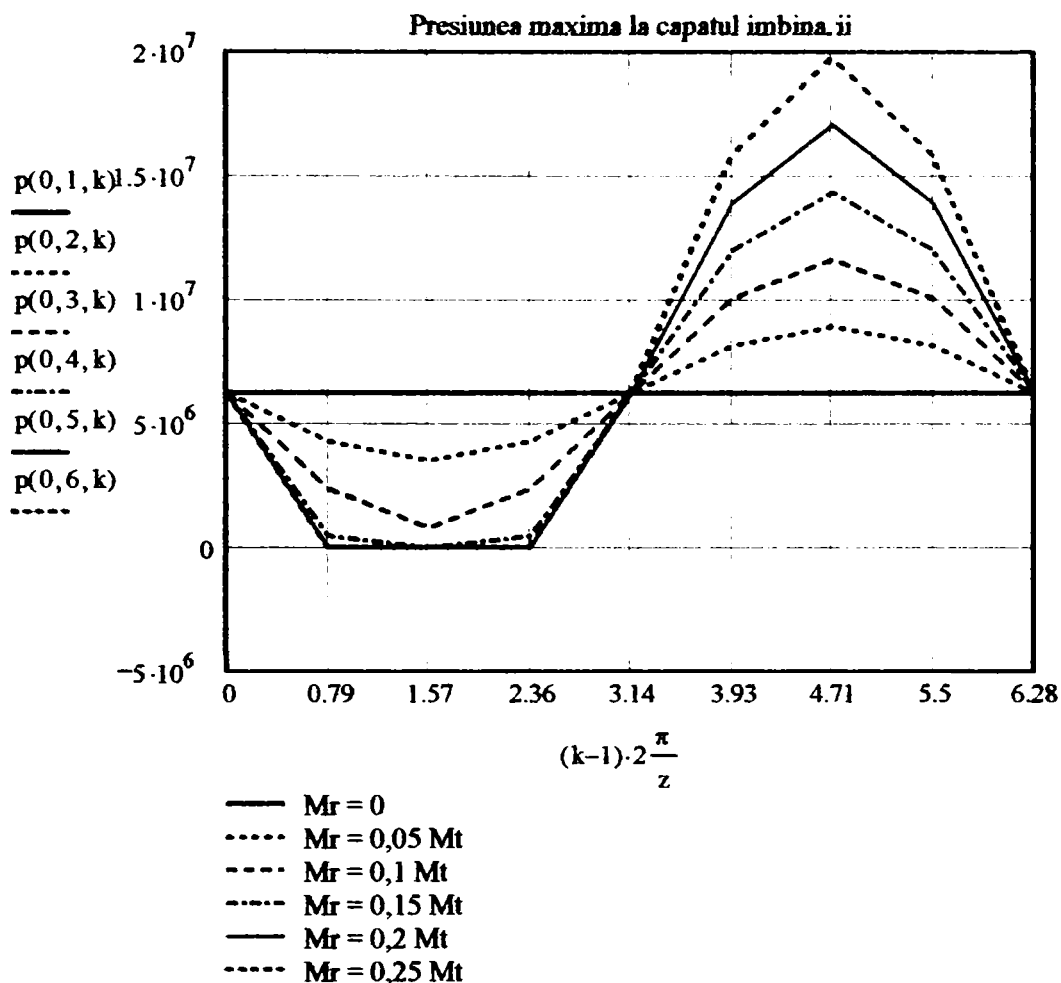
$$p(x, i, k) := p_m + \left( \frac{2 \cdot x}{l \cdot x} - 1 \right) \cdot \Delta p_{\max, i} \cdot \sin \left[ (k - 1) \cdot \frac{2 \cdot \pi}{z} \right]$$

$$p(x, i, k) := p(x, i, k) \cdot (p(x, i, k) \geq 0)$$



Anexa 7

Variatia presiunii pe caneluri produsa de sollicitarea imbinarii cu moment de rasturnare

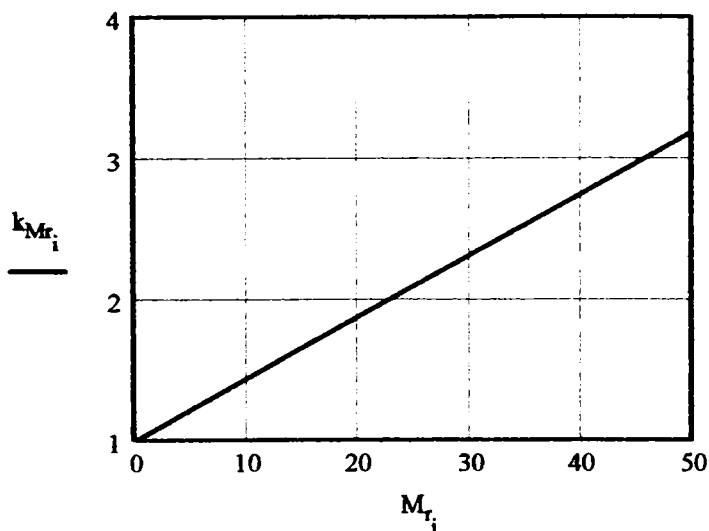


Presiunea maxima (la capatul imbinarii)

$$P_{max_i} := P_m + \Delta P_{max_i}$$

Coefficientul de repartitie a sarcinii produsa de momentul de rasturnare

$$k_{Mr_i} := \frac{P_{max_i}}{P_m}$$



$$k_{Mr} = \begin{pmatrix} 1 \\ 1.438 \\ 1.875 \\ 2.313 \\ 2.75 \\ 3.187 \end{pmatrix}$$

# Anexa 7

## Variatia presiunii pe caneluri produsa de sollicitarea imbinarii cu moment de rasturnare

Coefficientul de repartitie pentru diferite lungimi ale imbinarii

Lungimea (butucului) imbinarii

$$j := 1..6$$

$$L_{b_j} := (0.25 + 0.25 \cdot j) \cdot d_m \quad L_b =$$

17.5
26.25
35
43.75
52.5
61.25

mm

Coefficientul de repartitie

$$k_{M_{i,j}} := 1 + \frac{6 \cdot M_{r_i} \cdot d_m}{T_t \cdot L_{b_j}}$$

$$k_M = \begin{pmatrix} 1 & 1 & 1 & 1 & 1 & 1 \\ 2.2 & 1.8 & 1.6 & 1.48 & 1.4 & 1.343 \\ 3.4 & 2.6 & 2.2 & 1.96 & 1.8 & 1.686 \\ 4.6 & 3.4 & 2.8 & 2.44 & 2.2 & 2.029 \\ 5.8 & 4.2 & 3.4 & 2.92 & 2.6 & 2.371 \\ 7 & 5 & 4 & 3.4 & 3 & 2.714 \end{pmatrix}$$

Presiunea medie in functie de lungimea imbinarii

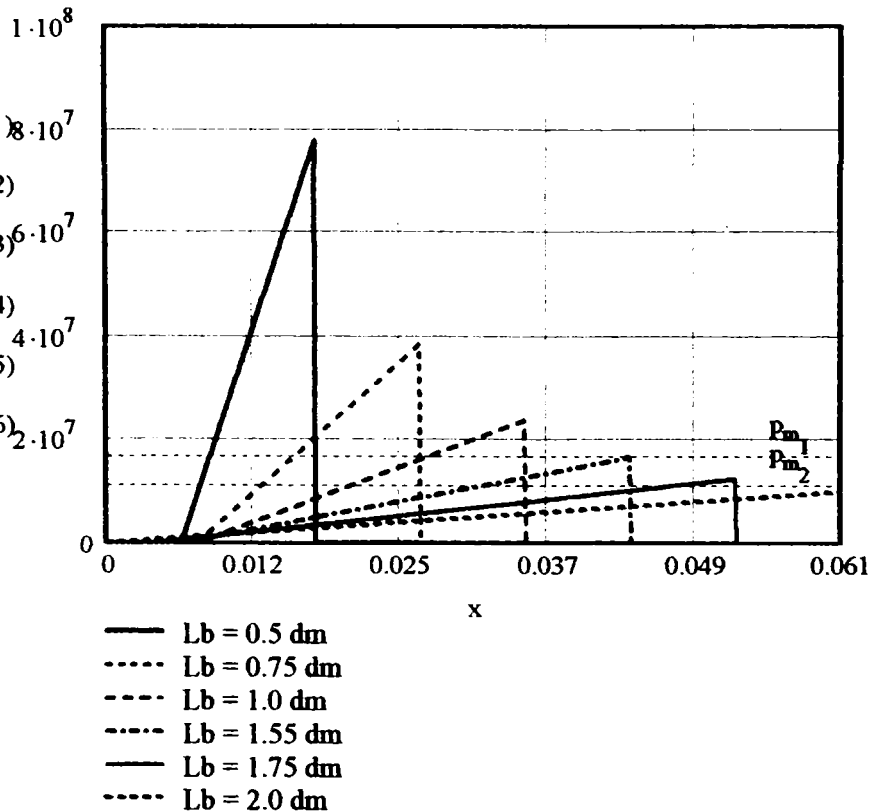
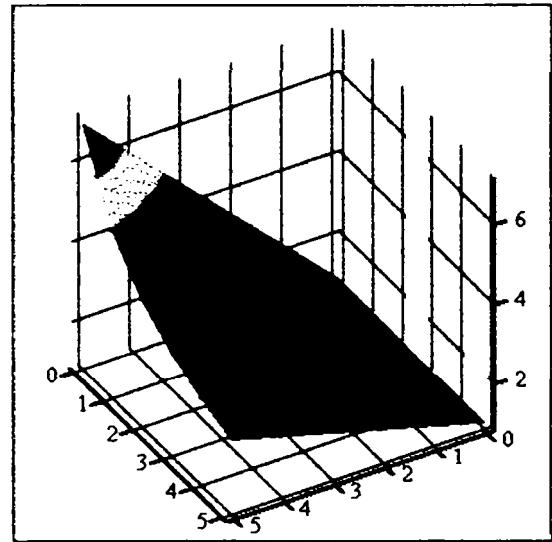
$$p_{m_j} := \frac{2T_t}{d_m \cdot z \cdot S_1 \cdot L_{b_j}}$$

Variatia presiunii produsa de momentul de rasturnare

$$\Delta p_{max_{i,j}} := \frac{12 \cdot M_{r_i}}{z \cdot S_1 \cdot (L_{b_j})^2}$$

Legea de variatie a presiunii pe lungimea imbinarii

$$p(x, j) := \frac{\left[ p_{m_j} + \left( \frac{2 \cdot x}{L_{b_j}} - 1 \right) \cdot \Delta p_{max_{4,j}} \right] + \left| p_{m_j} + \left( \frac{2 \cdot x}{L_{b_j}} - 1 \right) \cdot \Delta p_{max_{4,j}} \right|}{2} \quad (0 \leq x \leq L_{b_j})$$



# Variatia presiunii pe lungimea imbinarilor prin caneluri dreptunghiulare

In exemplul de calcul ce urmeaza s-a folosit imbinarea standardizata cu urmatoarele dimensiuni:

Diametrul interior	$d := 32\text{mm}$	
Diametrul exterior	$D := 38\text{mm}$	
Latimea canelurii	$b := 6\text{mm}$	
Numarul de caneluri	$z := 8$	
Diametrul minim al degajarii de rectificare	$d_1 := 29.4\text{mm}$	
Latimea degajarii de rectificare	$f_{\min} := 0.15\text{mm}$	
Tesitura canelurii de pe arbore	$c := 0.3\text{mm}$	
Racordarea canelurii din butuc	$r := 0.3\text{mm}$	
Diametrul mediu al imbinarii	$d_m := \frac{d + D}{2}$	$d_m = 35\text{mm}$
Lungimea (butucului) imbinarii	$L_b := 50\text{mm}$	
Inaltimea zonei de contact	$S_1 := 0.5 \cdot (D - d) - 2 \cdot c$	$S_1 = 2.4\text{mm}$

$$\text{MPa} := 10^6 \text{Pa} \quad \mu\text{m} := 10^{-3} \text{mm}$$

Rugozitatea flancurilor canelurilor:

- arborelui;
- butucului

$$R_{aa} := 1.6\mu\text{m}$$

$$R_{ab} := 1.6\mu\text{m}$$

Materialele pieselor componente ale imbinarii

Arborele: Otel aliat de imbunatatire

Modulul de elasticitate	$E_a := 2.15 \cdot 10^5 \text{MPa}$
Microduritatea suprafetei	$HV_a := 2000 \text{MPa}$
Coefficientul contractiei transversale (Poisson)	$\nu_a := 0.3$

Butucul: Otel aliat de imbunatatire

Modulul de elasticitate	$E_b := 2.15 \cdot 10^5 \text{MPa}$
Microduritatea suprafetei	$HV_b := 2000 \text{MPa}$
Coefficientul contractiei transversale (Poisson)	$\nu_b := 0.3$

Momentul de rasucire aplicat imbinarii	$T_r := 100\text{N} \cdot \text{m}$
--	-------------------------------------

Presiunea medie in imbinare	$P_{\text{med}} := \frac{2 \cdot T_r}{z \cdot d_m \cdot S_1 \cdot L_b}$	$P_{\text{med}} = 5.952 \text{MPa}$
-----------------------------	---	-------------------------------------

## Geometria imbinarii

In functie de dimensiunile standardizate ale imbinarii se calculeaza:

$$\text{racordarea degajarii de rectificare} \quad r_d := \frac{d^2 - d_1^2}{4 \cdot (d_1 - b)} \quad r_d = 1.706 \text{ mm}$$

semiunghiurile la centru corespunzatoare latimii canelurii :

$$\text{pe diametrul interior} \quad \gamma_d := \arcsin\left(\frac{b}{d}\right) \quad \gamma_d = 10.807 \text{ deg}$$

$$\text{pe diametrul mediu} \quad \gamma_m := \arcsin\left(\frac{b}{d_m}\right) \quad \gamma_m = 9.871 \text{ deg}$$

$$\text{pe diametrul exterior} \quad \gamma_D := \arcsin\left(\frac{b}{D}\right) \quad \gamma_D = 9.085 \text{ deg}$$

semiunghiul la centru corespunzator fatetei de centrare:

$$\text{pe diametrul interior} \quad \gamma_Q := \arcsin\left(\frac{f_{\min}}{d}\right) \quad \gamma_Q = 0.269 \text{ deg}$$

## Coordonatele punctelor caracteristice ale flancului canelurii de pe arbore

$$\text{Punctul de contact de ordonata maxima} \quad y_{Pa} := \frac{D}{2} \cdot \cos(\gamma_D) - c \quad y_{Pa} = 18.462 \text{ mm}$$

$$\text{Punctul de contact de ordonata minima} \quad y_{Na} := \frac{d}{2} \cdot \cos(\gamma_d) + c \quad y_{Na} = 16.016 \text{ mm}$$

$$\text{Punctul limita al flancului rectiliniu} \quad y_{Ma} := \frac{d}{2} \cdot \cos(\gamma_d) \quad y_{Ma} = 15.716 \text{ mm}$$

$$\text{Punctul de contact pe cercul de diametru mediu} \quad y_{ma} := \frac{d_m}{2} \cdot \cos(\gamma_m) \quad y_{ma} = 17.241 \text{ mm}$$

$$\text{Punctul de ordonata minima} \quad y_{\min} := \frac{d}{2} \cdot \cos(\gamma_d) - \frac{r_d}{2} \quad y_{\min} = 14.863 \text{ mm}$$

$$\text{Latimea canelurii} \quad s_1 := b \quad s_1 = 6 \text{ mm} \quad s_{2a}(y) := b + 2 \cdot r_d - 2 \cdot \sqrt{r_d^2 - \left(\frac{d}{2} \cdot \cos(\gamma_d) - y\right)^2}$$

$$s_a(y) := s_1 \cdot (y \geq y_{Na}) + s_{2a}(y) \cdot (y < y_{Na})$$

## Funcțiile de eforturi

pentru grinda reala

pentru zona in care exista contact

pentru zona fara contact

$$\text{Momentul incovoietor geometric} \quad M_{ia1}(y) := \frac{(y_{Pa} - y)^2}{2} \quad M_{ia2}(y) := (y_{Pa} - y_{Na}) \cdot \left(\frac{y_{Pa} + y_{Na}}{2} - y\right)$$

Forța taietoare geometrica

$$F_{ta1}(y) := y_{Pa} - y \quad F_{ta2}(y) := y_{Pa} - y_{Na}$$

$$M_{ia}(y) := M_{ia1}(y) \cdot (y > y_{Na}) + M_{ia2}(y) \cdot (y < y_{Na})$$

$$F_{ta}(y) := F_{ta1}(y) \cdot (y > y_{Na}) + F_{ta2}(y) \cdot (y < y_{Na})$$

–pentru grinda conjugata

$$m_{ia}(y) := (y < y_{ma}) \cdot \left[ \left( \frac{d_m}{2} \cdot \cos(\gamma_m) - y \right) \cdot \cos(\gamma_m) + \frac{b}{2} \cdot \sin(\gamma_m) \right] \quad f_{ta}(y) := \cos(\gamma_m) \cdot (y < y_{ma})$$

Elasticitatea la incovoiere 
$$e_{ai} := \int_{y_{min}}^{y_{ma}} \frac{12 \cdot M_{ia}(y) \cdot m_{ia}(y)}{s_a(y)^3} dy \quad e_{ai} = 0.764 \text{ mm}$$

Elasticitatea la deformatii tangentiale 
$$e_{at} := 2.4 \cdot (1 + \nu_a) \cdot \int_{y_{min}}^{y_{ma}} \frac{F_{ta}(y) \cdot f_{ta}(y)}{s_a(y)} dy \quad e_{at} = 2.568 \text{ mm}$$

Elasticitatea canelurii de pe arbore 
$$e_a := e_{ai} + e_{at} \quad e_a = 3.332 \text{ mm}$$

Deformatia medie a canelurii de pe arbore 
$$\delta_a := e_a \cdot \frac{P_{med}}{E_a} \quad \delta_a = 0.092253 \mu\text{m}$$

Coordonatele punctelor caracteristice ale flancului canelurii din butuc

Utilizam un sistem de axe similar cu cel de la arbore, dar rotit cu  $\pi/z$

$$y_{Nb} := \frac{d}{2} \cdot \cos\left(\frac{\pi}{z} - \gamma_d\right) + c \cdot \cos\left(\frac{\pi}{z}\right) \quad y_{Nb} = 15.945 \text{ mm}$$

$$y_{Pb} := \frac{D}{2} \cdot \cos\left(\frac{\pi}{z} - \gamma_D\right) - c \cdot \cos\left(\frac{\pi}{z}\right) \quad y_{Pb} = 18.204 \text{ mm}$$

$$y_{max} := y_{Pb} + r \cdot \left(\frac{1}{2} - \sin\left(\frac{\pi}{z}\right)\right) \quad y_{max} = 18.24 \text{ mm}$$

$$z_{Pb} := \frac{D}{2} \cdot \sin\left(\frac{\pi}{z} - \gamma_D\right) + c \cdot \sin\left(\frac{\pi}{z}\right) \quad z_{Pb} = 4.523 \text{ mm}$$

$$y_{mb} := \frac{d_m}{2} \cdot \cos\left(\frac{\pi}{z} - \gamma_m\right) \quad y_{mb} = 17.077 \text{ mm}$$

latimea canelurii din butuc in zona - 1 rectilinie - 2 de racordare

$$s_{b1}(y) := 2 \cdot y \cdot \tan\left(\frac{\pi}{z}\right) - \frac{b}{\cos\left(\frac{\pi}{z}\right)} \quad s_{b2}(y) := 2 \cdot \left[ z_{Pb} + r \cdot \cos\left(\frac{\pi}{z}\right) - \sqrt{r^2 - \left(y - y_{Pb} + r \cdot \sin\left(\frac{\pi}{z}\right)\right)^2} \right]$$

$$s_b(y) := s_{b1}(y) \cdot (y > y_{Na}) + s_{b2}(y) \cdot (y < y_{Na})$$

Functiile de eforturi

pentru grinda reala

Momentul incovoiator geometric 
$$M_{ib1}(y) := \frac{y - y_{Nb}}{2} \cdot \left[ (y - y_{Nb}) - s_{b1}\left(\frac{y + y_{Nb}}{2}\right) \cdot \tan\left(\frac{\pi}{z}\right) \right]$$

$$M_{ib2}(y) := (y_{Pb} - y_{Nb}) \cdot \left[ \left(y - \frac{y_{Pb} + y_{Nb}}{2}\right) - \frac{s_{b1}\left(\frac{y_{Pb} + y_{Nb}}{2}\right)}{2} \cdot \tan\left(\frac{\pi}{z}\right) \right]$$

Fora normala geometrica 
$$F_{nb1}(y) := (y - y_{Nb}) \cdot \tan\left(\frac{\pi}{z}\right) \quad F_{nb2}(y) := (y_{Pb} - y_{Nb}) \cdot \tan\left(\frac{\pi}{z}\right)$$

Fora taietoare geometrica 
$$F_{tb1}(y) := y - y_{Nb} \quad F_{tb2}(y) := y_{Pb} - y_{Nb}$$

$$M_{ib}(y) := M_{ib1}(y) \cdot (y_{Nb} \leq y < y_{Pb}) + M_{ib2}(y) \cdot (y_{Pb} \leq y \leq y_{max})$$

$$F_{nb}(y) := F_{nb1}(y) \cdot (y < y_{Pb}) + F_{nb2}(y) \cdot (y > y_{Pb})$$

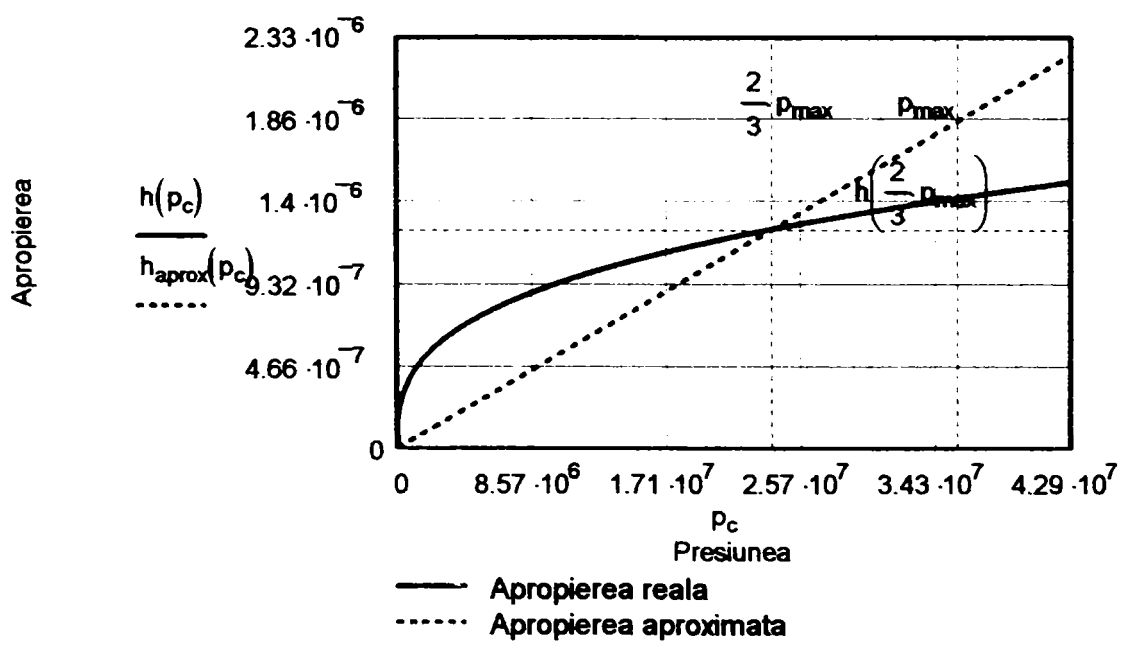
$$F_{tb}(y) := F_{tb1}(y) \cdot (y < y_{Pb}) + F_{tb2}(y) \cdot (y > y_{Pb})$$

pentru grinda conjugata

$$m_{ib}(y) := (y - y_{mb}) \cdot \cos\left(\frac{\pi}{z} - \gamma_m\right) - \frac{s_{b1}(y_{mb})}{2} \cdot \sin\left(\frac{\pi}{z} - \gamma_m\right) \quad f_{tb}(y) := \cos\left(\frac{\pi}{z} - \gamma_m\right)$$

$$f_{nb}(y) := \sin\left(\frac{\pi}{z} - \gamma_m\right)$$

Elasticitatea la incovoiere	$e_{bi} := \int_{y_{mb}}^{y_{max}} \frac{12 \cdot M_{ib}(y) \cdot m_{ib}(y)}{s_b(y)^3} dy$	$e_{bi} = 0.009 \text{ mm}$
Elasticitatea la deformatii tangentiale	$e_{bt} := 2.4 \cdot (1 + \nu_b) \cdot \int_{y_{mb}}^{y_{pb}} \frac{F_{tb1}(y) \cdot f_{tb}(y)}{s_b(y)} dy$	$e_{bt} = 0.713 \text{ mm}$
Elasticitatea la deformatii de compresiune	$e_{bn} := \int_{y_{mb}}^{y_{max}} \frac{F_{nb1}(y) \cdot f_{nb}(y)}{s_b(y)} dy$	$e_{bn} = 0.022 \text{ mm}$
Elasticitatea totala a canelurii din butuc	$e_b := e_{bi} + e_{bt} + e_{bn}$	$e_b = 0.744 \text{ mm}$
Deformatia medie a canelurii din butuc	$\delta_{but} := e_b \cdot \frac{P_{med}}{E_b}$	$\delta_{but} = 0.020602 \mu\text{m}$
Elasticitatea insumata a elementelor imbinarii	$e_{def} := e_a + e_b$	$e_{def} = 4.076 \text{ mm}$
Deformatia medie insumata	$\delta_{def} := e_{def} \cdot \frac{P_{med}}{E_b}$	$\delta_{def} = 0.112854 \mu\text{m}$
<b>Rigiditatea de contact</b>		
Presiunea maxima estimata	$P_{max} := 6 \cdot P_{med}$	$P_{max} = 35.714 \text{ MPa}$
Apropierea suprafetelor de contact datorita deformatiei rugozitatilor	$h(p) := 3.4 \cdot R_a \cdot \left(\frac{p}{HV}\right)^{\frac{1}{3}}$	$h(P_{max}) = 1.422 \mu\text{m}$
Elasticitatea geometrica de contact	$e_c := h\left(\frac{2 \cdot P_{max}}{3}\right) \cdot \frac{3 \cdot E_a}{2 \cdot P_{max}}$	$e_c = 11.217 \text{ mm}$
Elasticitatea geometrica de contact	$e_{tot} := e_{def} + e_c$	$e_{tot} = 15.293 \text{ mm}$
Apropierea aproximativa (liniara) a suprafetelor de contact datorita deformatiei rugozitatilor	$h_{aprox}(p) := h\left(\frac{2 \cdot P_{max}}{3}\right) \cdot \frac{3 \cdot p}{2 \cdot P_{max}}$	



A.8.4

Numarul de caneluri in contact

$$z_c := z$$

Influenta diametrului exterior al butucului asupra repartitiei presiunii

$$d_b = \begin{pmatrix} 41.6 \\ 44.8 \\ 48 \\ 51.2 \\ 54.4 \\ 57.6 \end{pmatrix} \text{ mm}$$

Gama de diametre ale butucului

$$i := 1..6 \quad d_{b_i} := (1.2 + 0.1 \cdot i) \cdot d$$

Rigiditatea relativa a canelurilor fata de arbore si butuc

$$\mu_i := \sqrt{16 \cdot z_c \cdot \frac{d_m^2 \cdot (y_{Pa} - y_{Na})}{\pi \cdot e_{tot}} \cdot (1 + \nu_a) \cdot \left[ \frac{1}{d^4} + \frac{1}{(d_{b_i})^4 - D^4} \right]}$$

$$\mu = \begin{pmatrix} 0.146 \\ 0.123 \\ 0.115 \\ 0.11 \\ 0.107 \\ 0.105 \end{pmatrix} \text{ mm}^{-1}$$

Ponderea rigiditatii arborelui in rigiditatea totala a imbinarii

$$\lambda_i := \frac{d^4}{d^4 + (d_{b_i})^4 - D^4}$$

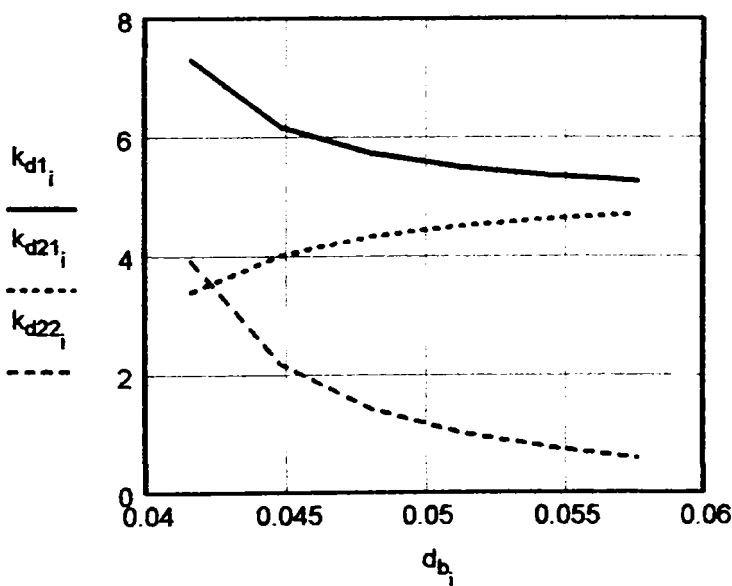
$$\lambda = \begin{pmatrix} 0.535 \\ 0.351 \\ 0.245 \\ 0.18 \\ 0.136 \\ 0.105 \end{pmatrix}$$

Coefficientul de distributie a presiunii

pentru aplicarea momentelor de rasucire la arbore si butuc la acelasi capat al imbinarii

pentru aplicarea momentelor de rasucire la arbore si butuc la capetele diferite ale imbinarii

$$k_{d1_i} := \mu_i \cdot L_b \cdot \frac{\cosh(\mu_i \cdot L_b)}{\sinh(\mu_i \cdot L_b)} \quad k_{d21_i} := \mu_i \cdot L_b \cdot \frac{(1 - \lambda_i) \cdot \cosh(\mu_i \cdot L_b) + \lambda_i}{\sinh(\mu_i \cdot L_b)} \quad k_{d22_i} := \mu_i \cdot L_b \cdot \frac{1 - \lambda_i + \lambda_i \cdot \cosh(\mu_i \cdot L_b)}{\sinh(\mu_i \cdot L_b)}$$



$$k_{d1} = \begin{pmatrix} 7.297 \\ 6.171 \\ 5.726 \\ 5.492 \\ 5.35 \\ 5.2 \end{pmatrix}$$

$$k_{d21} = \begin{pmatrix} 3.395 \\ 4.017 \\ .33 \\ 4.513 \\ 4.631 \\ 4.711 \end{pmatrix} \quad k_{d22} = \begin{pmatrix} 3.912 \\ 2.18 \\ 1.434 \\ 1.024 \\ 0.771 \\ 0.602 \end{pmatrix}$$

- La acelasi capat al imbinarii
- ..... La capete diferite - sectiunea incarcata
- La capete diferite - sectiunea descarcata

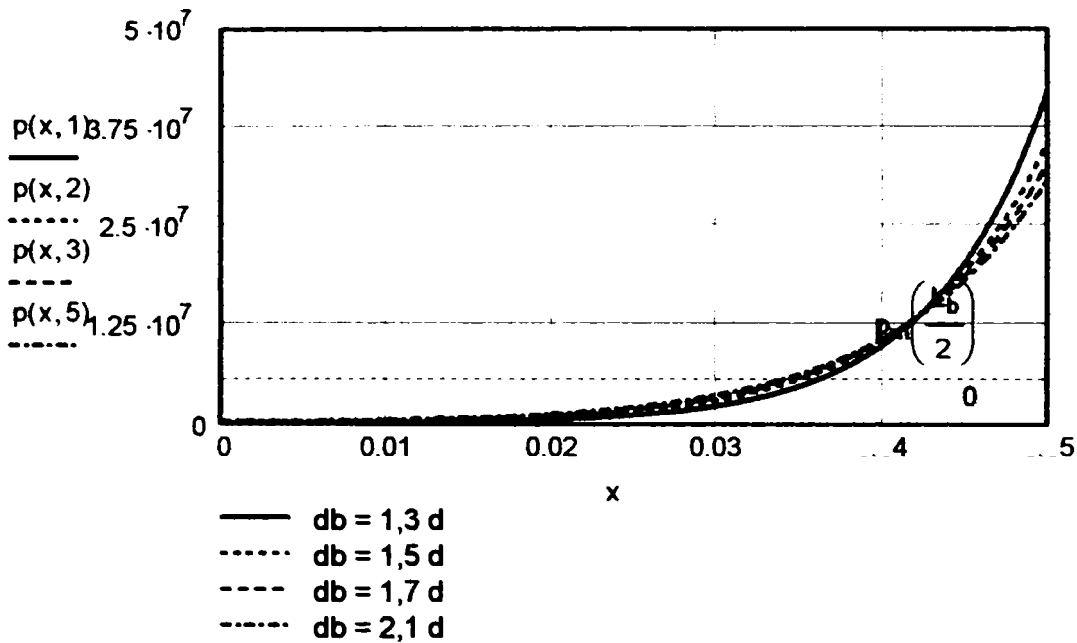


Variatia presiunii pe lungimea butucului, (parametru, diametrul exterior al butucului), pentru aplicarea momentului in sectiunea de consolaj minim

$$p(x, i) := \frac{2 \cdot T_r \cdot \mu_i \cdot \cosh(\mu_i \cdot x)}{d_m \cdot z \cdot (y_{Pa} - y_{Na}) \cdot \sinh(\mu_i \cdot L_b)} \quad p(L_b, 1) = 42.629 \text{ MPa}$$

Presiunea medie

$$p_m(x) := \frac{2 \cdot T_r}{d_m \cdot z \cdot (y_{Pa} - y_{Na}) \cdot L_b} \quad p_m(0) = 5.842 \text{ MPa}$$

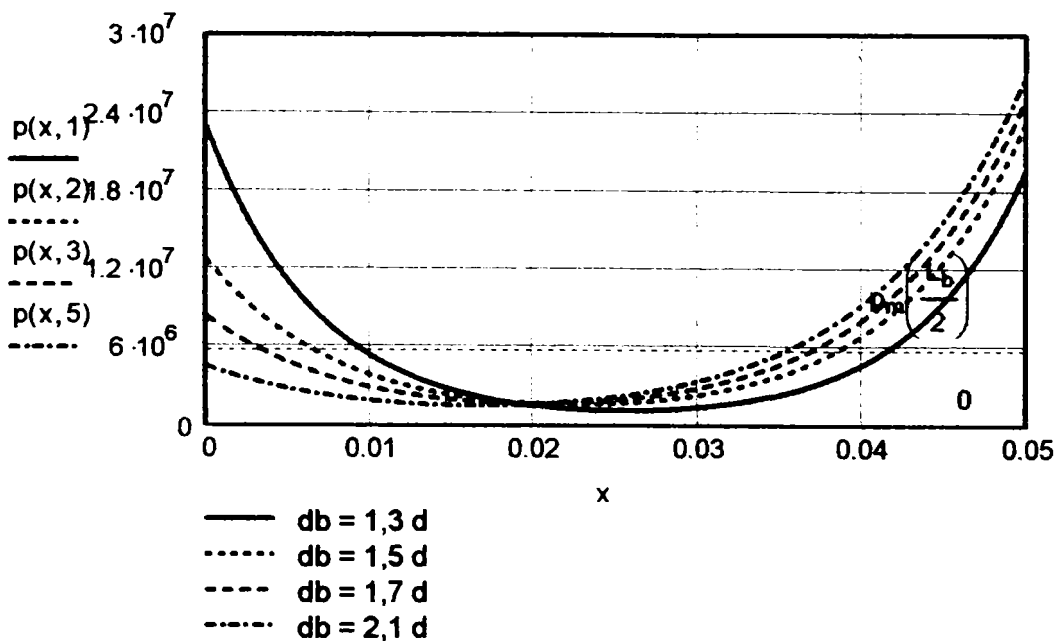


Variatia presiunii de contact pe lungimea butucului, (parametru, diametrul exterior al butucului), pentru aplicarea momentului in sectiunea de consolaj maxim

$$p(x, i) := \frac{2 \cdot T_r \cdot \mu_i \cdot [(1 - \lambda_i) \cdot \cosh(\mu_i \cdot x) + \lambda_i \cdot \cosh(\mu_i \cdot L_b - \mu_i \cdot x)]}{d_m \cdot z \cdot (y_{Pa} - y_{Na}) \cdot \sinh(\mu_i \cdot L_b)}$$

$p(L_b, i) =$	
	42.629 MPa
	36.052
	33.449
	32.081
	31.256
	30.716

$$p_m(x) := \frac{2 \cdot T_r}{d_m \cdot z \cdot (y_{Pa} - y_{Na}) \cdot L_b} \quad p_m\left(\frac{L_b}{2}\right) = 5.842 \text{ MPa}$$



### Variatia presiunii in functie de lungimea butucului

Lungimea butucului  $j := 1..6$   $L_{but_j} := (0.3 + 0.2 \cdot j) \cdot d$   $L_{but} = \begin{pmatrix} 16 \\ 22.4 \\ 28.8 \\ 35.2 \\ 41.6 \\ 48 \end{pmatrix} \text{ mm}$

Diametrul butucului  $d_{but} := 1.5 \cdot d$   $d_{but} = 48 \text{ mm}$

Rigiditatea relativa a canelurilor fata de arbore si butuc

$$\mu_1 := \sqrt{16 \cdot z \cdot \frac{d_m^2 \cdot (\gamma_{Pa} - \gamma_{Na})}{\pi \cdot e_{tot}} \cdot (1 + \nu_b) \cdot \left( \frac{1}{d^4} + \frac{1}{d_{but}^4 - D^4} \right)}$$

$\mu_1 = 0.115 \text{ mm}^{-1}$

Ponderea rigiditatii arborelui in rigiditatea totala a imbinarii  $\lambda_1 := \frac{d^4}{d^4 + d_{but}^4 - D^4}$   $\lambda_1 = 0.245$

Coefficientul de distributie a presiunii

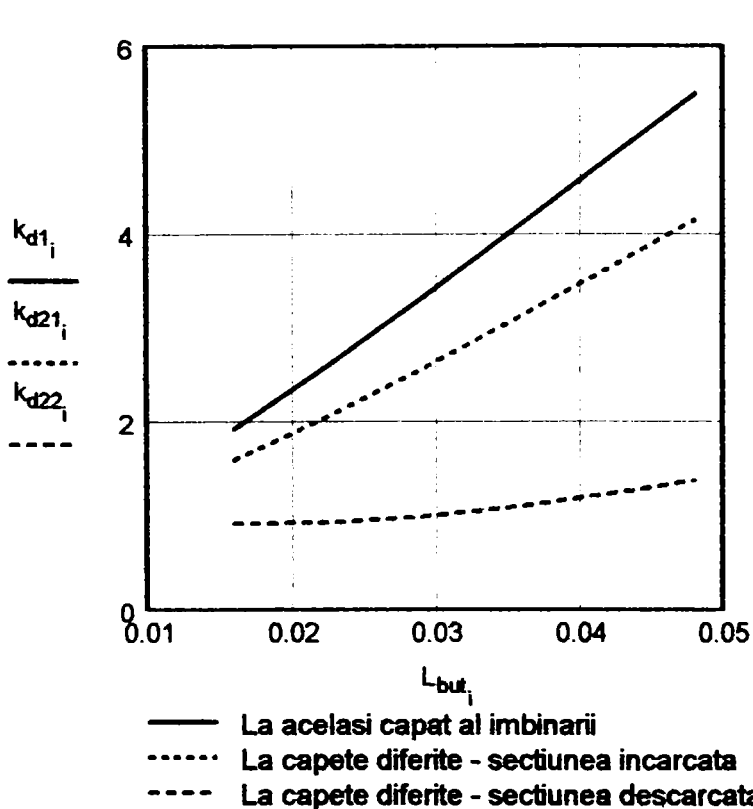
pentru aplicarea momentelor de rasucire la arbore si butuc la acelasi capat al imbinarii

$$k_{d1_j} := \mu_1 \cdot L_{but_j} \cdot \frac{\cosh(\mu_1 \cdot L_{but_j})}{\sinh(\mu_1 \cdot L_{but_j})}$$

pentru aplicarea momentelor de rasucire la arbore si butuc la capetele diferite ale imbinarii

$$k_{d21_i} := \mu_1 \cdot L_{but_i} \cdot \frac{(1 - \lambda_1) \cdot \cosh(\mu_1 \cdot L_{but_i}) + \lambda_1}{\sinh(\mu_1 \cdot L_{but_i})}$$

$$k_{d22_i} := \mu_1 \cdot L_{but_i} \cdot \frac{(1 - \lambda_1) + \lambda_1 \cdot \cosh(\mu_1 \cdot L_{but_i})}{\sinh(\mu_1 \cdot L_{but_i})}$$



$$k_{d1} = \begin{pmatrix} 1.99 \\ 2.596 \\ 3.307 \\ 4.033 \\ 4.765 \\ 5.497 \end{pmatrix}$$

$$k_{d21} = \begin{pmatrix} 1.603 \\ 2.056 \\ 2.555 \\ 3.079 \\ 3.615 \\ 4.159 \end{pmatrix}$$

$$k_{d22} = \begin{pmatrix} 0.928 \\ 0.937 \\ 0.996 \\ 1.098 \\ 1.231 \\ 1.383 \end{pmatrix}$$

Variatia presiunii in functie de lungimea butucului, pentru aplicarea momentului in sectiunea de consolaj minim

$$p(x, j) := \frac{2 \cdot T_r \cdot \mu_1 \cdot \cosh(\mu_1 \cdot x)}{d_m \cdot z \cdot (y_{Pa} - y_{Na}) \cdot \sinh(\mu_1 \cdot L_{but_j})} \quad (0 \leq x \leq L_{but_j})$$

Presiunea medie

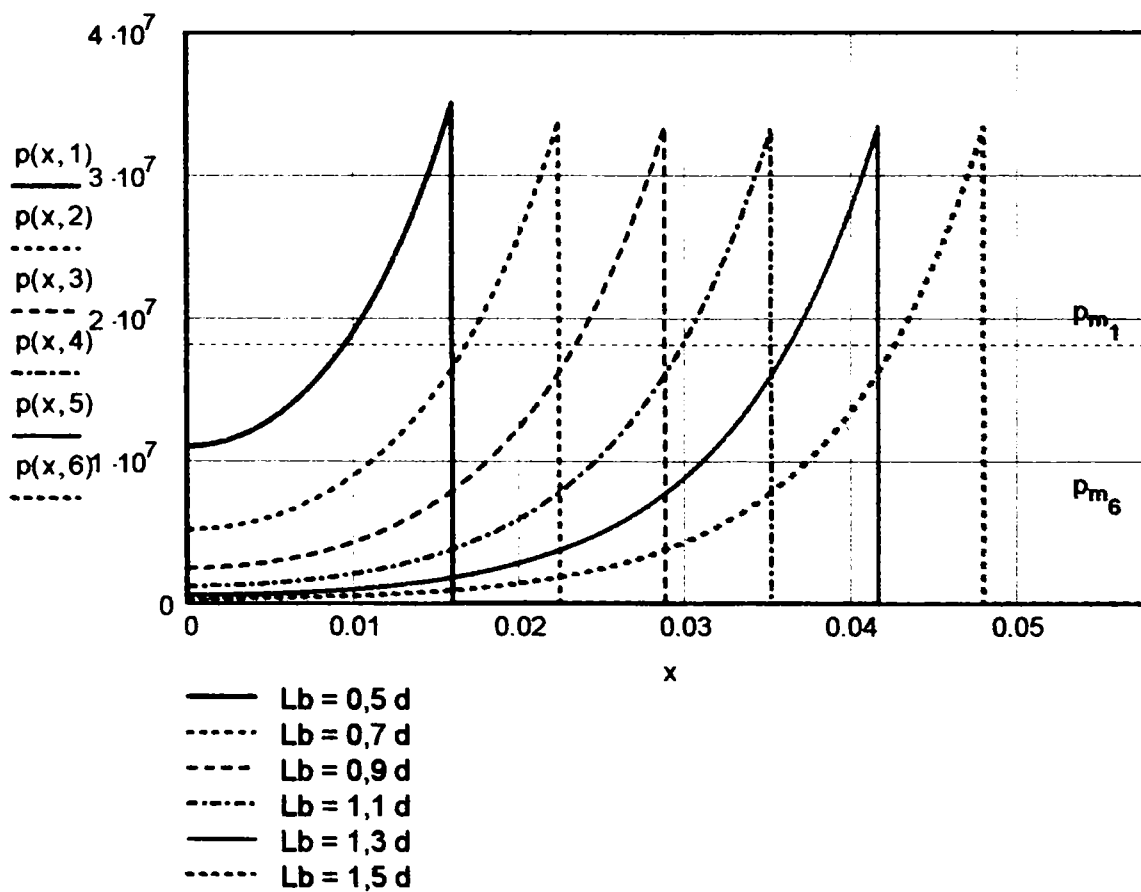
$$p_{m_i} := \frac{2 \cdot T_r}{d_m \cdot z \cdot (y_{Pa} - y_{Na}) \cdot L_{but_j}}$$

$$p_m = \begin{pmatrix} 18.256 \\ 13.04 \\ 10.142 \\ 8.298 \\ 7.021 \\ 6.085 \end{pmatrix} \text{ MPa}$$

Presiunea maxima

$$p_{max_j} := p(L_{but_j}, j)$$

$$p_{max} = \begin{pmatrix} 35.207 \\ 33.847 \\ 33.54 \\ 33.47 \\ 33.454 \\ 33.45 \end{pmatrix} \text{ MPa}$$



Variatia presiunii in functie de lungimea butucului, pentru aplicarea momentului in sectiunea de consolaj maxim

$$p(x, i) := \frac{2 \cdot T_r \cdot \mu_1 \cdot [(1 - \lambda_1) \cdot \cosh(\mu_1 \cdot x) + \lambda_1 \cdot \cosh(\mu_1 \cdot L_{but_i} - \mu_1 \cdot x)]}{d_m \cdot z \cdot (\gamma_{Pa} - \gamma_{Na}) \cdot \sinh(\mu_1 \cdot L_{but_i})} \quad (0 \leq x \leq L_{but_i})$$

Presiunea medie

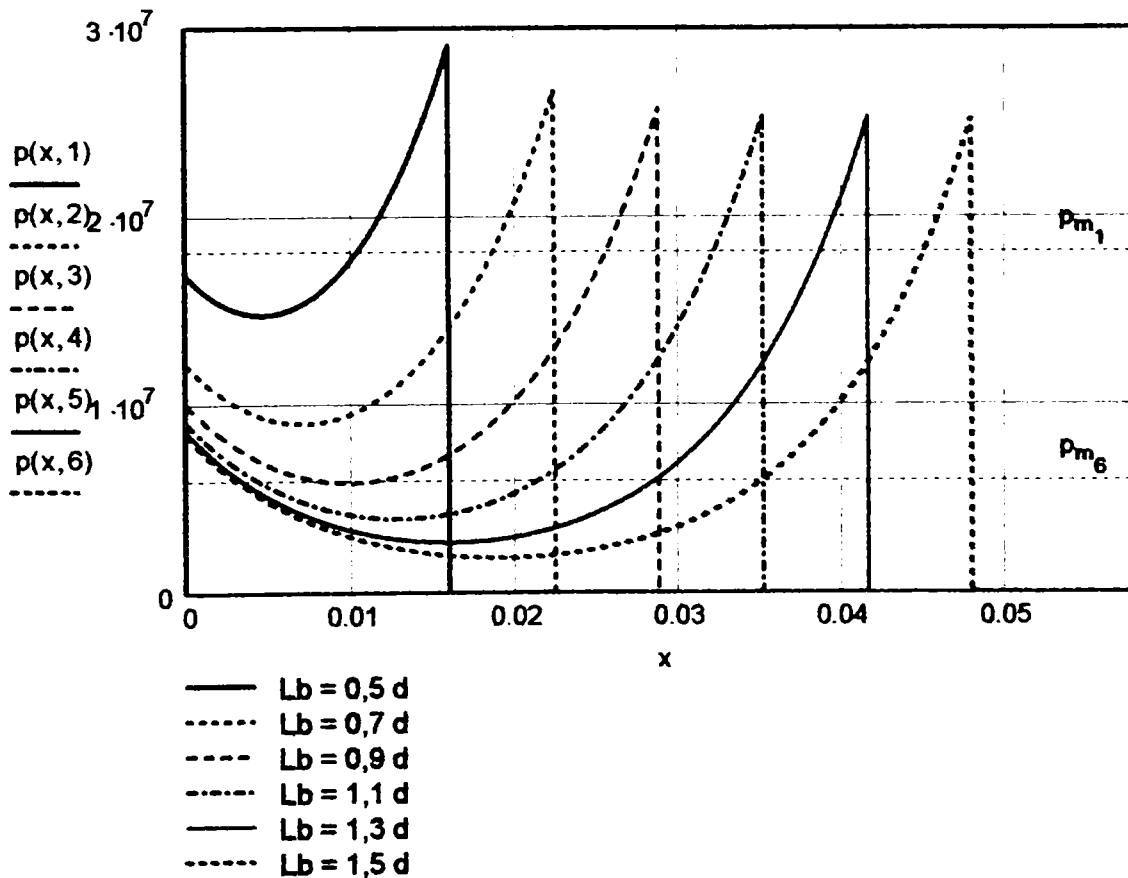
$$p_{m_i} := \frac{2 \cdot T_r}{d_m \cdot z \cdot (\gamma_{Pa} - \gamma_{Na}) \cdot L_{but_i}}$$

$$p_m = \begin{pmatrix} 18.256 \\ 13.04 \\ 10.142 \\ 8.298 \\ 7.021 \\ 6.085 \end{pmatrix} \text{ MPa}$$

Presiunea maxima

$$p_{1max_i} := p(L_{but_i}, i)$$

$$p_{1max} = \begin{pmatrix} 29.263 \\ 26.809 \\ 25.915 \\ 25.546 \\ 25.382 \\ 25.306 \end{pmatrix} \text{ MPa}$$



## Variatia presiunii in functie de sectiunea de aplicare a momentului

Lungimea butucului

$$L_b := 50\text{mm}$$

Distanța de la capatul imbinării la sectiunea de aplicare a momentului

$$n := 1..6$$

$$x_{T_n} := \frac{n-1}{5} \cdot L_b$$

$$x_T = \begin{pmatrix} 0 \\ 10 \\ 20 \\ 30 \\ 40 \\ 50 \end{pmatrix} \text{mm}$$

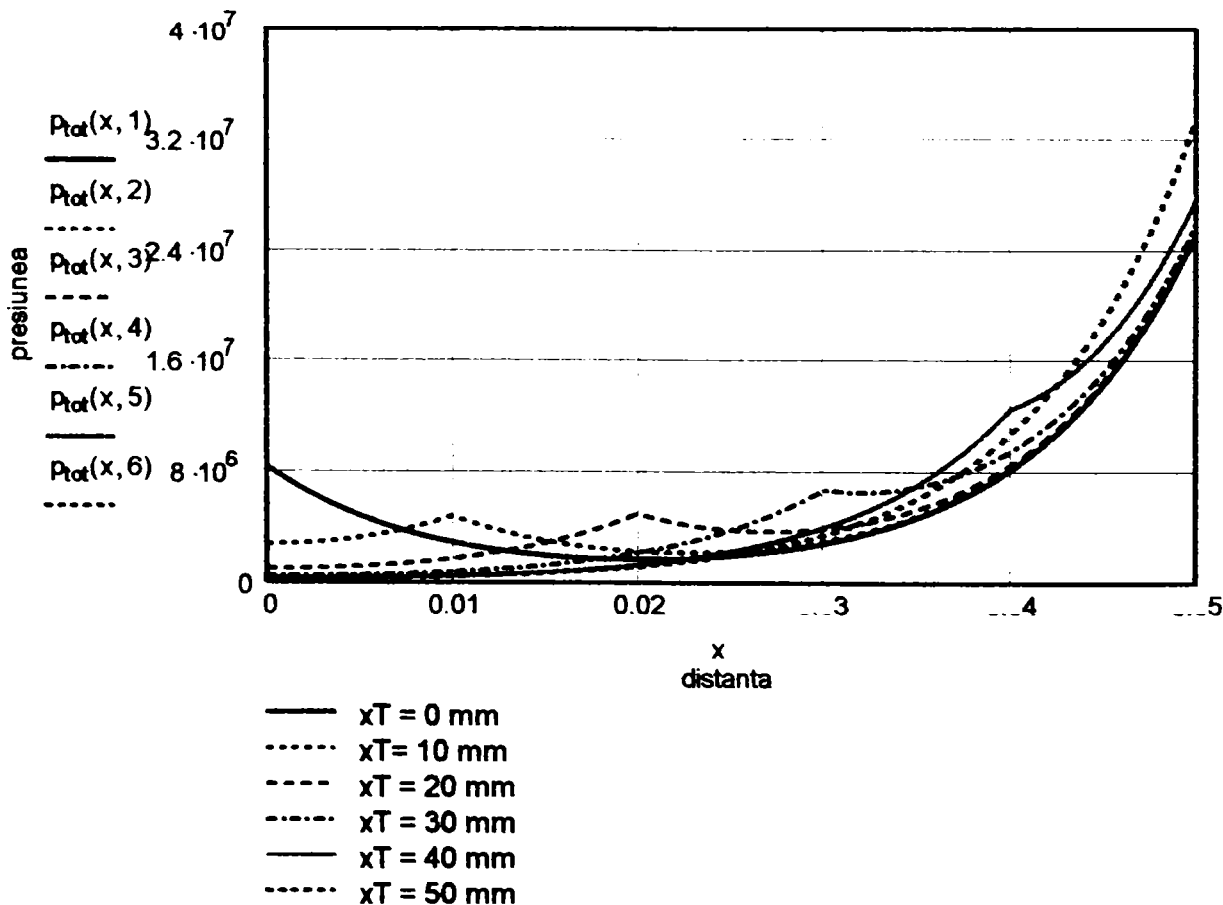
$$p_1(x, n) := \frac{2 \cdot T_r \cdot \mu_1 \cdot \left[ (1 - \lambda_1) + \lambda_1 \cdot \cosh(\mu_1 \cdot L_b - \mu_1 \cdot x_{T_n}) \right] \cdot \cosh(\mu_1 \cdot x)}{d_m \cdot z \cdot (y_{Pa} - y_{Na}) \cdot \sinh(\mu_1 \cdot L_b)}$$

$$p_2(x, n) := \frac{2 \cdot T_r \cdot \mu_1 \cdot \left[ (1 - \lambda_1) \cdot \cosh(\mu_1 \cdot x) + \lambda_1 \cdot \cosh(\mu_1 \cdot L_b - \mu_1 \cdot x) \cdot \cosh(\mu_1 \cdot x_{T_n}) \right]}{d_m \cdot z \cdot (y_{Pa} - y_{Na}) \cdot \sinh(\mu_1 \cdot L_b)}$$

$$p_{tot}(x, n) := \begin{cases} p_1(x, n) & (x < x_{T_n}) \\ p_2(x, n) & (x \geq x_{T_n}) \end{cases} \quad p_{tot}(L_b, 6) = 33.449\text{MPa}$$

Verificare: Momentul produs de distributia de presiuni determinata

$$\int_0^{L_b} p_{tot}(x, 1) \cdot (y_{Pa} - y_{Na}) \cdot z \cdot \frac{d_m}{2} dx = 100\text{N}\cdot\text{m}$$



### Variatia presiunii la aplicarea distribuita a momentului

Momentul distribuit

$$t := \frac{T_r}{L_b}$$

$$t = 2 \frac{N \cdot m}{mm}$$

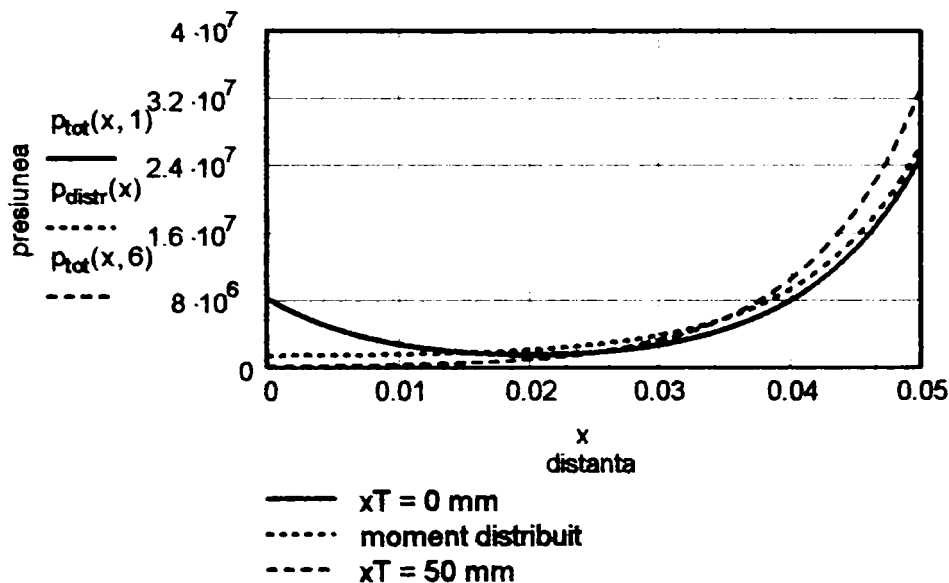
$$P_{distr}(x) := \frac{2 \cdot T_r \cdot \left[ \mu_1 \cdot L_b \cdot (1 - \lambda_1) \cdot \frac{\cosh(\mu_1 \cdot x)}{\sinh(\mu_1 \cdot L_b)} + \lambda_1 \right]}{d_m \cdot z \cdot L_b \cdot (y_{Pa} - y_{Na})}$$

$$P_{distr}(0 \cdot mm) = 1.599 \text{ MPa}$$

$$P_{distr}(L_b) = 26.673 \text{ MPa}$$

Verificare: Momentul produs de distributia de presiuni determinata

$$\int_0^{L_b} P_{distr}(x) \cdot (y_{Pa} - y_{Na}) \cdot z \cdot \frac{d_m}{2} dx = 100 \text{ N} \cdot m$$



$$d_{def}(x) := P_{distr}(x) \cdot \frac{\epsilon_{def}}{E_a}$$

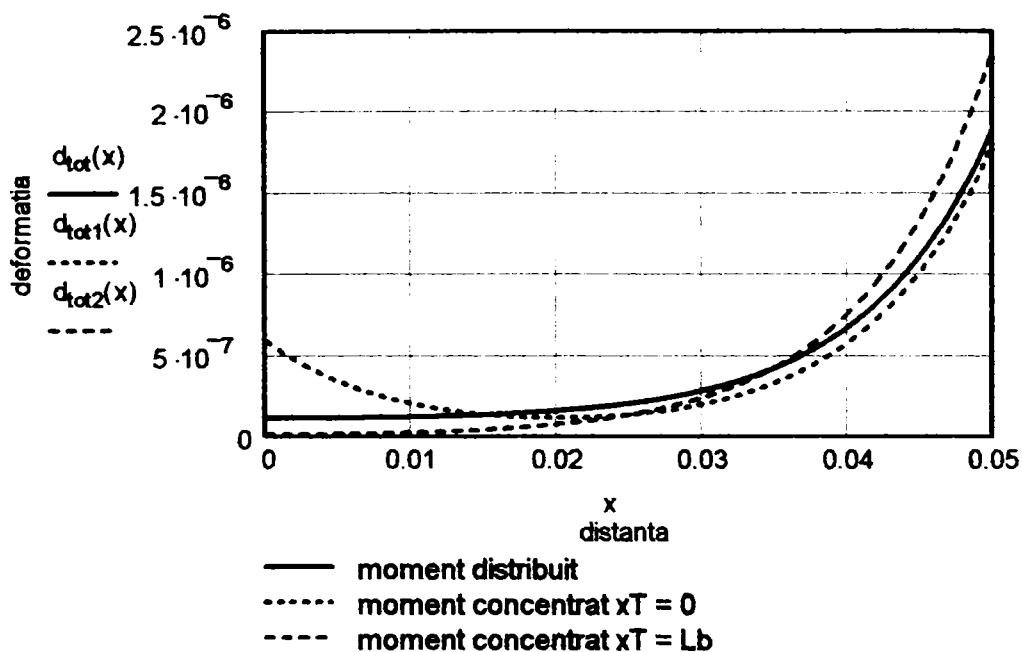
$$d_{d1}(x) := P_{tot}(x, 1) \cdot \frac{\epsilon_{def}}{E_a}$$

$$d_{d2}(x) := P_{tot}(x, 6) \cdot \frac{\epsilon_{def}}{E_a}$$

$$d_{tot}(x) := P_{distr}(x) \cdot \frac{\epsilon_{tot}}{E_a}$$

$$d_{tot1}(x) := P_{tot}(x, 1) \cdot \frac{\epsilon_{tot}}{E_a}$$

$$d_{tot2}(x) := P_{tot}(x, 6) \cdot \frac{\epsilon_{tot}}{E_a}$$



# Rigiditatea canelurilor dreptunghiulare prin iteratii

In exemplul de calcul ce urmeaza s-a folosit imbinarea standardizata cu urmatoarele dimensiuni:

Diametrul interior  $d := 32\text{mm}$  Latimea canelurii  $b := 6\text{mm}$

Diametrul exterior  $D := 38\text{mm}$  Numarul de caneluri  $z := 8$

Diametrul minim al degajarilor de rectificare  $d_1 := 29.4\text{mm}$

Latimea minima a degajarii de rectificare  $f_{\min} := 0.15\text{mm}$

Tesitura canelurii de pe arbore  $c := 0.3\text{mm}$

Racordarea canelurii din butuc  $r := 0.3\text{mm}$

Diametrul mediu al imbinarii  $d_m := \frac{d+D}{2}$   $d_m = 35\text{mm}$

$\text{MPa} := 10^6\text{Pa}$   $\mu\text{m} := 10^{-3}\text{mm}$

Modulul de elasticitate  $E := 2.15 \cdot 10^5\text{MPa}$

Microduritatea suprafetei  $\text{HV} := 2000\text{MPa}$

Geometria imbinarii

racordarea degajarii de rectificare  $r_d := \frac{d^2 - d_1^2}{4 \cdot (d_1 - b)}$   $r_d = 1.706\text{mm}$

semiunghiurile la centru corespunzatoare latimii canelurii :

pe diametrul interior  $\gamma_d := \text{asin}\left(\frac{b}{d}\right)$   $\gamma_d = 10.807\text{ deg}$

pe diametrul mediu  $\gamma_m := \text{asin}\left(\frac{b}{d_m}\right)$   $\gamma_m = 9.871\text{ deg}$

pe diametrul exterior  $\gamma_D := \text{asin}\left(\frac{b}{D}\right)$   $\gamma_D = 9.085\text{ deg}$

semiunghiul la centru corespunzator fatetei de centrare:

pe diametrul interior  $\gamma_Q := \text{asin}\left(\frac{f_{\min}}{d}\right)$   $\gamma_Q = 0.269\text{ deg}$

Coordonatele punctelor caracteristice ale flancului canelurii de pe arbore

$y_{Pa} := \frac{D}{2} \cdot \cos(\gamma_D) - c$   $y_{Pa} = 18.462\text{ mm}$

$y_{Na} := \frac{d}{2} \cdot \cos(\gamma_d) + c$   $y_{Na} = 16.016\text{ mm}$

$S_1 := y_{Pa} - y_{Na}$   $S_1 = 2.445\text{ mm}$

$y_{Ma} := \frac{d}{2} \cdot \cos(\gamma_d)$   $y_{Ma} = 15.716\text{ mm}$

$y_{ma} := \frac{d_m}{2} \cdot \cos(\gamma_m)$   $y_{ma} = 17.241\text{ mm}$

$y_{\min} := \frac{d}{2} \cdot \cos(\gamma_d) - \frac{r_d}{2}$   $y_{\min} = 14.863\text{ mm}$

Latimea canelurii

$s_1 := b$   $s_1 = 6\text{ mm}$   $s_{2a}(y) := b + 2 \cdot r_d - 2 \cdot \sqrt{r_d^2 - (0.5d \cdot \cos(\gamma_d) - y)^2}$

$s_a(y) := s_1 \cdot (y \geq y_{Na}) + s_{2a}(y) \cdot (y < y_{Na})$

Funcțiile de eforturi

pentru grinda reala; (funcțiile de eforturi sunt determinate pentru incarcarea grinzii cu o forta distribuita unitara)

pentru zona in care exista contact

pentru zona fara contact

$$M_{ia1}(y) := \frac{(y_{Pa} - y)^2}{2}$$

$$M_{ia2}(y) := (y_{Pa} - y_{Na}) \cdot \left( \frac{y_{Pa} + y_{Na}}{2} - y \right)$$

$$F_{ta1}(y) := y_{Pa} - y$$

$$F_{ta2}(y) := y_{Pa} - y_{Na}$$

$$M_{ia}(y) := M_{ia1}(y) \cdot (y > y_{Na}) + M_{ia2}(y) \cdot (y < y_{Na})$$

$$F_{ta}(y) := F_{ta1}(y) \cdot (y > y_{Na}) + F_{ta2}(y) \cdot (y < y_{Na})$$

-pentru grinda conjugata

$$m_{ia}(y) := (y < y_{ma}) \cdot \left[ \left( \frac{d_m}{2} \cdot \cos(\gamma_m) - y \right) \cdot \cos(\gamma_m) + \frac{b}{2} \cdot \sin(\gamma_m) \right]$$

$$f_{ta}(y) := \cos(\gamma_m) \cdot (y < y_{ma})$$

Elasticitatea la incovoiere

$$e_{ai} := \int_{y_{min}}^{y_{ma}} \frac{12 \cdot M_{ia}(y) \cdot m_{ia}(y)}{s_a(y)^3} dy$$

$$e_{ai} = 0.764 \text{ mm}$$

$$\nu := 0.3$$

Elasticitatea la deformatii tangentiale

$$e_{at} := 2.4 \cdot (1 + \nu) \cdot \int_{y_{min}}^{y_{ma}} \frac{F_{ta}(y) \cdot f_{ta}(y)}{s_a(y)} dy$$

$$e_{at} = 2.568 \text{ mm}$$

Elasticitatea canelurii de pe arbore

$$e_a := e_{ai} + e_{at}$$

$$e_a = 3.332 \text{ mm}$$

Coordonatele punctelor caracteristice ale flancului canelurii din butuc

Utilizam un sistem de axe similar cu cel de la arbore, dar rotit cu  $\pi/z$

$$y_{Nb} := \frac{d}{2} \cdot \cos\left(\frac{\pi}{z} - \gamma_d\right) + c \cdot \cos\left(\frac{\pi}{z}\right)$$

$$y_{Nb} = 15.945 \text{ mm}$$

$$y_{Pb} := \frac{D}{2} \cdot \cos\left(\frac{\pi}{z} - \gamma_D\right) - c \cdot \cos\left(\frac{\pi}{z}\right)$$

$$y_{Pb} = 18.204 \text{ mm}$$

$$y_{max} := y_{Pb} + r \cdot \left( \frac{1}{2} - \sin\left(\frac{\pi}{z}\right) \right)$$

$$y_{max} = 18.24 \text{ mm}$$

$$z_{Pb} := \frac{D}{2} \cdot \sin\left(\frac{\pi}{z} - \gamma_D\right) + c \cdot \sin\left(\frac{\pi}{z}\right)$$

$$z_{Pb} = 4.523 \text{ mm}$$

$$y_{mb} := \frac{d_m}{2} \cdot \cos\left(\frac{\pi}{z} - \gamma_m\right)$$

$$y_{mb} = 17.077 \text{ mm}$$

latimea canelurii din butuc in zona

- 1 rectilinie

- 2 de racordare

3

$$s_{b1}(y) := 2 \cdot y \cdot \tan\left(\frac{\pi}{z}\right) - \frac{b}{\cos\left(\frac{\pi}{z}\right)}$$

$$s_{b2}(y) := 2 \cdot \left[ z_{Pb} + r \cdot \cos\left(\frac{\pi}{z}\right) - \sqrt{r^2 - \left( y - y_{Pb} + r \cdot \sin\left(\frac{\pi}{z}\right) \right)^2} \right]$$

$$s_b(y) := s_{b1}(y) \cdot (y > y_{Na}) + s_{b2}(y) \cdot (y < y_{Na})$$

A.9.2



Funcțiile de eforturi pentru grinda reala

$$M_{ib1}(y) := \frac{y - y_{Nb}}{2} \left[ (y - y_{Nb}) - s_{b1} \left( \frac{y + y_{Nb}}{2} \right) \cdot \tan \left( \frac{\pi}{z} \right) \right]$$

$$M_{ib2}(y) := (y_{Pb} - y_{Nb}) \cdot \left[ \left( y - \frac{y_{Pb} + y_{Nb}}{2} \right) - \frac{s_{b1} \left( \frac{y_{Pb} + y_{Nb}}{2} \right)}{2} \cdot \tan \left( \frac{\pi}{z} \right) \right]$$

$$F_{nb1}(y) := (y - y_{Nb}) \cdot \tan \left( \frac{\pi}{z} \right)$$

$$F_{nb2}(y) := (y_{Pb} - y_{Nb}) \cdot \tan \left( \frac{\pi}{z} \right)$$

$$F_{tb1}(y) := y - y_{Nb}$$

$$F_{tb2}(y) := y_{Pb} - y_{Nb}$$

$$M_{ib}(y) := M_{ib1}(y) \cdot (y_{Nb} \leq y < y_{Pb}) + M_{ib2}(y) \cdot (y_{Pb} \leq y \leq y_{max})$$

$$F_{nb}(y) := F_{nb1}(y) \cdot (y < y_{Pb}) + F_{nb2}(y) \cdot (y > y_{Pb})$$

$$F_{tb}(y) := F_{tb1}(y) \cdot (y < y_{Pb}) + F_{tb2}(y) \cdot (y > y_{Pb})$$

pentru grinda conjugata

$$m_{ib}(y) := (y - y_{mb}) \cdot \cos \left( \frac{\pi}{z} - \gamma_m \right) - \frac{s_{b1}(y_{mb})}{2} \cdot \sin \left( \frac{\pi}{z} - \gamma_m \right)$$

$$f_{tb}(y) := \cos \left( \frac{\pi}{z} - \gamma_m \right)$$

$$f_{nb}(y) := \sin \left( \frac{\pi}{z} - \gamma_m \right)$$

Elasticitatea la incovoiere

$$e_{bi} := \int_{y_{mb}}^{y_{max}} \frac{12 \cdot M_{ib}(y) \cdot m_{ib}(y)}{s_b(y)^3} dy$$

$$e_{bi} = 0.009 \text{ mm}$$

Elasticitatea la deformatii tangențiale

$$e_{tx} := 2.4 \cdot (1 + \nu) \cdot \int_{y_{mb}}^{y_{Pb}} \frac{F_{tb1}(y) \cdot f_{tb}(y)}{s_b(y)} dy$$

$$e_{tx} = 0.713 \text{ mm}$$

Elasticitatea la deformatii de compresiune

$$e_{bn} := \int_{y_{mb}}^{y_{max}} \frac{F_{nb1}(y) \cdot f_{nb}(y)}{s_b(y)} dy$$

$$e_{bn} = 0.022 \text{ mm}$$

Elasticitatea canelurii din butuc

$$e_b := e_{bi} + e_{tx} + e_{bn}$$

$$e_b = 0.744 \text{ mm}$$

Elasticitatea insumata a elementelor imbinarii

$$e_{def} := e_a + e_b$$

$$e_{def} = 4.076 \text{ mm}$$

Rigiditatea de contact

h - apropierea suprafetelor de contact datorita deformatiei rugozitatilor

$$R_a := 0.8 \mu\text{m}$$

$$p_{max} := 65 \text{ MPa}$$

$$h(p) := 3.4 \cdot R_a \cdot \left( \frac{p}{HV} \right)^{\frac{1}{3}}$$

$$h(p_{max}) = 0.868 \mu\text{m}$$

$$e_{contact} := h \left( \frac{2 \cdot p_{max}}{3} \right) \cdot \frac{3 \cdot E}{2 \cdot p_{max}}$$

$$e_{contact} = 3.762 \text{ mm}$$

$$e_{total} := e_{def} + e_{contact}$$

$$e_{total} = 7.839 \text{ mm}$$

$$h_{apr}(p) := e_{contact} \cdot \frac{p}{E}$$

$$p_1 := \frac{P_{max}}{10}$$

$$p_1 = 6.5 \text{ MPa}$$

$$p_2 := \frac{P_{max}}{2}$$

$$p_2 = 32.5 \text{ MPa}$$

$$k := 1..3$$

$$h_{aprox1}(p) := h(p_1) \cdot \frac{p}{p_1}$$

$$e_{c1} := \frac{h(p_1)}{p_1} \cdot E$$

$$e_{c1} = 13.327 \text{ mm}$$

$$\delta_{h1}(p) := \frac{h(p) - h_{aprox1}(p)}{h(p)} \quad (0 \leq p \leq p_1)$$

$$Ph1_{max} := \text{Maximize}(\delta_{h1}, p_1)$$

$$Ph1_{max} = 6.916 \times 10^{-5} \text{ MPa}$$

$$\delta_{h1max} := \delta_{h1}(Ph1_{max})$$

$$\delta_{h1max} = 99.952 \%$$

$$h_{aprox2}(p) := h(p_1) + \frac{h(p_2) - h(p_1)}{p_2 - p_1} \cdot (p - p_1)$$

$$e_{c2} := \frac{h(p_2) - h(p_1)}{p_2 - p_1} \cdot E$$

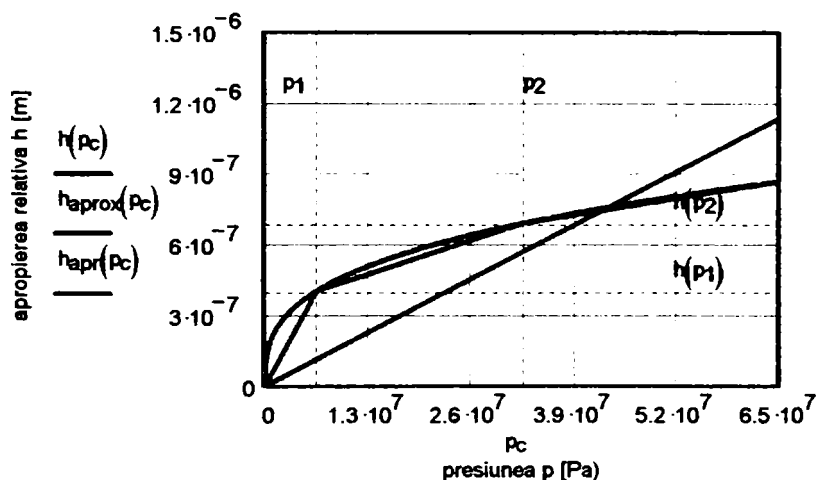
$$e_{c2} = 2.365 \text{ mm}$$

$$h_{aprox3}(p) := h(p_2) + \frac{h(p_{max}) - h(p_2)}{p_{max} - p_2} \cdot (p - p_2)$$

$$e_{c3} := \frac{h(p_{max}) - h(p_2)}{p_{max} - p_2} \cdot E$$

$$e_{c3} = 1.185 \text{ mm}$$

$$h_{aprox}(p) := h_{aprox1}(p) \cdot (0 \leq p \leq p_1) + h_{aprox2}(p) \cdot (p_1 < p \leq p_2) + h_{aprox3}(p) \cdot (p_2 < p \leq p_{max})$$



$$Z_c := Z$$

$$d_{b0} := 48 \text{ mm}$$

$$L_b := 50 \text{ mm}$$

$$\mu_0 := \sqrt{16 \cdot Z_c \cdot \frac{d_m^2 \cdot (Y_{Pa} - Y_{Na})}{\pi \cdot e_{total}} \cdot (1 + \nu) \cdot \left( \frac{1}{d_1^4} + \frac{1}{d_{b0}^4 - D^4} \right)}$$

$$\mu_0 = 0.183 \text{ mm}^{-1}$$

$$T_0 := 100000 \text{ N} \cdot \text{mm}$$

$$\mu_{def} := \sqrt{16 \cdot Z_c \cdot \frac{d_m^2 \cdot (Y_{Pa} - Y_{Na})}{\pi \cdot e_{def}} \cdot (1 + \nu) \cdot \left( \frac{1}{d_1^4} + \frac{1}{d_{b0}^4 - D^4} \right)}$$

$$\mu_{def} = 0.253 \text{ mm}^{-1}$$

$$\lambda := \frac{d^4}{d^4 + d_{b0}^4 - D^4}$$

$$\lambda = 0.245$$

$$T_t := 100\text{N}\cdot\text{m}$$

$$p(x) := \frac{2 \cdot T_t \cdot \mu \sigma \cosh(\mu \sigma x)}{d_m \cdot z_c \cdot (y_{Pa} - y_{Na}) \cdot \sinh(\mu \sigma L_b)}$$

$$p(L_b) = 53.36 \text{ MPa}$$

$$p(0-L_b) = 0.012 \text{ MPa}$$

$$p_{def}(x) := \frac{2 \cdot T_t \cdot \mu_{def} \cosh(\mu_{def} x)}{d_m \cdot z_c \cdot (y_{Pa} - y_{Na}) \cdot \sinh(\mu_{def} L_b)}$$

$$p_{def}(L_b) = 73.995 \text{ MPa}$$

$$p_m := \frac{2 \cdot T_t}{d_m \cdot z_c \cdot (y_{Pa} - y_{Na}) \cdot L_b}$$

$$p_m = 5.842 \text{ MPa}$$

Variatia presiunii pe lungimea butucului pentru aplicarea momentului in sectiunea de consolaj minim

$$k := 1..3$$

$$e_{tot_k} := e_{def} + e_{c_k} \quad e_{tot} = \begin{pmatrix} 0 \\ 17.403 \\ 6.442 \\ 5.261 \end{pmatrix} \text{ mm}$$

$$\mu_k := \sqrt{16 \cdot z_c \cdot \frac{d_m^2 \cdot (y_{Pa} - y_{Na})}{\pi \cdot e_{tot_k}} \cdot (1 + \nu) \cdot \left( \frac{1}{d_1^4} + \frac{1}{d_{b0}^4 - D^4} \right)} \quad \mu = \begin{pmatrix} 0 \\ 0.123 \\ 0.202 \\ 0.223 \end{pmatrix} \text{ mm}^{-1}$$

$$x_1 := \frac{3 \cdot L_b}{4}$$

$$x_1 := \text{root}(p(x_1) - p_1, x_1)$$

$$x_1 = 38.476 \text{ mm}$$

$$x_2 := \frac{9 \cdot L_b}{10}$$

$$x_2 := \text{root}(p(x_2) - p_2, x_2)$$

$$x_2 = 47.266 \text{ mm}$$

$$x_3 := L_b$$

$$M_3 := \begin{pmatrix} 1 & 1 & 0 & 0 & 0 & 0 \\ e^{\mu_1 x_1} & -e^{-\mu_1 x_1} & -e^{\mu_2 x_1} & -e^{-\mu_2 x_1} & 0 & 0 \\ e^{\mu_1 x_1} & -e^{-\mu_1 x_1} & \frac{\mu_2}{\mu_1} e^{\mu_2 x_1} & \frac{\mu_2}{\mu_1} e^{-\mu_2 x_1} & 0 & 0 \\ 0 & 0 & e^{\mu_2 x_2} & -e^{-\mu_2 x_2} & -e^{\mu_3 x_2} & -e^{-\mu_3 x_2} \\ 0 & 0 & e^{\mu_2 x_2} & -e^{-\mu_2 x_2} & \frac{\mu_3}{\mu_2} e^{\mu_3 x_2} & \frac{\mu_3}{\mu_2} e^{-\mu_3 x_2} \\ 0 & 0 & 0 & 0 & e^{\mu_3 x_3} & -e^{-\mu_3 x_3} \end{pmatrix}$$

$$B_T := \begin{pmatrix} 0 \\ 0 \\ 0 \\ 0 \\ 0 \\ 1 \end{pmatrix}$$

$$C_3 := \text{solve}(M_3, B_T)$$

$$C_3 = \begin{pmatrix} 1.062 \times 10^{-3} \\ -1.062 \times 10^{-3} \\ 4.098 \times 10^{-5} \\ 54.164 \\ 1.414 \times 10^{-5} \\ 1.173 \times 10^3 \end{pmatrix}$$

$$T_{aprox1}(x) := T_t \cdot \left( C_{3_0} \cdot e^{\mu_1 \cdot x} + C_{3_1} \cdot e^{-\mu_1 \cdot x} \right) \quad T_{aprox2}(x) := T_t \cdot \left( C_{3_2} \cdot e^{\mu_2 \cdot x} + C_{3_3} \cdot e^{-\mu_2 \cdot x} \right)$$

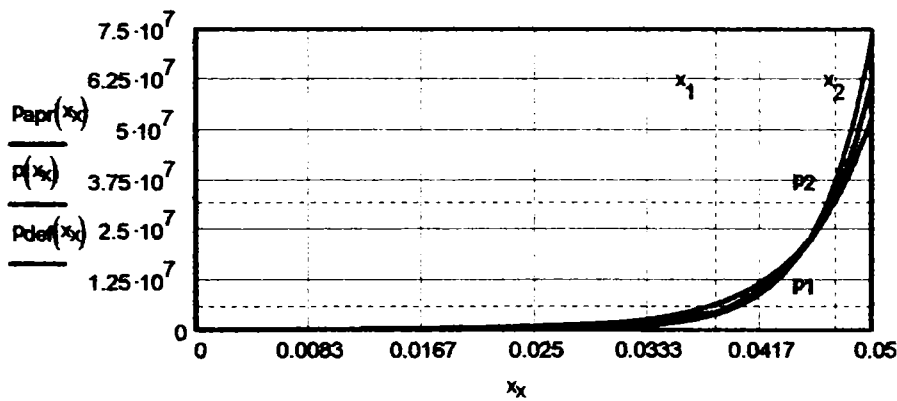
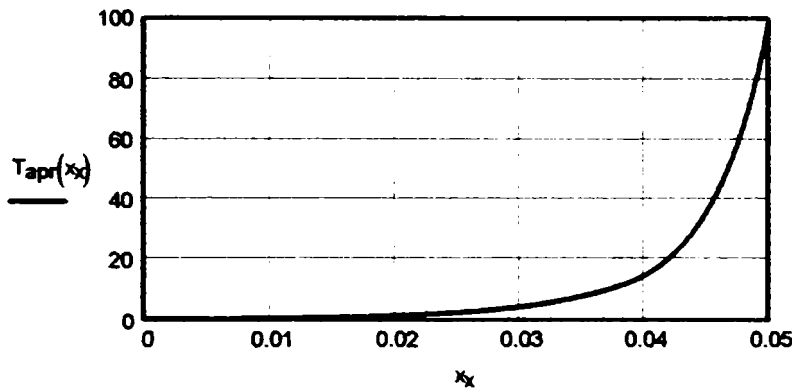
$$T_{aprox3}(x) := T_t \cdot \left( C_{3_4} \cdot e^{\mu_3 \cdot x} + C_{3_5} \cdot e^{-\mu_3 \cdot x} \right) \quad T_{aprox3}(x_3) = 100 \text{ N}\cdot\text{m}$$

$$T_{apr}(x_x) := T_{aprox1}(x_x) \cdot (0 \leq x_x \leq x_1) + T_{aprox2}(x_x) \cdot (x_1 < x_x \leq x_2) + T_{aprox3}(x_x) \cdot (x_2 < x_x \leq x_3)$$

$$P_{aprox1}(x) := \frac{2 \cdot \mu_1 \cdot T_t}{d_m \cdot z_c \cdot S_1} \cdot \left( C_{3_0} \cdot e^{\mu_1 \cdot x} - C_{3_1} \cdot e^{-\mu_1 \cdot x} \right) \quad P_{aprox2}(x) := \frac{2 \cdot \mu_2 \cdot T_t}{d_m \cdot z_c \cdot S_1} \cdot \left( C_{3_2} \cdot e^{\mu_2 \cdot x} - C_{3_3} \cdot e^{-\mu_2 \cdot x} \right)$$

$$P_{aprox3}(x) := \frac{2 \cdot \mu_3 \cdot T_t}{d_m \cdot z_c \cdot S_1} \cdot \left( C_{3_4} \cdot e^{\mu_3 \cdot x} - C_{3_5} \cdot e^{-\mu_3 \cdot x} \right)$$

$$P_{apr}(x_x) := P_{aprox1}(x_x) \cdot (0 \leq x_x \leq x_1) + P_{aprox2}(x_x) \cdot (x_1 < x_x \leq x_2) + P_{aprox3}(x_x) \cdot (x_2 < x_x \leq x_3)$$



Deformatia canelurilor  $\delta(x) := \epsilon_{total} \cdot \frac{P(x)}{E} \quad \delta(L_b) = 1.945 \mu\text{m}$

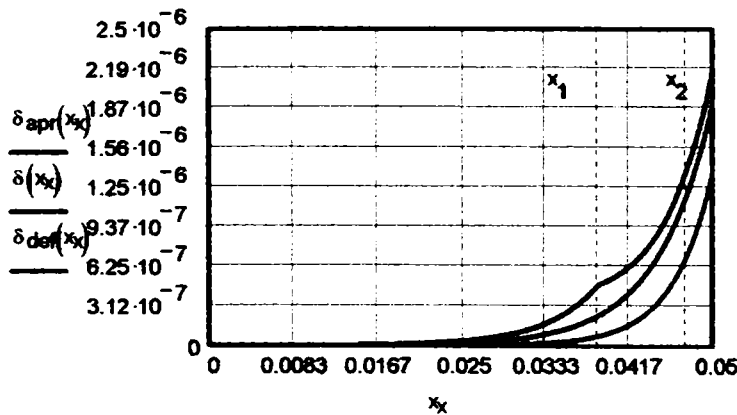
$$\delta_{def}(x) := \epsilon_{def} \cdot \frac{P_{def}(x)}{E} \quad \delta_{def}(L_b) = 1.403 \mu\text{m}$$

$$e_{apr}(x_x) := \epsilon_{\alpha_1} \cdot (0 \leq x_x \leq x_1) + \epsilon_{\alpha_2} \cdot (x_1 < x_x \leq x_2) + \epsilon_{\alpha_3} \cdot (x_2 < x_x \leq x_3)$$

$$e_{apr}(L_b) = 5.261 \text{ mm}$$

$$\delta_{apr}(x) := h_{aprox}(P(x)) + \delta_{def}(x)$$

$$\delta_{apr}(L_b) = 2.207 \mu\text{m}$$



Variatia presiunii pe lungimea butucului pentru aplicarea momentului in sectiunea de consolaj maxim  
Rigiditatea de contact

h - apropierea suprafetelor de contact datorita deformatiei rugozitatilor

$$R_a := 1.6 \mu\text{m}$$

$$P_{\text{max}} := 50 \text{ MPa}$$

$$h(p) := 3.4 \cdot R_a \cdot \left( \frac{p}{HV} \right)^{\frac{1}{3}} \quad h(P_{\text{max}}) = 1.591 \mu\text{m}$$

$$e_{\text{contact}} := h \left( \frac{2 \cdot P_{\text{max}}}{3} \right) \cdot \frac{3 \cdot E}{2 \cdot P_{\text{max}}} \quad e_{\text{contact}} = 8.963 \text{ mm} \quad e_{\text{total}} := e_{\text{def}} + e_{\text{contact}}$$

$$h_{\text{apr}}(p) := e_{\text{contact}} \cdot \frac{p}{E}$$

$$p_1 := \frac{P_{\text{max}}}{10} \quad p_1 = 5 \text{ MPa}$$

$$p_1 = 5 \text{ MPa}$$

$$p_2 := \frac{P_{\text{max}}}{2} \quad p_2 = 25 \text{ MPa}$$

$$p_2 = 25 \text{ MPa}$$

$$k := 1..3$$

$$h_{\text{aprox1}}(p) := h(p_1) \cdot \frac{p}{p_1}$$

$$e_{c1} := \frac{h(p_1)}{p_1} \cdot E \quad e_{c1} = 31.748 \text{ mm}$$

$$e_{c1} = 31.748 \text{ mm}$$

$$\delta_{h1}(p) := \frac{h(p) - h_{\text{aprox1}}(p)}{h(p)} \quad (0 \leq p \leq p_1)$$

$$P_{h1\text{max}} := \text{Maximize}(\delta_{h1}, p_1)$$

$$P_{h1\text{max}} = 5.32 \times 10^{-5} \text{ MPa}$$

$$\delta_{h1\text{max}} := \delta_{h1}(P_{h1\text{max}})$$

$$\delta_{h1\text{max}} = 99.952 \%$$

$$h_{\text{aprox2}}(p) := h(p_1) + \frac{h(p_2) - h(p_1)}{p_2 - p_1} \cdot (p - p_1)$$

$$e_{c2} := \frac{h(p_2) - h(p_1)}{p_2 - p_1} \cdot E \quad e_{c2} = 5.635 \text{ mm}$$

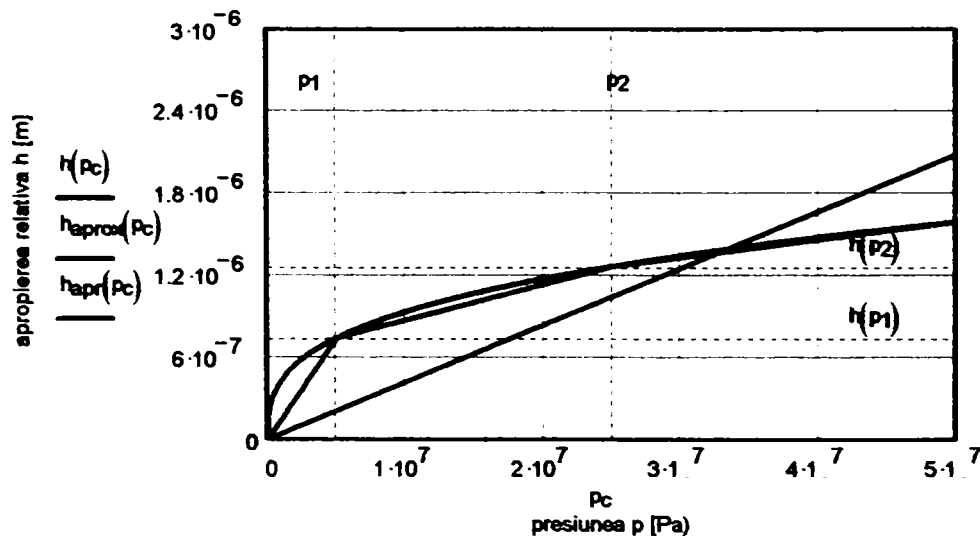
$$e_{c2} = 5.635 \text{ mm}$$

$$h_{\text{aprox3}}(p) := h(p_2) + \frac{h(P_{\text{max}}) - h(p_2)}{P_{\text{max}} - p_2} \cdot (p - p_2)$$

$$e_{c3} := \frac{h(P_{\text{max}}) - h(p_2)}{P_{\text{max}} - p_2} \cdot E \quad e_{c3} = 2.822 \text{ mm}$$

$$e_{c3} = 2.822 \text{ mm}$$

$$h_{\text{aprox}}(p) := h_{\text{aprox1}}(p) \cdot (0 \leq p \leq p_1) + h_{\text{aprox2}}(p) \cdot (p_1 < p \leq p_2) + h_{\text{aprox3}}(p) \cdot (p_2 < p \leq P_{\text{max}})$$



$$p_{\text{def}}(x) := \frac{2 \cdot T_f \cdot \mu_{\text{def}} \left[ (1 - \lambda) \cdot \cosh(\mu_{\text{def}} x) + \lambda \cdot \cosh(\mu_{\text{def}} L_b - \mu_{\text{def}} x) \right]}{d_m \cdot Z_c \cdot (y_{Pa} - y_{Na}) \cdot \sinh(\mu_{\text{def}} L_b)}$$

$$p_{\text{def}}(L_b) = 55.832 \text{ MPa}$$

$$p(x) := \frac{2 \cdot T_f \cdot \mu_{\sigma} \left[ (1 - \lambda) \cdot \cosh(\mu_{\sigma} x) + \lambda \cdot \cosh(\mu_{\sigma} L_b - \mu_{\sigma} x) \right]}{d_m \cdot Z_c \cdot (y_{Pa} - y_{Na}) \cdot \sinh(\mu_{\sigma} L_b)}$$

$$p(L_b) = 40.265 \text{ MPa}$$

$$p(0 \cdot L_b) = 13.107 \text{ MPa}$$

$$k := 1..4$$

$$x_1 := \frac{L_b}{10} \quad x_1 := \text{root}(p(x_1) - p_1, x_1) \quad x_1 = 5.286 \text{ mm}$$

$$x_2 := \frac{3 \cdot L_b}{4} \quad x_2 := \text{root}(p(x_2) - p_1, x_2) \quad x_2 = 38.569 \text{ mm}$$

$$x_3 := \frac{5 \cdot L_b}{6} \quad x_3 := \text{root}(p(x_3) - p_2, x_3) \quad x_3 = 47.391 \text{ mm}$$

$$x_4 := L_b \quad x_4 = 50 \text{ mm}$$

$$M_4 := \begin{pmatrix} 1 & 1 & 0 & 0 & 0 & 0 & 0 & 0 \\ e^{\mu_2 \cdot x_1} & e^{-\mu_2 \cdot x_1} & -e^{\mu_1 \cdot x_1} & -e^{-\mu_1 \cdot x_1} & 0 & 0 & 0 & 0 \\ e^{\mu_2 \cdot x_1} & -e^{-\mu_2 \cdot x_1} & -\frac{\mu_1}{\mu_2} \cdot e^{\mu_1 \cdot x_2} & \frac{\mu_1}{\mu_2} \cdot e^{-\mu_1 \cdot x_2} & 0 & 0 & 0 & 0 \\ 0 & 0 & e^{\mu_1 \cdot x_2} & -e^{-\mu_1 \cdot x_2} & -e^{\mu_2 \cdot x_2} & -e^{-\mu_2 \cdot x_2} & 0 & 0 \\ 0 & 0 & e^{\mu_1 \cdot x_2} & -e^{-\mu_1 \cdot x_2} & \frac{\mu_2}{\mu_1} \cdot e^{\mu_2 \cdot x_2} & \frac{\mu_2}{\mu_1} \cdot e^{-\mu_2 \cdot x_2} & 0 & 0 \\ 0 & 0 & 0 & 0 & e^{\mu_2 \cdot x_3} & -e^{-\mu_2 \cdot x_3} & -e^{\mu_3 \cdot x_3} & -e^{-\mu_3 \cdot x_3} \\ 0 & 0 & 0 & 0 & e^{\mu_2 \cdot x_3} & -e^{-\mu_2 \cdot x_3} & \frac{\mu_3}{\mu_2} \cdot e^{\mu_3 \cdot x_3} & \frac{\mu_3}{\mu_2} \cdot e^{-\mu_3 \cdot x_3} \\ 0 & 0 & 0 & 0 & 0 & 0 & e^{\mu_3 \cdot x_4} & -e^{-\mu_3 \cdot x_4} \end{pmatrix}$$

$$B_{T4} := \begin{pmatrix} -\lambda \\ 0 \\ 0 \\ 0 \\ 0 \\ 0 \\ 0 \\ 1 - \lambda \end{pmatrix}$$

$$C_4 := \text{Isolve}(M_4, B_{T4})$$

$$C_4 = \begin{pmatrix} -0.008498 \\ -0.236963 \\ 0.000812 \\ -0.206252 \\ 0.000031 \\ 39.236729 \\ 0.000011 \\ 917.403357 \end{pmatrix}$$

$$T_{\text{aprox1}}(x_x) := T_t \cdot \left( C_{4_0} \cdot e^{\mu_2 \cdot x_x} + C_{4_1} \cdot e^{-\mu_2 \cdot x_x} + \lambda \right) \cdot (0 \leq x_x \leq x_1)$$

$$T_{\text{aprox2}}(x_x) := T_t \cdot \left( C_{4_2} \cdot e^{\mu_1 \cdot x_x} + C_{4_3} \cdot e^{-\mu_1 \cdot x_x} + \lambda \right) \cdot (x_1 \leq x_x \leq x_2)$$

$$T_{\text{aprox3}}(x_x) := T_t \cdot \left( C_{4_4} \cdot e^{\mu_2 \cdot x_x} + C_{4_5} \cdot e^{-\mu_2 \cdot x_x} + \lambda \right) \cdot (x_2 < x_x \leq x_3)$$

$$T_{\text{aprox3}}(x_3) = 68.338 \text{ N} \cdot \text{m}$$

$$T_{\text{aprox4}}(x_x) := T_t \cdot \left( C_{4_6} \cdot e^{\mu_3 \cdot x_x} + C_{4_7} \cdot e^{-\mu_3 \cdot x_x} + \lambda \right) \cdot (x_3 < x_x \leq x_4)$$

$$T_{\text{aprox4}}(x_4) = 100 \text{ N} \cdot \text{m}$$

$$T_{\text{apr}}(x_x) := T_{\text{aprox1}}(x_x) + T_{\text{aprox2}}(x_x) + T_{\text{aprox3}}(x_x) + T_{\text{aprox4}}(x_x)$$

$$P_{\text{aprox1}}(x_x) := \frac{2 \cdot \mu_2 \cdot T_t}{d_m \cdot z_c \cdot S_1} \cdot \left( C_{4_0} \cdot e^{\mu_2 \cdot x_x} - C_{4_1} \cdot e^{-\mu_2 \cdot x_x} \right) \cdot (0 \leq x_x \leq x_1)$$

$$P_{\text{aprox1}}(x_1) = 3.356 \text{ MPa}$$

$$P_{\text{aprox2}}(x_x) := \frac{2 \cdot \mu_1 \cdot T_t}{d_m \cdot z_c \cdot S_1} \cdot \left( C_{4_2} \cdot e^{\mu_1 \cdot x_x} - C_{4_3} \cdot e^{-\mu_1 \cdot x_x} \right) \cdot (x_1 < x_x \leq x_2)$$

$$P_{\text{aprox2}}(x_1) = 0 \text{ MPa}$$

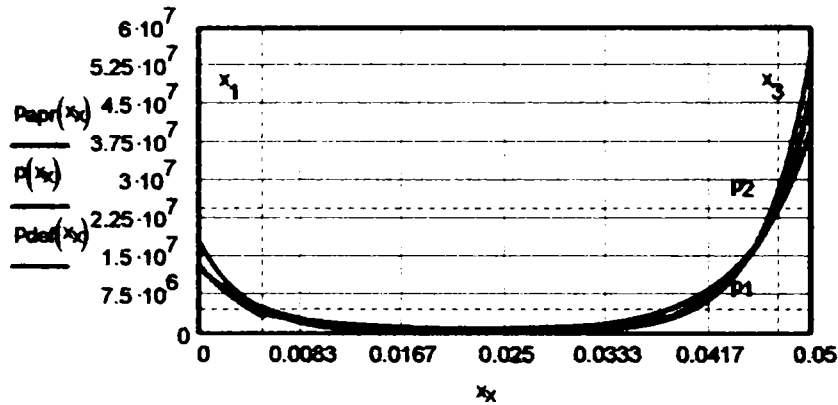
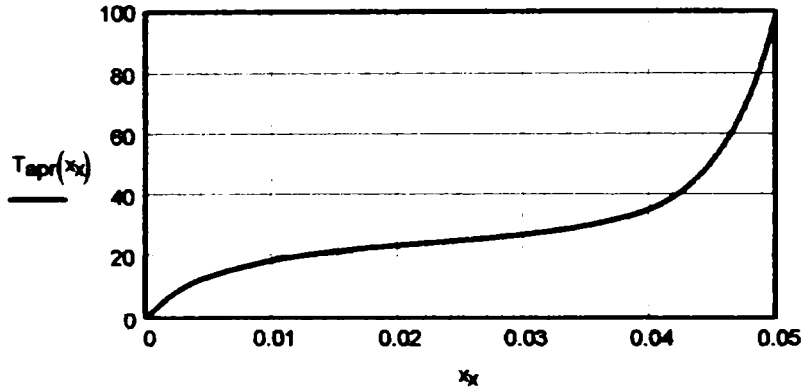
$$P_{aprox3}(x_x) := \frac{2 \cdot \mu_2 \cdot T_f}{d_m \cdot z_c \cdot S_1} \left( C_{4_4} \cdot e^{\mu_2 \cdot x_x} - C_{4_5} \cdot e^{-\mu_2 \cdot x_x} \right) \cdot (x_2 < x_x \leq x_3)$$

$$P_{aprox3}(x_3) = 25.448 \text{ MPa}$$

$$P_{aprox4}(x_x) := \frac{2 \cdot \mu_3 \cdot T_f}{d_m \cdot z_c \cdot S_1} \left( C_{4_6} \cdot e^{\mu_3 \cdot x_x} - C_{4_7} \cdot e^{-\mu_3 \cdot x_x} \right) \cdot (x_3 < x_x \leq x_4)$$

$$P_{aprox4}(x_4) = 47.427 \text{ MPa}$$

$$P_{apr}(x_x) := P_{aprox1}(x_x) + P_{aprox2}(x_x) + P_{aprox3}(x_x) + P_{aprox4}(x_x)$$



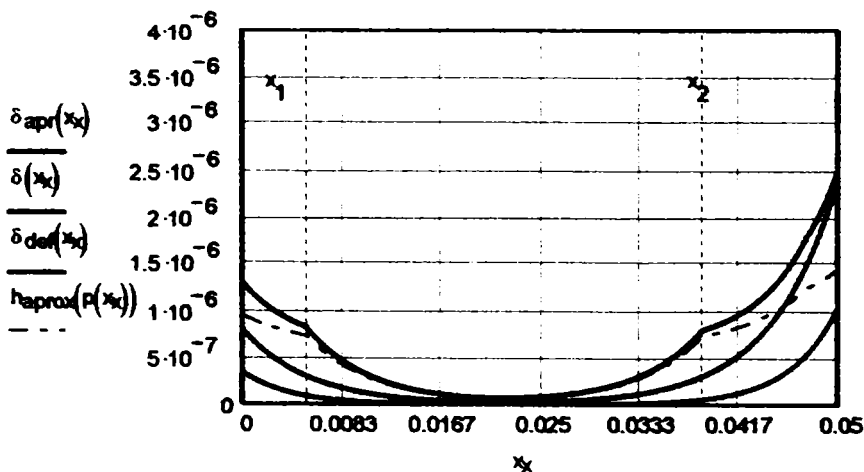
Variatia presiunii pe lungimea butucului pentru aplicarea momentului in sectiunea de consolaj maxim

Deformatia canelurilor

$$\delta(x) := e_{total} \frac{P(x)}{E} \quad \delta(L_b) = 2.442 \mu\text{m}$$

$$\delta_{def}(x) := e_{def} \frac{P_{def}(x)}{F} \quad \delta_{def}(L_b) = 1.059 \mu\text{m}$$

$$\delta_{apr}(x) := h_{aprox}(P(x)) + \delta_{def}(x) \quad \delta_{apr}(L_b) = 2.521 \mu\text{m}$$



# Rigiditatea canelurilor dreptunghiulare

In exemplul de calcul ce urmeaza s-a folosit imbinarea standardizata cu urmatoarele dimensiuni

Diametrul interior	$d := 32\text{mm}$	
Diametrul exterior	$D := 40\text{mm}$	$\mu\text{m} := 10^{-3}\text{mm}$
Latimea canelurii	$b := 5\text{mm}$	
Numarul de caneluri	$z := 10$	$\text{MPa} := 10^6\text{Pa}$
Diametrul minim al degajarilor de rectificare	$d_1 := 28\text{mm}$	
Latimea degajarii de rectificare	$f_{\text{min}} := 0.15\text{mm}$	
Tesitura canelurii de pe arbore	$c := 0.3\text{mm}$	
Racordarea canelurii din butuc	$r := 0.3\text{mm}$	
Diametrul mediu al imbinarii	$d_m := 0.5(d + D)$	$d_m = 36\text{mm}$
Modulul de elasticitate	$E := 2.15 \cdot 10^5\text{MPa}$	
Coeficientul de contracție transversala	$\nu := 0.3$	
Microduritatea suprafetei	$HV := 2000\text{MPa}$	
Presiunea medie estimata	$p_{\text{med}} := 10\text{MPa}$	
Presiunea maxima estimata	$p_{\text{max}} := 40\text{MPa}$	

## Geometria imbinarii

racordarea degajarii de rectificare

$$r_d := \frac{d^2 - d_1^2}{4 \cdot (d_1 - b)} \quad r_d = 2.609\text{mm}$$

semiunghiurile la centru corespunzatoare latimii canelurii :

pe diametrul interior  $\gamma_d := \text{asin}\left(\frac{b}{d}\right)$   $\gamma_d = 8.989\text{deg}$

pe diametrul mediu  $\gamma_m := \text{asin}\left(\frac{b}{d_m}\right)$   $\gamma_m = 7.984\text{deg}$

pe diametrul exterior  $\gamma_D := \text{asin}\left(\frac{b}{D}\right)$   $\gamma_D = 7.181\text{deg}$

semiunghiul la centru corespunzator fatetei de centrare:

pe diametrul interior  $\gamma_Q := \text{asin}\left(\frac{f_{\text{min}}}{d}\right)$   $\gamma_Q = 0.269\text{deg}$

Coordonatele punctelor caracteristice ale flancului canelurii de pe arbore

Notam cu  $P_a$  si  $N_a$  punctele de pe profilul canelurii arborelui corespunzatoare diametrului de contact maxim, respectiv minim.

$$y_{Pa} := \frac{D}{2} \cdot \cos(\gamma_D) - c \quad y_{Pa} = 19.543\text{mm}$$

$$y_{Na} := \frac{d}{2} \cdot \cos(\gamma_d) + c \quad y_{Na} = 16.103\text{mm}$$

$$y_{Ma} := \frac{d}{2} \cdot \cos(\gamma_d) \quad y_{Ma} = 15.803\text{mm}$$



$$y_{ma} := \frac{d_m}{2} \cdot \cos(\gamma_m) \quad y_{ma} = 17.826 \text{ mm}$$

$$y_{min} := \frac{d}{2} \cdot \cos(\gamma_d) - \frac{r_d}{2} \quad y_{min} = 14.499 \text{ mm}$$

Latimea canelurii  $s_1 := b$   $s_{2a}(y) := b + 2 \cdot r_d - 2 \cdot \sqrt{r_d^2 - \left(\frac{d}{2} \cdot \cos(\gamma_d) - y\right)^2}$

$$s_a(y) := s_1 \cdot (y \geq y_{Na}) + s_{2a}(y) \cdot (y < y_{Na})$$

Funcțiile de eforturi pentru grinda reala;

pentru zona in care exista contact

pentru zona fara contact

$$M_{ia1}(y) := \frac{(y_{Pa} - y)^2}{2}$$

$$M_{ia2}(y) := (y_{Pa} - y_{Na}) \cdot \left(\frac{y_{Pa} + y_{Na}}{2} - y\right)$$

$$F_{ta1}(y) := y_{Pa} - y$$

$$F_{ta2}(y) := y_{Pa} - y_{Na}$$

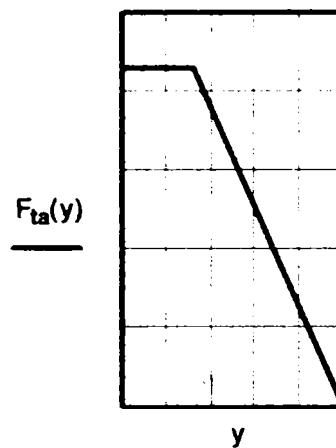
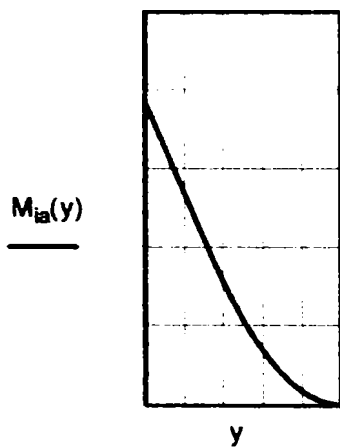
$$M_{ia}(y) := M_{ia1}(y) \cdot (y > y_{Na}) + M_{ia2}(y) \cdot (y < y_{Na})$$

$$F_{ta}(y) := F_{ta1}(y) \cdot (y > y_{Na}) + F_{ta2}(y) \cdot (y < y_{Na})$$

-pentru grinda conjugata

$$m_{ia}(y) := (y < y_{ma}) \cdot \left[ \left(\frac{d_m}{2} \cdot \cos(\gamma_m) - y\right) \cdot \cos(\gamma_m) + \frac{b}{2} \cdot \sin(\gamma_m) \right]$$

$$f_{ta}(y) := \cos(\gamma_m) \cdot (y < y_{ma})$$



Elasticitatea la incovoiere

$$e_{ai} := \int_{y_{min}}^{y_{ma}} \frac{12 \cdot M_{ia}(y) \cdot m_{ia}(y)}{s_a(y)^3} dy \quad e_{ai} = 4.205 \text{ mm}$$

Elasticitatea la deformatii tangentiale

$$e_{at} := 2.24 \cdot (1 + \nu) \cdot \int_{y_{min}}^{y_{ma}} \frac{F_{ta}(y) \cdot f_{ta}(y)}{s_a(y)} dy \quad e_{at} = 5.635 \text{ mm}$$

Elasticitatea canelurii de pe arbore

$$e_a := e_{ai} + e_{at} \quad e_a = 9.839 \text{ mm}$$

Coordonatele punctelor caracteristice ale flancului canelurii din butuc

$$y_{Nb} := \frac{d}{2} \cdot \cos\left(\frac{\pi}{z} - \gamma_d\right) + c \cdot \cos\left(\frac{\pi}{z}\right) \quad y_{Nb} = 16.088 \text{ mm}$$

$$y_{Pb} := \frac{D}{2} \cdot \cos\left(\frac{\pi}{z} - \gamma_D\right) - c \cdot \cos\left(\frac{\pi}{z}\right) \quad y_{Pb} = 19.36 \text{ mm} \quad z_{Pb} := \frac{D}{2} \cdot \sin\left(\frac{\pi}{z} - \gamma_D\right) + c \cdot \sin\left(\frac{\pi}{z}\right) \quad z_{Pb} = 3.85 \text{ mm}$$

$$y_{max} := y_{Pb} + r \cdot \left(\frac{1}{2} - \sin\left(\frac{\pi}{z}\right)\right) \quad y_{max} = 19.416 \text{ mm}$$

$$y_{mb} := \frac{d_m}{2} \cdot \cos\left(\frac{\pi}{z} - \gamma_m\right) \quad y_{mb} = 17.726 \text{ mm}$$

latimea canelurii din butuc in zona

- 1 rectilinie
- 2 de racordare

$$s_{b1}(y) := 2 \cdot y \cdot \tan\left(\frac{\pi}{z}\right) - \frac{b}{\cos\left(\frac{\pi}{z}\right)} \quad s_{b2}(y) := 2 \cdot \left[ z_{Pb} + r \cdot \cos\left(\frac{\pi}{z}\right) - \sqrt{r^2 - \left(y - y_{Pb} + r \cdot \sin\left(\frac{\pi}{z}\right)\right)^2} \right]$$

$$s_b(y) := s_{b1}(y) \cdot (y > y_{Na}) + s_{b2}(y) \cdot (y < y_{Na})$$

Funcțiile de eforturi pentru grinda reala

$$M_{ib1}(y) := \frac{y - y_{Nb}}{2} \cdot \left[ (y - y_{Nb}) - s_{b1}\left(\frac{y + y_{Nb}}{2}\right) \cdot \tan\left(\frac{\pi}{z}\right) \right]$$

$$M_{ib2}(y) := (y_{Pb} - y_{Nb}) \cdot \left[ \left(y - \frac{y_{Pb} + y_{Nb}}{2}\right) - \frac{s_{b1}\left(\frac{y_{Pb} + y_{Nb}}{2}\right)}{2} \cdot \tan\left(\frac{\pi}{z}\right) \right]$$

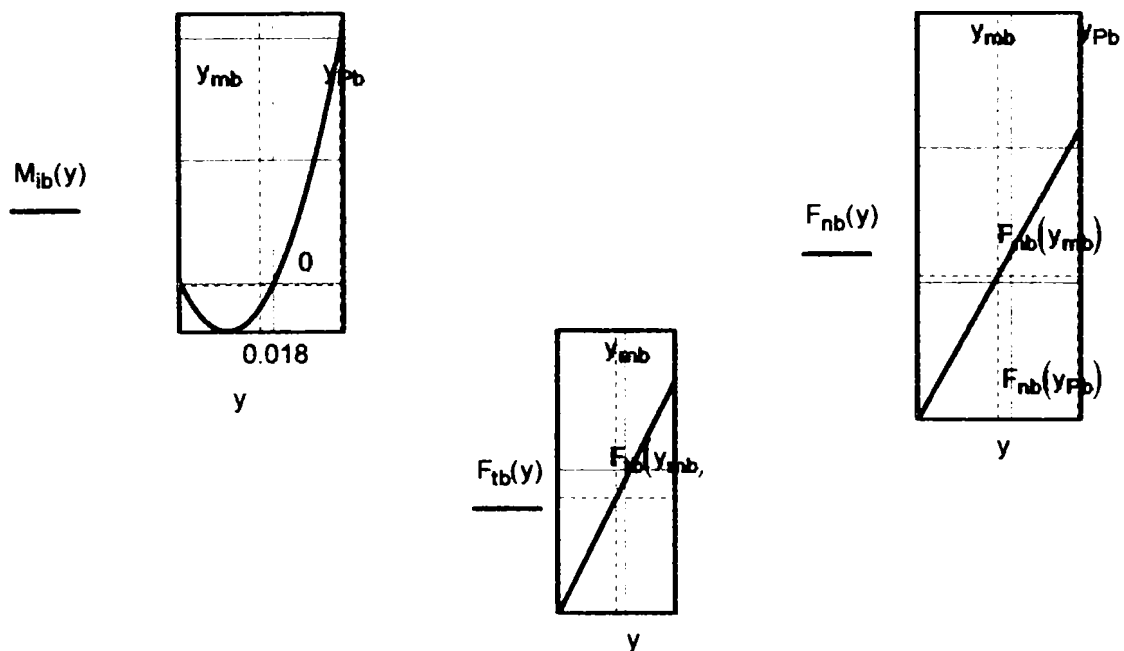
$$M_{ib}(y) := M_{ib1}(y) \cdot (y_{Nb} \leq y < y_{Pb}) + M_{ib2}(y) \cdot (y_{Pb} \leq y \leq y_{max})$$

$$F_{nb1}(y) := (y - y_{Nb}) \cdot \tan\left(\frac{\pi}{z}\right) \quad F_{nb2}(y) := (y_{Pb} - y_{Nb}) \cdot \tan\left(\frac{\pi}{z}\right)$$

$$F_{tb1}(y) := y - y_{Nb} \quad F_{tb2}(y) := y_{Pb} - y_{Nb}$$

$$F_{nb}(y) := F_{nb1}(y) \cdot (y < y_{Pb}) + F_{nb2}(y) \cdot (y > y_{Pb})$$

$$F_{tb}(y) := F_{tb1}(y) \cdot (y < y_{Pb}) + F_{tb2}(y) \cdot (y > y_{Pb})$$



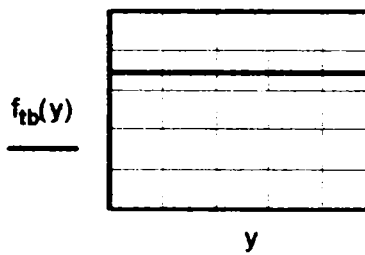
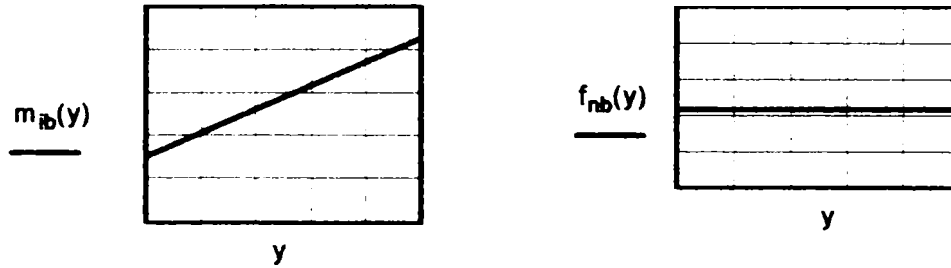
A.10.3

pentru grinda conjugata

$$m_{ib}(y) := (y - y_{mb}) \cdot \cos\left(\frac{\pi}{z} - \gamma_m\right) - \frac{s_{b1}(y_{mb})}{2} \cdot \sin\left(\frac{\pi}{z} - \gamma_m\right)$$

$$f_{tb}(y) := \cos\left(\frac{\pi}{z} - \gamma_m\right)$$

$$f_{nb}(y) := \sin\left(\frac{\pi}{z} - \gamma_m\right)$$



Elasticitatea la incovoiere

$$e_{bi} := \int_{y_{mb}}^{y_{max}} \frac{12 \cdot M_{ib}(y) \cdot m_{ib}(y)}{s_b(y)^3} dy$$

$$e_{bi} = 0.03 \text{ mm}$$

Elasticitatea la deformatii tangentiale

$$e_{bt} := 2.4 \cdot (1 + \nu) \cdot \int_{y_{mb}}^{y_{Pb}} \frac{F_{tb1}(y) \cdot f_{tb}(y)}{s_b(y)} dy$$

$$e_{bt} = 1.802 \text{ mm}$$

Elasticitatea la deformatii de compresiune

$$e_{bn} := \int_{y_{mb}}^{y_{max}} \frac{F_{nb1}(y) \cdot f_{nb}(y)}{s_b(y)} dy$$

$$e_{bn} = 0.035 \text{ mm}$$

Elasticitatea totala a canelurii din butuc

$$e_b := e_{bi} + e_{bt} + e_{bn}$$

$$e_b = 1.866 \text{ mm}$$

$$\delta_{but} := e_b \cdot \frac{P_{med}}{E}$$

$$\delta_{but} = 0.09 \mu\text{m}$$

Elasticitatea insumata a elementelor imbinarii

$$e_{def} := e_a + e_b$$

$$e_{def} = 11.706 \text{ mm}$$

### Seria usoara

$j := 0..14$

Diametrul interior	Diametrul exterior	Latimea canelurii	Numarul de caneluri	Diametrul minim al degajarilor de rectificare	Tesitura canelurii de pe arbore
23mm	26mm	6mm	6	22.1mm	0.2mm
26mm	30mm	6mm	6	24.6mm	0.2mm
28mm	32mm	7mm	6	26.7mm	0.2mm
32mm	36mm	6mm	8	30.4mm	0.3mm
36mm	40mm	7mm	8	34.5mm	0.3mm
42mm	46mm	8mm	8	40.4mm	0.3mm
46mm	50mm	9mm	8	44.6mm	0.3mm
52mm	58mm	10mm	8	49.7mm	0.5mm
56mm	62mm	10mm	8	53.6mm	0.5mm
62mm	68mm	12mm	8	59.8mm	0.5mm
72mm	78mm	12mm	10	69.6mm	0.5mm
82mm	88mm	12mm	10	79.3mm	0.5mm
92mm	98mm	14mm	10	89.4mm	0.5mm
102mm	108mm	16mm	10	99.9mm	0.5mm
112mm	120mm	18mm	10	108.8mm	0.5mm

Racordarea canelurii din butuc

$r := c$        $\mu m := 10^{-3} mm$        $MPa := 10^6 Pa$

Diametrul mediu al imbinarii

$d_m := 0.5(d + D)$

Modulul de elasticitate

$E := 2.15 \cdot 10^5 MPa$

Microduritatea suprafetei

$HV := 2000 MPa$

Rugozitatea suprafetelor portante

$R_a := 1.6 \mu m$

Geometria imbinarii

semiunghiurile la centru corespunzatoare latimii canelurii :

$\gamma_{d_j} := \text{asin}\left(\frac{b_j}{d_j}\right)$        $\gamma_{m_j} := \text{asin}\left(\frac{b_j}{d_{m_j}}\right)$        $\gamma_{D_j} := \text{asin}\left(\frac{b_j}{D_j}\right)$        $\gamma_{Ora_j} := \text{asin}\left(\frac{b_j + 2 \cdot r_j}{d_1 + 2 \cdot r_j}\right)$

Coordonatele punctelor caracteristice ale flancului canelurii de pe arbore

$y_{Pa_j} := 0.5 \cdot D_j \cdot \cos(\gamma_{D_j}) - c_j$        $y_{Na_j} := 0.5 \cdot d_j \cdot \cos(\gamma_{d_j}) - c_j$        $y_{Ma_j} := 0.5(d_1 + 2 \cdot r_j) \cdot \cos(\gamma_{Ora_j})$   
 $y_{ma_j} := 0.5 \cdot d_{m_j} \cdot \cos(\gamma_{m_j})$        $y_{min_j} := y_{Ma_j} - 0.5 \cdot r_j$

Latimea canelurii  $s_{2a}(y, j) := b_j + 2 \cdot r_j - 2 \cdot \sqrt{(r_j)^2 - (y_{Ma_j} - y)^2}$

Funcțiile de eforturi

$s_a(y, j) := b_j \cdot (y_{Ma_j} \leq y \leq y_{Pa_j}) + s_{2a}(y, j) \cdot (y_{min_j} \leq y < y_{Ma_j})$

- pentru grinda reala

$M_{ia1}(y, j) := [0.5(y_{Pa_j} - y)]^2$        $M_{ia2}(y, j) := (y_{Pa_j} - y_{Na_j}) \cdot [0.5(y_{Pa_j} + y_{Na_j}) - y]$   
 $M_{ia}(y, j) := M_{ia1}(y, j) \cdot (y_{Na_j} \leq y \leq y_{Pa_j}) + M_{ia2}(y, j) \cdot (y_{min_j} \leq y < y_{Na_j})$

$F_{ta1}(y, j) := y_{Pa_j} - y$        $F_{ta}(y, j) := y_{Pa_j} - y_{Na_j}$        $\nu := 0.3$

$F_{ta}(y, j) := F_{ta1}(y, j) \cdot (y_{Na_j} \leq y \leq y_{Pa_j}) + F_{ta}(y, j) \cdot (y_{min_j} \leq y < y_{Na_j})$

-pentru grinda conjugata

$$m_{ia}(y, j) := \left[ \left( \frac{d_{mj}}{2} \cdot \cos(\gamma_{mj}) - y \right) \cdot \cos(\gamma_{mj}) + \frac{b_j}{2} \cdot \sin(\gamma_{mj}) \right] \cdot (y_{min_j} \leq y \leq y_{ma_j})$$

$$f_{ta}(y, j) := \cos(\gamma_{mj}) \cdot (y_{min_j} \leq y \leq y_{ma_j})$$

Elasticitatea la incovoiere

$$e_{ai} := \int_{y_{min_j}}^{y_{ma_j}} \frac{12 \cdot M_{ia}(y, j) \cdot m_{ia}(y, j)}{s_a(y, j)^3} dy$$

Elasticitatea la deformatii tangentiale

$$e_{at} := 2.4 \cdot (1 + \nu) \cdot \int_{y_{min_j}}^{y_{ma_j}} \frac{F_{ta}(y, j) \cdot f_{ta}(y, j)}{s_a(y, j)} dy$$

Elasticitatea canelurii de pe arbore

$$e_a := e_{ai} + e_{at}$$

$e_{ai} =$  mm

	0
0	0.05
1	0.19
2	0.12
3	0.17
4	0.1
5	0.08
6	0.05
7	0.17
8	0.18
9	0.1
10	0.1
11	0.12
12	0.07
13	0.04
14	0.12

$e_{at} =$  mm

	0
0	0.69
1	1.38
2	1.14
3	1.36
4	1.13
5	1.02
6	0.84
7	1.75
8	1.79
9	1.42
10	1.48
11	1.59
12	1.33
13	1.02
14	1.86

$e_a =$  mm

	0
0	0.74
1	1.57
2	1.27
3	1.53
4	1.23
5	1.1
6	0.89
7	1.92
8	1.96
9	1.52
10	1.59
11	1.71
12	1.4
13	1.05
14	1.98

Coordonatele punctelor caracteristice ale flancului canelurii din butuc

$$y_{Nb_j} := \frac{d_j}{2} \cdot \cos\left(\frac{\pi}{z_j} - \gamma_{d_j}\right) + c_j \cdot \cos\left(\frac{\pi}{z_j}\right)$$

$$y_{Pb_j} := \frac{D_j}{2} \cdot \cos\left(\frac{\pi}{z_j} - \gamma_{D_j}\right) - c_j \cdot \cos\left(\frac{\pi}{z_j}\right)$$

$$y_{max_j} := y_{Pb_j} + r_j \cdot \left( \frac{1}{2} - \sin\left(\frac{\pi}{z_j}\right) \right)$$

$$y_{mb_j} := \frac{d_{mj}}{2} \cdot \cos\left(\frac{\pi}{z_j} - \gamma_{mj}\right) \quad z_{Pb_j} := \frac{D_j}{2} \cdot \sin\left(\frac{\pi}{z_j} - \gamma_{D_j}\right) - c_j \cdot \sin\left(\frac{\pi}{z_j}\right)$$

latimea canelurii din butuc

$$s_{b1}(y, j) := 2 \cdot y \cdot \tan\left(\frac{\pi}{z_j}\right) - \frac{b_j}{\cos\left(\frac{\pi}{z_j}\right)}$$

$$s_{b2}(y, j) := 2 \cdot \left[ z_{Pb_j} + r_j \cdot \cos\left(\frac{\pi}{z_j}\right) - \sqrt{(r_j)^2 - \left( y - y_{Pb_j} + r_j \cdot \sin\left(\frac{\pi}{z_j}\right) \right)^2} \right]$$

$$s_b(y, j) := s_{b1}(y, j) \cdot (y_{Nb_j} \leq y \leq y_{Pb_j}) + s_{b2}(y, j) \cdot (y_{Pb_j} < y \leq y_{max_j})$$

Funcțiile de eforturi

pentru grinda reala

$$M_{ib1}(y, j) := 0.5 \cdot (y - y_{Nb_j}) \cdot \left[ (y - y_{Nb_j}) - 0.5 s_{b1} \left[ 0.5 \cdot (y + y_{Nb_j}), j \right] \cdot \tan\left(\frac{\pi}{z_j}\right) \right]$$

$$M_{ib2}(y, j) := (y_{Pb_j} - y_{Nb_j}) \cdot \left[ \left[ y - 0.5 \cdot (y_{Pb_j} + y_{Nb_j}) \right] - 0.5 s_{b1} \left[ 0.5 \cdot (y_{Pb_j} + y_{Nb_j}), j \right] \cdot \tan\left(\frac{\pi}{z_j}\right) \right]$$

$$M_{ib}(Y, j) := M_{ib1}(Y, j) \cdot (Y_{Nb_j} \leq Y < Y_{Pb_j}) + M_{ib2}(Y, j) \cdot (Y_{Pb_j} \leq Y \leq Y_{max_j})$$

$$F_{nb1}(Y, j) := (Y - Y_{Nb_j}) \cdot \tan\left(\frac{\pi}{Z_j}\right) \quad F_{nb2}(Y, j) := (Y_{Pb_j} - Y_{Nb_j}) \cdot \tan\left(\frac{\pi}{Z_j}\right)$$

$$F_{nb}(Y, j) := F_{nb1}(Y, j) \cdot (Y_{Nb_j} \leq Y < Y_{Pb_j}) + F_{nb2}(Y, j) \cdot (Y_{Pb_j} \leq Y \leq Y_{max_j})$$

$$F_{tb1}(Y, j) := Y - Y_{Nb_j} \quad F_{tb2}(Y, j) := Y_{Pb_j} - Y_{Nb_j}$$

$$F_{tb}(Y, j) := F_{tb1}(Y, j) \cdot (Y_{Nb_j} \leq Y < Y_{Pb_j}) + F_{tb2}(Y, j) \cdot (Y_{Pb_j} \leq Y \leq Y_{max_j})$$

pentru grinda conjugata

$$m_{ib}(Y, j) := (Y - Y_{mb_j}) \cdot \cos\left(\frac{\pi}{Z_j} - \gamma_{m_j}\right) - \frac{S_{b1}(Y_{mb_j}, j)}{2} \cdot \sin\left(\frac{\pi}{Z_j} - \gamma_{m_j}\right)$$

$$f_{tb}(Y, j) := \cos\left(\frac{\pi}{Z_j} - \gamma_{m_j}\right) \quad f_{nb}(Y, j) := \sin\left(\frac{\pi}{Z_j} - \gamma_{m_j}\right)$$

Elasticitatea la incovoiere

Elasticitatea la deformatii tangentiale

$$e_{bi_j} := \int_{Y_{mb_j}}^{Y_{max_j}} \frac{12 \cdot M_{ib}(Y, j) \cdot m_{ib}(Y, j)}{S_b(Y, j)^3} dy$$

$$e_{bt_j} := 2.4 \cdot (1 + \nu) \cdot \int_{Y_{mb_j}}^{Y_{max_j}} \frac{F_{tb}(Y, j) \cdot f_{tb}(Y, j)}{S_b(Y, j)} dy$$

Elasticitatea la deformatii de compresiune  $e_{bn_j} := \int_{Y_{mb_j}}^{Y_{max_j}} \frac{F_{nb}(Y, j) \cdot f_{nb}(Y, j)}{S_b(Y, j)} dy$

Elasticitatea totala a canelurii din butuc  $e_b := e_{bi} + e_{bt} + e_{bn}$

Elasticitatea insumata a elementelor imbinarii  $e_{def} := e_a + e_b$

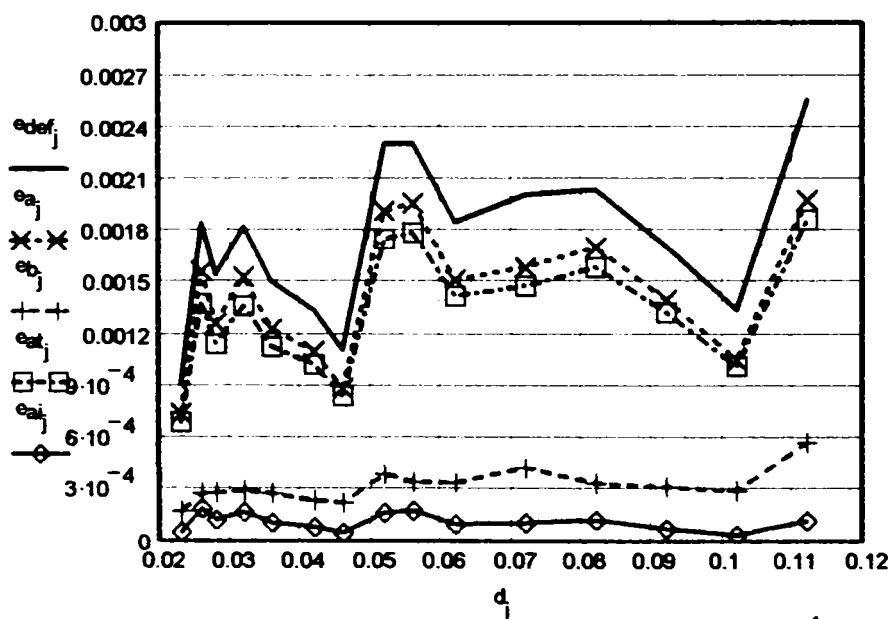
Presiunea medie estimata  $P_{med} := 10MPa$  Presiunea maxima estimata  $P_{max} := 30MPa$

Deformatia medie a arborelui  $\delta_a := e_a \cdot \frac{P_{med}}{E}$  Deformatia medie a butucului  $\delta_{but} := e_b \cdot \frac{P_{med}}{E}$

Deformatia medie a arborelui  $\delta_{def} := e_{def} \cdot \frac{P_{med}}{E}$

$e_{bi} =$	0	0.005	$e_{bn} =$	0	$8.318 \cdot 10^{-3}$	$e_{bt} =$	0	0.16	mm	$e_b =$	0	0.172	mm
	1	0.008		1	0.015		1	0.25			1	0.277	
	2	0.007		2	0.014		2	0.26			2	0.278	
	3	0.002		3	$8.198 \cdot 10^{-3}$		3	0.28			3	0.293	
	4	0.002		4	$7.385 \cdot 10^{-3}$		4	0.26			4	0.274	
	5	0.003		5	$6.407 \cdot 10^{-3}$		5	0.23			5	0.236	
	6	0.003		6	$5.902 \cdot 10^{-3}$		6	0.21			6	0.223	
	7	0.004		7	0.011		7	0.37			7	0.387	
	8	0.004		8	$9.815 \cdot 10^{-3}$		8	0.33			8	0.341	
	9	0.004		9	$8.986 \cdot 10^{-3}$		9	0.32			9	0.335	
	10	$8.551 \cdot 10^{-4}$		10	$6.686 \cdot 10^{-3}$		10	0.42			10	0.423	
	11	0.002		11	$5.893 \cdot 10^{-3}$		11	0.32			11	0.333	
	12	0.002		12	$5.296 \cdot 10^{-3}$		12	0.3			12	0.31	
	13	0.002		13	$4.809 \cdot 10^{-3}$		13	0.28			13	0.291	
	14	0.002		14	$9.322 \cdot 10^{-3}$		14	0.56			14	0.572	

	0		0		0		0
$e_{def} =$	0.91	$\delta_a =$	0.034	$\delta_{but} =$	$7.991 \cdot 10^{-3}$	$\mu n \delta_{def} =$	0.042
	1.84		0.073		0.013		0.086
	1.54		0.059		0.013		0.072
	1.82		0.071		0.014		0.085
	1.5		0.057		0.013		0.07
	1.34		0.051		0.011		0.062
	1.11		0.041		0.01		0.052
	2.3		0.089		0.018		0.107
	2.3		0.091		0.016		0.107
	1.85		0.071		0.016		0.086
	2.01		0.074		0.02		0.093
	2.04		0.079		0.015		0.095
	1.71		0.065		0.014		0.08
	1.34		0.049		0.014		0.062
	2.55		0.092		0.027		0.119



Rigiditatea de contact

Apropierea suprafetelor de contact datorita deformatiei rugozitatilor

$$h(p) := 3.4 \cdot R_a \cdot \left( \frac{p}{HV} \right)^{\frac{1}{3}}$$

$$h(p_{max}) = 1.342 \mu m$$

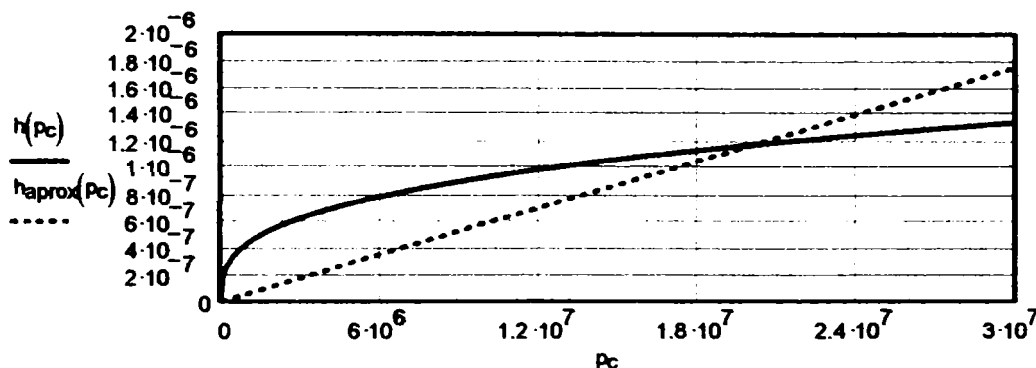
Elasticitatea de contact

Apropierea aproximativa a suprafetelor de contact datorita deformatiei rugozitatilor

$$e_c := h \left( \frac{2 \cdot p_{max}}{3} \right) \cdot \frac{3 \cdot E}{2 \cdot p_{max}}$$

$$e_c = 12.599 \mu m$$

$$h_{aprox}(p) := e_c \cdot \frac{p}{E}$$



A.10.8

Elasticitatea totala  $\epsilon_{tot} := e_{def} + e_c$

Diametrul exterior al butucului  $d_{b0_j} := 1.5 \cdot D_j$

Lungimea butucului  $L_{b_j} := d_j$

$$\mu_{def_j} := \sqrt{16 \cdot z_j \cdot \frac{(d_{m_j})^2 \cdot (y_{Pa_j} - y_{Na_j})}{\pi \cdot e_{def_j}} \cdot (1 + \nu) \cdot \left[ \frac{1}{(d_j)^4} + \frac{1}{(d_{b0_j})^4 - (D_j)^4} \right]}$$

$$\mu_{tot_j} := \sqrt{16 \cdot z_j \cdot \frac{(d_{m_j})^2 \cdot (y_{Pa_j} - y_{Na_j})}{\pi \cdot \epsilon_{tot_j}} \cdot (1 + \nu) \cdot \left[ \frac{1}{(d_j)^4} + \frac{1}{(d_{b0_j})^4 - (D_j)^4} \right]}$$

	0
0	13.512
1	14.443
2	14.143
3	14.423
4	14.104
5	13.937
6	13.711
7	14.903
8	14.904
9	14.451
10	14.607
11	14.638
12	14.312
13	13.943
14	15.153

	0
0	0.408
1	0.294
2	0.298
3	0.274
4	0.267
5	0.242
6	0.242
7	0.183
8	0.17
9	0.171
10	0.157
11	0.137
12	0.133
13	0.135
14	0.103

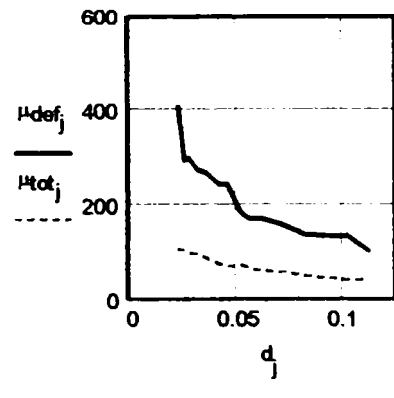
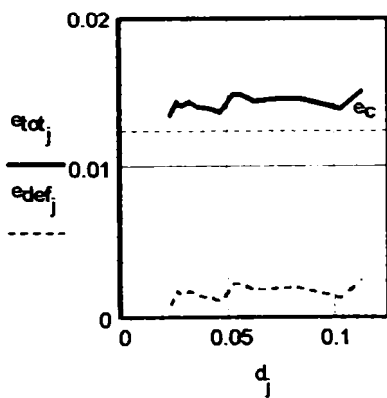
$\mu_{def_j} \cdot L_{b_j} =$

9.374
7.634
8.338
8.767
9.628
10.174
11.148
11.48
9.538
9.506
10.597
11.321
11.197
12.204
13.768
11.561

	0
0	0.106
1	0.105
2	0.098
3	0.097
4	0.087
5	0.075
6	0.069
7	0.072
8	0.067
9	0.061
10	0.058
11	0.051
12	0.046
13	0.042
14	0.042

$\mu_{tot_j} \cdot L_{b_j} =$

2.437
2.728
2.755
3.118
3.145
3.152
3.174
3.75
3.738
3.793
4.197
4.179
4.222
4.274
4.746



$$\lambda_j := \frac{(d_j)^4}{(d_j)^4 + (d_{b0_j})^4 - (D_j)^4}$$

$$K_{d_j} := \mu_{def_j} \cdot L_{b_j} \cdot \frac{\cosh(\mu_{def_j} \cdot L_{b_j})}{\sinh(\mu_{def_j} \cdot L_{b_j})}$$

$$K_{d1_j} := \mu_{def_j} \cdot L_{b_j} \cdot \frac{(1 - \lambda_j) \cdot \cosh(\mu_{def_j} \cdot L_{b_j}) + \lambda_j}{\sinh(\mu_{def_j} \cdot L_{b_j})}$$

$$K_{tot_j} := \mu_{tot_j} \cdot L_{b_j} \cdot \frac{\cosh(\mu_{tot_j} \cdot L_{b_j})}{\sinh(\mu_{tot_j} \cdot L_{b_j})}$$

$$K_{tot1_j} := \mu_{tot_j} \cdot L_{b_j} \cdot \frac{(1 - \lambda_j) \cdot \cosh(\mu_{tot_j} \cdot L_{b_j}) + \lambda_j}{\sinh(\mu_{tot_j} \cdot L_{b_j})}$$



$$k_d =$$

	0
0	9.374
1	7.634
2	8.338
3	8.767
4	9.628
5	10.174
6	11.148
7	9.538
8	9.506
9	10.597
10	11.321
11	11.197
12	12.204
13	13.768

$$k_{d\text{tot}} =$$

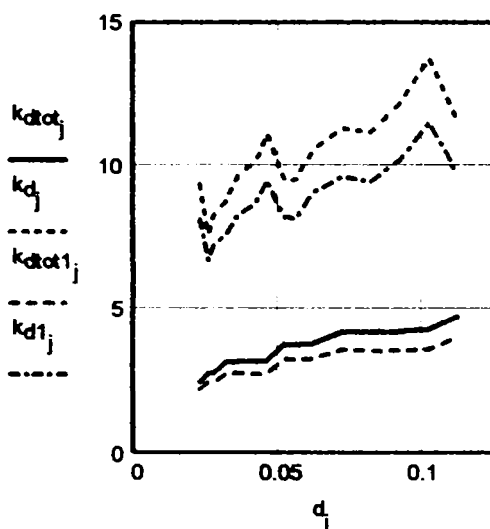
	0
0	2.475
1	2.751
2	2.777
3	3.13
4	3.157
5	3.164
6	3.185
7	3.754
8	3.743
9	3.797
10	4.199
11	4.181
12	4.223
13	4.276

$$k_{d1} =$$

	0
0	8.146
1	6.704
2	7.287
3	7.6
4	8.29
5	8.688
6	9.477
7	8.229
8	8.168
9	9.057
10	9.605
11	9.444
12	10.245
13	11.513

$$k_{d\text{tot}1} =$$

	0
0	2.207
1	2.459
2	2.471
3	2.75
4	2.755
5	2.741
6	2.748
7	3.263
8	3.241
9	3.27
10	3.582
11	3.546
12	3.565
13	3.595



$$S_{1j} := \frac{D_j - d_j}{2} - 2 \cdot r_j$$

$$k_{defj} := \frac{e_{defj}}{e_{atj}} \quad \varepsilon_{def} := \frac{k_{def}}{1.6} - 1$$

$$e_{at\text{aprox}j} := 0.75 \cdot 2.4 \cdot (1 + \nu) \cdot \frac{(S_{1j})^2}{b_j}$$

$$k_{def\text{aprox}j} := \frac{e_{defj}}{e_{at\text{aprox}j}}$$

$$k_{def} =$$

	0
0	1.32
1	1.34
2	1.35
3	1.34
4	1.34
5	1.31
6	1.32
7	1.32
8	1.29
9	1.3
10	1.36
11	1.29
12	1.29
13	1.32

$$\varepsilon_{def} =$$

	0
0	-17.2
1	-16.4
2	-15.6
3	-16.4
4	-16.5
5	-18.3
6	-17.3
7	-17.8
8	-19.4
9	-18.5
10	-15.3
11	-19.6
12	-19.4
13	-17.4

%

$$e_{at\text{aprox}} =$$

	0
0	0.47
1	1
2	0.86
3	0.76
4	0.66
5	0.57
6	0.51
7	0.94
8	0.94
9	0.78
10	0.78
11	0.78
12	0.67
13	0.58

mm

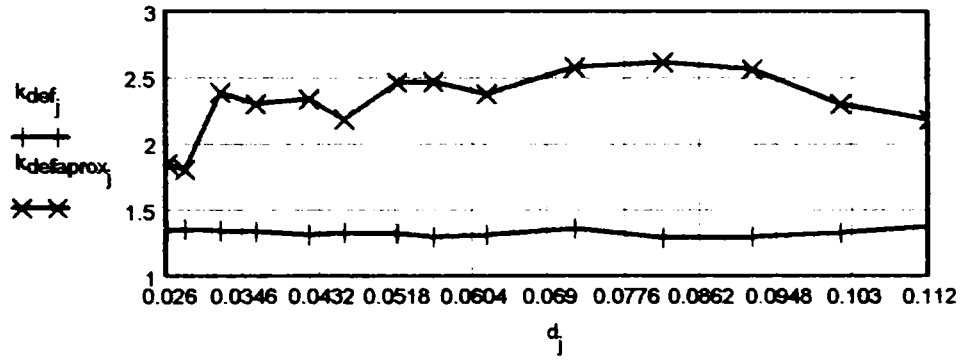
$$k_{def\text{aprox}} =$$

	0
0	1.94
1	1.85
2	1.8
3	2.39
4	2.3
5	2.33
6	2.18
7	2.46
8	2.46
9	2.37
10	2.57
11	2.61
12	2.56
13	2.3

$$\varepsilon_{\text{aprox}} := \frac{k_{\text{defaprox}}}{2.25} - 1$$

	0
0	-13.978
1	-17.931
2	-19.808
3	6.04
4	2.069
5	3.706
6	-3.051
7	9.377
8	9.449
9	5.506
10	14.414
11	16.17
12	13.849
13	2.073
14	-2.995

$\varepsilon_{\text{aprox}} =$  %



### Seria mijlocie

$j := 0..19$

Diametrul interior	Diametrul exterior	Latimea canelurii	Numarul de caneluri	Diametrul minim al degajarilor de rectificare	Tesitura canelurii de pe arbore
11mm	14mm	3mm	6	9.9mm	0.2mm
13mm	16mm	3.5mm	6	12.0mm	0.2mm
16mm	20mm	4mm	6	14.5mm	0.2mm
18mm	22mm	5mm	6	16.7mm	0.2mm
21mm	25mm	5mm	6	19.5mm	0.2mm
23mm	28mm	6mm	6	21.3mm	0.2mm
26mm	32mm	6mm	6	23.4mm	0.3mm
28mm	34mm	7mm	6	25.9mm	0.3mm
32mm	38mm	6mm	8	29.1mm	0.3mm
36mm	42mm	7mm	8	33.5mm	0.3mm
42mm	48mm	8mm	8	39.5mm	0.3mm
46mm	54mm	9mm	8	42.7mm	0.5mm
52mm	60mm	10mm	8	48.7mm	0.5mm
56mm	65mm	10mm	8	52.2mm	0.5mm
62mm	72mm	12mm	8	57.8mm	0.5mm
72mm	82mm	12mm	10	67.1mm	0.5mm
82mm	92mm	12mm	10	77.1mm	0.5mm
92mm	102mm	14mm	10	87.3mm	0.5mm
102mm	112mm	16mm	10	97.7mm	0.5mm
112mm	125mm	18mm	10	106.3mm	0.5mm

Racordarea canelurii din butuc

$$r := c$$

$$\mu\text{m} := 10^{-3}\text{mm}$$

$$\text{MPa} := 10^6\text{Pa}$$

Diametrul mediu al imbinarii

$$d_m := \frac{d + D}{2}$$

Modulul de elasticitate

$$E := 2.15 \cdot 10^5 \text{MPa}$$

Microduritatea suprafeței

$$\text{HV} := 2000 \text{MPa}$$

Rugozitatea suprafețelor portante

$$R_a := 1.6 \mu\text{m}$$

Geometria imbinarii

semiunghiurile la centru corespunzătoare latimii canelurii :

$$\gamma_{d_j} := \text{asin}\left(\frac{b_j}{d_j}\right)$$

$$\gamma_{m_j} := \text{asin}\left(\frac{b_j}{d_{m_j}}\right)$$

$$\gamma_{D_j} := \text{asin}\left(\frac{b_j}{D_j}\right)$$

$$\gamma_{Ora_j} := \text{asin}\left(\frac{b_j + 2 \cdot r_j}{d_{1_j} + 2 \cdot r_j}\right)$$

Coordonatele punctelor caracteristice ale flancului canelurii de pe arbore

$$y_{Pa_j} := 0.5 \cdot D_j \cdot \cos(\gamma_{D_j}) - c_j \quad y_{Na_j} := 0.5 \cdot d_j \cdot \cos(\gamma_{d_j}) - c_j \quad y_{Ma_j} := 0.5 \cdot (d_{1_j} + 2 \cdot r_j) \cdot \cos(\gamma_{Ora_j})$$

$$\text{Latimea canelurii} \quad y_{ma_j} := 0.5 \cdot d_{m_j} \cdot \cos(\gamma_{m_j}) \quad y_{min_j} := y_{Ma_j} - 0.5 \cdot r_j$$

$$s_{2a}(y, j) := b_j + 2 \cdot r_j - 2 \cdot \sqrt{(r_j)^2 - (y_{Ma_j} - y)^2}$$

$$s_a(y, j) := b_j \cdot (y_{Ma_j} \leq y \leq y_{Pa_j}) + s_{2a}(y, j) \cdot (y_{min_j} \leq y < y_{Ma_j})$$

**Funcțiile de eforturi pentru grinda reala**

$$M_{ia1}(y, j) := \frac{(y_{Pa_j} - y)^2}{2}$$

$$M_{ia2}(y, j) := (y_{Pa_j} - y_{Na_j}) \cdot \left( \frac{y_{Pa_j} + y_{Na_j}}{2} - y \right)$$

$$M_{ia}(y, j) := M_{ia1}(y, j) \cdot (y_{Na_j} \leq y \leq y_{Pa_j}) + M_{ia2}(y, j) \cdot (y_{min_j} \leq y < y_{Na_j})$$

$$F_{ta1}(y, j) := y_{Pa_j} - y$$

$$F_{ta}(y, j) := y_{Pa_j} - y_{Na_j} \quad \nu := 0.3$$

$$F_{ta}(y, j) := F_{ta1}(y, j) \cdot (y_{Na_j} \leq y \leq y_{Pa_j}) + F_{ta}(y, j) \cdot (y_{min_j} \leq y < y_{Na_j})$$

-pentru grinda conjugata

$$m_{ia}(y, j) := \left[ \left( \frac{d_{m_j}}{2} \cdot \cos(\gamma_{m_j}) - y \right) \cdot \cos(\gamma_{m_j}) + \frac{b_j}{2} \cdot \sin(\gamma_{m_j}) \right] \cdot (y_{min_j} \leq y \leq y_{ma_j})$$

$$f_{ta}(y, j) := \cos(\gamma_{m_j}) \cdot (y_{min_j} \leq y \leq y_{ma_j})$$

**Elasticitatea la incovoiere**

$$e_{ai_j} := \int_{y_{min_j}}^{y_{ma_j}} \frac{12 \cdot M_{ia}(y, j) \cdot m_{ia}(y, j)}{s_a(y, j)^3} dy$$

**Elasticitatea la deformatii tangentiale**

$$e_{at_j} := 2.24 \cdot (1 + \nu) \cdot \int_{y_{min_j}}^{y_{ma_j}} \frac{F_{ta}(y, j) \cdot f_{ta}(y, j)}{s_a(y, j)} dy$$

**Elasticitatea canelurii de pe arbore**

$$e_a := e_{ai} + e_{at}$$

$e_{ai} =$

	0
0	0.56
1	0.33
2	0.81
3	0.4
4	0.43
5	0.6
6	1.4
7	0.74
8	1.5
9	0.81
10	0.56
11	1.1
12	0.82
13	1.32
14	1.26
15	1.48
16	1.42
17	0.88
18	0.55
19	1.17

mm

$e_{at} =$

	0
0	1.45
1	1.18
2	2.02
3	1.51
4	1.61
5	2.05
6	3.27
7	2.5
8	3.44
9	2.7
10	2.36
11	3.6
12	3.23
13	4.2
14	4.4
15	4.79
16	4.76
17	3.98
18	3.3
19	5.17

mm

$e_a =$

	0
0	2.02
1	1.51
2	2.83
3	1.92
4	2.04
5	2.65
6	4.68
7	3.24
8	4.95
9	3.51
10	2.92
11	4.7
12	4.05
13	5.53
14	5.66
15	6.27
16	6.17
17	4.86
18	3.85
19	6.34

mm

Coordonatele punctelor caracteristice ale flancului canelurii din butuc

Utilizam un sistem de axe similar cu cel de la arbore, dar rotit cu  $\pi/z$

$$y_{Nb_j} := \frac{d_j}{2} \cos\left(\frac{\pi}{z_j} - \gamma_{d_j}\right) + c_j \cos\left(\frac{\pi}{z_j}\right) \quad y_{Pb_j} := \frac{D_j}{2} \cos\left(\frac{\pi}{z_j} - \gamma_{D_j}\right) - c_j \cos\left(\frac{\pi}{z_j}\right)$$

$$y_{max_j} := y_{Pb_j} + r_j \cdot \left(\frac{1}{2} - \sin\left(\frac{\pi}{z_j}\right)\right) \quad y_{mb_j} := \frac{d_{m_j}}{2} \cos\left(\frac{\pi}{z_j} - \gamma_{m_j}\right)$$

$$z_{Pb_j} := \frac{D_j}{2} \sin\left(\frac{\pi}{z_j} - \gamma_{D_j}\right) - c_j \sin\left(\frac{\pi}{z_j}\right)$$

latimea canelurii din butuc

$$s_{b1}(y, j) := 2 \cdot y \cdot \tan\left(\frac{\pi}{z_j}\right) - \frac{b_j}{\cos\left(\frac{\pi}{z_j}\right)}$$

$$s_{b2}(y, j) := 2 \cdot \left[ z_{Pb_j} + r_j \cos\left(\frac{\pi}{z_j}\right) - \sqrt{(r_j)^2 - \left(y - y_{Pb_j} + r_j \sin\left(\frac{\pi}{z_j}\right)\right)^2} \right]$$

$$s_b(y, j) := s_{b1}(y, j) \cdot (y_{Nb_j} \leq y \leq y_{Pb_j}) + s_{b2}(y, j) \cdot (y_{Pb_j} < y \leq y_{max_j})$$

Funcțiile de eforturi

pentru grinda reala

$$M_{ib1}(y, j) := \frac{y - y_{Nb_j}}{2} \cdot \left[ (y - y_{Nb_j}) - s_{b1}\left(\frac{y + y_{Nb_j}}{2}, j\right) \cdot \tan\left(\frac{\pi}{z_j}\right) \right]$$

$$M_{ib2}(y, j) := (y_{Pb_j} - y_{Nb_j}) \cdot \left[ \left( y - \frac{y_{Pb_j} + y_{Nb_j}}{2} \right) - \frac{s_{b1}\left(\frac{y_{Pb_j} + y_{Nb_j}}{2}, j\right)}{2} \cdot \tan\left(\frac{\pi}{z_j}\right) \right]$$

$$M_{ib}(y, j) := M_{ib1}(y, j) \cdot (y_{Nb_j} \leq y < y_{Pb_j}) + M_{ib2}(y, j) \cdot (y_{Pb_j} \leq y \leq y_{max_j})$$

$$F_{nb1}(y, j) := (y - y_{Nb_j}) \cdot \tan\left(\frac{\pi}{z_j}\right)$$

$$F_{nb2}(y, j) := (y_{Pb_j} - y_{Nb_j}) \cdot \tan\left(\frac{\pi}{z_j}\right)$$

$$F_{nb}(y, j) := F_{nb1}(y, j) \cdot (y_{Nb_j} \leq y < y_{Pb_j}) + F_{nb2}(y, j) \cdot (y_{Pb_j} \leq y \leq y_{max_j})$$

$$F_{tb1}(y, j) := y - y_{Nb_j}$$

$$F_{tb2}(y, j) := y_{Pb_j} - y_{Nb_j}$$

$$F_{tb}(y, j) := F_{tb1}(y, j) \cdot (y_{Nb_j} \leq y < y_{Pb_j}) + F_{tb2}(y, j) \cdot (y_{Pb_j} \leq y \leq y_{max_j})$$

pentru grinda conjugata

$$m_{ib}(y, j) := (y - y_{mb_j}) \cdot \cos\left(\frac{\pi}{z_j} - \gamma_{m_j}\right) - \frac{s_{b1}(y_{mb_j}, j)}{2} \cdot \sin\left(\frac{\pi}{z_j} - \gamma_{m_j}\right)$$

$$f_{tb}(y, j) := \cos\left(\frac{\pi}{z_j} - \gamma_{m_j}\right)$$

$$f_{nb}(y, j) := \sin\left(\frac{\pi}{z_j} - \gamma_{m_j}\right)$$

Elasticitatea la incovoiere

$$e_{bi_j} := \int_{y_{mb_j}}^{y_{max_j}} \frac{12 \cdot M_{ib}(y, j) \cdot m_{ib}(y, j)}{s_b(y, j)^3} dy$$

Elasticitatea la deformatii tangentiale

$$e_{bt_j} := 2.4 \cdot (1 + \nu) \cdot \int_{y_{mb_j}}^{y_{max_j}} \frac{F_{tb}(y, j) \cdot f_{tb}(y, j)}{s_b(y, j)} dy$$

Elasticitatea la deformatii de compresiune

$$e_{bn_j} := \int_{y_{mb_j}}^{y_{max_j}} \frac{F_{nb}(y, j) \cdot f_{nb}(y, j)}{s_b(y, j)} dy$$

Elasticitatea totala a canelurii din butuc  $e_b := e_{bi} + e_{bt} + e_{bn}$

Elasticitatea insumata a elementelor imbinarii  $e_{def} := e_a + e_b$

Presiunea medie estimata

$$p_{med} := 10 \text{MPa}$$

Presiunea maxima estimata

$$p_{max} := 30 \text{MPa}$$

Deformatia medie a arborelui

$$\delta_a := e_a \cdot \frac{p_{med}}{E}$$

Deformatia medie a butucului

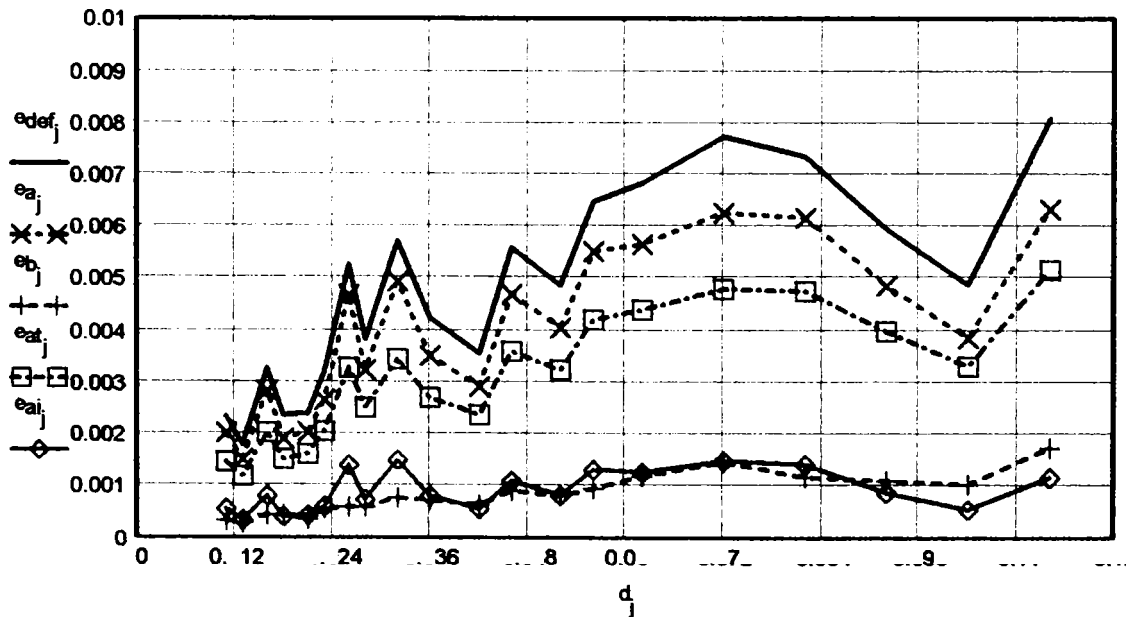
$$\delta_{but} := e_b \cdot \frac{p_{med}}{E}$$

Deformatia medie a arborelui

$$\delta_{def} := e_{def} \cdot \frac{p_{med}}{E}$$

	0		0		0		0				
	0 0.012		0 0.016		0 0.29		0 0.319				
	1 0.013		1 0.014		1 0.26		1 0.282				
	2 0.02		2 0.023		2 0.4		2 0.439				
	3 0.017		3 0.021		3 0.4		3 0.441				
	4 0.022		4 0.018		4 0.31		4 0.35				
	5 0.025		5 0.028		5 0.51		5 0.562				
	6 0.034		6 0.032		6 0.52		6 0.59				
	7 0.031		7 0.03		7 0.53		7 0.591				
	8 0.009		8 0.022		8 0.74		8 0.772				
$e_{bi} =$	9 0.009	mm	$e_{bn} =$	9 0.02	mm	$e_{bt} =$	9 0.7	mm	$e_b =$	9 0.726	mm
	10 0.011		10 0.017		10 0.6		10 0.632		10 0.632		
	11 0.011		11 0.025		11 0.87		11 0.902		11 0.902		
	12 0.014		12 0.022		12 0.77		12 0.808		12 0.808		
	13 0.018		13 0.028		13 0.9		13 0.945		13 0.945		
	14 0.016		14 0.032		14 1.13		14 1.175		14 1.175		
	15 0.003		15 0.024		15 1.43		15 1.461		15 1.461		
	16 0.007		16 0.021		16 1.14		16 1.17		16 1.17		
	17 0.007		17 0.019		17 1.07		17 1.096		17 1.096		
	18 0.007		18 0.017		18 1.01		18 1.03		18 1.03		
	19 0.006		19 0.029		19 1.7		19 1.731		19 1.731		

	0		0		0		0								
	0	2.34		0	0.094		0	0.015		0	0.109				
	1	1.79		1	0.07		1	0.013		1	0.083				
	2	3.27		2	0.132		2	0.02		2	0.152				
	3	2.36		3	0.089		3	0.021		3	0.11				
	4	2.39		4	0.095		4	0.016		4	0.111				
	5	3.21		5	0.123		5	0.026		5	0.149				
	6	5.27		6	0.218		6	0.027		6	0.245				
	7	3.83		7	0.151		7	0.028		7	0.178				
	8	5.72		8	0.23		8	0.036		8	0.266				
$e_{def} =$	9	4.24	mm	$\delta_a =$	9	0.163	$\mu\text{m}$	$\delta_{but} =$	9	0.034	$\mu\text{m}$	$\delta_{def} =$	9	0.197	$\mu\text{m}$
	10	3.55			10	0.136			10	0.029			10	0.165	
	11	5.6			11	0.218			11	0.042			11	0.26	
	12	4.86			12	0.188			12	0.038			12	0.226	
	13	6.47			13	0.257			13	0.044			13	0.301	
	14	6.83			14	0.263			14	0.055			14	0.318	
	15	7.73			15	0.291			15	0.068			15	0.359	
	16	7.34			16	0.287			16	0.054			16	0.342	
	17	5.96			17	0.226			17	0.051			17	0.277	
	18	4.88			18	0.179			18	0.048			18	0.227	
	19	8.07			19	0.295			19	0.081			19	0.375	



Rigiditatea de contact

Apropierea suprafetelor de contact datorita deformatiei rugozitatilor

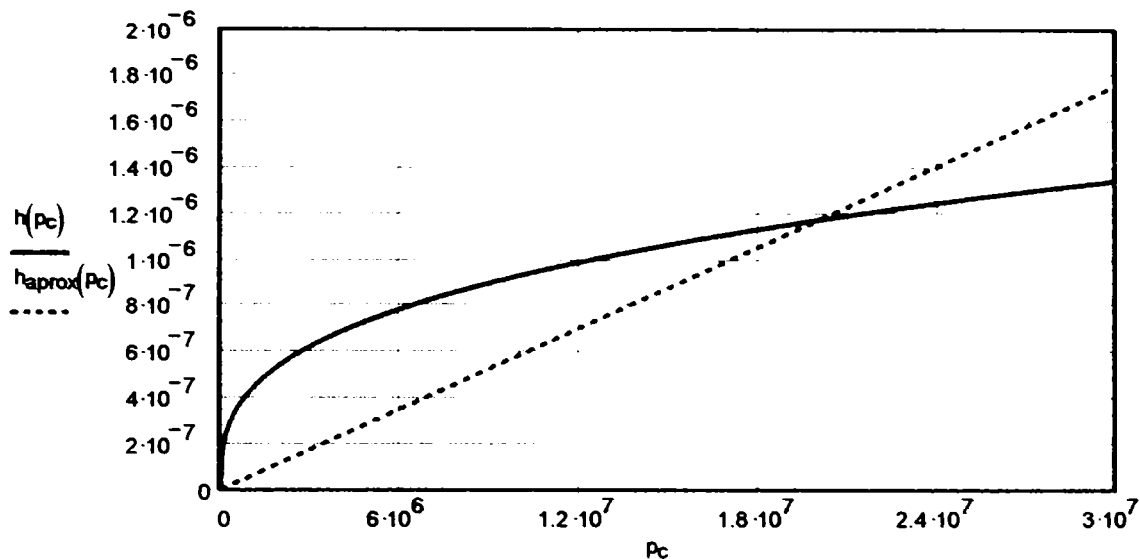
$$h(p) := 3.4 \cdot R_a \cdot \left( \frac{p}{HV} \right)^{\frac{1}{3}} \quad h(p_{max}) = 1.342 \mu\text{m}$$

Elasticitatea de contact

$$e_c := h \left( \frac{2 \cdot p_{max}}{3} \right) \cdot \frac{3 \cdot E}{2 \cdot p_{max}} \quad e_c = 12.599 \text{ mm}$$

Apropierea aproximativa a suprafetelor de contact datorita deformatiei rugozitatilor

$$h_{aprox}(p) := e_c \cdot \frac{p}{E}$$



Elasticitatea totala

$$\epsilon_{tot} := \epsilon_{def} + \epsilon_c$$

Diametrul exterior al butucului

$$d_{b0_j} := 1.5 \cdot D_j$$

Lungimea butucului

$$L_{b_j} := d_j$$

$$\mu_{def_j} := \sqrt{16 \cdot z_j \cdot \frac{(d_{m_j})^2 \cdot (Y_{Pa_j} - Y_{Na_j})}{\pi \cdot \epsilon_{def_j}} \cdot (1 + \nu) \cdot \left[ \frac{1}{(d_j)^4} + \frac{1}{(d_{b0_j})^4 - (D_j)^4} \right]}$$

$$\mu_{tot_j} := \sqrt{16 \cdot z_j \cdot \frac{(d_{m_j})^2 \cdot (Y_{Pa_j} - Y_{Na_j})}{\pi \cdot \epsilon_{tot_j}} \cdot (1 + \nu) \cdot \left[ \frac{1}{(d_j)^4} + \frac{1}{(d_{b0_j})^4 - (D_j)^4} \right]}$$

$\epsilon_{tot} =$		$\mu_{def} =$		$\mu_{def} \cdot L_{b_j} =$		$\mu_{tot} =$		$\mu_{tot} \cdot L_{b_j} =$	
	0		0		0		0		0
0	14.936	0	0.554	6.093	0	0.219	2.41		
1	14.389	1	0.529	6.875	1	0.187	2.425		
2	15.866	2	0.368	5.896	2	0.167	2.675		
3	14.956	3	0.384	6.91	3	0.152	2.743		
4	14.99	4	0.322	6.772	4	0.129	2.704		
5	15.812	5	0.287	6.595	5	0.129	2.973		
6	17.867	6	0.217	5.645	6	0.118	3.065		
7	16.429	7	0.236	6.603	7	0.114	3.188		
8	18.317	8	0.192	6.158	8	0.108	3.441		
9	16.836	9	0.198	7.12	9	0.099	3.572		
10	16.15	10	0.184	7.729	10	0.086	3.624		
11	18.198	11	0.156	7.166	11	0.086	3.975		
12	17.459	12	0.147	7.65	12	0.078	4.036		
13	19.071	13	0.126	7.035	13	0.073	4.099		
14	19.432	14	0.117	7.228	14	0.069	4.286		
15	20.327	15	0.105	7.541	15	0.065	4.649		
16	19.943	16	0.094	7.694	16	0.057	4.669		
17	18.556	17	0.093	8.521	17	0.052	4.828		
18	17.478	18	0.092	9.397	18	0.049	4.965		
19	20.668	19	0.075	8.366	19	0.047	5.227		



$$\lambda_j := \frac{(d_j)^4}{(d_j)^4 + (d_{b0j})^4 - (D_j)^4}$$

$$k_{d_j} := \mu_{def_j} \cdot L_{b_j} \frac{\cosh(\mu_{def_j} \cdot L_{b_j})}{\sinh(\mu_{def_j} \cdot L_{b_j})}$$

$$k_{d_{tot_j}} := \mu_{tot_j} \cdot L_{b_j} \frac{\cosh(\mu_{tot_j} \cdot L_{b_j})}{\sinh(\mu_{tot_j} \cdot L_{b_j})}$$

$$k_{d1_j} := \mu_{def_j} \cdot L_{b_j} \frac{(1 - \lambda_j) \cdot \cosh(\mu_{def_j} \cdot L_{b_j}) + \lambda_j}{\sinh(\mu_{def_j} \cdot L_{b_j})}$$

$$k_{d_{tot1_j}} := \mu_{tot_j} \cdot L_{b_j} \frac{(1 - \lambda_j) \cdot \cosh(\mu_{tot_j} \cdot L_{b_j}) + \lambda_j}{\sinh(\mu_{tot_j} \cdot L_{b_j})}$$

$k_d =$

	0
0	6.093
1	6.875
2	5.896
3	6.91
4	6.772
5	6.595
6	5.645
7	6.603
8	6.158
9	7.12
10	7.729
11	7.166
12	7.65
13	7.035
14	7.228
15	7.541
16	7.694
17	8.521
18	9.397
19	8.366

$k_{d_{tot}} =$

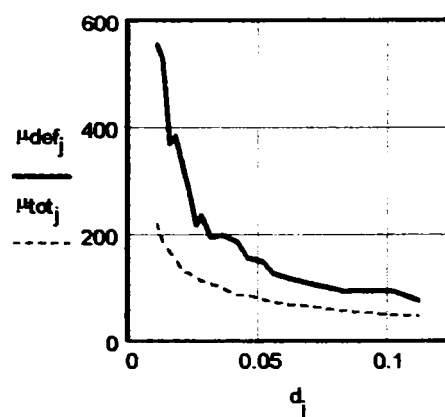
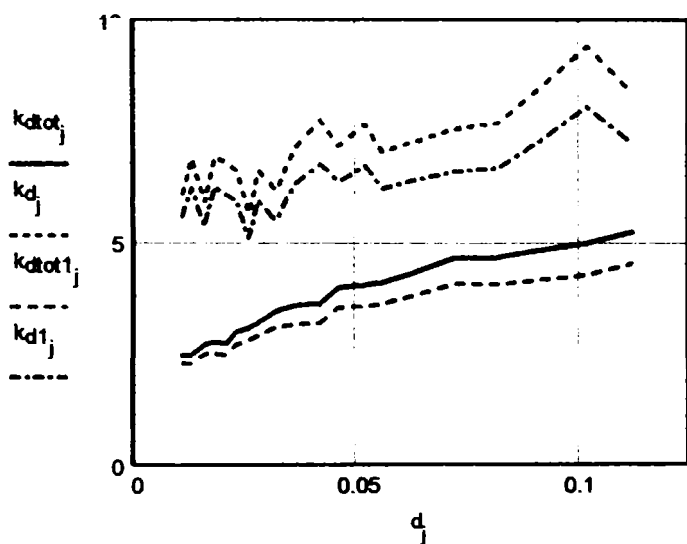
	0
0	2.449
1	2.463
2	2.701
3	2.766
4	2.729
5	2.988
6	3.078
7	3.199
8	3.448
9	3.577
10	3.629
11	3.977
12	4.039
13	4.101
14	4.287
15	4.65
16	4.67
17	4.828
18	4.965
19	5.228

$k_{d1} =$

	0
0	5.573
1	6.211
2	5.359
3	6.225
4	6.034
5	5.932
6	5.102
7	5.933
8	5.483
9	6.286
10	6.755
11	6.345
12	6.718
13	6.197
14	6.367
15	6.579
16	6.66
17	7.328
18	8.036
19	7.221

$k_{d_{tot1}} =$

	0
0	2.276
1	2.267
2	2.487
3	2.526
4	2.47
5	2.718
6	2.808
7	2.9
8	3.092
9	3.181
10	3.196
11	3.538
12	3.564
13	3.627
14	3.79
15	4.068
16	4.053
17	4.163
18	4.256
19	4.52



$$S_{1_j} := \frac{D_j - d_j}{2} - 2 \cdot \sigma$$

$$k_{def_j} := \frac{e_{def_j}}{e_{at_j}} \quad \varepsilon_{def} := \frac{k_{def}}{1.6} - 1$$

$$e_{ataprox_j} := 0.75 \cdot 2.4 \cdot (1 + \nu) \cdot \frac{(S_{1_j})^2}{b_j}$$

$$k_{defaprox_j} := \frac{e_{def_j}}{e_{ataprox_j}}$$

$k_{def} =$

	0
0	1.61
1	1.52
2	1.62
3	1.56
4	1.49
5	1.56
6	1.61
7	1.53
8	1.66
9	1.57
10	1.51
11	1.56
12	1.5
13	1.54
14	1.55
15	1.61
16	1.54
17	1.5
18	1.48
19	1.56

$\varepsilon_{def} =$

	0
0	0.5
1	-4.9
2	1
3	-2.7
4	-7.1
5	-2.3
6	0.6
7	-4.3
8	3.8
9	-2
10	-5.9
11	-2.7
12	-6
13	-3.8
14	-2.9
15	0.9
16	-3.5
17	-6.4
18	-7.6
19	-2.5

%

$e_{ataprox} =$

	0
0	0.94
1	0.81
2	1.5
3	1.2
4	1.2
5	1.72
6	2.25
7	1.93
8	2.25
9	1.93
10	1.68
11	2.34
12	2.11
13	2.87
14	3.12
15	3.12
16	3.12
17	2.67
18	2.34
19	3.93

mm

$k_{defaprox} =$

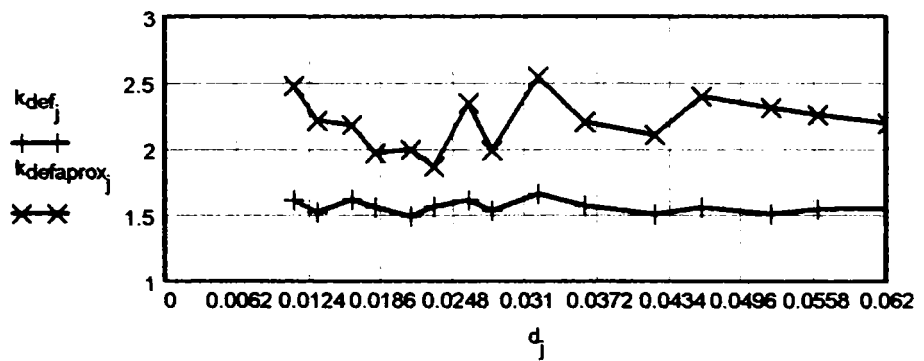
	0
0	2.48
1	2.21
2	2.18
3	1.97
4	2
5	1.87
6	2.34
7	1.99
8	2.55
9	2.2
10	2.11
11	2.39
12	2.31
13	2.26
14	2.19
15	2.48
16	2.35
17	2.23
18	2.09
19	2.05

$\varepsilon_{aprox} =$

	0
0	10.025
1	-1.657
2	-3.045
3	-12.577
4	-11.316
5	-16.981
6	4.217
7	-11.604
8	13.136
9	-2.196
10	-6.326
11	6.345
12	2.569
13	0.349
14	-2.67
15	10.079
16	4.617
17	-1
18	-7.326
19	-8.804

%

$$\varepsilon_{aprox} := \frac{k_{defaprox}}{2.25} - 1$$



### Seria grea

j := 0..17				Numarul de caneluri	Diametrul minim al degajarilor de rectificare	Tesitura canelurii de pe arbore
Diametrul interior	Diametrul exterior	Latimea canelurii				
16mm	20mm	2.5mm		10	14.1mm	0.2mm
18mm	23mm	3mm		10	15.6mm	0.2mm
21mm	26mm	3mm		10	18.5mm	0.2mm
23mm	29mm	4mm		10	20.3mm	0.2mm
26mm	32mm	4mm		10	23.0mm	0.3mm
28mm	35mm	4mm		10	24.4mm	0.3mm
32mm	40mm	5mm		10	28.0mm	0.3mm
36mm	45mm	5mm		10	31.3mm	0.3mm
42mm	52mm	6mm		10	36.9mm	0.3mm
46mm	56mm	7mm		10	40.9mm	0.5mm
52mm	60mm	5mm		16	47.0mm	0.5mm
56mm	65mm	5mm		16	50.6mm	0.5mm
62mm	72mm	6mm		16	56.1mm	0.5mm
72mm	82mm	7mm		16	65.9mm	0.5mm
82mm	92mm	6mm		20	75.6mm	0.5mm
92mm	102mm	7mm		20	85.5mm	0.5mm
102mm	115mm	8mm		20	98.7mm	0.5mm
112mm	125mm	9mm		20	104.0mm	0.5mm

Racordarea canelurii din butuc  $r := c$

$\mu\text{m} := 10^{-3} \text{mm}$      $\text{MPa} := 10^6 \text{Pa}$

Diametrul mediu al imbinarii  $d_m := \frac{d + D}{2}$     Modulul de elasticitate  $E := 2.15 \cdot 10^5 \text{MPa}$

Microduritatea suprafeței  $HV := 2000 \text{MPa}$     Rugozitatea suprafețelor portante  $R_a := 1.6 \mu\text{m}$

Geometria imbinarii    semiunghiurile la centru corespunzatoare latimii canelurii :

$$\gamma_{d_j} := \text{asin}\left(\frac{b_j}{d_j}\right) \quad \gamma_{m_j} := \text{asin}\left(\frac{b_j}{d_{m_j}}\right) \quad \gamma_{D_j} := \text{asin}\left(\frac{b_j}{D_j}\right) \quad \gamma_{Ora_j} := \text{asin}\left(\frac{b_j + 2 \cdot r_j}{d_{1_j} + 2 \cdot r_j}\right)$$

Coordonatele punctelor caracteristice ale flancului canelurii de pe arbore

$$y_{Pa_j} := 0.5 \cdot D_j \cdot \cos(\gamma_{D_j}) - c_j \quad y_{Na_j} := 0.5 \cdot d_j \cdot \cos(\gamma_{d_j}) - c_j \quad y_{Ma_j} := 0.5 \cdot (d_{1_j} + 2 \cdot r_j) \cdot \cos(\gamma_{Ora_j})$$

$$y_{ma_j} := 0.5 \cdot d_{m_j} \cdot \cos(\gamma_{m_j}) \quad y_{min_j} := y_{Ma_j} - 0.5 \cdot r_j$$

Latimea canelurii

$$s_{2a}(y, j) := b_j + 2 \cdot r_j - 2 \cdot \sqrt{(r_j)^2 - (y_{Ma_j} - y)^2}$$

$$s_a(y, j) := b_j \cdot (y_{Ma_j} \leq y \leq y_{Pa_j}) + s_{2a}(y, j) \cdot (y_{min_j} \leq y < y_{Ma_j})$$

Funcțiile de eforturi pentru grinda reala

$$M_{ia1}(y, j) := \frac{(y_{Pa_j} - y)^2}{2} \qquad M_{ia2}(y, j) := (y_{Pa_j} - y_{Na_j}) \cdot \left( \frac{y_{Pa_j} + y_{Na_j}}{2} - y \right)$$

$$M_{ia}(y, j) := M_{ia1}(y, j) \cdot (y_{Na_j} \leq y \leq y_{Pa_j}) + M_{ia2}(y, j) \cdot (y_{min_j} \leq y < y_{Na_j})$$

$$F_{ta1}(y, j) := y_{Pa_j} - y \qquad F_{ta}(y, j) := y_{Pa_j} - y_{Na_j} \qquad \nu := 0.3$$

$$F_{ta}(y, j) := F_{ta1}(y, j) \cdot (y_{Na_j} \leq y \leq y_{Pa_j}) + F_{ta}(y, j) \cdot (y_{min_j} \leq y < y_{Na_j})$$

–pentru grinda conjugata

$$m_{ia}(y, j) := \left[ \left( \frac{d_{m_j}}{2} \cdot \cos(\gamma_{m_j}) - y \right) \cdot \cos(\gamma_{m_j}) + \frac{b_j}{2} \cdot \sin(\gamma_{m_j}) \right] \cdot (y_{min_j} \leq y \leq y_{ma_j})$$

$$f_{ta}(y, j) := \cos(\gamma_{m_j}) \cdot (y_{min_j} \leq y \leq y_{ma_j})$$

Elasticitatea la incovoiere

$$e_{ai_j} := \int_{y_{min_j}}^{y_{ma_j}} \frac{12 \cdot M_{ia}(y, j) \cdot m_{ia}(y, j)}{s_a(y, j)^3} dy$$

Elasticitatea la deformatii tangentiale

$$e_{at_j} := 2.24 \cdot (1 + \nu) \cdot \int_{y_{min_j}}^{y_{ma_j}} \frac{F_{ta}(y, j) \cdot f_{ta}(y, j)}{s_a(y, j)} dy$$

Elasticitatea canelurii de pe arbore

$$e_a := e_{ai} + e_{at}$$

$e_{ai} =$  mm

	0
0	3.48
1	5.34
2	5.49
3	4.52
4	4.68
5	9.1
6	8.06
7	13.59
8	11.92
9	6.98
10	9.36
11	14.23
12	12.76
13	8.62
14	14.27
15	9.36
16	5.08
17	12.21

$e_{at} =$  mm

	0
0	3.6
1	4.85
2	4.94
3	5.12
4	5.22
5	7.34
6	7.65
7	10
8	10.22
9	8.39
10	8.25
11	10.29
12	10.62
13	9.31
14	11.17
15	9.68
16	8.57
17	12.58

$e_a =$  mm

	0
0	7.09
1	10.18
2	10.42
3	9.63
4	9.91
5	16.44
6	15.71
7	23.59
8	22.13
9	15.37
10	17.61
11	24.52
12	23.38
13	17.93
14	25.44
15	19.04
16	13.65
17	24.79

Coordonatele punctelor caracteristice ale flancului canelurii din butuc

Utilizam un sistem de axe similar cu cel de la arbore, dar rotit cu  $\pi/z$

$$y_{Nb_j} := \frac{d_j}{2} \cdot \cos\left(\frac{\pi}{z_j} - \gamma_{d_j}\right) + c_j \cdot \cos\left(\frac{\pi}{z_j}\right) \quad y_{Pb_j} := \frac{D_j}{2} \cdot \cos\left(\frac{\pi}{z_j} - \gamma_{D_j}\right) - c_j \cdot \cos\left(\frac{\pi}{z_j}\right)$$

$$y_{max_j} := y_{Pb_j} + r_j \cdot \left(\frac{1}{2} - \sin\left(\frac{\pi}{z_j}\right)\right) \quad y_{mb_j} := \frac{d_{m_j}}{2} \cdot \cos\left(\frac{\pi}{z_j} - \gamma_{m_j}\right)$$

$$z_{Pb_j} := \frac{D_j}{2} \cdot \sin\left(\frac{\pi}{z_j} - \gamma_{D_j}\right) - c_j \cdot \sin\left(\frac{\pi}{z_j}\right)$$

latimea canelurii din butuc

$$s_{b1}(y, j) := 2 \cdot y \cdot \tan\left(\frac{\pi}{z_j}\right) - \frac{b_j}{\cos\left(\frac{\pi}{z_j}\right)}$$

$$s_{b2}(y, j) := 2 \cdot \left[ z_{Pb_j} + r_j \cdot \cos\left(\frac{\pi}{z_j}\right) - \sqrt{(r_j)^2 - \left(y - y_{Pb_j} + r_j \cdot \sin\left(\frac{\pi}{z_j}\right)\right)^2} \right]$$

$$s_b(y, j) := s_{b1}(y, j) \cdot (y_{Nb_j} \leq y \leq y_{Pb_j}) + s_{b2}(y, j) \cdot (y_{Pb_j} < y \leq y_{max_j})$$

Funcțiile de eforturi

pentru grinda reala

$$M_{ib1}(y, j) := \frac{y - y_{Nb_j}}{2} \cdot \left[ (y - y_{Nb_j}) - s_{b1}\left(\frac{y + y_{Nb_j}}{2}, j\right) \cdot \tan\left(\frac{\pi}{z_j}\right) \right]$$

$$M_{ib2}(y, j) := (y_{Pb_j} - y_{Nb_j}) \cdot \left[ \left( y - \frac{y_{Pb_j} + y_{Nb_j}}{2} \right) - \frac{s_{b1}\left(\frac{y_{Pb_j} + y_{Nb_j}}{2}, j\right)}{2} \cdot \tan\left(\frac{\pi}{z_j}\right) \right]$$

$$M_{ib}(y, j) := M_{ib1}(y, j) \cdot (y_{Nb_j} \leq y < y_{Pb_j}) + M_{ib2}(y, j) \cdot (y_{Pb_j} \leq y \leq y_{max_j})$$

$$F_{nb1}(y, j) := (y - y_{Nb_j}) \cdot \tan\left(\frac{\pi}{z_j}\right)$$

$$F_{nb2}(y, j) := (y_{Pb_j} - y_{Nb_j}) \cdot \tan\left(\frac{\pi}{z_j}\right)$$

$$F_{nb}(y, j) := F_{nb1}(y, j) \cdot (y_{Nb_j} \leq y < y_{Pb_j}) + F_{nb2}(y, j) \cdot (y_{Pb_j} \leq y \leq y_{max_j})$$

$$F_{tb1}(y, j) := y - y_{Nb_j}$$

$$F_{tb2}(y, j) := y_{Pb_j} - y_{Nb_j}$$

$$F_{tb}(y, j) := F_{tb1}(y, j) \cdot (y_{Nb_j} \leq y < y_{Pb_j}) + F_{tb2}(y, j) \cdot (y_{Pb_j} \leq y \leq y_{max_j})$$

pentru grinda conjugata

$$m_{ib}(y, j) := (y - y_{mb_j}) \cdot \cos\left(\frac{\pi}{z_j} - \gamma_{m_j}\right) - \frac{s_{b1}(y_{mb_j}, j)}{2} \cdot \sin\left(\frac{\pi}{z_j} - \gamma_{m_j}\right)$$

$$f_{tb}(y, j) := \cos\left(\frac{\pi}{z_j} - \gamma_{m_j}\right) \quad f_{nb}(y, j) := \sin\left(\frac{\pi}{z_j} - \gamma_{m_j}\right)$$

Elasticitatea la incovoiere

$$e_{bi_j} := \int_{y_{mb_j}}^{y_{max_j}} \frac{12 \cdot M_{ib}(y, j) \cdot m_{ib}(y, j)}{s_b(y, j)^3} dy$$

Elasticitatea la deformatii tangentiale

$$e_{bt_j} := 2.4 \cdot (1 + \nu) \cdot \int_{y_{mb_j}}^{y_{max_j}} \frac{F_{tb}(y, j) \cdot f_{tb}(y, j)}{s_b(y, j)} dy$$

Elasticitatea la deformatii de compresiune

$$e_{bn_j} := \int_{y_{mb_j}}^{y_{max_j}} \frac{F_{nb}(y, j) \cdot f_{nb}(y, j)}{s_b(y, j)} dy$$

Elasticitatea totala a canelurii din butuc

$$e_b := e_{bi} + e_{bt} + e_{bn}$$

Elasticitatea insumata a elementelor imbinarii

$$e_{def} := e_a + e_b$$

Presiunea medie estimata

$$p_{med} := 10MPa$$

Presiunea maxima estimata

$$p_{max} := 30MPa$$

Deformatia medie a arborelui

$$\delta_a := e_a \cdot \frac{p_{med}}{E}$$

Deformatia medie a butucului

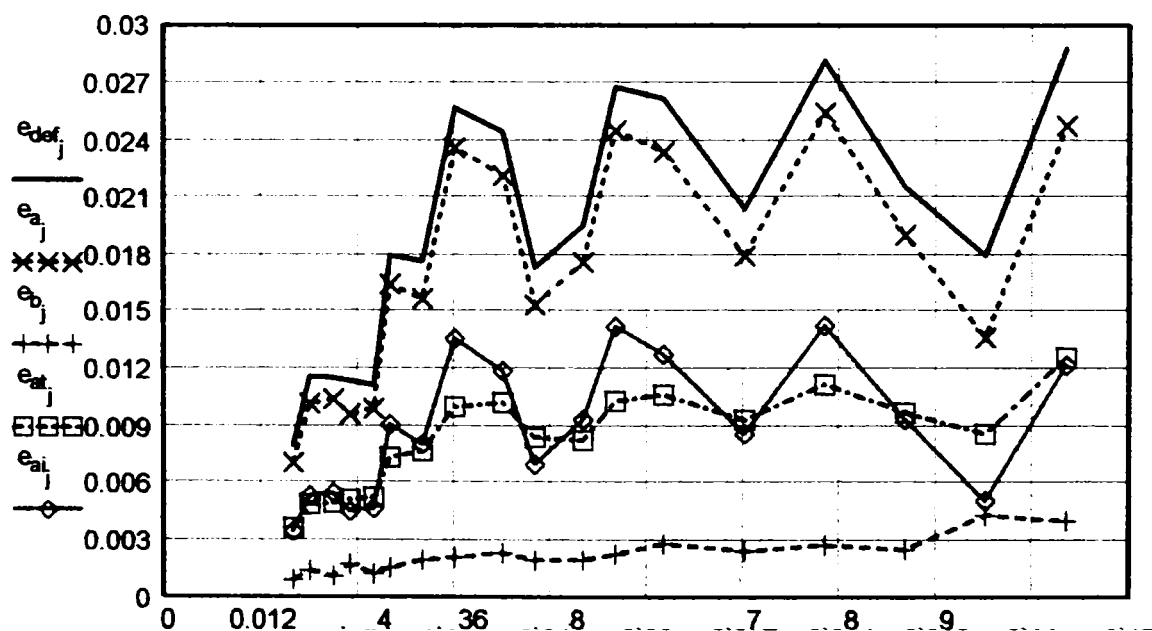
$$\delta_{but} := e_b \cdot \frac{p_{med}}{E}$$

Deformatia medie a arborelui

$$\delta_{def} := e_{def} \cdot \frac{p_{med}}{E}$$

	0		0		0		0							
$e_{bi} =$	0	0.011	mm	$e_{bn} =$	0	0.016	mm	$e_{bt} =$	0	0.85	mm	$e_b =$	0	0.879
	1	0.036			1	0.023			1	1.31			1	1.369
	2	0.01			2	0.02			2	1.04			2	1.071
	3	0.05			3	0.028			3	1.65			3	1.723
	4	0.011			4	0.022			4	1.19			4	1.224
	5	0.015			5	0.029			5	1.48			5	1.522
	6	0.03			6	0.035			6	1.88			6	1.945
	7	0.022			7	0.04			7	2.01			7	2.068
	8	0.024			8	0.044			8	2.24			8	2.313
	9	0.013			9	0.035			9	1.88			9	1.929
	10	0.076			10	0.013			10	1.83			10	1.915
	11	0.087			11	0.015			11	2.12			11	2.227
	12	0.144			12	0.018			12	2.63			12	2.787
	13	0.088			13	0.016			13	2.33			13	2.435
	14	0.15			14	0.011			14	2.54			14	2.704
	15	0.117			15	0.01			15	2.38			15	2.503
	16	0.337			16	0.017			16	3.94			16	4.292
	17	0.275			17	0.015			17	3.72			17	4.008

$e_{def} =$	0	7.97	mm	$\delta_a =$	0	0.33	$\mu\text{m}$	$\delta_{but} =$	0	0.041	$\mu\text{m}$	$\delta_{def} =$	0	0.37	$\mu\text{m}$
	1	11.55			1	0.474			1	0.064			1	0.537	
	2	11.49			2	0.485			2	0.05			2	0.534	
	3	11.36			3	0.448			3	0.08			3	0.528	
	4	11.13			4	0.461			4	0.057			4	0.518	
	5	17.96			5	0.765			5	0.071			5	0.835	
	6	17.66			6	0.731			6	0.09			6	0.821	
	7	25.66			7	1.097			7	0.096			7	1.193	
	8	24.45			8	1.03			8	0.108			8	1.137	
	9	17.3			9	0.715			9	0.09			9	0.805	
	10	19.52			10	0.819			10	0.089			10	0.908	
	11	26.75			11	1.141			11	0.104			11	1.244	
	12	26.17			12	1.088			12	0.13			12	1.217	
	13	20.37			13	0.834			13	0.113			13	0.947	
	14	28.14			14	1.183			14	0.126			14	1.309	
	15	21.55			15	0.886			15	0.116			15	1.002	
	16	17.94			16	0.635			16	0.2			16	0.834	
	17	28.79			17	1.153			17	0.186			17	1.339	



Rigiditatea de contact

Apropierea suprafetelor de contact datorita deformatiei rugozitatilor

$$h(p) := 3.4 \cdot R_a \cdot \left(\frac{p}{HV}\right)^{\frac{1}{3}}$$

$$h(p_{max}) = 1.342 \mu\text{m}$$

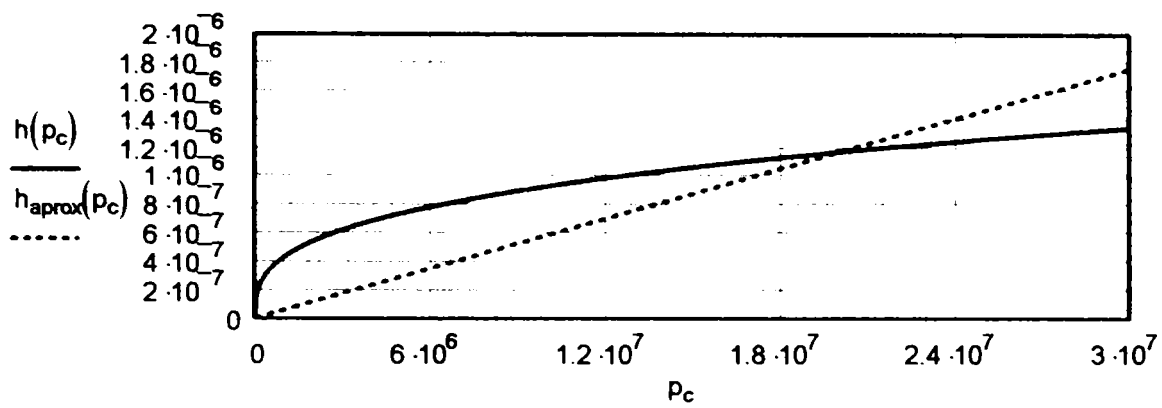
Elasticitatea de contact

$$e_c := h \left(\frac{2 \cdot p_{max}}{3}\right) \cdot \frac{3 \cdot E}{2 \cdot p_{max}}$$

$$e_c = 12.599 \text{ mm}$$

Apropierea aproximativa a suprafetelor de contact datorita deformatiei rugozitatilor

$$h_{aprox}(p) := e_c \cdot \frac{p}{E}$$



Elasticitatea totala  $e_{tot} := e_{def} + e_c$

Diametrul exterior al butucului  $d_{b0_j} := 1.5 \cdot D_j$

Lungimea butucului  $L_{b_j} := d_j$

$$\mu_{def_j} := \sqrt{\frac{(d_{m_j})^2 \cdot (y_{Pa_j} - y_{Na_j})}{16 \cdot z_j \cdot \pi \cdot e_{def_j}} \cdot (1 + \nu) \cdot \left[ \frac{1}{(d_j)^4} + \frac{1}{(d_{b0_j})^4 - (D_j)^4} \right]}$$

$$\mu_{tot_j} := \sqrt{\frac{(d_{m_j})^2 \cdot (y_{Pa_j} - y_{Na_j})}{16 \cdot z_j \cdot \pi \cdot e_{tot_j}} \cdot (1 + \nu) \cdot \left[ \frac{1}{(d_j)^4} + \frac{1}{(d_{b0_j})^4 - (D_j)^4} \right]}$$

	0
0	20.564
1	24.15
2	24.09
3	23.956
4	23.729
5	30.558
6	30.255
7	38.257
8	37.047
9	29.9
10	32.123
11	39.35
12	38.767
13	32.968
14	40.739
15	34.144
16	30.54
17	41.393

	0
0	0.302
1	0.252
2	0.213
3	0.217
4	0.192
5	0.152
6	0.144
7	0.112
8	0.103
9	0.112
10	0.103
11	0.087
12	0.084
13	0.081
14	0.068
15	0.069
16	0.078
17	0.056

	$\mu_{def_j} \cdot L_{b_j} =$
0	4.836
1	4.531
2	4.483
3	4.982
4	4.982
5	4.257
6	4.594
7	4.038
8	4.346
9	5.139
10	5.365
11	4.868
12	5.191
13	5.851
14	5.538
15	6.311
16	7.92
17	6.236

	0
0	0.188
1	0.174
2	0.147
3	0.149
4	0.131
5	0.117
6	0.11
7	0.092
8	0.084
9	0.085
10	0.08
11	0.072
12	0.069
13	0.064
14	0.056
15	0.054
16	0.06
17	0.046

	$\mu_{tot_j} \cdot L_{b_j} =$
0	3.01
1	3.133
2	3.096
3	3.431
4	3.412
5	3.264
6	3.509
7	3.307
8	3.531
9	3.909
10	4.183
11	4.014
12	4.265
13	4.599
14	4.603
15	5.013
16	6.07
17	5.201

$$\lambda_j := \frac{(d_j)^4}{(d_j)^4 + (d_{b0_j})^4 - (D_j)^4}$$



$$k_{d_j} := \mu_{def_j} \cdot L_{b_j} \cdot \frac{\cosh(\mu_{def_j} \cdot L_{b_j})}{\sinh(\mu_{def_j} \cdot L_{b_j})} \quad k_{d1_j} := \mu_{def_j} \cdot L_{b_j} \cdot \frac{(1 - \lambda_j) \cdot \cosh(\mu_{def_j} \cdot L_{b_j}) + \lambda_j}{\sinh(\mu_{def_j} \cdot L_{b_j})}$$

$$k_{dtot_j} := \mu_{tot_j} \cdot L_{b_j} \cdot \frac{\cosh(\mu_{tot_j} \cdot L_{b_j})}{\sinh(\mu_{tot_j} \cdot L_{b_j})} \quad k_{dtot1_j} := \mu_{tot_j} \cdot L_{b_j} \cdot \frac{(1 - \lambda_j) \cdot \cosh(\mu_{tot_j} \cdot L_{b_j}) + \lambda_j}{\sinh(\mu_{tot_j} \cdot L_{b_j})}$$

$k_d =$

	0
0	4.837
1	4.532
2	4.484
3	4.983
4	4.983
5	4.259
6	4.595
7	4.04
8	4.348
9	5.139
10	5.365
11	4.869
12	5.191
13	5.851
14	5.538
15	6.311
16	7.92
17	6.236

$k_{dtot} =$

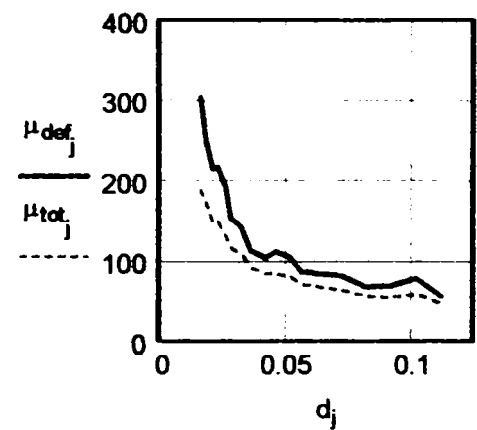
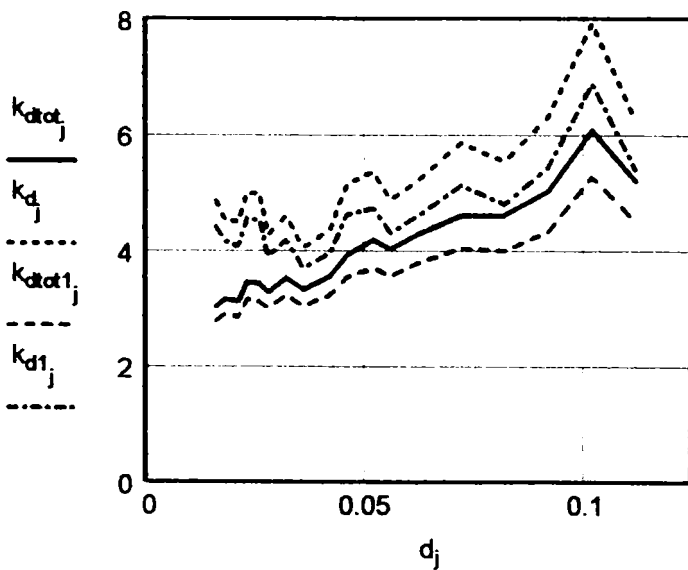
	0
0	3.025
1	3.145
2	3.109
3	3.438
4	3.42
5	3.273
6	3.516
7	3.316
8	3.537
9	3.912
10	4.184
11	4.017
12	4.266
13	4.6
14	4.604
15	5.014
16	6.07
17	5.201

$k_{d1} =$

	0
0	4.401
1	4.157
2	4.068
3	4.547
4	4.507
5	3.88
6	4.183
7	3.683
8	3.946
9	4.627
10	4.717
11	4.296
12	4.579
13	5.109
14	4.8
15	5.43
16	6.874
17	5.385

$k_{dtot1} =$

	0
0	2.775
1	2.903
2	2.84
3	3.152
4	3.11
5	2.996
6	3.213
7	3.034
8	3.221
9	3.534
10	3.69
11	3.554
12	3.772
13	4.025
14	3.997
15	4.321
16	5.272
17	4.497



$$s_{1_j} := \frac{D_j - d_j}{2} - 2 \cdot c$$

$$k_{def_j} := \frac{e_{def_j}}{e_{at_j}} \quad \varepsilon_{def} := \frac{k_{def}}{1.6} - 1 \quad e_{atprox_j} := 0.75 \cdot 2.4 \cdot (1 + \nu) \cdot \frac{(s_{1_j})^2}{b_j} \quad k_{defaprox_j} := \frac{e_{def_j}}{e_{atprox_j}}$$

	0
0	2.21
1	2.38
2	2.33
3	2.22
4	2.13
5	2.45
6	2.31
7	2.57
8	2.39
9	2.06
10	2.37
11	2.6
12	2.46
13	2.19
14	2.52
15	2.23
16	2.09
17	2.29

$k_{def} =$

	0
0	38.2
1	49
2	45.5
3	38.7
4	33.2
5	52.9
6	44.2
7	60.4
8	49.6
9	28.8
10	47.9
11	62.4
12	54
13	36.7
14	57.5
15	39.1
16	30.9
17	43.1

$\varepsilon_{def} =$

	0
0	2.4
1	3.44
2	3.44
3	3.95
4	3.37
5	4.92
6	5.41
7	7.12
8	7.55
9	5.35
10	4.21
11	5.73
12	6.24
13	5.35
14	6.24
15	5.35
16	8.85
17	7.86

$\% \varepsilon_{ataprox} =$

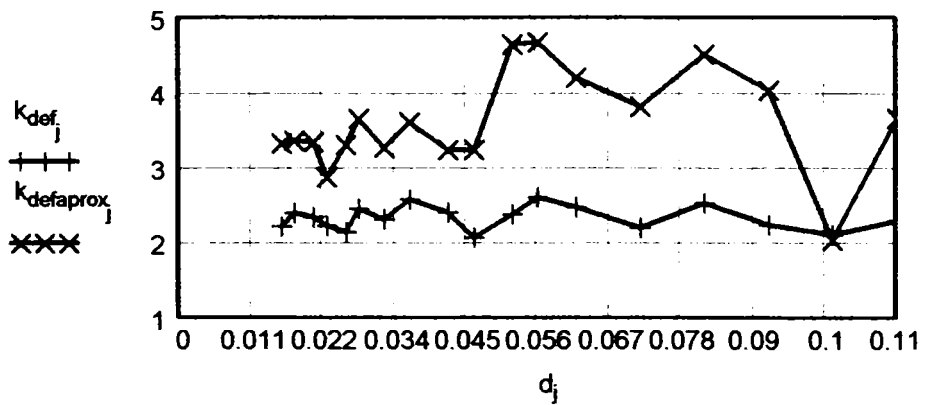
	0
0	3.32
1	3.36
2	3.34
3	2.87
4	3.3
5	3.65
6	3.26
7	3.6
8	3.24
9	3.23
10	4.64
11	4.67
12	4.19
13	3.81
14	4.51
15	4.03
16	2.03
17	3.66

mm  $k_{defaprox} =$

$$\varepsilon_{aprox} := \frac{k_{defaprox}}{2.25} - 1$$

	0
0	47.74
1	49.243
2	48.469
3	27.64
4	46.802
5	62.238
6	45.045
7	60.203
8	43.909
9	43.763
10	106.009
11	107.382
12	86.382
13	69.254
14	100.43
15	79.031
16	-9.882
17	62.709

$\varepsilon_{aprox} =$  %



# Rigiditatea canelurilor triunghiulare

Diametrul de divizare	$d := 30\text{mm}$
Diametrul exterior	$D := 32\text{mm}$
Unghiul canelurii din butuc	$\beta := \frac{\pi}{3} \quad \beta = 60\text{ deg}$
Numarul de caneluri	$z := 36$
Diametrul minim al canelurii din arbore	$d_{a2} := 28.5\text{mm}$
Diametrul maxim al canelurii din arbore	$d_{a1} := 32\text{mm}$

## Geometria imbinarii

In functie de dimensiunile standardizate ale imbinarii se calculeaza:

Latimea canelurii pe diametrul de divizare  $s_d := d \cdot \sin\left(\frac{\pi}{2 \cdot z}\right) \quad s_d = 1.309\text{ mm}$

Unghiul la centru corespunzator latimii canelurii pe diametrul de divizare

Unghiul canelurii de pe arbore  $\gamma := \beta - \frac{2 \cdot \pi}{z} \quad \gamma = 50\text{ deg} \quad \theta_d := \frac{\pi}{z} \quad \theta_d = 5\text{ deg}$

Ordonata punctului de pe flancul canelurii situat pe cercul de diametru mediu  $y_d := \frac{d}{2} \cdot \cos\left(\frac{\pi}{2 \cdot z}\right) \quad y_d = 14.986\text{ mm}$

Latimea canelurii de pe arbore  $s_{1a}(y) := s_d + 2 \cdot (y_d - y) \cdot \tan\left(\frac{\gamma}{2}\right)$

Unghiul canelurii pe cercul curent  $\theta_a(y) := 2 \cdot \text{atan}\left(\frac{s_{1a}(y)}{2 \cdot y}\right)$

$$d_{ya}(y) := \frac{2 \cdot y}{\cos\left(\frac{\theta_a(y)}{2}\right)}$$

Coordonatele punctelor caracteristice ale flancului canelurii de pe arbore

$y_{Pa} := \frac{d_{a1}}{2} \quad y_{Pa} = 16\text{ mm} \quad y_{Pa} := \text{root}\left(y_{Pa}^2 + s_{1a}(y_{Pa})^2 - \frac{d_{a1}^2}{4}, y_{Pa}\right) \quad y_{Pa} = 15.996\text{ mm}$

$\theta_{Pa} := \theta_a(y_{Pa}) \quad \theta_{Pa} = 1.313\text{ deg}$

$y_{Na} := \frac{d_{a2}}{2} \quad y_{Na} := \text{root}\left(y_{Na}^2 + s_{1a}(y_{Na})^2 - \frac{d_{a2}^2}{4}, y_{Na}\right) \quad y_{Na} = 14.09\text{ mm}$

$\theta_{Na} := \theta_a(y_{Na}) \quad \theta_{Na} = 8.703\text{ deg}$

$s_{amin} := s_{1a}(y_{Pa}) \quad s_{amin} = 0.367\text{ mm}$

$r_2 := \frac{s_{amin}}{2 \cdot \cos\left(\frac{\gamma}{2}\right)} \quad r_2 = 0.202\text{ mm}$

Latimea canelurii din butuc  $s_{1b}(y) := s_d + 2 \cdot (y - y_d) \cdot \tan\left(\frac{\beta}{2}\right)$

$\theta_b(y) := 2 \cdot \text{atan}\left(\frac{s_{1b}(y)}{2 \cdot y}\right)$

$d_{yb}(y) := \frac{2 \cdot y}{\cos\left(\frac{\theta_b(y)}{2}\right)}$

A.11.1

Coordonatele punctelor caracteristice ale flancului

$$y_{Pb} := \frac{d_{a1}}{2} \quad y_{Pb} := \text{root}\left(y_{Pb}^2 + s_{1b}(y_{Pb})^2 - \frac{d_{a1}^2}{4}, y_{Pb}\right) \quad y_{Pb} = 15.837 \text{ mm}$$

$$\theta_{Pb} := \theta_b(y_{Pb}) \quad \theta_{Pb} = 8.277 \text{ deg}$$

$$y_{Nb} := \frac{d_{a2}}{2} \quad y_{Nb} := \text{root}\left(y_{Nb}^2 + s_{1b}(y_{Nb})^2 - \frac{d_{a2}^2}{4}, y_{Nb}\right) \quad y_{Nb} = 14.243 \text{ mm}$$

$$\theta_{Nb} := \theta_b(y_{Nb}) \quad \theta_{Nb} = 1.813 \text{ deg}$$

Latimea capului canelurii din butuc

$$s_{bmin} := s_{1b}(y_{Nb}) \quad s_{bmin} = 0.451 \text{ mm}$$

Racordarea canelurii din arbore

$$r_1 := \frac{s_{bmin}}{2 \cdot \cos\left(\frac{\beta}{2}\right)} \quad r_1 = 0.26 \text{ mm}$$

Diametrul de picior al arborelui

$$d_{f1} := d_{a2} \cdot \cos\left(\frac{\pi}{z} - \theta_{Na}\right) - r_1 \quad d_{f1} = 28.18 \text{ mm}$$

$$y_{Ora} := \left(\frac{d_{f1}}{2} + r_1\right) \cdot \cos\left(\frac{\pi}{z}\right) \quad y_{Ora} = 14.296 \text{ mm}$$

Coordonatele centrului racordarii canelurii de pe arbore

$$z_{Ora} := \left(\frac{d_{f1}}{2} + r_1\right) \cdot \sin\left(\frac{\pi}{z}\right) \quad z_{Ora} = 1.251 \text{ mm}$$

Ordonata incastrarii echivalente pe arbore

$$y_{amin} := y_{Ora} - \frac{r_1}{2} \quad y_{amin} = 14.166 \text{ mm}$$

Latimea canelurii in zona de racordare

$$s_{2a}(y) := 2 \cdot \left[ z_{Ora} - \sqrt{r_1^2 - (y_{Ora} - y)^2} \right]$$

Diametrul de picior al butucului

$$d_{f2} := d_{a1} \cdot \cos\left(\frac{\pi}{z} - \frac{\theta_{Pb}}{2}\right) + 2 \cdot r_2 \cdot \left(1 - \sin\left(\frac{\gamma}{2}\right)\right) \quad d_{f2} = 32.23 \text{ mm}$$

$$y_{Orb} := \left(\frac{d_{f2}}{2} - r_2\right) \cdot \cos\left(\frac{\pi}{z}\right) \quad y_{Orb} = 15.852 \text{ mm}$$

Coordonatele centrului racordarii canelurii din butuc

$$z_{Orb} := \left(\frac{d_{f2}}{2} - r_2\right) \cdot \sin\left(\frac{\pi}{z}\right) \quad z_{Orb} = 1.387 \text{ mm}$$

Ordonata incastrarii echivalente in butuc

$$y_{bmax} := y_{Orb} + \frac{r_2}{2} \quad y_{bmax} = 15.953 \text{ mm}$$

$$\text{Latimea canelunii in zona de racord: } s_{2b}(y) := 2 \cdot \left[ z_{Orb} - \sqrt{r_2^2 - (y_{Orb} - y)^2} \right] \quad s_{2b}(y_{Pb}) = 2.37 \text{ mm}$$

$$s_{2b}(y_{bmax}) = 2.423 \text{ mm}$$

Rigiditatea canelurii de pe arbore

Funcțiile de eforturi pentru grinda reala

$$M_{ia1}(y) := \frac{(y_{Pa} - y)^2}{2} - (y_{Pa} - y) \cdot s_{1a}\left(\frac{y_{Pa} + y}{2}\right) \cdot \tan\left(\frac{\gamma}{2}\right)$$

$$M_{ia2}(y) := (y_{Pa} - y_{Na}) \cdot \left(\frac{y_{Pa} + y_{Na}}{2} - y\right) - (y_{Pa} - y_{Na}) \cdot s_{1a}\left(\frac{y_{Pa} + y_{Na}}{2}\right) \cdot \tan\left(\frac{\gamma}{2}\right)$$

$$F_{na1}(y) := -(y_{Pa} - y) \cdot \tan\left(\frac{\gamma}{2}\right)$$

$$F_{na2}(y) := -(y_{Pa} - y_{Na}) \cdot \tan\left(\frac{\gamma}{2}\right)$$

$$F_{ta1}(y) := y_{Pa} - y$$

$$F_{ta2}(y) := y_{Pa} - y_{Na}$$

pentru grinda conjugata

$$m_{ia}(y) := (y_d - y) \cdot \cos\left(\frac{\theta_d}{2}\right) + \frac{s_d}{2} \cdot \sin\left(\frac{\theta_d}{2}\right)$$

$$f_{na}(y) := -\sin\left(\frac{\theta_d}{2}\right) \quad f_{ta}(y) := \cos\left(\frac{\theta_d}{2}\right)$$

**Elasticitatea la incovoiere**

$$e_{ai} := \int_{y_{Na}}^{y_d} \frac{12 \cdot M_{ia1}(y) \cdot m_{ia}(y)}{s_{1a}(y)^3} dy + \int_{y_{amin}}^{y_{Na}} \frac{12 \cdot M_{ia2}(y) \cdot m_{ia}(y)}{s_{2a}(y)^3} dy \quad e_{ai} = 0.298 \text{ mm}$$

**Elasticitatea la compresiune**

$$e_{an} := \int_{y_{Na}}^{y_d} \frac{F_{na1}(y) \cdot f_{na}(y)}{s_{1a}(y)} dy + \int_{y_{amin}}^{y_{Na}} \frac{F_{na2}(y) \cdot f_{na}(y)}{s_{2a}(y)} dy \quad e_{an} = 0.014 \text{ mm}$$

$\nu := 0.3$

**Elasticitatea la deformatii tangentiale**

$$e_{at} := 2 \cdot (1 + \nu) \cdot \left( \int_{y_{Na}}^{y_d} \frac{F_{ta1}(y) \cdot f_{ta}(y)}{s_{1a}(y)} dy + \int_{y_{amin}}^{y_{Na}} \frac{F_{ta2}(y) \cdot f_{ta}(y)}{s_{2a}(y)} dy \right) \quad e_{at} = 1.777 \text{ mm}$$

**Elasticitatea canelunii de pe arbore**  $e_a := e_{ai} + e_{an} + e_{at}$   $e_a = 2.089 \text{ mm}$

**Rigiditatea canelunii din butuc**

**Funcțiile de eforturi pentru grinda reala**

$$M_{ib1}(y) := \frac{(y - y_{Nb})^2}{2} - \frac{y - y_{Nb}}{2} \cdot s_{1b} \left( \frac{y_{Nb} + y}{2} \right) \cdot \tan\left(\frac{\beta}{2}\right)$$

$$M_{ib2}(y) := (y_{Pb} - y_{Nb}) \cdot \left( \frac{y_{Pb} + y_{Nb}}{2} - y \right) - \frac{y_{Pb} - y_{Nb}}{2} \cdot s_{1b} \left( \frac{y_{Pb} + y_{Nb}}{2} \right) \cdot \tan\left(\frac{\beta}{2}\right)$$

$$F_{nb1}(y) := -(y - y_{Nb}) \cdot \tan\left(\frac{\beta}{2}\right)$$

$$F_{nb2}(y) := -(y_{Pb} - y_{Nb}) \cdot \tan\left(\frac{\beta}{2}\right)$$

$$F_{tb1}(y) := y - y_{Nb}$$

$$F_{tb2}(y) := y_{Pb} - y_{Nb}$$

**pentru grinda conjugata**

$$m_{ib}(y) := (y - y_d) \cdot \cos\left(\frac{\theta_d}{2}\right) - \frac{s_d}{2} \cdot \sin\left(\frac{\theta_d}{2}\right)$$

$$f_{nb}(y) := -\sin\left(\frac{\theta_d}{2}\right) \quad f_{tb}(y) := \cos\left(\frac{\theta_d}{2}\right)$$

**Elasticitatea la incovoiere**

$$e_{bi} := \int_{y_d}^{y_{Pb}} \frac{12 \cdot M_{ib1}(y) \cdot m_{ib}(y)}{s_{1b}(y)^3} dy + \int_{y_{Pb}}^{y_{bmax}} \frac{12 \cdot M_{ib2}(y) \cdot m_{ib}(y)}{s_{2b}(y)^3} dy \quad e_{bi} = 0.032 \text{ mm}$$

**Elasticitatea la compresiune**

$$e_{bn} := \int_{y_d}^{y_{Pb}} \frac{F_{nb1}(y) \cdot f_{nb}(y)}{s_{1b}(y)} dy + \int_{y_{Pb}}^{y_{bmax}} \frac{F_{nb2}(y) \cdot f_{nb}(y)}{s_{2b}(y)} dy \quad e_{bn} = 0.016 \text{ mm}$$

**Elasticitatea la deformatii tangentiale**

$$e_{bt} := 2.4 \cdot (1 + \nu) \cdot \left( \int_{y_d}^{y_{Pb}} \frac{F_{tb1}(y) \cdot f_{tb}(y)}{s_{1b}(y)} dy + \int_{y_{Pb}}^{y_{bmax}} \frac{F_{tb2}(y) \cdot f_{tb}(y)}{s_{2b}(y)} dy \right) \quad e_{bt} = 1.95 \text{ mm}$$

**Elasticitatea canelunii din butuc**  $e_b := e_{bi} + e_{bn} + e_{bt}$   $e_b = 1.997 \text{ mm}$

**Elasticitatea totala**  $e_{def} := e_a + e_b$   $e_{def} = 4.086 \text{ mm}$

$$z_c := 3$$

$$\text{MPa} := \frac{\text{N}}{\text{mm}^2}$$

$$d_b := 1.6 \cdot D$$

$$d_b = 51.2 \text{ mm}$$

$$L_b := 1.5 \cdot D$$

$$L_b = 48 \text{ mm}$$

$$\mu := \sqrt{16 \cdot z_c \cdot \frac{d^2 \cdot (y_{Pa} - y_{Na})}{\pi \cdot e_{\text{def}}} \cdot (1 + \nu) \cdot \left( \frac{1}{d_{a1}^4} + \frac{1}{d_b^4 - D^4} \right)} \quad \mu = 0.336 \text{ mm}^{-1}$$

$$k_d := \mu \cdot L_b \cdot \frac{\cosh(\mu \cdot L_b)}{\sinh(\mu \cdot L_b)} \quad k_d = 16.109$$

$$\lambda := \frac{d^4}{d^4 + d_b^4 - D^4} \quad \lambda = 0.122$$

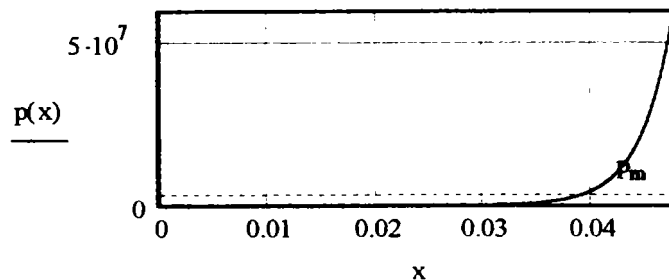
$$k_d := \mu \cdot L_b \cdot \frac{(1 - \lambda) \cdot \cosh(\mu \cdot L_b) + \lambda}{\sinh(\mu \cdot L_b)} \quad k_d = 14.142$$

$$k_d := \mu \cdot L_b \cdot \frac{(1 - \lambda) + \lambda \cdot \cosh(\mu \cdot L_b)}{\sinh(\mu \cdot L_b)} \quad k_d = 1.967$$

$$T_t := 200 \text{ N} \cdot \text{m}$$

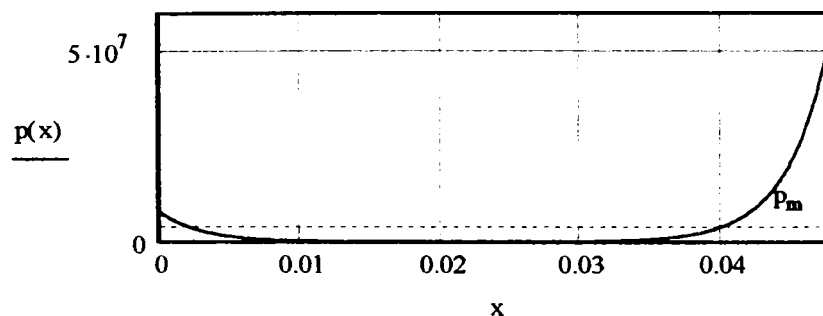
$$p(x) := \frac{2 \cdot T_t \cdot \mu \cdot \cosh(\mu \cdot x)}{d \cdot z_c \cdot (y_{Pa} - y_{Na}) \cdot \sinh(\mu \cdot L_b)}$$

$$p_m := \frac{2 \cdot T_t}{d \cdot z_c \cdot (y_{Pa} - y_{Na}) \cdot L_b} \quad p_m = 4.048 \text{ MPa}$$



$$p(x) := \frac{2 \cdot T_t \cdot \mu \cdot [(1 - \lambda) \cdot \cosh(\mu \cdot x) + \lambda \cdot \cosh(\mu \cdot L_b - \mu \cdot x)]}{d \cdot z_c \cdot (y_{Pa} - y_{Na}) \cdot \sinh(\mu \cdot L_b)}$$

$$p_m := \frac{2 \cdot T_t}{d \cdot z_c \cdot (y_{Pa} - y_{Na}) \cdot L_b} \quad p_m = 4.048 \text{ MPa}$$



# Rigiditatea canelurilor evolventice

## Date initiale

Modulul canelurilor	$m_n := 1 \text{ mm}$
Diametrul nominal	$D := 32 \text{ mm}$
Numarul de caneluri	$z := 30$
Unghiul de presiune de referinta	$\alpha_0 := \frac{\pi}{6}$

## Geometria canelurii

Diametrul de divizare	$d := m_n \cdot z$	$d = 30 \text{ mm}$
Diametrul de baza	$d_b := d \cdot \cos(\alpha_0)$	$d_b = 25.981 \text{ mm}$
Deplasarea profilului	$x_A := \frac{D - d}{2} - 0.55 \cdot m_n$	$x_A = 0.45 \text{ mm}$
Raza de racordare	$\rho_{0f} := 0.16 \cdot m_n$	$\rho_{0f} = 0.16 \text{ mm}$
Diametrul de cap al arborelui	$d_a := d + 2 \cdot (0.45 \cdot m_n + x_A)$	$d_a = 31.8 \text{ mm}$
Diametrul de cap al butucului	$D_a := d - 2 \cdot (0.45 \cdot m_n - x_A)$	$D_a = 30 \text{ mm}$
Diametrul mediu de contact	$d_m := \frac{d_a + D_a}{2}$	$d_m = 30.9 \text{ mm}$
Diametrul de picior al arborelui	$d_f := d - 2 \cdot (0.55 \cdot m_n - x_A)$	$d_f = 29.8 \text{ mm}$
Pasul de divizare	$p_t := \pi \cdot m_n$	$p_t = 3.142 \text{ mm}$
Unghiul de presiune pe cercul curent	$\alpha(d_y) := \arccos\left(\frac{d_b}{d_y}\right)$ $\text{inv}(\alpha_y) := \tan(\alpha_y) - \alpha_y$	
Arcul pe cercul curent	$\text{as}(d_y) := d_y \left( \frac{\pi}{2 \cdot z} + 2 \cdot \frac{x_A}{z \cdot m_n} \cdot \tan(\alpha_0) + \text{inv}(\alpha_0) - \tan(\alpha(d_y)) + \alpha(d_y) \right)$	
Semiunghiul la centru al arcului curent	$\psi(d_y) := \frac{\text{as}(d_y)}{d_y}$	
	$\psi_{d_m} := \psi(d_m)$ $\psi_d := \psi(d)$ $\psi_{D_a} := \psi(D_a)$	
	$\psi_{d_m} = 2.958 \text{ deg}$ $\psi_d = 3.992 \text{ deg}$ $\psi_{D_a} = 3.992 \text{ deg}$	
Ordonata punctului curent de pe profilul canelurii	$y(d_y) := \frac{d_y}{2} \cdot \cos(\psi(d_y))$	
	$y_d := y(d)$ $y_{N_a} := y(D_a)$ $y_{P_a} := y(d_a)$	
	$y_d = 14.964 \text{ mm}$ $y_{N_a} = 14.964 \text{ mm}$ $y_{P_a} = 15.892 \text{ mm}$	
Abscisele punctelor caracteristice	$z_{N_a} := \frac{D_a}{2} \cdot \sin(\psi(D_a))$ $z_{P_a} := \frac{d_a}{2} \cdot \sin(\psi(d_a))$	
	$z_{N_a} = 1.044 \text{ mm}$ $z_{P_a} = 0.513 \text{ mm}$	
Latimea canelurii de pe arbore	$s_{1a}(d_y) := d_y \cdot \sin(\psi(d_y))$	
Coordonatele centrului cercului racordarii profilului arborelui	$y_{Ora} := y_{N_a} + \rho_{0f} \cdot \sin(\alpha(D_a) - \psi(D_a))$ $y_{Ora} = 15.034 \text{ mm}$ $z_{Ora} := z_{N_a} + \rho_{0f} \cdot \cos(\alpha(D_a) - \psi(D_a))$ $z_{Ora} = 1.188 \text{ mm}$ $d_{Ora} := 2 \cdot \sqrt{y_{Ora}^2 + z_{Ora}^2}$ $d_{Ora} = 30.161 \text{ mm}$	

Latimea canelurii de pe arbore in zona de racordare  $s_{2a}(y) := 2 \cdot \left[ z_{Ora} - \sqrt{\rho_{Of}^2 - (y_{Ora} - y)^2} \right]$

Ordonata incastrarii echivalente  $y_{amin} := y_{Ora} - \frac{\rho_{Of}}{2}$   $y_{amin} = 14.954 \text{ mm}$

$\delta_a := \frac{d_{Ora} - 2 \cdot \rho_{Of} - d_f}{\gamma}$   $\delta_a = 0.021 \text{ mm}$

Latimea canelurii din butuc  $s_{1b}(d_y) := d_y \cdot \sin\left(\frac{\pi}{z} - \psi(d_y)\right)$

$y_b(d_y) := \frac{d_y}{2} \cdot \cos\left(\frac{\pi}{z} - \psi(d_y)\right)$

Coordonatele punctelor caracteristice ale flancului

$y_{Pb} := \frac{d_a}{2} \cdot \cos\left(\frac{\pi}{z} - \psi(d_a)\right)$   $y_{Pb} = 15.858 \text{ mm}$   $z_{Pb} := \frac{d_a}{2} \cdot \sin\left(\frac{\pi}{z} - \psi(d_a)\right)$   $z_{Pb} = 1.151 \text{ mm}$

$y_{Nb} := \frac{D_a}{2} \cdot \cos\left(\frac{\pi}{z} - \psi(D_a)\right)$   $y_{Nb} = 14.991 \text{ mm}$   $z_{Nb} := \frac{D_a}{2} \cdot \sin\left(\frac{\pi}{z} - \psi(D_a)\right)$   $z_{Nb} = 0.525 \text{ mm}$

Coordonatele centrului cercului  
racordarii profilului butucului

$y_{Orb} := y_{Pb} - \rho_{Of} \cdot \sin\left(\frac{\pi}{z} - \psi(d_a) + \alpha(d_a)\right)$   $y_{Orb} = 15.757 \text{ mm}$

$z_{Orb} := z_{Pb} + \rho_{Of} \cdot \cos\left(\frac{\pi}{z} - \psi(d_a) + \alpha(d_a)\right)$   $z_{Orb} = 1.275 \text{ mm}$

$d_{Orb} := 2 \cdot \sqrt{y_{Orb}^2 + z_{Orb}^2}$

Ordonata incastrarii echivalente

$y_{bmax} := y_{Orb} + \frac{\rho_{Of}}{2}$   $y_{bmax} = 15.837 \text{ mm}$

Latimea canelurii de pe arbore in zona de racordare

$s_{2b}(y) := 2 \cdot \left[ z_{Orb} - \sqrt{\rho_{Of}^2 - (y_{Orb} - y)^2} \right]$

Rigiditatea canelurii de pe arbore

Funcțiile de eforturi pentru grinda reala

$k := 500$   $\delta_d := \frac{d_a - D_a}{2 \cdot k}$   $\delta_d = 1.8 \times 10^{-3} \text{ mm}$   $k_1 := 100$   $\delta_y := \frac{y_{Na} - y_{amin}}{k_1}$   $\delta_y = 9.842 \times 10^{-5} \text{ mm}$

$j := 1..k$   $j_{dm} := \text{ceil}\left(\frac{d_a - d_m}{2 \cdot \delta_d}\right)$   $j_{dm} = 250$   $j_1 := 1..k_1$

$d(j) := d_a - 2 \cdot j \cdot \delta_d$   $\psi_a(j) := \psi(d(j))$   $\alpha_a(j) := \alpha(d(j))$

$y_a(j) := y(d(j))$   $s_{1aa}(j) := s_{1a}(d(j))$   $y_{a1}(j_1) := y_{Na} - j_1 \cdot \delta_y$   $s_{2aa}(j_1) := s_{2a}(y_{a1}(j_1))$

$M_{ia1}(j) := \sum_{i=1}^j (y_a(i) - y_a(j)) \cdot \delta_d \cdot \frac{\cos(\alpha_a(i) - \psi_a(i))}{\cos(\alpha_a(i))} - \sum_{i=1}^j \frac{s_{1aa}(i)}{2} \cdot \delta_d \cdot \frac{\sin(\alpha_a(i) - \psi_a(i))}{\cos(\alpha_a(i))}$

$M_{ia2}(j_1) := \sum_{i=1}^k (y_a(i) - y_{a1}(j_1)) \cdot \delta_d \cdot \frac{\cos(\alpha_a(i) - \psi_a(i))}{\cos(\alpha_a(i))} - \sum_{i=1}^k \frac{s_{1aa}(i)}{2} \cdot \delta_d \cdot \frac{\sin(\alpha_a(i) - \psi_a(i))}{\cos(\alpha_a(i))}$

$F_{na1}(j) := 0 - \sum_{i=1}^j \delta_d \cdot \frac{\sin(\alpha_a(i) - \psi_a(i))}{\cos(\alpha_a(i))}$   $F_{na2}(j_1) := 0 - \sum_{i=1}^k \delta_d \cdot \frac{\sin(\alpha_a(i) - \psi_a(i))}{\cos(\alpha_a(i))}$

$F_{ta1}(j) := \sum_{i=1}^j \delta_d \cdot \frac{\cos(\alpha_a(i) - \psi_a(i))}{\cos(\alpha_a(i))}$   $F_{ta2}(j_1) := \sum_{i=1}^k \delta_d \cdot \frac{\cos(\alpha_a(i) - \psi_a(i))}{\cos(\alpha_a(i))}$

-pentru grinda conjugata

$m_{ia1}(j) := (y_d - y_a(j)) \cdot \cos(\psi_d) + \frac{s_{1aa}(j_{dm})}{2} \cdot \sin(\psi_d)$   $m_{ia2}(j_1) := (y_d - y_{a1}(j_1)) \cdot \cos(\psi_d) + \frac{s_{1aa}(j_{dm})}{2} \cdot \sin(\psi_d)$



$$f_{na}(j) := -\sin(\psi_d) \quad f_{ta}(j) := \cos(\psi_d)$$

**Elasticitatea la incovoiere**

$$e_{ai} := \sum_{j=j_{dm}}^k \frac{12 \cdot M_{ia1}(j) \cdot m_{ia1}(j) \cdot \delta_d}{s_{1aa}(j)^3} + \sum_{j_1=1}^{k_1} \frac{12 \cdot M_{ia2}(j_1) \cdot m_{ia2}(j_1) \cdot \delta_y}{s_{2aa}(j_1)^3} \quad e_{ai} = 0.013 \text{ mm}$$

**Elasticitatea la deformatii de compresiune**

$$e_{an} := \sum_{j=j_{dm}}^k \frac{F_{na1}(j) \cdot f_{na}(j) \cdot \delta_d}{s_{1aa}(j)} + \sum_{j_1=1}^{k_1} \frac{F_{na2}(j_1) \cdot f_{na}(j_1) \cdot \delta_y}{s_{2aa}(j_1)} \quad e_{an} = 0.007 \text{ mm}$$

$\nu := 0.3$

**Elasticitatea la deformatii tangentiale**

$$e_{at} := 2 \cdot (1 + \nu) \cdot \left( \sum_{j=j_{dm}}^k \frac{F_{ta1}(j) \cdot f_{ta}(j) \cdot \delta_d}{s_{1aa}(j)} + \sum_{j_1=1}^{k_1} \frac{F_{ta2}(j_1) \cdot f_{ta}(j_1) \cdot \delta_y}{s_{2aa}(j_1)} \right) \quad e_{at} = 0.448 \text{ mm}$$

**Elasticitatea canelurii de pe arbore**  $e_a := e_{ai} + e_{an} + e_{at}$   $e_a = 0.468 \text{ mm}$

**Rigiditatea canelurii din butuc**

$$y_{but}(j) := y_b(d(j)) \quad s_{1but}(j) := s_{1b}(d(j)) \quad \delta_y := \frac{y_{bmax} - y_{pb}}{k_1} \quad \delta_y = -2.148 \times 10^{-4} \text{ mm}$$

$$y_{but1}(j_1) := y_{pb} + j_1 \cdot \delta_y \quad s_{2but}(j_1) := s_{2b}(y_{but1}(j_1))$$

$$M_{ib1}(j) := \sum_{i=1}^j (y_{but}(i) - y_{but}(j)) \cdot \delta_d \cdot \frac{\cos(\alpha_a(i) + \psi_a(i))}{\cos(\alpha_a(i))} - \sum_{i=1}^j \frac{s_{1but}(i)}{2} \cdot \delta_d \cdot \frac{\sin(\alpha_a(i) + \psi_a(i))}{\cos(\alpha_a(i))}$$

$$M_{ib2}(j_1) := \sum_{i=1}^k (y_{but}(i) - y_{but}(j_1)) \cdot \delta_d \cdot \frac{\cos(\alpha_a(i) + \psi_a(i))}{\cos(\alpha_a(i))} - \sum_{i=1}^k \frac{s_{1but}(i)}{2} \cdot \delta_d \cdot \frac{\sin(\alpha_a(i) + \psi_a(i))}{\cos(\alpha_a(i))}$$

$$F_{nb1}(j) := -\sum_{i=1}^j \delta_d \cdot \frac{\sin(\alpha_a(i) + \psi_a(i))}{\cos(\alpha_a(i))} \quad F_{nb2}(j_1) := -\sum_{i=1}^k \delta_d \cdot \frac{\sin(\alpha_a(i) + \psi_a(i))}{\cos(\alpha_a(i))}$$

$$F_{tb1}(j) := \sum_{i=1}^j \delta_d \cdot \frac{\cos(\alpha_a(i) + \psi_a(i))}{\cos(\alpha_a(i))} \quad F_{tb2}(j_1) := \sum_{i=1}^k \delta_d \cdot \frac{\cos(\alpha_a(i) + \psi_a(i))}{\cos(\alpha_a(i))}$$

**pentru grinda conjugata**  $m_{ib1}(j) := (y_{but}(j) - y_b(d_{dm})) \cdot \cos(\psi_{dm}) - \frac{s_{1but}(j_{dm})}{2} \cdot \sin(\psi_{dm})$

$$m_{ib2}(j_1) := (y_{but1}(j_1) - y_b(d_{dm})) \cdot \cos(\psi_{dm}) + \frac{s_{1but}(j_{dm})}{2} \cdot \sin(\psi_{dm})$$

$$f_{nb}(j) := 0 - \sin(\psi_{dm}) \quad f_{tb}(j) := \cos(\psi_{dm})$$

**Elasticitatea la incovoiere**

$$e_{bi} := \sum_{j=j_{dm}}^k \frac{12 \cdot M_{ib1}(j) \cdot m_{ib1}(j) \cdot \delta_d}{s_{1but}(j)^3} + \sum_{j_1=1}^{k_1} \frac{12 \cdot M_{ib2}(j_1) \cdot m_{ib2}(j_1) \cdot \delta_y}{s_{2but}(j_1)^3} \quad e_{bi} = 0.151 \text{ mm}$$

**Elasticitatea la compresiune**

$$e_{bn} := \sum_{j=j_{dm}}^k \frac{F_{nb1}(j) \cdot f_{nb}(j) \cdot \delta_d}{s_{1but}(j)} + \sum_{j_1=1}^{k_1} \frac{F_{nb2}(j_1) \cdot f_{nb}(j_1) \cdot \delta_y}{s_{2but}(j_1)} \quad e_{bn} = 0.008 \text{ mm}$$

**Elasticitatea la deformatii tangentiale**

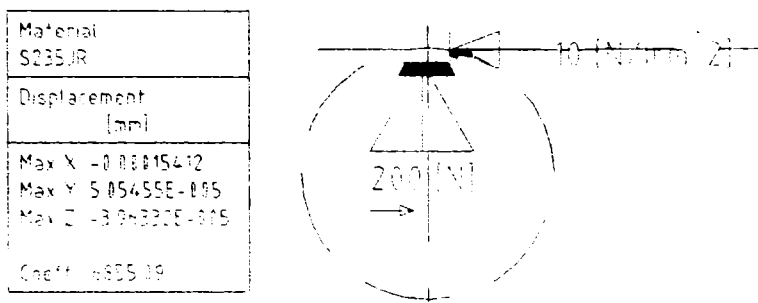
$$e_{bt} := 2 \cdot (1 + \nu) \cdot \left( \sum_{j=j_{dm}}^k \frac{F_{tb1}(j) \cdot f_{tb}(j) \cdot \delta_d}{s_{1but}(j)} + \sum_{j_1=1}^{k_1} \frac{F_{tb2}(j_1) \cdot f_{tb}(j_1) \cdot \delta_y}{s_{2but}(j_1)} \right) \quad e_{bt} = 0.575 \text{ mm}$$

**Elasticitatea canelurii din butuc**  $e_b := e_{bi} + e_{bn} + e_{bt}$   $e_b = 0.734 \text{ mm}$

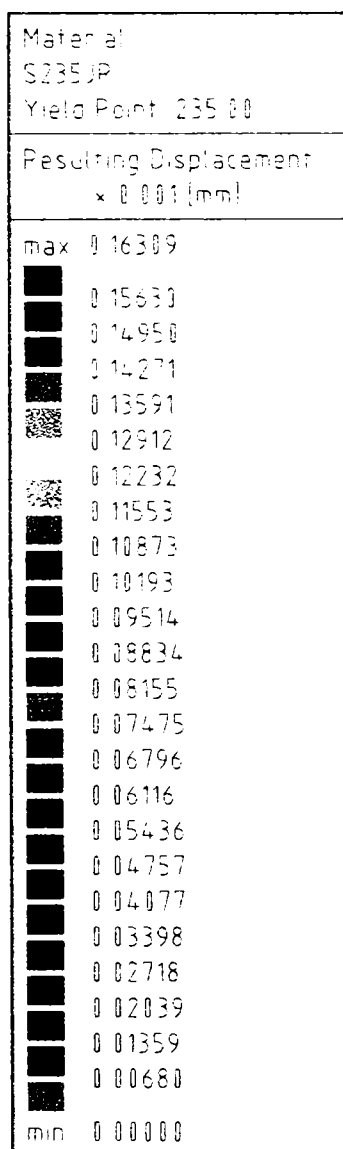
**Elasticitatea totala**  $e_{tot} := e_a + e_b$   $e_{tot} = 1.202 \text{ mm}$

**DEFORMAȚIA CANELURII DIN ARBORE**

**SERIA UȘOARĂ**



**Fig. 1**



**Fig. 2.**

**A.13.1**

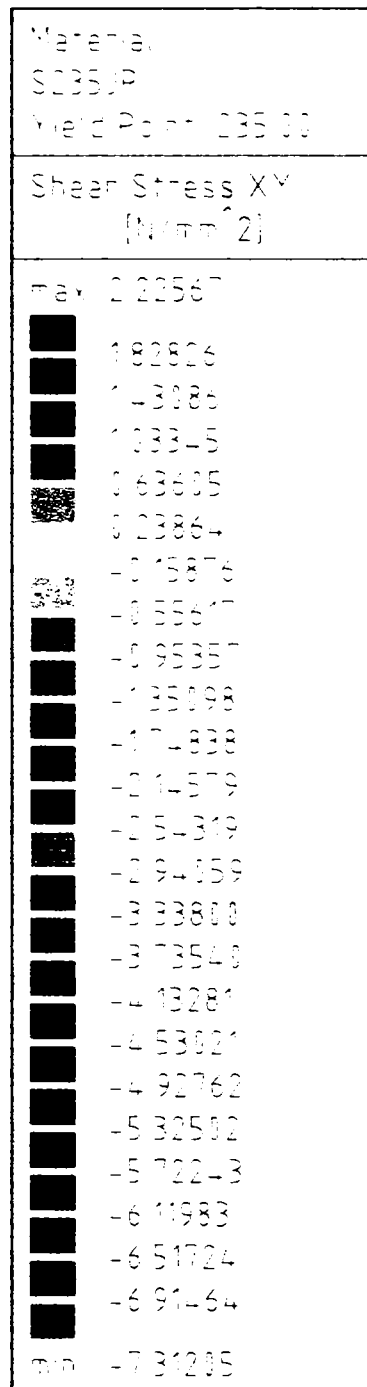
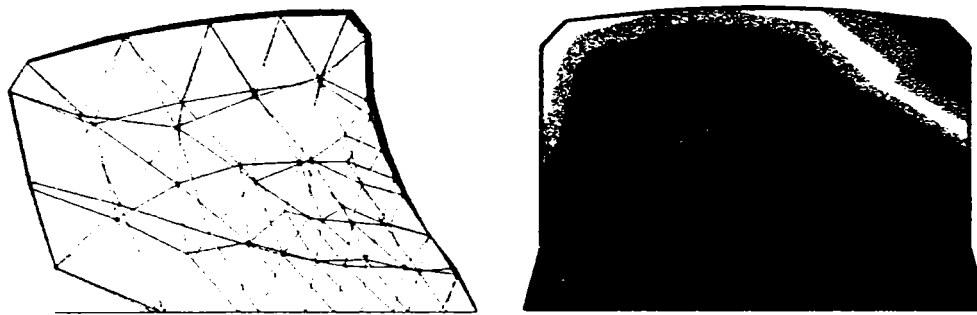


Fig. 3.

A.13.2

SERIA MIJLOCIE

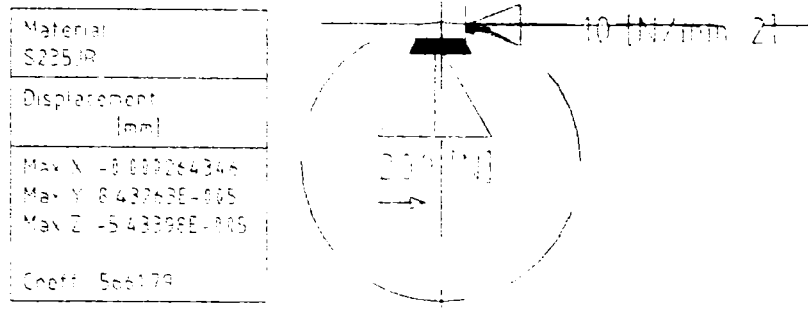


Fig. 1

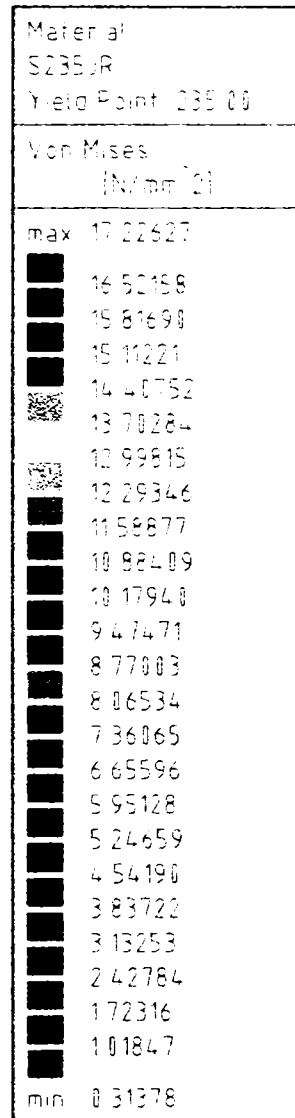


Fig. 2

A.13.3

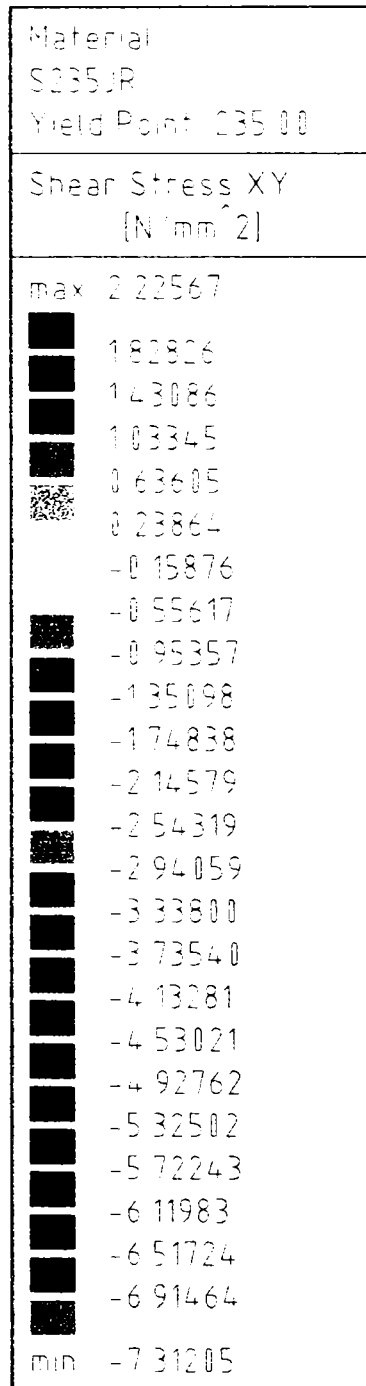
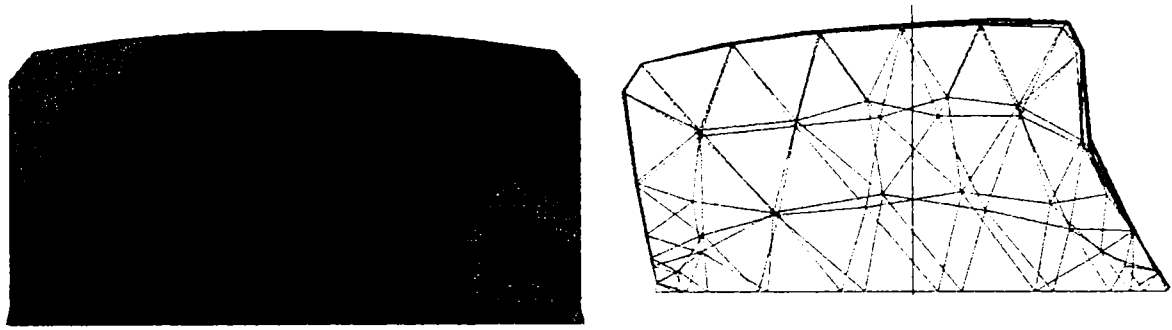
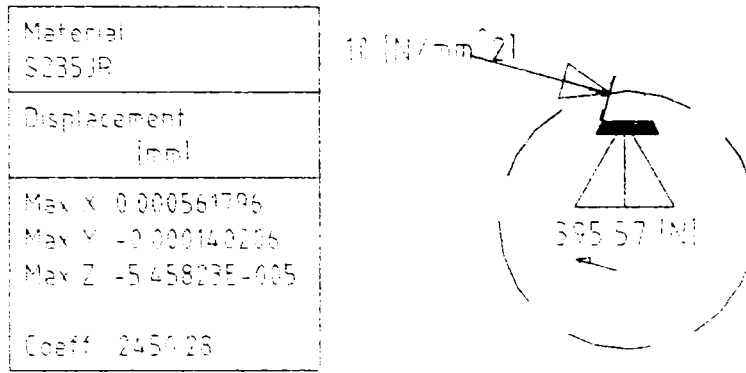


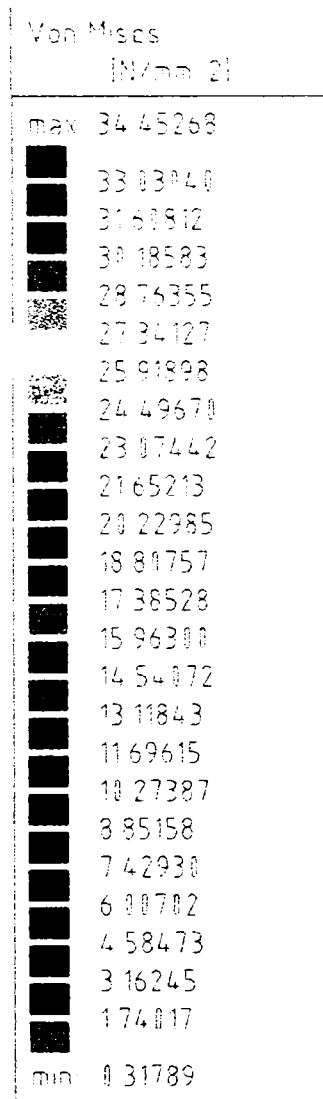
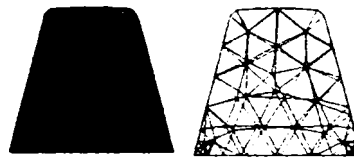
Fig. 3.

A.13.4

**SERIA GREA ÎNCLINAT**



**Fig. 1**



**Fig. 2**

**A.13.5**

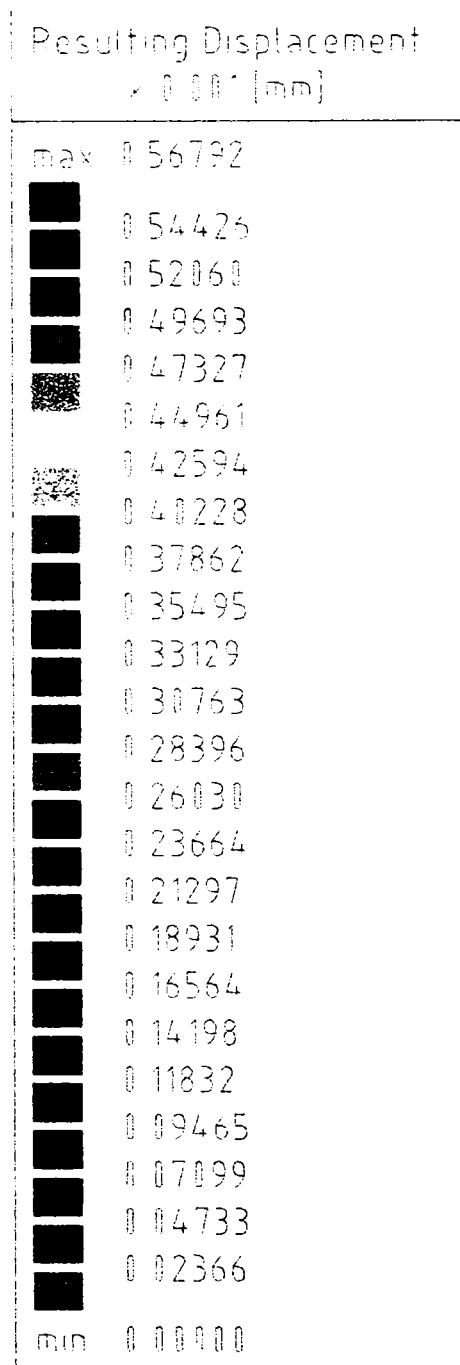
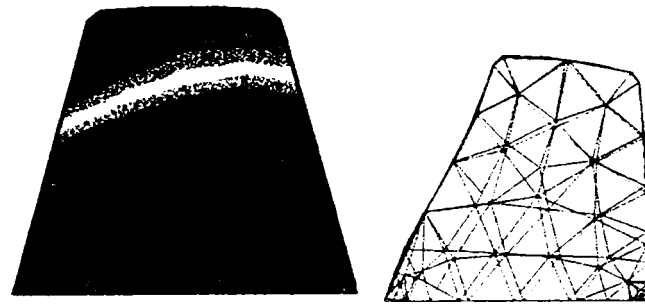
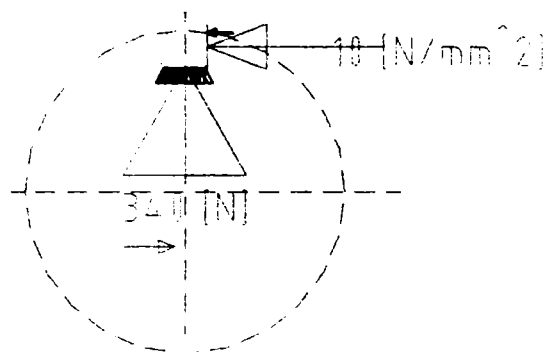


Fig.3

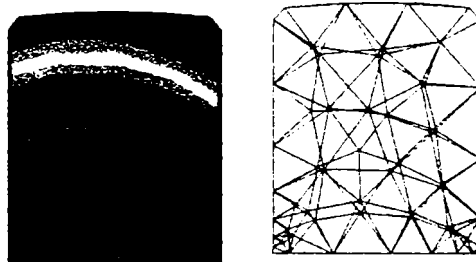
A.13.6

**SERIA GREA**

Material	S235JR
Displacement (mm)	
Max X	-0.0009960387
Max Y	0.000351735
Max Z	-6.45359E-005
Coeff	1299.08



**Fig.1**



Material	S235JR
Yield Point	235.00
Von Mises (N/mm <sup>2</sup> )	
max	63.04313
█	60.43657
█	57.83002
█	55.22346
█	52.61691
█	50.01035
█	47.40379
█	44.79724
█	42.19068
█	39.58413
█	36.97757
█	34.37102
█	31.76446
█	29.15791
█	26.55135
█	23.94480
█	21.33824
█	18.73169
█	16.12513
█	13.51857
█	10.91202
█	8.30546
█	5.69891
█	3.09235
min	0.48560

**Fig. 2**

**A.13.7**



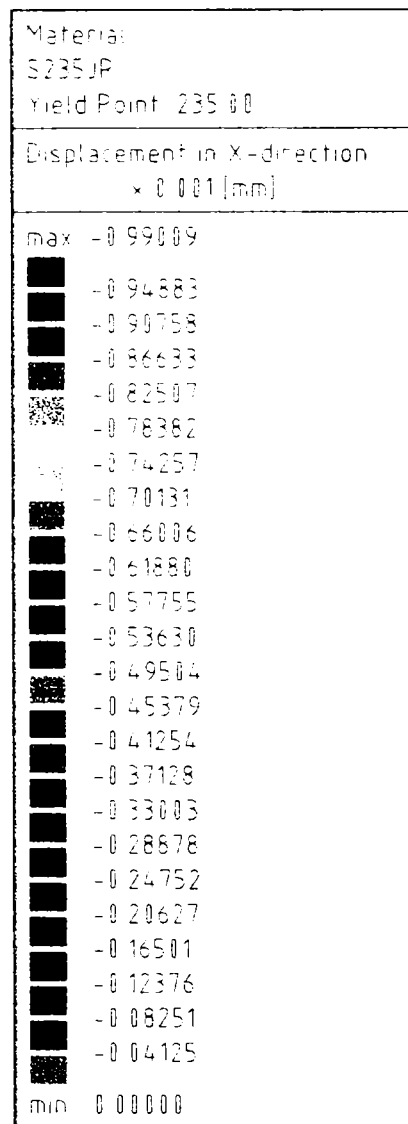
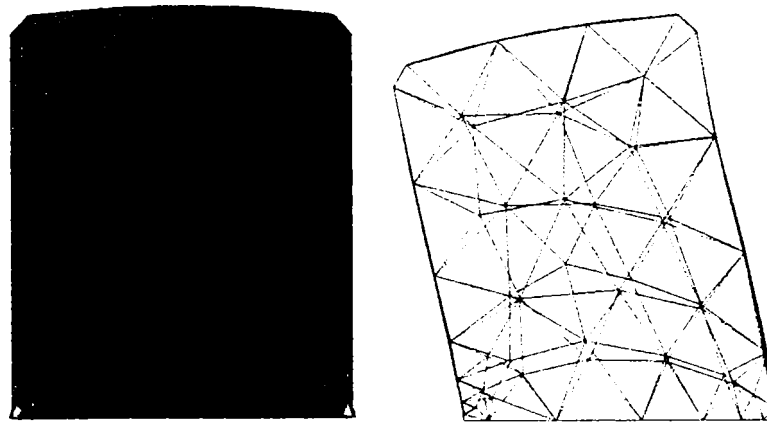


Fig. 3

A.13.8

**SERIA SUPERGREA**

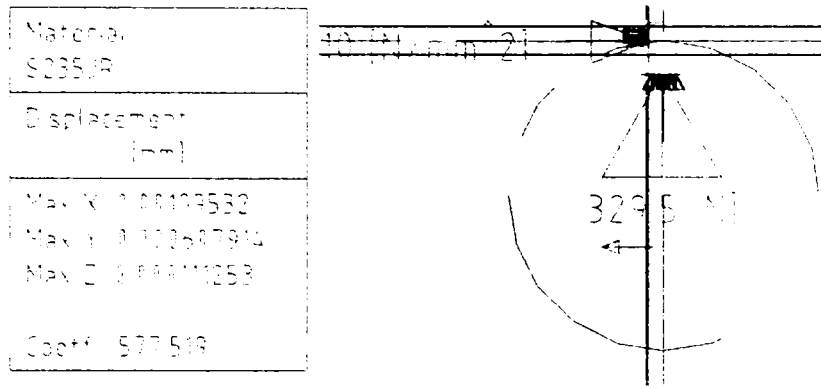


Fig 1

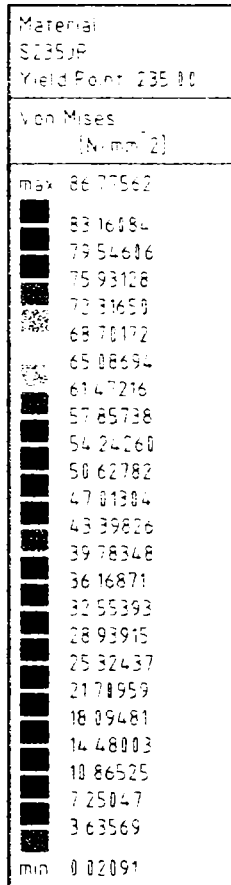
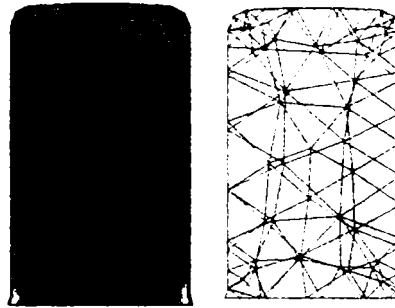


Fig.2

**A.13.9**

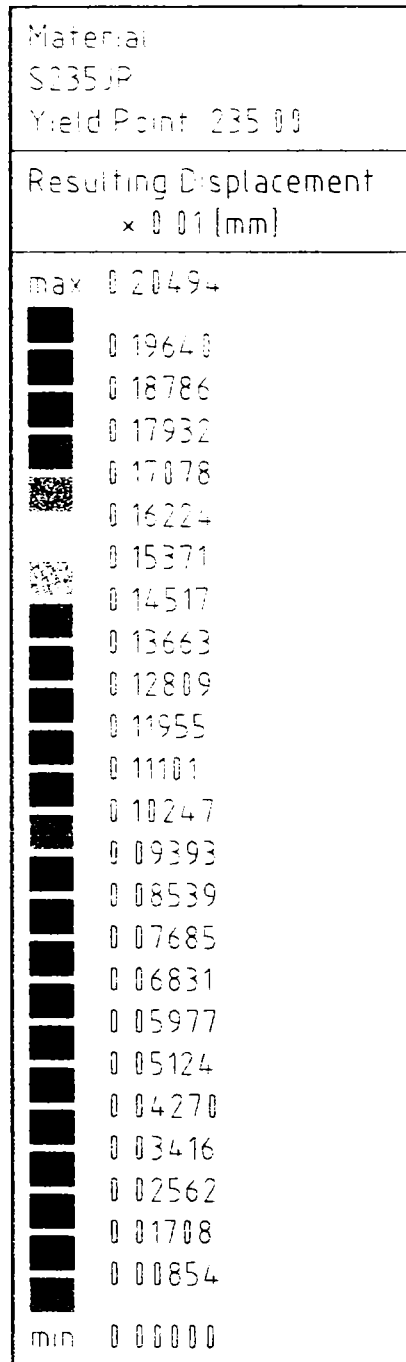
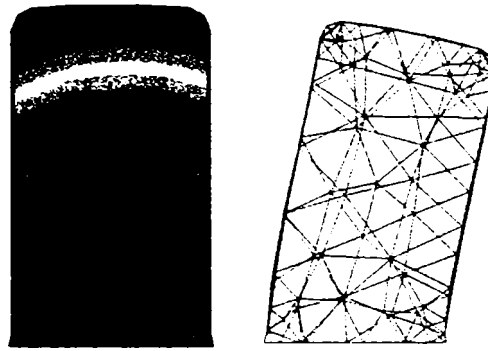
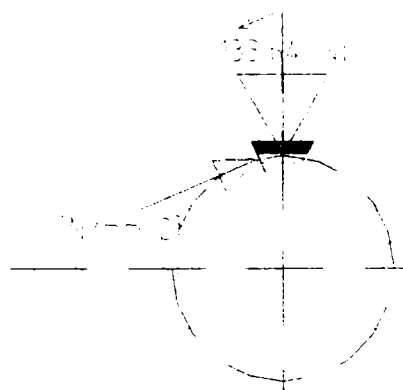


Fig.3

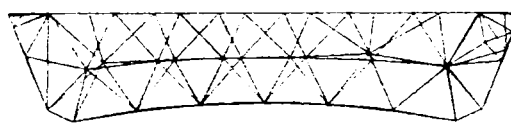
A.13.10

**DEFORMAȚIA CANELURII DIN BUTUC  
SERIA UȘOARĂ**

Material	S235JP
Displacement	[mm]
Max X	6.49231E-015
Max Y	1.07926E-015
Max Z	2.46789E-015
Coefr	13465.4



**Fig.1**



Material	S235JP
Yield Point	235.00
Von Mises	[N/mm <sup>2</sup> ]
max	13.19513
	12.64583
	12.09652
	11.54722
	10.99792
	10.44861
	9.89931
	9.35001
	8.80070
	8.25140
	7.70210
	7.15279
	6.60349
	6.05419
	5.50489
	4.95558
	4.40628
	3.85698
	3.30767
	2.75837
	2.20907
	1.65976
	1.11046
	0.56116
min	0.01185

**Fig. 2**

**A.13.11**

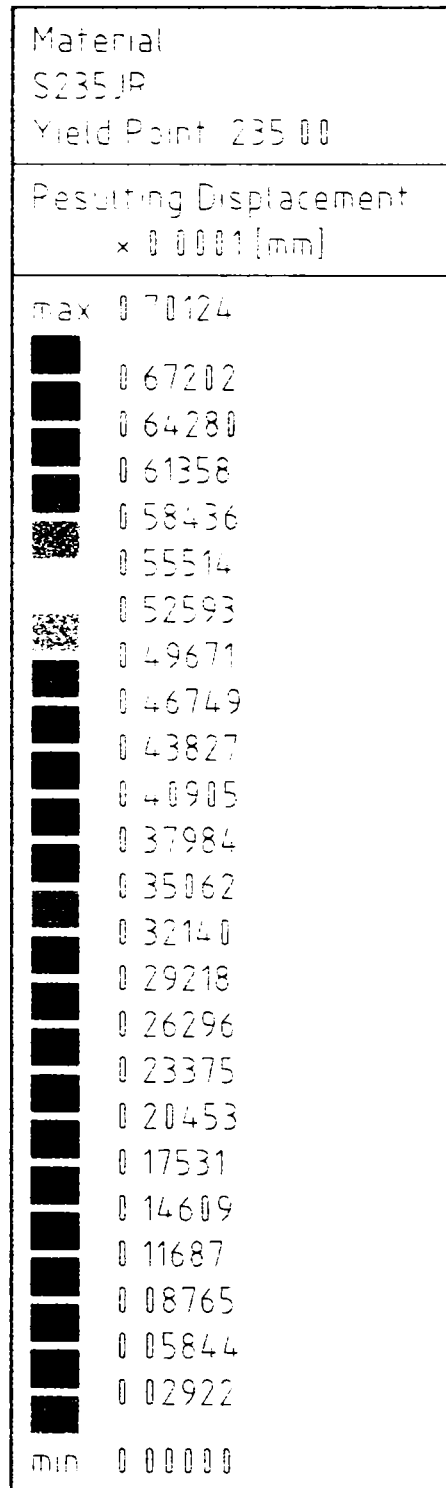


Fig.3

A.13.12

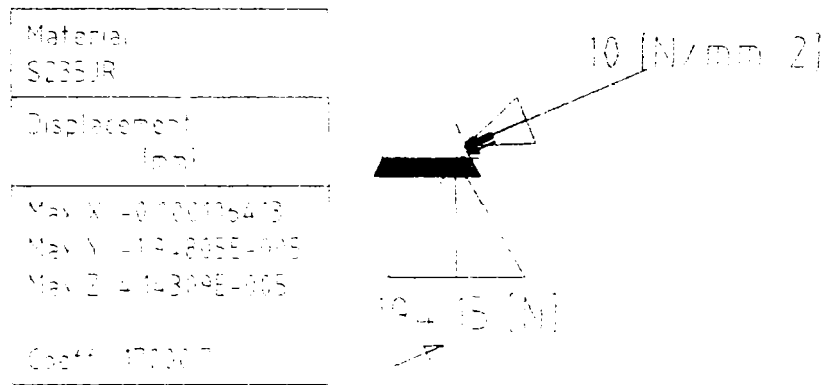


Fig.1

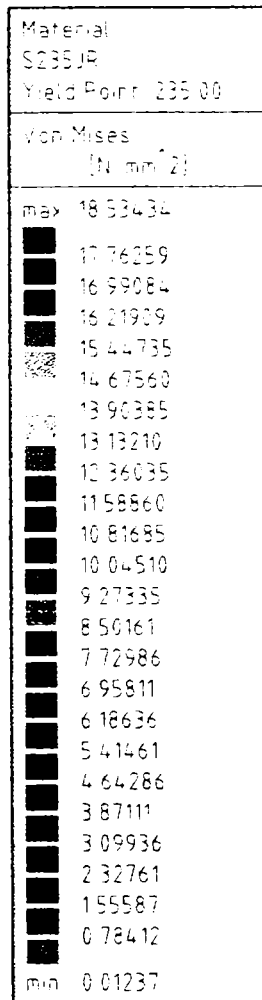
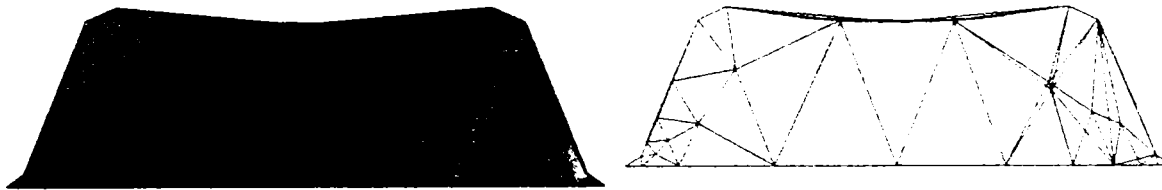


Fig. 2

A.13.13

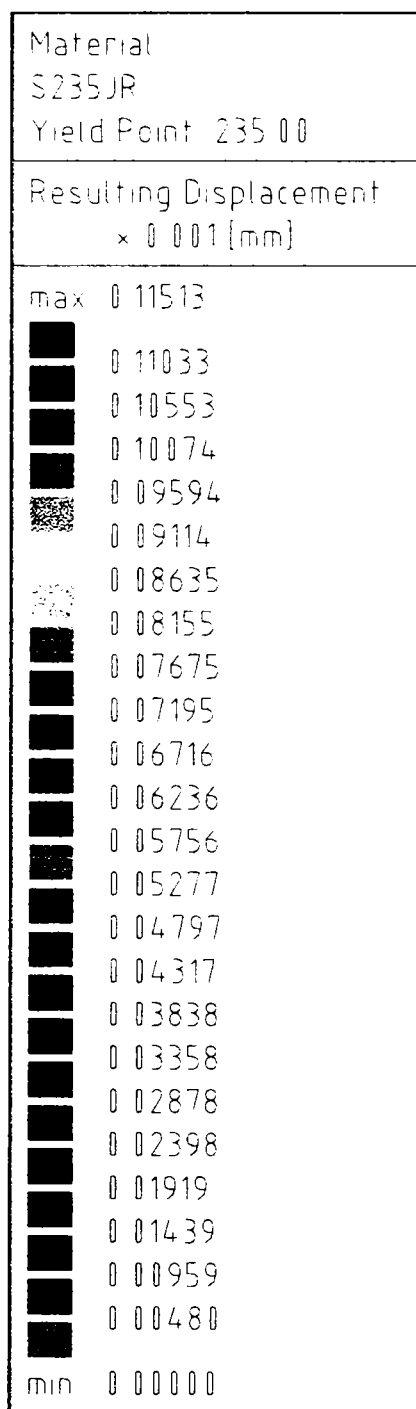
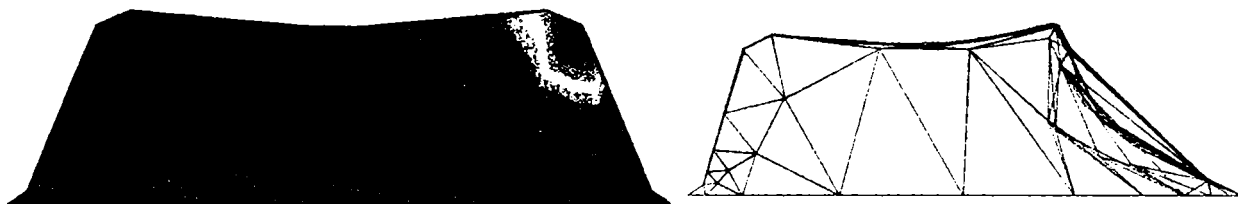


Fig.3

A.13.14

SERIA GREA ÎNCLINAT

Material	S235JR
Displacement	[mm]
Max X	0.000155061
Max Y	-0.025295-005
Max Z	5.547745-005
Coefit	7000.12

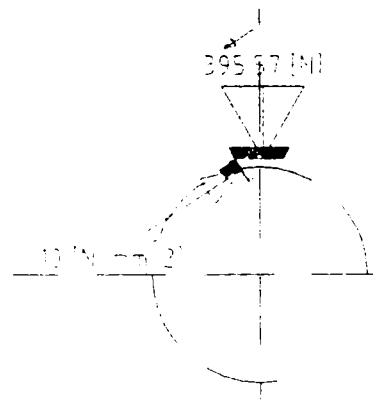


Fig.1

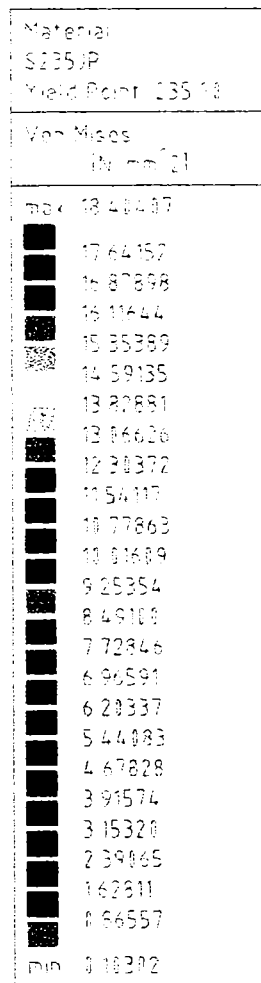


Fig. 2

A.13.15



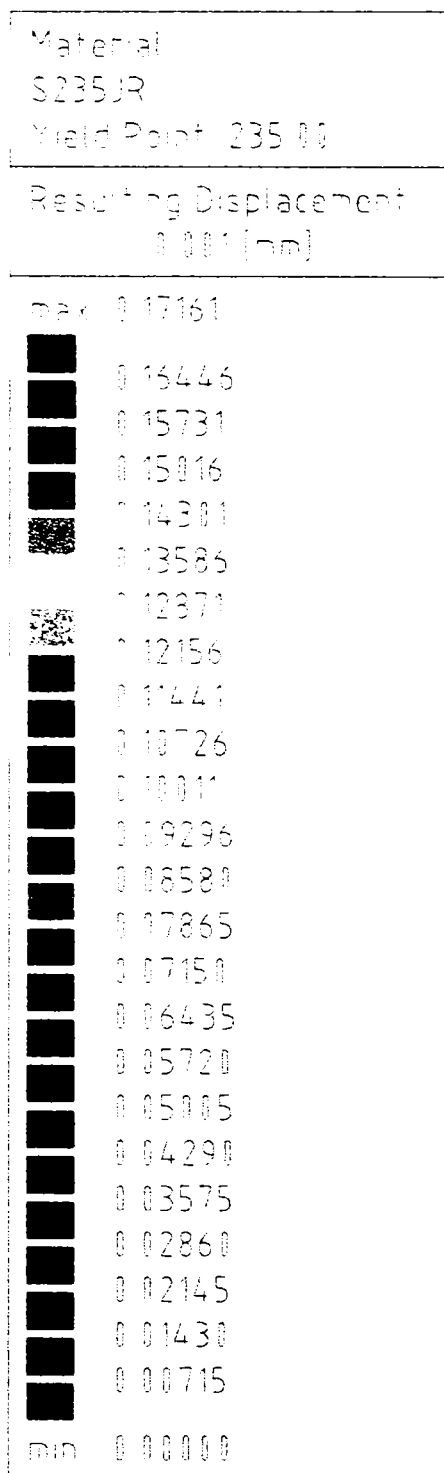
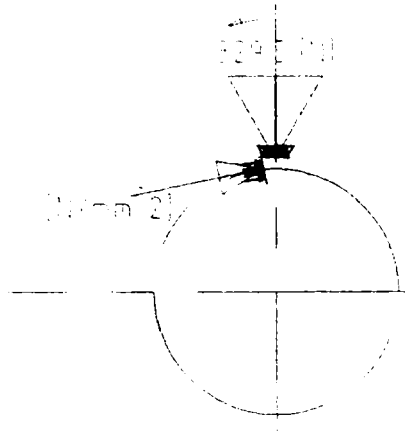


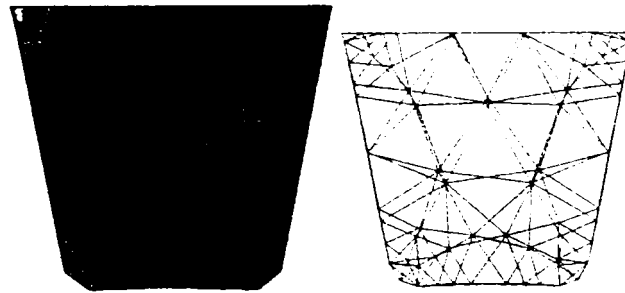
Fig.3

A.13.16

**Anexa 13 – Deformația canelurii**  
**SERIA SUPERGREA**



**Fig.1**



Material:	
S235JR	
Yield Point: 235.00	
Von Mises	
(N/mm <sup>2</sup> )	
max	31.70854
■	30.40504
■	29.10153
■	27.79803
■	26.49453
■	25.19102
■	23.88752
■	22.58401
■	21.28051
■	19.97701
■	18.67350
■	17.37000
■	16.06650
■	14.76299
■	13.45949
■	12.15598
■	10.85248
■	9.54898
■	8.24547
■	6.94197
■	5.63846
■	4.33496
■	3.03146
■	1.72795
min	0.42445

**Fig. 2**

**A.13.17**

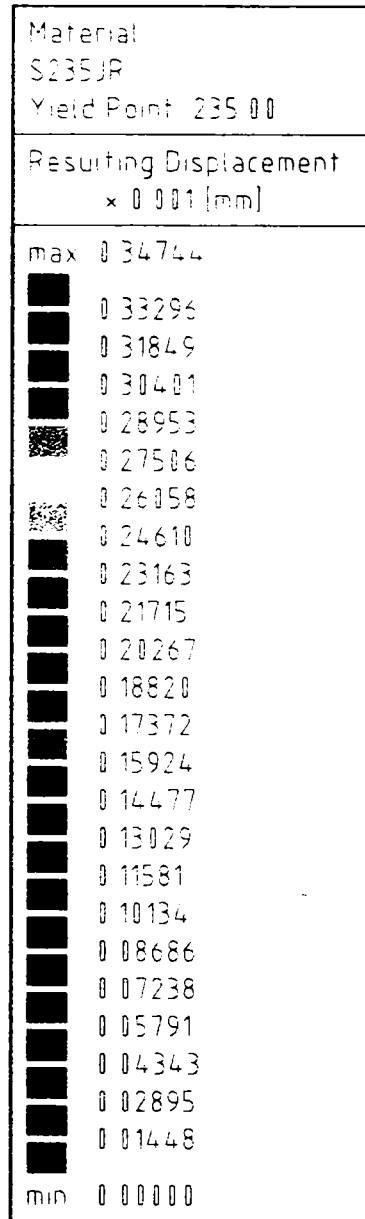
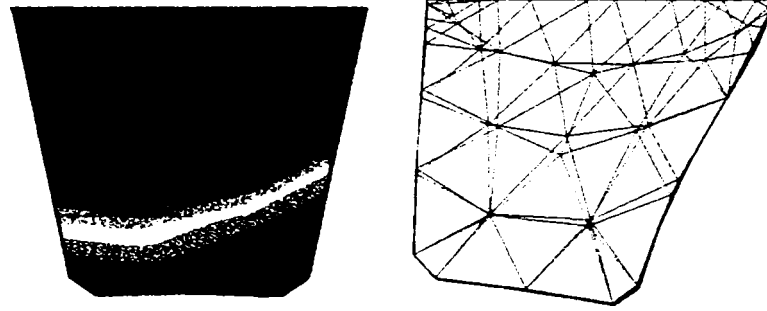


Fig. 3

A.13.18

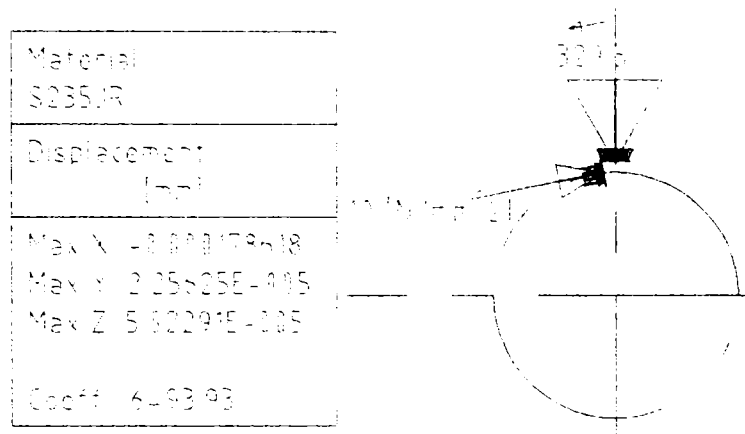


Fig.1

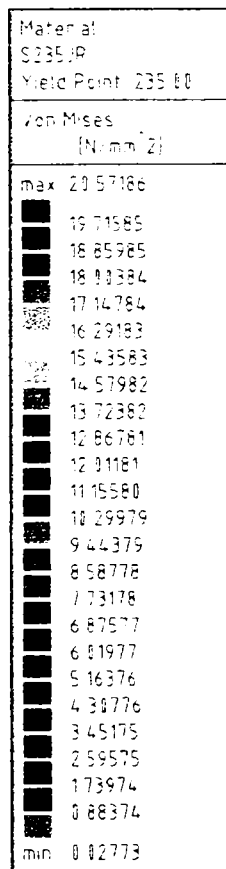
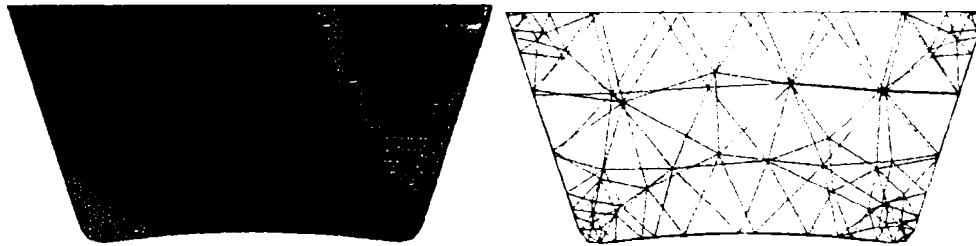


Fig. 2

A.13.19

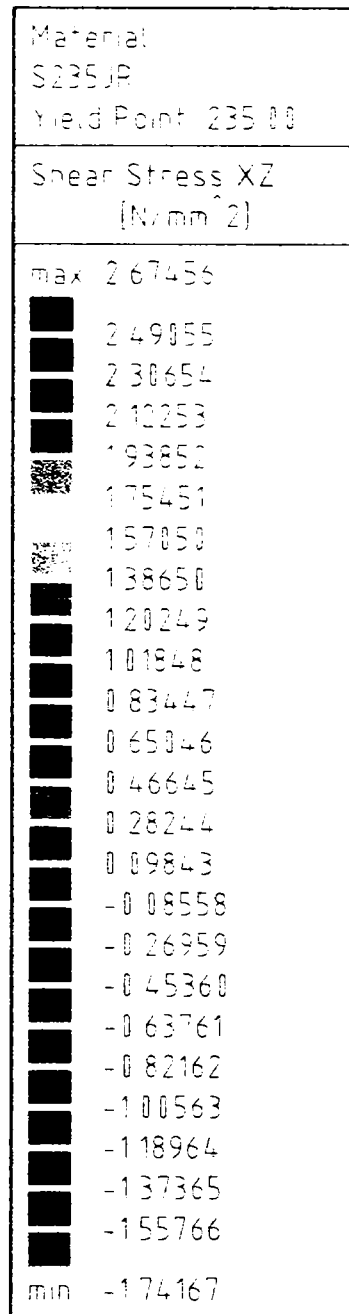
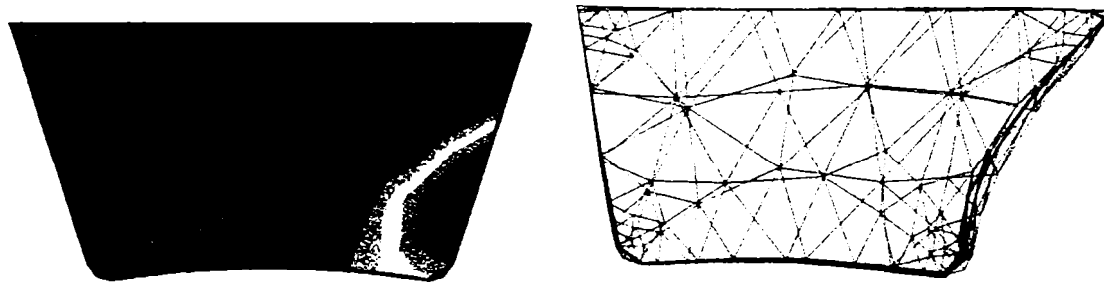


Fig. 3

A.13.20

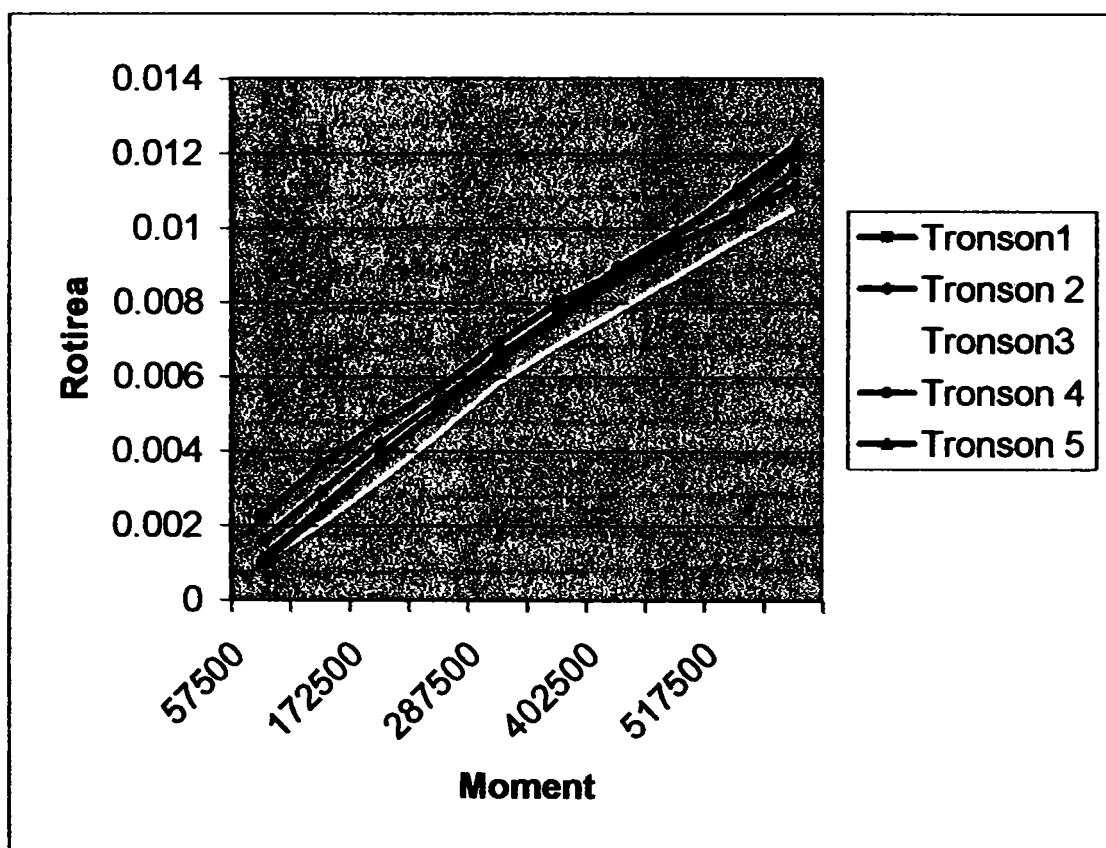
TRONSON 1						
Indicatia	Momentul	Deformatii			Media	Rotirea
		1	2	3		
5	57500	23	24	22	23	0.0023
10	115000	36	37	36.5	36.5	0.00365
15	172500	47	51	46.5	48.1666667	0.00481667
20	230000	57	59.5	56.5	57.6666667	0.00576667
25	287500	71	69.5	68	69.5	0.00695
30	345000	81	81	79	80.3333333	0.00803333
35	402500	90.5	88.5	86.5	88.5	0.00885
40	460000	98	97	93.5	96.1666667	0.00961667
45	517500	107	105.5	98	103.5	0.01035
50	575000	119	113	115.5	115.833333	0.01158333

TRONSON 2						
Indicatia	Momentul	Deformatii			Media	Rotirea
		1	2	3		
5	57500	15.5	17	16	16.1666667	0.00161667
10	115000	28.5	30	30	29.5	0.00295
15	172500	41	43.5	42.5	42.3333333	0.00423333
20	230000	53	55	54.5	54.1666667	0.00541667
25	287500	65.5	65	66	65.5	0.00655
30	345000	75.5	75	76.5	75.6666667	0.00756667
35	402500	87.5	85	86.5	86.3333333	0.00863333
40	460000	96	95.9	96	95.9666667	0.00959667
45	517500	105	104	103.5	104.166667	0.01041667
50	575000	112.5	111.5	110.5	111.5	0.01115

TRONSON 3						
Indicatia	Momentul	Deformatii			Media	Rotirea
		1	2	3		
5	57500	12.5	8	8	9.5	0.00095
10	115000	23.5	18	18	19.8333333	0.00198333
15	172500	34.5	30	30	31.5	0.00315
20	230000	45	44.5	43	44.1666667	0.00441667
25	287500	58	60	56	58	0.0058
30	345000	67.5	69.5	67.5	68.1666667	0.00681667
35	402500	76	78.5	77	77.1666667	0.00771667
40	460000	84.5	88.5	86.5	86.5	0.00865
45	517500	95	99	94.5	96.1666667	0.00961667
50	575000	103.5	105	106.5	105	0.0105

TRONSON 4						
Indicatia	Momentul	Deformatii			Media	Rotirea
		1	2	3		
5	57500	11	9	10	10	0.001
10	115000	27.5	19.5	23	23.3333333	0.00233333
15	172500	40	37	40	39	0.0039
20	230000	54.5	50.5	50.5	51.8333333	0.00518333
25	287500	69	66.5	64	66.5	0.00665
30	345000	79	76.5	76.5	77.3333333	0.00773333
35	402500	88.5	90	90.5	89.6666667	0.00896667
40	460000	99	99.5	99.5	99.3333333	0.00993333
45	517500	108.5	109	111.5	109.666667	0.01096667
50	575000	120	120	120.5	120.166667	0.01201667

TRONSON 5						
Indicatia	Momentul	Deformatii			Media	Rotirea
		1	2	3		
5	57500	12.5	12	9.5	11.3333333	0.00113333
10	115000	26	26	22.5	24.8333333	0.00248333
15	172500	40	41	36	39	0.0039
20	230000	51	53.5	50	51.5	0.00515
25	287500	63.5	66.5	62.5	64.1666667	0.00641667
30	345000	78.5	78.5	73.5	76.8333333	0.00768333
35	402500	91.5	88	84	87.8333333	0.00878333
40	460000	102.5	98	94	98.1666667	0.00981667
45	517500	114	110.5	107.5	110.666667	0.01106667
50	575000	125	123	120	122.666667	0.01226667



TRONSON 1						
Indicatia	Momentul	Deformatii			Media	Rotirea
		1	2	3		
5	57500	4.5	6	5	5.166666667	0.000516667
10	115000	12	10.5	9.5	10.66666667	0.001066667
15	172500	15.5	17	14.5	15.66666667	0.001566667
20	230000	21.5	19.5	20	20.33333333	0.002033333
25	287500	27	24	23.5	24.83333333	0.002483333
30	345000	29.5	31	31.5	30.66666667	0.003066667
35	402500	36.5	24.5	34	31.66666667	0.003166667
40	460000	40	37	36.5	37.83333333	0.003783333
45	517500	41.5	45	44	43.5	0.00435
50	575000	44.5	47	45.5	45.66666667	0.004566667
55	632500	48.5	51	47.5	49	0.0049
60	690000	52.5	52.5	50	51.66666667	0.005166667
65	747500	59.5	54	53.5	55.66666667	0.005566667

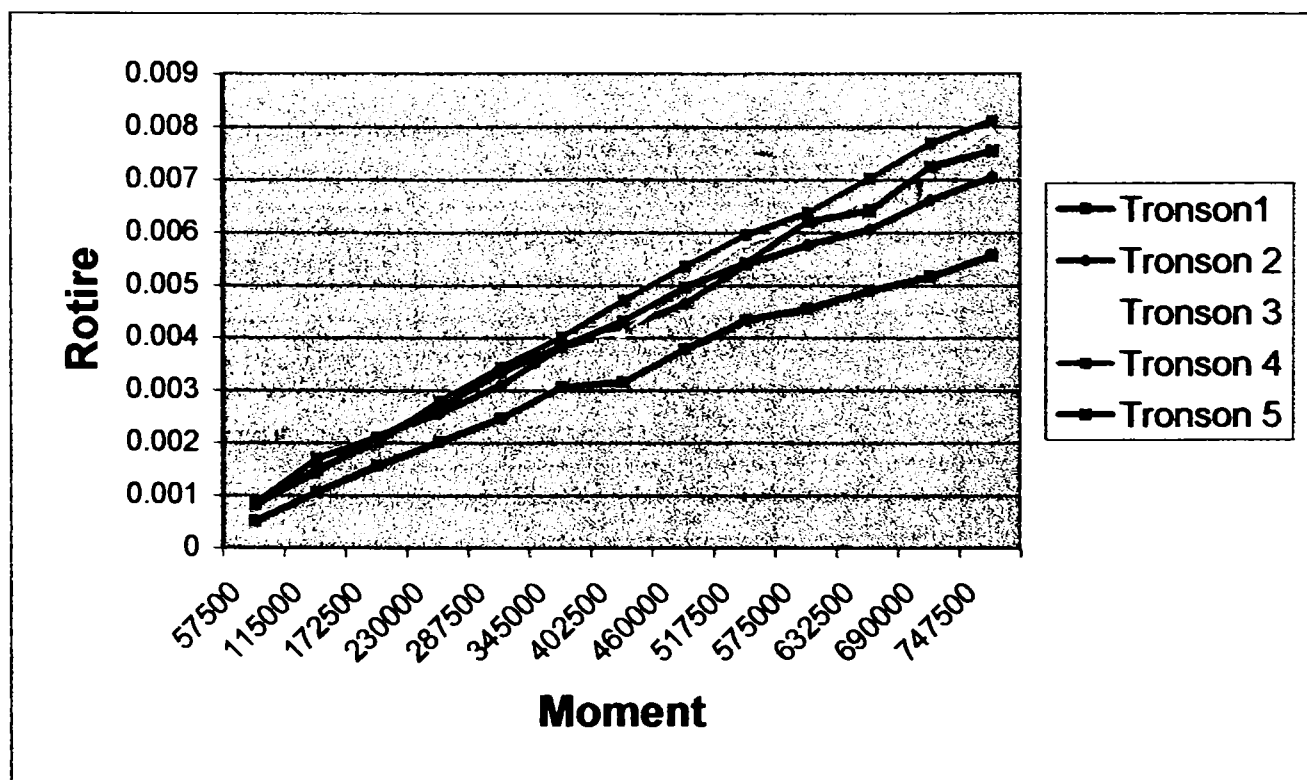
TRONSON 2						
Indicatia	Momentul	Deformatii			Media	Rotirea
		1	2	3		
5	57500	9.5	7.5	8	8.333333333	0.000833333
10	115000	16	12.5	14.5	14.33333333	0.001433333
15	172500	25	18	21	21.33333333	0.002133333
20	230000	29.5	22	25.5	25.66666667	0.002566667
25	287500	35	28	30.5	31.16666667	0.003116667
30	345000	41	36	38	38.33333333	0.003833333
35	402500	46.5	38.5	41	42	0.0042
40	460000	51	43.5	45	46.5	0.00465
45	517500	58.5	51	52.5	54	0.0054
50	575000	65	55.5	52.5	57.66666667	0.005766667
55	632500	66.5	57.45	58	60.65	0.006065
60	690000	69	63.5	66	66.16666667	0.006616667
65	747500	71.5	70.5	69.5	70.5	0.00705

TRONSON 3						
Indicatia	Momentul	Deformatii			Media	Rotirea
		1	2	3		
5	57500	8.5	8.5	9	8.666666667	0.000866667
10	115000	16	16	16	16	0.0016
15	172500	22	22	22	22	0.0022
20	230000	27	27	25	26.33333333	0.002633333
25	287500	35.5	32.5	34	34	0.0034
30	345000	40	39.5	38.5	39.33333333	0.003933333
35	402500	45	39.5	38.5	41	0.0041
40	460000	53.5	49	47.5	50	0.005
45	517500	60.5	58	55.5	58	0.0058
50	575000	61.5	60	62	61.16666667	0.006116667
55	632500	66.5	69	64	66.5	0.00665
60	690000	76.5	68.5	68.5	71.16666667	0.007116667
65	747500	79	82	77.5	79.5	0.00795



TRONSON 4						
Indicatia	Momentul	Deformatii			Media	Rotirea
		1	2	3		
5	57500	10	9.5	5.5	8.333333333	0.000833333
10	115000	17	16.5	12	15.16666667	0.001516667
15	172500	22	22	17	20.33333333	0.002033333
20	230000	31.5	28	25	28.16666667	0.002816667
25	287500	38	35	30.5	34.5	0.00345
30	345000	44	41.5	35.5	40.33333333	0.004033333
35	402500	50.5	48.5	42.5	47.16666667	0.004716667
40	460000	58.5	52	50.5	53.66666667	0.005366667
45	517500	63.5	60	55.5	59.66666667	0.005966667
50	575000	66.5	66.5	58.5	63.83333333	0.006383333
55	632500	75.5	71.5	64	70.33333333	0.007033333
60	690000	81.5	75.5	74	77	0.0077
65	747500	86.5	80	77.5	81.33333333	0.008133333

TRONSON 5						
Indicatia	Momentul	Deformatii			Media	Rotirea
		1	2	3		
5	57500	11.5	9	5.5	8.666666667	0.000866667
10	115000	22	17	12	17	0.0017
15	172500	26	20	17.5	21.16666667	0.002116667
20	230000	30.5	25.5	24	26.66666667	0.002666667
25	287500	38	33.5	29	33.5	0.00335
30	345000	44	37.5	33.5	38.33333333	0.003833333
35	402500	47	42	41	43.33333333	0.004333333
40	460000	54	49.5	45.5	49.66666667	0.004966667
45	517500	59	54.5	49.5	54.33333333	0.005433333
50	575000	63.5	61.5	61.5	62.16666667	0.006216667
55	632500	69.5	61.5	61.5	64.16666667	0.006416667
60	690000	79.5	69.5	68.5	72.5	0.00725
65	747500	82.5	71.5	72.5	75.5	0.00755



A.14.4

Lungimea de contact

$$L_b := 34\text{mm}$$

div := 0.01mm

Constanta dinamometrului

$$k_D := 50 \frac{\text{N}}{\text{div}}$$

Bratul parghiei de incarcare

$$B_p := 230\text{mm}$$

Momentul de rasucire

$$M_T := k_D \cdot B_p \cdot \begin{pmatrix} 0 \\ 15 \\ 25 \\ 35 \\ 45 \end{pmatrix} \cdot \text{div} \cdot M_T = \begin{pmatrix} 0 \\ 172.5 \\ 287.5 \\ 402.5 \\ 517.5 \end{pmatrix} \text{N}\cdot\text{m}$$

Distanta de la capatul imbinarii

$$X := \begin{pmatrix} 0 \\ 5 \\ 18 \\ 31 \\ 34 \end{pmatrix} \text{mm}$$

Indicatia puntilor tensometrice

$$I_{tx} := \begin{pmatrix} 0 & 0 & 0 & 0 & 0 \\ 0 & 75 & 500 & 675 & 583 \\ 0 & 142 & 767 & 1017 & 950 \\ 0 & 208 & 1017 & 1300 & 1392 \\ 0 & 275 & 1258 & 1575 & 1800 \end{pmatrix}$$

Constantele de etalonare ale puntilor

$$A_e := \begin{pmatrix} 0 \\ 326 \\ 327 \\ 323.5 \\ 326 \end{pmatrix} \cdot \text{N}\cdot\text{mm} \quad B_e := \begin{pmatrix} 0 \\ 12600 \\ 12605 \\ -28332.5 \\ 12601 \end{pmatrix} \cdot \text{N}\cdot\text{mm}$$

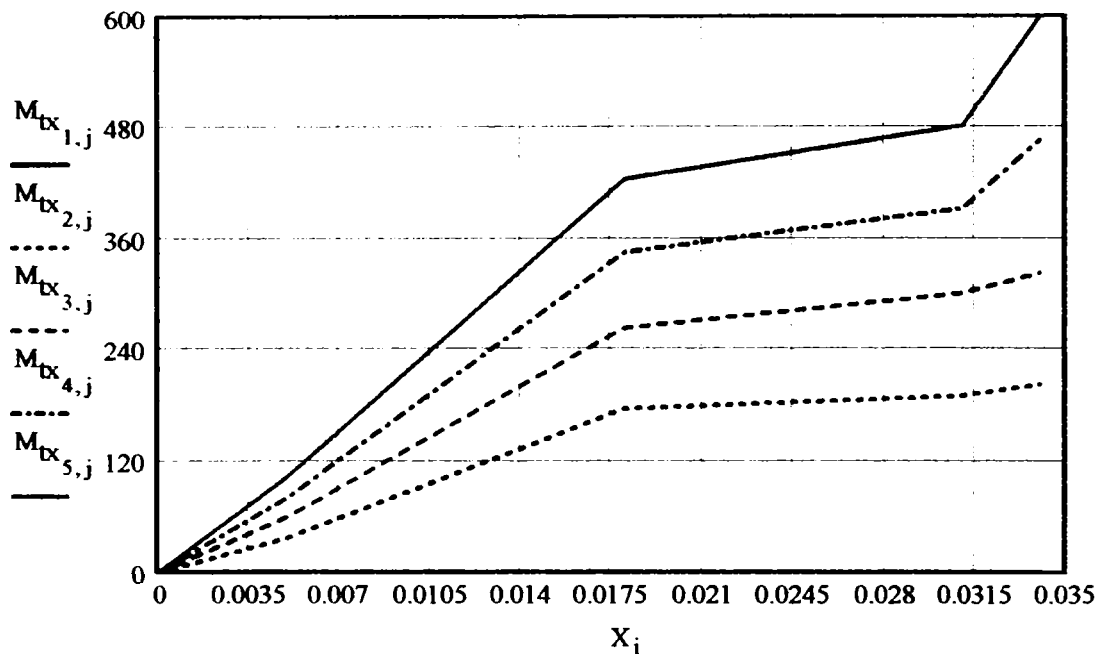
$$j := 1..5 \quad i := 1..5$$

Momentul de torsiune in sectiunea x

$$M_{tx_{i,j}} := I_{tx_{i,j}} \cdot A_{e_j} + B_{e_j}$$

$$M_{tx_{1,j}} := 0$$

$$M_{tx} = \begin{pmatrix} 0 & 0 & 0 & 0 & 0 \\ 0 & 37.05 & 176.105 & 190.03 & 202.659 \\ 0 & 58.892 & 263.414 & 300.667 & 322.301 \\ 0 & 80.408 & 345.164 & 392.218 & 466.393 \\ 0 & 102.25 & 423.971 & 481.18 & 599.401 \end{pmatrix} \text{N}\cdot\text{m}$$



$j_1 := 1..4$

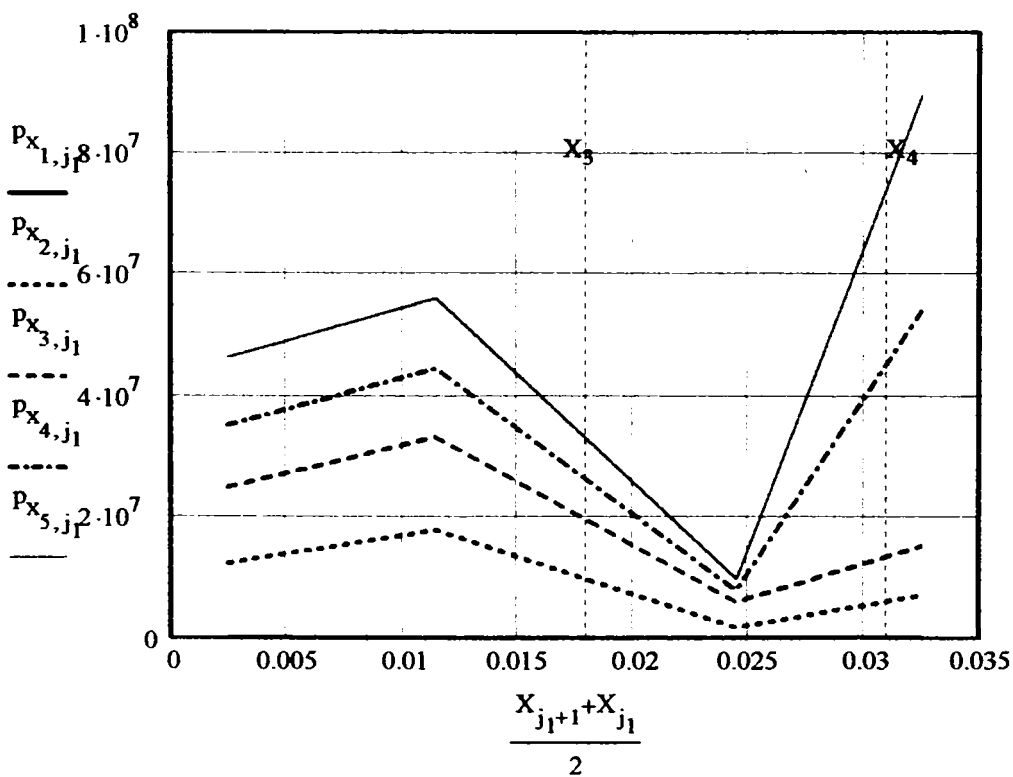
$$k_{\tau i, j_1} := \frac{L_b}{X_{j_1+1} - X_{j_1}} \cdot \frac{M_{tx_i, j_1+1} - M_{tx_i, j_1}}{M_{tx_i, 5}}$$

$$k_{\tau} = \begin{pmatrix} 0 & 0 & 0 & 0 \\ 1.243 & 1.795 & 0.18 & 0.706 \\ 1.243 & 1.66 & 0.302 & 0.761 \\ 1.172 & 1.485 & 0.264 & 1.802 \\ 1.16 & 1.404 & 0.25 & 2.235 \end{pmatrix}$$

$$p_{med} := \begin{pmatrix} 0 \\ 10 \\ 20 \\ 30 \\ 40 \end{pmatrix} \frac{N}{mm^2}$$

$$p_{x_i, j_1} := p_{med_i} \cdot k_{\tau i, j_1}$$

$$p_x = \begin{pmatrix} 0 & 0 & 0 & 0 \\ 12.432 & 17.946 & 1.797 & 7.063 \\ 24.85 & 33.193 & 6.046 & 15.215 \\ 35.17 & 44.54 & 7.916 & 54.074 \\ 46.4 & 56.151 & 9.985 & 89.412 \end{pmatrix} \frac{N}{mm^2}$$



A.15.2

Lungimea de contact

$$L_b := 39\text{mm}$$

div := 0.01mm

Constanta dinamometrului

$$k_D := 50 \frac{\text{N}}{\text{div}}$$

Bratul parghiei de incarcare

$$B_p := 230\text{mm}$$

Momentul de rasucire

$$M_T := k_D \cdot B_p \cdot \begin{pmatrix} 0 \\ 15 \\ 25 \\ 35 \\ 45 \end{pmatrix} \cdot \text{div} M_T = \begin{pmatrix} 0 \\ 172.5 \\ 287.5 \\ 402.5 \\ 517.5 \end{pmatrix} \text{N}\cdot\text{m}$$

Distanța de la capatul imbinării

$$X := \begin{pmatrix} 0 \\ 5 \\ 18 \\ 31 \\ 39 \end{pmatrix} \text{mm}$$

Indicatia puntilor tensometrice

$$I_{tx} := \begin{pmatrix} 0 & 0 & 0 & 0 & 0 \\ 0 & 75 & 467 & 608 & 592 \\ 0 & 158 & 700 & 917 & 1017 \\ 0 & 225 & 958 & 1200 & 1450 \\ 0 & 275 & 1200 & 1500 & 1900 \end{pmatrix}$$

Constantele de etalonare ale puntilor

$$A_e := \begin{pmatrix} 0 \\ 326 \\ 327 \\ 323.5 \\ 326 \end{pmatrix} \text{N}\cdot\text{mm} \quad B_e := \begin{pmatrix} 0 \\ 12600 \\ 12605 \\ -28332.5 \\ 12601 \end{pmatrix} \text{N}\cdot\text{mm}$$

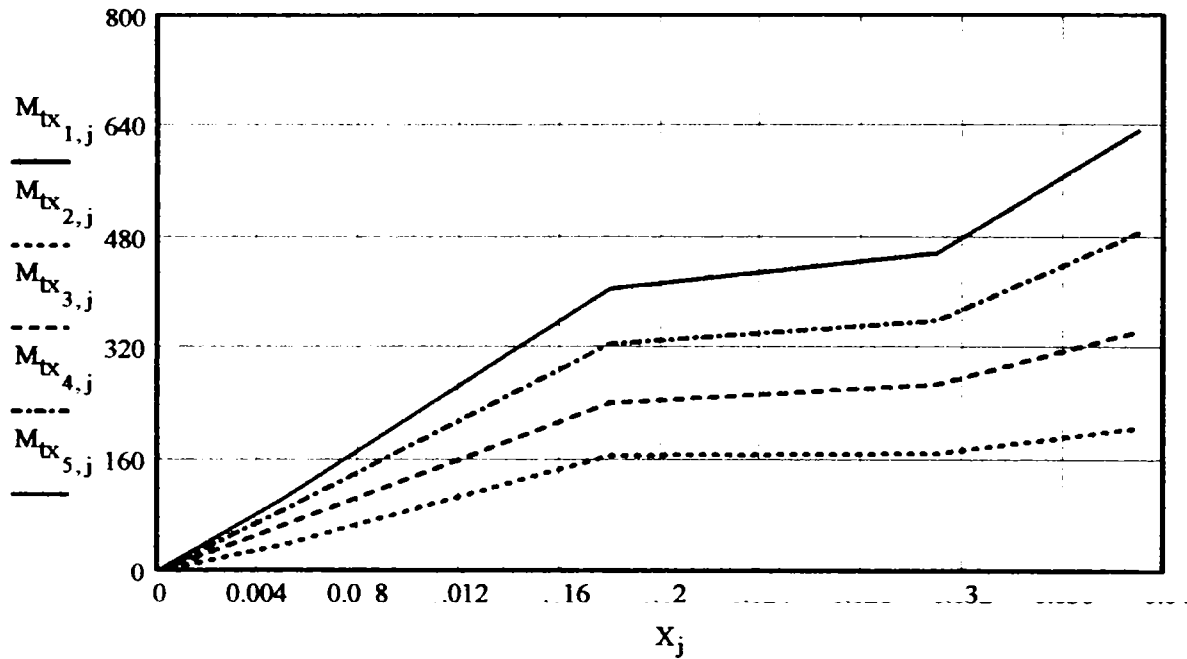
j := 1..5      i := 1..5

Momentul de torsiune in sectiunea x

$$M_{tx_{i,j}} := I_{tx_{i,j}} \cdot A_{e_j} + B_{e_j}$$

$$M_{tx_{1,j}} := 0$$

$$M_{tx} = \begin{pmatrix} 0 & 0 & 0 & 0 & 0 \\ 0 & 37.05 & 165.314 & 168.356 & 205.593 \\ 0 & 64.108 & 241.505 & 268.317 & 344.143 \\ 0 & 85.95 & 325.871 & 359.868 & 485.301 \\ 0 & 102.25 & 405.005 & 456.918 & 632.001 \end{pmatrix} \text{N}\cdot\text{m}$$



$j_1 := 1..4$

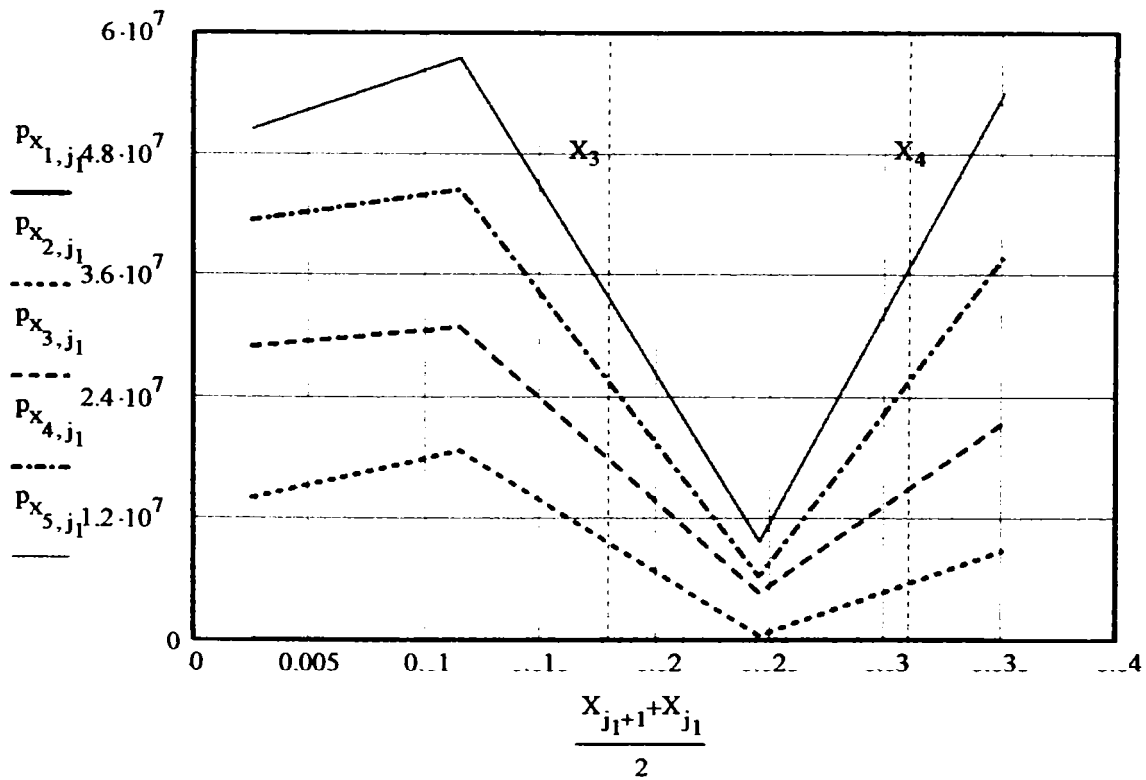
$$k_{\tau_i, j_1} := \frac{L_b}{X_{j_1+1} - X_{j_1}} \frac{M_{tx_i, j_1+1} - M_{tx_i, j_1}}{M_{tx_i, 5}}$$

$$k_{\tau} = \begin{pmatrix} 0 & 0 & 0 & 0 \\ 1.406 & 1.872 & 0.044 & 0.883 \\ 1.453 & 1.546 & 0.234 & 1.074 \\ 1.381 & 1.483 & 0.21 & 1.26 \\ 1.262 & 1.437 & 0.246 & 1.351 \end{pmatrix}$$

$$p_{med} := \begin{pmatrix} 0 \\ 10 \\ 20 \\ 30 \\ 40 \end{pmatrix} \frac{N}{mm^2}$$

$$p_{x_i, j_1} := p_{med_i} \cdot k_{\tau_i, j_1}$$

$$p_x = \begin{pmatrix} 0 & 0 & 0 & 0 \\ 14.056 & 18.716 & 0.444 & 8.83 \\ 29.06 & 30.928 & 4.675 & 21.482 \\ 41.443 & 44.494 & 6.305 & 37.801 \\ 50.478 & 57.485 & 9.857 & 54.021 \end{pmatrix} \frac{N}{mm^2}$$



A.15. 4

Lungimea de contact

$$L_b := 44\text{mm}$$

div := 0.01mm

Constanta dinamometrului

$$k_D := 50 \frac{\text{N}}{\text{div}}$$

Bratul parghiei de incarcare

$$B_P := 230\text{mm}$$

Momentul de rasucire

$$M_r := k_D \cdot B_P \cdot \begin{pmatrix} 0 \\ 15 \\ 25 \\ 35 \\ 45 \end{pmatrix} \cdot \text{div} \quad M_r = \begin{pmatrix} 0 \\ 172.5 \\ 287.5 \\ 402.5 \\ 517.5 \end{pmatrix} \text{N}\cdot\text{m}$$

Distanța de la capatul imbinării

$$X := \begin{pmatrix} 0 \\ 5 \\ 18 \\ 31 \\ 44 \end{pmatrix} \cdot \text{mm}$$

Indicatia puntilor tensometrice

$$I_{tx} := \begin{pmatrix} 0 & 0 & 0 & 0 & 0 \\ 0 & 100 & 475 & 600 & 608 \\ 0 & 167 & 725 & 891 & 1050 \\ 0 & 233 & 933 & 1125 & 1442 \\ 0 & 300 & 1167 & 1391 & 1867 \end{pmatrix}$$

Constantele de etalonare ale puntilor

$$A_e := \begin{pmatrix} 0 \\ 426 \\ 290 \\ 308 \\ 290.6 \end{pmatrix} \cdot \text{N}\cdot\text{mm}$$

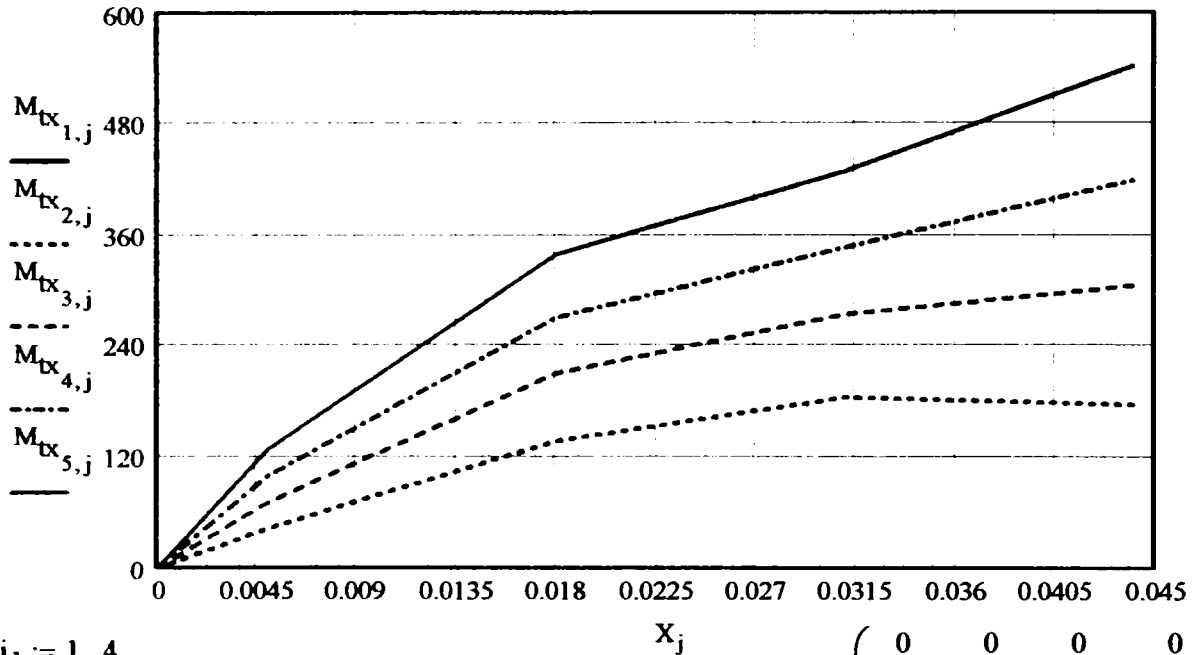
$$j := 1..5 \quad i := 1..5$$

Momentul de torsiune in sectiunea x

$$M_{tx_{i,j}} := I_{tx_{i,j}} \cdot A_{e_j}$$

$$M_{tx_{1,j}} := 0$$

$$M_{tx} = \begin{pmatrix} 0 & 0 & 0 & 0 & 0 \\ 0 & 42.6 & 137.75 & 184.8 & 176.685 \\ 0 & 71.142 & 210.25 & 274.428 & 305.13 \\ 0 & 99.258 & 270.57 & 346.5 & 419.045 \\ 0 & 127.8 & 338.43 & 428.428 & 542.55 \end{pmatrix} \text{N}\cdot\text{m}$$



$j_1 := 1..4$

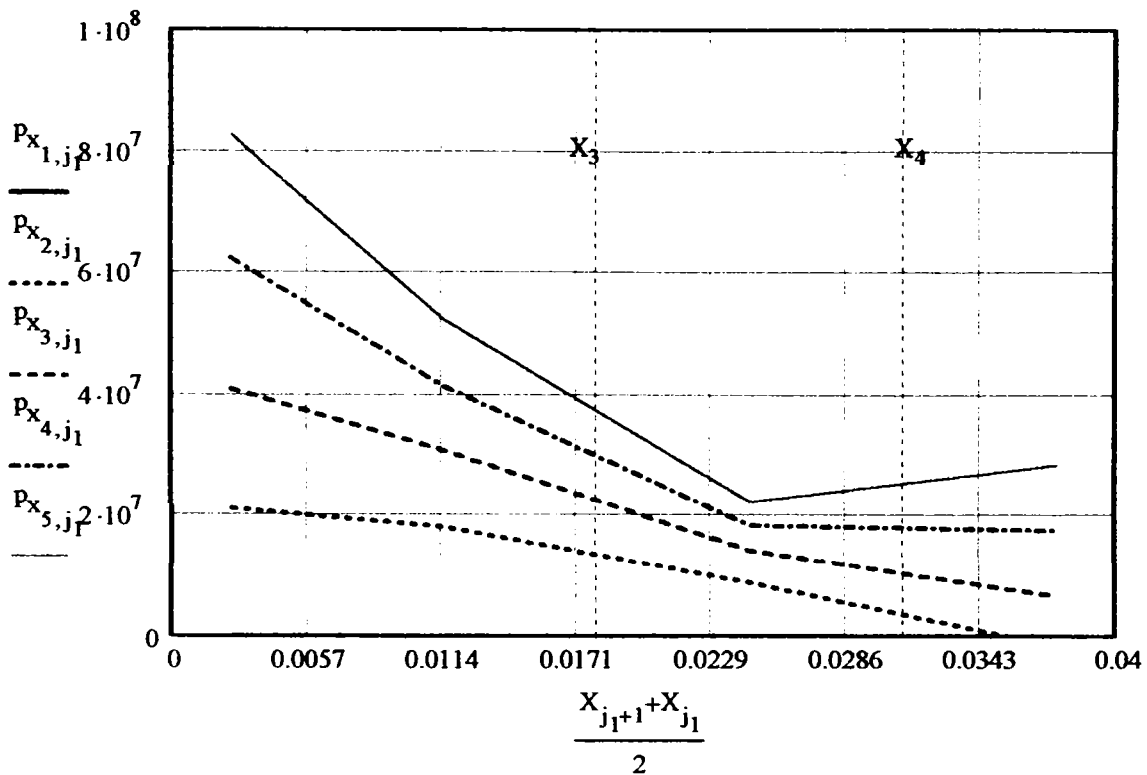
$$k_{\tau i, j_1} := \frac{L_b}{X_{j_1+1} - X_{j_1}} \cdot \frac{M_{txi, j_1+1} - M_{txi, j_1}}{M_{txi, 5}}$$

$$k_{\tau} = \begin{pmatrix} 0 & 0 & 0 & 0 \\ 2.122 & 1.823 & 0.901 & -0.155 \\ 2.052 & 1.543 & 0.712 & 0.341 \\ 2.084 & 1.384 & 0.613 & 0.586 \\ 2.073 & 1.314 & 0.561 & 0.712 \end{pmatrix}$$

$$P_{med} := \begin{pmatrix} 0 \\ 10 \\ 20 \\ 30 \\ 40 \end{pmatrix} \frac{N}{mm^2}$$

$$P_{xi, j_1} := P_{med_i} \cdot k_{\tau i, j_1}$$

$$P_x = \begin{pmatrix} 0 & 0 & 0 & 0 \\ 21.217 & 18.227 & 9.013 & -1.555 \\ 41.035 & 30.861 & 14.238 & 6.811 \\ 62.533 & 41.51 & 18.399 & 17.578 \\ 82.915 & 52.559 & 22.458 & 28.477 \end{pmatrix} \frac{N}{mm^2}$$



A.15.6

Lungimea de contact  $L_b := 49\text{mm}$

div := 0.01mm

Constanta dinamometrului  $k_D := 50 \frac{\text{N}}{\text{div}}$

Bratul parghiei de incarcare  $B_p := 230\text{mm}$

Momentul de rasucire  $M_r := k_D \cdot B_p \cdot \begin{pmatrix} 0 \\ 15 \\ 25 \\ 35 \\ 45 \end{pmatrix} \cdot \text{div} = \begin{pmatrix} 0 \\ 172.5 \\ 287.5 \\ 402.5 \\ 517.5 \end{pmatrix} \text{N}\cdot\text{m}$

Distanta de la capatul imbinarii  $X := \begin{pmatrix} 0 \\ 5 \\ 18 \\ 31 \\ 44 \\ 49 \end{pmatrix} \cdot \text{mm}$

Indicatia punctilor tensometrice  $I_{tx} := \begin{pmatrix} 0 & 0 & 0 & 0 & 0 \\ 0 & 75 & 450 & 575 & 583 \\ 0 & 150 & 717 & 858 & 1017 \\ 0 & 200 & 908 & 1083 & 1358 \\ 0 & 258 & 1117 & 1300 & 1750 \end{pmatrix}$

Constantele de etalonare ale punctilor  $A_e := \begin{pmatrix} 0 \\ 426 \\ 290.6 \\ 308 \\ 290.6 \end{pmatrix} \cdot \text{N}\cdot\text{mm}$

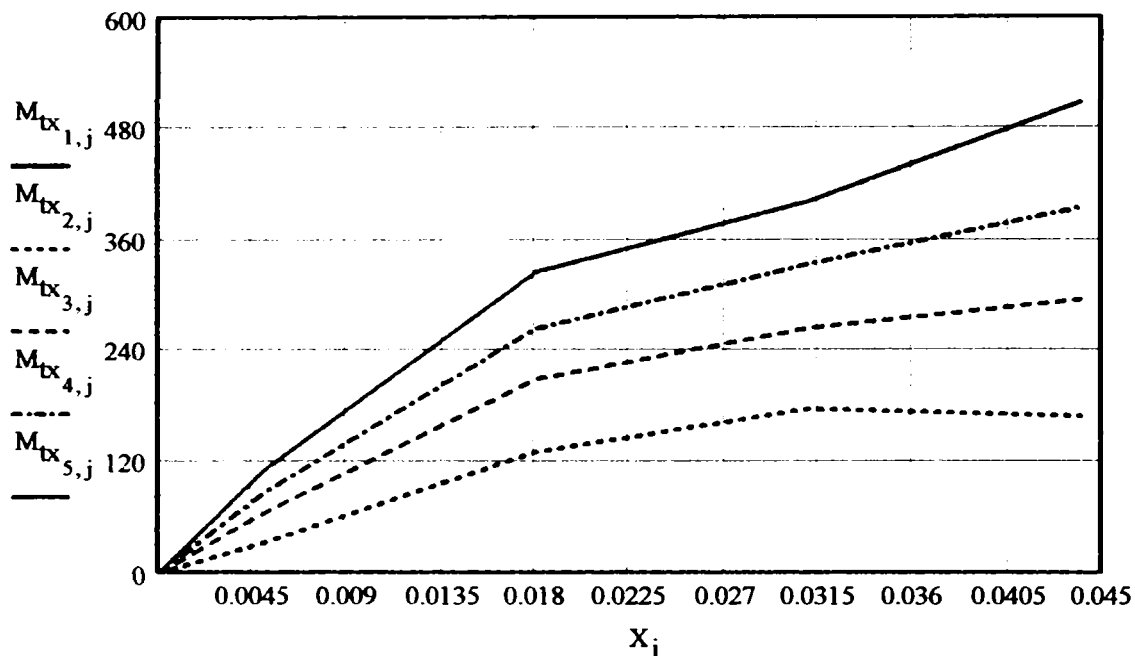
$j := 1..5 \quad i := 1..5$

Momentul de torsiune in sectiunea x  $M_{tx_{i,j}} := I_{tx_{i,j}} \cdot A_{e_j}$

$M_{tx_{i,6}} := M_{r_i}$

$M_{tx} = \begin{pmatrix} 0 & 0 & 0 & 0 & 0 & 0 \\ 0 & 31.95 & 130.77 & 177.1 & 169.42 & 172.5 \\ 0 & 63.9 & 208.36 & 264.264 & 295.54 & 287.5 \\ 0 & 85.2 & 263.865 & 333.564 & 394.635 & 402.5 \\ 0 & 109.908 & 324.6 & 400.4 & 508.55 & 517.5 \end{pmatrix} \text{N}\cdot\text{m}$





$j_1 := 1..5$

$$k_{\tau i, j_1} := \frac{L_b}{X_{j_1+1} - X_{j_1}} \cdot \frac{M_{tx_i, j_1+1} - M_{tx_i, j_1}}{M_{tx_i, 5}}$$

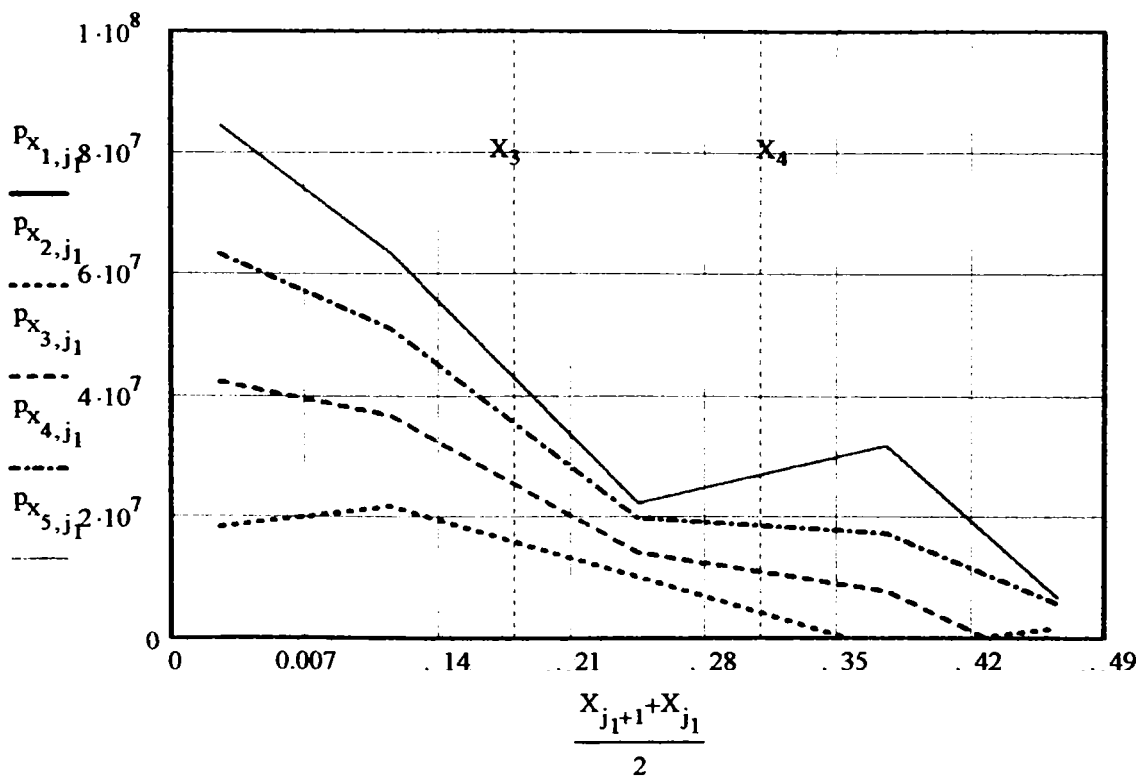
$$k_{\tau} = \begin{pmatrix} 0 & 0 & 0 & 0 & 0 \\ 1.848 & 2.199 & 1.031 & -0.171 & 0.178 \\ 2.119 & 1.842 & 0.713 & 0.399 & -0.267 \\ 2.116 & 1.706 & 0.666 & 0.583 & 0.195 \\ 2.118 & 1.591 & 0.562 & 0.802 & 0.172 \end{pmatrix}$$

$$p_{med} := \begin{pmatrix} 0 \\ 10 \\ 20 \\ 30 \\ 40 \end{pmatrix} \frac{N}{mm^2}$$

$$p_{x_i, j_1} := p_{med_i} \cdot k_{\tau i, j_1}$$

$$p_x = \begin{pmatrix} 0 & 0 & 0 & 0 & 0 \\ 18.481 & 21.985 & 10.307 & -1.709 & 1.782 \\ 42.378 & 36.848 & 14.26 & 7.978 & -5.332 \\ 63.473 & 51.194 & 19.971 & 17.499 & 5.86 \\ 84.719 & 63.65 & 22.472 & 32.063 & 6.899 \end{pmatrix} \frac{N}{mm^2}$$

$$p_{x_{5,4}} = 3.206 \times 10^7 \text{ Pa}$$



Lungimea de contact

$$L_b := 54\text{mm}$$

div := 0.01mm

Constanta dinamometrului

$$k_D := 50 \frac{\text{N}}{\text{div}}$$

Bratul parghiei de incarcare

$$B_p := 230\text{mm}$$

Momentul de rasucire

$$M_T := k_D \cdot B_p \cdot \begin{pmatrix} 0 \\ 15 \\ 25 \\ 35 \\ 45 \end{pmatrix} \cdot \text{div} = \begin{pmatrix} 0 \\ 172.5 \\ 287.5 \\ 402.5 \\ 517.5 \end{pmatrix} \text{N}\cdot\text{m}$$

Distanța de la capatul imbinării

$$X := \begin{pmatrix} 0 \\ 5 \\ 18 \\ 31 \\ 44 \\ 54 \end{pmatrix} \text{mm}$$

Indicatia puntilor tensometrice

$$I_{tx} := \begin{pmatrix} 0 & 0 & 0 & 0 & 0 \\ 0 & 75 & 475 & 592 & 550 \\ 0 & 142 & 733 & 875 & 950 \\ 0 & 200 & 950 & 1108 & 1300 \\ 0 & 250 & 1150 & 1317 & 1650 \end{pmatrix}$$

Constantele de etalonare ale puntilor

$$A_e := \begin{pmatrix} 0 \\ 426 \\ 290.6 \\ 308 \\ 290.6 \end{pmatrix} \text{N}\cdot\text{mm}$$

$$j := 1..5 \quad i := 1..5$$

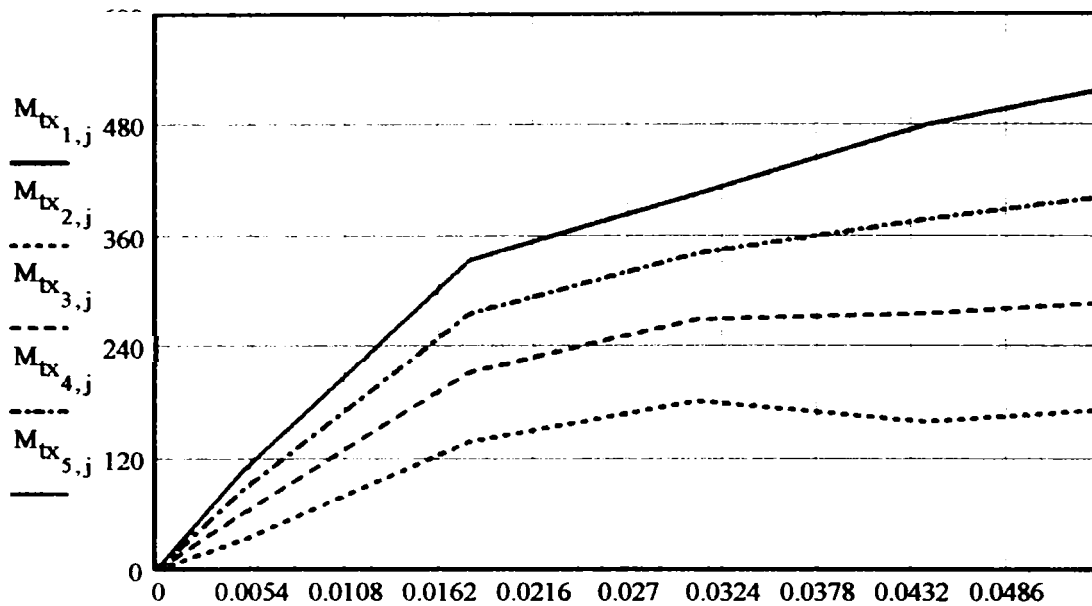
Momentul de torsiune in sectiunea x

$$M_{tx_{i,j}} := I_{tx_{i,j}} \cdot A_{e_j}$$

$$M_{tx_{i,6}} := M_{T_i}$$

$$j := 1..6$$

$$M_{tx} = \begin{pmatrix} 0 & 0 & 0 & 0 & 0 & 0 \\ 0 & 31.95 & 138.035 & 182.336 & 159.83 & 172.5 \\ 0 & 60.492 & 213.01 & 269.5 & 276.07 & 287.5 \\ 0 & 85.2 & 276.07 & 341.264 & 377.78 & 402.5 \\ 0 & 106.5 & 334.19 & 405.636 & 479.49 & 517.5 \end{pmatrix} \text{N}\cdot\text{m}$$



$j_1 := 1..5$

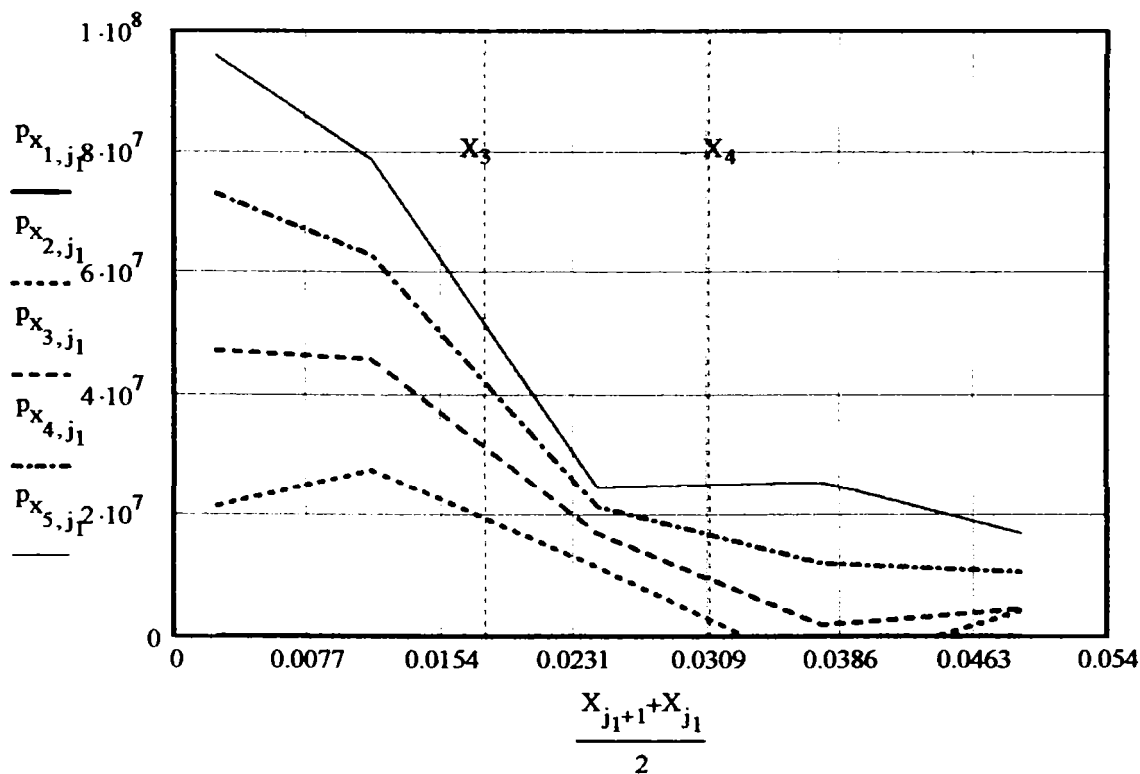
$$k_{\tau i, j_1} := \frac{L_b}{X_{j_1+1} - X_{j_1}} \frac{M_{txi, j_1+1} - M_{txi, j_1}}{M_{txi, 5}} k_{\tau} = \begin{pmatrix} 0 & 0 & 0 & 0 & 0 \\ 2.159 & 2.757 & 1.151 & -0.585 & 0.428 \\ 2.366 & 2.295 & 0.85 & 0.099 & 0.224 \\ 2.436 & 2.099 & 0.717 & 0.402 & 0.353 \\ 2.399 & 1.972 & 0.619 & 0.64 & 0.428 \end{pmatrix}$$

$$P_{med} := \begin{pmatrix} 0 \\ 10 \\ 20 \\ 30 \\ 40 \end{pmatrix} \frac{N}{mm^2}$$

$P_{xi, j_1} := P_{med_1} \cdot k_{\tau i, j_1}$

$P_{x_{5,4}} = 2.559 \times 10^7 Pa$

$$P_x = \begin{pmatrix} 0 & 0 & 0 & 0 & 0 \\ 21.589 & 27.571 & 11.513 & -5.849 & 4.281 \\ 47.33 & 45.897 & 16.999 & 1.977 & 4.471 \\ 73.071 & 62.961 & 21.505 & 12.045 & 10.6 \\ 95.952 & 78.9 & 24.758 & 25.592 & 17.123 \end{pmatrix} \frac{N}{mm}$$



A.15. 10

## Cuprins

	<b>Introducere. Motivația și scopul tezei de doctorat</b>	<b>1</b>
<b>Cap. 1</b>	<b>Considerații generale privind îmbinările arbore-butuc prin caneluri</b>	<b>4</b>
§1.1.	Îmbinări arbore-butuc. Prezentare generală, clasificări și domenii de utilizare	4
§1.2.	Îmbinări arbore-butuc. Clasificări și domenii de utilizare	10
§1.3.	Îmbinări arbore-butuc prin caneluri. Clasificare. Forme constructive principale	15
§1.4.	Relațiile și metodica de calcul a îmbinărilor arbore butuc prin caneluri	17
§1.5.	Considerații tehnologice și de precizie pentru îmbinările arbore-butuc prin formă	21
<b>Cap. 2</b>	<b>Studiul geometriei îmbinărilor arbore-butuc prin caneluri</b>	<b>24</b>
§2.1.	Studiul comparativ al geometriei canelurilor dreptunghiulare	24
§2.2.	Studiul geometric al canelurilor evolventice	34
§2.3.	Studiul geometric al canelurilor triunghiulare	43
<b>Cap. 3</b>	<b>Repartiția sarcinii pe suprafețele portante multiple ale îmbinării</b>	<b>47</b>
§3.1.	Cauzele neuniformității încărcării portante multiple	47
§3.2.	Repartiția sarcinii datorită abaterilor de divizare (de pas) ale suprafețelor portante ale arborelui și butucului	48
§3.3.	Repartiția sarcinii datorită încărcării îmbinării cu o sarcină radială	59
§3.4.	Compararea efectelor abaterilor de pas și a încărcării îmbinării cu o sarcină radială	66
<b>Cap. 4</b>	<b>Repartiția sarcinii pe lungimea îmbinărilor arbore-butuc prin caneluri</b>	<b>68</b>
§4.1.	Cauzele variației sarcinii pe lungimea suprafețelor portante	68
§4.2.	Repartiția sarcinii datorită solicitărilor îmbinării cu un moment de răsturnare $M_r$	69
§4.3.	Repartiția sarcinii datorită deformațiilor de torsiune ale arborelui și butucului	74
§4.4.	Repartiția sarcinii datorită abaterilor de paralelism ale suprafețelor portante ale arborelui și butucului față de axa îmbinării	88

<b>Cap. 5</b>	<b>Rigiditatea canelurilor</b>	<b>91</b>
§5.1.	Principii și convenții de calcul a rigidității canelurilor	91
§5.2.	Rigiditatea canelurilor dreptunghiulare	94
§5.3.	Rigiditatea canelurilor triunghiular	103
§5.4.	Rigiditatea canelurilor evolventice	108
§5.5.	Determinarea rigidității canelurilor prin metoda elementului finit	108
<b>Cap. 6</b>	<b>Determinarea experimentală a rigidității îmbinărilor arbore-butuc prin caneluri</b>	<b>111</b>
§6.1.	Condițiile de măsurare a rigidității îmbinărilor prin caneluri	111
§6.2.	Determinarea rigidității unei perechi de elemente portante	113
§6.3.	Determinarea diagramei de rigiditate a unei îmbinări prin caneluri	120
<b>Cap. 7</b>	<b>Determinarea experimentală a variației presiunii pe lungimea îmbinărilor arbore-butuc prin caneluri</b>	<b>122</b>
§7.1.	Principiul tensometriei electrice	122
§7.2.	Tipuri de transductoare tensometrice rezistive	123
§7.3.	Proprietățile transductorului tensometric rezistiv	124
§7.4.	Tehnologia pregătirii măsurării tensometrice	125
§7.5.	Aparatura pentru tensometrie electrică	126
§7.6.	Determinarea distribuției presiunii din îmbinare prin măsurarea tensiunilor tangențiale de torsiune pe suprafața exterioară a butucului	127
§7.7.	Determinarea distribuției presiunii din îmbinare prin metode numerice	136
<b>Cap. 8</b>	<b>Observații, concluzii, contribuții personale la studiul îmbinărilor arbore-butuc prin caneluri</b>	<b>138</b>
§8.1.	Prezentarea generală, clasificarea și domeniile de utilizare a îmbinărilor arbore-butuc	138
§8.2.	Considerații tehnologice și de precizie pentru îmbinările arbore-butuc prin formă	142
§8.3.	Repartiția sarcinii pe suprafețele portante multiple ale îmbinării	144
§8.4.	Repartiția sarcinii pe lungimea îmbinărilor arbore-butuc prin caneluri	149
§8.5.	Calculul rigidității canelurilor	151
§8.6.	Determinarea experimentală a rigidității îmbinărilor arbore-butuc prin caneluri	154
§8.7.	Determinarea experimentală a variației presiunii pe lungimea îmbinărilor arbore-butuc prin caneluri	156

§8.8.	Determinarea distribuției presiunii din îmbinare prin metode numerice	158
§8.9.	Concluzii finale	158
§8.10.	Direcții de cercetare ulterioară	160
§8.11.	Contribuții personale	161
§8.12.	Valorificarea rezultatelor	161
	<b>Bibliografie</b>	<b>162</b>
	<b>Anexe</b>	
Anexa 1	Similitudinea îmbinărilor prin caneluri dreptunghiulare	
Anexa 2	Similitudinea canelurilor evolventice	
Anexa 3	Similitudinea canelurilor triunghiulare	
Anexa 4	Calculul geometric al canelurilor evolventice	
Anexa 5	Repartiția încărcării pe caneluri cauzată de abaterile de pas	
Anexa 6	Variația sarcinii pe caneluri produsă de încărcarea radială a îmbinării	
Anexa 7	Variația presiunii pe caneluri produsă de solicitarea îmbinării cu moment de răsturnare	
Anexa 8	Variația presiunii pe lungimea îmbinărilor prin caneluri dreptunghiulare	
Anexa 9	Rigiditatea canelurilor dreptunghiulare prin iterații	
Anexa 10	Rigiditatea canelurilor dreptunghiulare	
Anexa 11	Rigiditatea canelurilor triunghiulare	
Anexa 12	Rigiditatea canelurilor evolventice	
Anexa 13	Rigiditatea canelurilor prin metoda elementului finit	
Anexa 14	Rigiditatea canelurilor experimental	
Anexa 15	Variația momentului de torsiune pe lungimea butucului	